



مَشْهُورَاتُ جَنَابَةِ كَلْبَتِ  
كَلْبَتِ الْعِلْمِ الْإِسْلَامِيِّ

# الفيزياء الذرية والجزيئية

المكتور  
محمد أنور بطل

لطلاب السنة الثالثة  
قسم الفيزياء

مُذَيَّرِيَّةُ كَلْبَتِ الْعِلْمِ الْإِسْلَامِيِّ  
١٤١٠ هـ - ١٩٨٩ م

بِسْمِ اللَّهِ الرَّحْمَنِ الرَّحِيمِ

## المقدمة

يهدف علم الأطياف إلى دراسة البنية الذرية والجزيئية للذرات والجزيئات وذلك من خلال المعرفة الجيدة لميكانيك الكم والإلكتروديناميك ومقارنة نتائجها النظرية مع المعرفة التجريبية الجيدة للذرات والجزيئات أي المعرفة الجيدة للانتقالات الإلكترونية التي تحدث بين مستويات الطاقة الذرية أو بين مستويات الطاقة الإلكترونية الجزيئية أو مستويات الطاقة الاهتزازية ، الدورانية الاهتزازية، الدورانية ويمكن الاستفادة بصورة واسعة من الفيزياء الذرية والجزيئية في التطبيقات العملية الفيزيائية ( منابع الإضاءة ، اللازر ..... ) أو في التطبيقات العملية الكيميائية ( التحليل الطيفي الدقيق طيف نووي مغناطيسي سبين الكتروني .. طيف الأشعة تحت الحمراء .... ) .

وهذا الكتاب الذي هو مدخل للفيزياء الذرية والجزيئية يتفق مع المنهاج الموضوع من قبل مجلس التعليم العالي لطلاب السنة الثالثة ف والسنة الرابعة ف ك معروض بشكل مبسط ما أمكن وقائم على نتائج ميكانيك الكم وهو سيخدم طلاب السنة الثالثة والرابعة وكذلك طلاب الدراسات العليا في قسمي الفيزياء والكيمياء .

لقد تم تقسيم الكتاب إلى بابين يحوي الباب الأول كل ما هو متعلق بسويات الطاقة الذرية وكيفية الانتقال بين هذه السويات وبالتالي دراسة الأطياف الذرية ثم يتطرق إلى تأثير الحقول الخارجية على الذرات منها تأثير الحقل المغناطيسي (مفعول زيمان - مفعول باش باك ... ) .

أما الباب الثاني فيتضمن كيفية إيجاد الحدود الطيفية الإلكترونية الجزيئية ثم

سويات الطاقة المختلفة الإهتزازية ، الدورانية ، الإهتزازية الدورانية . ليس فقط للجزيئات ثنائية الذرة بل أيضاً للجزيئات متعددة الذرات كذلك تم دراسة كيفية الانتقال بين السويات المختلفة في الجزيئات الإهتزازية والدورانية والإهتزازية الدورانية وبالتالي دراسة الأطياف الجزيئية وإيجاد قواعد الإصطفاء لكل حالة من الحالات في طيوف الإمتصاص والإصدار وكذلك في حالة تشتت رامان ، وبما أنه في حالة الطيوف الجزيئية لمعرفة الحدود الإلكترونية لابد من معرفة مسبقة لنظرية الزمر فقد خصصنا فصل صغير عن نظرية الزمر .

أخيراً أرجو الله أن أكون قد وفقت في عرض كتابي هذا وحققت الغاية المرجوة منه وهنا لابد من ان أقدم جزيل شكري لكل من ساهم في الجاز هذا الكتاب والله ولي التوفيق .

المؤلف



# البنايف الأولى

الفيزياء الذرية

# الفصل الأول

## المواضيع الاساسية لعلم الطيف

١ - ١ - القوانين الطيفية الرئيسية :

من المعلوم أن علم الأطياف قائم على نظريات ومفاهيم الميكانيك الكوانتي والإلكتروديناميك الكوانتي أو بالأحرى يعتبر التطبيق المباشر لهما ، أي أنه يعتمد بالأساس على فرضيتي بور ، حيث تنص الفرضية الأولى على أن المجموعة الذرية تكون مستقرة فقط إذا شغلت حالات محددة ( States ) موافقة لمتوالية مستمرة أو متقطعة لقيم الطاقة E أما الفرضية الثانية فتتنص على أن تغير طاقة المجموعة الذرية يتم بقفزات لهذه المجموعة من وضع مستقر إلى وضع مستقر آخر ولن ندخل أكثر في هاتين الفرضيتين .

إن إنتقال المجموعة الذرية من وضع مستقر إلى وضع مستقر آخر ، مرتبط وفقاً لقانون مصونية الطاقة وذلك بإعطاء هذه المجموعة أو الأخذ منها كمية من الطاقة هذه الإنتقالات تكون إما مصحوبة بإشعاع ، وتسمى في هذه الحالة بالإنتقالات الضوئية . أو غير مصحوبة بإشعاع وتسمى بالإنتقالات غير الضوئية .

إن القانون الكوانتي الذي يحكم الإنتقالات الضوئية هو :

$$E_i - E_j = h \nu$$

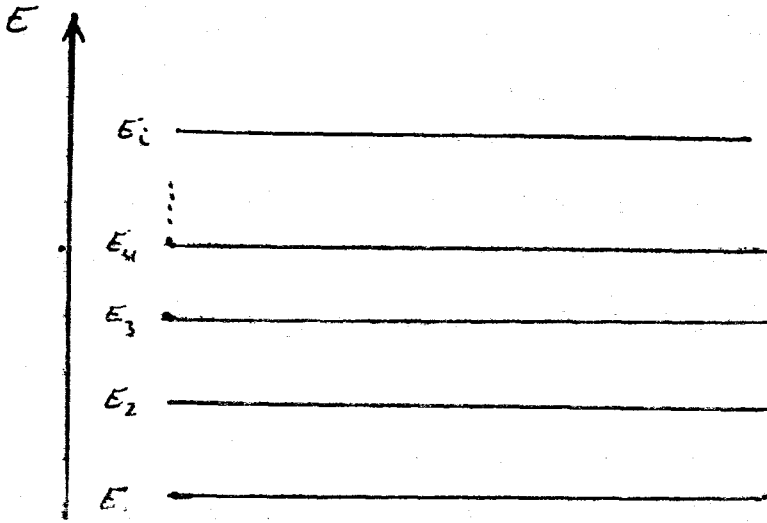
حيث h ثابت بلانك .

هذا الإشعاع يمتص الضوء عندما  $E_i > E_j$  ويصدر الضوء عندما  $E_i < E_j$  وذلك بدفعات محددة من  $(h\nu)$  تسمى كمات الإشعاع ( الفوتونات ) .

## ١ - ٢ سوياات الطاقة والانتقالات ( الخطوط الطيفية ) :

إن مفهوم سوية الطاقة قائم على التشابه الكائن بين طاقة الحالات المستقرة والطاقة الكامنة لجسم ما عندما يكون على ارتفاعات مختلفة ، أي على مستويات مختلفة إعتباراً من مستوي أساسي ( قاعدي ) .

الشكل ( ١ - ١ ) يبين مخطط لسويات الطاقة حيث نرمر لسويات الطاقة بخطوط أفقية تبعد عن بعضها البعض بقيم متناسبة طردياً مع فروق قيم الطاقة  $E_2, E_1, \dots$  ، والموافقة للحالات المستقرة .



شكل ( ١ - ١ )

وكما هو الحال في الطاقة الكمونية لجسم مرفوع ، فإن قيمة الصفر تعطي لطاقة أخفض سوية وتسمى سوية الطاقة الأساسية ( الأرضية ) ( back ground ) .

إن الإنتقالات بين الحالات المستقرة تمثل على مخطط الطاقة بخطوط تصل بين الخطوط الأفقية وفرق الطاقة بين سويتين يتناسب طردياً مع تواتر الإنتقال لذلك يكون

تدريج الطاقة E متناسب طردياً مع تدريج التواتر لها أو تدريج العدد الموجي :

$$\bar{\nu} = \frac{\nu}{c} = \frac{1}{\lambda}$$

$\lambda$  طول موجة الإشعاع .

الجدول التالي يعطي الواحدات المختلفة المستخدمة في علم الطيف :

الواحدة	cm <sup>-1</sup>	sec <sup>-1</sup> (Hz)	Erg	ev	cal/mole
1 cm	1	2.99 × 10 <sup>10</sup>	1.9862 × 10 <sup>-16</sup>	1.2397 × 10 <sup>-4</sup>	2.8584
1 sec <sup>-1</sup> 1 Hz	3.335 × 10 <sup>-11</sup>	1	6.62 × 10 <sup>-27</sup>	4.135 × 10 <sup>-15</sup>	0.9545 × 10 <sup>-10</sup>
1 erg .	5.0348 × 10 <sup>-5</sup>	1.509 × 10 <sup>26</sup>	1	6.2414 × 10 <sup>11</sup>	1.4407 × 10 <sup>-1</sup>
1 ev .	8066	2.418 × 10 <sup>14</sup>	1.6022 × 10 <sup>-12</sup>	1	23082
1cal/mol	0.34947	1.0477 × 10 <sup>10</sup>	6.94 × 10 <sup>-17</sup>	4.3323 × 10 <sup>-6</sup>	1

إذا تمت الإنتقالات بين سويات طاقة منفصلة فإنها تعطي طيفاً متقطعاً (discrete spectrum) وإذا تمت الإنتقالات بين سويات طاقة متقطعة وبين سويات مستمرة، حيث اعتبرت مستمرة لأن سويات طاقتها متقاربة جداً بحيث يصعب فصلها ونحصل عندئذ على الطيف المستمر (Continuous spectrum) كذلك نحصل على الطيف المستمر إذا تم الإنتقال بين مجموعتين من السويات المستمرة .

إن الطيف الخطي (Line Spectrum) الذي يتألف من خطوط طيفية منفصلة يتميز بشكل عام طيوف الذرات ، يزداد الطيف تعقيداً بزيادة عدد الإلكترونات في الذرة حيث يزداد عدد الخطوط ويخضع تفسير الطيوف الذرية إلى آليات عديدة ، هذا بالنسبة للأطياف الذرية ، أما الأطياف الجزيئية الثنائية أو الثلاثية الذرة ، فهي تتميز بوجود الأشربة الطيفية أو القطاعات الطيفية (Spectral - bands) التي يتألف كل منها من مجموعة متلاصقة من الخطوط .

### ٣ - ١ طيفو الإصدار والامتصاص :

إن الانتقال من سوية طاقة منخفضة إلى سوية أخرى أعلى منها يؤدي إلى زيادة طاقة المجموعة الذرية أي إلى إمتصاص فوتون . أما الانتقال من سوية مرتفعة إلى سوية أخرى منخفضة فيؤدي إلى نقصان في طاقة المجموعة أي إلى إصدار فوتون ؛ وهكذا نجد أن مجموعة الإنتقالات المشعة التي تحدث إنطلاقاً من السويات السفلى بإتجاه السويات الأعلى تعطي طيف الإمتصاص (spectre d'Absorption) أما الإنتقالات المعاكسة من السويات العليا نحو السويات السفلى فتعطي طيف الإصدار (Emission) إن كل إنتقال منفصل ، يتميز بتواتره ، وكذلك بإحتمال حدوثه بإتجاه معين ، أي بإحتمال الإمتصاص أو الإصدار ، يتشخص طيف الإصدار أو الإمتصاص لمجموعة ذرية بمعرفة شدة وتواتر كل خط طيفي أو تواتر وشدة الأشربة ( القطاعات ) للمجموعة ، إن شدة كل خط طيفي معين تتعلق بإحتمالات الإنتقالات المختلفة التي لها نفس تواتره ، وبعدد المجموعات الذرية في مختلف الأوضاع المستقرة ، أي بإسكانات (population) مختلف سويات الطاقة وبالتالي فإن شدة طيف الإمتصاص يتعلق بإسكانات السويات المنخفضة ، بينما شدة طيف الإصدار يتعلق بإسكانات السويات المرتفعة ، هذا وتأخذ أطياف الإصدار أشكالاً مختلفة تبعاً لإسكان السويات حتى ولو كانت صادرة عن مجموعات ذرية متجانسة كذرات معدن معين مثلاً أو جزيئات مركب كيميائي ذي بنية محددة . وأبسط حالة هي التي يكون فيها أخفض مستوى - نسميه المستوي الأساسي هو وحده المسكون . أي عندما تكون كل المجموعات الذرية واقعة في الوضع المستقر الأساسي . فمن هذا الوضع الذي تبقى فيه المجموعة إلى الأبد إذا لم تتعرض لتأثير خارجي ، يمكن أن تحدث فقط إنتقالات إلى سويات أعلى . أي يمكن أن يحدث فقط إمتصاص للفوتونات وليس إصدار لها ، وهكذا نجد أنه إذا أثرتنا على المجموعة الذرية بإشعاع مركب فإننا نحصل على طيف إمتصاص مؤلف من مجموعة خطوط موافقة لإنتقالات من أخفض سوية وإلى مختلف السويات الأعلى ، أما في الحالة العامة حيث تكون السويات الأخرى غير القاعدية ( السويات المثارة ) مسكونة أيضاً ، وبالتالي فإن الإنتقالات التي تبدأ من السويات المثارة يمكن أن تؤدي سواء لحدوث أطياف الإمتصاص أو أطياف الإصدار التي تزداد شدتها بقدر ما يكون إسكان هذه السويات المثارة أكبر ، وكلما إزداد عدد



السويات المسكونة بكثافة كبيرة كلما أخذت أطيايف الامتصاص والإصدار طابعاً معقداً .

إن تسمية السويات المحرصة (niveaux excité) آتية من واقع أن إنتقال مجموعة من وضعها القاعدي إل وضع آخر لا يتم إلا بإعطاء هذه المجموعة طاقة محددة ، أي تحريضها .

فالمجموعة التي تملك في تلك الحالات المحرصة فائضاً من الطاقة بالمقارنة مع طاقتها في المستوي القاعدي . هذا الفائض هو طاقة التحريض التي يجعلها غير مستقرة . إذاً لا يمكنها أن تبقى في وضعها المحرص لوقت غير محدود ، بل تبقى زمناً محدوداً تنتقل به إلى سوية أخرى أخفض أو أعلى مصدرة أو ماصةً كماً ضوئياً إذا كان إنتقالها مشعاً .

إن اسكان السويات وطابع الطيف يتعلقان قبل كل شيء بوجود أو عدم وجود التوازن الترموديناميكي ، فإذا كانت المادة في حالة توازن ترموديناميكي موافق لدرجة حرارة معينة فإن إسكان السويات يتناقص كلما زادت طاقة هذه السويات وذلك وفقاً لقانون ماكسويل - بولتزمان .

$$N_i = N_j \frac{g_i}{g_j} e^{-(E_i - E_j)/kt} ; \quad g_i = 2J + 1$$

يبين هذا التوزيع أن التناقص يتسارع بإنخفاض درجة الحرارة فني درجة حرارة منخفضة بما فيه الكفاية تكون السوية الأساسية هي المسكونة فقط من الناحية العملية . وعندما تتحقق الحالة التي ذكرناها سابقاً والتي تسود فيها عملية الإمتصاص . هذا ومع رفع درجة الحرارة تبدأ السويات المحرصة بالإمتلاء تدريجياً وتبدأ معنا عمليات الإمتصاص بدءاً من هذه السويات ويظهر كذلك في نفس الوقت الإصدار الحراري ، أي الإصدار المرتبط بدرجة الحرارة والذي تزداد شدته كلما ارتفعت درجة الحرارة .

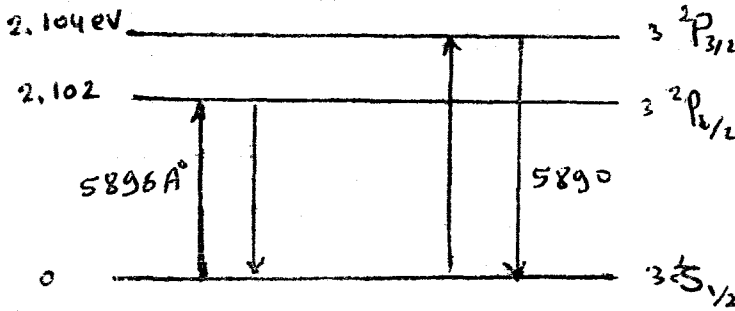
## ٤ - ١ أنواع الاثارة :

### ٤ - ١ - ١ : الإثارة الضوئية :

تم الإثارة بتعريض المادة المراد إثارتها لإشعاع معروف التركيب يكون عادة

مؤلفاً من مجموعة معينة من اشعاعات وحيدة اللون ، أو بعبارة أخرى إعطاء المجموعات الذرية دفعات محددة تماماً من الطاقة مساوية لـ  $h\nu$  ، وتتميز الإثارة الضوئية بإمكانيات إيقافها في لحظة معينة ، وهذا ما يسمح بدراسة الإصدار غير الحراري الحاصل بعد وقف الإثارة أي ما يسمى التألُّق (Luminescence) ؛ وبالضبط دراسة إمتداده الزمني وقوانين تحامده .

إن الإصدار الذي يملك إثارة لاحقة ذات إمتداد زمني صغير يسمى الفلورة (Fluorescence) أما الذي تمتد إثارته اللاحقة لمدة طويلة فيسمى النسفرة (Phosphorescence). الإصدار الطينيني (Resonance Emission) هو حالة إنتقال مشع يكون فيه تواتر الضوء الممتص نفس تواتر الضوء الصادر كما في ذرة الصوديوم حيث يتم الإنتقال دائماً بين السوية الأساسية والسوية المحرّضة شكل ( ١ - ٢ ) .



شكل ( ١ - ٢ )

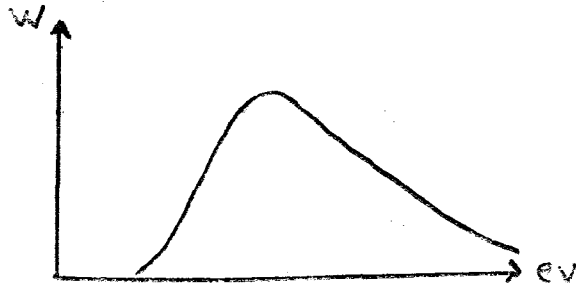
وفي هذا المجال يعتبر اللازر ذو الجوهرة من المصادر الجديدة للإثارة الضوئية وضوء الترئبق وضوء التنعستين .

#### ٤ - ٢ - ١ - الإثارة الكهربائية :

تلعب طرق الإثارة الكهربائية دوراً ذو أهمية كبيرة في الدراسات الطيفية ، تماماً كما هو الحال بالنسبة للإثارة الضوئية وتم الإثارة الكهربائية في أغلب الأحيان باستخدام الأشكال المختلفة للإنفراغ الغازي وعلى الأخص الإنفراغ الشراري والإنفراغ القوسي .

وبهذه الطريقة يمكننا الحصول على منابع قوية للضوء . إن الإثارة بواسطة تمرير التيار الكهربائي عبر الغاز تتم بفضل الاصطدامات الحاصلة بين الجسيمات .

تلعب آلية الصدمة الإلكترونية (Shock - excitation) الدور الرئيسي في إحداث الإثارة وتعني الضربة الإلكترونية هو أن الإلكترونات أثناء تسارعها في حقل كهربائي تكتسب طاقة حركية تعطيها فيما بعد إلى الجسيمات الأثقل كالذرات - الجزيئات ، وذلك أثناء اصطدامها بها ، والصدمة الإلكترونية لا تحدث إلا عندما تكون الطاقة الحركية للإلكترون أكبر أو مساوية لطاقة الإثارة . كذلك فإن احتمال الإثارة يتناسب طرذاً مع نسبة الاصطدامات المنتجة أي التي تحدث الإثارة إلى كامل عدد الاصطدامات بين الجسيمات والإلكترونات . وتابعة هذا الاحتمال لطاقة الإلكترون المكتسبة (ev) مبينة بالشكل ( ١ - ٣ ) .



شكل ( ١ - ٣ )

تستخدم طريقة الإثارة بالضربة الإلكترونية بشكل واسع للحصول على طاقات الإثارة لسويات الطاقة في الذرات والجزيئات وذلك بتحديد كمونات الإثارة  $V_i$  (Excitation potential) التي تعطي الإلكترون عندها الطاقة إلى الجسيمات .

$$e V_i = \frac{1}{2} m v_i^2 = (\Delta E_i) = E_i - E_j$$

حيث  $\Delta E_i$  طاقة الإثارة المطلوب تعيينها وبنفس الطريقة يمكننا تعيين طاقة التأين والتفكك  $\Delta E = W_{diss}$  و  $\Delta E_i = W_{ion}$  .

القوس الكهربائي :

يشكل القوس الكهربائي المغذي بالتيار المستمر الطريقة الأكثر إنتشاراً للإثارة

( الجهد 50 إلى 300 volt ) . يتم التبخير بالتحمية الناتجة عن مرور التيار ( 4000 - 8000 k ) يمر ضمن القوس كمية نسبياً مهمة من المادة المراد إثارتها .

### الشرار المولد بالجهد العالي :

يتم إنتاج سلسلة من الشرارات ( 50 انفراغ بالثانية ) وتصل إلى ( 30 — 50 MHz ) كما ، في حالة البلازما التي تعتبر منبع من منابع التحريض . وذلك بربط قطبين (Electrod) إلى محوالة ذات جهد عالي ( 50 kV ) . إن الشرار الكهربائي يعطي طاقة أكثر ارتفاعاً من الطاقة التي يقدمها القوس الكهربائي وبالتالي يثير الطيف الأيوني .

### 5 - 1 - الموجة المرافقة للجزيئات المادية :

1 - طول الموجة في حالة أكالكرون حراري لدينا :

$$\frac{1}{2} m \cdot v^2 = \frac{3}{2} K \cdot T$$

حيث  $\frac{3}{2} K \cdot T$  متوسط الطاقة الحركية لغاز كامل حيث اعتبر الالكترونات مشكلة غاز كامل

$$m^2 v^2 = 3 k T \cdot m$$

لكن :

$$\lambda = \frac{h}{p} = \frac{h}{mv} = \frac{h}{\sqrt{3 k T m}}$$

وعندما  $T = 300 K^\circ$  فإن :

$$\lambda = \frac{h}{\sqrt{3 \cdot k \cdot T \cdot m}} = \frac{6.62 \times 10^{-34}}{\sqrt{3 \times 1.38 \times 10^{-24} \times 300}} = 1.4 \text{ Å}.$$

### 2 - الطاقة الناتجة عن حقل كهربائي :

$$E = e \cdot V.$$

$$\frac{1}{2} m v^2 = e \cdot V.$$

$$m^2 v^2 = 2 e \cdot V \cdot m.$$

$$\lambda = \frac{h}{p} = \frac{h}{\sqrt{2eVm}}$$

3 - الطاقة الحركية حسب النظرية النسبية :

$$E = \sqrt{p^2 c^2 + m_0^2 c^4}$$

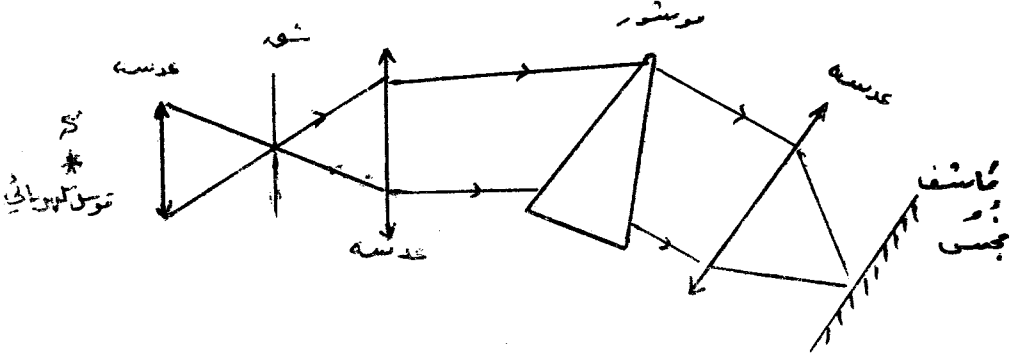
لكن عملياً فإن الطاقة مساوية إلى  $E = p \cdot c$  أي أهملنا الحد الثاني في العلاقة السابقة :

$$\lambda = \frac{h}{p} = \frac{c \cdot h}{E}$$

$$(\lambda = 1.2 \times 10^{-15} \text{ m} \Leftarrow E = 1 \text{ GeV} = 10^9 \times 1.6 \times 10^{-19})$$

٦ - ١ - المنظومات البصرية :

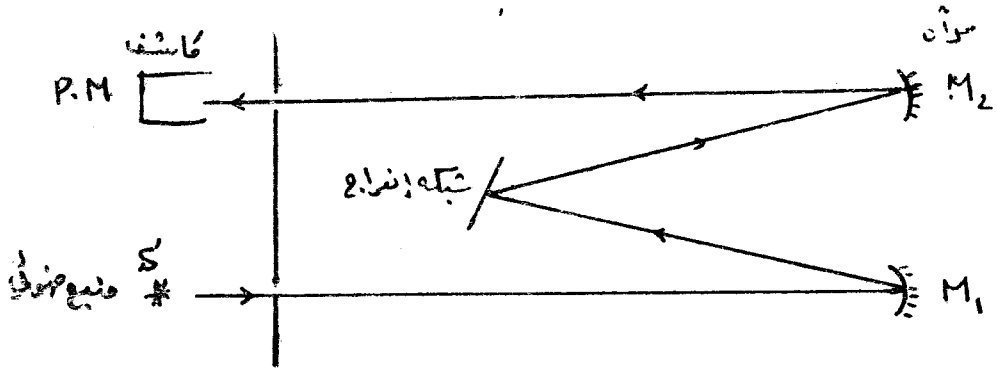
إن الغاية من المنظومة البصرية هو فصل الإشعاعات ذات الأطوال الموجية المختلفة والصادرة عن المادة المثارة ضمن منبع الإثارة والشكل ( ٤ - ١ - أ ) يبين المخطط العام لمنظومة بصرية .



شكل ( ١ - ٤ - أ )

يتركز الضوء الآتي من منبع الإثارة على شق الدخول لمقياس الطيف وذلك بواسطة عدسة . يوضع الشق في محرق العدسة ودوره هو إرسال - على كل طول منظومة الانتثار - حزمة من الإشعاعات المتوازية . تشكل عادة منظومة الانتثار إما موشور كما في الشكل ( ٤ - ١ - ب ) أو شبكة انعراج دورها الرئيسي هو فصل أطوال

الموجات المتجاورة بشدة . تُجمع الحزمة المنتثرة بعد خروجها من المؤشر أو الشبكة بواسطة عدسة حيث تشكل على الكاشف متتالية من أخيلة الشق الذي يشكل الخطوط الطيفية .



شكل ( ١ - ٤ - ب )

يتميز كلاً من المؤشر والشبكة بما يسمى بالشدة التحليلية وهي قياس إمكانية الفصل وبشكل واضح لطريقتين موجبتين قرييتين جداً من بعضهما البعض ويعطى بالعلاقة :

$$R = \frac{\lambda}{\Delta\lambda}$$

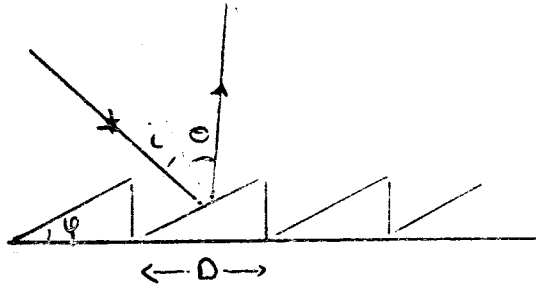
تعتمد الشدة التحليلية على عرض شق الدخول .

شبكة الإنعراج مشكاة من عدد كبير من الخطوط المتوازية متساوية البعد محفورة على الزجاج حيث تستخدم قانون الإنعراج :

$$D (\sin \theta + \sin i) = n \lambda.$$

$n$  الرتبة ،  $i$  زاوية سقوط الأشعة ،  $\theta$  زاوية الإنعراج ،  $D$  المسافة بين الخطين في الشبكة شكل ( ١ - ٥ ) تحت نفس الزاوية  $\theta$  نجد خطوط طيفية من المرتبة الأولى ومن المرتبة الثانية  $\lambda/2$  ومن المرتبة الثالثة  $\lambda/3$  ، متطابقة ، ولإبعاد هذا التطابق يستخدم عادة مرشحات ضوئية .

إن التشتت الزاوي  $d\theta/d\lambda$  ثابت على الأغلب لكل مجال الأطوال الموجية .



شكل ( ١ - ٥ )

#### ٧ - ١ - طرق الكشف عن الإشعاع :

لوحة التصوير : تسجل الخطوط الطيفية على طبقة حساسة موجودة على لوحة التصوير من الزجاج أو حالياً تصنع من البلاستيك .

تحدد الأطوال الموجية للخطوط الطيفية بمقارنتها بطيف عياري مثلاً طيف الحديد الفعني جداً والمعروف بصورة جيدة .

الكشف الكهروضوئي : في المقياسية الطيفية ذات القراءة المباشرة أي معرفة طول الموجة وكذلك شدة الخط الطيفي المراد قياسه . استبدلت اللوحة الحساسة ولوحة التصوير بواسطة مكاثف فوتوني .

منظومة من الشقوق المتحركة وضعت على محور مقياس الطيف ، حيث مجموعة من المرايا والعدسات تمحرق الضوء المار من كل شق على المكاثف الفوتوني . كل مكاثف فوتوني يتحكم إذاً بنحط طيفي ( إصدار أو امتصاص ) .



## الفصل الثاني

### حركة الإلكترون بدون سبين ضمن كون مركزي (دراسة كوانتية)

٢ - ١ - مدخل :

بينت الدراسات السابقة في الفيزياء الكمومية بأنه يمكننا أن نفهم الفيزياء الذرية باستخدام نماذج رياضية بسيطة وطرق تحليل قريبة جداً من الميكانيك الكلاسيكي ، إلا أنه عندما نريد القيام بدراسة مفصلة فيجب إقامة فرضيات أقل وضوحاً وغير اعتيادية وبالتالي يصبح من الصعب أن نؤمن ترابط جيد بين النظرية الكلاسيكية وبين المفاهيم التجريبية .

إن الطرق الكوانتية قد توافقت بصورة يدة مع الفيزياء الذرية وتطورها أتى أولاً عبر الميكانيك الموجي الغير نسبي ، الميكانيك النسبي لديراك ، نظرية الحقول ، هذه النظريات سمحت بفهم ووصف تام لكل الظواهر كما سنراها فيما بعد ، إن مفهوم السبين ظهر كنتيجة لتطور الميكانيك الكمي وسنبين من الآن ، بأن الدراسة الصارمة والدقيقة غير ممكنة إلا في حالة ذرة الهيدروجين وأن دراسة المنظومات الذرية المعقدة لا يتم إلا بإقامة تقريب .

في هذا الفصل سندرس سلوك الإلكترون بدون سبين في كون مركزي حيث تغطي هذه الدراسة ذرة الهيدروجين وكذلك الذرات الشبيهة بها *atomes hydrogenoides*



والسّي تملك الكترون واحد فقط . لن ندخل في دراسة تفصيلية حيث أخذت في محاضرات ميكانيك الكم لكن ستعرض فقط للنقاط الأساسية .

٢ - ٢ - ١ - أولاً حالة حقل كولوني : الأعداد الكوانتية والطاقة :

Cas du champ coulombien . Nombres quantiques et Energie

٢ - ٢ - ٢ معادلة شرودنجر : L' Equation de Schrödinger

سنعالج مسألة إلكترون ذو شحنة  $e$  يتحرك ضمن حقل كهربائي ساكن ( كولوني ) لنواة ، اذا كانت النواة هي بروتون ذو شحنة موجبة ، حالة ذرة الهيدروجين أما اذا كانت النواة ذات شحنة  $2e$  ،  $3e$  ، ... - حالة ذرات شبيهة بالهيدروجين hydrogenoide وبصورة عامة سنأخذ شحنة النواة مساوية إلى  $Ze$  حيث  $Z$  العدد الذري .

تغطي الطاقة الكمونية للإلكترون ضمن حقل كولوني بالعلاقة :

$$V(r) = \frac{c}{r} = \frac{1}{4\pi\epsilon_0} \frac{Ze^2}{r}$$

وبإدخال الكتلة المختزلة للإلكترون :

$$\mu = \frac{mM}{m+M}$$

فإن الهاملتونيان يساوي إلى :

$$H = \frac{-\hbar^2}{2\mu} \Delta + V(r) = \frac{-\hbar^2}{2\mu} \Delta + \frac{c}{r}$$

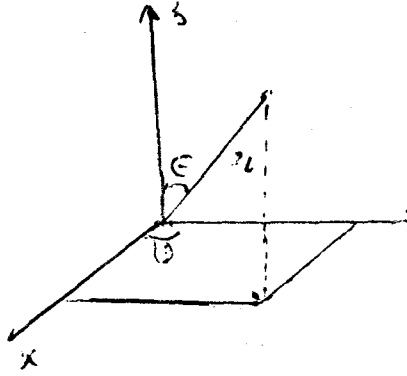
وبالتالي فإن معادلة شرودنجر :

$$\Delta\psi + \frac{2\mu}{\hbar^2} \left( E - \frac{c}{r} \right) \psi = 0$$

يمكننا صياغة المؤثر  $\Delta$  بالإحداثيات القطبية شكل ( ٢ - ١ ) علماً بأن :

---


$$(1) \hbar / (2\pi) = \hbar \text{ واستعضنا عنها بـ } h .$$



شكل ( ٢ - ١ )

$$x = r \cdot \sin \theta \cdot \cos \varphi .$$

$$y = r \cdot \sin \theta \cdot \sin \varphi .$$

$$z = r \cdot \cos \theta .$$

$$\frac{\partial}{\partial \varphi} \psi = \frac{\partial \psi}{\partial x} \cdot \frac{\partial x}{\partial \varphi} + \frac{\partial \psi}{\partial y} \cdot \frac{\partial y}{\partial \varphi} + \frac{\partial \psi}{\partial z} \cdot \frac{\partial z}{\partial \varphi}$$

$$= -y \frac{\partial \psi}{\partial x} + x \frac{\partial \psi}{\partial y} \Rightarrow x \frac{\partial}{\partial y} - y \frac{\partial}{\partial x} = \frac{\partial}{\partial \varphi}$$

$$\frac{\partial \psi}{\partial \varphi} = -r \cdot \sin \theta \cdot \sin \varphi \frac{\partial \psi}{\partial x} + r \cdot \sin \theta \cdot \cos \varphi \frac{\partial \psi}{\partial y}$$

$$\frac{\partial \psi}{\partial \theta} = r \cdot \cos \theta \cdot \cos \varphi \frac{\partial \psi}{\partial x} + r \cdot \cos \theta \cdot \sin \varphi \frac{\partial \psi}{\partial y} - r \cdot \sin \theta \frac{\partial \psi}{\partial z}$$

$$\frac{\partial \psi}{\partial r} = \sin \theta \cdot \cos \varphi \frac{\partial \psi}{\partial x} + \sin \theta \cdot \sin \varphi \frac{\partial \psi}{\partial y} + \cos \theta \cdot \frac{\partial \psi}{\partial z}$$

بعكس هذه العلاقات نحصل على :

$$\frac{\partial \psi}{\partial x} = \sin \theta \cdot \cos \varphi \frac{\partial \psi}{\partial r} + \frac{\cos \theta \cdot \cos \varphi}{r} \cdot \frac{\partial \psi}{\partial \theta} - \frac{\sin \varphi}{r \cdot \sin \theta} \frac{\partial \psi}{\partial \varphi}$$

$$\frac{\partial \varphi}{\partial y} = \sin \theta \cdot \sin \varphi \frac{\partial \psi}{\partial r} - \frac{\cos \theta \cdot \sin \varphi}{r} \cdot \frac{\partial \psi}{\partial \theta} + \frac{\cos \varphi}{r \cdot \sin \theta} \frac{\partial \psi}{\partial \varphi}$$

$$\frac{\partial \psi}{\partial z} = \cos \theta \frac{\partial \psi}{\partial r} - \frac{\sin \theta}{r} \frac{\partial \psi}{\partial \varphi}$$

$$\nabla^2 = \frac{\partial^2}{\partial x^2} + \frac{\partial^2}{\partial y^2} + \frac{\partial^2}{\partial z^2}$$

وأخيراً نجد معادلة شرودنجر بالإحداثيات القطبية :

$$\begin{aligned} \frac{1}{r^2} \frac{\partial}{\partial r} \left( r^2 \frac{\partial \psi}{\partial r} \right) + \frac{1}{r^2 \cdot \sin \theta} \frac{\partial}{\partial \theta} \left( \sin \theta \frac{\partial \psi}{\partial \theta} \right) + \\ \frac{1}{r^2 \sin^2 \theta} \frac{\partial^2 \psi}{\partial \varphi^2} + \frac{2\mu}{h^2} \left( E - \frac{c}{r} \right) \psi = 0 \end{aligned} \quad (2-1)$$

لفصل المتحولات يمكننا إفتراض أن الحل هو من الشكل :

$$\psi(r, \theta, \varphi) = R(r) \cdot Y(\theta, \varphi)$$

بالتعويض نجد :

$$\begin{aligned} \frac{1}{R(r)} \frac{d}{dr} \left( r^2 \frac{dR(r)}{dr} \right) + \frac{2\mu}{h^2} \left( E - \frac{c}{r} \right) = \\ \frac{-1}{Y(\theta, \varphi)} \left[ \frac{1}{\sin \theta} \frac{\partial}{\partial \theta} \left( \sin \theta \frac{\partial Y}{\partial \theta} \right) + \frac{1}{\sin^2 \theta} \frac{\partial^2 Y}{\partial \varphi^2} \right] \end{aligned}$$

يعتمد كلا الحدين في المعادلة السابقة على متحولات مختلفة لايمكن أن تكون متساوية فيما بينها إلا إذا كانت مساوية إلى ثابتة  $\lambda$  وبالتالي فإن المعادلتين التاليتين يجب أن تتحققا في نفس الوقت .

$$(a) . \quad \frac{1}{r^2} \frac{d}{dr} \left( r^2 \frac{dR}{dr} \right) + \left[ \frac{2\mu}{h^2} \left( E - \frac{c}{r} \right) - \frac{\lambda}{r^2} \right] R = 0 \quad (2-2)$$

$$(b) : \quad \frac{1}{\sin \theta} \frac{\partial}{\partial \theta} \left( \sin \theta \frac{\partial Y}{\partial \theta} \right) + \frac{1}{\sin^2 \theta} \frac{\partial^2 Y}{\partial \varphi^2} + \lambda Y = 0$$

المعادلة a متعلقة بالمتحولة r بينما المعادلة (b) متعلقة بكلتا المتحولين  $\varphi, \theta$  ( المتحولات الزاوية ) .

٢ - ٣ : دراسة الجزء الزاوي : partie angulaire

يمكن فصل المعادلة b إذا فرضنا أن :

$$Y(\theta, \varphi) = Y(\theta) \cdot \Phi(\varphi)$$

حيث  $\theta(\theta)$  و  $\Phi(\varphi)$  تحققان المعادلات التفاضلية .

$$\left. \begin{array}{l} \text{a} \quad \frac{d^2 \Phi}{d\varphi^2} \cdot \frac{1}{\Phi} = -K \\ \text{b} \quad \frac{1}{\sin \theta} \frac{d}{d\theta} \left( \sin \theta \frac{d\theta}{d\theta} \right) + \left( \lambda - \frac{K}{\sin^2 \theta} \right) \theta = 0 \end{array} \right\} \quad (2-3)$$

والحل العام للمعادلة (2-3 a) هو من الشكل :

$$\Phi = A e^{i\sqrt{K}\varphi} + B e^{-i\sqrt{K}\varphi}$$

إن وجود حل مقبول فيزيائياً يفرض أن يكون  $\Phi$  تابع دوري للزاوية  $\varphi$  .

$$e^{i\sqrt{K}\varphi} = e^{i\sqrt{K}(\varphi + 2\pi)}$$

أو :

$$\Phi(\varphi) = \Phi(\varphi + 2\pi)$$

$e^{i\sqrt{K}2\pi}$  يجب أن يساوي الواحد وهذا غير ممكن إلا إذا كان  $\sqrt{K}$  عدد كامل أي أن الحل العام مساوي إلى :

$$\Phi = A e^{i m \varphi} \quad (2-4)$$

يفرض  $k = m^2$  حيث m عدد كامل موجب أو سالب :

$$m = 0, \pm 1, \pm 2, \dots$$

نعوض قيمة k في المعادلة b 2-3 بعد فرض أن  $\omega = \cos \theta$  والتابع  $\theta(\theta) = P(\omega)$

نحصل على المعادلة التالية :

$$\frac{d}{d\omega} \left[ (1 - \omega^2) \frac{dp}{d\omega} \right] + \left( \lambda - \frac{m^2}{1 - \omega^2} \right) p = 0 \quad (2-5)$$

في الحالة العامة لهذه المعادلة التفاضلية من الدرجة الثانية حلان مستقلان يصبحان لانهائية . من أجل  $\omega = \pm 1$  ، سندرس مسألة الحالة المرتبطة إلكترون - نواة ، بعدها مهما كانت قيم المتحولات فإن التابع الموجي سيكون معدوم عند مسافة غير محدودة (لانهائية) . والحل العام غير مقبول فيزيائياً إلا إذا :

$$\lambda = l(l+1) \quad \text{مع} \quad l \geq 0 \quad \text{عدد كامل}$$

واحد من الحلول يمكن أن يكون معرف من أجل كل قيم  $\omega$  .

من أجل  $m = 0$  فإن  $P(\omega)$  ستكون كثيرة الحدود لليجنדר Legendre

$m \neq 0$  حل دائماً معرف ، لن يكون ممكناً إلا إذا  $|m| \leq l$  .

في الحالة الأخيرة الحل هو كثيرات الحدود لليجنדר المرافقة  $P_l^{(m)}(\omega)$  بحيث :

$$P_l^{(m)}(\omega) = (1 - \omega^2)^{|m|/2} \cdot \frac{d^{|m|}}{d\omega^{|m|}} \cdot P_l(\omega) \quad (2-6)$$

إذا حل الجزء الزاوي لمعادلة شرودنجر هو :

$$Y_{lm}(\theta, \varphi) = N_{lm} \cdot P_l^{(m)}(\cos \theta) \cdot e^{im\varphi} \quad (2-7)$$

$N_{lm}$  ثابت التنظيم الجدول التالي يعطي القيم المستخدمة لـ  $l$  وكذلك قيم التابع  $Y(\theta, \varphi) \cdot P_l^{(m)}$  هي توابع خاصة لمؤثر العزم الحركي المداري  $L$  ، الأعداد الكوانتية  $m, l$  تسمح بالتعبير عن العزم الحركي المداري المتعلق بحركة الإلكترون .

$$L^2 Y(\theta, \varphi) = l(l+1) \hbar^2 Y(\theta, \varphi)$$

$$L_z Y(\theta, \varphi) = \hbar^2 m Y(\theta, \varphi)$$

$l$	$m$	$P_l^{(m)}(\cos \theta)$
0	0	1

1	1	$\sin \theta$
1	0	$\cos \theta$
2	2	$3 \sin^2 \theta$
	1	$3 \cos \theta \cdot \sin \theta$
	0	$\frac{1}{2} (3 \cos^2 \theta - 1)$
3	3	$15 \sin^3 \theta$
	2	$15 \cos \theta \cdot \sin^2 \theta$
	1	$\frac{3}{2} (5 \cos^2 \theta - 1) \sin \theta$
	0	$\frac{1}{2} (5 \cos^3 \theta - 3 \cos \theta)$

٢ - ٢ - ٤ : دراسة الجزء القطري : Partie radial

رأينا في الفترة السابقة بأن  $\lambda = l(l+1)$  بتغير التابع :

$$R(r) = \frac{\chi(r)}{r}$$

تصبح معادلة الجزء القطري على الشكل :

$$\frac{d^2 \chi}{dr^2} + \left[ \frac{2\mu}{h^2} \left( E - \frac{c}{r} \right) - \frac{l(l+1)}{r^2} \right] \chi = 0 \quad (2-8)$$

بفرض أن :

$$A = -\frac{2\mu E}{h^2} \quad \text{و} \quad B = -\frac{2\mu c}{h^2} \quad \text{و} \quad \lambda = l(l+1) \quad (2-9)$$

سندرس فقط الحالات المرتبطة أي E ذات قيمة سالبة ، والبارامترات A ، B موجبان إذاً :

$$\frac{d \chi}{dr^2} - \left( A - \frac{B}{r} + \frac{\lambda}{r^2} \right) \chi = 0 \quad (2-10)$$

يمكن إيجاد الحل التفصيلي في محاضرات الميكانيك الكمي . لكن سنذكر بالمراحل الأساسية للحل :

(a) : لنبحث عن سلوك مقارب  $\chi(r)$  عندما  $r \rightarrow \infty$  في هذه الحالة يهمل الحدين  $1/r$  و  $1/r^2$  ، وحل المعادلة إذاً :

$$\chi_{asy}(r) = e^{\pm \sqrt{A} \cdot r}$$

(b) : آخذين بعين الاعتبار الحل التقريبي ؛ ومنه فإن  $\chi(r)$  سيكون من الشكل :

$$\chi(r) = u(r) \cdot e^{-\sqrt{A} \cdot r}$$

$u(r)$  كثيرة حدود . لقد اختيرت الإشارة السالبة حتى لا يأخذ التابع الموجي فيه لانهاية من أجل  $r \rightarrow \infty$  ، وهذا فيزيائياً غير مقبول بتعويض  $\chi(r)$  في المعادلة (2-10) نجد :

$$\frac{d^2u}{dr^2} - 2\sqrt{A} \frac{du}{dr} + \left( \frac{B}{r} - \frac{\lambda}{r^2} \right) u = 0 \quad (2-11)$$

(c) : ان الحصول على حل هذه المعادلة التفاضلية سيتم على شكل سلسلة ذات أسس متزايدة لها الشكل :

$$u(r) = \sum_{k=l+1}^{\infty} c_k r^k$$

نشتق ونعوض :

$$\sum_{k=l+1}^{\infty} c_k \{ [k(k-1) - c] r^{k-2} - (2\sqrt{A} - B) r^{k-1} \} = 0$$

نفرض  $k = h + 1$  يصبح الحد الأول من هذه المعادلة على الشكل :

$$\sum_{k=l+1}^{\infty} c_k [k(k-1) - c] r^{k-2} = \sum_{h=1}^{\infty} c_{h+1} [h(h+1) - c] r^{h-1}$$

اكن هذا الحد يساوي الصفر من أجل  $l = h$  حيث  $c = l(l+1)$  إذا فالمجموع يبدأ من  $h = l+1$  ، أخيراً لنضع بدلاً من  $h$  ،  $k$  .

$$\sum_{k=l+1}^{\infty} \{c_{k+1} [k(k+1) - l(l+1)] - c_k (2\sqrt{A}k - B)\} r^{k-1} = 0$$

أي :

$$c_{k+1} = \frac{2\sqrt{A}k - B}{k(k+1) - l(l+1)} c_k$$

هذه العلاقة صحيحة إذا كان هناك عدد كامل  $n = k$  على الأقل مساوي إلى  $l+1$  أي بحيث  $n \geq l+1$

$$2n\sqrt{A} - B = 0 \quad (2-12)$$

إذا تحقق هذا الشرط فإن  $u(r)$  كثيرة حدود معرفة ، بالعودة إلى علاقة  $R(r)$  نجد :

$$R(r) = k \left( \frac{2Zr}{na_1} \right)^l \cdot e^{-Zr/na_1} \cdot L_{\frac{2L+1}{n+1}} \left( \frac{2Zr}{na_1} \right)$$

$a_1$  نصف قطر بور للذرة الهيدروجين ويساوي :

$$a_1 = \frac{2}{B} = \frac{-h^2}{\mu c} = 4\pi\epsilon_0 \frac{h^2}{\mu \cdot e^2}$$

$k$  ثابت التنظيم .

كثيرة الحدود لاغير المرافقة والتي ترتبط بكثيرة حدود لاغير Laguerre بالعلاقة :

$$L_k^s(x) = \frac{d^s}{dx^s} L_k(x)$$



الجدول يعطي بعض القيم لـ  $n$  و  $l$  وعلاقة  $L_{n+1}^{(2l+1)}(x)$

$n$	$l$	$L_{n+1}^{2l+1}(x)$
1	0	$-1 !$
2	1	$-3 !$
3	2	$-5 !$
4	3	$-7 !$
2	0	$2x - 4$
3	1	$24x - 96$
4	2	$120 - 5760$
3	0	$-3x^2 + 18x - 18$
4	1	$-60x^2 + 600x - 1200$
4	0	$4x^3 - 48x^2 + 144x - 96$

والشكل ذي الرقم ( ٢ - ٢ ) يبين شكل التابع القطري  $R(r)$  .

الخطوط المنقطة تمثل القيم النسبية لـ  $RR^*$  و  $a_1$  نصف قطر بور  $a_1 \sim 0.53 A^\circ$  .

٢ - ٢ - ٥ - النتائج الأساسية :

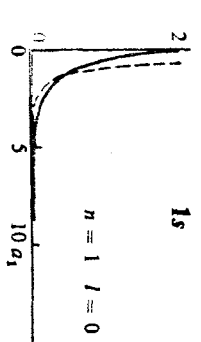
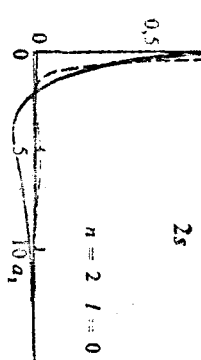
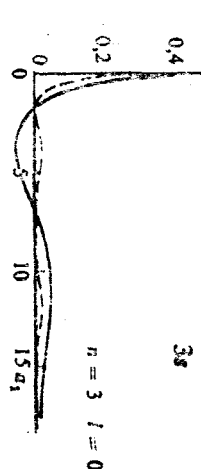
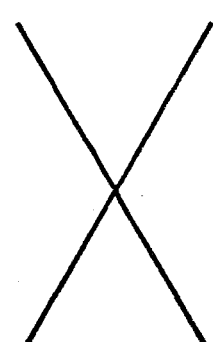
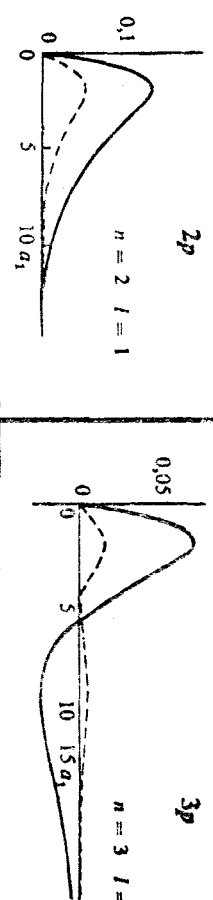
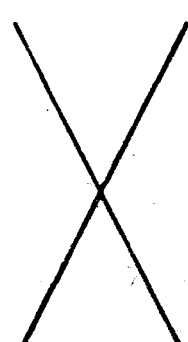
أدى حل معادلة شرودنجر إلى إيجاد :

١ - العدد الكوانتي المغناطيسي  $m$  في الجزء الزاوي لـ  $\phi$  يسمح هذا العدد  $(m)$  بالحصول

على القيم الممكنة ملاحظتها للمركبة  $L_z$  ( العزم الحركي المداري ) .

٢ - العدد الكوانتي الزاوي  $l$  والذي يسمح بإيجاد الحل المقبول لـ  $\theta(\theta)$  والذي

يجب أن يحقق الشرط  $|m| \geq l$  . يميز  $l$  كمية العزم الحركي المداري .

	$n = 1$	$n = 2$	$n = 3$
$l = 0$	 <p>1s <math>n = 1 \quad l = 0</math></p>	 <p>2s <math>n = 2 \quad l = 0</math></p>	 <p>3s <math>n = 3 \quad l = 0</math></p>
$l = 1$	 <p>2p <math>n = 2 \quad l = 1</math></p>	 <p>3p <math>n = 3 \quad l = 1</math></p>	
$l = 2$	 <p>3d <math>n = 3 \quad l = 2</math></p>		

شکل (۲-۲)

٣ - العدد الكوانتي الرئيسي  $n$  الذي أدخل في القسم القطري لحل المعادلة والذي يحقق :

$$n \geq l + 1$$

٤٣ - القيم الخاصة للهاملتونيان  $H$  أي القيم الممكنة للطاقة الكلية للمجموعة الكترون - نواة والتي يتم الحصول عليها من الشرط (12 - 2) .

$$B = n \cdot 2 \cdot \sqrt{A} = (l + p + 1) 2 \sqrt{A}$$

$$- 2 \mu c / h^2 = n \cdot 2 \sqrt{- 2 \mu E / h^2}$$

بتربيع الطرفين :

$$4 \mu^2 c^2 / h^2 = - 4 n^2 \frac{2 \mu E}{h^2}$$

$$4 \mu^2 \frac{Z^2 e^4}{16 \pi^2 \epsilon_0^2 h^4} = - 4 \frac{n^2 \cdot 2 \cdot \mu \cdot E}{h^2}$$

$$E = - \frac{Z^2 e^4 \mu}{16 \pi^2 \epsilon_0^2} \cdot \frac{1}{n^2 h^2} = - \frac{Z^2 \cdot R \cdot h \cdot c}{n^2} \quad (2 - 14)$$

حيث  $R$  ثابت رايدبرغ .

إذاً وجدنا قيمة الطاقة لذرة الهيدروجين والتي تعطي كل السلاسل الطيفية له .  
قيم الطاقة هذه تعتمد على العدد  $n$  . ولاتدخل قيم  $l$  و  $m$  ، أي أنه هناك العديد من الحالات الكوانتية المميزة المنفصلة والمطابقة لنفس قيمة الطاقة  $E$  ، نقول عن هذه المستويات من الطاقة بأنها متوالدة ورتبة توالدها مساوي إلى عدد هذه الحالات الكوانتية المنفصلة أي عدد التوافقيات الممكنة والتي يمكن أن نشكلها مع مختلف قيم  $l$  و  $m$  .

علماء بأن نظرية المدارات الدائرية لبور لاتدخل مفهوم التوالد .

ملاحظة :

لتمييز الحالات الإلكترونية المختلفة نستخدم عادة زوج مؤلف من عدد من حرف يرمز لقيم  $l$  .

4	3	2	1	0	قيمة العدد الكوانتي l
g	f	d	p	s	الحرف الرامز

لقيم  $l > 3$  نتبع التسلسل الأبجدي ، الأحرف  $d, p, s \dots$  ليس لها أي تفسير وإنما فرضت هكذا .

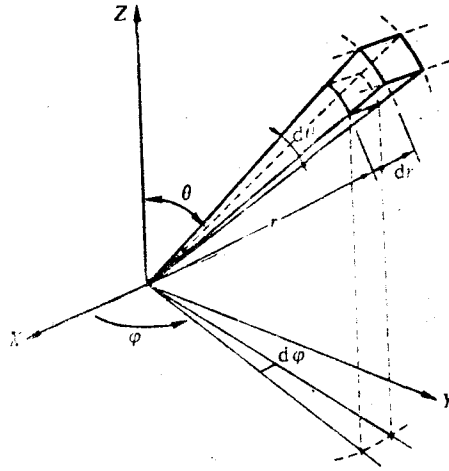
### ٢ - ٣ - احتمال وجود الإلكترون ضمن ذرة هيدروجينية :

إن المعلومات عن توزيع الإلكترون يتم الحصول عليها بإحتمال وجوده . والمعطى بالعلاقة :

$$\psi(r, \theta, \phi) \times \psi^*(r, \theta, \phi) dV$$

حيث يُمثل احتمال وجود الإلكترون ضمن حجم  $dV$  المحدد كما في الشكل (٢ - ٣) حيث  $\psi^*(r, \theta, \phi)$  المرفق العقدي لـ  $\psi$  .

$$dV = r^2 \sin \theta dr d\theta d\phi .$$



شكل (٢ - ٣)

إن تنظيم التابع الموجي  $\psi$  يفرض أن يكون :

$$\int \psi \psi^* r^2 \sin \theta d\theta d\phi = 1 \quad (2-15)$$

حيث  $\Phi = R \theta \psi$  يمكن كتابة (15-2) بالشكل :

$$\int R \cdot R^* r^2 dr = 1 \quad (2-16)$$

$$\int \theta \cdot \theta^* \cdot \sin \theta d\theta = 1 \quad (2-17)$$

$$\int \Phi \Phi^* d\varphi = 1. \quad (2-18)$$

تسمح هذه العلاقات الثلاث بحساب ثوابت التنظيم السابقة ، إن صيغة الوابع  $R(r)$  و  $Y(\theta, \varphi)$  هي :

$$R(r) = - \sqrt{\left(\frac{2Z}{na_1}\right)^3 \frac{(n-l-1)}{2n[(n+l)!]^3}} \cdot \left(\frac{2Zr}{na_1}\right)^l \cdot e^{-Zr/na_1} \cdot L_{n+l}^{2l+1}\left(\frac{2Zr}{na_1}\right)$$

من أجل  $m > 0$  :

$$Y(\theta, \varphi) = \sqrt{\frac{2l+1}{4\pi} \frac{(l-m)!}{(l+m)!}} (-1)^m P_l^m(\cos \varphi) e^{im\varphi}$$

ومن أجل  $m < 0$  نستخدم العلاقة :

$$Y_l^{-m} = (-1)^m Y_l^{m*}$$

**الإحتمال القطري : Probabilité radiales**

إن العلاقة التالية

$$D(r) dr = R \cdot R^* \cdot r^2 dr$$

تمثل احتمال وجود الكترون بين الكرة ذات القطر  $r$  والكرة ذات القطر  $r + dr$ .  
بدءً من العلاقة التحليلية للتابع  $R$  يمكننا أن نرسم  $D(r)$  كتابع لـ  $r$  والشكل (٢-٤) يمثل كثافة الإحتمال  $D(r)$  لعدد معين من الحالات الكوانتية . سنلاحظ أن العدد صفر للتابع  $D(r)$  يساوي إلى العدد الكوانتي القطري  $n_r$  الذي أدخل من قبل سومر فيلد  $n_r = n - k$  حيث نطابقه هنا  $k$  مع  $l + 1$ .

من الشكل نجد أن إحتمال الوجود لايساوي الصفر في المبدأ عندما  $r = 0$  في حالة المدار  $s$  هذه النتيجة نوعية للمعالجة الكوانتية ومهمة جداً .



## الإحتمال الزاوي : Probablité's angulaires

حسب العلاقات (2-17) و (2-18) نجد :

$$D(\varphi) d\varphi = \Phi_m \Phi_m^* d\varphi .$$

تمثل هذه العلاقة احتمال إيجاد الإلكترون ضمن منطقة من الفراغ محدود بمستويين يمران من المحور  $oz$  ويعملان زوايا  $\varphi$  ،  $\varphi + d\varphi$  مع المحور  $x$  . إن هذا الإحتمال يساوي دائماً  $2\pi |d\varphi|$  وهذا يعني أن توزيع الإلكترونات له تناظر حول المحور  $oz$  .

بينما يمثل الحد  $\theta \cdot \sin \varphi d\theta$  احتمال أن يصنع الشعاع الكائن بين النواة والإلكترون مع المحور  $oz$  زاوية تتراوح بين  $\theta$  و  $\theta + d\theta$  ، لكن الزاوية الصلبة  $d\Omega$  المطابقة للشكل ( ٣ - ١ ) .

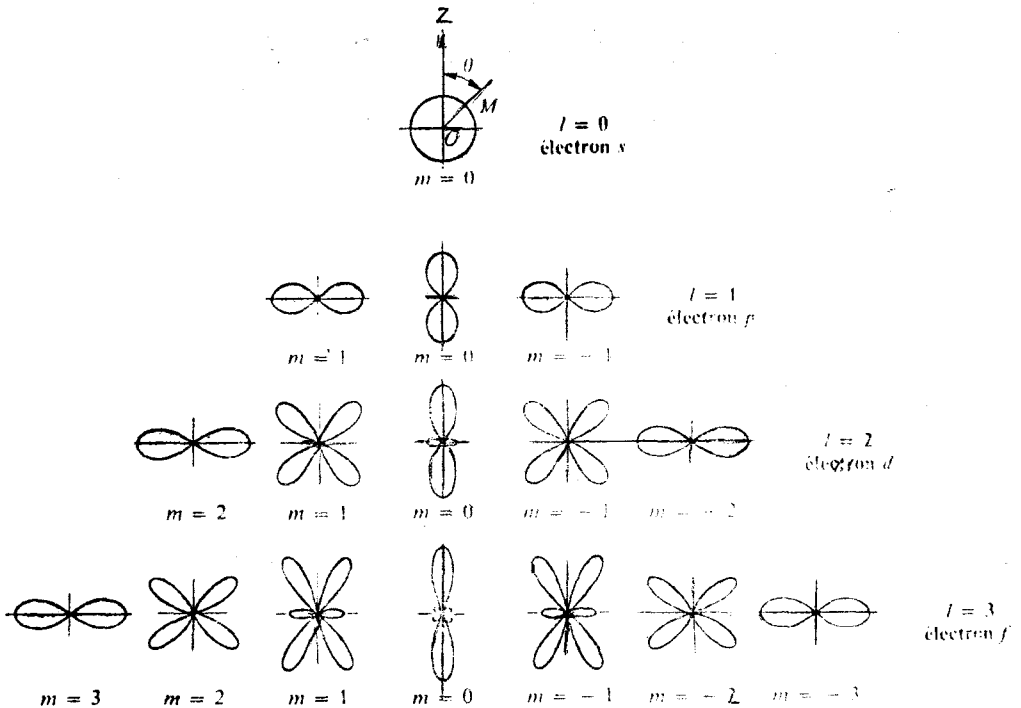


Figure 4. Densité de probabilité angulaire  $D(\theta)$  en coordonnées polaires.

شكل ( ٢ - ٥ )

$$d\Omega = 2\pi \cdot \sin \theta d\theta .$$

و :

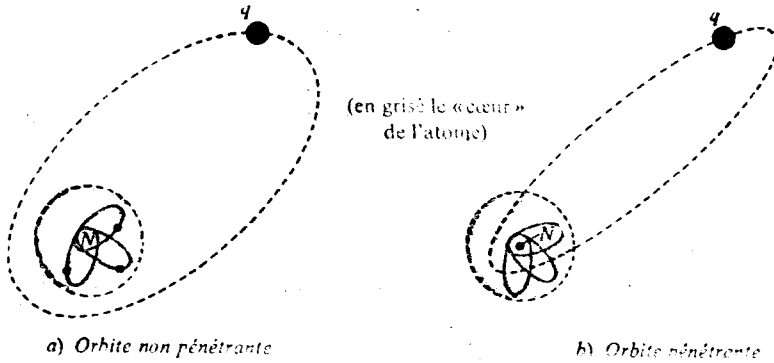
$$\theta \theta^* \sin \theta d\theta = \theta \theta^* \frac{d\Omega}{2\pi}$$

والشكل (٢ - ٤) يبين الكثافة الإحصائية الزاوية  $D(\theta)$  بالاحداثيات القطبية ، حيث نلاحظ أن المدار  $s$  له تناظر كروي .

٢ - ٤ - حالة كمون مركزي غير كولوني :

سندرس في هذه الفقرة حركة الإلكترون خارجي يتفاعل مع قلب الذرة المشكل من النواة والإلكترونات الأخرى حيث المجموعة كلها ذات تناظر كروي ، وهي حالة الذرات القلوية أو الذرات الشبيهة بالهيدروجين .

٢ - ٤ - ١ - مدارات متداخلة ومدارات غير متداخلة :



شكل (٢ - ٦ - ب) مدار متداخل شكل (٢ - ٦ - أ) مدار غير متداخل

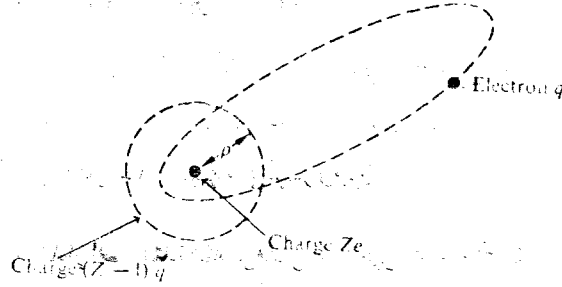
الأول هو حالة مدار غير متداخل الإلكترون خارجي كما في الشكل (٢ - ٦ - أ) إذا قبلنا بأن التناظر المتوسط للغمامة المشكلة من قبل  $Z - 1$  إلكترون داخلي هو كروي ، فإن الإلكترون يرى كمون كهربائي ساكن ناتج عن شحنة  $Ze$  للنواة ولتوزيع كروي للشحنة  $(Z - 1)q$  .

إذا سيكون خاضع للكمون مطابق إلى الكمون الناتج عن شحنة واحدة  $e$  وتبقى المعالجة التي تمت بالنسبة للذرة الهيدروجين في هذه الحالة صحيحة .



— على العكس إذا كان مدار الإلكترون الخارجي داخل ضمن قلب الذرة شكل ( ٢ - ٦ - ب ) فإن الدراسة ستكون أكثر تعقيداً . إن  $Z - 1$  إلكترون داخلي تكون موزعة على كرة ذات نصف قطر  $\rho$  .

إن تطبيق نظريات الكهرباء الساكنة يسمح بإيجاد كمون كهربائي ساكن  $V_{ext}$  و  $V_{int}$  في داخل وفي خارج الكرة ذات نصف القطر  $\rho$  شكل ( ٢ - ٧ ) .



شكل ( ٢ - ٧ )

لدينا : الكمون خارج الكرة

$$V_{ext} = \frac{1}{4\pi \epsilon_0} \frac{e^2}{r}$$

في داخل الكرة ذات نصف القطر  $\rho$  الكمون داخل الكرة هو :

$$V_{int} = \frac{1}{4\pi \epsilon_0} \frac{Ze^2}{r} + \text{etc.}$$

تُحدّد قيمة الثابتة بكتابة استمرارية تابع الكمون أثناء الإنتقال من الكرة ذات نصف القطر  $\rho$

$$V_{int} = \frac{1}{4\pi \epsilon_0} \left( \frac{Ze^2}{r} + \frac{e^2}{\rho} - \frac{Ze^2}{\rho} \right)$$

٢ - ٤ - ٢ - نموذج كوانتي للذرات بالإلكترون خارجي واحد :

رأينا أثناء دراسة الحالات الكوانتية الهيدروجينية بأنه من غير الممكن توضع

الإلكترونات على مدارات محددة ، إن مفاهيم المدار المتداخل والمدار غير المتداخل يجب أن يتحقق .

سنأخذ فقط بأنه عندما يكون الإلكترون بالقرب من النواة فإنه يرى طاقة كونية :

$$V(r) = \frac{-1}{4\pi \epsilon_0} \frac{Z e^2}{r} + \text{cte} .$$

وعلى مسافة كبيرة من النواة يرى الكمون :

$$V(r) = \frac{-1}{4\pi \epsilon_0} \frac{e^2}{r}$$

سنبداً حل معادلة شرودنجر بتحديد كمون مركزي شكله التحليلي يوصف بشكل جيد الفترة وهو في تطابق جيد مع النتائج التجريبية .

بصورة عامة فإن الحل لا يتم إلا عددياً . هناك العديد من الطرق المستخدمة ( Hartree , Thomas - Fermi ) . وهي طرق صعبة لكن سنستخدم تقريب مختصر للمشكلة ، سنأخذ تابع الطاقة الكونية من الشكل :

$$V(r) = \frac{-1}{4\pi \epsilon_0} \frac{e^2}{r} \left( 1 + \frac{b}{r} \right) = \frac{c}{r} \left( 1 + \frac{b}{r} \right)$$

عندما  $r$  كبيرة الإلكترون بعيد عن النواة

$$V(r) = \frac{-1}{4\pi \epsilon_0} \frac{e^2}{r}$$

عندما  $r$  صغيرة الإلكترون بجانب النواة

$$V(r) = \frac{-1}{4\pi \epsilon_0} \frac{Z e^2}{r}$$

وبالتالي يمكننا تعيين المعامل  $b$  .

بتعويض قيمة  $V(r)$  في القسم القطري من معادلة شرودنجر الموجودة سابقاً نجد :

$$\frac{d^2\chi}{dr^2} + \left[ \frac{2\mu}{h^2} E - \frac{2\mu}{h^2} \frac{c}{r} \left( 1 + \frac{b}{r} \right) - \frac{l(l+1)}{r^2} \right] \chi = 0$$

باستخدام كميات مختزلة المعرفة بـ (2-9) نجد :

$$\frac{d^2\chi}{dr^2} - \left[ A - \frac{B}{r} + \frac{-Bb + l(l+1)}{r^2} \right] \chi = 0$$

إذا فرضنا  $l^*$  عدد ما :

$$l^*(l^* + 1) = l(l + 1) - Bb \quad (2-21)$$

فإن المعادلة القطرية تأخذ نفس الشكل كما في الكفقره السابقة مع اختلاف ، هو أن  $l^*$  ان يكون عدد صحيح والحل سيكون من الشكل :

$$\chi(r) = e^{-\sqrt{A} r} \cdot u(r)$$

لن يكون هناك معنى فيزيائي إلا إذا كان لكثيره الحدود  $u(r)$  عدد محدود من الحدود .

من أجل أن تسمح بذلك علاقات التكرار المتعلقة بمعاملات كثيرة الحدود  $u(r)$  فمن الضروري أن يكون  $p$  عدد صحيح موجب أو معدوم :

$$B = 2(l^* + 1 + p) \sqrt{A}$$

بعد تعويض قيمة  $A$  و  $B$  نجد :

$$E = \frac{-R \cdot h \cdot c}{(l^* + p + 1)^2}$$

نلاحظ ظهور عدد  $p$  كامل في عبارة الطاقة وكذلك  $l^*$  المتعلق بالعدد الكوانتي  $l$  :

$T$  - ندعو  $n$  بالعدد الكوانتي الرئيسي والذي يساوي :

$$n = l + p + 1$$

ب - ندعو  $n^*$  بالعدد الكوانتي الفعال :

$$n^* = l^* + p + 1 = n - \Delta l$$

$$\Delta l = l - l^*$$

مع

ويمكننا أن نكتب عبارة الطاقة :

$$E = \frac{-R h c}{n^{*2}} = \frac{-R h c}{(n - \Delta l)^{*2}}$$

إذا كانت قيمة  $b$  صغيرة فإن  $l = l^*$  ، من السهل إيجاد بدءاً من العلاقة  $\Delta l (2 - 21)$  :

$$\Delta l \approx \frac{B \cdot b}{2l + 1} = \frac{1}{l + \frac{1}{2}} \frac{b}{a_1}$$

وبالتالي فإن سويات الطاقة تابع لـ  $n$  و  $l$  ، وستكون :

$$E_{n,l} = \frac{-R \cdot h \cdot c}{\left( n - \frac{b}{a_1} \frac{1}{l + \frac{1}{2}} \right)^2} \quad (2 - 22)$$

إن الدراسة التي قمنا بها وذلك باستخدام الكمون

$$V(r) = \frac{c}{r} \left( 1 + \frac{b}{r} \right)$$

تسمح لنا بأن نرى أن التوالد بـ  $l$  ، والمميز للمدارات الهيدروجينية قد ازداد وبأن مستوى الطاقة مميز بواسطة العددين الكوانتيين  $n$  و  $l$  .

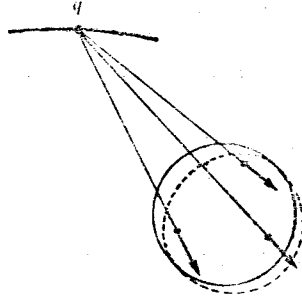
من العلاقة (2 - 22) نلاحظ أن القيمة الجبرية للطاقة تابع متزايد لـ  $l$  وسنرى فيما بعد المستويات المتعاقبة  $E_{n,l}$  على سلم الطاقة هذا الترتيب متعلق بشكل الكمون  $V(r)$  .

الجدول التالي يبين بعض القيم للعدد الكوانتي الفعال  $n^*$  لذرة الصوديوم والمحسوب من قيم تجريبية للطاقة ؛ وذلك لقيم مختلفة لـ  $n$  و  $l$  .

	$n = 3$	$n = 4$	$n = 5$	$n = 6$
$l = 0$	1.627	2.643	3.648	4.651
$l = 1$	2.177	3.133	4.138	5.441
$l = 2$	2.99	3.989	4.987	5.989

$l = 3$	—	4.001	5.001	6.008
$l = 4$	—	—	—	—
$l = 5$	—	—	—	—
$l = 6$	—	—	—	—

من الجدول نلاحظ عندما تزداد قيم  $n$  و  $l$  فإن  $n^*$  تأخذ قيم مجاورة أو قريبة من  $n$  ، هذه هي الحالة المطابقة للمدارات الغير متداخلة . أما عندما تتجاوز  $n^*$  قيمة  $n$  فهذا يعود إلى النموذج الرياضي ويجب استخدام نظريات أدق تأخذ بعين الاعتبار التشويه بالنسبة للتناظر الكروي لقلب الذرة تشويه ناتج عن الحقل الكهربائي الناتج عن الإلكترون الخارجي . الشكل ( ٢ - ٨ ) .



Polarisation du cœur sous l'influence du champ électrique de l'électron.  
En gris le cœur qui a perdu la symétrie sphérique.

### الشكل ( ٢ - ٨ )

— استقطاب قلب الذرة تحت تأثير الحقل الكهربائي للإلكترون .

— ( الخط المنقط ) : قلب فقد تناظره الكروي .

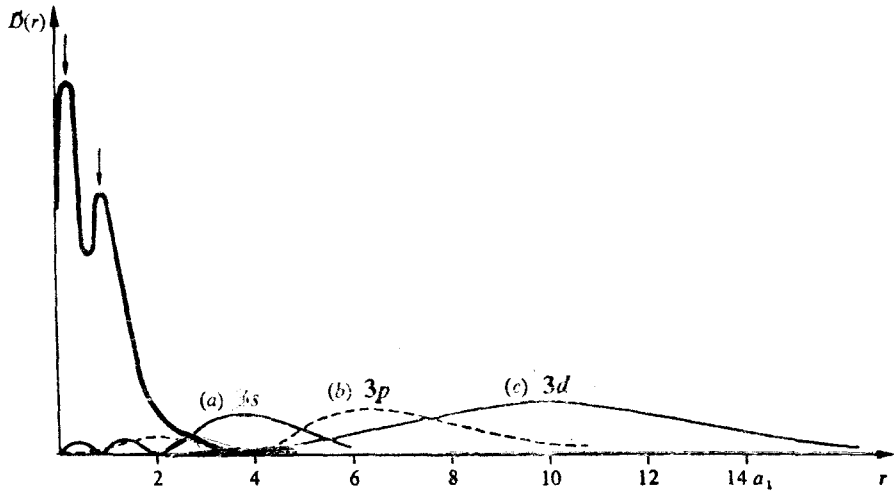
والشكل ( ٢ - ٩ ) يعطي مخطط الكثافة لإحتمالية لذرة الصوديوم الخط

العريض يمثل الكثافة الإحتمالية القطرية لإيجاد واحد من الإلكترونات القلب .

الخطوط  $a$  و  $b$  و  $c$  تمثل على التوالي الكثافات الإحتمالية القطرية للإلكترون الخارجي

في الحالات الكوانتية  $3s$  ,  $3p$  ,  $3d$  ، حيث نلاحظ أن احتمال إيجاد إلكترون  $3d$  ضمن

القلب ضعيف جداً ويعتبر المدار 3d غير متداخل .



شكل ( ٢ - ٩ )



## الفصل الثالث

### تقريب الإلكترونات المستقرة في كيون مركزي (التشكيلات الإلكترونية)

٣ - ١ - التأثيرات المختلفة في ذرة معقدة :

**Les differentes interaction dans un atome complex**

درسنا في الفصل السابق نموذجين بسيطين ، ذرة الهيدروجين ( حركة الكترون بدون سبين ضمن كيون كهربائي ساكن ( وذرات المعادن القلوية ) حركة الكترون خارجي بدون سبين ) وفي كلا الحالتين أهملنا العديد من التفاعلات المتبادلة ولكن في حالة دراسة كاملة للذرة معقدة يجب إدخال :

- (a) - التأثير المتبادل بين النواة المفروضة نقطية ، وبين الإلكترونات .
  - (b) - التأثير المتبادل بين الإلكترونات مع بعضها البعض .
  - (c) - التأثير المتبادل المغناطيسي لسبين الإلكترونات مع حركة المدار .
  - (d) - التأثير المتبادل للعزوم المغناطيسية لسبين الإلكترونات فيما بينها .
- إن وصف نواة ذرة يكون معقد لذلك يجب تصور حدود أخرى .
- (e) - تأثير متبادل للعزوم المغناطيسية المدارية أو سبين الإلكترونات مع العزم المغناطيسي للنواة .

(f) - بالإضافة ؛ فإنه من المفيد عمل تصحيح يترجم الشكل الغير نقطي للنواة وكذلك توزع الشحن النووية عندما لا تملك توزيع كروي .

من كل ماسبق نرى أن دراسة ذرة هي مشكلة معقدة جداً ، لذلك نسعى إلى حل تقريبي يمكن ان يتم بإهمال بعض الحدود . إن الحدين  $e$  و  $f$  ، يمكن إهمالهما لأنهما لا يؤثران على مستويات الطاقة إلا بانتقال ضعيف جداً .

من أجل معظم الذرات يمكننا إيجاد معظم الأفكار بعمل الفرضيتين التاليتين :

( $\alpha$ ) - استخدام معادلة شرودينجر الغير نسبية .

( $\beta$ ) - إن التأثير المتبادل (d) سين - سين ، أضعف من التأثير المتبادل  $c$  ، سين

- سين هاتين الفرضيتين غير صحيحين بالنسبة لذرة الهيدروجين والليوم ، كما سنرى فيما بعد ، بعد الأخذ بعين الاعتبار لـ  $c, d$  ، فإن معادلة شرودينجر للحملة ذرية تكون معقدة جداً ولا نعلم حلها إلا باستخدام تقريبات متعاقبة والحدود الأكثر أهمية للهاملتونيان تكون مطابقة للتأثير الكهربائي الساكن :

$$H = \sum_i -\frac{\hbar^2}{2m} \Delta_i - \frac{1}{4\pi \epsilon_0} \frac{Ze^2}{r_i} + \sum_{j>i} \frac{1}{4\pi \epsilon_0} \frac{e^2}{r_{ij}}$$

المراجعة  $i > j$  ضرورة لتجنب العد مـرتين ، الحد  $\Delta_i, r_{ij}$  مؤشر الابللاسيان للإلكترون  $i$  المسافة بين النواة والإلكترون ؛  $r_{ij}$  المسافة بين الإلكترون  $i$  ، والإلكترون  $j$  .

### ١ - التقريب الأول :

نفرض بأن الإلكترونات مستقلة فيما بينها وتخضع لكمون مركزي  $V(r)$  في هذه الحالة يصبح الهاملتونيان على الشكل :

$$H_0 = \sum_i \left( -\frac{\hbar^2}{2m} \Delta_i + V(r_i) \right)$$

بالطبع فإنه يمكننا أن نأخذ كصيغة لـ  $V(r) = (-1/4\pi \epsilon_0) (Ze^2/r_i)$  والتقريب



في هذه الحالة سيكون سييء لأنه لم نأخذ بعين الاعتبار التأثير المتبادل إلكترون - إلكترون ، ولتحسين التقريب الأول نحاول أن نمثل بصورة أفضل الحدين :

$$-\frac{1}{4\pi\epsilon_0} \frac{Ze^2}{r_i} + \sum_{j>i} \frac{1}{4\pi\epsilon_0} \frac{e^2}{r_{ij}}$$

بواسطة كمون مركزي  $V(r)$  . وبهذا نكون عممنا الفصل السابق في حالة ذرة الهيدروجين وذرات العناصر القلوية . حيث التأثير المتبادل لإلكترون خارجي مع قلب النواة يأخذ بعين الاعتبار وذلك بتغير صيغة الكمون . بشكل حدسي فإنه يمكننا تصور نتيجة الحركة الدورية للإلكترونات ، القيمة المتوسطة لقوى التأثير المتبادل الكهربائية الساكنة إلكترون - إلكترون هي قوة مركزية . وبالتالي فإن حل شرودينجر مع  $H_0$  يتم بدقة .

## ( 2 ) التقريب الثاني :

يجب تصحيح نتائج التقريب السابق وأيضاً إضافة الحدود المغناطيسية المهمة أي أن نفرض :

$$H = H_0 + T_1 + T_2$$

$T_1$  يمثل الخطأ المرتكب أثناء إستبدال حدي التأثير المتبادل الكهربائي الساكن لـ  $V(r_i)$  أي :

$$T_1 = \sum_i \left[ -\frac{1}{4\pi\epsilon_0} \frac{Ze^2}{r_i} \right] + \sum_{j>i} \left[ \frac{1}{4\pi\epsilon_0} \frac{e^2}{r_{ij}} - V(r_i) \right]$$

لقد اخترنا  $V(r_i)$  بحيث يكون  $T_1$  أصغر ما يمكن .

$T_2$  يمثل التأثير المتبادل السبين - مدار .

يجب أن نضع هنا ملاحظة هامة جداً تحت الشكل الضمني لـ  $T_1$  لا يظهر إلا التصحيح الناتج عن التأثير المتبادل إلكترون - إلكترون . لكن عندما تعتبر الإلكترونات

كجزيئات تملك سبين فإن الحل لـ  $H_0 + T_i$  يندخل وصف حالة السبين للإلكترونات وذلك تابع لحد المتبادل  $K_{ij}$ .

٣ - ٢ - مستويات الطاقة لمجموعة ذات  $N$  الكتلون مستقل ضمن كمون مركزي - التشكيلات :

Niveaux d'énergie : مستويات الطاقة : ١ - ٢ - ٣

يمكن أن نضع الهاملتونيان  $H_0$  تحت الشكل :  $H_0 = \sum_i h_i$  حيث :

$$h_i = \frac{-\hbar^2}{2m} \Delta_i + V(r_i)$$

إن القيم الخاصة لـ  $H_0$  هي مجموع القيم الخاصة  $E_i$  للمؤثر  $h_i$ .

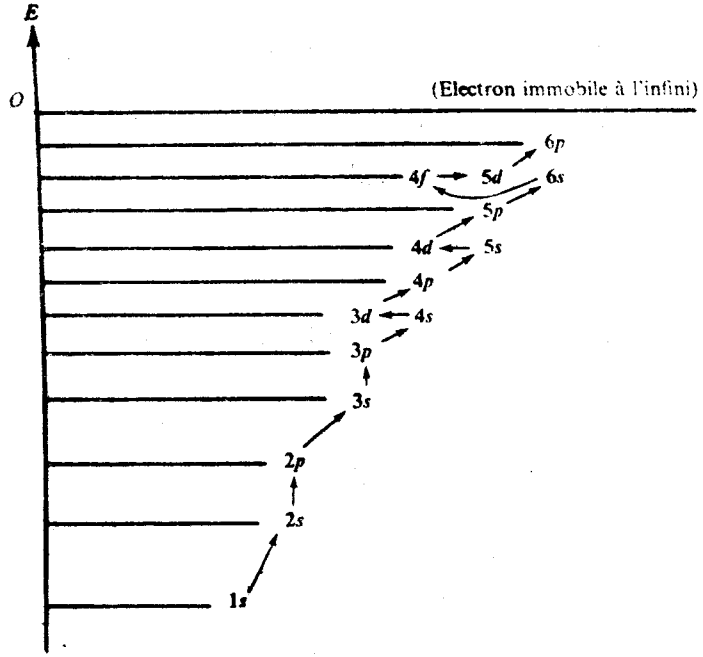
وجدنا في الفصل السابق أن مستويات الطاقة تابع لعدد كوانتين  $n, l$ . دارسين بشكل أكثر دقة نتحقق بأن الوضع التالي لهذه المستويات يعتمد على القيمة الصحيحة الطاقة الكمون  $V(r)$  حيث تتعاقب بقيم متزايدة للطاقة كما هو في الشكل (٣ - ١).

حيث كل مستوي موصوف بالعدد  $n, l$  (بحرف). نجد من أجل كل قيمة لـ  $n$  فإن الطاقة تابع متزايد للعدد الكوانتي  $l$ . (طاقة المدار الدائري أكثر ارتفاعاً من طاقة المدار البيضوي ذو نفس القطر) إذاً لإيجاد مستويات الطاقة المطابقة لـ  $H_0$  نطبق نظرية الجزيئات المتطابقة حيث التابع الخاص للمؤثر  $H_0$  هو معينة Slater

$$\psi_A = \frac{1}{\sqrt{N!}} \begin{vmatrix} \varphi_1(1) & \varphi_1(2) & \dots & \varphi_1(N) \\ \varphi_2(1) & \varphi_2(2) & \dots & \varphi_2(N) \\ \vdots & \vdots & \ddots & \vdots \\ \varphi_N(1) & \varphi_N(2) & \dots & \varphi_N(N) \end{vmatrix}$$

أو تحت الشكل المكثف :

$$\psi = |\varphi_1 \varphi_2 \dots \varphi_N|$$



الشكل ( ٣ - ١ )

وللتفصيل بصورة أوسع يمكن العودة إلى كتاب - الميكانيك الكم - ( د . قيصر .. )

٣ - ٢ - ٢ : وصف الحالات الإلكترونية ، مدار ، مدار جزئي ، تشكيلات  
الكرونية ( البنية الالكرونية ) :

حسب الفقرة السابقة إن التابع الموجي الكلي لذرة مشكلة من  $N$  إلكترون مستقل ،  
فإنج بدءاً من التتابع الموجية لإلكترونات هذه الذرة ، سنوصف إذاً حالة الذرة المطابقة  
لكل حالة من مستويات الطاقة السابقة وذلك بوصف حالة كل واحد من إلكتروناته  
وسنحدد بصورة خاصة العددين  $n$  و  $l$  لكل إلكترون .

إن تقريب الكمون المركزي يسمح بإظهار الإلكترونات المطابقة لنفس قيمة  $n$   
تكون موضوعة على مسافة متوسطة يمكن ممتارنها مع مركز القوة ، ينتج عن ذلك  
أن  $V(r_i)$  له نفس القيمة . نقول بأن الإلكترونات المطابقة لنفس قيم  $n$  تكون على نفس

المدار ( الطبقة ) الإلكترونية . ونقول عن الإلكترونات التي تملك نفس ( الطبقة ) وبالإضافة تملك نفس العدد الكوانتي  $l$  أن لها نفس الطبقة الجزئية ( مدار جزئي ) سنرمز لكل طبقة جزئية برقم مساوي إلى العدد  $n$  متبوع بحرف مميز للعدد  $l$  .

نحصل على الوصف الكلي لحالة الذرة ، بالإشارة إلى كل طبقة جزئية ينتمي إليها الإلكترون ونقول عن هذا الوصف بأنه التشكيل Configuration للذرة .

مثال :

يرمز التشكيل يحثري الكترونات في  $1s$  والكترونات في  $2s$  ، و  $6$  الكترونات في  $2p$  بـ  $1s^2 2s^2 2p^6$  .

من بين كل التشكيلات للذرة فإن تشكيل واحد فقط يملك طاقة دنيا يقال عنه بأنه يشكل المستوى الأساسي ( القاعدي ) المطابق للبيئة الأكثر إستقراراً . وكل التشكيلات الأخرى تدعى بالحالات المحرصة .

٣ - ٣ : مبدأ باولي والتوالد لتشكيل الكتروني :

Principe de pauli et dégenescence d'une configuration

٣ - ٣ - ١ : الأعداد الكوانتية الأربعة ومبدأ باولي :

في الفصل السابق وجدنا ثلاث أعداد كوانتية  $n$  و  $l$  و  $m$  حيث العددين الكوانتيين  $n$  و  $l$  ، يميزان العزم الحركي الناتج عن حركة مدار الإلكترون . يلزمنا الآن إدخال العزم الحركي لسبين الإلكترون والمميز بالعدد الكوانتي  $m_s$  الذي يأخذ القيمة  $\pm \frac{1}{2}$  ، إن التابع الموجي للإلكترون يجب أن يتغير ليأخذ بعين الاعتبار السبين بإختصار فإن الإلكترون في الذرة سيميز بأربع أعداد كوانتية :

$n$  : العدد الكوانتي الرئيسي

$l$  : العدد الكوانتي المعروف لعزم كمية الحركة المداري  $\sigma_l$  .

$m_l$  : يعرف مركبات  $\sigma_l$  على محور الكنتمة .

$m_s = \pm \frac{1}{2}$  : يعرف مركبات السبين الإلكترونية .

أما مبدأ باولي فينص على أنه في ذرة ما يجب أن تكون التوابع الموجية للإلكترونات الفردية كلها مختلفة واحد عن الآخر ، وأن الإلكترونان لا يمكنهما أن يملكا نفس قيم الأعداد الكوانتية الأربعة  $n, l, m_l, m_s$  ، لهذا المبدأ نتائج مهمة في فيزياء الذرة حيث :

١ - سيسمح لنا بتحديد العدد الأعظمي للإلكترونات ضمن الذرة والتي يمكنها أن تملك نفس الطاقة .

٢ - سيقودنا لتخمين رتبة التوالد للتشكيل الإلكتروني . وإن تشكيل الكتروني ما سيكون له مرتبة توالد معينة عندما ندخل في  $H$  ، الحدين  $T_1, T_2$  فإنه سيظهر لنا تصحيحات في الطاقة هذه التصحيحات تزيد أو تنقص هذا التوالد .

٣ - ٣ - ٣ : العدد الأعظمي للإلكترونات المتعلقة بطبقة أو بطبقة جزئية :

Nombre maximal d'électron appartenant à la même couche ou sous - couche

(a) - حالة طبقة جزئية :

لنبحث عن العدد الأعظمي للإلكترونات التي تملك في نفس الوقت نفس قيم  $n$  و  $l$  ، هذه الإلكترونات يجب أن تختلف إما بقيم  $m_l$  (التي تأخذ  $2l + 1$  قيمة حيث  $-l < m < l$ ) وإما بواسطة  $m_s$  (يمكنها أن تأخذ قيمتين  $+\frac{1}{2}$  أو  $-\frac{1}{2}$ ) يوجد إذاً  $2(2l + 1)$  حالة كوانتية مميزة مطابقة لنفس قيم  $n$  و  $l$  ، ويمكنها أن تملك  $2(2l + 1)$  إلكترون على المدار الجزئي ذو العدد الكوانتي  $l$  .

$l = 0$  الكترون  $s$  العدد الأعظمي 2

$l = 1$  الكترون  $p$  » » 6

$l = 2$  الكترون  $d$  » » 10

$l = 3$  الكترون  $f$  » » 14

(b) - حالة طبقة ( مدار ) :

لنحدد الآن العدد الأعظمي للإلكترونات التي يمكنها أن تملك نفس  $n$  لكن ذات أعداد كوانتية مختلفة لـ  $m_s, m_l, l$  ، نعلم أن  $l \leq n - 1$  .

باستخدام النتائج السابقة يتوجب علينا عمل الجمع للأعداد الأعظمية للإلكترونات لكل مدار جزئي الكترونات مع

الكترونات s ( $l = 0$ )

$$\begin{array}{ccccccc} \text{العدد الأعظمي} & & \text{الكترونات } p \ (l = 1) & & \text{أي عدد } l & & l = n - 1 \\ 2 & + & 6 & + & 2(2l + 1) & + & 2(2n - 1) \end{array}$$

والتي يمكن أن تكتب :

$$\sum_{l=0}^{l=n-1} 2(2l + 1) = 2n + 4 \quad \sum_{l=0}^{l=n-1} l = 2n + 4 \frac{(n-1)n}{2} = 2n^2$$

$n = 1$  العدد الأعظمي هو 2 الكترون

$n = 2$  » » »  $2 \times 2^2 = 8 e^-$  ( 8 الكترون )

$n = 2$  » » »  $2 \times 3^2 = 18 e^-$  ( 18 الكترون )

عندما يمتلك المدار ( الطبقة ) العدد الأعظمي من الإلكترونات يقال عنها أنها طبقة كاملة .

٣ - ٢ - ٣ : رتبة التوالد لتشكيل الكتروني :

ordre de degenerence d'une configuration

رأينا في الفقرة ( ٣ - ٣ - ١ ) بأن تشكيل ما يملك رتبة التوالد سنضمن الآن هذه الرتبة G .

حالة أولى : الكترون واحد فقط ضمن طبقة جزئية : ضمن التشكيل المعتبر لا يوجد أي إلكترون مميز بنفس الزوج n و l ، يمكن للإلكترون i أن يأخذ حسب قيم  $m_l$  و  $m_s$  و  $Y_i$  حالة ،  $Y_i$  تمثل عدد الأمكنة في الطبقة الجزئية .

$$Y_i = 2(2l_i + 1)$$

وسيكون إذاً :

$$G = \prod_i Y_i$$

حالة مختلفة مطابقة لهذا التشكيل .

مثال :

حالة مجموعة بثلاث الكترونات فإن مرتبة التوالد حسب التشكيل :

$$1s 2s 2p \Rightarrow G = 2 \times 2 \times 6 = 24$$

$$2p 2d 2f \Rightarrow G = 6 \times 10 \times 14 = 840$$

حالة ثانية : الالكترونات عديدة في الطبقة الجزئية : ضمن التشكيل هناك  $X$  الكترون يملك نفس الأعداد الكوانتية  $n$  و  $l$  ، و لقيمة  $l$  هذه هناك الكترون يمكنه أن يأخذ  $Y = 2(2l + 1)$  حالة مختلفة مميزة بالأعداد المختلفة  $m_l$  و  $m_s$  .

لفهرست عدد الحالات الممكنة يجب علينا أن نأخذ بعين الاعتبار لمبدأ باولي وعدم تميز الإلكترونات . أي يجب أن نبحث عن عدد التوافق  $Combinaison$  المطابقة لترتيب  $X$  كره غير مميزة ضمن  $Y$  خانة ، كل واحدة تحتوي بصورة أعظمية كرة واحدة .

نحصل على كل هذه التوافق بتحقيق كل التباديل لـ  $Y$  خانة فيما بينها ، ليكن  $Y$  تبديلة . لكن من بين كل هذه التبديلات ، يوجد عدد كبير لا يؤدي إلى توافق مميزة  $X$  ! ، تعود لتبديل كرتين ، و  $(Y - X)$  مطابقة لتبديلات الخانات الفارغة ، لاتعطي تغيرات ظاهرة .

إذاً فإن عدد التوافق الحقيقية المميزة هو :

$$g = \frac{Y!}{X!(Y - X)!}$$

يمثل العدد  $g$  عدد الحالات المختلفة المطابقة لـ  $X$  الكترون  $Y = X \Rightarrow g = 1$  يتم الحصول على التوالد الكلي لتشكيل الكتروني بضرب  $g$  بالتوالد المتعلق بالطبقات

الجزئية الأخرى .

مثال ( ١ ) :

ماهي رتبة التوالد لـ  $1s^2 2s^2 2p^2$  ؟

(a) : 2 الكترون في  $1s$  أي  $X=2$   $Y=2$   $g=1$

(b) : 2 الكترون في  $2s$  أي  $X=2$   $Y=2$   $g=1$

(c) : 2 الكترون في  $2p$  أي  $X=2$   $Y=6$   $g = \frac{6!}{2!4!} = 15$

بعمل الجداء نجد :

$$G = 1 \times 1 \times 15 = 15$$

مثال ( ٢ ) :

ما هي رتبة التوالد لـ  $1s^2 2s^2 2p^2 3p^1$

الجواب :

$$G = 15 \times 6 = 90$$

والجدول ( ٣ - ١ ) يعطي التشكلات الإلكترونية لبعض العناصر والجدول ( ٣ - ٢ ) يعطي جدول مندليف للعناصر الكيميائية .





Couches Sous-couche	K	L	M	N	O					P					Q
					5s	5p	5d	5f	5g	6s	6p	6d	6f	6g	
55 Cs	2	8	2	8	10	2	6	10				1			
56 Ba	2	8	2	8	10	2	6	10							
57 La	2	8	2	8	10	2	6	10		1					
58 Ce	2	8	2	8	10	2	6	10							
59 Pr	2	8	2	8	10	2	6	10							
60 Nd	2	8	2	8	10	2	6	10							
61 Pm	2	8	2	8	10	2	6	10							
62 Sm	2	8	2	8	10	2	6	10							
63 Eu	2	8	2	8	10	2	6	10							
64 Gd	2	8	2	8	10	2	6	10		1					
65 Tb	2	8	2	8	10	2	6	10							
66 Dy	2	8	2	8	10	2	6	10							
67 Ho	2	8	2	8	10	2	6	10							
68 Er	2	8	2	8	10	2	6	10							
69 Tm	2	8	2	8	10	2	6	10							
70 Yb	2	8	2	8	10	2	6	10							
71 Lu	2	8	2	8	10	2	6	10		1					
72 Hf	2	8	2	8	10	2	6	10							
73 Ta	2	8	2	8	10	2	6	10							
74 W	2	8	2	8	10	2	6	10							
75 Re	2	8	2	8	10	2	6	10							
76 Os	2	8	2	8	10	2	6	10							
77 Ir	2	8	2	8	10	2	6	10							
78 Pt	2	8	2	8	10	2	6	10							
79 Au	2	8	2	8	10	2	6	10							
80 Hg	2	8	2	8	10	2	6	10							
81 Tl	2	8	2	8	10	2	6	10							
82 Pb	2	8	2	8	10	2	6	10							
83 Bi	2	8	2	8	10	2	6	10							
84 Po	2	8	2	8	10	2	6	10							
85 At	2	8	2	8	10	2	6	10							
86 Rn	2	8	2	8	10	2	6	10							
87 Fr	2	8	2	8	10	2	6	10							
88 Ra	2	8	2	8	10	2	6	10							
89 Ac	2	8	2	8	10	2	6	10							
90 Th	2	8	2	8	10	2	6	10							
91 Pa	2	8	2	8	10	2	6	10							
92 U	2	8	2	8	10	2	6	10							
93 Np	2	8	2	8	10	2	6	10							
94 Pu	2	8	2	8	10	2	6	10							
95 Am	2	8	2	8	10	2	6	10							
96 Cm	2	8	2	8	10	2	6	10							
97 Bk	2	8	2	8	10	2	6	10							
98 Cf	2	8	2	8	10	2	6	10							
99 E	2	8	2	8	10	2	6	10							
100 Fm	2	8	2	8	10	2	6	10							
101 Md	2	8	2	8	10	2	6	10							
102 No	2	8	2	8	10	2	6	10							
103 Lw	2	8	2	8	10	2	6	10							

Tableau I. Configuration électronique des éléments.

جدول رقم ( ٣ - ١ )

Couche		L			M			N				O				P					Q		
Sous-couche		1s	2s	2p	3s	3p	3d	4s	4p	4d	4f	5s	5p	5d	5f	5g	6s	6p	6d	6f	6g	6h	7s
Ligne 6	55 Cs	2	2	6	2	6	10	2	6	10		2	6				1						
	56 Ba			4	2	6	10	2	6	10		2	6				1						
	57 La			6	2	6	10	2	6	10		2	6	1									
	58 Ce			6	2	6	10	2	6	10		2	6										
	59 Pr			6	2	6	10	2	6	10		2	6										
	60 Nd			6	2	6	10	2	6	10		2	6										
	61 Pm			6	2	6	10	2	6	10		2	6										
	62 Sm			6	2	6	10	2	6	10		2	6										
	63 Eu			6	2	6	10	2	6	10		2	6										
	64 Gd			6	2	6	10	2	6	10		2	6	1									
	65 Tb			6	2	6	10	2	6	10		2	6										
	66 Dy			6	2	6	10	2	6	10		2	6										
	67 Ho			6	2	6	10	2	6	10		2	6										
	68 Er			6	2	6	10	2	6	10		2	6										
	69 Tm			6	2	6	10	2	6	10		2	6										
	70 Yb			6	2	6	10	2	6	10		2	6										
Ligne 7	71 Lu			6	2	6	10	2	6	10		2	6	1									
	72 Hf			6	2	6	10	2	6	10		2	6										
	73 Ta			6	2	6	10	2	6	10		2	6										
	74 W			6	2	6	10	2	6	10		2	6										
	75 Re			6	2	6	10	2	6	10		2	6										
	76 Os			6	2	6	10	2	6	10		2	6										
	77 Ir			6	2	6	10	2	6	10		2	6										
	78 Pt			6	2	6	10	2	6	10		2	6										
	79 Au			6	2	6	10	2	6	10		2	6										
	80 Hg			6	2	6	10	2	6	10		2	6										
	81 Tl			6	2	6	10	2	6	10		2	6										
	82 Pb			6	2	6	10	2	6	10		2	6										
	83 Bi			6	2	6	10	2	6	10		2	6										
	84 Po			6	2	6	10	2	6	10		2	6										
	85 At			6	2	6	10	2	6	10		2	6										
	86 Rn			6	2	6	10	2	6	10		2	6										
Ligne 8	87 Fr			6	2	6	10	2	6	10		2	6										
	88 Ra			6	2	6	10	2	6	10		2	6										
	89 Ac			6	2	6	10	2	6	10		2	6										
	90 Th			6	2	6	10	2	6	10		2	6										
	91 Pa			6	2	6	10	2	6	10		2	6										
	92 U			6	2	6	10	2	6	10		2	6										
	93 Np			6	2	6	10	2	6	10		2	6										
	94 Pu			6	2	6	10	2	6	10		2	6										
	95 Am			6	2	6	10	2	6	10		2	6										
	96 Cm			6	2	6	10	2	6	10		2	6										
	97 Bk			6	2	6	10	2	6	10		2	6										
	98 Cf			6	2	6	10	2	6	10		2	6										
	99 Es			6	2	6	10	2	6	10		2	6										
	100 Fm			6	2	6	10	2	6	10		2	6										
	101 Md			6	2	6	10	2	6	10		2	6										
	102 No			6	2	6	10	2	6	10		2	6										
103 Lw			6	2	6	10	2	6	10		2	6											

↑

↓

↑

↓

↑

↓

↑

↓

↑

↓

↑

↓

↑

↓

↑

↓

↑

↓

↑

↓

↑

↓

↑

↓

↑

↓

↑

↓

↑

↓

↑

↓

↑

↓

↑

↓

↑

↓

↑

↓

↑

↓

↑

↓

↑

↓

↑

↓

↑

↓

↑

↓

↑

↓

↑

↓

↑

↓

↑

↓

↑

↓

↑

↓

↑

↓

↑

↓

↑

↓

↑

↓

↑

↓

↑

↓

↑

↓

↑

↓

↑

↓

↑

↓

↑

↓

↑

↓

↑

↓

↑

↓

↑

↓

↑

↓

↑

↓

↑

↓

↑

↓

↑

↓

↑

↓

↑

↓

↑

↓

↑

↓

↑

↓

↑

↓

↑

↓

↑

↓

↑

↓

↑

↓

↑

↓

↑

↓

↑

↓

↑

↓

↑

↓

↑

↓

↑

↓

↑

↓

↑

↓

↑

↓

↑

↓

↑

↓

↑

↓

↑

↓

↑

↓

↑

↓

↑

↓

↑

↓

↑

↓

↑

↓

↑

↓

↑

↓

↑

↓

↑

↓

↑

↓

↑

↓

↑

↓

↑

↓

↑

↓

↑

↓

↑

↓

↑

↓

↑

↓

↑

↓

↑

↓

↑

↓

↑

↓

↑

↓

↑

↓

↑

↓

↑

↓

↑

↓

↑

↓

↑

↓

↑

↓

↑

↓

↑

↓

↑

↓

↑

↓

↑

↓

↑

↓

↑

↓

↑

↓

↑

↓

↑

↓

↑

↓

↑

↓

↑

↓

↑

↓

↑

↓

↑

↓

↑

↓

↑

↓

↑

↓

↑

↓

↑

↓

↑

↓

↑

↓

↑

↓

↑

↓

↑

↓

↑

↓

↑

↓

↑

↓

↑

↓

↑

↓

↑

↓

↑

↓

↑

↓

↑

↓

↑

↓

↑

↓

↑

↓

↑

↓

↑

↓

↑

↓

↑

↓

↑

↓

↑

↓

↑

↓

↑

↓

↑

↓

↑

↓

↑

↓

↑

↓

↑

↓

↑

↓

↑

↓

↑

↓

↑

↓

↑

↓

↑

↓

↑

↓

↑

↓

↑

↓

↑

↓

↑

↓

↑

↓

↑

↓

↑

↓

↑

↓

↑

↓

↑

↓

↑

↓

↑

↓

↑

↓

↑

↓

↑

↓

↑

↓

↑

↓

↑

↓

↑

↓

↑

↓

↑

↓

↑</

Tableau I. Configuration électronique des éléments.

تابع جدول (٣ - ١)

### Numéros des colonnes des anciennes tables de Mendeleïeff.

IA	1	H	2	He	2
2s	3	Li	4	Be	
3s	11	Na	12	Mg	
4s	19	K	20	Ca	
5s	37	Rb	38	Sr	
6s	55	Cs	56	Ba	
7s	87	Fr	88	Ra	
	1				2

IIIA	IVA	VA	VIA	VIIA	VIIIA	IB	IIIB
1	2	3	4	5	6	7	8
9	10	11	12	13	14	15	16
17	18	19	20	21	22	23	24
25	26	27	28	29	30	31	32
33	34	35	36	37	38	39	40
41	42	43	44	45	46	47	48
49	50	51	52	53	54	55	56
57	58	59	60	61	62	63	64
65	66	67	68	69	70	71	72
73	74	75	76	77	78	79	80
81	82	83	84	85	86	87	88
89	90	91	92	93	94	95	96
97	98	99	100	101	102	103	104
105	106	107	108	109	110	111	112
113	114	115	116	117	118	119	120
121	122	123	124	125	126	127	128
129	130	131	132	133	134	135	136
137	138	139	140	141	142	143	144
145	146	147	148	149	150	151	152
153	154	155	156	157	158	159	160
161	162	163	164	165	166	167	168
169	170	171	172	173	174	175	176
177	178	179	180	181	182	183	184
185	186	187	188	189	190	191	192
193	194	195	196	197	198	199	200
201	202	203	204	205	206	207	208
209	210	211	212	213	214	215	216
217	218	219	220	221	222	223	224
225	226	227	228	229	230	231	232
233	234	235	236	237	238	239	240
241	242	243	244	245	246	247	248
249	250	251	252	253	254	255	256
257	258	259	260	261	262	263	264
265	266	267	268	269	270	271	272
273	274	275	276	277	278	279	280
281	282	283	284	285	286	287	288
289	290	291	292	293	294	295	296
297	298	299	300	301	302	303	304
305	306	307	308	309	310	311	312
313	314	315	316	317	318	319	320
321	322	323	324	325	326	327	328
329	330	331	332	333	334	335	336
337	338	339	340	341	342	343	344
345	346	347	348	349	350	351	352
353	354	355	356	357	358	359	360
361	362	363	364	365	366	367	368
369	370	371	372	373	374	375	376
377	378	379	380	381	382	383	384
385	386	387	388	389	390	391	392
393	394	395	396	397	398	399	400
401	402	403	404	405	406	407	408
409	410	411	412	413	414	415	416
417	418						

IIIB	IVB	VB	VIB	VII B	VIII B
5 B	6 C	7 N	8 O	9 F	10 Ne
13 Al	14 Si	15 P	16 S	17 Cl	18 A
31 Ga	32 Ge	33 As	34 Se	35 Br	36 Kr
49 In	50 Sn	51 Sb	52 Te	53 I	54 Xe
81 Tl	82 Pb	83 Bi	84 Po	85 At	86 Rn
6p					
1	2	3	4	5	6

Nombre d'électrons dans la dernière sous-couche à l'état fondamental  
(sauf exceptions signalées par un cercle)

	1	2	3	4	5	6	7	8	9	10	11	12	13	14
4f	(5) La	58 Ce	59 Pr	60 Nd	61 Pm	62 Sm	63 Eu	(64) Gd	65 Tb	66 Dy	67 Ho	68 Er	69 Tm	70 Yb

*N.B.* Pour ne pas alourdir cette table les éléments transuraniens (instables) n'ont pas été indiqués.

**Tableau II. Table de Mendeleïeff.**

جدول (۲-۳)

## الفصل الرابع

### العزوم الحركية وتعدد مستويات الطاقة

Moments cinétiques et Recensement des niveaux d'énergie

إن حالة الذرة تكون مميزة ليس فقط بطاقتها وإنما بعزم حركتها الكلي .  
يتم الحصول على هذا العزم الحركي بجمع مختلف العزوم الحركية التي تدخل في  
الذرة .

إن تحديد العزم الحركي الكلي لحالة ذرية يقدم فائدتين :

١ - يسمح بإيجاد العزم المغناطيسي الكلي والمتعلق به ( أي بالعزم الحركي ) بصورة  
كلية والذي نعلم قياسية في تجارب عديدة .

٢ - يسمح لنا بدراسة تفصيلية لمختلف العزوم الحركية الأولية التي تجمع في داخل  
الذرة والشكل الذي توجه، الواحدة بالنسبة للأخرى . هذه التوجيهات ( عند  
توجيهات ممكنة ) تطابق لقيم مختلفة للطاقة وتوالد كل تشكيل الكتروني يتواجد  
في هذه الحالة سيكون مرتفع . ليس من الممكن في الحالة العامة حساب هذه  
الطاقات لكن من السهل أن نتوقع عدد هذه القيم المنفصلة للطاقة يعني أن نقوم  
بتعداد مستويات الطاقة المنفصلة والممكن مراقبتها وسنكـرس هذا الفصل  
لهذه النقطة .

#### ٤ - ١ - مركبات العزوم الحركية : Composition de moments cinétiques

٤ - ١ - ١ : نتائج الميكانيك الكمي المتعلقة بالعزوم الحركية :

يمكن أن يميز عزم حركي  $\sigma$  بكميتين يمكن مراقبتهما : طولية  $|\sigma|$  ومركبة على المحور  $oz$   $\sigma_3$  ، وهاتان الكميتان مميزتان بالعددين الكميتين  $j$  و  $m$  وتمثلان القيم الخاصة لـ  $\sigma^2$  و لـ  $\sigma_z = m\hbar$  .

$$|\sigma| = \sqrt{j(j+1)} \hbar \quad \text{مع} \quad -j \leq m \leq +j$$

$j$  عدد كامل أو نصف كامل  $j = l + s$

إذا كان لدينا  $\sigma_1$  ،  $\sigma_2$  المميزين بالأعداد الكوانتية  $m_1$  ،  $j_1$  ،  $m_2$  ،  $j_2$  فإن :

$$\sigma = \sigma_1 + \sigma_2$$

$\sigma$  سيكون مميز بالعددين  $m$  و  $j$  حيث :

$$-j \leq m \leq j$$

$$|j_1 - j_2| \leq j \leq j_1 + j_2$$

ان القيم الممكنة لـ مساوية إلى  $2j_1 + 1$  و  $2j_2 + 1$  .

#### ٤ - ١ - ٢ - رموز : Notations

أثناء دراسة الذرة لابد من تعريف أعداد معينة للعزوم الحركية :

$l$  = العدد الكمي المرافق لحركة مدار الإلكترون .

$s$  = العدد الكمي لسبين الإلكترون والذي يأخذ قيمة  $1/2$  .

$j$  = العدد الكمي المرافق للعزم الحركي الكلي للإلكترون .

$L$  = العدد الكمي المرافق إلى مجموع العزوم الحركية المدارية لإلكترونات الذرة .

$S$  = العدد الكمي المرافق إلى مجموع العزوم الحركية لسبين الكترونات الذرة .

$J$  = العدد الكمي المرافق للعزم الحركي الكلي للذرة .

سنرمز بـ  $M_I, M_S, M_L, M_s, m_l$  للأعداد الكمية المغناطيسية المرافقة لمساقط العزوم الحركية السابقة على محور الكنتمة .

$$\mathbf{j} = \mathbf{l} + \mathbf{s}$$

$$\mathbf{L} = \sum_i \mathbf{l}_i$$

$$\mathbf{S} = \sum_i \mathbf{s}_i$$

$$\mathbf{J} = \mathbf{L} + \mathbf{S} = \sum_i \mathbf{j}_i = \sum_i \mathbf{l}_i + \sum_i \mathbf{s}_i$$

بمسقاط الأشعة على المحور  $oz$  نحصل على علاقات بين الأعداد الكمية المغناطيسية :

$$m_j = m_l + m_s$$

$$M_S = \sum_i m_{s_i} , \quad M_L = \sum_i m_{l_i}$$

$$M_J = M_L + M_S = \sum_i m_{j_i} = \sum_i m_{l_i} + \sum_i m_{s_i}$$

٤ - ١ - ٣ - العزم الحركي الكلي لطبقة جزئية ممثلة :

إن العزم الزاوي الناتج لمجموعة الإلكترونات مشكلة طبقة جزئية ممثلة يكون مساوياً للصفر وذلك حسب العلاقة :

$$\sigma_z = h \sum_i m + h \sum_i m_s = 0$$

سيكون لمجموعة إلكترونات الطبقة الجزئية الكاملة ، تناظر كروي ، هذه النتيجة

ستسهل لنا مشكلة البحث عن العزم الحركي الكلي للذرة ما . وإن البحث سيكون فقط عن العزم الحركي للإلكترونات الطبقة الأخيرة في الذرة والغير ممتلئة .

٤ - ٢ - التأثير المتبادل سبين - مدار : Interaction spin - orbite

لتفسير الحد  $T_2$  سنعتبر حالة الإلكترون خالص لكون  $V(r)$  . إن الإلكترون ذو سرعة  $v$  وذو سبين  $s$  يوصف مدار ذو عزم حركي

$$\sigma = r \wedge m v = h l$$

سيتم الحساب على مرحلتين :

٤ - ٢ - ١ : الحقل المغناطيسي  $B$  في إحداثيات متعلقة بالإلكترون :

champ magnétique  $B'$  dans le repère lié à l'électron

يتحرك الإلكترون ذو الشحنة  $q = -e$  في كيون كهربائي ساكن :

$$V(r) = W(r) / q = -W(r) / e$$

في إحداثيات المختبر يوجد الحقل الكهربائي  $E = -\text{grad } V$  . لكن في إحداثيات مرتبطة بالإلكترون يوجد أيضاً كنتيجة لحركة ولقوانين الكهرومغناطيسية النسبية حقل مغناطيسي  $B'$  يمكننا أن نحسبه إنطلاقاً من  $v$  و  $E$  ، لنعتبر بأن الإحداثيات الغاليلية  $R (oxyz)$  و  $R' (o'x'y'z')$  ، إحداثيات  $R'$  هي الانتقال وحيد الشكل حسب إتجاه المحور  $ox$  بالنسبة لـ  $R$  وبسرعة  $v$  ويمكن حساب مركبات الحقل الكهربائي  $E$  والمغناطيسي  $B'$  بالجملة  $R'$  حسب النظرية النسبية كما يلي :

تحويلات لورنتز لمركبات الحقل :

تعطى قوة لورنتز بالعلاقة :

$$f = \frac{d}{dt} \frac{m v}{\sqrt{1 - \frac{v^2}{c^2}}} = qE + \frac{q}{k} v \wedge B \quad (1 - 4)$$

الحد  $(q/k) v \wedge B$  يشبه كل الشبه قوة مؤثرة على تيار موضوع في حقل مغناطيسي خارجي . كذلك نحصل على العمل الذي ينجزه الحقل المؤثر على شحنة ما بضرب

المعادلة السابقة سلمياً بـ  $v$  أي :

$$v \frac{d p_o}{dt} = \frac{d \epsilon_o}{d p_o} \frac{d p_o}{dt} = \frac{d \epsilon_o}{dt} = \frac{dT}{dt} \quad (٢ - ٤)$$

وهو يساوي إلى تغير الطاقة الحركية في واحدة الزمن هذا من الطرف الأيسر أما الطرف الأيمن للمعادلة  $f$ .

الحد :

$$v f = q v \cdot E + \frac{q}{k} v [v \wedge B]$$

$$v [v \wedge B] = 0$$

أي :

$$\frac{d \epsilon_o}{d p_o} = \frac{dT}{dt} = q v E \quad (٣ - ٤)$$

أي أن القوة المغناطيسية لا تقوم بعمل على الشحنة لأنها عامودية على سرعة الشحنة في كل لحظة .

والآن لنضرب المعادلة (٤ - ١) ولنضرب مركبتها على المحور  $ox$  بـ  $dt/dS$

والمعادلة (٤ - ٣) بـ  $dt/dS$  و  $V/c^2$  حيث  $V$  السرعة النسبية لجملة الإحداثيات .

$$\frac{dt}{dS} \left\{ \frac{d p_x}{dt} = q E_x + \frac{q}{k} [v_y B_z - B_y v_z] \right\} \quad (٤ - ٤)$$

$$\frac{V}{c^2} \frac{dt}{dS} \left\{ \frac{d \epsilon_o}{d p_o} \right\} = \frac{V}{c^2} \frac{dt}{dS} q (v_x E_x + v_y E_y + v_z E_z) \quad (٥ - ٤)$$

يطرح المعادلتين نجد :

$$\frac{d}{dS} \left( P_x - \frac{V \epsilon}{c^2} \right) = \frac{d p_x}{dS} \sqrt{1 - \frac{v^2}{c^2}} =$$

$$q \left[ E_x \frac{dt}{dS} + \frac{1}{k} B_z \frac{dy}{dS} - \frac{1}{k} B_y \frac{dz}{dS} \right]$$



$$\begin{aligned}
 & - q \frac{V}{c^2} \left( E_x \frac{dx}{dS} + E_y \frac{dy}{dS} + E_z \frac{dz}{dS} \right) \\
 = & q E_x \left( \frac{dt}{dS} - \frac{V}{c^2} \frac{dx}{dS} \right) + q \left( \frac{B_z}{k} - \frac{V}{c^2} E_y \right) \frac{dy}{dS} - \\
 & - q \left( \frac{B_y}{k} - \frac{V}{c^2} E_z \right) \frac{dz}{dS}
 \end{aligned}$$

لكن المقدار  $dS$  لامتغير لذلك ينبغي أن نحول الكميات التي في الطرف الأيمن وفق :

$$x' = \frac{x - v t}{\sqrt{1 - \frac{v^2}{c^2}}} ; \quad t' = \frac{t - v x / c^2}{\sqrt{1 - \frac{v^2}{c^2}}}$$

بمفاضلة هاتين العلاقتين :

$$\begin{aligned}
 \frac{dt}{dS} - \frac{V}{c^2} \frac{dx}{dS} &= \frac{dt'}{dS} \sqrt{1 - \frac{V^2}{c^2}} \\
 \frac{dy}{dS} &= \frac{dy'}{dS} , \quad \frac{dz}{dS} = \frac{dz'}{dS}
 \end{aligned}$$

بتسليم طرفي المعادلة على  $\sqrt{1 - (V^2/c^2)}$  ويضربها بـ  $dS / dt$  نحصل على معادلة مركبة الدفع على  $x$  في الإحداثيات الجديدة .

$$\begin{aligned}
 \frac{dP'_x}{dS} \sqrt{1 - \frac{V^2}{c^2}} &= \\
 q E_x \frac{dt'}{dS} \sqrt{1 - \frac{V^2}{c^2}} &+ q \left( \frac{B_z}{k} - \frac{V}{c^2} E_y \right) \frac{dy'}{dS} - \\
 - q \left( \frac{B_y}{k} - \frac{V}{c^2} E_z \right) \frac{dz'}{dS}
 \end{aligned}$$

إذاً :

$$\frac{dP'_x}{dt} = q E_x + \frac{\frac{q}{k} B_z - \frac{qV}{c^2} E_y}{\sqrt{1 - V^2/c^2}} \frac{dy'}{dt} - \frac{\left( \frac{q}{k} B_y - \frac{qV}{c^2} E_z \right)}{\sqrt{1 - V^2/c^2}} \frac{dz'}{dt}$$

أي حسب مبدأ النسبة العام يجب أن تكتب على الشكل :

$$\frac{dP'_x}{dt} = e E'_x + \frac{q}{k} B'_z \frac{dy'}{dt'} - \frac{q}{k} B'_y \frac{dz'}{dt'}$$

أي أنه :

$$E'_x = E_x$$

$$B'_y = -(B_y + \frac{k}{c^2} v E_z) / \sqrt{1 - v^2 / c^2}$$

$$B'_z = (B_z - \frac{k}{c^2} v E_y) / \sqrt{1 - v^2 / c^2}$$

بنفس الطريقة نوجد تحويلات لورنتز للحقل الكهربائي .

على عكس الإحداثيات ، فإن المركبات العرضية لا الطولية هي المتحولة في الحقل .

أو بشكل آخر نجد :

$$B'_x = B_x$$

$$E'_x = E_x$$

$$E'_y = \frac{E_y - \frac{v}{k} B_z}{\sqrt{1 - v^2 / c^2}} ; \quad B'_y = \frac{B_y + \frac{\epsilon_0 \mu_0}{k} v E_z}{\sqrt{1 - v^2 / c^2}}$$

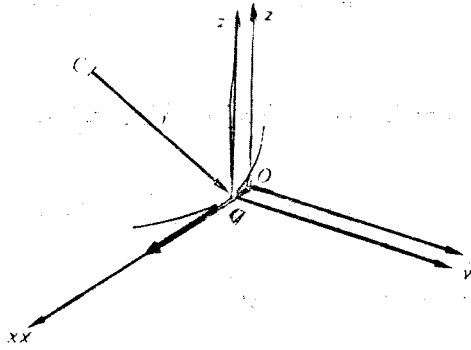
$$E'_z = \frac{E_z + \frac{v}{k} B_y}{\sqrt{1 - v^2 / c^2}} ; \quad B'_z = \frac{B_z - \frac{\epsilon_0 \mu_0}{k} v E_y}{\sqrt{1 - v^2 / c^2}}$$

إن مشكلتنا أكثر تعقيداً بسبب الحركة الغير مستقيمة للإلكترون علماً بأن

$K = C$  CGS وفي الواحدات MKSA يكتب  $K = 1$  و  $\epsilon_0 \mu_0 c^2 = k^2$

و  $4 \pi \epsilon_0 = 1$  .

سنبرهن عند لحظة خاصة  $t$  ، ونختار كإحداثيات متحركة  $R'$  ، إن إحداثيات غاليليه مماسه لحركة الإلكترون في هذه اللحظة : مبدؤها  $O'$  يتطابق مع الإلكترون في هذه اللحظة ، وسرعتها  $v$  تتطابق مع سرعة الإلكترون في نفس اللحظة  $t$  ، المحور  $O'x'$  محمول إذاً على مماس المدار . نختار أيضاً إحداثيات  $(R)$  مرتبطة بالمختبر ذات محاور مبدؤها  $O$  تنطبق مع مكان الإلكترون في اللحظة  $t$  كما في الشكل ( ٤ - ١ ) وبين الإحداثيات  $R', R$  نطبق علاقات التحويل للتحول السابقة .



شكل ( ٤ - ١ )

نفرض أن  $v \ll c$  وأن الحقل المغناطيسي معدوم في إحداثيات المختبر أي :

$$B_x = B_y = B_z = 0$$

تصبح علاقات التحويل على الشكل :

$$B'_x = 0$$

$$B'_y = \frac{\epsilon_0 \mu_0}{k} v E_z = \frac{k}{c^2} v E_z,$$

$$\text{حيث } \epsilon_0 \mu_0 c^2 = k^2$$

$$B'_z = - \frac{\epsilon_0 \mu_0}{k} v E_y = - \frac{k}{c^2} v E_y$$

أو تحت شكل شعاعي ، مستقلاً عن المحاور الخاصة التي خدمتنا في الحساب :

$$B' = \frac{k}{c^2} (E \wedge v)$$

٤ - ٢ - ٢ : التأثير المتبادل للعزم المغناطيسي للسبين مع الحقل المغناطيسي B' :

Interaction du moment magnétique de spin avec Le champ magnétique B'

طاقة التأثير المتبادل سبين - مدار والتي سندعوها  $\Delta E$  تنتج من التأثير المتبادل بين الحقل المغناطيسي B' والعزم المغناطيسي للسبين :

$$\mu_s = \frac{1}{k} \frac{q}{m} \sigma_s = \frac{1}{k} \frac{q}{m} h s = -2 \beta S$$

q سالبة ، بينما مغنيتون بور  $\beta$  (magneton de Boher) موجب .

$\Delta E$  في الميكانيك الكلاسيكي :

$$\Delta E = - \mu_s B'$$

إلا أنه يجب ملاحظة أن B' له إتجاه في إحداثيات معمة لحظية (R') وان الإلكترون يقفز من إحداثيات R' إلى أخرى مماسة R' في هذه الحالة نحصل على طاقة الارتباط :

$$\Delta E = - \frac{1}{2} \mu_s \cdot B'.$$

ليس من الصعب عمل الحساب الدقيق لـ  $\Delta E$  . إن الحقل الكهربائي الساكن E ينتج من :

$$E = - \text{grad } V = - \text{grad } \frac{W(r)}{e} = \frac{1}{e} \frac{dW}{dr} \cdot \frac{r}{|r|}$$

( r نصف قطر الشعاع الموجهة من مركز القوة c نحو الإلكترون 0' ) .

إذا كتبنا :

$$B' = \frac{k}{c^2 m} E \wedge m v = \frac{k}{c^2 m e} \cdot \frac{1}{r} \frac{dW}{dr} r \wedge m v .$$

وبأخذ  $\sigma_l = r \wedge m v$  بعين الاعتبار نجد أن :

$$B' = \frac{k}{c^2 m e r} \frac{dW}{dr} \sigma_l = \frac{k}{m e c^2 r} \frac{dW}{dr} h l$$

طاقة التأثير المتبادل بين العزم المغناطيسي  $\mu_s$  والحقل تساوي إلى :

$$\Delta E = - \frac{1}{2} \mu_s \cdot B' = - \frac{1}{2} \left( \frac{-1}{k} \frac{e}{m} h s \right) \cdot B'$$

$$\Delta E = \frac{h^2}{2 m^2 c^2 r} \cdot \frac{dW}{dr} l \cdot s$$

ملاحظة هامة :

إن  $dV/dr$  سالب ينتج أن  $dW/dr$  موجب والكمية التي تسبق الجداء السلمي  $l \cdot s$  موجبة .

يمكن تعميم العلاقة السابقة لـ  $N$  الكترون :

$$T_2 = \sum_i \frac{h^2}{2 m^2 c^2 r_i} \frac{\partial W_i}{\partial r_i} l_i \cdot s_i$$

حيث  $W_i$  الكمون الذي يتحرك ضمنه الإلكترون  $i$  ، وبما أن  $T_2$  هو حد تصحيح فيمكننا إهمال الجزء الغير مركزي في  $W_i(r)$  وسيكون  $W_i(r)$  الكمون الذي يدخل في  $H_0$  .

٤ - ٣ : مبدأ حساب سويات الطاقة للذرات المتعددة الإلكترونات :

Principe du calculs des niveaux d'énergie dans les atomé à plusieurs électrons

إن التوالد لتشكيل بنية الكترونية معطاة سيكون مرتفع جزئياً ، وسنحصل على عدة مستويات للطاقة مطابقة لنفس التشكيل ، هذا التمثل سيكون مطابق أكثر للحقيقة . هناك مفهومان متعاقبان للمشكلة يجب أن نميزها :

— باعتبارات عامة متعلقة بصورة خاصة بتناظر المسألة ومن الممكن بدءاً من

$$H = H_0 + T_1 + T_2$$

أن نبين كيف يكون التوالد مرتفع وماهي المعاملات ( العزوم الحركية ) التي تسمح بتمييز مستويات الطاقة المميزة .

— خطوة لاحقة وهي طريقة استخدام الطرق التقريبية ثم الحساب العددي وذلك لتحديد وضع مستويات الطاقة .

والفصل القادم سيكون مخصص لهذه المشكلة .

٤ - ٣ - ١ : التقريبات الممكنة على الهاملتونيان :

Les approximations possible sur le hamiltonien :

إذا كان  $H$  هو الهاملتونيان الذي يوصف ذرة معزولة في الفضاء ،  $J$  العزم الزاوي فإن :

$$[H, J] = 0$$

وبما أنه من غير الممكن أن نحل بشكل دقيق المسألة الموصوفة بـ  $H$  فإننا سنناقش المسألة على خطوات :

a — الخطوة الأولى ( الخطوة a ) : هي تقريب الإلكترونات المستقلة في كمون مركزي الحل هو التشكيلات الإلكترونية المدروسة سابقاً .

الخطوات اللاحقة تعتمد على  $T_1$  و  $T_2$  .

b — الخطوة الثانية ( الخطوة b ) : يرفق بـ  $H_0$  إما  $T_1$  وإما  $T_2$  .

$$H_1 = H_0 + T_1 \quad \text{إذا كان } T_1 > T_2$$

$$H_2 = H_0 + T_2 \quad \text{إذا كان } T_2 > T_1$$

c — بعد الحصول على مستويات الطاقة المطابقة لـ  $H_1$  أو لـ  $H_2$  فالخطوة c هي دراسة التصحيحات الضعيفة التي يجب إضافتها على هذه النتائج لترجمة تأثير الحد الذي أهمل .

— إما تأثير  $T_2$  على الوصف المطابق لـ  $H_1$  : في هذه الحالة لدينا ارتباط  $L - S$  (couplage  $L - S$ ) حالة  $(T_1 > T_2)$  .

وإما تأثير  $T_1$  على الوصف المطابق لـ  $H_2$  : ارتباط  $j - j$  (couplage  $j - j$ )

جالة  $(T_1 < T_2)$  .

### ٤ - ٣ - ٢ : الإرتباط $L - S$ (Le Couplage $L - S$ ) :

سنداً بالخطوة b : ليكن  $H_1 = H_0 + T_1$  الهاملتونيان الذي يوصف ذرة معزولة ؛  $[H_1, S] = 0$  وكذلك  $[H_1, L] = 0$  ،  $[H_1, J] = 0$  حيث

$$J = \sum_i j_i , \quad L = \sum_i l_i , \quad S = \sum_i s_i$$

يمكننا استخلاص النقاط التالية :

١ - تفرض خواص التبادل السابق أن تكون مختلف الحالات الخاصة لمجموعة موصوفة بـ  $H_1$  مميزة بزواج من القيم الممكنة للأعداد الكمية  $S, L$  . طاقة التأثير الكهربائية الساكنة للإلكترونات تعتمد على الأوضاع المختلفة للمدارات الإلكترونية ، إذاً تعتمد على التوجيهات المتعلقة بالأشعة  $l_i$  فيما بينها : لكن هذه التوجيهات تحدد الشعاع  $L$  ؛ وبالتالي فإن الطاقة ستختلف من أجل كل قيمة لـ  $L$  ، تفرض أفعال التبادل أن تعتمد الطاقة ليس فقط على  $L$  وإنما أيضاً على قيمة  $S$  .

٢ - في  $H_1$  لا يوجد أي حد يترجم التوجيهات المتعلقة بالأشعة  $l_i, s_i$  ، كل الحالات التي تملك قيم معطية لـ  $L$  و  $S$  مهما كانت قيمة  $J$  سيكون لها نفس الطاقة وستبقى متوالدة .

٣ - القيم الممكنة لـ  $\bar{L}$  هي  $(2L + 1)$  توجيهه العزم بالنسبة لمحور التكبير . ونفس الشيء بالنسبة لـ  $S$  ، يوجد  $(2S + 1)$  توجيه ممكنة . وستكون رقبة التوالد لمستوي طاقة مميز بـ  $L$  و  $S$  مساوية إلى  $(2L + 1)(2S + 1)$  نحصل على مستويات الطاقة المتقطعة الناجمة من نفس التشكيل الإلكتروني بالبحث عن  $S, L$  الملازمة لهذا التشكيل .  $O = S = L$  للطبقة جزئية كاملة أي يكفي البحث عن قيم لـ  $S, L$  المطابقة للطبقة الجزئية الغير كاملة في التشكيل .

نصل الآن على الخطوة c . إن الهاملتونيان  $H = H_0 + T_1 + T_2$  لا يتبادل مع

$L$  ولا مع  $S$  وإنما  $[H, J] = 0$  . ستكون الحالات الخاصة مميزة فقط بالعدد الكمي  $J$  وسيرتفع التوالد .

طاقة التأثير المتبادل سبين - مدار  $T_2$  تعتمد على التوجيهات المتعلقة بالأزواج  $s_1, l_1$  وبالنسبة بالزوج  $L$  و  $S$  وهذه محدد  $J = L + S$  وهكذا نفهم بأن كل قيمة للعدد الكمي  $J$  تطابق لقيمة مختلفة للطاقة . تدعى بالبنية الناعمة structure fin الفروق من الطاقة بين المستويات لنفس قيم  $S$  و  $L$  لكن ذات قيم  $J$  المختلفة الناتجة عن تأثير  $T_2$  .

كل مستوي طاقة مميز بـ  $J$  سيكون متوالد  $(2J + 1)$  مرة .

نحصل على كل مستويات الطاقة المنفصلة الناتجة من ذات المستوي  $(L - S)$  وذلك بالبحث عن كل قيم  $J$  .

يدعى العدد  $2S + 1$  بالتعددية multiplicité المستوي  $(L, S)$  ( خطوة  $b$  ) .

إن المستويات المميزة بـ  $J$  تكون متجاورة جداً باعتبار أن الحد  $T_2$  صغير بالنسبة للحدود الأخرى في  $H$  يقال بأنها تشكل تعددية :

— فردية Singlet إذا كان  $2S + 1 = 1$  ,  $S = 0$

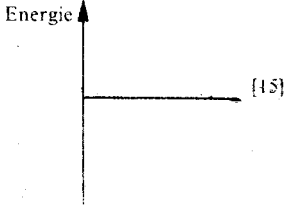
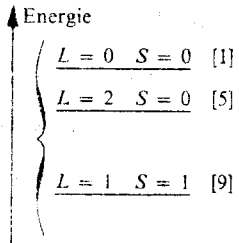
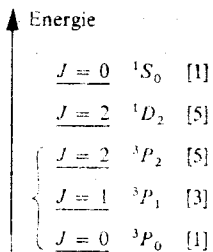
— زوجية doublet إذا كان  $2S + 1 = 2$  ,  $S = 1/2$

— ثلاثية Triplet إذا كان  $2S + 1 = 3$  ,  $S = 1$

— رباعية quadriplet إذا كان  $2S + 1 = 4$  ,  $S = 3/2$

الشكل التالي ( ٤ - ٢ ) يلخص الخطوات الثلاثة  $a, b, c$  في حالة تشكيل  $p-p$  ( ذرة الكربون ) أي يبين البنية الناعمة لسويات الطاقة للتشكيل  $p-p$  في الاقتران  $L-S$  ما بين الأقواس هو رتبة التوالد :



Etape a) المخطون	Etape b) المخر	Etape c) المخر
Solution de $H_0$	Solution de $H_1 = H_0 + T_1$	Solution de $H = H_0 + T_1 + T_2$
		
Niveau d'énergie de la configuration $p-p$ dans l'approximation du potentiel central.	Le terme $T_1$ définit des niveaux caractérisés par des couples $L, S$ .	Le terme $T_2$ définit des niveaux caractérisés par le nombre $J$ .

شكل ( ٤ - ٢ )

### الحدود الطيفية : Terms Spectroscopique

هي مستويات الطاقة المميزة بالأعداد الكمية  $S, L$  حيث يرمز لهذه الحدود بالأحرف الكبيرة كما في :

$$L = 0, 1, 2, 3, 4, \dots$$

الحد الطيفي S P D F G ...

يوضع على الطرف الأيسر العلوي من الحد الطيفي قيمة التعددية وعلى الطرف الأيمن الأسفل قيمة  $J$  وكذلك بضرب الحد برقم الطبقة  $n$  كما في :

$$n^{2S+1} [L]$$

مثال :

$$6s^2 \dots 6^1S_0 \text{ الحد الطيفي هو}$$

$$6s7p \dots 7^3P_2 \text{ الحد الطيفي هو}$$

### ٤ - ٣ - ٣ : الإرتباط $j - j$ (Le couplage $j - j$ ) :

في الخطوة b يمكن أن يكتب  $H_2$  على الشكل :

$$H_2 = \sum_i \left[ \frac{-\hbar^2}{2m_i} \Delta_i + W(r_i) + l_i s_i \frac{\hbar^2}{2m_i^2 c^2 r_i} \frac{dW(r_i)}{dr_i} \right]$$

كل واحد من الالكترونات المعزولة والمتحرك في كمون مركزي سيكون له مستويات طاقة مميزة  $j_i$  العدد الكمي للعزم الحركي الكلي وكذلك  $l_i, s_i$  ، إن الحالات الخاصة للإلكترون ستميز ليس فقط بـ  $n_i$  و  $l_i$  وإنما أيضاً بـ  $j_i$  ، إن  $j_i$  يأخذ القيمتين  $l_i + 1/2$  و  $l_i - 1/2$  فقط . مستويات الطاقة لـ  $H_2$  يمكن إيجادها بدون صعوبة ، الطاقة هي مجموع الطاقات المنفردة للإلكترونات .

إن مستوي ما يميز بـ  $n_i$  و  $l_i$  و  $j_i$  للإلكترونات المنفردة . الشكل (٤ - ٣) يبين مستويات الطاقة في حالة الكترونات  $n p' p'$  المميزة بقيم  $j$  المساوية إلى  $1/2$  و  $3/2$  . إن الجزء b يحدد مستويات الطاقة لـ  $H_2$  .

سنلاحظ تبعاً لمبدأ عدم التمييز ، بأن حالتين  $j_1 = 1/2$  ،  $j_2 = 3/2$  و  $j_1 = 3/2$  ،  $j_2 = 1/2$  و  $j_2 = 1/2$  لهما نفس القيمة من الطاقة .

Etape a)	Etape b)	Etape c)
Solution de $H_0$	Solution de $H_2 = H_0 + T_2$	Solution de $H = H_0 + T + T_2$
<p>Energie ↑</p> <p>(2 électrons <math>p</math>)</p> <p>{15}</p>	<p>Energie ↑</p> <p><math>\left\{ \begin{array}{l} l_1 = j_2 = 3/2 \quad [6] \\ j_1, j_2 = 1/2, 3/2 \quad [8] \\ l_1 = j_2 = 1/2 \quad [1] \end{array} \right.</math></p>	<p>Energie ↑</p> <p><math>\left\{ \begin{array}{l} \frac{3/2}{3/2} \quad \frac{3/2}{3/2} \quad J = 0 \quad [1] \\ \frac{3/2}{3/2} \quad \frac{3/2}{3/2} \quad J = 2 \quad [5] \\ \frac{3/2}{3/2} \quad \frac{1/2}{1/2} \quad J = 2 \quad [5] \\ \frac{3/2}{3/2} \quad \frac{1/2}{1/2} \quad J = 1 \quad [3] \\ \frac{2}{2} \quad \frac{1/2}{1/2} \quad J = 0 \quad [1] \end{array} \right.</math></p>

الشكل (٤ - ٣) يبين البنية الناعمة لمستويات الطاقة للتشكيل  $p - p$  في الإرتباط  $j - j$  [ حالة المستوي القاعدي للرصاص  $6p^2$  (..) ]

الجزء (c) من الشكل السابق يعطي النتيجة في حالة ذرة بـإلكترونين في p ، حيث حسبنا قيم رتب التوالد كما يلي :

$$l_1 = 1 \quad j_1 = l_1 + s_1 = 3/2 \quad (3/2, 3/2)$$

$$s_1 = 1/2 \quad j_1 = l_1 - s_1 = 1/2 \quad (3/2, 1/2)$$

$$l_2 = 1 \quad j_2 = l_2 + s_2 = 3/2 \quad (1/2, 3/2)$$

$$s_2 = 1/2 \quad j_2 = l_2 - s_2 = 1/2 \quad (1/2, 1/2)$$

$m_{j_1} =$	$m_{j_2}$	$M_J$
3/2	3/2	3 مرفوض حسب باولي

1/2	2
-----	---

-1/2	1
------	---

-3/2	0
------	---

1/2	3/2	رأينا هذه الحالة سابقاً
-----	-----	-------------------------

1/2	مرفوضة حسب باولي
-----	------------------

-1/2	0
------	---

-3/2	-1
------	----

3/2	1	} رأيناها سابقاً :
1/2	0	

-1/2	مرفوضة حسب باولي
------	------------------

-3/2	-2
------	----

-3/2	3/2	0
------	-----	---

1/2	-1	} رأيناها سابقاً
-1/2	-2	

رتبة التوالد [6]

والمجموعة (3/2 , 3/2) تطابق  $J = 0$  ,  $J = 2$ 

أما المجموعة (3/2 , 1/2)

$m_{j_1} = 3/2$	$m_{j_2} = 1/2$	$M_J = 2$
	$-1/2$	1
1/2	$1/2$	1
	$-1/2$	0
-1/2	$1/2$	0
	$-1/2$	-1
-3/2	$1/2$	-1
	$-1/2$	-2

[8]

رتبة التوالد إذأ [8] ونجد أن هذا يُطابق  $J = 1$  ,  $J = 2$ أما الزوج (1/2 , 1/2) فتطابق إلى رتبة توالد [1] وإلى  $J = 0$  .

٤ - ٤ : تحديد العزوم الحركية وتعداد مستويات الطاقة المختلفة لتشكيل الإلكترون في :

**Determination des moments Cinétiques et Recensement des differents niveaux d'energie d'une configuration :**

سنظهر في هذه الفقرة كيف يمكننا أن نجد العدد الصحيح لمستويات الطاقة المنفصلة المطابقة لنفس التشكيل وإعطاء كل مستوي منها عزم حركي . يجب اعتبار حالتين :

٤ - ٤ - ١ : الكروونات في طبقات جزئية مختلفة ( حالة الكروونين غير متطابقين ) :

**Electrons appartenant à des sous - couches toutes differentes**

مثال :

np mp أو ns np

يجب تحديد الأعداد الكمية  $J, S, L$  وذلك بالبحث عن كل التوافيق الممكنة في البداية  $s_1, l_1$  ثم  $S, L$  ، عند كل قيمة لـ  $J$  التي نحصل عليها بشكل مختلف (بدءاً من قيم  $L$  أو  $S$  المختلفة) . تطابق مستوي طاقة منفصل .

والجدولين ( ٤ - ٤ ) و ( ٥ - ٤ ) يشرحان المثالين السابقين :

Etape a	Etape b			Etape c		
Configuration	S	L	Ordre de dégénérescence (2 S + 1).(2 L + 1)	J	Terme spectral	Ordre de dégénérescence 2 J +
<b>ns-np</b> $l_1 = 0 \quad l_2 = 1$ Ordre de dégénérescence (4 $l_1$ + 2) (4 $l_2$ + 2) = 12	0	1	3	1	$^1P_1$	3
	1	1	9	0	$^3P_0$	1
				1	$^3P_1$	3
				2	$^3P_2$	5
	2 niveaux distincts			4 niveaux distincts		

جدول ( ٤ - ٤ )

٤ - ٤ - ٢ : الكتلونات متكافئة ( متطابقة ) ( تنتمي لنفس الطبقة الجزيئية ) :

Electrons equivalents

الإلكترونات المتكافئة أي الإلكترونات التي لها نفس العددين الكميين  $l, n$  .

مثال :

$A = (\dots) n^2$  وسنشرح الطريقة بأخذ المثال السابق :

$$G = \frac{Y!}{X!(Y-X)!} = 15$$

Etape a	Etape b			Etape c		
Configuration	S	L	Ordre de dégénérescence (2 S + 1) (2 L + 1)	J	Terme spectral	Ordre de dégénérescence 2 J + 1
$np-np$ $l_1 = 1 \quad l_2 = 1$ Ordre de dégénérescence $(4 l_1 + 2) (4 l_2 + 2) = 36$	0	0	1	0	$^1S_0$	1
		1	3	1	$^1P_1$	3
	0	2	5	2	$^1D_2$	5
	1	0	3	1	$^3S_1$	3
	1	1	9	0	$^3P_0$	1
				1	$^3P_1$	3
				2	$^3P_2$	5
	1	2	15	1	$^3D_1$	3
				2	$^3D_2$	5
				3	$^3D_3$	7
6 niveaux distincts				10 niveaux distincts		

جدول ( ٤ - ٥ )

لنملأ الجدول التالي (٤ - ٦) حيث نضع على المحور الأفقي  $m_l = (-1, 0, 1)$  و  $m_s = (-\frac{1}{2}, \frac{1}{2})$  ، ونفس الشيء بالنسبة للمحور العمودي . نعرف بهذه الطريقة ٣٦ خلية لكن نلاحظ :

(١) بأن الخلايا التي على القطر الرئيسي مطابقة لحالات تملك الكترينين لهما نفس الأعداد الكمية الأربعة إذاً يجب حذفها .

(٢) من الممكن حذف الحالات الممثلة بخليتين متناظرتين با لنسبة للقطر الرئيسي .

وبالتالي تبقى عدد الحالات مساوي إلى ١٥ . في كل خلية وضعنا العددين

$M_s$  و  $M_L$  :

$$M_s = m_{s_1} + m_{s_2} \quad \text{و} \quad M_L = m_{l_1} + m_{l_2}$$

		1	1	0	0	-1	-1	$m_{l_1}$
		1/2	-1/2	1/2	-1/2	1/2	-1/2	$m_{s_1}$

1	1/2										
1	-1/2	2	0								
0	1/2	1	1	1	0						
0	-1/2	1	0	1	-1	0	0				
-1	1/2	0	1	0	0	-1	1	-1	0		
-1	-1/2	0	0	0	-1	-1	0	-1	-1	-2	0
$m_{l_2}$	$m_{s_2}$										

Dans chaque case

$m_L m_S$
-----------

(e)  $^1S_0$  (d)  $^3P$  (c)  $^3P$  (b)  $^3P$  (a)  $^1D_2$

الجدول ( ٤ - ٦ )

نلاحظ أنه  $M_L = 2$  ،  $M_S = 0$  و  $M_L = -2$  و  $M_S = 0$  أي لدينا حد  $^1D$  ومجموعة الخلايا على الخط (a) لقيم الحد  $^1D$  .

$M_L = 1$  ،  $M_S = 1$  و  $M_L = 1$  ،  $M_S = -1$  ، التعددية  $S = 1$  و  $L = 1$  يجب أن تتوجد والمستويات المطابقة هي  $^3P_0$  ،  $^3P_1$  ،  $^3P_2$  وهي موضوعة على الخطوط d , c , b .

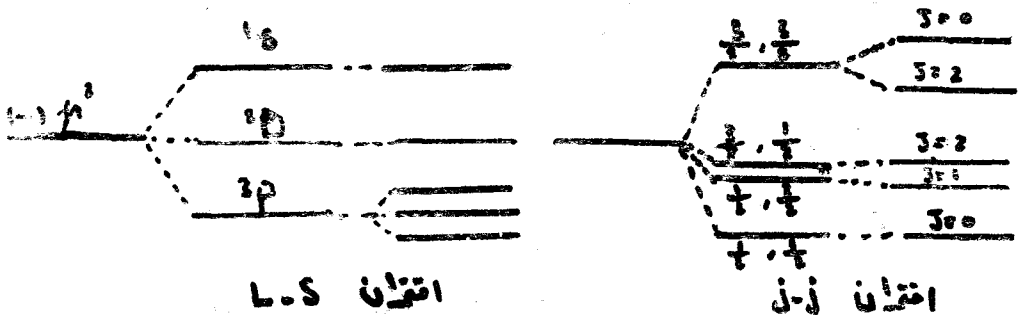
الخط الأخير e يطابق  $^1S_0$  . وباختصار بالشكل p - p يحتوي خمس سويات معطاة في الجدول ( ٤ - ٧ ) .

Etape a	Etape b			Etape c		
Configuration	S	L	Ordre de dégénérescence (2 S + 1) (2 L + 1)	J	Terme spectral	Ordre de dégénérescence 2 J + 1
$np-np$ $l_1 = 1 \quad l_2 = 1$ Ordre de dégénérescence $G = 15$	0	0	1	0	$^1S_0$	1
	0	2	5	2	$^1D_2$	5
	1	1	9	0	$^3P_0$	1
				1	$^3P_1$	3
				2	$^3P_2$	5
	3 niveaux distincts			5 niveaux distincts		

جدول ( ٧ - ٤ )

La règle de Hund : ٤ - ٣ : قواعد هوند

إن مستوي الطاقة الأصغري ( الدينوي ) لتشكيل الكتروني ما يملك أكبر قيمة ممكنة لـ S . ومن أجل هذه القيمة لـ S يملك أكبر قيمة ممكنة لـ L . فمثلاً في مثالنا السابق تصبح مستويات الطاقة كما في الشكل ذي الرقم ( ٨ - ٤ ) .



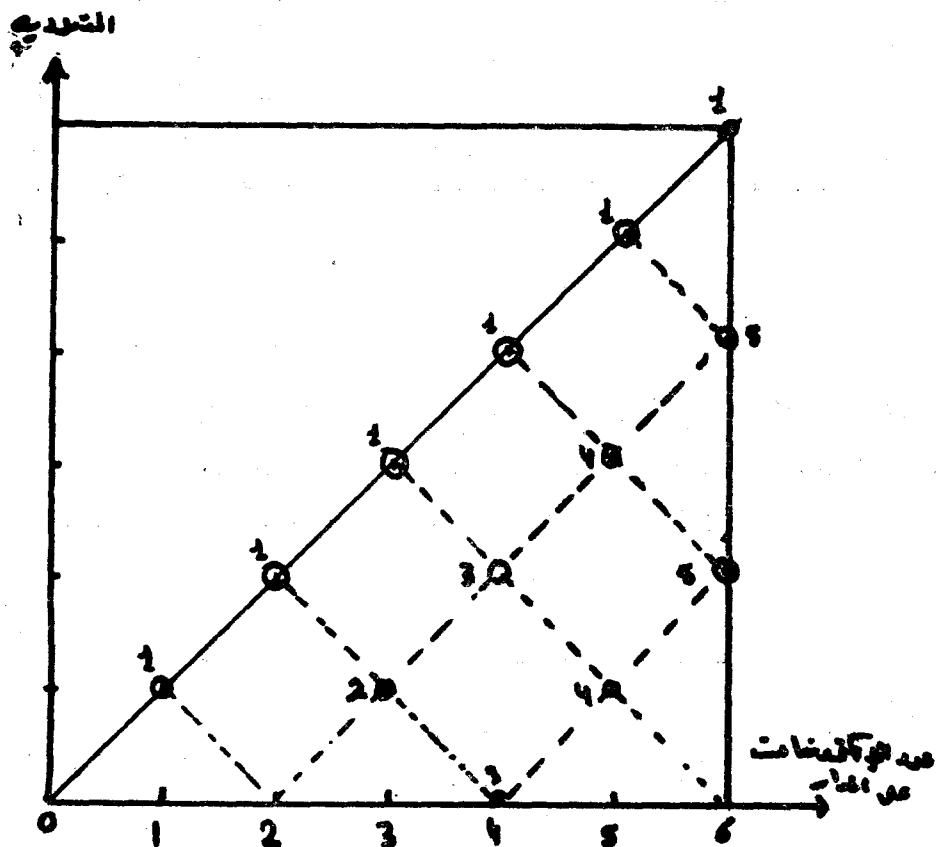
شكل ( ٨ - ٤ )

٤ - ٤ - ٤ : مخطط التعددية (شكل ٩ - ٤) :

diagramme de multiplicité



عدد الإلكترونات	قيمة السبين الكلي (S)	n القيمة العددية
0	$S = 0$	1
1	$\frac{1}{2}$	2
2	0, 1	3
3	$\frac{1}{2}, \frac{3}{2}$	4



الشكل ( ٩ - ٤ )

مسألة :

أوجد العزوم الحركية المختلفة وكذلك الحدود الطيفية ومخطط سويات الطاقة  
للتشكيل  $d^2$  (.....).

ان رتبة التوالد هي :

$$G = \frac{10!}{2!(10-2)!} = 45$$

والحل هو كما في الجدول رقم ( ٤ - ١٠ )

$m_2$ $m_1$	2	1	0	-1	-2	$S$	الحل الطبقي	$J$
4	$x\bar{x}$					0	'G, 'A, 'B, 'C, 'D	4
3	$\bar{x}$	$x$				1	$3F, 3D, 3A, 3E$	2
	$\bar{x}$	$x$				0		3
	$x$	$\bar{x}$				0	$1A, 1B$	3
	$\bar{x}$	$\bar{x}$				-1		4
2	$x$		$x$			1	$3D, 3A, 3E$	2
	$x$		$\bar{x}$			0		
	$\bar{x}$		$x$			0	$1A, 1B$	
	$\bar{x}$		$\bar{x}$			-1		
		$x\bar{x}$				0	$1D, 1A, 1B$	
1		$x$	$x$			1	$3A$	2
		$x$	$\bar{x}$			0		
		$\bar{x}$	$x$			0	$1A$	
		$\bar{x}$	$\bar{x}$			0		
	$x$			$x$		1	$3A$	
	$\bar{x}$			$x$		0		
	$x$			$\bar{x}$		0		
	$\bar{x}$			$\bar{x}$		-1	$1A$	
0	$x$				$x$		$3E$	0
	$x$				$\bar{x}$		$1E$	
	$\bar{x}$				$x$			
	$\bar{x}$				$\bar{x}$			
		$x$			$x$		$3E$	
		$x$			$\bar{x}$		$1E$	
		$\bar{x}$			$x$			
		$\bar{x}$			$\bar{x}$			
			$x\bar{x}$				$1E$	
				$x\bar{x}$				

جدول ( ٤ - ١٠ )

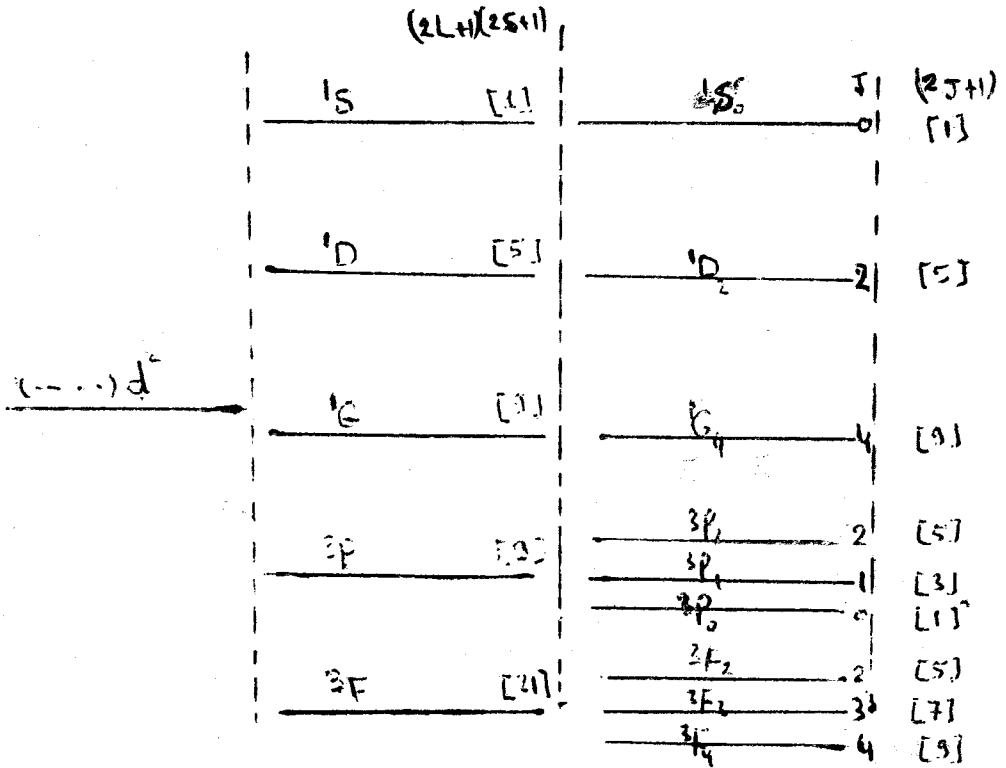
حيث رمزنا للإلكترون بسبين  $\frac{1}{2}$  بـ X وبسبين  $-\frac{1}{2}$  بـ  $\bar{X}$  .

الحدود هي إذاً :

$$\frac{{}^1S}{{(2L+1)} \cdot {(2S+1)}} \cdot \frac{{}^3P}{9} \cdot \frac{{}^1D}{5} \cdot \frac{{}^3F}{21} \cdot \frac{{}^1G}{9}$$

ويكون مخطط سويات الطاقة للبنية الإلكترونية  $d^2$  (...) هي كما في الشكل

رقم ( ٤ - ١١ ) .



شكل ( ٤ - ١١ )



## الفصل الخامس

### أطياف المنظومات الذرية بالكرون وبالكتروني

#### SPECTROSCOPIE DES SYSTEMES A UN ET A DEUX ELECTRONS

لم تأخذ بعين الاعتبار الدراسة السابقة للمسافة الكائنة بين سويات الطاقة في الخطوتين b و c ، سيكون هذا الفصل مخصص لدراسة المسافة الكائنة بين سويات الطاقة أو بالأحرى تحديد البعد بين سويات الطاقة وخاصة بالنسبة للخطوة b . وأثناء حسابنا لم تأخذ بعين الاعتبار لسبين النواة حيث اعتبر مساوياً للصفر .

إن دراسة الأطياف الذرية تعني دراسة الترددات المميزة للإشعاع الصادر عن الذرات وبما أنه عبر الطيف الملاحظ يظهر عدد كبير من الخواص للذرة فإن علم الطيوف له أهمية كبيرة في هذا المجال ، حيث يعطى العدد الموجي بـ

$$\frac{1}{\lambda} = T_p - T_q$$

حيث  $T = (-1 / hc) E$  ، E طاقة مستوي ما .

في الفقرة التالية سنتطرق للنظرية الكوانتية للإشعاع وبصورة مبسطة لنوجد احتمال الإنتقال وكذلك معاملات إينشتاين للإمتصاص والإصدار المحثوث .

#### ٥ - ١ - نظرية الإشعاع الكمية :

سنبين فيما بعد كيف حل ميكانيك الكم مسألة إصدار وإمتصاص الضوء ، حيث الكمون هنا يخضع للزمن .

وبالتالي تكون معادلة شرودينجر التابعة للزمن بالشكل :

$$-\frac{h}{i} \frac{\partial \psi}{\partial t} = H\psi$$

٥ - ١ - ١ - طريقة التغير في الثوابت :

#### Methode de Variation des constants

لتكن ذرة هيدروجينية تتحرك في كمن ثابت  $Ze^2/r$  — حل معادلة شرودينجر  $H\psi = E\psi$  معلوم والتوابع الخاصة  $\psi_1, \psi_2, \dots, \psi_n$  هي توابع خاصة للمعادلة السابقة حيث  $E < 0$  موافقة للحالات المستقرة وتعلق هذه الحالات بالزمن يعبر عنه بالعامل الأسّي :

$$e^{-i(E_n/h)t}$$

لنتصور بأن هذه الذرة خضعت في اللحظة  $t = 0$  إلى تأثير حقل موجة مستوية وحيدة الطول الموجي في هذه الحالة ، وبالإضافة إلى القوة  $Ze^2/r^2$  هناك قوة دورية تؤثر من قبل الحقل الكهرطيسي للموجة .

فعل هذه القوة الدوري يوصف بكمون تابع للزمن  $-\partial u / \partial x = x$

$$u(x, t) = - \int_0^x e \epsilon_0 \cos \omega t dx = - e \epsilon_0 x \cos \omega t \quad (٥ - ١)$$

$\epsilon$  الحقل الكهربائي الموجة . وبالتالي الكمون الذي يخضع له الإلكترون هو

$$\frac{-Ze^2}{r} + u(x, t)$$

ويكون المؤثر  $H$  هو بالشكل :

$$H = H^{(0)} + u(x, t)$$

ومعادلة شرودينجر هي :

$$[H^0 + u(x, t)] \psi = -\frac{h}{i} \frac{\partial \psi}{\partial t}$$

يمكن اعتبار  $u(x, t)$  اضطراب صغير ؛ بفرض ان  $u = 0$  نحصل على :

$$H^0 \psi = -\frac{h}{i} \frac{\partial \psi}{\partial t}$$

حيث الحل معلوم ويأخذ هذا الحل كتقريب من المرتبة صفر يمكن أن نوجد الحل من المراتب الأعلى .

لنفرض أن معادلة شرودينجر لمسألة الإضطراب هي :

$$H\psi = -\frac{h}{i} \frac{\partial \psi}{\partial t} \quad (٢ - ٥)$$

المؤثر الهاملتوني  $H$  يمكن أن يوضع تحت الشكل :

$$H = H^0 + u \quad (٣ - ٥)$$

فمن أجل  $u = 0$  تصبح معادلة الإضطراب (٣ - ٥) على الشكل :

$$H^0 \psi = -\frac{h}{i} \frac{\partial \psi}{\partial t} \quad (٤ - ٥)$$

حلول هذه المعادلة هي :

$$\left. \begin{aligned} \psi_1 &= e^{-i(E_1 t / \hbar)} \\ \psi_2 &= \psi_2^0 \cdot e^{-i(E_2 t / \hbar)} \\ \psi_n &= \psi_n^{(0)} \cdot e^{-i(E_n t / \hbar)} \end{aligned} \right\} \quad (٥ - ٥)$$

هذه التوابع تشكل مجموعة منتظمة كاملة .

( في حالة التوالد التوابع الموافقة يجب أن تكون منتظمة ومتعامدة ) .

كما في المؤشر  $H$  العلاقة (٥ - ٢) يظهر كمن متعلق بالزمن فالتوابع المرافقة

للحالات المستقرة من النوع ( ٥ - ٥ ) لم تعد حلولاً له ، إلا أن من أجل لحظة ما  $t$  كمون الإضطراب  $u(t')$  مساوي لقيمة محددة .

لأجل هذه اللحظة الكمون مساوي لكمون ( غير مضطرب ) الموجود في  $H^0$  يضاف له عدد ثابت  $u(t')$  . لنفرض بأن التتابع ( ٥ - ٥ ) تشكل قاعدة كاملة . إذاً يمكن نشر الحل على هذه القاعدة الكاملة بالشكل :

$$\psi' = \sum_k c_k \psi_k^{(0)} \cdot e^{-i(E_k/h)t'} = \sum_k c_k \psi_k$$

ومن أجل لحظة أخرى  $t''$  يمكن أن نكتب الحل تحت شكل سلسلة مشابهة مع معاملات أخرى  $c_k$  لأن :

$$u(t'') \neq u(t')$$

ويمكن أن نبحث بصورة عامة عن حل المعادلة ( ٥ - ٢ ) تحت الشكل :

$$\psi = \sum_k c_k(t) \cdot \psi_k \quad (٥ - ٦)$$

حيث المعاملات  $c(t)$  تابعة للزمن وأن هذه المعاملات تتغير ببطء مع الزمن أمام تغير الحد الأسّي  $e^{-i(E_n/h)t}$  .

وعليه فمعيّن هذه المعاملات هو احتمال حصول قياس لطاقة المجموعة في اللحظة  $t$  والحصول على قيمة محدودة  $E_n$  مساوي  $|c_n(t)|^2$  .

### ٥ - ١ - ٢ : الإمتصاص والإصدار للضوء :

لنتفحص ذرة خضعت في اللحظة  $t = 0$  لتأثير حقل موجة متألقة ولنفرض أن هذه الموجة وحيدة الطول الموجي ومستقطبة خطياً على المحور  $ox$  وتنتشر حسب المحور  $oz$  فالحقل الكهربائي لهذه الموجة يؤثر على إلكترون الذرة بقوة :

$$F = e\epsilon^0 \cos(\omega t - \frac{2\pi}{\lambda} z)$$

تأثير الحقل المغناطيسي سيهمل . لأن القوة المؤثرة على الإلكترون من طرف الحقل المغناطيسي الناتج عن الموجة هو أصغر بـ  $v/c$  مرة .

لنأخذ مركز الإحداثيات في مركز القوة إذاً يمكن إهمال  $z/\lambda$  لصغره .  
وبالتالي فإن مركبات القوة  $x$  هي :

$$F_x = X = e \varepsilon^0 \cos \omega t .$$

والكمون :

$$u(x, t) = -e \varepsilon^0 \cos \omega t$$

حل معادلة شرودينجر المضطرب :

$$H\psi = \frac{-\hbar}{i} \frac{\partial \psi}{\partial t}$$

$$H = H^0 + u$$

مع :

حيث  $u = u(x, t)$  سيكون بالشكل :

$$\psi = \sum_k c_k(t) \cdot \psi_k \quad (6-5)$$

لإيجاد المعاملات  $c_k(t)$  نعوض ( 6 - 5 ) في المعادلة ( 5 - 2 ) :

$$\sum_k c_k H^0 \psi_k + \sum_k c_k u \psi_k =$$

$$\frac{-\hbar}{i} \sum_k c_k \frac{\partial \psi_k}{\partial t} - \frac{\hbar}{i} \sum_k u_k \frac{dc_k}{dt}$$

وبما أن التوابيع  $\psi_k$  تحقق المعادلة الغير مضطربة ( 5 - 4 ) فالحد الأول من اليسار والأول من اليمين متساويان بحذفهما نجد :

$$\sum_k c_k U \psi_k = \frac{-\hbar}{i} \sum_k \psi_k \frac{dc_k}{dt}$$



لنضرب طرفي العلاقة بـ  $\psi_m^*$  ونكامل :

$$\sum_k c_k \int \psi_m^* U \psi_k d\tau = \frac{-h}{i} \sum_k \frac{dc_k}{dt} \int \psi_m^* \psi_k d\tau \quad (7-5)$$

لكن :

$$\int \psi_m^* \psi_k d\tau = \delta_{mn}$$

وبالتالي ففي الطرف الثاني سيبقى فقط :  $(h/i) (dc_m/dt)$  أي :

$$\frac{dc_m}{dt} = \frac{-i}{h} \sum_k c_k \int \psi_m^* U \psi_k d\tau \quad k = 1, 2, \dots \quad (8-5)$$

عملياً من الصعب إيجاد  $c_m$  من المعادلة السابقة لأن هذه المعادلات تشكل مجموعة . بعدد لانهائي غير معلوم ، وللحصول على أول تقريب نعلم أن  $c_k^{(1)}$  تتغير ببطء بتغير الزمن أي أن  $c_k$  في لحظة قريبة من  $t=0$  تحتفظ بقيمتها عندما كانت  $t=0$  .

ونقبل بأن هذه القيم للمعاملات ستحفظ من أجل قيم صغيرة بصورة كافية ، وهذا ما سيسمح بالحساب وبصورة تقريبية لتغير المعاملات كتابع للزمن وضمن هذا الشرط فإن كل المعاملات  $c_k$  معدومة ماعدا  $c_n$  ( حيث  $k=n$  ) .

$$\frac{dc_n}{dt} = \frac{-i}{h} \int \psi_m^* U \psi_n d\tau \quad (9-5)$$

لنفرض هنا أن  $m=1,2,\dots$  نجد علاقة من أجل المعاملات  $c_1$  و  $c_2$  تسمح بحساب هذه المعاملات بصورة منفصلة ، وبهذه الطريقة يكون التقريب الأول ثم نوجد التقريب الثاني بجعل المعاملات  $c_m$  المحسوبة في التقريب الأول في المعادلة (8) ثم نكامل من جديد ، ثم نكرر العملية حتى التقريب المرغوب .

لنأخذ الآن بعين الاعتبار تعلق التوابيع  $\psi_m^*$  ،  $\psi_n$  بالزمن :

$$\psi_m^* = \psi_m^{(0)} e^{i(E_m/h)t} \quad \text{و} \quad \psi_n = \psi_n^{(0)} e^{(-E_n/h)t}$$

ولندخل :

$$\frac{E_m - E_n}{h} = \omega_{mn} ; \int \psi_m^* u \psi_n^0 d\tau = u_{mn} \quad (10-5)$$

إذاً المعادلة ( ٥ - ٩ ) تأخذ الشكل :

$$\frac{dc_m}{dt} = \frac{-i}{h} e^{-i \omega_{mn} t} \cdot u_{mn} \quad (11-5)$$

تستخدم هذه المعادلات بحسب إحتمال الإنتقالات .

لنفرض كما قبلنا سابقاً بأنه في اللحظة  $t = 0$  تكون الذرة موجودة في الحالة المستقرة ذات الطاقة  $E_n$  . وتحت تأثير الإضطراب إنتقلت إلى حالات أخرى ، وبهذا كما من أجل  $t > 0$  كل المعاملات  $c_k$  يمكن أن تختلف عن الصفر ، لايمكن القول إذا كان الإنتقال يتم في حالة مستقرة محددة تماماً ونؤكد فقط بأنه في لحظة ما  $t > 0$  نستطيع قياس الطاقة ونحصل عليها بإحتمال مساوي لـ  $c_m^* c_m = |c_m|^2$  والقيمة مساوية إلى  $E_m$  إذاً  $|c_m|^2 = 0$  إذاً الإنتقال  $E_n \rightarrow E_m$  غير ممكن وهكذا فإن  $|c_m|^2$  تميز إحتمال الإنتقال  $E_n \rightarrow E_m$  خلال الفترة الزمنية  $0 \rightarrow t$  .

لنعتبر

$$u(x, t) = -e x \epsilon^0 \omega \cos \omega t$$

أي :

$$u_{mn} = -e \epsilon^0 \omega \cos \omega t \int \psi_m^* x \cdot \psi_n^{(0)} d\tau$$

إذا رمزنا بـ :

$$e \int \psi_m^* x \psi_n^{(0)} d\tau = e \cdot x_{mn} \quad (12-5)$$

إذاً :

$$u_{mn} = -e x_{mn} \epsilon^0 \omega \cos \omega t \quad (13-5)$$

يمكن تفسير  $x_{mn}$  بالشكل التالي . إن  $ex$  هي مركبة  $x$  لعزم ثنائي القطب إذا وجدت واحدة من الشحن في مبدأ الإحداثيات .

القيمة المتوسطة لعزم ثنائي القطب في حالة مستقرة محددة هو :

$$\langle ex \rangle = \overline{ex} = e \int \psi_m^{(0)*} x \cdot \psi_m^{(0)} d\tau$$

والعلاقة ( ٥ - ١٢ ) تختلف عن العلاقة السابقة حيث العلاقة ( ٥ - ١٢ ) توصف عزم ثنائي القطب الكهربائي للإنتقال  $n \rightarrow m$  وهي تشكل المصفوفة :

$$\begin{bmatrix} x_{11} & x_{12} & \dots & x_{1n} \\ \vdots & & & \\ x_{n1} & x_{n2} & \dots & x_{nn} \end{bmatrix}$$

حيث عنصر المصفوفة هو :

$$\langle j|x|k \rangle = x_{jk} = \int \psi_j^{0*} x \psi_k^0 d\tau = \langle \psi_j^{0*} | x | \psi_k^0 \rangle$$

لنعوض الآن ( ٥ - ١٣ ) في ( ٥ - ١١ ) نجد :

$$\frac{dc_m}{dt} = \frac{i}{h} \epsilon^0_{\omega} e x_{mn} e^{i\omega_{mn} \cdot t} \cdot \cos \omega t$$

وللتبسيط في الحسابات تأخذ المعادلة السابقة الشكل :

$$\frac{dc_m}{dt} = \frac{i}{2h} \epsilon^0_{\omega} e x_{mn} e^{i\omega_{mn}t} \cdot (e^{i\omega t} + e^{-i\omega t})$$

وبالتكامل من الصغر إلى  $t$  نجد :

$$c_m = \frac{1}{2h} \epsilon^0_{\omega} e x_{mn} \left( \frac{e^{i(\omega_{mn}+\omega)t} - 1}{\omega_{mn} + \omega} + \frac{e^{i(\omega_{mn}-\omega)t} - 1}{\omega_{mn} - \omega} \right) \quad (٥-١٤)$$

الانتقالات المحققة في الذرة تحت تأثير الحقل المشع يمكن أن تمثل طبيعة مزدوجة .

إذا كان  $E_m > E_n$  الذرة تمتص طاقة الحقل أي هناك امتصاص .

إذا كان  $E_m < E_n$  الذرة تعيد الطاقة إلى الحقل وينتج إصدار محث . حسب  $(E_m - E_n) = h_{mn}$  في الحالة الأولى يكون  $\omega_{mn}$  موجب .

أما في الحالة الثانية فهو سالب .

إن الحد  $|\omega_{mn} + \omega|$  كبير ففي حالة الإمتصاص يمكن إهمال الحد الأول من العلاقة السابقة وفي حالة الإصدار المحث يهمل الحد الثاني . لتابع في حالة الإمتصاص إن :

$$c_m = \frac{e^0 \omega}{2 h} e^{x_{mn}} \frac{e^{i(\omega_{mn} - \omega)t} - 1}{\omega_{mn} - \omega}$$

إن مربع طولية  $c_m$  تعطي احتمالية الانتقال وتساوي :

$$\begin{aligned} |c_m|^2 = c_m^* c_m &= \frac{(\epsilon^0 \omega)^2 \cdot e^2 \cdot |x_{mn}|^2}{4 h^2} \times \frac{2 [1 - \cos (\omega_{mn} - \omega) t]}{(\omega_{mn} - \omega)^2} \\ &= \frac{(\epsilon^0 \omega)^2 \cdot e^2 |x_{mn}|^2}{h^2} \cdot \frac{\sin^2 \frac{1}{2} (\omega_{mn} - \omega) t}{(\omega_{mn} - \omega)^2 t} \quad (١٥ - ٥) \end{aligned}$$

نرى أن احتمال الانتقال متناسب مع مربع سعة شدة الحقل الكهربائي للموجة أي مع شدة الموجة . وأيضاً  $|c_n|^2$  متناسب مع مربع عزم ثنائي القطب للانتقال  $(|ex_{mn}|^2)$  . يمكن الحصول على نتيجة مماثلة باستخدام الطريقة الكلاسيكية للإشعاع .

يمكن أن نضع العلاقة ( ١٥ - ٥ ) بالشكل :

$$|c_n|^2 = \frac{1}{4 h^2} (\epsilon^0 \omega)^2 e^2 |x_{mn}|^2 t^2 \left[ \frac{\sin \frac{1}{2} (\omega_{mn} - \omega) t}{\frac{1}{2} (\omega_{mn} - \omega) t} \right] \quad (١٦ - ٥)$$

نرى أنه من أجل فترة زمنية قصيرة فإن  $|c_m|^2$  متناسب مع مربع الزمن وبالتالي احتمال الانتقال في واحدة الزمن  $(d/dt) |c_n|^2$  متناسب مع الزمن .

هذه النتيجة متناقضة تظهر مع التفسير الإحصائي لآلية الإمتصاص .

للحصول على احتمال انتقال كامل موافق لكل عرض الخط وليس فقط إلى قيمته الأعظمية يجب أن نكامل العلاقة  $|c_m|^2$  ، حسب الترددات التي تحد الخط الطيفي والأفضل أن نكامل من  $-\infty$  إلى  $+\infty$  .

$$\int_{-\infty}^{+\infty} |c_m|^2 dv = \frac{(\epsilon_v^0)^2 \cdot e^2 \cdot |x_{mn}|^2}{4\pi^2 h^2} \int_{-\infty}^{+\infty} \frac{\sin^2 \pi (v_{mn} - v)t}{(v_{mn} - v)^2} dv$$

بفرض أن :  $\pi (v_{mn} - v) t = \xi$  نجد :

$$\int_{-\infty}^{+\infty} |c_m|^2 dv = \frac{(\epsilon_v^0)^2 e^2 |x_{mn}|^2 \cdot 2}{4 \pi h^2} \cdot t \int_{-\infty}^{+\infty} \frac{\sin^2 \xi}{\xi^2} d\xi$$

قيمة التكامل  $\pi$  وبالتالي :

$$\int_{-\infty}^{+\infty} |c_m|^2 dv = \frac{(\epsilon_v^0)^2 e^2 |x_{mn}|^2}{2 h^2} t \quad (17-5)$$

نرى إذاً أن احتمال الانتقال الكلي خلال  $t$  ثانية متناسب مع الزمن  $t$  وبالتالي احتمال الانتقال في واحدة الزمن مستقل عن الزمن .

٥ - ١ - ٣ : حساب معاملات انشتاين :

نعرف  $B_{nm}$  بمعاملات التي تميز الإمتصاص .

$B_{mn}$  » » » الأمتصاص المحث ،

$A_{mn}$  » الإصدار التلقائي .

في حالة سويات الطاقة الغير متوالدة هناك علاقة بين المعاملات السابقة هي :

$$B_{nm} = B_{mn} ; A_{mn} = \frac{16 \pi^2 h \nu^3}{c^3} B_{nm} \quad (18-5)$$

يميز الإشعاع داخل حجره بالكثافة الحجمية  $\rho_v$  الذي يمثل القيمة المتوسطة لكثافة الطاقة للحقل الكهرومغناطيسي .

$$\rho_v = \frac{1}{8\pi} (\bar{\epsilon}_v^2 + \bar{H}_v^2) = \frac{1}{4\pi} \bar{\epsilon}_v^2$$

وبالتالي وحسب تماثل المناحي الكامل للإشعاع في الحويصلة ( الكرة ) أي :

$$\bar{\epsilon}_{vx}^2 = \bar{\epsilon}_{vy}^2 = \bar{\epsilon}_{vz}^2 = \frac{1}{3} \bar{\epsilon}_v^2$$

ومنه نجد :

$$\rho_v = \frac{3}{4\pi} \bar{\epsilon}_{vx}^2 \quad (١٩-٥)$$

وبما أن :

$$\bar{\epsilon}_{vx}^2 = (\epsilon_{vx}^0)^2 \overline{\cos^2 2\pi \nu t} = \frac{1}{2} (\epsilon_{vx}^0)^2$$

نعوض في ( ١٩ - ٥ ) :

$$\rho_v = \frac{3}{8\pi} (\epsilon_{vx}^0)^2 \quad (٢٠-٥)$$

تعطي العلاقة ( ١٧ - ٥ ) احتمال الانتقال خلال  $t$  ثانية تحت فعل اشعاع مستقطب حسب  $ox$  .

في حالة اشعاع غير مستقطب فإن احتمال الانتقال تحت فعل المركبة  $x$  للحقل ستكون أكبر بمرتين :

$$\int_{-\infty}^{+\infty} |c_n|^2 d\nu = \frac{(\epsilon_{vx}^0)^2 \cdot e^{-|x_{nn}|^2}}{4h^2} t \quad (١٧-٥)$$

نعوض  $(\epsilon_{vx}^0)^2$  من العلاقة ( ٢٠ - ٥ ) في العلاقة ( ١٧ - ٥ ) نحصل على :

$$\int_{-\infty}^{+\infty} |c_m|^2 dv = \frac{2\pi e^2}{3h^2} |x_{mn}|^2 \rho_v \cdot t \quad (21-5)$$

ويكون احتمال الانتقال تحت تأثير المركبتان الأخريتان للحقل بالشكل :

$$\frac{2\pi \cdot e^2}{3h^2} |y_{mn}|^2 \cdot d_v \cdot t \quad ; \quad \frac{2\pi e^2}{3h^2} |z_{mn}|^2 \rho_v \cdot t \quad (22-5)$$

والإحتمال الكلي الإنتقال في واحدة الزمن تحت تأثير الإشعاع الغير مستقطب مساوي لـ :

$$\frac{2\pi \cdot e^2}{3h^2} (|x_{mn}|^2 + |y_{mn}|^2 + |z_{mn}|^2) \rho_v$$

بفرض أن :

$$|x_{mn}|^2 + |y_{mn}|^2 + |z_{mn}|^2 = |r_{mn}|^2$$

$$\frac{2\pi \cdot e^2}{3h^2} |r_{mn}|^2 \rho_v = \frac{2\pi}{3h^2} |e \cdot r_{mn}|^2 \rho_v \quad (23-5)$$

في نظرية أنشتاين من أجل نفس الاحتمال يكون :

$$B_{nm} \rho_v$$

بالمقارنة نجد :

$$B_{n,m} = \frac{2\pi}{3h^2} |e \cdot r_{mn}|^2 \quad (24-5)$$

حيث  $e \cdot r_{mn}$  هي العلاقة الكمية الموافقة لعزم ثنائي القطب في النظرية الكهرومغناطيسية الكلاسيكية للإشعاع .

المعاملات  $B_{nm}$  المميزه لإحتمال الإنتقال في الإمتصاص وحسب العلاقة (5 - 18) أيضاً احتمال الإصدار المحثوث . احتمال الإنتقال لإصدار تلقائي لايمكن الحصول عليه ببرهان مشابه لأنه لابد من استدعاء الإلكتروديناميك .

إلا أنه يمكن حسابها بفرض أنه في التوازن الترموديناميكي فإن معاملات إنشتاين  $A_{mn}$  ،  $B_{n,m}$  مرتبطان بالعلاقة :

$$A_{mn} = \frac{16 \pi^2 h \nu^2}{c^3} B_{nm}$$

بتعويض  $B_{nm}$  من العلاقة (٢٤-٥) نجد :

$$A_{mn} = \frac{32 \pi^2 \nu^3}{3 h^2 c^3} |e \cdot r_{nm}|^2 \quad (٢٥-٥)$$

ولحساب علاقة طاقة الإشعاع ذو التردد  $\nu$  ضمن عنصر زاوية صلبة  $d\Omega$  يجب ضرب العلاقة 25 بـ  $(d\Omega/4\pi)$  نحصل :

$$I_{\nu, \Omega} d\Omega = \frac{16 \pi^2 \nu^4}{3 c^3} |e \cdot r_{nm}|^2 d\Omega \quad (٢٦-٥)$$

## ٥ - ٢ - قواعد الإصطفاء Regles de sélection

تتطلب الدراسة الكمية للانتقالات الممكنة بين مستويين  $i$  و  $f$  معرفة قيم المعاملات  $A_{21}$  ( معاملات الإصدار التلقائي ) و  $B_{12}$  ( معاملات الإمتصاص ) و  $B_{21}$  ( معاملات لإصدار المحثوث ) . هناك علاقة بين  $A_{21}$  و  $B_{21}$  :

$$A_{21} = \frac{8 \pi h}{\lambda^3} \cdot B_{21}$$

$B_{12}$  ،  $B_{21}$  ، ترجمان التأثير المتبادل بين الذرة مع الحقل الكهرومغناطيسي الخارجي . بوجود مثل هذا الحقل يجب إضافة حد  $H^{(1)}$  إلى الهاملتونيان الممثل للذرة الحرة . حيث يدرس حسب نظرية الاضطراب المتعلقة بالزمن وحيث احتمال الانتقال المحث متناسب مع مربع عناصر المصفوفة  $\langle i | H^{(1)} | f \rangle$  كما وجدنا سابقاً .

من الصعب جداً إيجاد عناصر  $H^{(1)}$  مجموعة لذلك ينشئ  $H^{(1)}$  إلى حدود تمثل

— ارتباط الحقل الكهربائي  $E(t)$  المتجانس على حجم الذرة مع عزم ثنائي القطب الكهربائي  $P$  للذرة .



— ارتباط الحقل المغناطيسي  $B(t)$  المتجانس مع عزم ثنائي القطب المغناطيسي  $\mu$  للذرة .

— إرتباط الحقل الكهربائي والحقل المغناطيسي مع العزوم رباعية الأقطاب الكهربائية ورباعية الأقطاب المغناطيسية .

سنفرض بأن :

$$H^{(1)} = - \mathbf{p} \cdot \mathbf{E}$$

$\mathbf{E}$  الحقل الكهربائي وحيد اليقين على كل حجم الذرة . أي عناصر المصفوفة تكون متناسبة مع  $\langle i | \mathbf{p} | f \rangle$  .

هناك ثلاثة مركبات

$$\langle i | e_y | f \rangle \neq 0 , \quad \langle i | e_x | f \rangle \neq 0 , \quad \langle i | e_z | f \rangle \neq 0$$

إن  $R_y = R_x = 0$  إنتقال غير مسموح . إذاً يجب إيجاد عناصر  $\langle i | e_z | f \rangle$  توصف الحالتين الكميتين  $i, f$  بالتابعين الموجيين  $\psi_{n,l,m}$  ،  $\psi'_{n',l',m'}$  و ... ، وتصبح عناصر المصفوفة :

$$\langle e_z \rangle = \int \int \int R_{n'l'}^* \theta_{l'm'}^* \Phi_m^* e_z R_{nl} \theta_{lm} \Phi_m r^2 \sin \theta d\theta d\varphi dr.$$

$$z = r \cdot \cos \theta$$

$$= e \int_0^\infty R_{n'l'}^* \cdot r \cdot R_{nl} r^2 dr \int_0^\pi \theta_{l'm'}^* \cos \theta \theta_{lm} \sin \theta d\theta \int_0^{2\pi} \Phi_n' \Phi_n d\varphi$$

إذا كان  $m' \neq m$  فإن  $\langle e_z \rangle = 0$  :

إذاً يجب أن يكون  $m = m'$  وبالتالي فإن  $\Delta m = 0$  أولى قواعد الإصطفاء . لكن :

$$\theta_{l,m} = \sqrt{\frac{2l+1}{2}} \frac{(l-|m|)!}{(l+|m|)!} P_l^{|m|} \cdot (\cos \theta)$$

لكن :

$$\cos \theta P_l^m(\cos \theta) = \frac{l+|m|}{2l+1} P_{l-1}^m \cos \theta + \frac{l-|m|}{2l} P_{l+1}^m \cos \theta.$$

نعوض في التكامل الجزء الزاوي  $\theta$  نجد :

$$K \int P_l'^m \cos \theta [A P_{l-1}^{|m|}(\cos \theta) + B P_{l+1}^{|m|}(\cos \theta)] \sin \theta d\theta$$

من أجل أن يكون هناك ضوء مستقطب حسب  $oz$  يجب أن يتحقق الشرط التالي :

$$l' = l + 1 ; l' = l - 1 , \Delta m = 0$$

أي :  $\Delta l = \pm 1$  إحدى قواعد الإصطفاء .

كذلك يمكن إيجاد  $\langle |ey| \rangle$  و  $\langle |ex| \rangle$  أو إيجاد

$$x - iy = r \cdot \sin \theta \cdot e^{-i\varphi}$$

$$x + iy = r \cdot \sin \theta \cdot e^{+i\varphi}$$

حيث نجد أيضاً بأنه ، ليكن هناك إنتقال يجب أن يتحقق الشرط :

$$\Delta l = \mp 1$$

بصورة عامة فإن قواعد الإصطفاء هي :

$$m_J - m_J' = 0, \mp 1$$

$$J - J' = 0, \mp 1.$$

يمكن إيجاد قواعد الإصطفاء بدءاً من قواعد التبادل للمؤثرات التالية :

$$[L^2, (L^2, z)] = 2\hbar^2 [L_z^2 + z L_z], [L_z, [L_z, x]] = \hbar^2 x, [L_z, z] = 0$$

وذلك بتطبيق  $|e, m\rangle$  و  $\langle l' m'|$  على طرفي كل علاقة .

٥ - ٣ : ذرة بالكترون خارجي مع الأخذ بعين الاعتبار للسبين :

Atome a un électron , compte tenu du spin de l'électron

٥ - ٣ - ١ : ارتباط السبين - مدار : conplage spin orbite

رأينا سابقاً بأنه يجب إضافة حد إلى الهاملتونيان  $H_0$  ليأخذ بعين الاعتبار ارتباط السبين مع المدار وأن هذا الحد التصحيحي يساوي إلى :

$$\Delta E = \frac{h^2}{2 m^2 c^2} \frac{dW}{|r| dr} l \cdot s = a(n, l) l \cdot s$$

لإيجاد  $l \cdot s$  لدينا :

$$J = l + s \Rightarrow J^2 = (l)^2 + (s)^2 + 2 l \cdot s$$

$$l \cdot s = \frac{(J)^2 - (l)^2 - (s)^2}{2}$$

بتعويض القيم الخاصة للمؤثرات  $j, s, l$  نجد طاقة الارتباط سبين - مدار :

$$\Delta E = a(n, l) \frac{j(j+1) - (l+1) - s(s+1)}{2}$$

لإيجاد قيمة  $a(n, l)$  يجب معرفة قيمة  $W(r)$ .

لنوجد  $\Delta E$  للإلكترون  $np^1$  :

$$1) \quad l = 1 ; j = l + s = 1 + 1/2 = 3/2 \Rightarrow$$

$$\Delta E_2 = a(n, 1) \frac{3/2(3/2+1) - 1(1+1) - 1/2(1/2+1)}{2} = \frac{a(n, 1)}{2}$$

$$2) \quad l = 1 ; j = l - s = 1 - 1/2 = 1/2 \Rightarrow$$

$$\Delta E_1 = a(n, 1) \frac{1/2(1/2+1) - 1(1+1) - 1/2(1/2+1)}{2} = -a(n, 1)$$

ملاحظة :

إن الفرق بين  $\Delta E_2 - \Delta E_1$  ، يساوي إلى :

$$\Delta E_2 - \Delta E_1 = a(n, l) j_{\max}$$

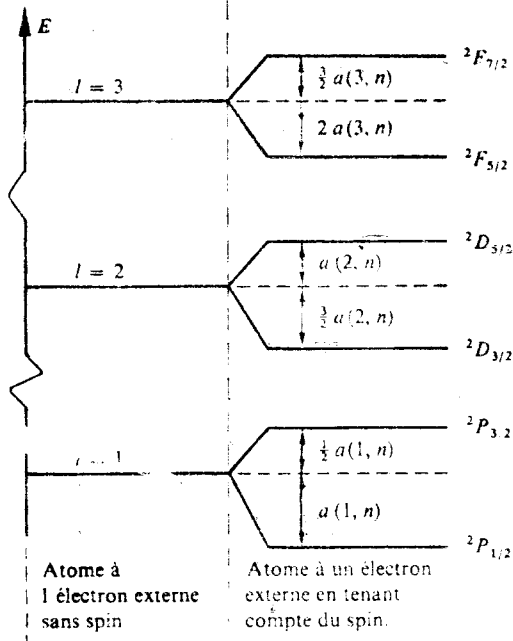
مهما كانت قيمة  $l$  ،  $j_{\max}$  ، هي القيمة الأكبر لـ  $j$  في المستويين .

لندعو بـ  $E_0$  الطاقة الناتجة عن القيمة الخاصة لـ  $H_0$  مرحلة a ( نلاحظ بأننا لانملك في هذه الحالة الخطوة b ) . المستويين مطابقان لطاقة :

$$E_1 = E_0 + \Delta E_1$$

$$E_2 = E_0 + \Delta E_2$$

الشكل ( ٥ - ١ ) يعطي مخطط الطاقة الناتج لقيم  $l$  المختلفة .



الشكل ( ٥ - ١ )

والشكل ( ٢ - ٥ ) يحدد مستويات الطاقة الأساسية للصوديوم .

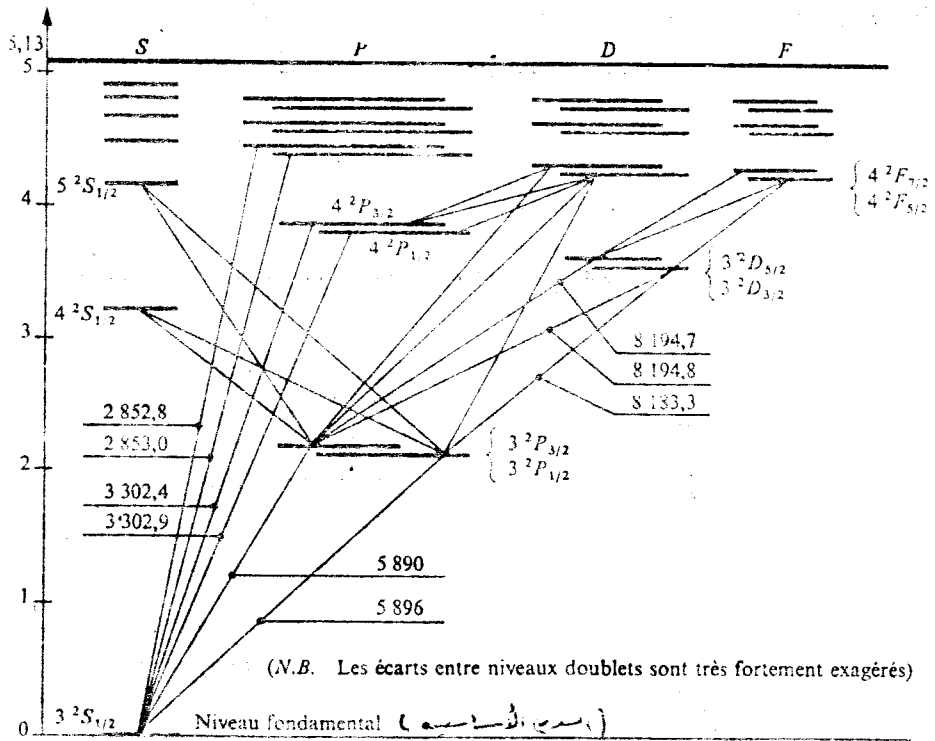
الطيف الملاحظ :

بالعودة إلى قواعد الإصطفاء :

$$\Delta n = n_2 - n_1$$

$$\Delta l = l_2 - l_1 = \mp 1$$

$$\Delta j = j_2 - j_1 = 0, \mp 1$$



شكل ( ٥ - ٢ ) مستويات الطاقة لطيف الصوديوم ، حيث مثلث بعض الإنتقالات (الأطوال الموجية بـ  $\text{\AA}$ ) الطاقة بالالكترون فولت . مستوي الأساسي أخذ كبداية .

سنلاحظ على الشكل السابق بأن الخطوط الطيفية المرتبطة بالحالة S تكون زوجية والخطوط الطيفية المتعلقة بالحالة S تكون ثلاثية والخطين الطيفين  $3^2P_{1/2} \rightarrow 3^2S_{1/2}$  و  $3^2P_{3/2} \rightarrow 3^2S_{1/2}$  هما الأكثر شدة من الطيف .

#### ٥ - ٤ : ذرات بإلكترونين : Atomes à deux électrons :

أي هي الذرات المشكلة من طبقات داخلية كاملة وتملك إلكترونيين تكافؤيين مثل ذرات العناصر القلوية الترابية ( المغنيزيوم ، الكالسيوم ، التوتياء ، الكاديوم ، الزئبق ، أي الذرات ذات التشكيل القاعدي ( الأساسي )  $4s^2$  ] أو ذات التشكيل في الحالة المحرصة  $4s^1 4p^1$  ] أو  $4s^1 4d^1$  ] ،  $4s^1 4f^1$  ] .

نلاحظ أيضاً الحالات :

$$[ \quad ] 3 d 4 s, [ \quad ] 3 d 4 p, [ \quad ] 3 d 3 d, [ \quad ] 4 p 4 p$$

٥ - ٤ - ١ طريقة الدراسة : methode d'etude

يمكن الحصول على طاقة التصحيح بسهولة كما في حالة إلكترون واحد .

ليكن  $l_2, l_1, s_2, s_1$  هي العزوم الحركية للسبين وللمدارين الإلكترونيين

$$S = s_1 + s_2, L = l_1 + l_2, L - S \quad - \text{ في ارتباط}$$

$$j_2 = l_2 + s_2, j = l_1 + s_1, j - j \quad - \text{ في ارتباط}$$

- العزم الحركي الكلي :

$$J = L + S = j_1 + j_2$$

نقبل بأن الطاقات  $E$  لمختلف مستويات التشكيل الإلكتروني المميزة بمجموعة عزوم حركية تعطى بالعلاقات :

- في ارتباط  $L - S$  :

$$E = E_0 + \underbrace{a_1 s_1 s_2 + a_2 l_1 l_2}_{T_1} + \underbrace{A \cdot L \cdot S}_{T_2}$$

- في ارتباط  $j - j$  :

$$E = E^0 + \underbrace{a_3 l_1 s_1 + a_4 l_2 s_2}_{T_2} + \underbrace{A' j_1 \times j_2}_{T_1}$$

$a_4, a_3, a_2, a_1$  قيم معطية في داخل كل تشكيل  $A', A$  توابع لـ  $S, L$  ، أو لـ  $j_2, j_1$  .

٥ - ٤ - ٢ - الإرتباط بين العزوم الحركية والنموذج الشعاعي :

Couplage entre moments Cinétiques et modèle Vecoriel

إن عبارة الطاقة  $E$  لمستويات الطاقة :

$$E = E_0 + \underbrace{a_1 s_1 s_2 + a_2 I_1 I_2}_{T_1} + \underbrace{a_3 I_1 s_1 + a_4 I_2 s_2}_{T_2}$$

حل  $H_0$   $E = E_0 + T_1 + T_2$

في كمون مركزي ، حيث  $T_1$  حد يترجم التأثيرات الكهربائية الساكنة بين الالكترونات  $T_2$  يضع ضمناً سبين الإلكترونات .

الحد  $a_2 I_1 I_2$  يترجم التأثير المتبادل الكهربائي الساكن ، الحد  $a_1 s_1 s_2$  يمثل مفعول التبادل .  $T_2$  يمثل الارتباط سبين - مدار . لن نكتب الحدين  $I_2 s_1$  ,  $I_1 s_2$  لأننا أهملنا التأثير المغناطيسي المتبادل سبين - سبين ....

لا يمكن التعبير عن المعاملات  $a_i$  تحليلياً بصورة عامة . لكن يمكننا تحديد  $a_i$  من طبيعة الارتباط في الذرة .

١ - إرتباط  $L-S$  ، رأينا أن العزوم الحركية  $S, L$  ، تحصل على التوالي بربط العزوم الحركية  $I_2, I_1$  و  $s_2, s_1$  ، مع العزم الحركي الكلي  $J$  المميز لمستوي ما معطى ، فإن وجود  $S, L$  يقودنا إلى القبول بوجود إرتباط قاسي بين  $s_2, s_1$  و  $I_2, I_1$  أي ذو قيم ثابتة للجداء السلمي  $s_1, s_2$  و  $I_1, I_2$  ، على العكس فإن  $I_2, I_1$  ليست بميزات المستويات ، والجداء السلمي  $s_1, s_2$  و  $I_2, I_1$  سيكون لهم قيم متغيرة مع الزمن .

إن وجود  $S, L$  يفرض طاقة ارتباط أكبر من  $I_2, I_1$  و  $s_2, s_1$  من طاقة الإرتباط  $s_2, I_2$  و  $s_1, I_1$  ، والمعاملات  $a_2, a_1$  ، سيكون لها قيم أكبر من  $a_4, a_3$  .

٢ - ارتباط  $z-z$  :

- الجداء السلمي  $s_1 I_1$  و  $s_2 I_2$  ثابتة .

- الجداء السلمي  $s_2 s_1, I_2 I_1$  متغير مع الزمن .

يستعمل غالباً النموذج الشعاعي في الفيزياء الذرية ، وفي هذا النموذج تكون مؤثرات العزوم الحركية ممثلة بأشعة .

إن عزم حركي ما يكون مرفق بشعاع ذو طول

$$h \sqrt{j(j+1)}$$

تحدد الزاوية الكائنة بين شعاعين كالتالي :

$$2 \mathbf{l} \cdot \mathbf{s} = 2 |\mathbf{l}| \cdot |\mathbf{s}| \cos \alpha.$$

حيث  $\alpha$  الزاوية الكائنة بين الشعاع  $s$  والشعاع  $l$ .

$$\mathbf{j} = \mathbf{l} + \mathbf{s} \Rightarrow j^2 = l^2 + s^2 + 2 \mathbf{l} \cdot \mathbf{s}$$

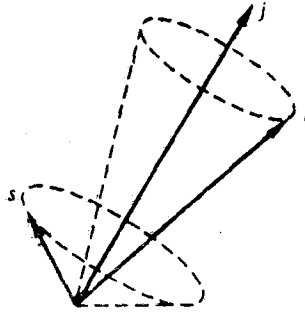
$$2 \mathbf{l} \cdot \mathbf{s} = |\mathbf{j}|^2 - |\mathbf{l}|^2 - |\mathbf{s}|^2$$

$$= h j(j+1) - h^2 \cdot l(l+1) - h^2 s(s+1)$$

نعوض :

$$\cos \alpha = \frac{(j+1) - l(l+1) - s(s+1)}{2 \sqrt{l(l+1)} \cdot \sqrt{s(s+1)}}$$

سنتخيل بأن الشعاعين  $l$  و  $s$  يدوران حول محصلتهما  $j$  كما في الشكل ( ٥ - ٣ ) وفي حالة الارتباط  $L-S$  فإن الشكل ( ٥ - ٤ ) يعطي دوران  $l_1, l_2$  حول محصلتهما  $L$  و  $s_1, s_2$  يدوران أيضاً حول المحصلة  $S$  وكلا  $L$  و  $S$  يدوران حول  $J$ .

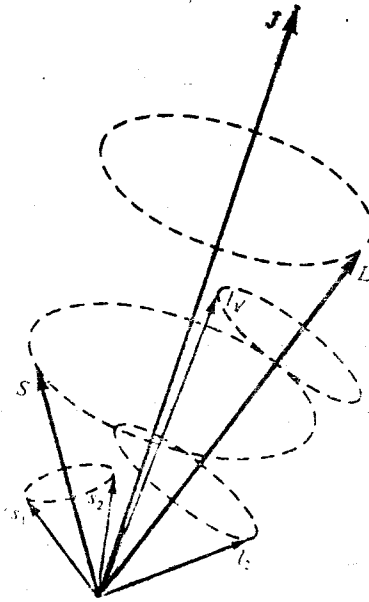


شكل ( ٥ - ٣ )

نكتب طاقة الارتباط سبين مدار  $T_2$  كما يلي :

$$T_2 = a_3 |\mathbf{l}_1| \cdot |\mathbf{s}_1| \cos(\mathbf{l}_1, \mathbf{s}_1) + a_4 \cdot |\mathbf{l}_2| \cdot |\mathbf{s}_2| \cos(\mathbf{l}_2, \mathbf{s}_2)$$





شكل ( ٥ - ٤ )

لكن الزوايا  $(I_1, s_1)$  ،  $(I_2, s_2)$  غير ثابتتين .

نكتب القيم المتوسطة لتجيباتها :

$$\overline{\cos (I_1, s_1)} = \cos (I, L) \cdot \cos (L, S) \cdot \cos (S, s_1) .$$

$$\overline{\cos (I_2, s_2)} = \cos (I_2, L) \cdot \cos (L, S) \cdot \cos (S, s_2)$$

بسهولة نبرهن على صحة العلاقتين :

$$\begin{aligned} I_1 s_1 &= \overrightarrow{(I_1 \text{ شعاع على } L)} \cdot \overrightarrow{(s_1 \text{ شعاع على } S)} \\ &= |I_1| \cdot \cos (I_1, L) \cdot [|s_1| \cdot \cos (s_1, S)] \cdot \cos (L, S) \end{aligned}$$

نفس الشيء بالنسبة لـ  $I_2 s_2$  وبالتعويض في  $T_2$  نجد :

$$T_2 = \cos (L, S) \cdot [a_3 |I_1| \cdot |s_1| \cdot \cos (I_1, L) \cos (S, s_1) +$$

$$a_4 |I_2| \cdot |s_2| \cdot \cos (I_2, L) \cos (S, s_2) ]$$

والتي يمكن أن نكتبها بعد التعبير ضمناً عن التجهيزات :

$$T_2 = A \cdot |L| \cdot |S| \cdot \cos (L \cdot S) \\ = A \cdot L \cdot S .$$

مع :

$$A = a_3 \frac{|s_1|^2 - |s_2|^2 + |S|^2 \cdot |l_1|^2 - |l_2|^2 + |L|^2}{2 |S|^2} + \\ + a_4 \frac{|s_2|^2 - |s_1|^2 + |S|^2 \cdot |l_2|^2 - |l_1|^2 + |L|^2}{2 |S|^2} .$$

وبنفس الطريقة يمكننا أن نحسب  $\Delta E_1 + \Delta E_2$  في حالة الارتباط ز ز .

٥ - ٤ - ٣ - الارتباط L - S :

(a) - توضع مستويات الطاقة :

$$\Delta E = a_1 s_1 s_2 + a_2 l_1 l_2 + A L \cdot S .$$

$$\Delta E = \frac{a_1}{2} [ S(S+1) - s_1(s_1+1) - s_2(s_2+1) ] + \frac{a_2}{2} [ L(L+1) - l_1(l_1+1) - \\ - l_2(l_2+1) ] + \frac{A}{2} [ J(J+1) - L(L+1) - S(S+1) ]$$

تسمح لنا هذه العلاقة بتحديد الأوضاع النسبية لمختلف المستويات إن  $a$  و  $A$  تأخذ قيم موجبة أو سالبة حسب الحالة المدروسة .

مثال :

nsnp مثال مدروس في الفصل السابق لكن سنوجد  $\Delta E$  كما في الجدول

رقم ( ٥ - ٥ )

ملاحظة : ١ - إذا كانت  $A > 0$  فإن الطاقة تزداد ويقال بأن التعددية طبيعية .

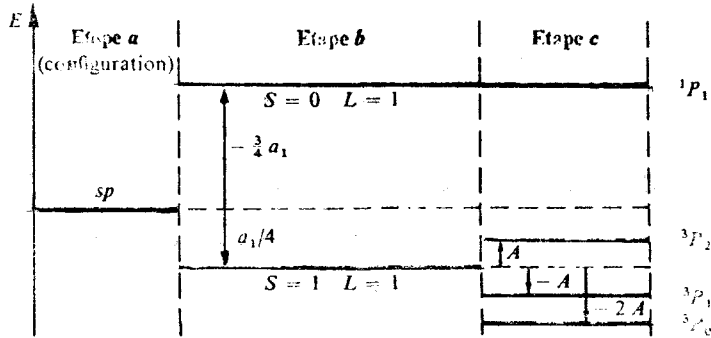
٢ - وإذا كانت  $A < 0$  فإن الطاقة تتناقص والتعددية معكوسة .

$3D_3$        $3D_1$   
 $3D_2$        $3D_2$   
 $3D_1$        $3D_3$   
 طبيعية      معكوسة

Terme spectral	S	L	J	Etape b ( $T_1$ )		Etape c ( $T_2$ )
				$a_1 s_1 \cdot s_2$	$a_2 l_1 \cdot l_2$	4.1.S
$1P_1$	0	1	1	$-\frac{3}{4} a_1$	0	0
$3P_0$	1	1	0	$\frac{1}{4} a_1$	0	$-2A$
$3P_1$	1	1	1			$-A$
$3P_2$	1	1	2			$+A$

جدول ( ٥ - ٥ )

والشكل ( ٥ - ٦ ) يعطي مخطط سويات الطاقة للمثال المدروس سابقاً مع الأبعاد النسبية بين سويات الطاقة هذه .



شكل ( ٥ - ٦ )

مثال ٢ :

أحسب  $\Delta E$  للتشكيل  $pd$  وكذلك مخطط سويات الطاقة للحدود الطيفية وتوضعها بالنسبة لبعضها البعض .

العل :

الجدول رقم ( ٥ - ٧ ) يعطي العزوم الحركية والحدود الطيفية

$M_L$	1	0	-1	2	1	0	-1	-2	$S'$	$J$	الحدود الطيفية
3	x			x					1	2, 3, 4	$^3F_3, ^3F_3, ^3F_4$
2	x			x					1	1, 2, 3	$^3D_1, ^3D_2, ^3D_3$
1		x		x					1	0, 1, 2	$^3P_0, ^3P_1, ^3P_2$
3	x			x					0	3	$^1F_3$
2	x			x					0		$^1D_2$
1		x		x					0	1	$^1P_1$

جدول ( ٥ - ٧ )

الجدول ( ٥ - ٨ ) يبين الفروق المختلفة لقيمة الطاقة بين السويات ( الحدود

الطيفية ) :

Terme spectral	S	L	J	Etape b ( $T_1$ )		Etape c ( $T_2$ )
				$a_1 s_1 \cdot s_2$	$a_2 l_1 \cdot l_2$	$T_2 = AL \cdot S$
$^1P_1$	0	1	1	$-\frac{3}{4} a_1$	$-3 a_2$	0
$^1D_2$	0	2	2		$-a_2$	
$^1F_3$	0	3	3		$2 a_2$	
$^3P_0$	1	1	0	$\frac{1}{4} a_1$	$-3 a_2$	$-2 A$
$^3P_1$	1	1	1			$-A$
$^3P_2$	1	1	2			$A$
$^3D_1$	1	2	1		$-a_2$	$-3 A$
$^3D_2$	1	2	2			$-A'$
$^3D_3$	1	2	3			$2 A'$
$^3F_2$	1	3	2		$2 a_2$	$-4 A''$
$^3F_3$	1	3	3			$-A''$
$^3F_4$	1	3	4			$3 A''$

جدول رقم ( ٥ - ٨ )

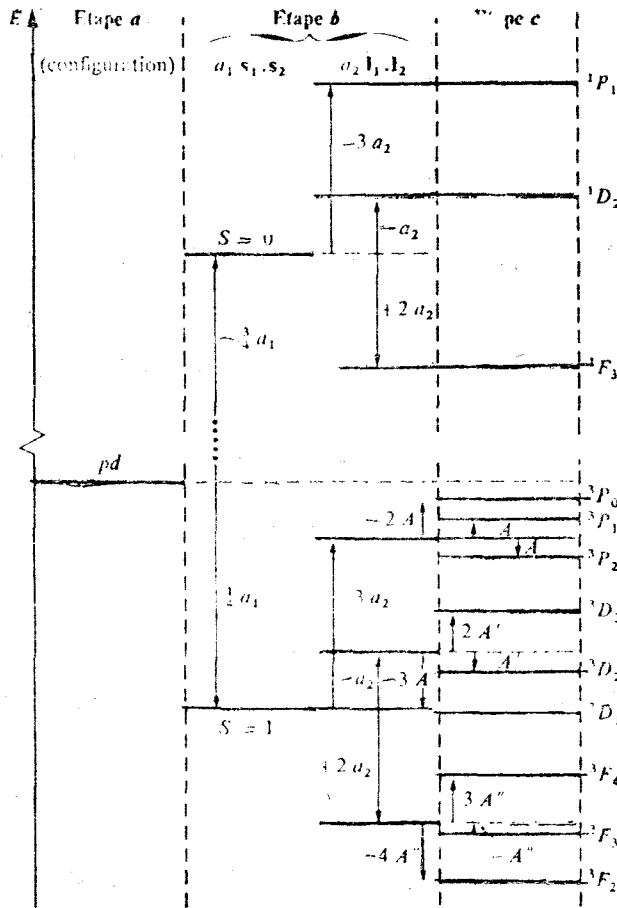
والشكل ( ٥ - ٩ ) يوضح توزيع مستويات الطاقة المختلفة للتشكيل (pd) .

مثال :

أحسب توزيع سويات الطاقة للتشكيل الإلكتروني  $p^1 d^1$  (....) في الارتباط  
 ز-ز ( يعود هذا المثال للفقرة ٥ - ٤ - ٤ )

الحل :

$$\Delta E = a_3 l_1 s_1 + a_4 l_2 s_2 + A j_1 - j_2$$



شکل ( ۹ - ۵ )

$$\langle \Delta E \rangle = \frac{a_1}{2} [j_1(j_1 + 1) - l_1(l_1 + 1) - s_1(s_1 + 1)] +$$

$$\frac{a_2}{2} [j_2(j_2 + 1) - l_2(l_2 + 1) - s_2(s_2 + 1)] +$$

$$\frac{A'}{2} [J(J + 1) - j_1(j_1 + 1) - j_2(j_2 + 1)]$$

$$\left. \begin{array}{l} l_1 = 1 \\ s_1 = 1/2 \end{array} \right\} \Rightarrow j_1 = 1/2, 3/2 \quad 1 - S \leq j \leq 1 + S$$

$$\left. \begin{array}{l} l_2 = 2 \\ s_2 = 1/2 \end{array} \right\} \Rightarrow j_2 = 3/2, 5/2$$

من أجل :  $j_2 = 3/2, j_1 = 1/2$

$$\frac{a_3}{2} [1/2 (1/2 + 1) - 1 (1 + 1) - 1/2 (1/2 + 1)] = -a_3$$

$$\frac{a_4}{2} [3/2 (3/2 + 1) - 2 (2 + 1) - 1/2 (1/2 + 1)] = -3/2 a_4$$

$$J = 1, 2 \quad \text{إذا} \quad |j_1 - j_2| \leq J \leq |j_1 + j_2|$$

$$|1/2 - 3/2| \leq J \leq |1/2 + 3/2|$$

من أجل :  $J = 1$

$$\frac{A'}{2} [1 (1 + 1) - 1/2 (1/2 + 1) - 3/2 (3/2 + 1)] = -5/4 A'$$

من أجل  $J = 2$

$$\frac{A'}{2} [2 (2 + 1) - 1/2 (1/2 + 1) - 3/2 (3/2 + 1)] = 3/4 A'$$

للزوج  $(1/2, 5/2) \quad j_2 = 5/2, j_1 = 1/2$

$$\frac{a_3}{2} [1/2 (1/2 + 1) - 1 (1 + 1) - 1/2 (1/2 + 1)] = -a_3$$

$$\frac{a_4}{2} [5/2 (3/2 + 1) - 2 (2 + 1) - 1/2 (1/2 + 1)] = a_4$$

$$J = 3, 2$$

من أجل  $J = 2$

$$\frac{A'}{2} [2 (2 + 1) - 1/2 (1/2 + 1) - 5/2 (3/2 + 1)] = -7/4 A'$$

$$J = 3$$

$$\frac{A'}{2} [3(3+1) - \frac{1}{2}(\frac{1}{2}+1) - \frac{5}{2}(\frac{3}{2}+1)] = \frac{5}{4} A'$$

$$(3/2, 3/2) \quad j_2 = 3/2, j_1 = 3/2 \quad \text{الزوج}$$

$$\frac{a_3}{2} [3/2(\frac{3}{2}+1) - 1(1+1) - \frac{1}{2}(\frac{1}{2}+1)] = \frac{1}{2} a_3$$

$$\frac{a_4}{2} [3/2(\frac{3}{2}+1) - 2(2+1) - \frac{1}{2}(\frac{1}{2}+1)] = \frac{3}{4} a_4$$

$$J = 3, 2, 1, 0$$

$$J = 3 \quad \text{من أجل}$$

$$\frac{A'}{2} [3(3+1) - 3/2(\frac{3}{2}+1) - 3/2(\frac{3}{2}+1)] = \frac{9}{4} A'$$

$$: J = 2$$

$$\frac{A'}{2} [(2(2+1) - 3/2(\frac{3}{2}+1) - 3/2(\frac{3}{2}+1))] = -\frac{3}{4} A'$$

$$: J = 1$$

$$\frac{A'}{2} [1(1+1) - 3/2(\frac{3}{2}+1) - 3/2(\frac{3}{2}+1)] = -\frac{11}{4} A'$$

$$: J = 0$$

$$\frac{A'}{2} [0 - 3/2(\frac{3}{2}+1) - 3/2(\frac{3}{2}+1)] = -\frac{13}{4} A'$$

$$j_2 = 5/2, j_1 = 3/2 \quad \text{الزوج}$$

$$\frac{a_3}{2} [3/2(\frac{3}{2}+1) - 1(1+1) - \frac{1}{2}(\frac{1}{2}+1)] = \frac{a_3}{2}$$

$$\frac{a_4}{2} [5/2(\frac{5}{2}+1) - 2(2+1) - \frac{1}{2}(\frac{1}{2}+1)] = a_4$$



$$J = 4, 3, 2, 1$$

$$: J = 4$$

$$\frac{A'}{2} [ 4(4 + 1) - 3/2 (3/2 + 1) - 5/2 (5/2 + 1) ] = 15/4 A'$$

$$: J = 3$$

$$\frac{A'}{2} [ 3(3 + 1) - 3/2 (3/2 + 1) - 5/2 (5/2 + 1) ] = - A'/4$$

$$: J = 2$$

$$\frac{A'}{2} [ 2(2 + 1) - 3/2 (3/2 + 1) - 5/2 (5/2 + 1) ] = - 13/4 A'$$

$$: J = 1$$

$$\frac{A'}{2} [ 1(1 + 1) - 3/2 (3/2 + 1) - 5/2 (5/2 + 1) ] = - 21/4 A'$$

والشكل ( ٥ - ١٠ ) يوضح توزيع مستويات الطاقة المختلفة للتشكيل  $p^1d^1$  في الاقتران  $J - J$

(b) - قاعدة مجال لاندé : Regle d'intervalle de Landé

لنعتبر ثلاثة مستويات لها نفس قيم  $S$  ،  $L$  لكن ذات قيم  $J$  مختلفة .

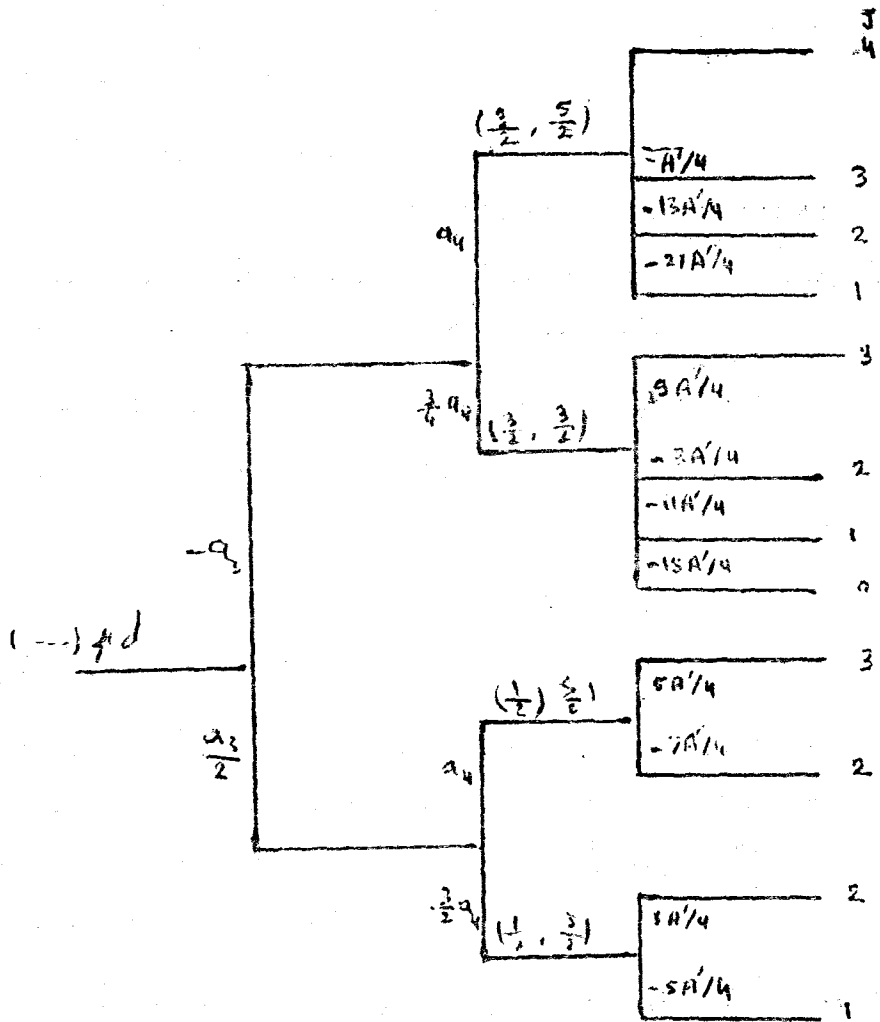
يقال بأنه لدينا ثلاثية triplet ، أي  $J_0 + 2, J_0 + 1, J_0$  . هي قيم  $J$  لهذه المستويات . إن قيمة التصحيح في الخطوة b ( $T_1$ ) هي ذاتها ، أما  $T_2$  فتأخذ القيم :

من أجل المستوي ذو القيمة  $J_0$  :

$$+ \frac{A}{2} [ J_0 (J_0 + 1) - L(L + 1) - S(S + 1) ]$$

من أجل المستوي ذو القيمة  $J_0 + 1$  :

$$- \frac{A}{2} [ (J_0 + 1) (J_0 + 2) - L(L + 1) - S(S + 1) ]$$



شكل ( ٥ - ١٠ )

ومن أجل المستوي ذو القيمة  $J_0 + 2$  :

$$\frac{A}{2} [(J_0 + 2)(J_0 + 3) - L(L + 1) - S(S + 1)]$$

ان فرق الطاقة بين المستوي  $J_0$  والمستوي  $J_0 + 1$  هو  $A(J_0 + 1)$  ، فرق الطاقة بين

المستويين  $J_0 + 1$  و  $J_0 + 2$  هو :  $A(J_0 + 2)$  .

مما سبق يمكننا استخلاص قاعدة لاندé . إن فرق بين زوج من المستويات المتعاقبة في ثلاثية متناسب مع قيمة  $J$  الأكبر المميزة للمستويين .

(c) — الطيف الضوئي لذرة بالكترونين تكافؤيين :

#### Spectre optique d'un atome à 2 è de valance

الخطوط الطيفية الممكنة ملاحظتها أثناء الإنتقالات من الحالات المثارة إلى الحالة الأرضية ( الأساسية ) ستكون محدودة بقواعد الإصطفاء التالية :

١ — لا يمكن الإنتقال أن يتم بين حالة فردية  $S = 0$  ، وحالة ثلاثية  $S = 1$  .

٢ — الإنتقالات المسموحة هي فقط التي تحقق :

$$\Delta L = \mp 1 .$$

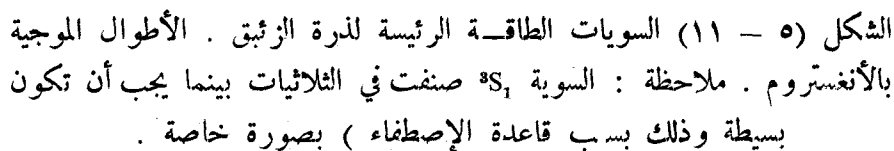
$$\Delta J = 0 , \mp 1 .$$

( الإنتقال من  $J = 0 \leftarrow J = 0$  مستبعد ) .

الشكل ( ٥ - ١١ ) يمثل الإنتقالات الأكثر شدة والملاحظة ضمن انقراغ قوسي لبخار الزئبق . حيث نلاحظ هناك انتقال طينبي من  $6^1S_0 \rightarrow 6^3P_1$  ، لا يحقق الشرط (1) يدعى هذا الخط بـ (intercombinaison) وهذا يعني بأن الاقتران في ذرة الزئبق لم يمثل بصورة تامة بالاقتران  $L - S$  .

على الشكل ( ٥ - ١١ ) نرى ظهور مستويات  $6^3P_0$  و  $6^3P_2$  حيث لا يوجد أي انتقال تلقائي . نتحدث عن مستويات دائمة الاستقرار (metastable) بالحقيقة فإن مثل هذه الذرة وبهذا الحالة لا يمكن أن تعود إلى الحالة الأساسية بواسطة إصدار لإنتقال ثنائي القطب الكهربائي .

آليات عديدة : ( تصادمية ، إشعاعية ، معقدة .. ) . إلا أنها مسموحة مع احتمال ضعيف ، وهذا يعطي لهذه المستويات الدائمة الإستقرار مدّة حياة أطول من رتبة  $10^{-3} \text{ sec}$  بينما الخطوة الأخرى ذات مدة حياة من مرتبة  $10^{-8} \text{ sec}$  .



— بالفروق الواضحة لقاعدة مجال لاندہ . والزئق مثال نموذجي .

- 115 -

$$\frac{6 \text{ } ^3\text{D}_3 - 6 \text{ } ^3\text{D}_2}{\text{ } ^3\text{D}_2 - \text{ } ^3\text{D}_1} = \left( \frac{35 \text{ cm}^{-1}}{60 \text{ cm}^{-1}} \right)_{\text{exp}} = 0.58 \text{ تجريبياً}$$

— بظهور خطوط طيفية ممنوعة ضمن الطيف وذلك في حالة الارتباط  $L - S$  التام .

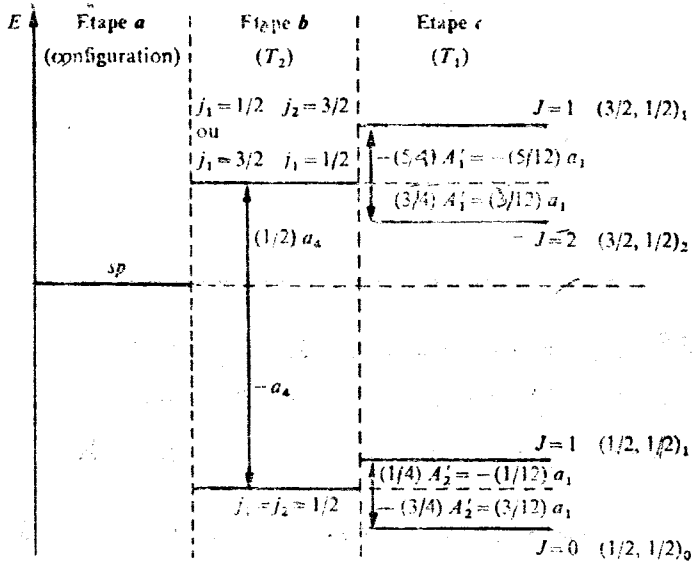
### ٥ - ٤ - ٤ : Le Couplage $j - j$

نسلك نفس الطريق الذي سلكناه في الارتباط  $L - S$  وذلك لحساب  $\Delta E$  .

$$\Delta E = \frac{a_3}{2} [j_1(j_1 + 1) - l_1(l_1 + 1) - s_1(s_1 + 1)] + \frac{a}{4} [j_2(j_2 + 1) - l_2(l_2 + 1) - s_2(s_2 + 1)] + \frac{A'}{2} [J(J + 1) - j_1(j_1 + 1) - j_2(j_2 + 1)]$$

الشكل ( ٥ - ١٢ ) يبين الفروق النسبية للمستويات في الارتباط  $j - j$  للتشكيل

: sp



شكل ( ٥ - ١٢ )

وقواعد الإصطفاء التي يجب استخدامها في الارتباط  $j - j$  هي :

$$(1) \quad \Delta J = 0, \mp 1 \text{ والانتقال من } J = 0 \leftarrow J = 0 \text{ متسبب}$$

$$\Delta j_2 = 0, \mp 1, \quad \Delta j_1 = 0 \quad (2)$$

أو :

$$\Delta j_1 = 0, \mp 1 \quad \text{و} \quad \Delta j_2 = 0$$

يطبق الإرتباط  $z z$  على ذرات ( الكربون - السيليوم - الجرمانيوم - القصدير - الرصاص ) . ذات التشكيل  $n s^2 m p^2$  حيث يحرض إلكترون من  $p^2$  وبالتالي تدرس الحالات المهيجة كما في حالة ذرة بالكرونين ، الكربون يدرس في الإرتباط  $L-S$  .

atomes légers : ٥ - ٤ - ٣ الذرات الخفيفة :

لا يمكن تطبيق القواعد السابقة لأن المفاعيل النسبية تصبح مهمة بصورة خاصة وحيث التأثيرات المتبادلة سيين - سبين لم تعد تفسر بالحد  $a_1 s_1 s_2$  .

٥ - ٥ - مستويات الطاقة لذرة الهيدروجين : البنية الناعمة للخطوط :

Niveaux d'énergie de l'atome d'hydrogène structure fine des raies

في الفقرة السابقة وجدنا بأن التقارب التي درسناها سابقاً لا تنطبق على الذرات الخفيفة ولتفسير الخطوط التجريبية مثل  $H_\alpha$  ( $n=3 \rightarrow n=2$ ) ، وهي مجموعة خطوط ذات أطوال موجية قريبة جداً من بعضها البعض فإنه يجب البحث عن البنية الناعمة لسويات الطاقة .

سنستعرض معظم مراحل الحساب .

٥ - ٥ - ١ الخطوة الأولى : نموذج المدارات الدائرية لبور :

Le modele des orbites circulaires de Boher

إن الحد الطيفي الذي يعطيه نموذج بور :

$$T = \frac{-E}{hc} = \frac{R}{n^2}$$

ينتج عن حل معادلة شرودنجر الغير نسبية .

٥ - ٥ - ٢ : الخطوة الثانية النموذج النسبي لبور - سومرفيلد :

Le modèle relativiste de Boher - Sommerfeld

يعطي الحد الطيفي في هذا النموذج كتابع لعددتين كميّين  $n$  و  $k$  ( $k \leq n$ ) .

$$T = \frac{-E}{hc} = \frac{-\mu c}{h} \left[ 1 + \frac{\alpha^2}{(n-k+\sqrt{k^2-\alpha^2})^2} \right]^{-1/2} + \frac{\mu c}{h}$$

$\mu$  الكتلة المختزلة للإلكترون ،  $\alpha$  ثابتة البنية الناعمة (CGS)  $\alpha = e^2 / hc$

$$\alpha = \frac{e^2}{4 \pi \epsilon_0 h c} \text{ (MKSA)}$$

بنشر محدود للعلاقة السابقة يمكن أن تصبح على الشكل :

$$T = \frac{R}{n^2} + \frac{R\alpha^2}{n^4} \left( \frac{n}{k} - \frac{3}{4} \right) + \frac{R\alpha^4}{n^6} (\dots) + \dots$$

$$R = \frac{\mu c \alpha^2}{2 h} \quad \text{مع}$$

نلاحظ من هذه العلاقة أن التوالد قد ارتفع .

٥ - ٥ - ٣ : الخطوة الثالثة : التصحيح النسبي للنموذج الكمي :

Correction relativiste au mode le quantique

بإستخدام معادلة شرودينجر النسبية فإن هايزنبرغ وجوردان وجدا العلاقة التالية للحد الطيفي :

$$T = \frac{R}{n^2} + \frac{R\alpha^2}{n^4} \left( \frac{n}{l+1/2} - \frac{3}{4} \right) = \frac{R}{n^2} + \Delta Tr$$

ويمكن كتابة معادلة شرودنجر النسبية ، وذلك لمعرفة قيمة التصحيح  $\Delta Tr$  حيث يعطى الهاملتون بحملة الإلكترون - بروتون بالعلاقة التالية :

$$T + u = \mu c^2 \left[ \frac{1}{\sqrt{1-\beta^2}} - 1 \right] + u(r) \quad (1)$$

حيث  $\beta = v/c$  .

أما مساقط كمية الحركة فهي :

$$P_x = \frac{\mu \cdot x'}{\sqrt{1-\beta^2}} , P_y = \frac{\mu \cdot y'}{\sqrt{1-\beta^2}} ; P_z = \frac{\mu \cdot z'}{\sqrt{1-\beta^2}} \quad (2)$$

حيث  $x' = dx / dt$

$$p^2 = p_x^2 + p_y^2 + p_z^2 = \frac{\mu^2 v^2}{1-\beta^2} = \frac{\mu^2 c^2 \beta^2}{1-\beta^2} = \mu^2 c^2 \left[ \frac{1}{1-\beta^2} - 1 \right] \quad (3)$$

ومنه فإن :

$$\frac{1}{\sqrt{1-\beta^2}} = \sqrt{1 + \frac{p^2}{M^2 c^2}} = 1 + \frac{1}{2} \frac{p^2}{\mu^2 c^2} - \frac{1}{8} \frac{p^4}{\mu^4 c^4} + \dots \quad (4)$$

نعوض في علاقة H نجد :

$$H = \mu c^2 \left[ \sqrt{1 + \frac{p^2}{\mu^2 c^2}} - 1 \right] + u(r) = u(r) + \frac{p^2}{2\mu} - \frac{p^4}{8\mu^3 c^2} + \dots \quad (5)$$

إن الحد الثالث من الطرف اليمين للمعادلة السابقة يمكن اعتباره كإضطراب ، ويمكن كتابة معادلة شرودنجر تحت الشكل :

$$\left[ \frac{p^2}{2\mu} + u(r) - \frac{p^4}{8\mu^3 c^2} \right] \psi = E \psi \quad (6)$$

إذا أهملنا الحد الثالث في هذه المعادلة نحصل على معادلة شرودنجر الغير نسبية المعروفة :

$$\left[ \frac{p^2}{2\mu} + u(r) \right] \psi = E_0 \psi \quad (7)$$

لنفرض أن التوابع الخاصة لمعادلة شرودنجر الغير نسبية تختلف قليلاً عن التوابع الخاصة لمعادلة شرودنجر النسبية ، ويمكن اعتبار :



$$\frac{-1}{8\mu^3 c^2} p^4 \psi = - \frac{1}{8\mu^3 c^2} p^4 \psi^0 \quad (8)$$

من المعادلة رقم (7) نجد :

$$\frac{1}{2\mu} p^2 \psi^0 = (E_0 - u) \psi^0 .$$

لتؤثر بالتؤثر  $p^2 (1/2\mu)$  مرة أخرى نجد :

$$\frac{1}{4\mu^2} p^4 \psi^0 = (E_0 - u)^2 \psi^0$$

ومنه نجد :

$$\frac{-1}{8\mu^3 c^2} p^4 \psi^0 = \frac{-1}{2\mu c^2} (E_0 - u)^2 \psi^0 \quad (10)$$

وحسب التقريب المفترض فإنه يمكننا استبدال  $E_0$  بـ  $E$  أي :

$$\frac{-1}{8\mu c^2} p^4 \psi = \frac{-1}{2\mu c^2} (E - u)^2 \psi \quad (11)$$

نعوض المعادلة (11) في العلاقة (6) نحصل على المعادلة التالية :

$$\frac{-h^2}{2\mu} \Delta \psi + \left[ (u - E) - \frac{1}{2\mu c^2} (u - E)^2 \right] \psi = 0 \quad (12)$$

لنتفحص الحركة في حقل مركزي حيث حل معادلة شرودنجر في الإحداثيات

الكروية :

$$\psi(r, \theta, \varphi) = R(r) Y(\theta, \varphi)$$

بعد فصل المتحولات نجد :

$$\begin{aligned} \frac{h^2}{2\mu} \frac{d^2 R}{dr^2} + \frac{h}{2\mu} \frac{2}{r} \frac{dR}{dr} + \left[ \left( E + \frac{Ze^2}{r} \right) + \frac{1}{2\mu c^2} \left( E + \frac{Ze^2}{r} \right)^2 - \right. \\ \left. - \frac{h^2}{2\mu} \frac{l(l+1)}{r^2} \right] R = 0 \end{aligned} \quad (13)$$

أو بالشكل :

$$\frac{d^2R}{dr^2} + \frac{2}{r} \frac{dR}{dr} + \left[ \left( \frac{E^2}{h^2 c^2} + \frac{2\mu E}{h^2} \right) + \frac{2\mu Ze^2}{h^2} \left( 1 + \frac{E}{\mu c^2} \right) \frac{1}{r^2} + \frac{\alpha^2 Z^2 - l(l+1)}{r^2} \right] R = 0 \quad (14)$$

حيث  $\alpha \approx e^2 / hc$  ،  $\alpha \approx 1 / 173$  ، وبالتالي يهمل الحد  $\alpha^2$  وكذلك إذا كانت  $c \rightarrow \infty$  فإننا نعود إلى معادلة شرودنجر الغير نسبية .

حل المعادلة السابقة هو على شكل سلسلة ، كما وأن هذه السلسلة متباعدة ، بصورة عامة ماعدا من أجل قيم معينة للمعاملات في علاقة التكرار .

ولهذه القيم المختارة المعتمدة على القيم الخاصة للطاقة فإن السلسلة اللامتناهية تحول إلى كثيرة حدود درجتها  $n_r$  ونحصل على قيمة الطاقة :

$$\frac{E}{\mu c^2} = \left\{ 1 + \frac{\alpha^2 Z^2}{[n_r + \sqrt{(l+1/2)^2 - \alpha^2 Z^2 - 1/2}]^2} \right\}^{-1/2} - 1 \quad (15)$$

ومنه نجد :

$$E_n = -\frac{\mu c^2}{2} \cdot \frac{\alpha^2 Z^2}{n^2} \left[ 1 + \frac{\alpha^2 Z^2}{n^2} \left( \frac{n}{l+1/2} - \frac{3}{4} \right) + \dots \right]$$

حيث  $n = n_r + l + 1$  وبأخذ بعين الاعتبار لثابت رايدبرغ  $R = \mu e^2 / hc^2$  وللثابت  $\alpha = e^2 / hc$  ، نرى الحدود الطيفية :

$$\begin{aligned} T_n &= \frac{-E_n}{hc} = \frac{RZ^2}{n^2} \left[ 1 + \frac{\alpha^2 Z^2}{n^2} \left( \frac{n}{l+1/2} - \frac{3}{4} \right) \right] + \dots \\ &\equiv \frac{RZ^2}{n^2} + \frac{R \cdot \alpha^2 Z^4}{n^4} \left( \frac{1}{l+1/2} - \frac{3}{4n} \right) + \dots \end{aligned} \quad (16)$$

وحد التصحيح النسبي سيكون :

$$\Delta T_r = \frac{R \alpha^2 Z^4}{n^4} \left( \frac{1}{l+1/2} - \frac{3}{4n} \right) \quad (17)$$

## ٥ - ٥ - ٤ - الخطوة الرابعة ارتباط سبين - مدار :

### Couplage spin - orbite

لنكمل نتائج الخطوة الثالثة وذلك بأخذ بعين الاعتبار لسبين الإلكترون : حيث نضيف على الحد الطيفي المعروف سابقاً حد تصحيح يأخذ بعين الاعتبار الارتباط سبين - مدار كما رأينا سابقاً فإن طاقة الارتباط L - S تعطى بـ :

$$\Delta E_s = \frac{h^2}{2m^2 c^2 r} \frac{d\omega}{dr} \cdot \frac{|j|^2 - |l|^2 - |s|^2}{2}$$

$$\omega = \frac{c}{r} = \frac{e}{4\pi\epsilon_0} \cdot \frac{1}{r} \Rightarrow \frac{d\omega}{dr} = \frac{e^2}{4\pi\epsilon_0} \cdot \frac{1}{r^2}$$

$$\langle 1/r^2 \rangle = \frac{1}{a_1^3 n^3 l(l+1/2)(l+1)}$$

$$\Delta E_s = \frac{e^2 h^2}{2 m^2 c^2 4\pi \epsilon_0} \cdot \frac{1}{a_1^3 l(l+1/2)(l+1)} \cdot \frac{|j|^2 - |l|^2 - |s|^2}{2}$$

وبالتالي فإن :

$$\Delta T_s = \frac{-\Delta E_s}{hc} = - \frac{R \alpha^2}{n^3 l(l+1/2)(l+1)} \cdot \frac{|j|^2 - |l|^2 - |s|^2}{2}$$

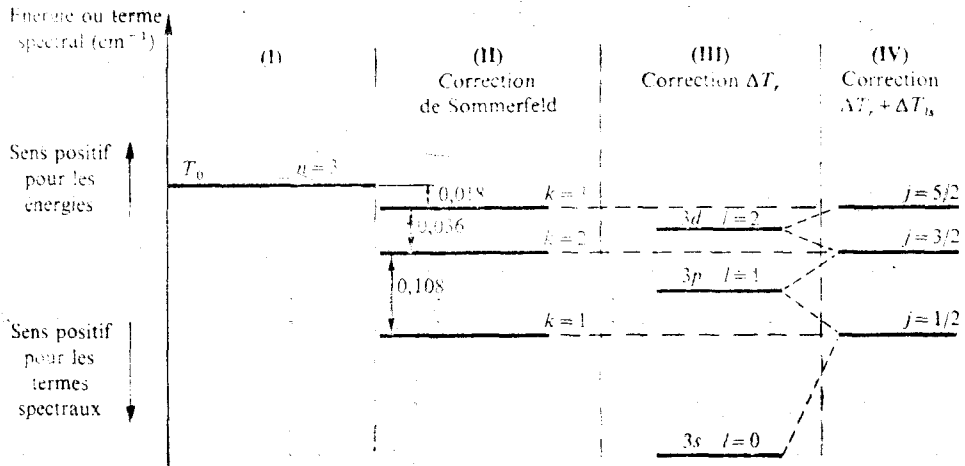
من أجل  $j = l + 1/2$  فإن

$$\Delta T_s = \frac{-R \alpha^2}{n^2 2(l+1/2)(l+1)}$$

: فإن  $j = l - 1/2$

$$\Delta T_s = + \frac{R \alpha^2}{n^2 2 l(l+1/2)}$$

الشكل (٥ - ١٤ - أ) يبين الأوضاع الدقيقة لختلف المستويات والتي تم الحصول عليها بإضافة  $\Delta T_s$ ،  $\Delta T_r$  على الحد T.



الشكل ( ٥ - ١٣ ) يعطى التصحيحات المختلفة والخطط للطاقة السوية  $n = 3$  لذرة الهيدروجين ( المستوي العلوي للخط الأول لبالمر ) حيث  $T_0$  تمثل الحد الطيفي الناتج من نظرية بور .

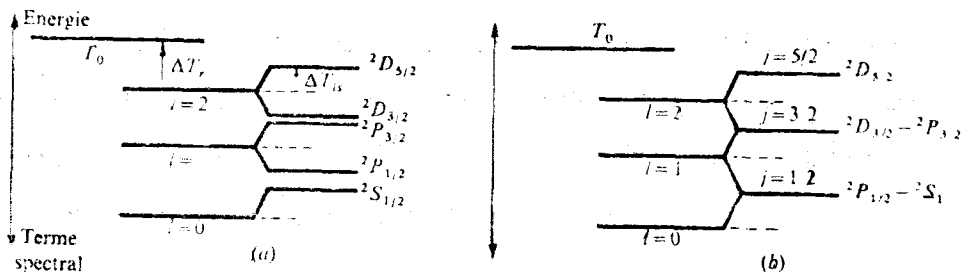
من أجل  $J = l + \frac{1}{2}$  :

$$\Delta T = \Delta T_r + \Delta T_{ls} = \frac{R\alpha^2}{n^3} \left( \frac{1}{(l+1)} - \frac{3}{4n} \right)$$

من أجل  $j = l - \frac{1}{2}$  :

$$\Delta T = \Delta T_r + \Delta T_{ls} = \frac{R\alpha^2}{n^3} \left( \frac{1}{l} - \frac{3}{4n} \right)$$

المستويات ذات قيم  $l$  المتساوية تكون Confandus ( متطابقة ) شكل ( ٥ - ١٤ - ب )



الشكل ( ٥ - ١٤ )

نلاحظ أنه إذا جعلنا  $K = j + \frac{1}{2}$  نحصل على نفس النتيجة التي حصل عليها بور — سومرفيلد .

### ٥ - ٥ - ٥ — الخطوة الخامسة : التصحيح المشع :

#### Correction radiatives

الوصف الصحيح للظواهر التي تضع بعين الاعتبار للتأثير المتبادل بين الموجة . الكهرطيسية والذرة غير ممكنة إلا في تكميم الحقول الكهرومغناطيسية .

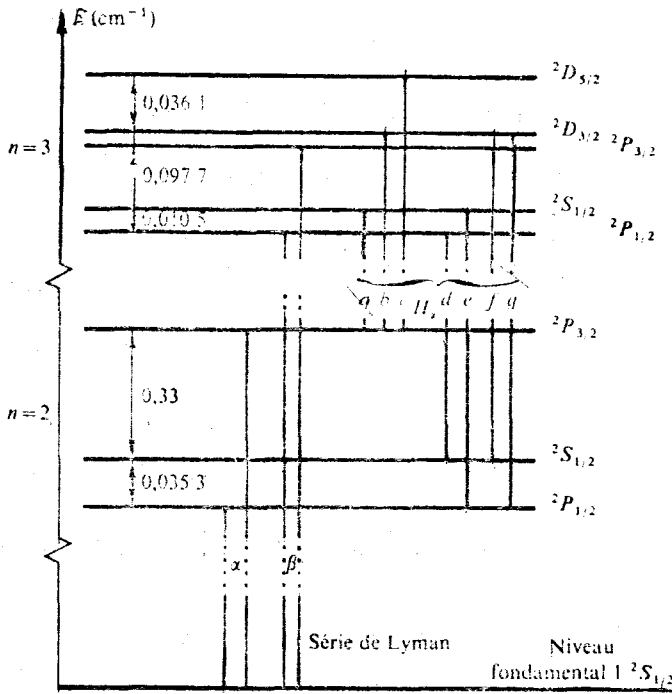
في هذا النظري يجب اعتبار الإلكترون في الخلاء محاط بحقل كهرومغناطيسي ، ونتائج تأثير هذا الحقل الكهرومغناطيسي هو إيصال كتلة كهرومغناطيسية إضافية للإلكترون ، وهذا التأثير سوف يغير طاقة الكمون الفعالة لهذا الإلكترون . إن حساب التصحيح المشع :

$$\Delta E \sim \frac{\alpha (Z\alpha)^4 mc^2}{2\pi n^3}$$

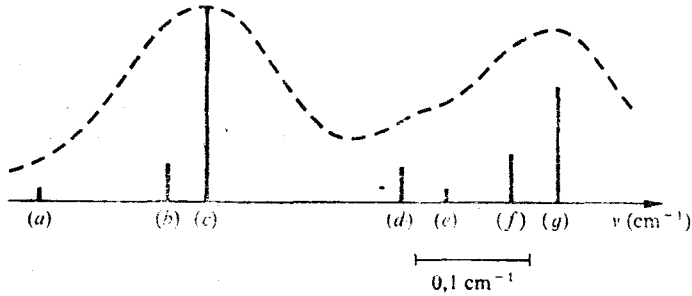
عامل التناسب هو تابع للعدد الكمي  $l$  . إن هذا التصحيح يزيل التطابق بين السويات ذات نفس العدد الكمي  $l$  ، حيث الفرق بين السويتين من اجزاء  $cm^{-1}$  . .

يتم الحصول على الخطوط الطيفية للذرة الهيدروجين وذلك بتطبيق قواعد الإصطفاء على مستويات الطاقة . والشكل ( ٥ - ١٥ ) يبين الإنتقالات التي نستطيع مشاهدتها بصورة خاصة الإنتقال  $H_\alpha (n=3 \rightarrow n=2)$  ، سيكون له بنية معقدة .

وسيكون لدينا بنية ناعمة للخط  $H_\alpha$  المعطى بالمخطط ( ٥ - ١٥ - ب ) وبما أن البعد بين السويات قريب جداً فإنه عملياً لا يمكننا ملاحظة سوى خطين فقط وذلك يعود أيضاً لمفعول دوبلر ، وذرة الهيدروجين حالة خاصة جداً ، حيث رفع التوالد يتم بتطبيق النظرية النسبية بينما باقي الذرات يتم رفع التوالد بأخذ بعين الاعتبار للتأثيرات الكهرومغناطيسية الساكنة المتبادلة للإلكترونات ونا بين بعضها البعض .



(a) Structure des niveaux  $n = 2$  et  $n = 3$  de l'atome d'hydrogène.



شكل (٥ - ١٥) بنية الإنتقالات لـ  $H_\alpha$  الأحرف تعود للإنتقالات المختلفة للشكل (٥ - ١٥ - آ) المنحني المنقط يبين مفهوم الطيف الناتج مع مقارن لـ perst - Fabrg

#### ٥ - ٦ - طيف الأشعة السينية : Spectres de Rayons X

ستكون دراستنا مبسطة جداً لهذه الفقرة ، وسنفرض بأن الذرة هي في المستوي الأساسي :

— كل مداراتها الجزيئية الداخلية مكتملة .

— تملك في الحالة الأرضية عزم حركي كلي معدوم .

٥ - ٦ - ١ : العزوم الحركية المتعلقة بمستويات مختلفة :

Moments Cinétiques attribués aux différents niveaux

إن مختلف المستويات الطاقية  $L_{III}, L_{II}, L_I, K$  — يمكن أن تفسر كأنها شاردة لذرة فقدت واحد من إلكتروناتها . يمكننا أن نميز كل من هذه المستويات كما في الشكل ( ٥ - ١٦ ) .

— بواسطة تشكيله الإلكترون : كما في العمود I وفي العمود II ولاسيولة فإننا وضعنا الحرف المميز للإلكترون المفقود بعد وضع العدد 1 — فوق هذا الحرف .

— بواسطة العزم الحركي الكلي للشاردة المشكلة في هذا المستوي .

باعتبار أن للحالة الأرضية عزم حركي كلي معدوم وأنه عندما نرفع إلكترون من طبقة كاملة فإن هذا العزم الحركي للشاردة المشكلة له نفس الاتجاه والسعة للعزم الذي يميز الإلكترون المفلوع . لتفحص الحالات المختلفة للمدارات ( الطبقات ) .

(a) الطبقة k :

إذا اقتلعنا إلكترون من الطبقة k وباعتبار أن  $n = 1$  فإن :

$$l = 0, \quad s = 1/2 \quad \& \quad j = l + s = 1/2$$

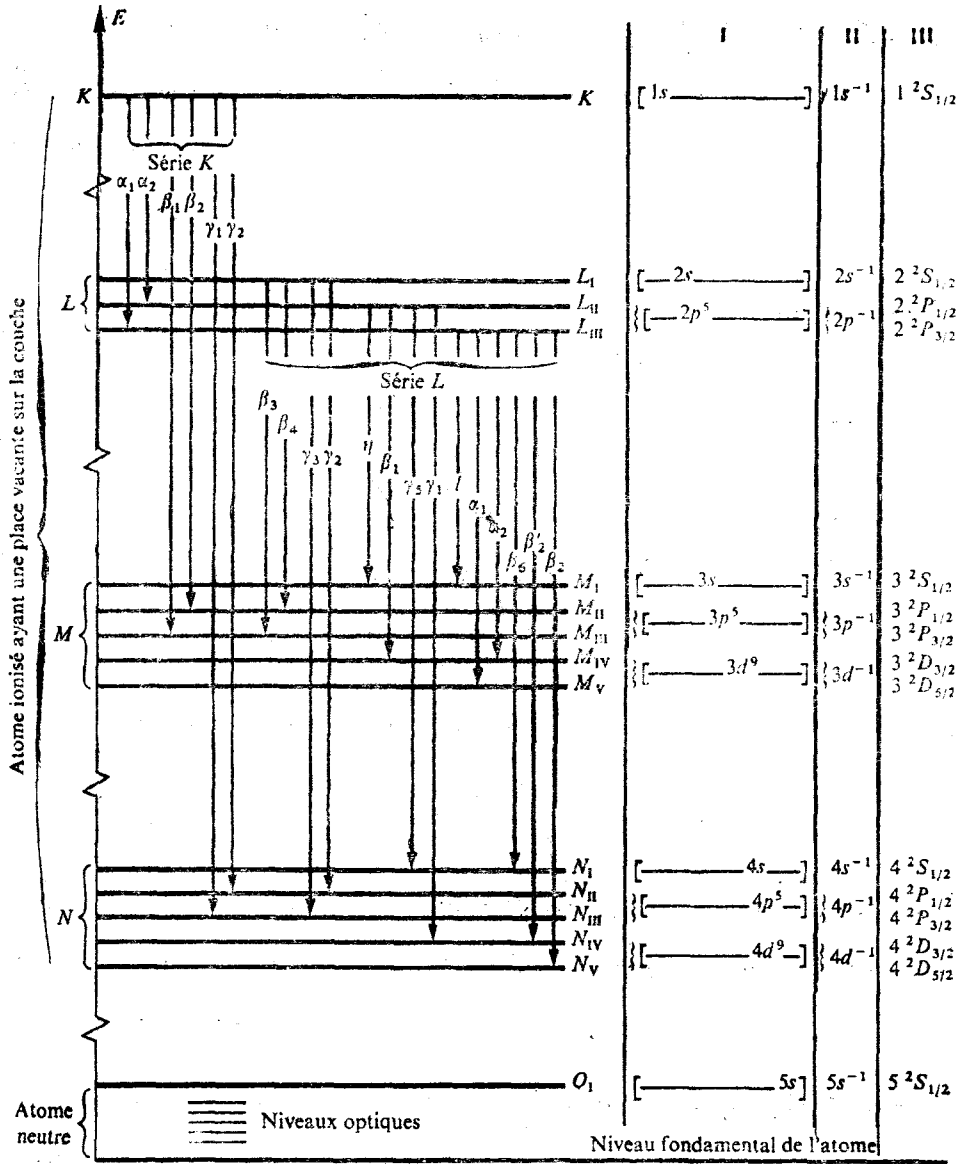
وبالتالي سيكون لدينا مستوي  $^2S_{1/2}$  .

(b) الطبقة L :

إذا اقتلعنا إلكترون s أو إلكترون p لهما عدد كمي سبينه  $s = 1/2$  يوجد ثلاث حالات ممكنة للعزم الحركي :

المستوي المطابق

$L_I$	$^2S_{1/2}$	$j = 1/2$	$l = 0$	الكرون s
$L_{II}$	$^2P_{1/2}$	$j = 1/2$	$\vdots$	$\vdots$
$L_{III}$	$^2P_{3/2}$	$j = 3/2$	$l = 1$	الكرون p



الشكل ( ٥ - ١٦ ) طيف أشعة X لذرة الكاديوم . في العمود I مشار للتغير بالنسبة للتشكيل الأساسي [ 1 S<sup>2</sup> 2 S<sup>2</sup> 2 P<sup>6</sup> 3 S<sup>2</sup> 3 P<sup>6</sup> 3 d<sup>20</sup> 4 P<sup>6</sup> 4 d<sup>20</sup> 5 S<sup>2</sup> ] . لم يمثل على الشكل إنتقالات السلسلة K والسلسلة L ، والقارىء سيحدد حسب قواعد الاختبار الإنتقالات الأخرى المسموحة .



هذه المستويات الثلاث سيكون لها طاقات مختلفة وبالتالي فالشاردة المشكلة بقلع الكترون من الطبقة L ، سيمكنها أن تملك ثلاث مستويات طاقة تميزها  $^2P_{3/2}$   $^2P_{1/2}$   $^2S_{1/2}$  أو بلغة المستويات  $L_{III}$  ,  $L_{II}$  ,  $L_I$  .

(c) الطبقة M :

المستوي المطابق				
$M_I$	$^2S_{1/2}$	$j = 1/2$	$l = 0$	الكترون s
$M_{II}$	$^2P_{1/2}$	$j = 1/2$		
$M_{III}$	$^2P_{3/2}$	$j = 3/2$	$l = 1$	الكترون p
$M_{IV}$	$^2D_{3/2}$	$j = 3/2$		
$M_V$	$^2D_{5/2}$	$j = 5/2$	$l = 2$	الكترون d

٥ - ٦ - ٧ : الحدود الطيفية والطاقة :

إن قيمة طاقة الارتباط للاكترون المقلوع هي :

$$E_n = - R h c \frac{(Z - s_n)^2}{n^2}$$

وكون  $s_n$  نعتد على  $l$  فإن هذا يفسر البنية الناعمة ويجب الأخذ بعين الاعتبار أيضاً للظواهر المتعلقة بالارتباط  $l/s$  ، وإن هذا الارتباط لا يمكن دراسته كما عملنا سابقاً لذرات العناصر القلوية .

بالحقيقة تدخل المستويات  $L, k$  الكترونات قريبة جداً من النواة حيث التصحيحات النسبية ستكون مهمة ومن نفس المرتبة .

إن توضع مستويات الطاقة يتم الحصول عليه بالنظرية النسبية :

$$E_{n,l} = - \frac{R h c (Z - s_n)^2}{n^2} + \frac{R h c \alpha^2 (Z - s'_n)^4}{n^3} \left( \frac{3}{4n} - \frac{1}{j + 1/2} \right)$$

$\alpha$  ثابتة البنية الناعمة ،  $s_n \neq s'_n$  ، وفي لغة الاختصاصي في أشعة X مثل  $L_I - L_{II}$

يدعى ( فصل الحجب ) ، مثل  $L_{II}-L_{III}$  يدعى « فصل السبين النسبي » . ( المستويات  $L_I, L_{II}$  ، لهما نفس  $z$  لكن  $l$  مختلفة ، والمستويين  $L_{II}, L_{III}$  ، لهما نفس  $l$  ، مع  $z$  مختلفة .

### ٥ - ٦ - ٣ - الطيف الملاحظة :

الخطوط الطيفية التي يمكن ملاحظتها في طيف الإصدار لأشعة  $X$  ستحدد باستخدام قواعد الإصطفاء التالية :

$$\Delta_n = n - n' \quad \text{أي قيمة}$$

$$\Delta l = \mp 1$$

$$\Delta j = \mp 1, 0$$

إن طيف الإصدار لأشعة  $X$  للعناصر القلوية الترابية معقد جداً . والسبب هو وجود طبقات داخلية غير مكتملة . هذا يعني أن العزوم الحركية ستكون مختلفة عما هي في الفقرة السابقة ، ويمكنها أن تأخذ عدة قيم .



# الفصل السادس

## المغناطيسية الذرية - مفعول زيمان وباشن - باك

Le Magnetisme atomique , Effects Zeeman et pashen-Back

٦ - ١ - مقدمة :

إن مفعول الحقل المغناطيسي على الذرات معقد جداً لذلك سنقوم بدراسة مفصلة وهذه الدراسة تسمح لنا بوصف تأثير الحقل المغناطيسي على مستويات الطاقة وإنفصالها نتيجة تطبيق هذا الحقل. لذلك أولاً سنوجد الهاملتونيان للذرة بوجود حقل كهرومغناطيسي والذي يعتبر نقطة إنطلاق لنظريات عديدة وبعد تحديد التقاريب المختلفة سنبين مراحل حل الهاملتونيان للذرة بوجود حقل مغناطيسي ثابت وبشكل نبين فيه مفعول زيمان في حقل ضعيف ، ومفعول باشن - باك في حقل شديد . وستكون دراستنا طبعاً محدودة على الذرات ذات الأنوية التي لا تملك عزوم مغناطيسية نووية ، ولذلك لابد من إعطاء فكرة بسيطة عن العزوم المغناطيسية وعلاقتها بالعزم الزاوي المداري من وجهة نظر كلاسيكية .

٦ - ١ - ١ - العزوم المغناطيسية وعلاقتها بالعزم الزاوي :

إن سويات الطاقة في المجموعات الذرية تتعين ليس فقط بقيمة عزومها الزاوية ولكن أيضاً بقيمة عزومها المغناطيسية ، وهناك صلة بين الإثنين ، لذا نعتبر النسبة القائمة بين قيمة العزم المغناطيسي وقيمة العزم الزاوي الموافق له خاصية جوهرية بالنسبة للعزم المغناطيسي ، وهذه النسبة تدعى بالنسبة الجيرومغناطيسية أو بالنسبة المغناطيسية الميكانيكية ، وتعطى بالعلاقة :

$$\gamma = \frac{\vec{\mu}}{L} = \frac{\mu_z}{L_z} \quad (٦ - ١)$$

$\mu$  طول شعاع العزم المغناطيسي  $\vec{\mu}$  في الحالة التي ينطبق منحاه على منحى العزم الميكانيكي الموافق  $L$  . وحسب قانون التكميم فإن :

$$\vec{\mu}^2 = \gamma^2 L^2 = \gamma^2 h^2 l(l+1) \quad (٦ - ٢)$$

أو بصورة أعم :

$$\vec{\mu}^2 = \gamma^2 J^2 = \gamma^2 h^2 j(j+1)$$

المسقط على المحور  $oz$  :

$$\mu_z = \gamma L_z = \gamma h m_l$$

أو :

$$= \gamma h m_j$$

إذا عبرنا عن العزم الزاوي الميكانيكي بوحدة الـ  $(h)$  فإن العلاقتان (٦ - ١ و ٢) تكتبان بالشكل :

$$\vec{\mu}^2 = \gamma^2 J^2, \quad M_z = \gamma J_z = \gamma m_j$$

إن  $(\gamma h)$  له بعد العزم المغناطيسي (erg / gauss) وهو يحدد بمقداره رتبة العزم المغناطيسي . ورتبة مسقطه لأن رتبة العددين الكوانتيتين  $(J)$  و  $(J_z)$  هي الواحد .

والجدير بالذكر أن رتبة هذا المضروب بالنسبة للعزوم الإلكترونية المغناطيسية هي غير رتبته في حالة العزوم النووية المغناطيسية والعزوم الدورانية المغناطيسية .

١ - إن النسبة الجيرومغناطيسية  $(\gamma)$  للعزم المغناطيسي المداري هي :

$$\gamma_l = \frac{\mu_l}{L_{orb}} = \frac{-e}{2 m_e c}$$

$$-h \gamma_l = \frac{2 h}{2 m_e c} = \frac{eh}{2 \pi m_e c} = \mu_b.$$

$\mu_b$  يدعى ماغنيتون بور (magneton de Boher) يمثل وحدة قياس العزم المغناطيسية الإلكترونية .

$$\mu_b = (0.9731 + 0.0002) \times 10^{-20} \text{ erg / gauss}$$

وبالفعل فإن العزم المغناطيسي المداري للإلكترون يساوي :

$$\vec{\mu}_l = \gamma_l L^{orb} = \gamma_l \hbar \cdot l = -\mu_b l.$$

الإشارة سالبة ترتبط بحقيقة أن شحنة الإلكترون سالبة . أي أن العزم المغناطيسي  $\vec{\mu}_l$  يتجه بعكس العزم المداري  $l$  .

يمكن إيجاد العلاقة السابقة بسهولة إذا اعتبرنا أن مدار الإلكترون إهليلجي أو دائري .

إن عزم كمية الحركة المداري للإلكترون :

$$L^{orb} = m_e (r \wedge v) = m_e r^2 \phi' [e_r \wedge e_\phi]$$

حيث  $\phi'$  القيمة المطلقة للسرعة الزاوية  $e_r, e_\phi$  أشعة الواحدة .

طول المتجهة  $L^{orb}$  يساوي :

$$|L| = m_e r^2 \phi'$$

إن ثبات المقدار السابق مرتبط بثبات  $(r^2 \phi')$  السرعة السطحية ( المماسية ) ، وبما أن الإلكترون شحنة فإن حركته على مسار مغلق بتواتر عددي قدره  $v$  ، يكافئ تيار كهربائي شدته  $i = ev$  ، يثير هذا التيار حقل مغناطيسي مساوياً للعزم المغناطيسي المداري يتعين طوله على المحور  $oz$  بالعلاقة :

$$\mu_l = \frac{-1}{c} e v A = \frac{1}{cT} eA$$

$A$  مساحة المدار ،  $T$  دور الحركة ، إن مساحة الإهليلج :

$$A = \int_0^{2\pi} \frac{r^2}{2} d\varphi = \int_0^T \frac{r^2}{2} \varphi' dt$$

$$\omega = \varphi' = \frac{L_{orb}}{m_o r^2}$$

$$A = \int_0^T \frac{r^2}{2} \frac{L_{orb}}{m_o r^2} dt = \frac{T}{2m_o} L_{orb}$$

بتبديل قيمة A نحصل :

$$\mu_l = \frac{-e}{2 m_e c} L_{orb}$$

والنسبة الجيرومغناطيسية :

$$\gamma_l = \frac{\vec{\mu}_l}{L_{orb}} = \frac{-e}{2 m_e c}$$

٢ - إن النسبة الجيرومغناطيسية لعزم الإلكترون السبيني المغناطيسي ( $\gamma_s$ ) تتعين بـ :

$$\gamma_s = \frac{\mu_s}{M_o^{Sp}} = \frac{-e}{m_e c} = 2 \gamma_L$$

وبالتالي فإن العزم المغناطيسي السبيني ( $\mu_s$ ) يساوي :

$$\vec{\mu}_s = \gamma_s M_p^{Sp} = h \gamma_s S = \frac{-e h}{m_e c} S = -2 \mu_B \cdot S$$

حيث S يمثل متجهة العزم السبيني للإلكترون مقدره بواحدة الـ  $\hbar$  أما مسقط العزم المغناطيسي السبيني على المحور oz :

$$\mu_{sz} = -2 \mu_B \cdot S_z = \mp 2 \mu_B \cdot \frac{1}{2} = \mp \mu_B$$

أي أن الإلكترون عزم مغناطيسي سبيني يساوي بالقيمة الجبرية لمغنتون بور .

٣ - إن النسب الجيرومغناطيسية لعزوم النوى المدارية المغناطيسية يساوي إلى (٢١)  
عزم نواة الهيدروجين المداري المغناطيسي ويساوي إلى :

$$\vec{\mu}_{Nuc} = \frac{eh}{2 m_p c} \mathbf{I}$$

$m_p$  كتلة الإلكترون ،  $\mathbf{I}$  شعاع العزم المغناطيسي للنواة أما واحدة الماغنيتون بور  
النووي يساوي :

$$\vec{\mu}_{nuc} = \frac{eh}{2 m_p c} = (0.50538 \pm 0.000018) \times 10^{-28} \text{ erg/gauss}$$

٦ - ٢ : هاملتونيان جزئية مشحونة بوجود حقل كهرومغناطيسي :

Hamiltonien d'une particule chargée . en presenec d'une champ electromagnetique

٦ - ٢ - ١ : تابع لاغرانج ومعادلة الحركة لجزئية :

Function de Lagrange et equation du mouvement de la particule

إذا انطلقنا من معادلة ماكسويل والقوة المؤثرة على جزيء ذو شحنة  $q$  موضوع  
ضمن حقل كهرومغناطيسي فإن هذه القوة تعطى :

$$\mathbf{f} = q \cdot \mathbf{E} + \frac{q}{k} \mathbf{v} \wedge \mathbf{B} \quad (٦ - ٣)$$

فإنه لايمكننا أن نحصل على تابع لاغرانج بشكل منطقي ، والذي هو ضروري لكتابة  
الهاملتونيان . على العكس سنبين أنه للحصول على العلاقة (٦-٣) سننطلق من فرضية تابع  
لاغرانج :

$$L = - mc^2 \sqrt{1 - v^2/c^2} + \frac{q}{k} \mathbf{A} \cdot \mathbf{v} - qV \quad (٦ - ٤)$$

$\mathbf{A}$  شعاع الكمون ،  $v$  كمون سلمي ،  $m$  الكتلة السكونية للإلكترون .

إن الحدين الثاني والثالث ينعدمان في حال غياب الحقل الكهرومغناطيسي ، إن  
الحـد  $-(q/k) \mathbf{A} \cdot \mathbf{v}$  يمثل الطاقة المغناطيسية للجزئية ، هذه العلاقة تقود بدون صعوبة  
إلى العلاقة العامة للطاقة المغناطيسية : تكامل على توزيع التيار  $\mathbf{J} \cdot \mathbf{A} - (1/k) \mathbf{J} \cdot \mathbf{A}$  .

من أجل جزيئة حرة إن شعاع الدفع  $P$  يعطى :

$$P = \frac{\partial L}{\partial \underline{v}} = \frac{m \underline{v}}{\sqrt{1 - v^2/c^2}}$$

$$P_x = \frac{\partial L}{\partial v_x} , \quad P_y = \frac{\partial L}{\partial v_y} ; \quad P_z = \frac{\partial L}{\partial v_z}$$

أما شعاع الدفع لجزيئة واقعة في حقل كهرومغناطيسي فيعطى بـ :

$$P = \frac{\partial L}{\partial \underline{V}} = \frac{m \underline{V}}{\sqrt{1 - V^2/c^2}} + \frac{q}{k} \underline{A} = \underline{P} + \frac{q}{k} \underline{A} \quad (5 - 6)$$

تكتب معادلات لاغرانج باستخدام :

$$\frac{d}{dt} \left( \frac{\partial L}{\partial \underline{V}} \right) = \frac{\partial L}{\partial \underline{r}} \quad (6 - 6)$$

لنكتب :

$$\frac{\partial L}{\partial \underline{r}} = \frac{q}{k} \text{grad} (\underline{A} \cdot \underline{v}) - \text{grad} V$$

لكن نعلم أن :

$$\text{grad} (\underline{A} \cdot \underline{v}) = (\underline{A} \text{ grad}) \underline{v} + (\underline{v} \text{ grad}) \underline{A} + \underline{A} \wedge \text{rot} \underline{v} + \underline{v} \wedge \text{rot} \underline{A} .$$

لايجاد هذا المشتق الجزئي يجب افتراض أن  $\underline{v}$  ثابت والحدود  $\text{rot} \underline{v}$  و  $\underline{A} \text{ grad}) \underline{v}$  ستعتبر معدومة أي :

$$\frac{\partial L}{\partial \underline{r}} = \frac{q}{k} (\underline{v} / \text{grad}) \underline{A} + \frac{q}{k} \underline{v} \wedge \text{rot} \underline{A} - q \text{grad} V$$

إذاً يمكننا كتابة معادلة لاغرانج :

$$\begin{aligned} \frac{d}{dt} \left( \frac{\partial L}{\partial \underline{V}} \right) &= \frac{d}{dt} \left[ \underline{P} + \frac{q}{k} \underline{A} \right] = \frac{q}{k} (\underline{v} \text{ grad}) \underline{A} + \frac{q}{k} \underline{v} \wedge \text{rot} \underline{A} - \\ &- q \text{grad} V \dots \dots \quad (7 - 6) \end{aligned}$$



تتحول هذه العلاقة بعد ملاحظة أن  $A$  تابع للزمن من الفراغ إلى :

$$\frac{dA}{dt} = \frac{\partial A}{\partial t} + \left( \frac{dr}{dt} \text{grad} \right) A = \frac{\partial A}{\partial t} + (v \text{grad}) A$$

إذاً نكتب العلاقة (٦ - ٧) على الشكل :

$$\frac{dP}{dt} = -\frac{q}{k} \frac{\partial A}{\partial t} - q \text{grad} V + \frac{q}{k} v \wedge \text{rot} A \quad (٦ - ٨)$$

لكن :  $f = dP / dt$  إذاً :

$$f = -q \text{grad} V - \frac{q}{k} \frac{\partial A}{\partial t} + \frac{q}{k} v \wedge \text{rot} A$$

أو :

$$f = q E + \frac{q}{k} v \wedge B$$

حيث :

$$B = \text{rot} A \quad , \quad E = -\text{grad} V - \frac{1}{k} \frac{\partial A}{\partial t}$$

**٦ - ٢ - ٢ - تابع هاميلتون : La fonction de Hamilton**

يكتب تابع هاميلتون على الشكل :

$$H = v \frac{\partial \bar{L}}{\partial v} - \bar{L} = v \cdot p - L \quad (٦ - ٩)$$

باطستخدام (٦ - ٤) و (٦ - ٥) نجد :

$$H = v \left( p + \frac{q}{k} A \right) + m c^2 \sqrt{1 - (v^2 / c^2)} - \frac{q}{k} A \cdot v + q V$$

لكن :

$$v \cdot p = \frac{v \cdot m v}{\sqrt{1 - v^2 / c^2}} = \frac{m v^2}{\sqrt{1 - v^2 / c^2}}$$

إذا :

$$H = \frac{m c^2}{\sqrt{1 - v^2 / c^2}} + qV = T + qV \quad (٩ - ٦)$$

T هي طاقة الجزيئة ، مجموعة الطاقة السكونية والطاقة الحركية .

لنكتب H كنابع للدفع المعمم P لدينا :

$$P - \frac{q}{k} A = \frac{m v}{\sqrt{1 - v^2 / c^2}} = P$$

و :

$$T = \sqrt{m^2 c^2 + P^2 c^2}$$

إذا ؛

$$H = \sqrt{m^2 c^4 + c^2 \left| P - \frac{q}{k} A \right|^2} + qV \quad (١٠ - ٦)$$

إذا كانت سرعة الجزيئة أصغر من سرعة الضوء نستخدم التقريب الغير نسبي ( اللانسي )

حيث يصبح L

$$L = \frac{mv^2}{2} + \frac{q}{k} A \cdot v - qV$$

وحيث :

$$T = \frac{p^2}{2 m}$$

إذا يصبح تابع ابهاملتون على الشكل :

$$H = \frac{1}{2 m} \left( P - \frac{q}{k} A \right)^2 + qV \quad (١١ - ٦)$$

٦ - ٢ - ٣ : المؤثر الهاملتوني : L'operateur hamiltonien

يتم الحصول على المؤثر الهاملتوني بتبديل شعاع الدفع المعمم P بمؤثره أي :

$$H = \sqrt{\frac{1}{2m} \left( -ih \nabla - \frac{q}{k} A \right)^2 + qV} \quad (١٢-٦)$$

$$H = \frac{1}{2m} \left( -h^2 \nabla^2 + ih \frac{q}{k} \nabla A + ih A \nabla + \frac{q^2}{k^2} A^2 \right) + qV$$

عند تطبيق المؤثر H على تابع موجي  $\psi$  يجب أن نأخذ بعين الاعتبار لـ :

$$\nabla A \psi = (\nabla A) \psi + A (\nabla \psi) = (\text{div } A) \psi + (A \cdot \text{grad}) \psi$$

$\nabla$  ، A لا يتبادلان وبالتالي :

$$H\psi = \frac{1}{2m} \left[ -h^2 \nabla^2 \psi + ih \frac{q}{k} (\nabla A) \psi + 2ih \frac{q}{k} A \nabla \psi + \frac{q^2}{k^2} A^2 \right] + qV$$

وأخيراً فإن مؤثر الهاملتونيان يكتب على الشكل :

$$H = \frac{1}{2m} \left[ -h^2 \nabla^2 + ih \frac{q}{k} \text{div } A + 2ih \frac{q}{k} A \text{grad} + \frac{q^2}{k^2} A^2 \right] + qV \quad (١٣-٦)$$

٦ - ٣ - الهاملتونيان بوجود حقل مغناطيسي ثابت ومنتظم :

Hamiltonien en presences d'une chemp magnétique constant et uniforme

٦ - ٣ - ١ - حالة إلكترون واحد : في حقل مغناطيسي فقط :

$qV = 0$  أي أننا سنهتم فقط في التفاعل المتبادل بين الذرة والحقل المغناطيسي ( مفعول زيمان ) الثابت والموجه حسب المحور oz أي :

$$\begin{aligned} A_x &= -\frac{1}{2} B_z y \\ A_y &= +\frac{1}{2} B_z x \quad \text{ليكن} \quad A = \frac{1}{2} (B \wedge r) = \frac{1}{2} \begin{vmatrix} i & j & k \\ 0=B_x & 0=B_y & B_z \\ x & y & z \end{vmatrix} \\ A_z &= 0 \end{aligned}$$

وبالتالي الهاملتونيان ( العلاقة (٦ - ١٣) ) ستكتب بصورة أبسط مع أخذ بعين الاعتبار :

$$\text{div } A = 0$$

$$A \text{ grad} = -\frac{1}{2} B_z \left( y \frac{\partial}{\partial x} - x \frac{\partial}{\partial y} \right)$$

لكن المؤثر  $\hat{l}_z$  مؤثر العزم الزاوي على المحور z يعطى بالعلاقة ( وبوحدة h ) :

$$\hat{l}_z = -ih \left( y \frac{\partial}{\partial x} - x \frac{\partial}{\partial y} \right)$$

إذاً :

$$2ih \frac{q}{k} A \text{ grad} = \frac{-q h}{k} B \cdot l_z$$

والحد الأخير في العلاقة ( ٦ - ١٣ ) :

$$\frac{q^2 A^2}{k^2} = \frac{q^2}{4 k^2} (B \wedge r) (B \wedge r) = \frac{q^2}{4 k^2} B^2 r^2 \sin^2 \theta$$

$\theta$  الزاوية بين الشعاع r والمحور oz أخيراً يكتب H على الشكل :

$$H = \frac{1}{2m} \left[ -h^2 \Delta - \frac{q h}{k} B l_z + \frac{q^2}{4 k^2} B^2 r^2 \sin^2 \theta \right] \quad (٦-١٤)$$

بإدخال مغنيتون بور  $\beta$  الموجب و q السالب :

$$H = \frac{-h^2}{2m} \Delta + \beta B l_z + \frac{q^2}{2m k^2} B^2 r^2 \sin^2 \theta \quad (٦-١٥)$$

ملاحظة : إذا لم ننظر إلى الحد الذي يحتوي  $B^2$  فإن الحد  $\beta B l_z$  يساوي إلى

العزم المغناطيسي الزاوي :

$$\mu = -\beta l = \frac{1}{k} \frac{q}{2m_z} h l$$

والحد الذي يحوي  $B^2$  يتطابق للمفعول diamagnetique .

٦ - ٣ - ٢ - حالة ذرة :

في الفصل السابق درسنا الهاملتونيان لذرة حيث كان تحت الشكل :

$$H = H_0 + T_1 + T_2$$

بوجود حقل مغناطيسي B ، فإن التأثير المتبادل بين الحركة المدارية للإلكترون (i) في الذرة ، والحقل B سيعطى بإضافة حد للهاملتونيان :

$$\beta B I_i + \frac{q^2}{8m k^2} B^2 r_i^2 \sin^2 \theta_i$$

لكن يجب أن نأخذ بعين الاعتبار لتأثير المتبادل بين الحقل B والعزم المغناطيسي السبين  $\mu_{s_i}$  لهذا الإلكترون ، أي يجب إضافة الحد :

$$-\mu_{s_i} B = -\frac{q}{m k} s_i B = -\frac{q \hbar}{m k} s_i B = 2 \beta s_i B .$$

نكتب إذاً هاملتونيان الذرة بأخذ بعين الاعتبار لمساهمات كل الإلكترونات .

$$H = H_0 + T_1 + T_2 + W$$

مع فرض أن :

$$W = \sum_i \beta B (I_i + 2 s_i) + \sum_i \frac{q^2}{8m k^2} B^2 r_i^2 \sin^2 \theta_i$$

لنوجد مقدار كل حد من أجل :

$$l = 1 \text{ ومن أجل } 1 \text{ Tesla} = B = 10.000 \text{ gauss}$$

$$\beta B = \frac{e \hbar}{2m} B \approx 10^{-23} \text{ joule}$$

بأخذ  $r_i \sin \theta_i \approx 1 \text{ \AA}$  نجد :

$$\frac{q^2}{8m k^2} B^2 r_i^2 \sin^2 \theta_i \approx 10^{-28} \text{ joule}$$

إذاً يمكننا إهمال الحد الذي يحوي  $B^2$  في الهاملتونيان بعد تبديل :

$$L = \sum_i I_i , \quad S = \sum_i s_i$$

نجد :

$$W = \beta B (L + 2 S) = B (L_z + 2 S_z) \quad (٦ - ١٦)$$

المحور oz هو محور الحقل المغناطيسي B .

ملاحظة : إن الحد الأول في علاقة W يطابق إلى  $\vec{\mu}_L$  محصلة العزوم الزاوية المغناطيسية والحد الثاني يمثل محصلة العزوم المغناطيسية السبينية أي :

$$W = -(\vec{\mu}_L + \mu_S) B = -\mu B .$$

لا يمكن حل H بطريقة دقيقة ، وإنما ستبغ طرق التقريب . في الارتباط L — S والارتباط z — z .

## ٦ - ٤ - مفعول زيمان في حقل ضعيف في الإرتباط L — S :

### Effect Zeeman en champ faible dans le cas du Couplage L — S

نكون ضمن شروط الحقل الضعيف إذا كان W صغير أمام الحدين  $T_2, T_1$  وبالتالي فإن الحد W سيكون كإضطراب على المنظومة الموصوفة بـ  $H_0 = T_1 + T_2$  ، سيكون الحقل ضعيف عندما يترجم تأثيره على المستوي بإنفعال للطاقة أصغر بكثير من حالة البنية الناعمة . إن تأثير W سيدرس باستخدام نظرية الإضطراب (انظر ميكانيك كم (١) ) .

## ٦ - ٤ - ١ - استخدام نظرية الإضطراب :

### Amplioi de la theorie des perturbation

نذكر فقط الإضطراب من المرتبة الأولى والمطبق على مستوي متوالد ، ليكن  $H^{(1)}$  هو الإضطراب المراد تطبيقه على مستوي غير متوالد  $E_0^{(i)}$  مميز بالمعامل i ذو رتبة توالد  $G_i$  وليكن k القيمة التي يأخذها  $G_i$  فالتصحيح من المرتبة الأولى  $E_{ih}^{(1)}$  الذي يضاف إلى قيمة  $E_i^{(0)}$  الغير مضطرب مساوي إلى عناصر المصفوفة  $H^{(1)}$  والموضوع تحت شكل قطري

$$\langle i, k | H^{(1)} | i, k' \rangle = E_{ik}^{(1)} S_{kk'} \quad (٦ - ١٧)$$

لنطبق هذه النظرية على المستوي  $E_J^{(0)}$  ذرورية التوالد  $(2J+1)$  حيث تتم الدراسة ضمن التمثيل  $\{J^2, J_z\}$  بواسطة  $E_J^{(0)}, J_{m_J} >$  التصحيح من المرتبة الأولى إذاً :

$$\Delta E = E^{(1)} = E^{(1)}_{Jm_J}$$

لنبحث عن عناصر المصفوفة  $W_{m_J m_J'}$  :

$$W_{m_J m_J'} = \langle E_J^0, J, m_J | W | E_J^0, J, m_J' \rangle$$

شرط تطبيق نظرية الاضطراب يتطلب أن يكون :

$$\frac{W_{m_J m_J'}}{E_J^0 - E_{J'}^0} < 1$$

$E_{J'}^0$  قيمة الطاقة المطابقة لأي حالة من حالات الذرة غير  $E_J^0$  .

إن المؤثر  $W$  معطى بالعلاقة ( ٦ - ١٦ )

$$W = \beta (L_z + 2 S_z) B .$$

٦ - ٤ - ٢ - نظرية Wigner — Echart :

٦ - ٤ - ٢ - تمثيل المؤثرات السلمية والشعاعية - وجود عامل لانده  $g$  :

Representation des operateurs scalaire et vectorieles - et' existence du facteur de Landè  $g$

١ - سنحدد الخواص المهمة . المستخدمة في عناصر المصفوفة لمؤثرات سلمية أو شعاعية وسنوضع أنفسنا في التمثيل  $[J^2, J_z]$  شعاع القاعدة  $|Jm\rangle$  . والتبادل  $[A, B]$  سيكون :

$$[A, B] = \frac{AB - BA}{i}$$

٦ - ٤ - ٢ - ١ عناصر المصفوفة لمؤثر سلمي  $A - A$

elements des matrice d'un opérateur scalaire

بالتعريف إن المؤثر السلمي  $A$  هو غير متغير invariant تحت تأثير الدوران .

ليكن المؤثر  $R$  هو مؤثر الدوران. المنظومة السابقة الموصوفة في القاعدة  $|a\rangle$  يكون موصوف بعد الدوران في القاعدة  $|a'\rangle$  ، عدم التغير invariance بالدوران يكتب :

$$|a'\rangle = R|a\rangle \quad \text{مع} \quad \langle a|A|a\rangle = \langle a'|A|a'\rangle$$

سنكتب هذه العلاقة :

$$\langle a|A|a\rangle = \langle a|R^{-1}AR|a\rangle$$

نستنتج :

$$A = R^{-1}AR \quad \text{أو} \quad RA = AR \quad (٦ - ١٨)$$

لنأخذ لـ  $R$  الدوران اللامنتهي حول محور معرف بشعاع الوحدة  $u$  وبالزاوية  $\delta\omega$   $R$  سيكون إذاً ( انظر محاضرات ميكانيك الكم ) .

$$R = 1 - i(Ju)\delta\omega \quad (٦ - ١٩)$$

تصبح العلاقة ( ٥ - ١٨ ) :

$$AJ = JA \quad (٦ - ٢٠)$$

المؤثر السلمي يتبادل مع مؤثر العزم الزاوي وبصورة خاصة .

$$AJ_z = J_z A \quad (٦ - ٢١)$$

والذي يكتب تحت شكل مصفوفي :

$$\langle Jm'|AJ_z|Jm\rangle = \langle Jm'|J_z A|Jm\rangle .$$

لنعبّر عن عناصر المصفوفة باستخدام قواعد جداء المصفوفات .

$$\sum_{J''m''} \langle Jm'|A|J''m''\rangle \langle J''m''|J_z|Jm\rangle =$$

$$\sum_{J''m''} \langle J'm'|J_x|J''m''\rangle \langle J''m''|A|Jm\rangle$$



بما أن المصفوفة  $J_z$  هي مصفوفة قطرية فإن :

$$\langle J''m'' | J_z | Jm \rangle = m \delta_{m''m} \delta_{J''J}$$

وبالتالي فإن :

$$\langle J'm' | A | Jm \rangle (m' - m) = 0$$

عناصر مصفوفة  $A$  تساوي الصفر إذا كان  $m' \neq m$  .

لنعتبر المؤثر :  $J_+ = J_x + i J_y$  العلاقة (3) يؤدي إلى :

$$A J_+ = J_+ A$$

والتي يمكننا أن نكتبها تحت شكل مصفوفي :

$$\langle J, m+1 | A J_+ | Jm \rangle = \langle J, m+1 | J_+ A | Jm \rangle$$

حسب علاقات ميكانيك الكم لـ  $I$  فإن :

$$\langle J, m+1 | A | J, m+1 \rangle = \langle Jm | A | Jm \rangle$$

كل العناصر القطرية لمصفوفة  $A$  تكون متساوية وبالتالي مستقلة عن  $m$  .

باختصار فإن مصفوفة المؤثر  $A$  السلمي هي قطرية ، كل عناصرها متساوي مصفوفة كروية ( ) .

٦ - ٤ - ٢ - عناصر مصفوفة مؤثر شعاعي :

éléments de matrice d'un opérateur - A Vectoriel

(a) - ليكن  $A$  شعاع ذو مركبات  $A_x, A_y, A_z$  ، بتطبيق دوران ذو زاوية  $\delta\omega$  حول اتجاه شعاع الواحدة  $u$  نحصل على شعاع :

$$A' = A + \delta\omega (U \times A) \quad (٥ - ٢٢)$$

إذا رمزنا لعناصر مصفوفة المؤثر  $A$  قبل الدوران  $\langle a | A | a \rangle$  وبعد الدوران  $\langle a' | A | a' \rangle$  فإن العلاقة (5) تكتب على الشكل :

$$\langle a' | A | a' \rangle = \langle a | A | a \rangle + \delta\omega \cdot U \times \langle a | A | a \rangle$$

حيث نستنتج :

$$R^{-1} A R = A + \delta\omega (u \wedge A) \quad (٢٣ - ٦)$$

في حالة الدوران اللامتتهى المعروف بـ ( ٦ - ١٩ ) فإن الحد الأول من ( ٦ - ٢٣ ) يكتب :

$$R^{-1} A R = (1 + ju\delta\omega) A (1 - ju\delta\omega) = A - i\delta\omega [A (Ju) - (Ju) A]$$

بعد التبسيط :

$$[A, J \cdot u] = u \times A \quad (٢٤ - ٦)$$

يمكننا أن نوجد بعض علاقات التبادل من العلاقة ( ٦ - ٢٤ ) كما في :

$$[A_z, Ju] = u_z A_y - u_y A_x \quad (٢٥ - ٦)$$

هذه العلاقة يجب أن تتحقق مهما كان شعاع الوحدة  $u$  ونوجد منها :

$$[A_z, J_z] = 0 \quad (9 a) \quad (a - ٢٦ - ٦)$$

$$[A_y, J_x] = A_x \quad (9 b) \quad (b)$$

$$[A_z, J_y] = -A_x \quad (9 c) \quad (c)$$

نحصل على علاقات تبادل مشابهة مع  $A_y$  و  $A_x$ .

(b) - نكتب العلاقة ( ٦ - ٢٦ - a )  $A_z J_z - J_z A_z = 0$  تحت شكل مصفوفة .

$$\langle Jm' | A_z J_z | Jm \rangle = \langle Jm' | J_z A_z | Jm \rangle \quad (٢٧ - ٦)$$

بعد أن نقيم جداء المصفوفات مع الأخذ بعين الاعتبار لقيم عناصر المصفوفة

لـ  $J_z$  فإن العلاقة ( ٦ - ٢٧ ) تكتب :

$$\langle Jm' | A_z | Jm \rangle (m' - m) = 0$$

المصفوفة  $A_z$  قطرية إذاً  $A_z = A_z$  .

(c) - لنعتبر المؤثر الشعاعي  $A_+ = A_x + i A_y$  حسب العلاقة (٢٤ - ٦) نجد بدون صعوبة :

$$[A_+, J_z] = [A_x + i A_y, J_z] = -A_y + i A_x = -i A_+$$

أي :

$$A_+ J_z - J_z A_+ = -A_+ \quad (28 - 5)$$

بعد أن نقوم بعمل جداء المصفوفات مع الأخذ بعين الاعتبار لقيم عناصر مصفوفة  $J_z$  نحصل :

$$\langle J, m' | A_+ | J, m \rangle (m - m' + 1) = 0$$

العناصر الغير معدومة هي عندما :  $m' = m + 1$

(d) - بدءاً من العلاقة (٢٤ - ٦) يمكننا حساب  $[A_+, J_+]$  .

$$[A_+, J_+] = [A_x + i A_y, J_x + i J_y] = -A_z + A_z = 0$$

لكن (٢٩ - ٦) :

$$A_+ J_+ = J_+ A_+$$

حسب الخواص المبرهنة في الفقرة c على عناصر المصفوفة  $A_+$  وعلى قيم عناصر مصفوفة  $J_+$  فالعلاقة (٢٩ - ٦) تكتب :

$$\langle J, m + 2 | A_+ | J, m + 1 \rangle \langle J, m + 1 | J_+ | J, m \rangle =$$

$$\langle J, m + 2 | J_+ | J, m + 1 \rangle \langle J, m + 1 | A_+ | J, m \rangle$$

و :

$$\frac{\langle J, m + 2 | A_+ | J, m + 1 \rangle}{\langle J, m + 1 | A_+ | J, m \rangle} = \frac{\langle J, m + 2 | J_+ | J, m + 1 \rangle}{\langle J, m + 1 | J_+ | J, m \rangle}$$

(٣٠ - ٦)

المساواة ( ٦ - ٣٠ ) غير ممكنة إلا إذا كانت عناصر مصفوفة  $A_+$  و  $J_+$  متناسبة مع بعضها البعض ، ثابت التناسب إذاً :

$$\langle J, m+1 | A_+ | J, m \rangle = a \langle J, m+1 | J_+ | J, m \rangle \quad (٦ - ٣١)$$

(e) - من العلاقة ( ٦ - ٢٤ ) يمكننا أن نكتب أيضاً :

$$[A_z, J_+] = -i A_+$$

$$A_z J_+ - J_+ A_z = A_+$$

هذا يؤدي باستخدام ( ٦ - ٣١ ) إلى العلاقة :

$$\langle J, m+1 | A_z | J, m+1 \rangle \langle J, m+1 | J_+ | J, m \rangle -$$

$$\langle J, m+1 | J_+ | J, m \rangle \langle J, m | A_z | J, m \rangle =$$

$$a \langle J, m+1 | J_+ | J, m \rangle$$

تبسط هذه العلاقة :

$$\langle J, m+1 | A_z | J, m+1 \rangle - \langle J, m | A_z | J, m \rangle = a \quad (٦ - ٣٢)$$

العلاقة ( ٦ - ٣٢ ) لا يمكن أن تتحقق إلا إذا كانت عناصر المصفوفة

$\langle J, m | A_z | J, m \rangle$  من الشكل التالي حسب  $b$  هو سلمي :

$$\langle J, m | A_z | J, m \rangle = am + b$$

لنبين أن  $b$  معلوم . لذلك نوجد أثر  $A_z$  :

$$\text{Tr } A_z = \sum_{m=-J}^{+J} \langle J, m | A_z | J, m \rangle = \sum_{m=-J}^{+J} (am + b) = (2J+1) \cdot b.$$

لكن حسب ( ٦ - ٢٤ ) يمكننا أن نكتب :

$$A_z = [A_x, J_y] = \frac{1}{i} (A_x J_y - J_y A_x)$$

وكما ينتج من الخواص العامة لاثـر الجداء :

$$\text{Tr } A.B = \text{Tr } B . A$$

أي :  $\text{Tr } A_z = 0$  وبالتالي فإن  $b = 0$  .

سيكون لدينا إذاً :

$$\langle J_m | A_z | J_m \rangle = a m$$

يمكننا أن نكتب :

$$\langle J_m | A_z | J_m \rangle = a \langle J_m | J_z | J_m \rangle \quad (6 - 33)$$

بالنتيجة في تمثيل  $\{J^2, J_z\}$  وفي الفراغ الجزئي الموافق إلى قيمة  $J$  معطية حيث أشعة القاعدة ممثلة بـ  $|J_m\rangle$  عناصر مصفوفة مركبات المؤثرات الشعاعية تكون متناسبة بمعامل التناسب نفسه للمركبات المختلفة أي :

$$\langle J'm' | A | J_m \rangle = a \langle J'm' | J | J_m \rangle \quad (6 - 3)$$

**مبرهنة Wigner - Eckart :**

يمكننا تعميم الخواص السابقة على حالة مؤثرات تنسورية غير قابلة للإختزال .  
في تمثيل مثالي  $(J^2, J_z)$  حيث أشعة القاعدة ممثلة بـ  $|\tau, J, m\rangle$  . عنصر المصفوفة  $\langle J_m | T_q^k | J'm' \rangle$  للمركبة  $q^m$  حيث المؤثر التنسوري الغير قابل للإختزال من المرتبة  $K$  معطى لـ  $T^k$  يكون مساوي لجداء معاملات Clebsch - Gordan  $\langle J'k'm'q | Jm \rangle$  بكمية مستقلة عن  $m$  و  $m'$  و  $q$  .

$$\langle \tau J_m | T_q^k | \tau' J'm' \rangle = \langle \tau J || T^k || \tau' J' \rangle \langle J'k'm'q | Jm \rangle$$

الكمية  $\langle \tau J || T^k || \tau' J' \rangle$  ستكون عنصر المصفوفة المختزلة للمؤثر التنسوري .  
العامل  $1 / \sqrt{2J+1}$  المدخل من قبل Messiah حذف بواسطة اختيار لتنظيم مختلف .  
المؤثرات الشعاعية هي مؤثرات تنسورية غير قابلة للإختزال من المرتبة  $k = 1$  ،  
المركبات  $q$  ( الدليل  $q$  يمكن أن نأخذ  $+1, 0, -1$  ) هي مركبات مثالية للمؤثرات الشعاعية أي بتسمية  $A$  مؤثر شعاعي :

$$A_{-1} = \frac{-1}{\sqrt{2}} (A_x + iA_y) : A_0 = A_z ; A_1 = \frac{1}{\sqrt{2}} (A_x - iA_y)$$

والقارئ يجد بسهولة أن العلاقة (٦ - ٣٤) ضمن شروط التطبيق الكمية المستقلة لـ  $m, m', q$  هي ثابتة .

تطبيق : لنكتب نظرية W. E للمركبات  $A_q, J_q$  للمؤثر الشعاعي  $J, A$ .

$$\langle \tau J m | A_q | \tau' J' m' \rangle = \langle \tau J \| A \| \tau' J' \rangle \langle \tau' m' q | J m \rangle$$

$$\langle \tau J m | J_q | \tau' J' m' \rangle = \langle \tau J \| J \| \tau' J' \rangle \langle \tau' m' q | J m \rangle$$

عنصر المصفوفة المختزلة لـ  $J$  معدوم عندما  $J' \neq J$  عند فرق العنصر للمصفوفة المختزلة لـ  $A$  ، في حالة  $J = J'$  نقارن عناصر المصفوفة لـ  $A$  و  $J$  باستنتاج العلاقات السابقة :

$$\langle \tau J m | A_q | \tau' J' m' \rangle = \frac{\langle \tau J \| A \| \tau' J' \rangle}{\langle \tau J \| J \| \tau' J' \rangle} \langle \tau J m | J_q | \tau' J' m' \rangle \quad (٦-٣٥)$$

عناصر المصفوفة المختزلة  $\langle \tau J \| A \| \tau' J' \rangle$  هو سلمي بالطبع مستقل عن  $m$  ويمكننا أن نكتب بأنه متناسب مع مختلف عناصر مصفوفة المؤثر السلمي  $JA$  المتساوية فيما بينها من أجل  $m = m'$  ومساوية للصفر من أجل  $m \neq m'$  ليكن :

$$\langle \tau J \| A \| \tau J \rangle = c \langle \tau J m | JA | \tau J m \rangle \quad (٦-٣٦)$$

المعامل  $c$  مستقل عن  $A$ .

لتعيين  $c$  نطبق نظرية W. E على عنصر المصفوفة الخاصة  $\langle \tau J J | J_z | \tau J J \rangle$  التي تأخذ  $J$

$$J = \langle \tau J J | J_z | \tau J J \rangle = \langle \tau J J \| J \| \tau J J \rangle \langle J | J_0 | J J \rangle$$

أخذين بعين الاعتبار المعامل Clebsch - Gardan :

$$\langle J | J_0 | J J \rangle = \sqrt{\frac{J}{J+1}}$$

$$\langle \tau J \| J \| \tau J \rangle = \sqrt{J(J+1)} \quad (٦-٣٧)$$

نطبق الآن العلاقة (٦ - ٣٦) في حالة  $A = J$  عناصر مصفوفة  $J^2$  مساوية لـ

$$J(J+1) \text{ نوجد قيمة } c$$

$$c = \frac{1}{\sqrt{J(J+1)}} \quad (٦-٣٨)$$

بإستبدال عنصر المصفوفة المختزلة لـ  $J$  في العلاقة (٦ - ٣٥) بقيمتها (٣٧-٣٧)

وعنصر المصفوفة المختزلة لـ  $A$  بقيمتها المختزلة (٦ - ٣٦) مع أخذ قيمة  $c$  نحصل :

$$\langle \tau J_m | A_q | J_m' \rangle = \frac{\langle \tau J_m | J.A | \tau J_m \rangle}{J(J+1)} \langle J_m | J_q | J_m' \rangle \quad (٦-٣٩)$$

هذه العلاقة تعطي عامل التناسب  $a$  للعلاقة (٦ - ٣٤) كتابع للمؤثر السلمي  $J.A$ .

$$٦ - ٤ - ٢ - ٢ - \text{وجود عامل لاندé } g :$$

La existence du facteur de Landé  $g$

بإختصار فإنه لإيجاد عناصر المصفوفة  $W_{mJm'J}$  سنستخدم الخواص التالية :

(a) - ضمن التمثيل  $\{J^2, J_z\}$  ، ضمن فراغ جزئي مطابق للطاقة  $E_J^0$  وعند قيمة معطية لـ  $J$  فإن عناصر المصفوفة لمركبات المؤثرات تكون متناسبة مع بعضها البعض . عامل التناسب هو نفسه لمختلف المركبات  $A, B$  مؤثران .  $A_q$  مركبات حيث  $q = 1, 0, +1$  .

$$A_0 = A_z , \quad A_{-1} = \frac{1}{\sqrt{2}} (A_x - iA_y) , \quad A_{+1} = \frac{-1}{\sqrt{2}} (A_x + iA_y)$$

إذاً :

$$\langle E_J^0 J m_J | A_q | E_J^0 J m_J' \rangle = a \langle E_J^0 J m_J | B_q | E_J^0 J m_J' \rangle \quad (٦ - ٤٠)$$

$a$  ثابت التناسب مستقل عن  $q, m_J', m_J$  .

(b) - في داخل الفراغ الجزئي  $E_J^0$  عناصر المصفوفة للمركبة  $A_q$  مرتبطة بعناصر المصفوفة للمركبة  $J_q$  بالعلاقة :

$$\langle E_J^\circ J_m | A_q | E_J^\circ J_m' \rangle = \frac{\langle E_J^\circ J_m | J A | E_J^\circ J_m' \rangle}{J(J+1)} \langle E_J^\circ J_m | I_q | E_J^\circ J_m' \rangle$$

( ٤١ - ٦ )

أو :

$$\langle E_J^\circ J_m | A_q | E_J^\circ J_m' \rangle = \frac{\langle J A \rangle}{J(J+1)} \langle E_J^\circ J_m | J_q | E_J^\circ J_m' \rangle$$

حيث :

$\frac{\langle J A \rangle}{J(J+1)}$  هو عامل التناسب وبالتالي فان نظرية (Wigner - Eckart) هي نتائج الخاصتين a , b في حالتنا :

إن المؤثر  $A_q = L_z + 2 S_z$  ,  $J_q = J_z$  أي :

$$\begin{aligned} \langle E_J^\circ J_m | L_z + 2 S_z | E_J^\circ J_m' \rangle &= g \langle E_J^\circ J_m | J_z | E_J^\circ J_m' \rangle \\ &= g m_J \delta_{mJ m'} \end{aligned}$$

( ٤٢ - ٦ )

معامل التناسب g يدعى بعامل لانده  $g$  .

٦ - ٤ - ٣ - حساب عامل لانده : Calcule du facteur de landé

لدينا :

$$L + 2S = g J$$

لإيجاد g نأخذ المؤثر :

$$J(L + 2S) = J(J + S) = J^2 + J.S$$

لكن :

$$L = J - S \Rightarrow L^2 = J^2 + S^2 - 2 J S$$

$$J.S = \frac{J^2 + S^2 - L^2}{2} \quad (٤٣-٦)$$



إذا :

$$J(L + 2S) = J^2 + \frac{J^2 + S^2 - L^2}{2}$$

ضمن التمثيل  $|L^2, S, J, m\rangle$  إن القيمة المتوسطة لـ  $J(L + 2S)$  حسب العلاقة (٤٣-٢) هي :

$$\langle J(L + 2S) \rangle = J(J + 1) + \frac{J(J + 1) + S(S + 1) - L(L + 1)}{2} \quad (٤٤ - ٦)$$

لكن حسب الخاصيتين a و b لدينا :

$$\langle E_J^0 J_{m_J} | L_z + 2 S_z | E_J^0 J_{m_J'} \rangle = \frac{\langle J(L + 2S) \rangle}{J(J + 1)} \langle E_J^0 J_{m_J} | J_z | E_J^0 J_{m_J'} \rangle$$

وحسب العلاقة (٤٢ - ٦) :

$$g \langle E_J^0 J_{m_J} | J_z | E_J^0 J_{m_J'} \rangle = \frac{\langle J(L + 2S) \rangle}{J(J + 1)} \langle E_J^0 J_{m_J} | J_z | E_J^0 J_{m_J'} \rangle \quad (٤٥ - ٦)$$

بمطابقة (٤٤ - ٦) و (٤٥ - ٦) نجد قيمة g .

$$g = 1 + \frac{J(J + 1) + S(S + 1) - L(L + 1)}{2 J(J + 1)} \quad (٤٦-٦)$$

$$g = 3/2 + \frac{S(S + 1) - L(L + 1)}{2 J(J + 1)}$$

٦ - ٤ - ٤ - مخطط زيمان في حقل ضعيف :

Le diagramme Zeeman en champ faible

إن عناصر المصفوفة  $W_{m_J m_J'}$  كما رأينا تساوي :

$$W_{m_J m_J'} = g \beta m_J \delta_{m_J m_J'} \quad (٤٧ - ٦)$$

وبالتالي فإن التصحيح من المرتبة الأولى سيكون :

$$E^{(1)} = \Delta E = g \beta B m_J \quad (٦ - ٤٨)$$

$m_J$  تأخذ  $2J + 1$  قيمة :

$$m_J = -J, -J + 1, \dots, +J$$

إن وجود الحقل المغناطيسي يرفع التوالد ويظهر  $2J + 1$  مستوي جزئي هذه المستويات الجزئية تكون متساوية الأبعاد عن بعضها البعض ، والمسافة بين مستويين متعاقبين هي  $g \beta B$  .

الشكل ( ٦ - ١ a ) يبين الخطوات المتعاقبة للتقارب بغياب الحقل من أجل  $(L = 1, S = 1)$  والشكل ( ٦ - ١ ب ) يمثل مخطط زيمان للمستويات  $3p_0$  ،  $3p_1$  و  $3p_2$  .

#### ٦ - ٤ - ٥ - مفعول زيمان الموصوف بالنموذج الشعاعي :

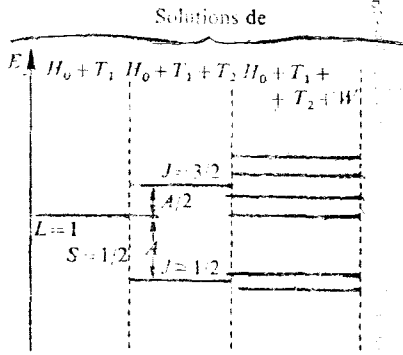
عند تطبيق حقل مغناطيسي  $B$  سيكون هناك إرتباط بين  $B$  و  $L$  وكذلك بين  $B$  و  $S$  في غياب الإرتباط  $L$  و  $S$  فإن  $L$  و  $S$  سيدوران بصورة مستقلة عن  $B$  لكن كنتيجة لهذا الإرتباط ، في الحالة العامة فإن الحركة ستكون معقدة جداً . في المرحلة الأولى حالة حقل مغناطيسي ضعيف . حيث طاقة الإرتباط بين  $L$  و  $S$  أكبر من طاقة الإرتباط لـ  $B$  مع  $L$  ومع  $S$  وهذا يجعلنا نقبل :

(a) - إن وجود الحقل المغناطيسي لايجعل الإرتباط  $L - S$  مضطرباً ، والصورة المشكلة من الأشعة  $S, L, J$  لا تشوه .

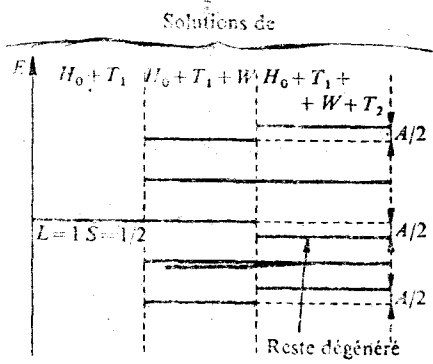
(b) - والتأثير المتبادل مع الحقل سترجم بدوران مخروطي للأشعة  $S, L, J$  حول الحقل  $B$  كما في الشكل ( ٦ - ٣ ) و ( ٦ - ٤ ) .

- إن العزم المغناطيسي المداري هو شعاع مشترك خطي مع العزم الحركي  $L$  .

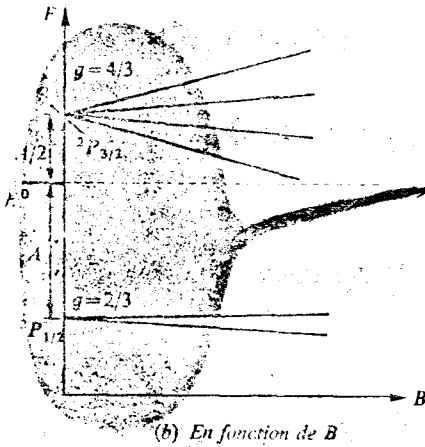
$$\vec{\mu}_L = - \beta L$$



(a) Pour une valeur donnée de  $B$



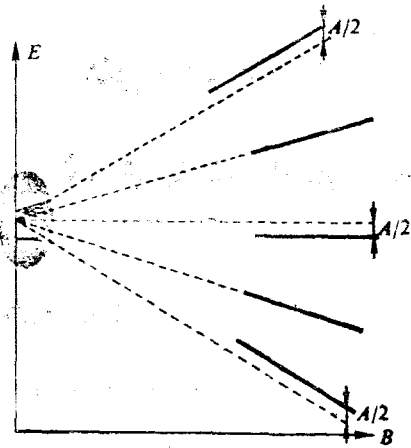
(a) Pour une valeur donnée de  $B$



(b) En fonction de  $B$

Figure 6. Cas des champs faibles.

(effet Zeeman)



(b) En fonction de  $B$

Figure 7. Cas des champs forts.

(effet Paschen-Back)

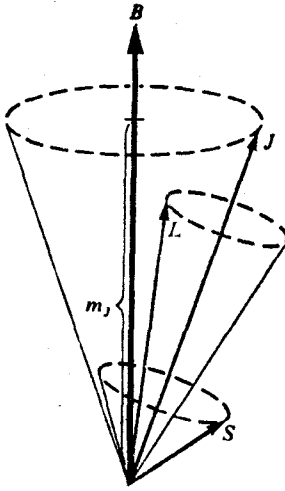
شكل (٦ - ٢)

شكل (٦ - ١)

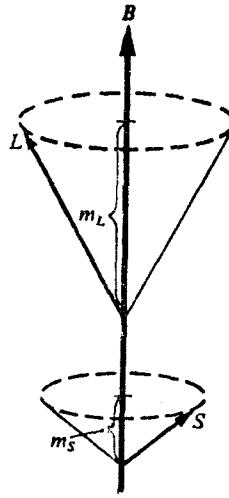
— العزم المغناطيسي السبيني هو شعاع مشترك خطي مع العزم الحركي  $S$ .

$$\vec{\mu}_S = -2 \beta S$$

محصلة العزم المغناطيسي هي :  $\vec{\mu} = \vec{\mu}_S + \vec{\mu}_L$  لم تعد شعاع مشترك خطي مع العزم الكلي  $J$ ، والشعاع  $\mu$  سيدور حول  $J$  بسرعة دوران  $L$  و  $S$  حول  $J$ . هذه السرعة هي أكبر بكثير من سرعة الدوران  $J$  حول  $B$ .



شكل ( ٦ - ٣ )



شكل ( ٦ - ٤ )

إن الزاوية الكائنة بين  $\vec{\mu}$  و  $B$  تتغير بثبات لكن قيمتها المتوسطة تبقى مساوية للزاوية  $(J, B)$  .

إن طاقة التأثير المتبادل بين  $\vec{\mu}$  و  $B$  مساوية إلى :

$$\Delta E = - \langle \mu_J \rangle B \quad ( ٦ - ٤٩ )$$

$\langle \mu_J \rangle$  هو شعاع مسقط  $\mu$  على اتجاه الشعاع  $J$  .

إذا كان  $u$  هو شعاع الواحدة حسب  $J$  فإن :

$$\langle \mu_J \rangle = ( \text{مسقط } \mu_S \text{ على الشعاع } J + \text{مسقط } \mu_L \text{ على } J ) \cdot u$$

$$\langle \mu_J \rangle = - \left( \beta \frac{1}{|J|} L \cdot J + 2 \beta \frac{1}{|J|} S \cdot J \right) u = - \beta \frac{J}{J^2} (L \cdot J + 2 \cdot J)$$

لكن :

$$S = J - L \Rightarrow |S|^2 = J^2 + L^2 - 2 J L \Rightarrow L \cdot J = \frac{J^2 + L^2 - S^2}{2}$$

$$L = J - S \Rightarrow |L|^2 = J^2 + S^2 - 2 J \cdot S \Rightarrow S \cdot J = \frac{J^2 + S^2 - L^2}{2}$$

بالتعويض نجد :

$$\langle \mu_J \rangle = - \beta J \left[ \frac{3 J^2 + S^2 - L^2}{2 J^2} \right]$$

أخيراً نوجد قيمة الطاقة  $\Delta E$  لعلاقة ( ٦ - ٤٩ ) :

$$\Delta E = - ( - \beta J ) \cdot B = + g \beta B J_z = g \beta m_J B \quad ( ٦ - ٥٠ )$$

مع :

$$g = 1 + \frac{J(J+1) + S(S+1) - L(L+1)}{2 J(J+1)}$$

وهي نفس النتيجة كما درست في الحالة الكوانتية .

٦ - ٥ - مفعول باشن باك في حقل قوي - حالة حقول متوسطة :

Effect pashen - Bachen champ fort . cas des champs intermediaires

كما في الحالة السابقة فإن الدراسة ستكون فقط في حالة الارتباط  $L - S$ . إن شروط الحقل القوي محققة عندما يكون الفصل بين المستويات الناتجة عن تطبيق الحقل أكبر من فصل السويات المتعلقة بالارتباط سبين - مدار . أي :

$$T_1 > W > T_2$$

لم يعد صالحاً شروط تطبيق نظرية الإضطراب المستخدمة في الفقرة السابقة والحساب سيكون على خطوتين كما هو في الشكل (2 a) و (2 b) .

٦ - ٥ - ١ - الخطوة الأولى : إهمال الارتباط سبين - مدار :

في هذه الخطوة نهمل الارتباط سبين - مدار أي نطبق نظرية الإضطراب  $W$  على الهاملتونيان

$$H = H_0 + T_1$$

أي أن المستوي  $E^0$  مطابق لقيم محددة للعزوم  $L$  و  $S$  والمطابق لتوالد  $(2L+1)(2S+1)$  سنستخدم كقاعدة تمثل  $W_{kk'}, |E^0, L, S, M_L, M_S\rangle$  عناصر المصفوفة الاضطراب  $W$  و  $k$  ، يمكن أن يأخذ  $(2L+1)(2S+1)$  قيمة .

نلاحظ أن  $S_z, L_z$  تكون تحت شكل قطري في التمثيل  $|E^0, L, S, M_L, M_S\rangle$  عناصر المصفوفة تكون :

$$\langle E^0, L, S, M_L, M_S | L_z | E^0, L, S, M'_L, M'_S \rangle = M_L \delta_{M_L, M'_L}$$

$$\langle E^0, L, S, M_L, M_S | S_z | E^0, L, S, M'_L, M'_S \rangle = M_S \delta_{M_S, M'_S}$$

وبالتالي فإن :

$$W_{kk'} = \langle E^0, L, S, M_L, M_S | \beta (L_z + 2 S_z) | E^0, L, S, M'_L, M'_S \rangle = \beta (M_L + 2 M_S) \delta_{kk'}$$

المصفوفة  $W_{kk'}$  هي قطرية .

الجدول التالي يعطي قيم  $M_L + 2 M_S$  كتابع لـ  $K$  من أجل الحالة  $L = 1$  و  $S = 1$  نختار قيم  $k$  المتزايدة مع قيم  $(M_L + 2 M_S)$  المتزايد ( عملية اختيارية ) .

$k$	$m_S$	$m_L$	$2 m_S + m_L$	$A m_L m_S$	$m_L + m_S$
1	-1	-1	-3	$A$	-2
2	-1	0	-2	0	-1
3	-1	+1	-1	$-A$	0
4	0	-1	-1	0	-1
5	0	0	0	0	0
6	0	+1	+1	0	+1
7	+1	-1	+1	$-A$	0
8	+1	0	+2	0	+1
9	+1	+1	+3	$A$	+2

تابعة للفقرة التالية

تصححات الطاقة ذات المرتبة الأولى مساوية إلى :

$$E^{(1)} = \Delta E = W_{kk'} = \alpha B (M_L + 2 M_S)$$

## الخطوة الثانية :

نطبق الآن الإضطراب الذي يترجم  $T_2$  حيث :

$$T_2 = \sum_i a_i l_i S_i$$

في حالة الارتباط  $L-S$  نبرهن بتطبيق نظرية (Wigner - Eckart) (ميكانيك الكم Messiah) فإن الحد  $T_2$  يمكن أن يوضع على الشكل :

$$T_2 = A L \cdot S$$

لنأخذ الحالة الأكثر بساطة حيث المستويات المراد تطبيق  $T_2$  عليها غير متوالدة .  
وقيمة التصحيح مساوية إلى القيمة المتوسطة لـ  $T_2$  :

$$T_2 = A (L_x S_x + L_y S_y + L_z S_z)$$

$$T_2 = A \left[ \left( \frac{L_+ + L_-}{2} \right) \left( \frac{S_+ - S_-}{2} \right) + \left( \frac{L_+ - L_-}{2} \right) \left( \frac{S_+ + S_-}{2} \right) + L_z S_z \right]$$

$$= A [ L_z S_z + \frac{1}{2} (L_+ S_- + L_- S_+) ]$$

مع الأخذ بعين الاعتبار أن :

$$L_+ = L_x + i L_y \quad S_+ = S_x + i S_y$$

$$L_- = L_x - i L_y \quad S_- = S_x - i S_y$$

القيمة المتوسطة للحدين (1) و (3) معدومة وبالتالي فإن :

$$\langle T_2 \rangle = A M_L \cdot M_S$$

أخيراً فإن الفرق الطاقة  $\Delta E$  المعروف لمختلف السويات الجزيئية في حقل مغناطيسي قوي يساوي إلى :

$$\Delta E = \beta B (M_L + 2 M_S) + A M_L M_S \quad (٦ - ٥١)$$

الشكل (٦ - ٢) يعطي مخطط سويات الطاقة في حقل قوي للحالة الكوانتية  $L = 1$  و  $S = 1$

٦ - ٥ - ٣ : استخدام النموذج الشعاعي :

طاقة الارتباط بين العزوم المغناطيسية والحقل B أكبر بكثير من طاقة الارتباط للعزوم المغناطيسية مع بعضها البعض في الشكل ( ٦ - ٤ ) نقبل :

— الشعاع L مرتبط فقط مع الحقل المغناطيسي B ويدور حول اتجاه الحقل بسرعة  $\omega_L$

— الشكل S مرتبط فقط مع B ويدور حول اتجاه B وبسرعة زاوية  $\omega_S$  .

—  $\omega_S \neq \omega_L$  سيتغير اتجاه ومحصلة J بثبات وبالتالي لن يتمكن من استخدام J ،  $M_J$  سنستخدم كشرط للكتمة .

— مسقط L على B يأخذ قيم صحيحة  $M_L$  حيث  $L \leq M_L \leq L$

— مسقط S على B يأخذ القيم  $M_S$

قيم الطاقة الواجب إضافتها إلى  $E^0$  هي :

—  $\Delta E_{LB}$  طاقة ارتباط L مع الحقل B .

—  $\Delta E_{SB}$  » » S » » B .

—  $\Delta E_{LS}$  طاقة ارتباط L مع الحقل S .

$$\Delta E_{LB} = \frac{-q}{2 m k} h . L . B = \beta B . M_L$$

$$\Delta E_{SB} = \frac{-q}{m k} h S . B = 2 B \beta M_S$$

$$\Delta E_{LS} = A L . S .$$

لكن L و S يدوران بصورة مستقلة حول B . الزاوية (L , S) تتغير بصورة ثابتة . إن القيمة المتوسطة لهذه الزاوية :

$$\overline{\cos(L, S)} = \cos(L, B) . \cos(S, B)$$

أخيراً فإن :



$$\Delta E = \Delta E_{LB} + \Delta E_{SB} + \Delta E_{LS} = (M_L + 2 M_S) \beta B + A M_L M_S$$

نفس النتيجة التي أوجدناها بطريقة ميكانيك الكم .

مسألة :

أوجد مخطط سويات الطاقة ضمن حقل ضعيف وقوي ذرات العناصر القلوية :

$$D_1 = n^2 P_{1/2} \rightarrow n^2 S_{1/2}$$

$$D_2 = n^2 P_{3/2} \rightarrow n^2 S_{1/2}$$

الطيف الملاحظ : ١ - مفعول زيمان الطبيعي :

لدينا : إذا كان انشطار الخط إلى ثلاث فقط .

$$\Delta E = (E'_0 - E''_0) + h \bar{\nu} \cdot \Delta M_J .$$

حيث  $\nu_L = \frac{e B}{4 \pi m c}$  ، تردد لارمور للدوران المخروطي .

$$١ - \text{ إذا كان : } \Delta M_J = 1 \text{ فإن } \nu_1 = \nu_0 + \nu_L$$

$$\nu_2 = \nu_0 \quad \Delta M_J = 0$$

$$\nu_3 = \nu_0 - \nu_L \quad \Delta M_J = -1$$

إن الخطين  $\nu_1$  ،  $\nu_3$  تكون متساوية الأبعاد عن  $\nu_2$  .

$\Delta M_J = 0$  استقطاب للضوء مع الشعاع الكهربائي في مستوي موازي للحقل المغناطيسي يدعى بالخط  $\pi$  .

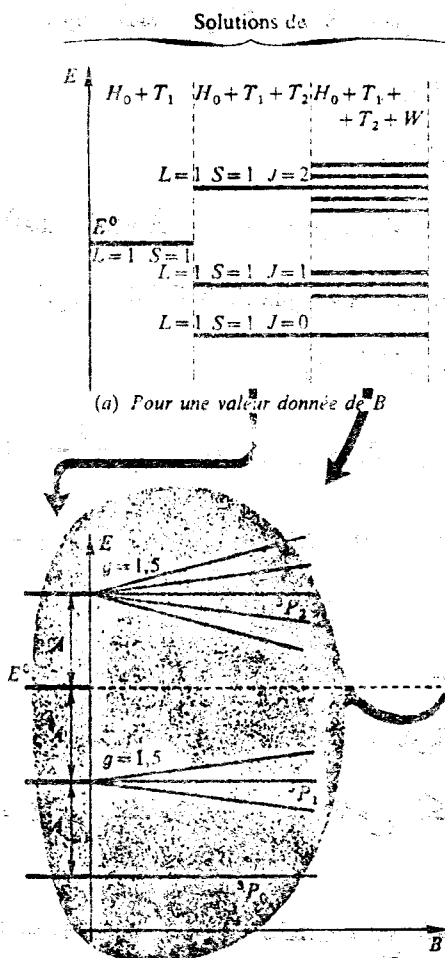
$\Delta M_J = \mp 1$  مستوي مستقطب مع شعاع الحقل الكهربائي معامدا لشعاع الحقل المغناطيسي يدعى بالخط  $\sigma$  .

$$\Delta M_J = -1 \text{ يدعى بـ } \sigma_- \text{ و } \Delta M_J = +1 \text{ يدعى بـ } \sigma_+ .$$

٢ - مفعول زيمان الغير طبيعي :

إذا زاد انشطار الخط الواحد إلى أكثر من ثلاث خطوط نتيجة تطبيق حقل

مغناطيسي فيدعى هذا المفعول بمفعول زيمان الغير طبيعي والشكلان ( ٦ - ٥ ) و ( ٦ - ٦ ) يعطيان مخطط سويات الطاقة عندما قطع ذرات العناصر القلوية في حقل مغناطيسي ضعيف وقوي .



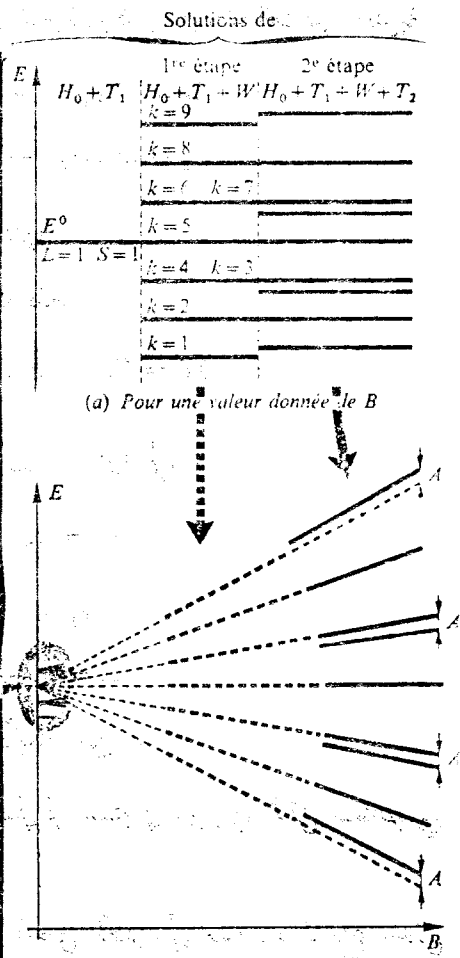
N.B. L'échelle des énergies est dilatée dans le cas des champs faibles.

(b) En fonction de  $B$

Figure 1. Cas des champs faibles (effet Zeeman)

١١٠٦٢

شكل ( ٦ - ٥ )



(b) En fonction de  $B$

Figure 2. Cas des champs forts (effet Paschen-Back).

١١٠٦٢

شكل ( ٦ - ٦ )

٦ - ٦ - مفعول زيمان وباشن باك لذرات ذات الكترونين :

في الإرتباط  $J - J$  وفي حقل ضعيف :

إن المؤثر  $W$  في الإرتباط  $J J$  سيكون بشكل يظهر فيه  $J_1, J_2$ .

$$W = (j_1 + j_2 + s_1 + s_2) \cdot B$$

١ - نطبق مبرهنة (Wigner Eckart) على عناصر المصفوفة للمؤثر  $J_{1z}$  :

$$\langle JM_J | J_{1z} | Jm'_J \rangle = a \langle Jm_J | J_z | Jm'_J \rangle$$

حيث :

$$a = \frac{\langle J_1, J \rangle}{J(J+1)}$$

اكن :

$$j_2 = J - j_1 \Rightarrow |J_2|^2 = |J|^2 + |J_1|^2 - 2 J J_1 \Rightarrow j_1 J = \frac{J^2 + j_1^2 - j_2^2}{2}$$

$$\langle J, j \rangle = \frac{J(J+1)j_1(j_1+1) - j_2(j_2+1)}{2}$$

إذا :

$$a = \frac{J(J+1) + j_1(j_1+1) - j_2(j_2+1)}{2J(J+1)}$$

٢ - بتطبيق النظرية بشكل مشابه على  $j_2$  نجد :

$$\langle Jm_J | j_{2z} | Jm'_J \rangle = b \langle Jm_J | j_z | Jm'_J \rangle$$

حيث :

$$b = \frac{J(J+1) + j_2(j_2+1) - j_1(j_1+1)}{2J(J+1)}$$

٣ - لنوجد الآن عناصر المصفوفة للمؤثر  $s_{1z} + j_{1z}$ . لنكتب :

$$\langle Jm_J | j_{z_1} + s_{z_1} | Jm_J' \rangle = g_1 \langle Jm_J | j_{z_1} | Jm_J' \rangle$$

حيث :

$$g_1 = \frac{\langle j_1 s_1 \rangle}{j_1(j_1+1)} = \frac{j_1(j_1+1) + s_1(s_1+1) - l_1(l_1+1)}{2j_1(j_1+1)}$$

٤ - نفس الشيء بالنسبة للمؤثر :  $j_{z_2} + s_{z_2}$

$$\langle Jm_J | j_{z_2} + s_{z_2} | Jm_J' \rangle = g_2 \langle Jm_J | j_{z_2} | Jm_J' \rangle$$

مع :

$$g_2 = \frac{j_2(j_2+1) + s_2(s_2+1) - l_2(l_2+1)}{2j_2(j_2+1)}$$

انطلاقاً من المراحل الأربعة السابقة يمكننا أن نكتب :

$$\begin{aligned} \langle Jm_J | L_z + 2 S_z | Jm_J' \rangle &= (a g_1 + b g_2) \langle Jm_J | J_z | Jm_J' \rangle \\ &= g m_J \end{aligned}$$

حيث :  $g = a g_1 + b g_2$  وبالتالي فإن الطاقة  $\Delta E$  .

$$\Delta E = W = \beta B \cdot m_J$$

b في حالة حقل قوي : في الارتباط  $j - z$  .

بدون صعوبة نجد  $\Delta E$  :

$$\Delta E = (g_1 m_{j_1} + g_2 m_{j_2}) \beta B + A' m_{j_1} m_{j_2}$$

مثال (١) :

أوجد القوة التحليلية لمجموعة ( ضوئية ) حتى يمكنها أن تحلل الخطوط الطيفية للخط الطيفي  $\lambda = 12083 \text{ Å}$  لذرة Mg الموضوعة في حقل مغناطيسي  $B = 1.5 \text{ Tesla}$  علماً بأن الطول الموجي الموافق للانتقال  $4^1D_2 \rightarrow 4^1F_3$  .

**الحل :**

بصورة عامة يكون :

$$\bar{\nu} = \bar{\nu}_0 + \frac{eB}{4\pi mc} (g' m_J' - g'' m_J'')$$

بواحدات MKSA وحيث  $\Delta m_J = 0, \mp 1$

ما عدا الانتقال  $J = 0 \rightarrow J = 0$  مرفوض ، أما بواحدات CgS فيكون

$$\cdot \frac{eH}{4\pi mc^2}$$

مثلاً للفردية  $S = 0, L = J$

$$g = 1 + \frac{J(J+1) + S(S+1) - L(L+1)}{2J(J+1)}$$

إذاً :  $g = 1$

$$\bar{\nu} = \bar{\nu}_0 + \frac{eB}{4\pi mc} (m_J' - m_J'')$$

هناك ثلاثة خطوط ذات تواترات :

$$\bar{\nu}_0$$

$$\bar{\nu}_0 + \frac{eB}{4\pi mc}$$

$$\bar{\nu}_0 - \frac{eB}{4\pi mc}$$

$$\frac{e}{m} = 1.76 \times 10^{-11} \text{ c/kg}$$

$$\frac{eB}{4\pi mc} = \frac{1}{4\pi} \frac{1.5 \times 1.76 \times 10^{11}}{3 \times 10} = 70.03 \text{ cm}^{-1} = 0.7 \text{ cm}^{-1}$$

القدرة التحليلية اللازمة :

$$\frac{\Delta \nu}{\nu} = \frac{0.7 \times 12083}{3 \times 10^8} \Rightarrow$$

$$R = \frac{3 \times 10^8}{0.7 \times 12083} = 11800$$

مسألة (٢) :

أوجد القدرة التحليلية  $\Delta v/v$  لخطي الصوديوم عندما توضع ذرة في حقل مغناطيسي  $B = 1.5 \text{ Tesla}$  علماً بأن الخطين موافقين للإنتقالين :

$$3^2P_{1/2} \rightarrow 3^2S_{1/2}$$

$$3^2P_{3/2} \rightarrow 3^2S_{1/2}$$

الحل :

لنحسب عامل لانده :

من أجل  $2S_{1/2}$

$$g = 1 + \frac{\frac{3}{4} + \frac{3}{4}}{2 \times \frac{3}{4}} = 2$$

من أجل  $2P_{1/2}$

$$g = 1 + \frac{\frac{3}{4} + \frac{3}{4} - 2}{2 \times \frac{3}{4}} = 2/3$$

من أجل  $2P_{3/2}$

$$g = 1 + \frac{\frac{15}{4} + \frac{3}{4} - 2}{2 \times \frac{15}{4}} = 4/3$$

مخطط سويات الطاقة والإنتقالات الممكنة لكلا الخطين الشكل (٦ - ٧)

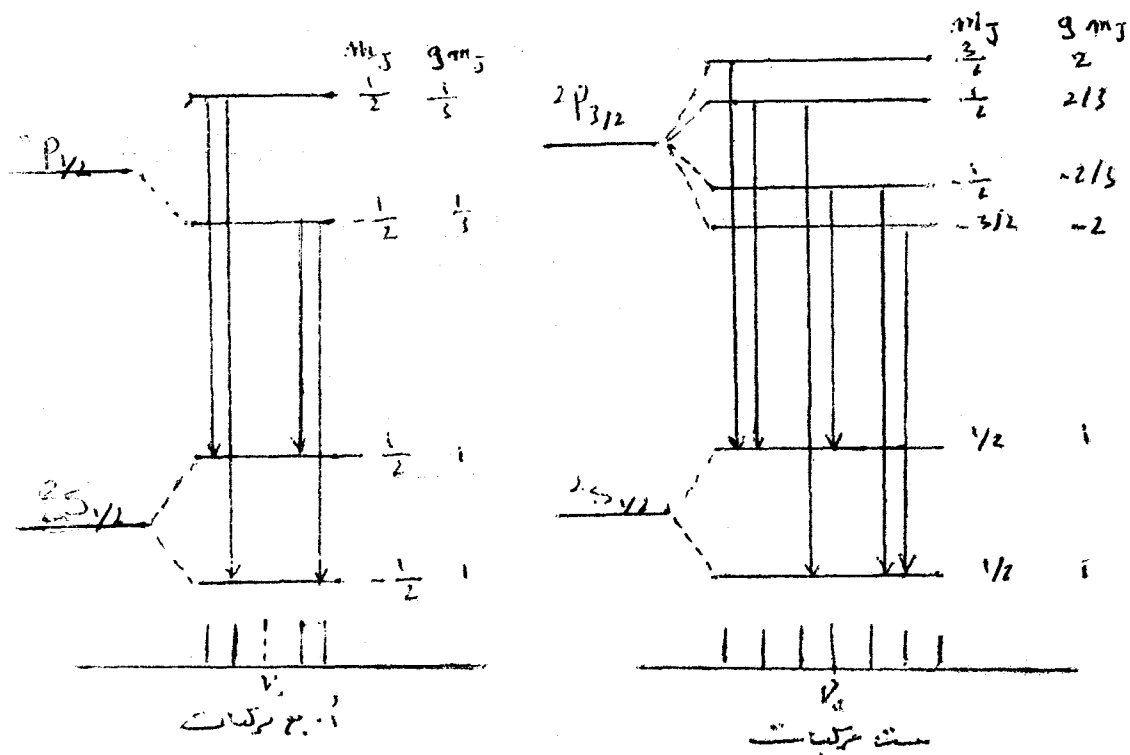
التواترات الناتجة للإنتقال  $2P_{1/2} \rightarrow 2S_{1/2}$  :

$$\bar{\nu}_1 = \bar{\nu}_0 + \frac{e B}{4\pi mc} (-4/3)$$

$$\bar{\nu}_2 = \bar{\nu}_0 + (-2/3)$$

$$\bar{\nu}_3 = \bar{\nu}_0 + (2/3)$$

$$\bar{\nu}_4 = \bar{\nu}_0 + (4/3)$$



شكل ( ٦ - ٧ )

والتواترات الموافقة للإنتقال :

$$2P_{3/2} \rightarrow 2S_{1/2}$$

$$\bar{\nu}_1 = \bar{\nu}_0 + \frac{eB}{4\pi mc} (-5/2)$$

$$\bar{\nu}_2 = \bar{\nu}_0 + (-1)$$

$$\bar{\nu}_3 = \bar{\nu}_0 + (-1/3)$$

$$\bar{\nu}_4 = \bar{\nu}_0 + (1/3)$$

$$\bar{\nu}_5 = \bar{\nu}_0 + (5/3)$$

$$\bar{\nu}_6 = \bar{\nu}_0 + (1)$$

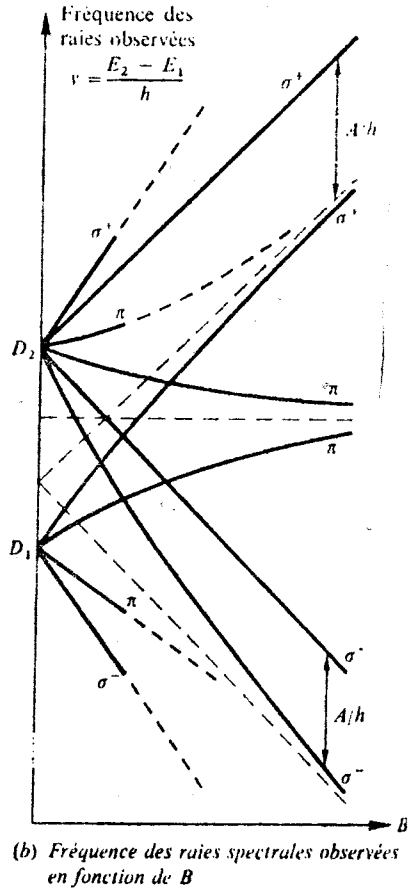
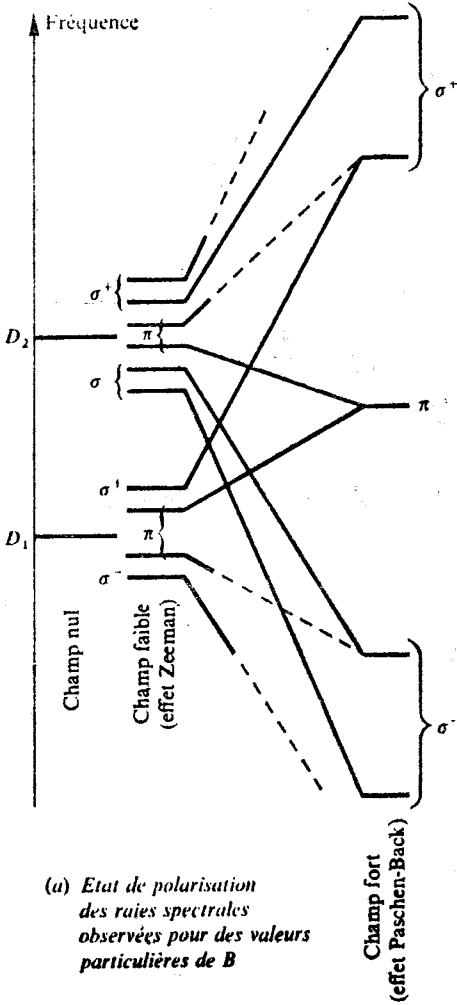
فالمقدار :

$$2/3 \frac{eB}{4\pi mc} = 2/3 \times 0.7 = 0.47 \text{ cm}^{-1}$$

القدرة التحليلية :

$$\frac{\Delta \nu}{\nu} = \frac{0.47 \times 5890}{10^8} \Rightarrow R = \frac{10^8}{0.47 \times 5890} \approx \frac{10^8}{2900}$$

$$R = 34500$$



شكل ( ٦ - ٨ )



والشكل ( ٦ - ٨ ) يبين خطي الصوديوم  $D_1$  و  $D_2$  عندما تخضع ذرة الصوديوم لحقل مغناطيسي .

مسألة :

ليكن الخط الطيفي الناتج عن الانتقال  $^3D \rightarrow ^3P$  .

— المطلوب : يبين كيف يمكن أن تتحلل السوية العليا والدنيا لهذا الانتقال حسب مفعول زيمان ومفعول ياشن باك .

— ليكن  $\nu_0$  هو التواتر المميز لهذا الانتقال بدون حقل مغناطيسي أوجد الإنزياح في التواتر عند تطبيق حقل مغناطيسي شدته 2 Tesla ، بالنسبة للتواتر الرئيسي  $\nu_0$  .

الحل :

١ - في حقل مغناطيسي ضعيف ( مفعول زيمان ) :

التأثير المتبادل - سبين - مدار .

$$\Delta T_{so} = -\frac{1}{2} A [J(J+1) - L(L+1) - S(S+1)]$$

$$\Leftarrow \text{أ - الحد } ^3D$$

$$\Leftarrow \begin{cases} L = 2 \\ S = 1 \\ J = 1, 2, 3 \end{cases}$$

من أجل :

$$^3D_3 \Rightarrow \Delta T_{so} = -\frac{1}{2} A [3.4 - 2.3 - 6.2] = -2 A$$

من أجل :

$$^3D_2 \Rightarrow \Delta T_{so} = -\frac{1}{2} A [2.3 - 2.3 - 6.2] = + A$$

من أجل :

$$^3D_1 \Rightarrow \Delta T_{so} = -\frac{1}{2} A [1.2 - 2.3 - 6.2] = + 3 A$$

ب - الحد  ${}^3P \Leftarrow$

$$\Leftarrow \begin{cases} L = 1 \\ S = 1 \\ J = 0, 1, 2 \end{cases}$$

من أجل

$${}^3P_2 \Rightarrow \Delta T_{so} = -\frac{1}{2} A [2.3 - 6.2 - 6.2] = -A$$

من أجل

$${}^3P_1 \Rightarrow \Delta T_{so} = -\frac{1}{2} A [1.2 - 6.2 - 6.2] = +A$$

من أجل

$${}^3P_0 \Rightarrow \Delta T_{so} = -\frac{1}{2} A [0.1 - 1.2 - 1.2] = +2A$$

ولنحسب عامل لانده لكل من الحدين  ${}^3P + {}^3D$

$$g = 1 + \frac{J(J+1) - L(L+1) + S(S+1)}{2J(J+1)}$$

الحالة  ${}^3D$  :

$${}^3D_3 \Rightarrow g = 1 + \frac{3.4 - 2.3 + 1.2}{24} = 4/3$$

$${}^3D_2 \Rightarrow g = 1 + \frac{2.3 - 2.3 + 1.2}{2} = 7/6$$

$${}^3D_1 \Rightarrow g = 1 + \frac{1.2 - 2.3 + 1.2}{4} = 1/2$$

الحالة  ${}^3P$  :

$${}^3P_2 \Rightarrow g = 1 + \frac{2.3 - 1.2 + 1.2}{12} = 3/2$$

$${}^3P_1 \Rightarrow g = 1 + (1.2 / 4) = 3/2$$

$$^3P_0 \Rightarrow g = 1 + \quad = 1$$

لأثير للحقل المغناطيسي الخارجي .

وبوجود حقل مغناطيسي ضعيف فإن :

$$\Delta T_{\pm} = \frac{-e B}{4 \pi m c} g m_j \text{ (MKSA)}$$

والانتقالات نجد انها تحقق :

$$\Delta m_j = 0 \Rightarrow \pi \text{ مركبة}$$

$$\Delta m_j = \pm 1 \Rightarrow \sigma_{\pm} \text{ مركبة}$$

وعدد المركبات المميزة للانتقال :

$$^3D_3 \longrightarrow ^3P_2$$

هي 15 مركبة والشكل ( ٦ - ٩ ) يبين الانتقالات الممكنة والمركبات .

حالة حقل مغناطيسي قوي ( مفعول باشن بالك ) .

$$\Delta E = \beta B (M_L + 2M_S) + A M_L M_S$$

أ - من أجل الحالة  $^3D$  لدينا :

$$\left\{ \begin{array}{l} L = 2 \Rightarrow M_L = -2, -1, 0, 1, 2 \\ S = 1 \Rightarrow M_S = -1, 0, +1 \end{array} \right. \text{ ولترتب جداول :}$$

n	M <sub>S</sub>	M <sub>L</sub>	(M <sub>L</sub> +2M <sub>S</sub> )	(A)M <sub>L</sub> M <sub>S</sub>
1	-1	-2	$\beta B (-4)$	(A) 2
2	-1	-1	« (-3)	« 1
3	-1	0	(-2)	0
4	-1	1	(-1)	-1
5	-1	2	( 0)	-2
6	0	-2	(-2)	0

7	0	-1	(-1)	0
8	0	0	( 0)	0
9	0	1	( 1)	0
10	0	2	( 2)	0
11	1	-2	( 0)	-2
12	1	-1	( 1)	-1
13	1	0	( 2)	0
14	1	1	( 3)	1
15	1	2	( 4)	2

ب - من أجل الحالة 3P لدينا :

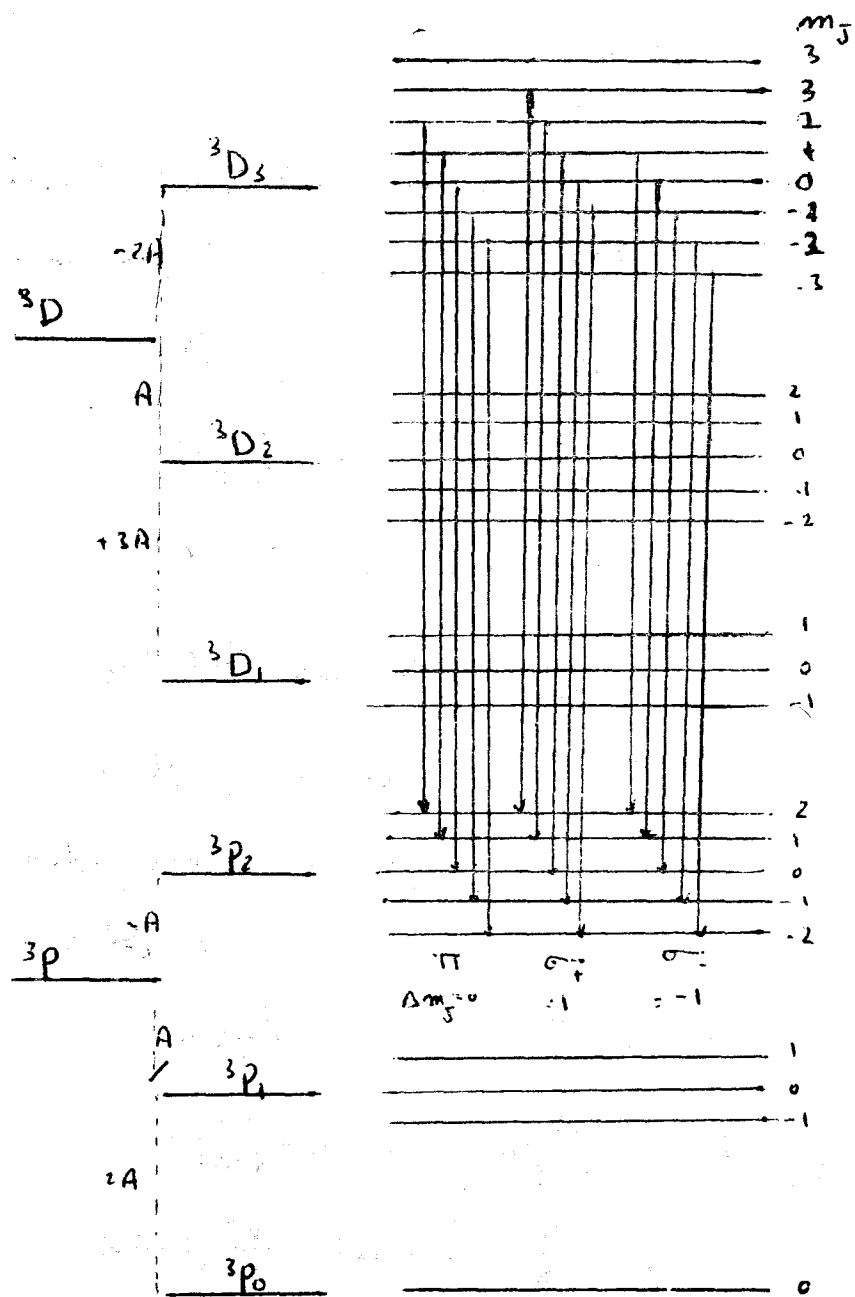
$$\left. \begin{array}{l} L = 1 \Rightarrow M_L = -1, 0, +1 \\ S = 1 \Rightarrow M_S = -1, 0, +1 \end{array} \right\} \text{ولترتب جدول .}$$

n	M <sub>S</sub>	M <sub>L</sub>	$\beta B(M_L + 2M_S)$	$A M_L M_S$
1	-1	1	$(-1) \beta B$	-1 A
2	-1	0	$(-2) \beta B$	0 «
3	-1	-1	$(-3) \beta B$	1
4	0	1	( 1) $\beta B$	0
5	0	0	( 0) $\beta B$	0
6	0	-1	$(-1) \beta B$	0
7	1	1	( 3) $\beta B$	1
8	1	0	( 2) $\beta B$	0
9	1	-1	( 1) $\beta B$	-1

$$\Delta T_m = \frac{-e B}{4\pi mc} (M_L + 2 m_s)$$

$$\Delta T_{so} = - A M_L M_S$$

والإنتقال نجد أنه يحقق قواعد الإصطفاء التالية :



شکل ( ۶ - ۹ )

$$\Delta M_L = 0, \mp 1$$

مع :

$$\Delta M_S = 0$$

$$\Delta M_J = 0$$

والشكل ( ٦ - ٩ ) يبين الإنتقالات الممكنة .

— العدد الموجي لـ مختلف مركبتي الإنتقال  $^3D_3 \rightarrow ^3P_2$  :

$$\bar{\nu} = \bar{\nu}_0 + \frac{e B}{4\pi mc} (3 - 8/3) = \bar{\nu}_0 + \frac{e B}{4\pi mc} (1/3)$$

$$\bar{\nu} = \bar{\nu}_0 + \frac{e B}{4\pi mc} (3/2 - 4/3) = \bar{\nu}_0 + \frac{e B}{4\pi mc} (1/6)$$

$$\bar{\nu} = \bar{\nu}_0 + \frac{e B}{4\pi mc} (0 - 0) = \bar{\nu}_0$$

$$\bar{\nu} = \bar{\nu}_0 + \frac{e B}{4\pi mc} (-3 + 8/3) = \bar{\nu}_0 + \frac{e B}{4\pi mc} (-1/3)$$

$$\bar{\nu} = \bar{\nu}_0 + \frac{e B}{4\pi mc} (-3/2 + 4/3) = \bar{\nu}_0 + \frac{e B}{4\pi mc} (-1/6)$$

الخطوط « $\sigma$ » أو المركبات  $\sigma_+$  :

أ — من أجل « $\sigma_+$ » :

$$\bar{\nu} = \bar{\nu}_0 + \frac{e B}{4\pi mc} (3 - 4) = \bar{\nu}_0 + \frac{e B}{4\pi mc} (-1)$$

$$\bar{\nu} = \bar{\nu}_0 + \frac{e B}{4\pi mc} (3/2 - 8/3) = \bar{\nu}_0 + \frac{e B}{4\pi mc} (-7/6)$$

$$\bar{\nu} = \bar{\nu}_0 + \frac{e B}{4\pi mc} (0 - 4/3) = \bar{\nu}_0 + \frac{e B}{4\pi mc} (-4/3)$$

$$\bar{\nu} = \bar{\nu}_0 + \frac{e B}{4\pi mc} (-3/2 - 0) = \bar{\nu}_0 + \frac{e B}{4\pi mc} (-3/2)$$

$$\bar{v} = \bar{v}_0 + \frac{e B}{4\pi mc} (-3 + 4/3) = \bar{v}_0 + \frac{e B}{4\pi mc} (-5/3)$$

ب - من أجل  $(-\sigma)$  أو المركبات  $\sigma_-$  :

$$\bar{v} = \bar{v}_0 + \frac{e B}{4\pi mc} (3 - 4/3) = \bar{v}_0 + \frac{e B}{4\pi mc} (5/3)$$

$$\bar{v} = \bar{v}_0 + \frac{e B}{4\pi mc} (3/2 - 0) = \bar{v}_0 + \frac{e B}{4\pi mc} (3/2)$$

$$\bar{v} = \bar{v}_0 + \frac{e B}{4\pi mc} (0 + 4/3) = \bar{v}_0 + \frac{e B}{4\pi mc} (4/3)$$

$$\bar{v} = \bar{v}_0 + \frac{e B}{4\pi mc} (-3/2 + 8/3) = \bar{v}_0 + \frac{e B}{4\pi mc} (7/6)$$

$$\bar{v} = \bar{v}_0 + \frac{e B}{4\pi mc} (-3 + 4) = \bar{v}_0 + \frac{e B}{4\pi mc} (1)$$

$$\Delta v \approx \frac{1}{6} \frac{e B}{4\pi mc}$$

لدينا :

$$c = 3 \times 10^8 + B = 2 \text{ Tesla} + \frac{e}{m} = 1.76 \times 10^{11}$$

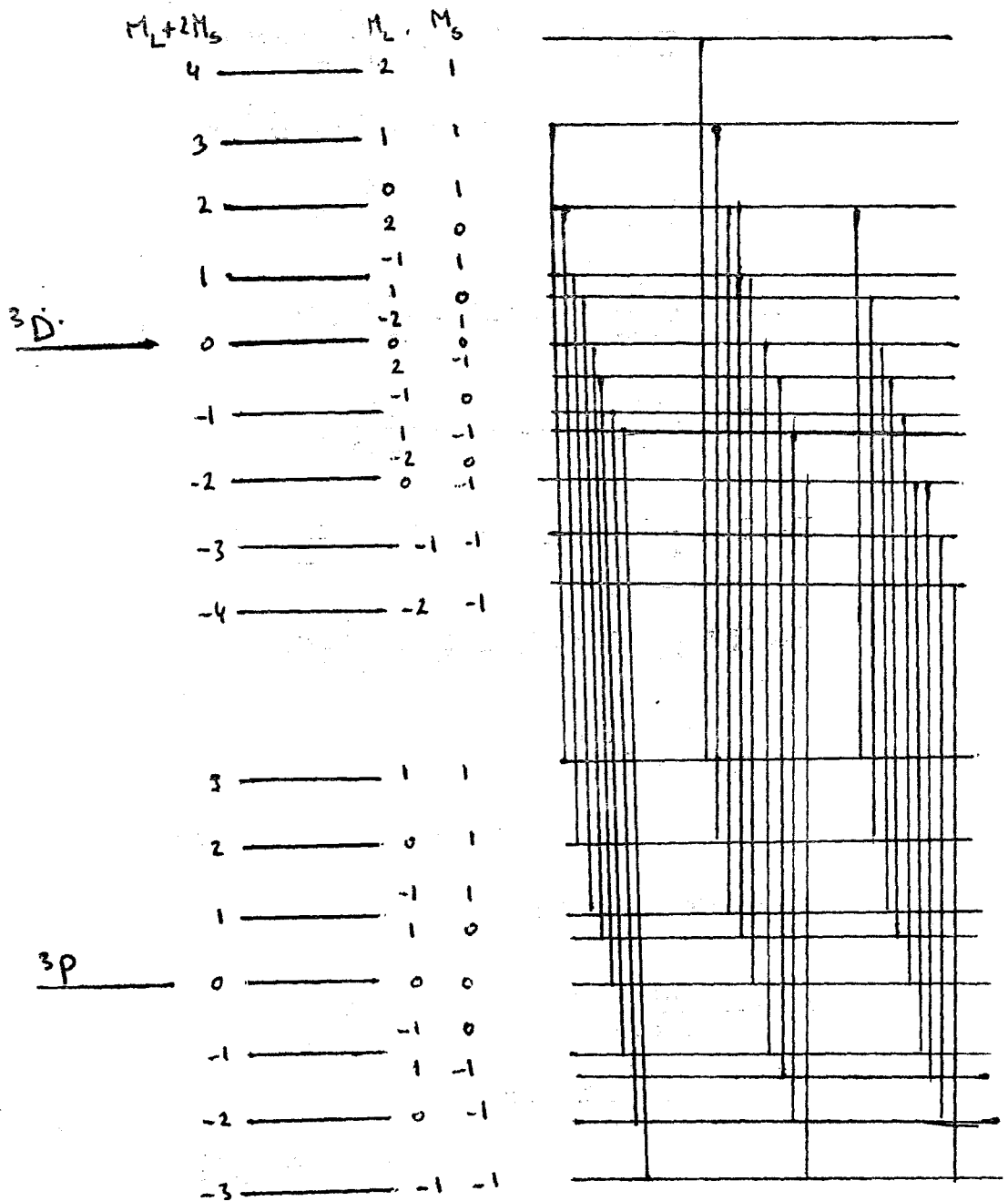
$$\Delta v \approx \frac{1}{6} \frac{1.76 \times 10^{11} \times 2}{3 \times 10^8 \times 4 \pi} \Rightarrow \Delta v \approx \frac{1}{6} . 23 . 342 .$$

$$\Rightarrow \Delta v \approx 3.8904 \text{ cm}^{-1}$$

« وهو الإنزياح للتواتر  $v_0$  » .

مسألة غير محلولة :

إدرس إنتقال وإنفصال سويات الطاقة للإنتقال :



حالة حقل مغناطيسي ذر شدة كبيرة

شكل (٦-١٠)



${}^1D \rightarrow {}^1P$

$2D \rightarrow 2P$

وذلك بتطبيق حقل مغناطيسي :

T — ضعيف « مفعول زيمان » .

ب — قوي « مفعول باشن — باك » .



# الفصل السابع

## النواة وفيزياء الذرة

Le moyen et la physique de atome

اعتبرنا في الفصل السابق بأن النواة هي شحنة نقطية تدخل في الحساب عبر الكمون  $1/r$  إلا أن هذه الفرضية لا تفسر العديد من النتائج التجريبية الملاحظة وبصورة خاصة . الخطوط الطيفية الذرية والملاحظة بواسطة مطياف ذو استطاعة تحليلية كبيرة حيث يظهر البنية فوق الناعمة (Structure hyperfine) والتي لا يمكن تفسيرها حسب الفرضيات السابقة . لتفسير البنية الناعمة فرض (1924) Pauli و (1927) Russel بأن النواة يجب أن تملك عزم حركي خاص وعزم مغناطيسي خاص بها كما في حالة الإلكترون ندعو العزم الحركي للنواة بسبين النووي .

إن وجود هذا العزم المغناطيسي النووي سيعقد الدراسة المغناطيسية للذرة ، وبالتالي ستتابع دراسة مفعول زيمان وسبين بصورة خاصة بأن الانحرافات ذري موجود ضمن حقل مغناطيسي (تجربة Stern - Gerlach) . لا يمكننا تفسيرها بصورة صحيحة إلا إذا أخذنا بعين الاعتبار العزم المغناطيسي النووي .

إن الدراسة المفصلة يجب أن تأخذ بعين الاعتبار أيضاً للبعد المنتهي للنواة أثناء تقدير التأثيرات المتبادلة الكهربائية الساكنة نواة - الكثرونات .

هذه الدراسة صعبة جداً وهي في إهتمام الفرق العديدة التي تعمل في مجال الطيوف الذرية في هذا الفصل سنقوم بدراسة كيفية .

## ٧ - ١ - النواة العزم المغناطيسي - العزم الحركي :

Le moyen moment magnetique et moment cinétique

### ٧ - ١ - ١ - العزم المغناطيسي للبروتون :

Le moyen magnetique du proton

إن جزيء الهيدروجين المشكل من ذرتين من الهيدروجين أي من الكترين وبروتونين ، له عزم مغناطيسي ، ينتج عن تركيب العزوم المغناطيسية المدارية للإلكترونين والعزوم المغناطيسية السبينية للإلكترونين ومن العزوم المغناطيسية للبروتونين . إذاً يمكن لجزيء الهيدروجين أن يوجد تحت شكلين orthohydrogène حيث العزوم النووية للبروتونات تضاف إلى بعضها وحالة Parahydrogène حيث العزوم النووية للبروتونات تطرح من بعضها البعض أي واحد يعاكس الثاني . هناك طرق قائمة على خواص التوازن الترموديناميكي يمكنها أن تفصلهما عن بعضهما البعض Stern, Frisch ، Esterman أعادوا تجربة Stern و Gerlach مع orthohydrogène و Parahydrogène بصورة متعاقبة والفرق في النتائج ربط مباشرة بالعزوم الحركية والمغناطيسية للبروتونات والفرضيتان التاليتان سمحتا بتفسير مترابط للتجارب :

- يملك البروتون عزم حركي  $\sigma_p$  موصوف بالعدد الكمي السبيني  $1/2$  ، هذا العزم الحركي يتبع القواعد العامة للكتمة :

المركبة على المحور oz :

$$(\sigma_p)_z = \pm \frac{1}{2} h$$

$$|\sigma_p| = \sqrt{\frac{1}{2}(\frac{1}{2} + 1)} h$$

- يملك البروتون عزم مغناطيسي  $\mu_p$  له نفس حامل ونفس اتجاه عزمه الحركي  $\sigma_p$  . نسبته الجيرومغناطيسية موجبة - على عكس النسبة في الإلكترون ( سالب ) و  $\beta_N = 2.792775$  أو بصورة أدق :

$$\mu_p = |(\mu_p)_z| = 2.79 \frac{eh}{2 M_k} = 2.79 \beta_N$$

e شحنة البروتون ، M كتلة البروتون .

بادخال المغنيتون النووي  $\beta_N$  حيث

$$\beta_N = \frac{eh}{2 M_k} = \beta \frac{m}{M} \approx \frac{1}{1836}$$

القيمة 2.79 تطابق لقياسات دقيقة تمت بواسطة هذه الطريقة في عام (1937) .

## ٧ - ١ - ٢ - العزوم المغناطيسية للنترون

### Le moment magnetique du Neutron

إن صورة جزيئة مشحونة ذات بعد معين تدور حول محور تسمح بتفسير بصورة كيفية وتحليل كلاسيكي وجود العزم المغناطيسي للنترون . في مثل هذه الصورة الكلاسيكية لا يمكننا أن نفهم وجود العزم المغناطيسي للنترون إلا إذا تخيلنا الشحنة المعدومة للنترون الحاصلة بالتعويض لتوزيع الشحن الموجبة والسالبة .

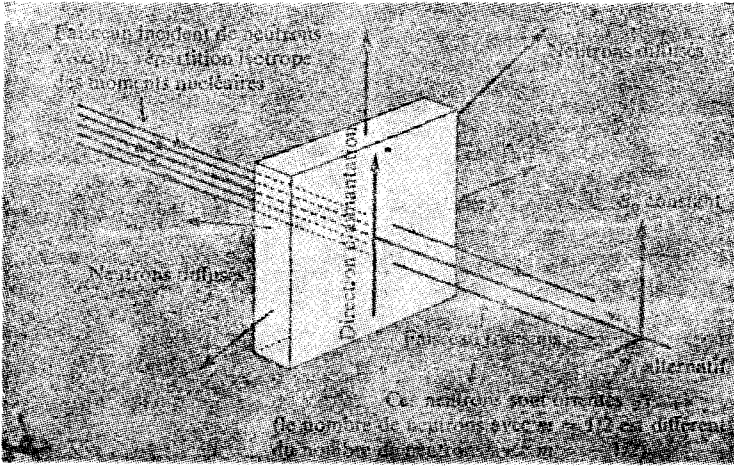
تفسير نتائج بعض التفاعلات النووية تؤدي إلى القبول بأن النترون يملك عزم حركي  $\sigma_n$  موصوف بالعدد الكمي  $\frac{1}{2}$  .

لم يكن ممكناً تحقيق تجربة مشابهة لتجربة Stern و Gerlack لتحديد العزم المغناطيسي النووي للنترون ، هذا النوع من التجارب يتطلب حزمه من الجزيئات مع كثافة نترونية كافية .

والطرق المستخدمة هي التي تضع الدوران المخروطي لـ Larmor .

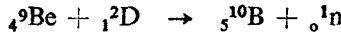
الفكرة الرئيسية (Bloch 1936) متعلقة بإمكانية الحصول على حزمة من النترونات المستقطبة جزئياً وذلك باستخدام الإنتثار بوسط ممغنط . ندخل آلية الإنتثار للنترونات تأثير متبادل بين  $\mu_n$  و  $\mu_A$  العزم المغناطيسي لذرات الجسم الناثر إذا كان الجسم الناثر هو مادة ذات مغناطيسية حديدية ممغنطة حتى الإشباع كل العزوم  $\mu_A$  لها نفس الاتجاه وعدد النترونات المنتثرة ستعتمد على الزاوية بين العزوم  $\mu_n$  للنترونات الساقطة واتجاه المغنطة (aimantation) .

النترونات ( الغير مُنتثرة ) لها بالتالي توزيع غير متماثل المناحي (isotrope) وعزومها  $\mu_n$  . سيقال بأن الحزمة الضيقة ذات استقطاب جزئي شكل ( ٧ - ١ ) .



شكل ( ٧ - ١ )

والشكل ( ٧ - ٢ ) مخطط تجريبي ، حيث يتم الحصول على الحزمة النيوترونية بقذف هدف من الديتريوم حسب :



تستقطب هذه الحزمة جزئياً بواسطة قطعة من الفولاذ I ، ممغنطة حتى الإشباع والمشكلة مقطب . تتسأل بعدها ضمن منطقة حقل مغناطيسي  $B_0$  ذو نفس اتجاه استقطاب النيوترونات . هذا يعني بأنه ضمن هذه القطعة من الفراغ عدد من النيوترونات ذات العدد الكمي المغناطيسي  $m = 1/2$  تكون مختلفة عن عدد النيوترونات ذات العدد الكمي  $m = -1/2$  إذاً حقل مغناطيسي مهتز  $B_1$  ذو نبض  $\omega_0$  أنتج الطينين المغناطيسي ضمن هذا الحقل  $B_0$  ، فإن عدد النيوترونات في الحالات  $m = 1/2$  و  $m = -1/2$  ستصبح متساوية والحزمة ستكون غير مستقطبة depolarisé .

قطعة الفولاذ II تلعب دور المحلل : بالحقيقة فإنه حسب حالة الاستقطاب للحزمة الساقطة ، فإن كمية النيوترونات المنتثرة سيتغير وبالتالي فإن كمية النيوترونات العابرة (transmit) ، ينتج (يعطي) الطينين المغناطيسي تغيرات في استقطابية الحزمة والذي سيكشف بتغير كثافة الحزمة الواصلة للكاشف .

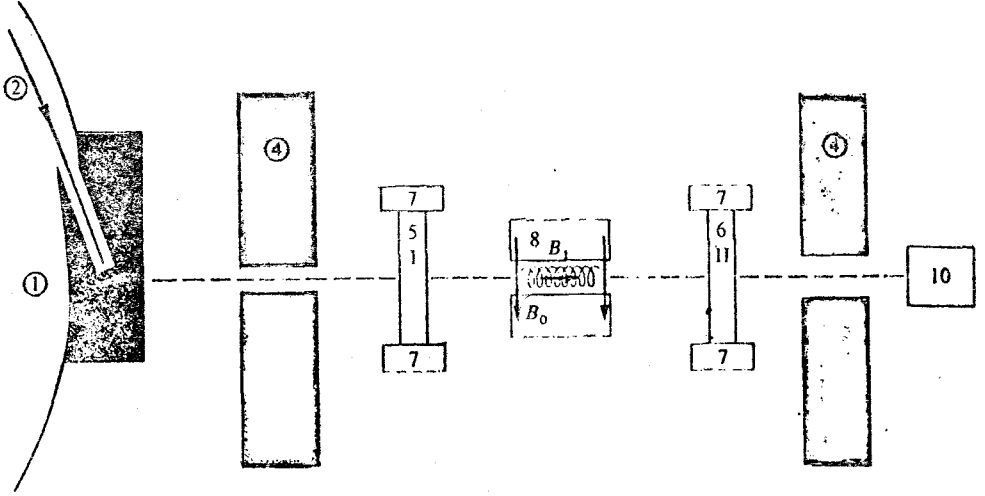
العزم المغناطيسي  $\mu_n$  سينوجد بدون صعوبة من نبضة الطينين  $\omega_0$  بالحقيقة

لقد صمم الجهاز بشكل يحقق في نفس الحقل  $B_0$  طنين مغناطيسي نووي للبروتونات عند نبضات  $\omega_0$  ، يسمح قياس  $\omega_0$  و  $\omega'_0$  بتحديد النسبة

$$\frac{\mu_n}{\mu_p} = \frac{\omega_0}{\omega'_0}$$

تعطي حالياً قيمة :

$$\mu_n = -(1.913148 \pm 0.000066) \beta_N$$



- ١ - سيكلوترون ، ٢ - حزمه من السيكلوترون ، ٣ - الهدف ، ٤ - بارافين ،
- ٥ - لوحة من الفولاذ رقم I تعمل كمقطب ٦ - فولاذ II تعمل كمحلل ، ٧ -
- ٧ - أقطاب مغناطيس كهربائي تعمل على مغنطة قطع الفولاذ حتى الإشباع ٨ -
- ٨ - أقطاب مغناطيس كهربائي تخلق حقل  $B_0$  ساكن ، ٩ - ملف يولد الحقل  $B_1$
- ذو تردد راديوي ، ١٠ - كاشف النوترونات من  $BF^3$  .

شكل ( ٧ - ٢ )

٧ - ١ - ٣ - العزم الحركي والعزم المغناطيسي للنوية :

Moment cinétique et moment magnétique des noyaux

باعتبار أن مركبات النواة ( بروتونات + نوترونات ) تملك عزوم مغناطيسية

وحركية فإن النواة يمكنها أن تملك عزمًا حركيًا ومغناطيسيًا. مثال : نواة الديتريوم  
المشكل من بروتون ونيوترون تملك هذه النواة سبين مساوي الواحد وتملك عزم مغناطيسي  
مساوي إلى :

$$\mu_o = 0.85740 \ 6 \ \beta_N$$

والتي لا يمكن اعتبارها مجموع :

$$\mu_n + \mu_p = (2.79277 - 1.91314) = 0.87963 \ \beta_N$$

إن الظواهر ضمن النواة معقدة : وقوى التأثير المتبادل (nucleon - nucléon)  
ذات قوى غير مركزية تدخل الزوايا بين العزوم المغناطيسية ونصف قطر الشعاع  
النووي . ستخيل بأن النيكليونات في النواة لها عزم حركي مداري .

نقبل بأن كل نواة موصوفة بعزم مغناطيسي وعزم حركي يمكن أن يكونا  
معدومين لأنوية معينة . العزم الحركي النووي  $\sigma_N$  سيميز بالعدد الكمي  $I$  كامل أو  
نصف كامل :

$$(\sigma_N)_z = m_I \hbar , \quad |\sigma_N| = \sqrt{I(I+1)} \hbar \quad (1)$$

$$-I \leq m_I \leq I \quad \text{مع :}$$

عادةً نميز شعاع العزم المغناطيسي النووي بالإشارة إلى القيمة الأعظمية لمركبته على  
محور ما ، عندما  $m_I = I$  .  $\mu_n$  تقاس عادةً إما بوحدة مغنتون بور  $\beta$  أو بوحدة  
المغنتون النووي  $\beta_N$  والجدول ( ٧ - ١ ) يعطي بعض القيم لـ  $\mu_n$  لبعض العناصر  
كذلك أيضاً يوجد عامل لاندé النووي :

$$\mu_N = g_I \beta I$$

$$\mu_N = g'_I \beta_N I$$

الكن :

$$g_I \approx \frac{1}{1836.1} g'_I$$

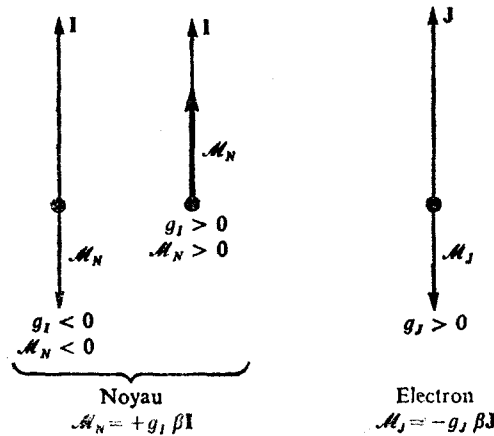
$g'_I, g_I$  عامل لاندé النووي .

Valeurs de  $I$ ,  $M_N$ ,  $g_I$  et  $Q$  pour quelques noyaux

Atome	$I$	$M_N$ moment nucléaire exprimé		Facteur de Landé		$Q$ , en barns ( $10^{-24} \text{ cm}^2$ )
		en magnéton nucléaire	en magnéton de Bohr	$g_I$	$g_I$	
$^1_1\text{H}$	1/2	+ 2,792 78	0,001 521 12	5,588 3	0,003 042 26	
$^2_1\text{D}$	1	+ 0,857 42	0,000 467 00	0,857 42	0,000 467 0	0,002 8
$^3_2\text{He}$	1/2	- 2,127 6	- 0,001 158 8	- 4,255	- 0,002 317	
$^{39}_{19}\text{K}$	3/2	+ 0,391 4	0,000 213 2	0,260 9	0,000 142 12	0,09
$^{67}_{30}\text{Zn}$	5/2	+ 0,875 7	0,000 476 9	0,350 28	0,000 190 76	0,17
$^{85}_{37}\text{Rb}$	5/2	+ 1,352 7	0,000 736 7	0,541 08	0,000 294 70	0,28
$^{129}_{54}\text{Xe}$	1/2	- 0,776 8	- 0,000 423 1	- 1,553 6	- 0,000 846 22	
$^{133}_{55}\text{Cs}$	7/2	+ 2,579	0,001 409 7	0,736 9	0,000 401 33	- 0,003
$^{199}_{80}\text{Hg}$	1/2	+ 0,502 7	0,000 273 8	1,005 4	0,000 547 7	
$^{201}_{80}\text{Hg}$	3/2	- 0,556 7	- 0,000 303 21	- 0,371 13	- 0,000 202 14	+ 0,45

جدول ( ٧ - ١ )

إن عامل لانده يعبر عن قيمة موجبة إذا كان العزم المغناطيسي النووي والعزم الحركي في نفس الاتجاه ، وسالب في الحالة المعاكسة . كذلك فإن العزم المغناطيسي النووي يمثل بعدد موجب أو سالب حسب إذا كان له اتجاه العزم الحركي أو له الاتجاه المعاكس للعزم الحركي شكل ( ٧ - ٣ ) .

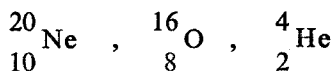


شكل ( ٧ - ٣ )



كل النظائر ذات العدد A زوجي وكذلك العدد الذري Z زوجي تملك سبين نووي يساوي الصفر وعزم مغناطيسي نووي أيضاً معدوم .

مثال :



كل النظائر ذات العدد الكلي A فردي تملك سبين نووي نصف كامل .

٧ - ٢ - البنية فوق الناعمة المغناطيسية لمستويات الطاقة :

La structure hyperfine magnetique des niveaux d'energie

فسر Back و Goudsmit البنية فوق ناعمة للخطوط الطيفية بوضع الفرضيتين التاليتين .

٧ - ٢ - ١ - جمع العزوم الحركية :

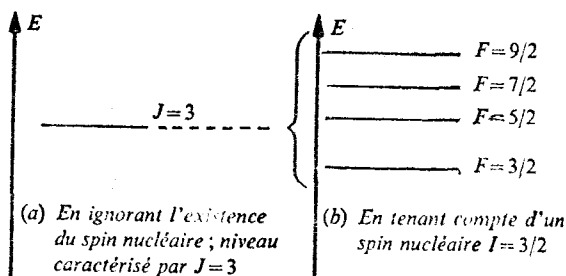
Composition de moment Cinétique

سنميز مستوي طاقة ذرة ما بالعدد الكمي F الذي يوصف العزم الحركي الكلي للذرة ( مجموع العزوم الحركية للنواة وللمجموعة الإلكترونية ) :

$$F = I + J , \text{ أو } \sigma_F = \sigma_J + \sigma_I \text{ ، } h \text{ بوحدة}$$

من أجل قيم معطية لـ I و J ، سيحصل على المؤثر F باستخدام جمع العزوم الحركية المعروفة سابقاً أي :

$$J - I \leq M_F \leq I + J$$



شكل ( ٧ - ٤ )

مثال :

.  $J = 3$  ;  $I = 3/2$  فإن  $F$  يأخذ القيم  $3/2, 5/2, 7/2, 9/2$  شكل (٧ - ٤) .

٧ - ٢ - ٢ - طاقة التأثير المتبادل :

سيدخل تصحيح على الطاقة  $E_0$  ذات المستوي  $J$  وذلك بأخذ بعين الاعتبار للتأثير المتبادل بين العزم المغناطيسي والنووي والإلكترونات ، هذا التصحيح ليأخذ الشكل :

$$\Delta E_0 = A' I J \quad (2)$$

$A'$  ثابتة مميزة للمستوي  $J$  في الفقرة التالية سنناقش هذه الفرضية والتي تفرض أن العزم النووي :

$$\mu_N = g_I \beta I$$

هذا العزم يتفاعل مع الحقل المغناطيسي  $B_0$  والذي هو مشترك خطي Colineaire مع  $J$  ، هذا الحقل ، عند مستوي النواة هو محصلة الحقل المغناطيسي الناتج عن الحركة المدارية للإلكترون والحقل المغناطيسي الناتج عن ثنائي القطب المغناطيسي الذي هو العزم المغناطيسي السبيني .

طاقة التأثير المتبادل تكتب إذًا :

$$\Delta E_0 = - \mu_N B_0$$

والفقرتين السابقتين تسمحان بدراسة مبسطة للتوضع النسبي لمستويات الطاقة ذات نفس  $J$  وذات قيم  $F$  المختلفة ، ولإيجاد  $\Delta E$  لدينا :

$$F = I + J \Rightarrow F^2 = I^2 + J^2 + 2I J .$$

$$I.J = \frac{F^2 - I^2 - J^2}{2}$$

وبالتالي فإن :

$$\Delta E_0 (F) = \frac{A'}{2} [F (F + 1) - I(I + 1) - J(J + 1)] \quad (3)$$

مثال :

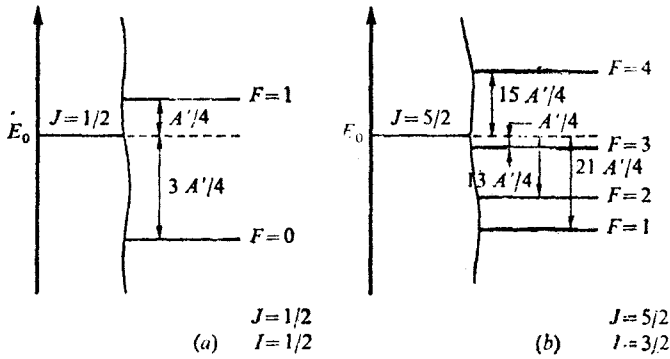
إيجاد  $\Delta E_0(F)$  من أجل المستوي ذو قيمة  $J = 1/2$  و  $I = 1/2$  وكذلك للمستوي  $J = 5/2$  و  $I = 3/2$ .

الحل :

$$F = 1/2 + 1/2 = 1 \quad \text{إذا} \quad |J - I| \leq F \leq J + I \quad (1)$$

$$F = 4, 3, 2, 1 \quad \text{إذا} \quad 5/2 - 3/2 \leq F \leq 5/2 + 3/2 \quad (2)$$

ومخطط سويات الطاقة للمثالين هو كما في الشكلين التاليين : ( شكل ٧ - ٥ )



البنية الفروق الناعمة Structure hyperfine

شكل ( ٧ - ٥ )

تجريبياً لانقيس التصحيح  $\Delta E_0(F)$  المطابقة لمستوي مميز لـ  $F$  ، لكن نقيس الفرق في الطاقة بين مستويين ذو قيمتين مختلفتين لـ  $F$  . بصورة عامة  $F$  و  $F + 1$  أي الفرق :

$$\Delta E_0(F + 1) - \Delta E_0(F)$$

هذا الفرق يسدعى بالفصل الفوق ناعم أو البنية الناعمة والجدول ( ٧ - ٢ ) يحدد قيم الفروق فوق الناعمة لبعض المستويات حيث نجد أن التردد لذرة (S) والمطابق للإنتقال من  $m_F = 0, F = 4 \leftarrow m_F = 0, F = 3$  من الحالة الأرضية  $6^2S_{1/2}$  ، لذرة السيزيوم 133 الغير مضطربة بحقل خارجي ، ومن هذا الإنتقال عرفت الثانية الذرية (seconde atomique).

Valeurs de séparations hyperfines pour quelques niveaux atomiques

Atome	$I$	Configuration du niveau	$J$	Transition $F'' \rightarrow F'$	Structure hyperfine mesurée (MHz)
$^1_1\text{H}$	1/2	* 1s	1/2	1 $\rightarrow$ 0	1 420.405 751 8 <sup>(1)</sup>
$^3_2\text{He}$	1/2	1s 2s	1	3/2 $\rightarrow$ 1/2	6 739,701 3
$^{39}_{19}\text{K}$	3/2	*[—] 4s	1/2	2 $\rightarrow$ 1	461,719 71
$^{67}_{30}\text{Zn}$	5/2	[—] 4s 4p	2	9/2 $\rightarrow$ 7/2	2 418,111
				7/2 $\rightarrow$ 5/2	1 855,690
				5/2 $\rightarrow$ 3/2	1 312,065
				3/2 $\rightarrow$ 1/2	781,865
$^{133}_{55}\text{Cs}$	7/2	*[—] 6s	1/2	4 $\rightarrow$ 3	9 192,631 77 <sup>(1)</sup>

\* السويات المؤشرة ينجمه هو سويات أساسية

(1) انتقالات مستخدمه كترددات معايره .

جدول ( ٧ - ٢ )

ملاحظة :

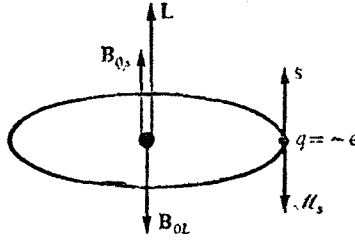
حسب المستوي  $J$  فإن المعامل  $A'$  يمكن أن يكون موجب أو سالب .

— أولاً العزم المغناطيسي النووي يمكن أن يأخذ نفس الاتجاه أو يأخذ اتجاه معاكس للشعاع  $I$  .

— بعدئذ الحقل  $B_0$  يمكن أن يوجه حسب  $J$  أو في اتجاه معاكس .

بالحقيقة إن الحقل  $B_{0L}$  الناتج عند مستوى النواة بواسطة الحركة المدارية للإلكترون وبالنتيجة من الشحنة السالبة للإلكترون ، ذو اتجاه معاكس للشعاع  $L$  .

شكل ( ٧ - ٦ ) ، على العكس فإن الحقل  $B_{0s}$  الناتج عند مستوى النواة بواسطة العزم المغناطيسي السبيني  $\mu_s$  هو في اتجاه الشعاع  $S$  . من أجل مجموعة الإلكترونات في الذرة ؛ وحسب قيم  $S$  و  $L$  في الارتباط  $S-L$  أو الارتباط  $z-z$  ، فإن مسقط محصلة هذه الحقول على  $J$  تمثل القيمة المتوسطة  $B_0$  للحقل عند مستوى النواة ، يمكن أن يأخذ اتجاه الشعاع  $J$  أو الاتجاه المعاكس .



شكل ( ٦ - ٧ )

٧ - ٣ - التأثيرات المتبادلة المغناطيسية بين النواة والإلكترونات : حسب ثابتة البنية الفوق ناعمة :

Interaction magnetiques entre le noyau et les 'lectrons : calcul de la constant de Strucutre hyperfine

إن إيجاد قيمة A' يتطلب دراسة إسهامات مختلف المفاعيل الفيزيائية المساهمة في الحساب .

٧ - ٣ - ١ - التأثير المتبادل بين العزم المغناطيسي النووي والعزم المغناطيسي المداري للإلكترون :

ينتج العزم المغناطيسي النووي  $\mu_N$  في كل نقطة من الفراغ وعلى مسافة r شعاع كيون :

$$A = \frac{\mu_o}{4 \pi k} \frac{1}{r^3} (\mu_N \wedge r)$$

طاقة التأثير المتبادل  $W_1$  مع الغمامة الإلكترونية حسب الكهرمغناطيسية الكلاسيكية تعطى بالعلاقة :

$$W_1 = - \int \int \int A j dV = \frac{-\mu_o}{4 \pi k} \int \int \int \frac{\mu_N \wedge r}{r^3} j dV$$

حيث j كثافة التيار في كل نقطة من الفراغ

بإدخال الشحنة dq الموضوعة في النقطة M وذات السرعة v يكون لدينا :

$$W_1 = \frac{-\mu_o}{4\pi k} \int \int \int \frac{\mu_N (r \wedge j)}{r^3} dV = \frac{-\mu_o}{4\pi k} \mu_N \int \int \int \frac{r \wedge v}{r^3} dq$$

لكن العزم الحركي المداري  $\sigma_L = m (r \wedge v)$  هو ثابت الحركة ، بإدخال مغنيتون بور والعزم المداري بوحدة  $h$  . تصبح :

$$W_1 = + \frac{\mu_o}{4\pi} 2 \beta L \mu_N \langle r^{-3} \rangle$$

مع فرض أن :

$$\langle r^{-2} \rangle = \frac{1}{q} \int \int \int \frac{dq}{r^3}$$

حيث  $q = -e$  .

أخيراً بعد إدخال السبين النووي  $I$  نحصل :

$$W_1 = + \frac{\mu_o}{4\pi} 2 \cdot g_I \cdot \beta^2 L \cdot I \langle r^{-3} \rangle$$

ملاحظة :

يمكن الحصول على  $W_1$  بشكل مبسط بفرض أن الشحنة النقطية  $q = -e$  الواضعة للمدار كلاسيكي وذات سرعة  $v$  تعطي عند مستوى النواة في لحظة ما حقل .

$$B = \frac{\mu_o}{4\pi k} q v \wedge \frac{-r}{r^3} = \frac{\mu_o}{4\pi mk} \frac{q}{r^3} m r \wedge v = \frac{\mu_o q}{4\pi mk} \frac{\sigma_L}{r^3}$$

$r$  شعاع موجه من النواة نحو الشحنة  $q$  ، وبالتالي فإن الحقل المتوسط :

$$B_{oL} = \frac{\mu_o q h}{4\pi mk} \langle 1/r^3 \rangle L = \frac{-\mu_o}{4\pi} 2 \cdot \beta \langle 1/r^3 \rangle L$$

لكن :

$$W_1 = - \mu_N B_{oL}$$

وبعد إدخال السبين النووي  $I$  نجد  $W_1$  :

$$W_1 = \frac{\mu_0}{4\pi} 2 g_I \cdot \beta^2 L \cdot I < r^{-3} >$$

٧ - ٤ - التصحيحات المدخلة في التأثير المتبادل الكهربائية ساكنة ( الكثرونات - نواة ) :

Correction à apporter à l'interaction électrostatiques - electron - noyau

الفصل فوق الناعم بين المستويات ذات نفس العدد J ، المعبر عنها بواحدات التردد بصورة عامة هي من مرتبة 10<sup>9</sup>Hz ، وذلك بالنسبة لفرق الطاقة بين المستوي الأساسي ( القاعدي ) والمستويات المثارة . ( 10<sup>14</sup> Hz ) مفاعيل البنية الفوق ناعمة ترجم إذاً بتصحيح طاقي صغير جداً ، ذو قيمة من مرتبة 10<sup>-5</sup> ، وحتى يأخذ هذا التصحيح معنى يجب أخذ بعين الاعتبار عدم نقطية النواة . النسبة بين أبعادها وأبعاد المدارات الإلكترونية من مرتبة 10<sup>-3</sup> أو 10<sup>-4</sup> .

سنناقش على التوالي أولاً حد الارتباط رباعي الأقطاب ثم بعد ذلك مفعول النظائر حيث يترجم الأول تصحيحات مختلفة حسب قيم F والآخر يترجم بإزاحة للمستوي E<sub>0</sub> .

٧ - ٤ - ١ - المفاعيل رباعي الأقطاب الإلكتروني :

Efffects quadrupolaires électroniques

في حالات عديدة يكون توزيع الشحن q<sub>N</sub> داخل النواة ذو تناظر غير كروي وبالتالي فإن حد التأثير المتبادل الكهربائي الساكن الكثرونات - نواة .

$$\sum_i \frac{q_N q_I}{r_i}$$

يجب أن يكمل ليأخذ بعين الاعتبار الابتعاد عن التناظر الكروي وذلك بأخذ الحدود ذات الرتبة الأعلى في نشر العزوم المتعددة الأقطاب ( amrex IV ) تجريبياً لم نستطع إيضاح ( إيجاد ) العزم ثنائي القطب وهذا معدوم حسب النظرية الكوانتية : إذا فرضنا أن النواة تملك توزيع للشحن ذات revolution ( تطور - نشوء ) حول المحور oz المعروف بإتجاه العزم الحركي النووي I . فإن السحابة الإلكترونية ذات تناظر ذو نشوء

حول  $oz$  و  $oz$  اتجاه العزم الحركي الإلكتروني  $J$  ، إن تدرج الحقل الكهربائي (annexIV) ممكن أن يعرف فقط بالمركبة

$$\varphi_{zz} = -\frac{\partial E_z}{\partial z} = \frac{\partial^2 u}{\partial z^2}$$

باستخدام البارامتر  $Q$  ، عزم رباعي الأقطاب للنواة عندئذ ستكون الطاقة المضافة  $\Delta E_Q$  الناتجة عن الارتباط رباعي الأقطاب هي :

$$\Delta E_Q = \frac{eQ\varphi_{zz}}{4} (3/2 \cos^2 \theta - 1/2)$$

$\theta$  هي الزاوية بين المحاور  $oz$  و  $oZ$  .

أي ان الزاوية بين الشعاعين  $I$  و  $J$  ،  $\varphi_{zz}$  تعتمد على المستوي المعبر والمطابق لشكل ولقيمة معينة لـ  $J$  ، والتي من أجله نحدد قيمة ثابتة الارتباط رباعي الأقطاب :

$$B = eQ\varphi_{zz}$$

عند مستوي جزئي فوق ناعم ذو قيم معينة لـ  $J$  و  $F$  يجب إضافة تصحيح الطاقة :

$$\Delta E_Q = \frac{B}{4} [ 3/2 \cos^2 (I, J) - 1/2 ]$$

لكن :

$$\cos (I, J) = \frac{F(F+1) - I(I+1) - J(J+1)}{2\sqrt{I(I+1)J(J+1)}}$$

أخيراً فإن :

$$\Delta E_Q = \frac{B}{4} \cdot \frac{3/2 C(C+1) - 2I(I+1)J(J+1)}{I(2I-1)J(2J-1)}$$

مع :

$$C = F(F+1) - I(I+1) - J(J+1)$$

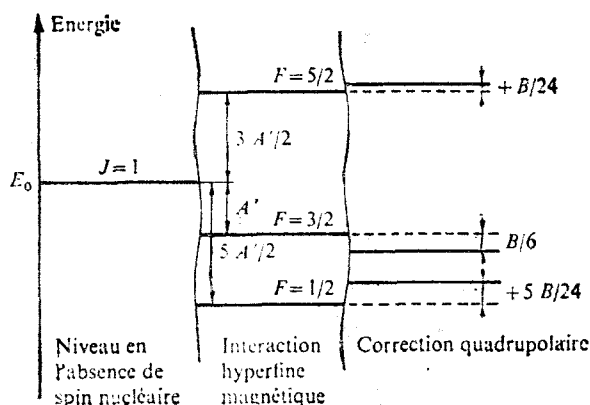
والجدول  $I$  يعطي قيمة  $Q$  المقاسة بالـ  $barus$  ( $10^{-24} \text{ cm}^2$ ) لنويات عديدة .



الشكل ( ٧ - ٧ ) يبين التصحيحات التي يجب إدخالها على سويات الطاقة في حالة  $I = 3/2$  ,  $J = 1$  .

ملاحظة :

الأنوية بدون سبين نووي أو ذات سبين نووي يساوي  $1/2$  هي ذات تناظر كروي وبالتالي فإن العزوم رباعي الأقطاب لها يكون معدوم ( جدول I ) .



البنية الفوق ناعمة المغناطيسية والتصحيح رباعي القطب ( حالة  $I = 3/2$ ,  $J = 1$  ) شكل ( ٧ - ٧ ) .

٧ - ٥ - البنية الفوق ناعمة للخطوط الطيفية :

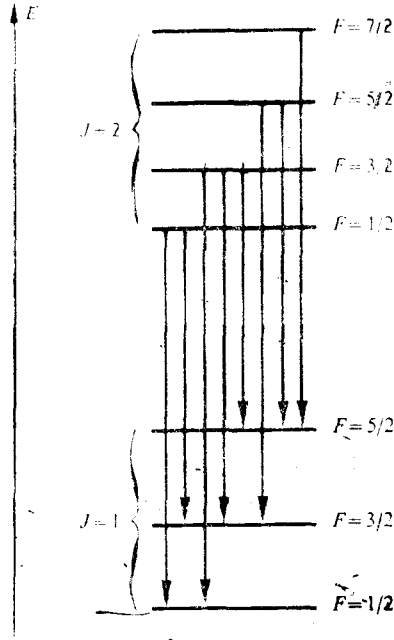
#### La structure hyperfine de raies spectrales

الانتقال بين السويات والتي يمكن أن تلاحظ هي الانتقالات التي تحقق قواعد الإصطفاء :

$$\Delta F = 0, \mp 1$$

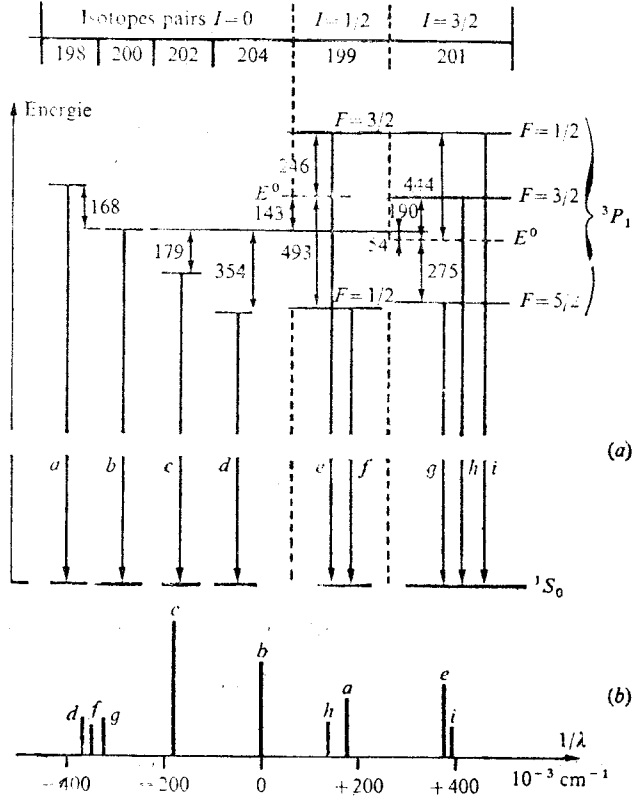
الانتقال  $F = 0 \rightarrow F = 0$  مستثنى .

بتطبيق قواعد الإصطفاء هذه من السهل أن نحدد مجموعة مركبات البنية الناعمة التي يمكن ملاحظتها في الأطياف ( شكل ٧ - ٨ ) .



الانتقالات فوق ناعمة المسموحة من أجل  $J = 2 \rightarrow J = 1$  مع  $I = 3/2$   
شكل ( ٧ - ٨ )

والشكل ( ٧ - ٩ ) يعطي بنية الإنتقال  $6^3P_1 \rightarrow 6^1S_0$  الملاحظ مع مصباح زئبق حيث مركب من العديد من النظائر ، مستويات النظيرين الفرديين تعطي ، بنيات فوق ناعمة ( معقدة ) . وذلك بانزياح رباعي الأقطاب وذلك بالنسبة للنظير (20) والمستويات للنظائر الأربعة الزوجية لاتملك بنيات فوق ناعمة لكن لاتتطابق كنتيجة للتأثيرات النظرية . الإنتقالات بين المستويات الجزئية فوق ناعمة والمسموحة تقع في مجال الترددات الراديوية واحتمال اصدارهم التلقائي ضعيف جداً لذلك فإن ملاحظتهم في الإصدار التلقائي غير ممكن في الشروط المخبرية . ومراقبتهم في الإصدار المحث أسهل من ناحية تقنية تتطلب وجود فرق في الإسكان بين السويات الجزئية التي يمكن الحصول عليه إما بالضخ الضوئي أو بطرق انحراف *deffection de jet atomique* تأتي أهمية قياس البنيات فوق الناعمة للخطوط الذرية بأنها تعطي قيم ثابتة البنية فوق الناعمة  $A'$  المتعلقة بالعزم المغناطيسي النووي ، ثابتة البنية فوق ناعمة  $B$  المتعلقة بالعزم لرباعي الأقطاب . وكذلك للانزياحات النظائرية المتعلقة بحجم النواة . وعبر ذلك تعطي دعم تجريبي لنظريات بنية النواة .



الانتقالات  $6^3P_1 \rightarrow 6^1S_0$  لذرة الزئبق من أجل النظائر المختلفة (a) فروق الطاقة مأخوذة بالنسبة للحالة  $6^3P_1$  للنظير 200. قياسها معطى بـ  $10^{-3} \text{ cm}^{-1}$ . ملاحظه الترتيب المقلوب للسويات الفوق ناعمه الجزئية موافقة للنظرين 199 و 201. طول الموجه الوسطي للانتقالات  $2537 \text{ \AA}$ . (b) وضع الخطوط الطيفية على سلم الأعداد الموجيه.

شكل ( ٧ - ٩ )

وهنا نجد نقطة الإتصال بين الفيزياء الذرية والنووية .

والجدول ( ٧ - ٣ ) يعطي التركيب النظائري لبعض العناصر الطبيعية .

Composition isotopique de quelques éléments naturels

Elément	A	I	Pourcentage
B	10	3	18,83
	11	3/2	81,17
Br	79	1/2	50,53
	81	3/2	49,47
Kr	78	0	0,354
	80	0	2,266
	82	0	11,56
	83	9/2	11,55
	84	0	56,9
	86	0	17,4
Hg	196	0	0,15
	198	0	10,12
	199	1/2	17,04
	200	0	23,25
	201	3/2	13,18
	202	0	29,54

جدول ( ٧ - ٣ )

٧ - ٦ - المغناطيسية لذرة تملك سبين نووي ( مفعول زيمان ومفعول باك - غودسمت ) :

Le magnetisme d'un atome possédant un spin nucléaire (effect et Back - Geadsmit)

رأينا في الفقرات السابقة بأن كل مستوي لذرة ما يملك عزم مغناطيسي نووي مميز بالعزم الحركي الكلي  $F$  ويملك بالتالي رتبة توالد  $2F + 1$ .

إن رفع رتبة التوالد بوجود حقل مغناطيسي ستكون أكثر تعقيداً من الحالة التي يكون فيها العزم المغناطيسي النووي معدوماً . الهاملتونيان لذرة في غياب الحقل سيتضمن بالإضافة للحد  $T_1$  ،  $T_2$  حد آخر هو  $T_3$  يترجم التأثير المتبادل بين الإلكترونات - نواة . في هذه الفقرة سندرس فقط التأثير المتبادل بين الفوق ناعم المغناطيسي  $A'II$  وسنهمل المفعول النظري وكذلك انزياح رباعي القطب .

٧ - ٦ - ١ - الاضطراب W المعتمد على الحقل المغناطيسي :

La perturbation W dépendant du champ magnétique

بأخذ بعين الاعتبار الارتباط بين العزم المغناطيسي النووي  $\mu_N$  والحقل المغناطيسي فإن :

$$W = \beta (\hat{L} + 2\hat{S}) - \mu_N B .$$

لكن :

$$\mu_N = g_I \beta I$$

$$W = \beta (\hat{L} + 2\hat{S} - g_I I) B = \beta (\hat{L}_z + 2S_z - g_I I_z) B \quad (6)$$

الإشارة (-) أمام  $g_I$  ناتجة عن التسمية المحددة في الفقرة السابقة .

في الارتباط  $L - S$  حيث  $(T_1 > T_2)$  ، فإن الحد  $T_3$  يؤدي إلى انزياح في الطاقة أصغر بكثير من الحد  $T_2$  . حسب شدة الحقل المغناطيسي المطبق يجب أن نميز الحالات التالية :

$$(a) \quad T_1 > T_2 > T_3 > W \quad \text{ستعتبر } W \text{ كإضطراب نطبقه على حلول الهاملتونيان :}$$

$$H = H_0 + T_1 + T_2 + T_3$$

في هذه الحالة نكون ضمن حقول مغناطيسية ضعيفة جداً .

$$(b) \quad T_1 > T_2 > W > T_3 \quad \text{يطبق الاضطراب على } H_0 + T_1 + T_2 \text{ ثم على الحاصل}$$

بتطبيق الاضطراب  $T_3$  في هذه الحالة نكون ضمن شروط فك الارتباط

II deconplage أو يسمى مفعول باك غودسميت Back - Godsmitt .

$$(c) \quad T_1 > W > T_2 > T_3 \quad \text{في هذه الحالة فإن مفعول باشن باك يجب أن يكمل}$$

تصحیحات ترجم  $T_3$  .

٧ - ٦ - ٢ - حالة حقول ضعيفة : مفعول زيمان :

Casdes change faibles ; effect Zeaman

تصحیحات الطاقة التي يجب إدخالها على  $E^{\circ}_F$  تعطى بعناصر القطرية للمصفوفة W والذي

يتبادل مع  $F_z$  أي ب :

$$\langle E_F^\circ, F, m_F | W | E_F^\circ, F, m_F' \rangle$$

حيث  $M_F$  العدد الكمي الممثل لمسقط العزم الزاوي  $F$  على الاتجاه  $oz$  ، بتطبيق نظرية wigner - eckart .

$$\langle E_F^\circ, F, m_F | \hat{L}_z + 2 \hat{S}_z - g_I I_z | E_F^\circ, F, m_F' \rangle =$$

$$= g \langle E_F^\circ, F, m_F | F_z | E_F^\circ, F, m_F' \rangle$$

$$= g m_F \cdot \delta_{m_F m_F'}$$

للحصول على قيمة  $g$  نقوم بالتالي :

$$\langle E_F^\circ, F, m_F | L_z + 2S_z | E_F^\circ, F, m_F' \rangle = g_J \langle E_F^\circ, F, m_F | J_z | E_F^\circ, F, m_F' \rangle$$

كما رأينا سابقاً نجد :

$$g_J = 1 + \frac{J(J+1) + S(S+1) - L(L+1)}{2J(J+1)}$$

كذلك فإن :

$$\langle E_F^\circ, F, m_F | J_z | E_F^\circ, F, m_F' \rangle = a \langle E_F^\circ, F, m_F | F_z | E_F^\circ, F, m_F' \rangle$$

إن حساب القيمة المتوسطة لـ  $J^2$  تعطي :

$$a = \frac{F(F+1) + J(J+1) - I(I+1)}{2F(F+1)}$$

باستخدام القيمة المتوسطة للمؤثر  $IF$  نحصل على عناصر

$$\langle E_F^\circ, F, m_F | I_z | E_F^\circ, F, m_F' \rangle = b \langle E_F^\circ, F, m_F | F_z | E_F^\circ, F, m_F' \rangle$$

$$= 1 - a$$

حيث :

$$b = \frac{F(F+1) + I(I+1) - J(J+1)}{2F(F+1)}$$

أخيراً نجد :

$$\begin{aligned} \langle E^{\circ}_{F,F,m_F} | \hat{L}_z + 2 \hat{S}_z - g_I I_z | E^{\circ}_{F,F,m'_F} \rangle &= \\ &= (a g_J - b g_I) \langle E^{\circ}_{F,F,m_F} | F_z | E^{\circ}_{F,F,m'_F} \rangle \end{aligned}$$

أي أن :

$$g = g_J \frac{F(F+1) + J(J+1) - I(I+1)}{2F(F+1)} - g_I \frac{F(F+1) + I(I+1) - J(J+1)}{2F(F+1)}$$

تصحیح الطاقة من المرتبة الأولى سيكتب إذاً :

$$\Delta E = g m_F \cdot \beta \cdot B .$$

الشكل (٧ - ١٠) يعطي تحليل زيمان لمختلف المستويات الفوق الناعمة المطابقة للحدود الطيفية  $^3P_2, ^3P_1, ^3P_0$  من أجل  $I = 1/2$  .

ملاحظة (١) :

$g_I \sim 10^{-3}$  في أغلب الحالات إذاً يمكن أن نكتب :

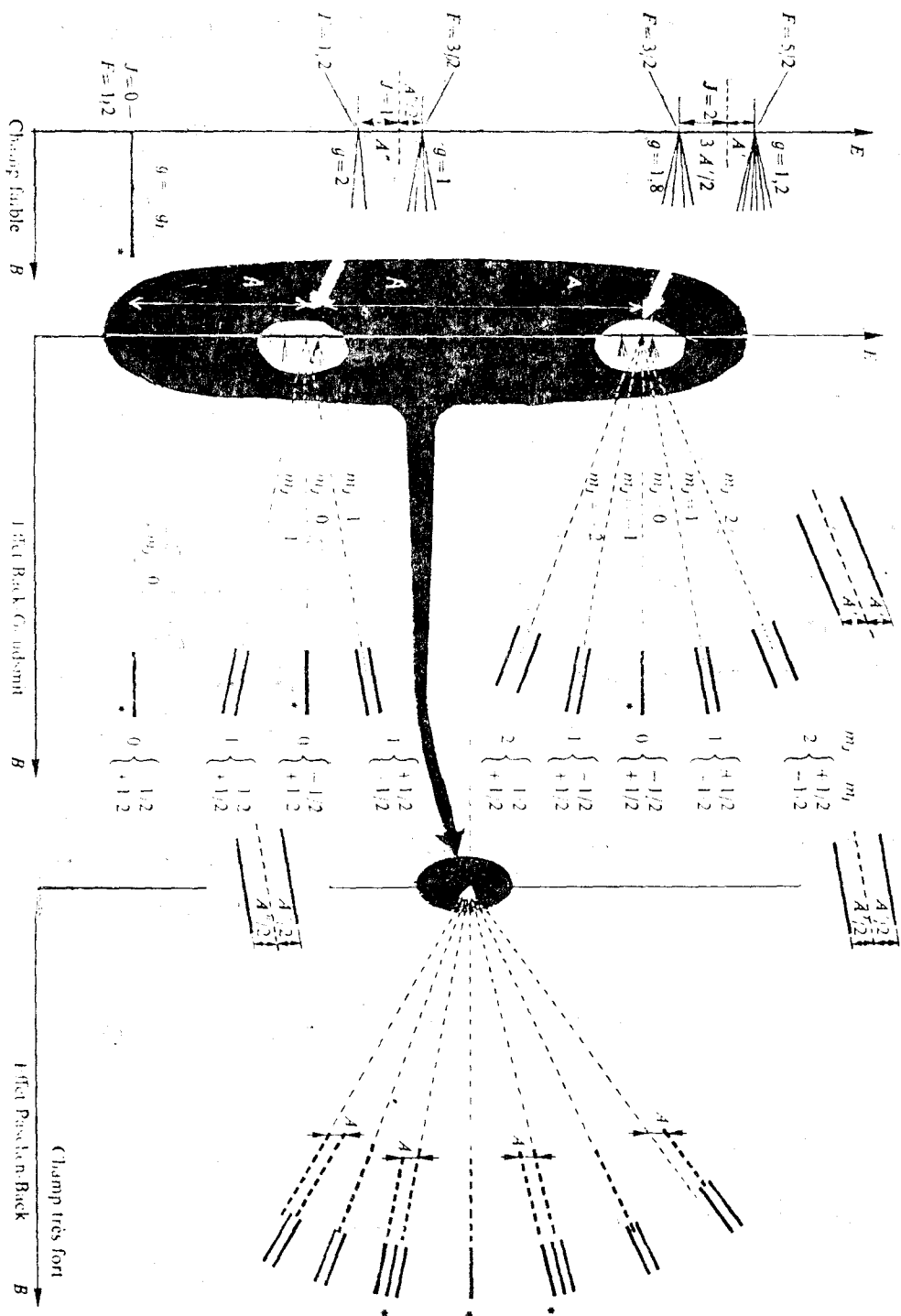
$$g \approx \frac{F(F+1) + J(J+1) - I(I+1)}{2F(F+1)} g_J$$

ملاحظة (٢) :

يمكن أن تأخذ  $g$  قيمة موجبة أو سالبة حسب القيم العددية لـ  $F$  و  $I$  و  $J$  . إن القيمة السالبة لـ  $g$  تطابق حالة العزم الحركي الكلي  $\sigma_F$  والعزم  $\sigma_F$  مغناطيسي في اتجاه واحد .

والشكل (٧ - ١٠) يعطي مخطط سوياات الطاقة كتابع للحقل المغناطيسي في الحالة الخاصة  $I = 1/2$  .

حيث الخطوط المشار إليها بنجمه \* تمثل سويتين منفصلتين لكن قريتين جداً من بعضهما البعض وغير قابلتين للفصل في السلم المستخدم .





### ٧ - ٦ - ٣ - مفعول باك - غودسميت في الحقل القوي :

effect Back - Goudsmite en champ fort

لنعتبر الآن الحالة التي يكون فيها  $W > T_3$  ، ولنطبق في البداية الإضطراب  $W$  على حل الهاملتونيان  $H_0 + T_1 + T_2$  ، وبما أنه لا يدخل بشكل ضمني فيجب علينا أن نأخذ بعين الاعتبار في وصف حالة السبين النووي :

كل مستوي إذاً مميز بالقيم  $I$  و  $J$  ، ولاندخل أي طاقة ارتباط بين  $I$  و  $J$  ومرتبة التوالد هي  $(2I + 1)(2J + 1)$  ، تم الدراسة في التمثيل  $E_J, J, m_J, I, m_I$  . وتكون مشابهة تماماً لمفعول باشن - باك ، حيث يمكننا بسهولة أن نصل إلى تصحيح الطاقة :

$$\Delta E = (m_J g_J - m_I g_I) \beta \cdot B .$$

والشكل ( ١٠ ) يعطي مثال عن إحدى الحالات حيث الخطوط المنقطعة تعطي تصحيح الطاقة السابق إذا أهملنا  $m_I g_I$  أمام  $m_J g_J$  فإننا نحصل على نفس مخطط الطاقة لذرة في حقل ضعيف وبدون سبين نووي . لكن يجب أن لا ننسى أن كل خط في هذه الخطوط المنقطعة تمثل بالحقيقة  $(2I + 1)$  خط متجاورة ومميزة مطابقة لمختلف قيم  $m_I$  لنطبق الآن الإضطراب :

$$T_3 = A' I \cdot J$$

تطبق على المستويات الغير متوالدة وتعطي إنزياح في الطاقة مساوي إلى القيمة المتوسطة لـ  $T_3$  والمساوية إلى :

$$\langle T_3 \rangle = A' m_I m_J$$

وبالتالي يكون تصحيح الطاقة الكلي الذي يجب إضافته إلى  $E_J$  :

$$\Delta E = (m_J g_J - m_I g_I) \beta B + A' m_I m_J$$

### ٧ - ٦ - ٤ - حالة حقول قوية جداً : Cas des champs très forts

هي الحالة التي يكون فيها  $T_1 > W > T_2 > T_3$  أي في حالة شروط مفعول باشن باك لذرة بدون سبين نووي .

إن الدراسة التجريبية هي ذات فائدة صغيرة جداً بالقياس مع الحالات السابقة والشكل (٧ - ١٠) يعطي مخطط الطاقة كميّاً حيث الخطوط المنقطعة تمثل مستويات الطاقة في غياب الحقل المغناطيسي والخطوط المستمرة تعطي مستويات الطاقة مع الأخذ بعين الاعتبار الحد  $T_3$  .

## ٧ - ٧ - مخططات الطاقة في مناطق الحقول المتوسطة : العزوم المغناطيسية الفعالة :

### Diagrammes d' energie dans les régions de champ intermédiaire - Moments magnetiques effectifs

لقد كانت الدراسة السابقة محدودة في حالة الحقل الضعيف ، الحقل القوي لكن في حالات ذرات ذات سبين نووي فإن البنيات الفوق ناعمة تكون ضعيفة جداً ، مرتبة بعض الميغاسيكل / ثانية ، وبين العشرات الألوف الميغاسيكل / ثانية ، مع عامل لانده  $g = 1$  فإن فرق الطاقة بين مستويين جزيئين لزيما متعاقبان هو 1,4 MHz على غوص ، ومن المحتمل جداً أنه ضمن شروط الحقل المغناطيسي فإن التقارب السابقة يمكن أن تتحقق ، والعديد من التجارب في علم الطيوف ذات الترددات الراديوية تمت ضمن شروط الحقل المتوسط ( ما بين ) ، إذاً يجب تطبيق الإضطراب  $W + T_3$  على حلول  $H_0 + T_1 + T_2$  .

كما رأينا سابقاً فإن الحلول يجب أن يُعبر عنها كتاباً  $m_F = m_I + m_J$  باعتبار أن الكمية المحفوظة مهما كان الحقل هي العزم الحركي الكلي  $F$  .

الحل تحليلياً غير ممكن وعددياً فتطوّر الحصول عليه ، إلا أنه في الحالة الخاصة حيث  $J$  أو  $I$  مساوياً  $\frac{1}{2}$  يمكن إيجاد حل تحليلي . لتحديد هذه العلاقة من أجل مستوي  $J = \frac{1}{2}$  ،  $I$  تأخذ أي قيمة :

لندعو  $E(F, m_F)$  الطاقة ضمن الحقل  $B$  لذرة ذات عزم حركي كلي  $F$  ، ومميزة بالعدد

$$m_F = m_I + m_J$$

$E_0$  الطاقة المحسوبة بدون الأخذ بعين الاعتبار للبنية الناعمة . أخيراً لندخل بدل الحقل المغناطيسي  $B$  البارامتر ( المتحول )  $\chi$  :

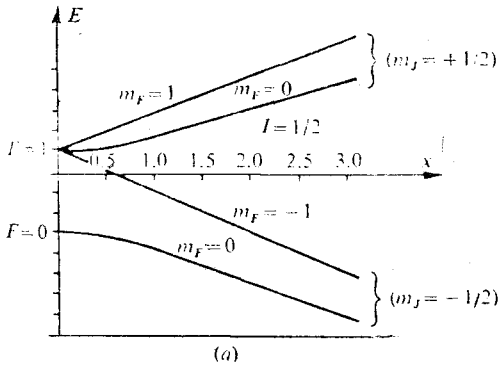
$$\chi = \frac{2(g_I + g_J) \beta B}{(2I + 1)A'} = (g_J + g_I) \frac{\beta B}{\delta w}$$

( وذلك بتسمية  $Sw = (2I + 1)/(2)A'$  فرق الطاقة بين المستويات  $F = I \mp 1/2$  في حقل معدوم ) .

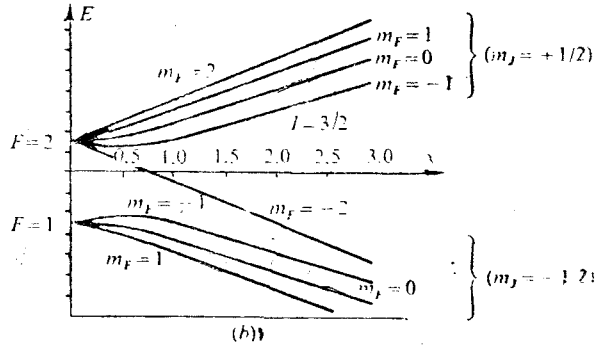
وبالتالي تكتب العلاقة ( علاقة Breit - Rabi ) :

$$E(F, m_F) - E_0 = -\frac{A'}{4} - g_I m_F \beta B \mp \frac{(2I + 1)A'}{4} \sqrt{1 + \frac{4m_F}{2I + 1} \chi + \chi^2}$$

الإشارة موجبة مطابقة للحالة  $F = I + 1/2$  والإشارة سالبة من أجل  $F = I - 1/2$  ، عندما يكون الحقل المغناطيسي ضعيف ( $\chi < 1$ ) وعندما يكون قوي ( $\chi > 1$ ) وإشارة  $\mp$  المختارة هي إشارة العدد الكمي  $m_J$  ، تسمح هذه العلاقات بإقامة الحسابات العددية لمخططات زيمان ، والشكل ( ٧ - ١١ ) يعطي أمثلة على ذلك .



(a)  $J = 1/2 \quad I = 1/2$



(b)  $J = 1/2 \quad I = 3/2$

تحلل بوجود حقل مغناطيسي للسوية  $J = 1/2$  مع  $I = 1/2$  (a) ،  $I = 3/2$  (b) ، الإحداثيات متناسبة مع الحقل المغناطيسي ومقاسه مع المعامل  $\chi$  المعروف اعلاه .

شكل ( ٧ - ١١ )



# الفصل الثامن

## نظرية الإشعاع

### ٨ - ١ - مقدمة :

يقسم نظري الطيوف الذرية إلى جزئين : جزء يبحث في طاقة السويات الموافق للحالات المختلفة والجزء الآخر يبحث في آلية الإصدار حيث يتم امتصاص أو إصدار الخطوط الطيفية من خلال الانتقال بين الحالات . وفي هذا الفصل سنعرض النظريات العامة لآلية الإشعاع ويمكن معالجة نظرية الإشعاع باستخدام النظرية الكهرطيسية لماكسويل مع إدخال بعض التعديلات وذلك باستخدام ميكانيك الكم والتي يقال عنها نظرية الإلكتروديناميك الكمي .

### ٨ - ١ - ١ - احتمالات الإنتقالات :

يتم إصدار ضوء عندما تنتقل ذرة من حالة عليا إلى حالة دنيا ( قفزه كمي ) . وكذلك يتم الإمتصاص عندما يتم الانتقال بوجود فعل حقل إشعاع على الذرة . والآن لتكن ذرة ما هي في الحالة المثارة  $z$  وحسب اينشتاين يمكن أن نرفق هذه الذرة بقيمة احتمالية بواحدة الزمن  $A(j, i)$  لحدوث انتقال تلقائي مع إصدار إشعاع ذو عدد موجي مساوي إلى  $(E_j - E_i) / hc$  .

فإذا كان  $N(j)$  هو عدد الذرات عند السوية  $z$  فيكون :

$$\frac{dN(j)}{dt} = - \left[ \sum_i A(j, i) \right] N(j) \quad (١ - ٨)$$

حيث المجموع هو على جميع الحالات ذات الطاقة الأولى فإذا كان  $\tau(j)$  هو العمر الوسطي للسوية  $z$  وهو عبارة عن الزمن المتوسط الذي تبقى خلاله الذرة مثارة أي :

$$\frac{1}{\tau(j)} = \sum_i A(j, i) \quad (٢ - ٨)$$

فإن العلاقة (١) تصبح بعد المكاملة .

$$N(j) = N_0(j) e^{-t / \tau(j)} \quad (٣ - ٨)$$

كذلك يمكن ارفاق الذرة بمعاملين احتماليين يمثلان فعالية حقل الإشعاع في تسبب الانتقال . حيث يفرض أن يكون حقل الإشعاع متماثل المناحي Isotropic وغير مستقطب وله طاقة طيفية  $\rho(\sigma) d\sigma$  .

إذا كانت  $k$  هي سوية اعلى من  $z$  ( ليست بالضرورة مثارة ) عندئذ فالحقل سينتج انتقالات من  $z$  إلى  $k$  وإمتصاص الكمية :

$$N(j) B(j, h) \rho(\sigma)$$

حيث  $\sigma$  العدد الموجي الموافق للانتقال . كذلك فالإشعاع يحدث أو يحرض آلية اصدار من  $k$  إلى  $A$  بنسبة :

$$N(k) B(k, j) \rho(\sigma)$$

المعاملات  $A, B$  تمثل التأثير المتبادل للذرة مع حقل الإشعاع ويكون لهما نفس القيم المقاسه إذا كان هناك توازن ترموديناميكي . وانبود الآن العلاقة بين  $A$  و  $B$  .

a - يعطى العدد النسبي للذرات في السويات المختلفة بتوزع ماكسويل - بولتزمان

$$N(j) = g(j) e^{-E_j / kT} \quad (٤ - ٨)$$

حيث  $g(j)$  هو الوزن الإحصائي للسوية  $z$  .

b - تعطى كثافة الإشعاع بعلاقه بلانك

$$\rho(\sigma) = h c \sigma \frac{8 \pi \sigma^2}{e^{hc\sigma/kT} - 1} \quad (5 - 8)$$

وحسب نظرية الإشعاع لديراك فإنه يمكن كتابة العلاقة :

$$N(j) B(j, k) \rho(\sigma) = N(k) [A(k, j) + B(k, j) \rho(\sigma)] \quad (6 - 8)$$

وأيضاً يمكن أن نربط معامل الإمتصاص التلقائي بمعامل الإصدار المحدث بالعلاقة التالية :

$$g(j) B(j, k) = g(k) B(k, j)$$

$$A(k, j) = 8 \pi h c \sigma^3 B(k, j) \quad (7 - 8)$$

باستخدام العلاقة الأخيرة فالنسبة الكلية لآلية الإصدار يمكن أن تكتب بالشكل :

$$N(k) A(k, j) [n(\sigma) + 1] \quad (8 - 8)$$

$$n(\sigma) = \rho(\sigma) / 8 \pi h c \sigma^3 \quad \text{حيث}$$

تجدر الإشارة هنا إلى أن الإصدار القسري (المحرض) لا يختلف فقط عن الإصدار التلقائي بطبيعة العمليات الإشعاعية المؤدية إلى كل منهما فحسب بل وبآلية الانتشار أيضاً فبينما ينتشر الإشعاع في كل اتجاه ، نرى أن الإشعاع القسري ينتشر في اتجاه الإشعاع الساقط على الجسيمه فقط ، أي في اتجاه الإشعاع المحرض كما أنه يتطابق باستقطابه مع استقطاب الإشعاع المحرض .

بالفصل فإنه احتمال الانتقال متناسب مع مربع عناصر مصفوفة التأثير المتبادل بين الحقل والمادة .

## ٨ - ٢ - النظرية الكهرومغناطيسية الكلاسيكية :

يمكن اعتبار الإشعاع كتدفق طاقة خاصة وهذا خاضع لعلاقات ماكسويل . وفي هذا يكون لدينا حقل سلمي  $\rho$  عبارة عن كثافة شحن كهربائية في وحدات كهربائية ساكنه وليكن  $I$  شعاع الحقل كثافة التيار في وحدات كهربائية ساكنه يرتبط الحقلان بالعلاقة التالية :

$$\operatorname{div} \mathbf{I} + \frac{1}{c} \frac{\partial \rho}{\partial t} = 0 \quad (٨ - ٩)$$

وكذلك :

$$\operatorname{div} \mathbf{H} = 0 \quad (٨ - ١٠ - أ)$$

$$\operatorname{curl} \vec{\epsilon} + \frac{1}{c} \frac{\partial \mathbf{H}}{\partial t} = 0 \quad (٨ - ١٠ - ب)$$

$$\operatorname{div} \vec{\epsilon} = 4 \pi \rho \quad (٨ - ١٠ - ج)$$

$$\operatorname{curl} \mathbf{H} - \frac{1}{c} \frac{\partial \vec{\epsilon}}{\partial t} = 4 \pi \mathbf{I} \quad (٨ - ١٠ - د)$$

فإذا استخدمنا الكمون السلمي  $\varphi$  وشعاع الكمون  $\mathbf{A}$  واللذان يحققان العلاقات التالية :

$$-\Delta \varphi + \frac{1}{c^2} \frac{\partial^2 \varphi}{\partial t^2} = 4 \pi \rho$$

$$-\Delta \mathbf{A} + \frac{1}{c^2} \frac{\partial^2 \mathbf{A}}{\partial t^2} = 4 \pi \mathbf{I} \quad (٨ - ١١)$$

$$\operatorname{div} \mathbf{A} + \frac{1}{c} \frac{\partial \varphi}{\partial t} = 0$$

يمكن إيجاد  $\vec{\epsilon}$  و  $\mathbf{H}$  من العلاقات ( ٨ - ١١ )

$$\vec{\epsilon} = -\operatorname{grad} \varphi - \frac{1}{c} \frac{\partial \mathbf{A}}{\partial t}$$

( ٨ - ١٢ )

$$\mathbf{H} = \operatorname{curl} \mathbf{A}$$

والحل للكمون السلمي يكتب بالشكل :

$$\varphi(x', \varphi', z', t') = \int \frac{\rho(x, y, z, t)}{R} dx dy dz \quad (٨ - ١٣)$$

$$t = t' - \frac{R}{c}$$

R هي المسافة بين عنصر الحجم  $dx dy dz$  والنقطة  $x' y' z'$  . وهذا معروف بكمون التأخير .

لتطوير النظرية الكلاسيكية للإشعاع بشكله مناسبه لإستخدام النظرية الكوانتية يجب نشر علاقة كمون التأخير وذلك بفرض أن  $\rho$  و  $I$  يتغيرا بصورة توافقية مع الزمن . أي بعد اعتبار

$$\rho(x, y, z, t) = \rho(x, y, z) e^{2\pi i \nu t}$$

$$\rho(t) = \text{Re} \{ \rho e^{2\pi i \nu t} \}$$

$$I(t) = \text{Re} \{ I e^{2\pi i \nu t} \} \quad (14 - 8)$$

حيث  $I$  شعاع ثنائي ( ذو شكل  $I_r + i I_i$  ) يمكن إذا كتابة معادلة الإستمرار بالشكل :

$$\text{div } I + i k \rho = 0 \quad (15 - 8)$$

$$k = 2 \pi \nu / c = 2 \pi \sigma \quad \text{حيث :}$$

٨ - ٣ - شعاع ثنائي قطب مهتز :

A - فرضيات :

يشكل ثنائي القطب من الشحنة  $+Q$  والشحنة  $-Q$  متوضعان عند طرفي عنصر خطي  $I$  محمول على المحور  $oz$  شكل ( ٨ - ١ - أ ) . نفرض أن الشحنتين تشغلان أماكنه ثابتة لكن قيمهم تتغير خلال الزمن ولتأمين انخفاض الشحن يجب أن نفرض أن العنصر الخطي  $I$  سيمر فيه كثافة تيار

$$I = \frac{\partial Q}{\partial t} = \frac{1}{P} \frac{\partial P}{\partial t} = \frac{1}{P} P' (t)$$

فإذا دعونا  $P$  القيمة الجبرية على المحور  $oz$  لعزم ثنائي القطب الكهربائي  $P = Q I$  و  $P'$  مشتقه بالنسبة للزمن . والمقصود ثنائي قطب مهتز أي :



$$P = P_0 e^{i\omega t}$$

لهذه المسألة ثلاثة فوائد :

١ - تؤدي إلى حسابات نسبياً سهله .

٢ - تسمح بوصف وبصورة تامه عمل الهوائيات في الإنتشار الراديوي .

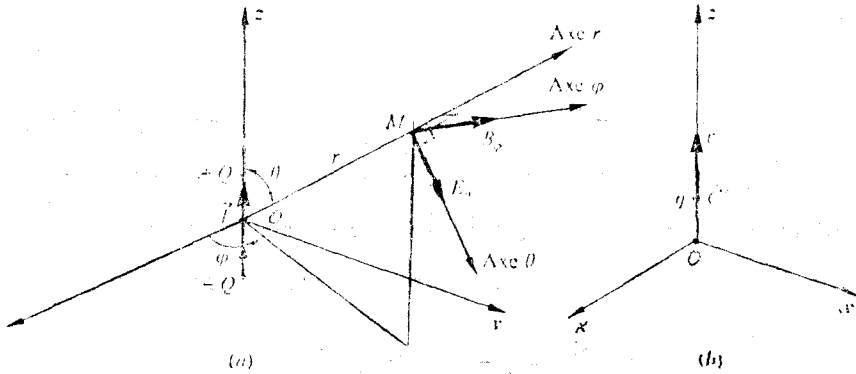
٣ - تطبق كتقريب أولى في حالة الشحنة المعزولة  $c$  ذات القيم  $q$  الثابتة والمتحركة بسرعة  $v = dz/dt$  غير نسبیه شكل (٨ - ١ - ب) . يكفي إذاً فرض أن  $P = qz$  . الحساب التام في حالة شحنة معزولة متحركة يمكن أن يعطى انطلاقاً من كمون لينارد وفيشرت إلا أنه صعب ويحوي العديد من الخدود التصحيحية كحد  $v/c$  .

B - الكمونات المتأخره :

نحسب هذه الكمونات في النقطة  $M$  في الإحداثيات  $(r, \theta, \varphi)$  شكل (٨ - ١ أ)

(١) - الكمون الشعاعي :

$$A(M, t) = \frac{\mu_0}{4\pi k} \frac{I(t - r/c)}{r} \mathbf{I} = \frac{\mu_0}{4\pi k} \frac{1}{r} \mathbf{P}'(t - r/c)$$



شكل (٨ - ١)

ويمكن أن يكتب باتجاه  $oz$  بالشكل أي مركبه على  $oz$

$$A_z(M, t) = \frac{\mu_0}{4\pi k} \frac{1}{r} P'(t - r/c)$$

٢ - الكمون السلمي يمكن الحصول عليه بصورة أسهل من شرط لورنتز :

$$\frac{\partial V}{\partial t} = - \frac{k}{\epsilon_0 \mu_0} \text{div } A = - \frac{k}{\epsilon_0 \mu_0} \frac{\partial A_z}{\partial z} = - \frac{k}{\epsilon_0 \mu_0} \cos \theta \frac{\partial A_z}{\partial t}$$

مع الأخذ بعين الاعتبار لكون  $A_z$  يعتمد على  $r$  وذلك من الحد  $1/r$  والحد  $P(t - r/c)$  ،  
ثم بالمكاملة بالنسبة للزمن يصبح الكمون

$$V(M, t) = \frac{1}{4\pi \epsilon_0} \cos \theta \left[ \frac{1}{r^2} P(t - r/c) + \frac{1}{r c} P'(t - r/c) \right]$$

٢ - الحقول المشعة :

يتم الحصول على الحقول باستخدام العلاقتين التاليتين :

$$\mathbf{E} = - \text{grad } V - \frac{1}{k} \frac{\partial \mathbf{A}}{\partial t} \quad \text{و} \quad \mathbf{B} = \text{rot } \mathbf{A}$$

والمركبات في الإحداثيات الكروية تكون :

$$E_r(M, t) = \frac{1}{4\pi \epsilon_0} \cos \theta \left[ \frac{2}{r^3} P(t - r/c) + \frac{2}{r^2 c} P'(t - r/c) \right]$$

$$E_\theta(M, t) = \frac{1}{4\pi \epsilon_0} \sin \theta \left[ \frac{1}{r^3} P(t - r/c) + \frac{1}{r^2 c} P'(t - r/c) + \frac{1}{rc^2} P''(t - r/c) \right]$$

$$E_\phi(M, t) = 0$$

$$B_r(M, t) = 0$$

$$B_\theta(M, t) = 0$$

$$B_\phi(M, t) = \frac{\mu_0}{4\pi k} \sin \theta \left[ \frac{1}{r^2} P'(t - r/c) + \frac{1}{rc^2} P''(t - r/c) \right]$$

على مسافة  $r$  بصورة كبيرة فإنه تكون الحدود التي يوجد فيها الحد  $1/r$  هي المائدة  
هذه الحدود متناسبه مع  $P''$  المشتق الثاني لعزم ثنائي القطب الكهربائي أي في حالة

شحنة معزولة متناسب مع تسارعها .

$$a = \frac{d^2z}{dt^2}$$

في حالة الجيبه ندخل القيم العقديه

$$P''(t) = -\omega^2 P \quad \text{و} \quad P'(t) = i\omega P \quad \text{و} \quad P(t) = P^0 e^{i\omega t}$$

ومنه نجد أن الحدود  $1/r$  تكون سائده عندما

$$r \gg \frac{c}{\omega} = \lambda / 2\pi$$

( حيث  $\lambda$  طول الموجهه الموافق للنضضه  $\omega$  ) . مع الأخذ بعين الاعتبار للشرط السابق ،  
يمكن أن نكتب الحقل المشعه على مسافة كبيرة بالشكل :

$$E_r = 0$$

$$E_\theta \approx \frac{1}{4\pi \epsilon_0} \frac{\sin \theta}{r c^2} P''(t - r/c) = -\frac{1}{4\pi \epsilon_0} \frac{\sin \theta}{r} \frac{\omega^2}{c^2} P_0 e^{i\omega t} e^{-i(\omega/c)r}$$

$$E_\phi = 0$$

$$B_r = 0$$

$$B_\theta = 0$$

$$B_\phi \approx \frac{k}{c} E_\theta$$

يمكن التأكد من أن الحقول في النقطة M مشابهه لحقول موجء مستوية تنتشر في اتجاه الشعاع  $r$  والحد  $e^{-i(\omega/c)r}$  يمثل فرق الطور الناتج عن الإنتشار .

ملاحظة :

يمكن أن نبين بأنه نفس العلاقات قابله للتطبيق في حالة التقريب الغير نسبي ( $v \ll c$ )  
أو في حالة شحنة معزولة بحركة ( مستقيمة أو غير دورية ) ، بشرط أن نأخذ كبداً  
وكمحور  $oz$  وضع الشحنة واتجاه شعاع تسارعها  $a$  في اللحظة  $(t - r/c)$  . يكفي إذا كتابة :

$$P''(t - \frac{r}{c}) = qa(t - \frac{r}{c})$$

يتم اصدار الحقل المشع ( ذو السعة  $\frac{1}{2}$  ، نسبياً مهم عند مسافة كبيرة ) في كل مرة يكون للشحنة الكهربائية شعاع تسارع . هذه هي حالة الالكترونات ذات طاقة عالية مفرملة بصورة مفاجئة بصدمها بالسوح معدني (bremsstrahlung) . وهي أيضاً حالة الالكترونات ذات سرعة كبيرة تجد نفسها في حركة دائرية منتظمة في حقل مغناطيسي ( اشعاع Synchrotron ) .

#### D - الإستطاعة الكلية المشعة :

نحصل على الإستطاعة الكلية P المرسله في كل الفضاء بحساب التدفق الخارج عبر كرة  $\Sigma$  ( ذات نصف قطر r كبير جداً ) ذات شعاع Poynting

$$\frac{k}{\mu_0} \mathbf{E} \wedge \mathbf{B} \approx \frac{k}{\mu_0} E_{\theta} B_{\phi} = \epsilon_0 c E_{\theta}^2 \frac{r}{|r|}$$

هذا الشعاع متعامد مع عنصر السطح dS في كل نقطة من نقاط الكرة  $\Sigma$  :

$$dS = r^2 \sin \theta d\theta \cdot d\phi$$

وموجه نحو الخارج بحيث يكون :

$$P = \int \int_{\Sigma} \epsilon_0 c E_{\theta}^2 r^2 \sin \theta d\theta d\phi =$$

$$\frac{1}{16\pi^2 \epsilon_0 c^3} \left[ P''(t - \frac{r}{c}) \right]^2 \int_0^{2\pi} d\phi \int_0^{\pi} \sin \theta d\theta$$

إن جداء التكاملين مساوي إلى  $8\pi/3$  نعوض فنحصل على :

$$P = \frac{1}{6\pi \epsilon_0 c^3} P''^2 = \frac{1}{6\pi \epsilon_0 c^3} \omega^4 P^2 = \frac{1}{6\pi \epsilon_0 c^3} q^2 a^2$$

فإذا عوضنا  $P'' = -\omega^2 P$  حالة ثنائي قطب مهتز

وإذا  $P'' = qa$  حالة شحنة  $q$  معزولة ذات تسارع  $a$  . نلاحظ أن الإستطاعة المحسوبة مستقلة عن  $r$  الكرة .

٨ - ٤ - تطبيق في حالة الكترون مرتبط بصورة مرنة :

٨ - ٤ - ١ - تخامد الإهتزازات الحرة :

تستخدم النظرية الكلاسيكية للإشعاع بصورة أساسية النتائج التي أوردنا ذكرها سابقاً على ثاني القطب وسنوضح بعض هذه المفاهيم الأساسية . لذلك سنفرض الكترون في ذرة حيث موضعه معرف بشعاع  $r$  مرتبط بقوة مرنة متناسبة مع  $r$  (نموذج طومسون) .

$$f = -kr$$

إذا أبعد مثل هذا الإلكترون عن وضع توازنه فيستقوم بحركة اهتزازية لحظية أو بحركة اهتزازية حرة مرفق بـ :

$$\omega_0 = \sqrt{\frac{K}{m}}$$

كتلة الإلكترون  $m$

وللبساطة سنأخذ حالة الحركة الخطية ببعد واحد :

$$z = z_0 e^{i\omega_0 t}$$

هذا الإلكترون ذو الحركة المتسارعة يولد موجة الكتر ومغناطيسية تكون تابعه لتسارعه  $a = dz^2 / dt^2$  والذي يحمل طاقة إلى اللانهاية بصورة دائمة . مع الأخذ بعين الاعتبار لنتائج الفقرة السابقة يمكننا أن نحسب القيمة المتوسطة خلال الزمن للإستطاعة المحمولة بواسطة الموجة .

$$\bar{P} = \frac{1}{6\pi\epsilon_0 c^3} q^2 \omega_0^4 \bar{z}^2 = \frac{1}{6\pi\epsilon_0 c^3} q^2 \omega_0^4 \frac{z_0^2}{2}$$

ونعلم من ناحية أخرى الطاقة المخزنة من قبل هزاز ذو كتلة  $m$  ونبض  $\omega_0$  هي :

$$W = \frac{1}{2} m \omega_0^2 z_0^2$$

وللحفاظ على مبدأ انحفاظ الطاقة يجب أن تنخفض سعة الإهتزازات  $z_0$  بصورة بطيئة خلال الزمن بحيث يكون انخفاض الطاقة  $W$  يُعوض بصورة تامه بالطاقة المحمولة من قبل الموجه :

$$\frac{dW}{dt} = -\bar{P} = -\frac{1}{6\pi\epsilon_0 c^3} q^2 \omega_0^4 \frac{z_0^2}{2} = -\frac{q^2 \omega_0^2}{6\pi\epsilon_0 c^3 m} W$$

أي أن الطاقة  $W$  تخضع للمعادلة التفاضلية :

$$\frac{1}{W} \frac{dW}{dt} = -\frac{q^2 \omega_0^2}{6\pi\epsilon_0 c^3 m} = -\frac{1}{\tau}$$

باجراء التكامل نجد ان الطاقة متناقصه بشكل أسي :

$$W = W_0 e^{-t/\tau}$$

بأخذ الجذر التربيعي للطاقة نحصل على السعة

$$z_0 = c e^{-t/2\tau}$$

السعة تتناقص مع ضعف ثابتة الزمن . أخيراً فان الحركة الإهتزازية عملياً ستضعف خلال فترة زمنية من مرتبة  $\tau$  وهذا الزمن  $\tau$  يسمى فترة حياة الألاهتزاز .

إن المعادلة التفاضلية للحركة الإهتزازية الحرة هي :

$$\frac{d^2z}{dt^2} + \gamma \frac{dz}{dt} + \omega_0^2 z = 0$$

وحلها من الشكل :

$$z = c \exp \left[ \left( -\gamma/2 \pm \sqrt{\frac{\gamma^2}{4} - \omega_0^2} \right) t \right] \approx c \exp \left[ \left( -\frac{\gamma}{2} \mp i\omega_0 \right) t \right]$$

إذا كان  $\omega \ll \gamma$  وحيث  $\gamma = 1/\tau$  وهذا يتوافق مع الدراسة السابقة .

## ٨ - ٥ - الإهتزازات المجبرة للإلكترون بصورة مرنة مرتبط :

### A - الحركة المستقرة للإلكترونات :

المعادلة التفاضلية السابقة هي نفسها بالنسبة للإحداثيات الثلاثة أي يمكن أن نكتبها بالنسبة للشعاع  $r$  المعروف لموضع الإلكترون في الفضاء .

عندما يخضع الإلكترون لتأثير حقل كهربائي جيبي خارجي

$$E = E_0 e^{i\omega t}$$

ذو اتجاه ثابت ونبض  $\omega$  مميز عن  $\omega_0$  فالمعادلة التفاضلية لحركته تصبح :

$$\frac{d^2 r}{dt^2} + \gamma \frac{dr}{dt} + \omega_0^2 r = \frac{q}{m} E = \frac{q}{m} E_0 e^{i\omega t}$$

ومنها نجد الحل بنظام مستمر

$$r = \frac{1}{\omega_0^2 - \omega^2 + i\omega\gamma} \frac{q}{m} E_0 e^{i\omega t} = \frac{q}{m} \frac{1}{\omega_0^2 - \omega^2 + i\omega\gamma} E$$

إذا انتشرت الموجة الكهرومغناطيسية ذات النبض  $\omega$  في وسط معدني يحتوي على  $N$  إلكترون بوحدة الحجم (بصورة مرنة مرتبطة ونفس النبض الخاص  $\omega_0$ ) ، يظهر في هذا الوسط كثافة تيار  $J$  مهتز بحيث :

$$J = Nq \frac{dr}{dt} = \frac{Nq^2}{m} \frac{1}{\omega_0^2 - \omega^2 + i\omega\gamma} \frac{\partial E}{\partial t}$$

### B - قرينة عقدية ومعادل الإمتصاص

علاقة ماكسويل - أمبير

$$\text{rot } B = \frac{\mu_0}{K} \left[ \epsilon_0 \frac{\partial E}{\partial t} + J \right]$$

تكتب مع الأخذ بعين الاعتبار لحركة الإلكترونات

$$\text{Rot B} = \frac{\mu_0}{k} \epsilon_0 \left[ 1 + \frac{Nq^2}{m \epsilon_0} \frac{1}{\omega_0^2 - \omega^2 + i \omega \gamma} \right] \frac{\partial E}{\partial t} =$$

$$\frac{\mu_0}{k} \epsilon_0 \epsilon_r \frac{\partial E}{\partial t}$$

إذا فرضنا أن :

$$\epsilon_r = 1 + \frac{Nq^2}{m \epsilon_0} \frac{1}{\omega_0^2 - \omega^2 + i \omega \gamma}$$

بهذه الطريقة وضعنا معادلة مكسويل - أمبير بشكل مكافئ لمعادلة ماكسويل - أمبير التي توصف وسط عازل ذو ثابتة عزل كهربائي  $\epsilon_r$  . وبالتالي لابد من ادخال قرنية الانعكاس العقدية  $n - i k$  بالشكل :

$$\epsilon_r = (n - i k)^2 = n^2 - k^2 - 2i n k$$

فإذا حددنا أنفسنا في التقريب :

— الجزء الحقيقي للقرنية  $n \approx 1$

— الجزء التخيلي للقرنية  $k < 1$

بإجراء عملية التطابق للجزئين الحقيقي والتخيلي لـ  $\epsilon_r$  نجد :

القرنية الحقيقية :

$$n = 1 + \frac{Nq^2}{2m \epsilon_0} \frac{\omega_0^2 - \omega^2}{(\omega_0^2 - \omega^2)^2 + \omega^2 \gamma^2}$$

القرنية العقدية :

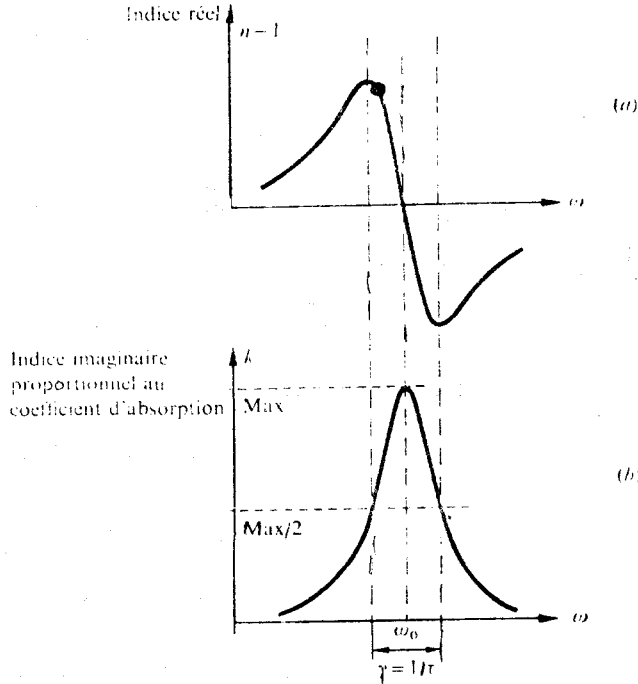
$$k = \frac{Nq^2}{2m \epsilon_0} \frac{\omega \gamma}{(\omega_0^2 - \omega^2)^2 + \omega^2 \gamma^2}$$

والشكلين (٨ - ٢ أ و ٨ - ٢ ب) يمثلان على التوالي تغيرات  $n$  و  $k$  كتابع

لـ  $\omega$  بالنسبة للموجه الكهرمغناطيسية الساقطة ، ان القرنية الحقيقية  $n$  تسمح بحساب سرعة الطور في انتشار الموجه ويلعب دور قرنية الانكسار المفيد . نلاحظ بأنه عند ترددات



مرتفعة ( $\omega > \omega_0$ ) يصبح  $n$  أقل من الواحد وهذا يحقق تجريبياً في انتشار أشعة X .  
أما القرنية التخيلية  $k$  فتسمح بحساب معامل الإمتصاص للموجة الكهرمغناطيسية العابرة  
للوسط المدروس .



الشكل ( ٨ - ٢ )

إذا تابعنا حساب الانتشار للموجة انطلاقاً من معادلة مكسويل - أمبير والموضوعة  
تحت الشكل السابق نحصل كحل من أجل موجة مستوية تنتشر بصورة موازية لـ  
ox على :

$$E(x, t) = A e^{i\omega \left( t - \frac{n - ik}{c} x \right)}$$

أو :

$$E(x, t) = A e^{-k(\omega/c)x} e^{i\omega(t - n/cx)} = E_0 e^{i\omega(t - n/cx)}$$

$$E_0 = A e^{-(\omega/c)kx}$$

مع

تمثل هذه المعادلة موجة تنتشر بسرعة طور  $c/n$  وبسعة  $E_0$  متناقصة . وكثافتها  $E_0^2$

$$E_0^2 = A^2 e^{-2(\omega/c) k x} = A^2 e^{-k x}$$

حيث :

$$K = \frac{2\omega}{c} k = \frac{Nq^2}{m \epsilon_0 c} \cdot \frac{\omega^2 \gamma}{(\omega_0^2 - \omega^2)^2 + \omega^2 \gamma^2}$$

C - معامل الإمتصاص بجوار تردد خاص :

يمكن تبسيط العلاقة السابقة لمعامل الإمتصاص K وذلك بإقامة فرضية إضافية :

$$\gamma < \omega_0$$

وهذه الفرضية محققة عموماً ( تعني أن للهزاز الزمن لعمل عدد كبير من الإهتزازات قبل أن يتخامد ) وضمن هذه الشروط فإن معامل الإمتصاص عملياً لا يختلف عن الصفر إلا على مجال من التردد صغير جداً ، يمكننا إذاً عمل تقريب :

$$\omega_0 + \omega \approx 2\omega_0 \quad \text{و} \quad |\omega_0 - \omega| < \omega_0$$

ومنه نجد :

$$K = \frac{2\omega k}{c} \approx \frac{Nq^2}{m \epsilon_0 c} \cdot \frac{\gamma}{4(\omega_0 - \omega)^2 + \gamma^2} =$$

$$\frac{Nq^2}{16 \pi^2 \epsilon_0 c m} \cdot \frac{\gamma}{(\nu_0 - \nu)^2 + (\gamma/4\pi)^2}$$

فإذا شكل الإشعاع الكهرومغناطيسي طيف مستمر على مجال التردد ، فكل قطاع

تردد يكون ممتص مع معامل  $K(\nu)$  مختلف :

$$\int_0^{\infty} K(\nu) d\nu \approx \int_{-\infty}^{+\infty} K(\nu) d\nu = \frac{Nq^2}{4 \pi \epsilon_0 c m} \int_{-\infty}^{+\infty} \frac{\gamma/4 \pi d\nu}{(\nu - \nu_0)^2 + (\gamma/4\pi)^2}$$

وأخيراً فإن :

$$\int_0^{\infty} K(v) dv \approx \frac{Nq^2}{4 \epsilon_0 cm}$$

أي أن السطح المحدد بالمنحنى  $K(v)$  له نفس القيمة مهما كان سبب التخميد الذي يحدد عرضه .

#### ٨ - ٦ - العزوم المتعددة الأقطاب :

#### ٨ - ٦ - ١ - حالة شحن غير متحركة العزوم المتعددة الأقطاب الكهربائية :

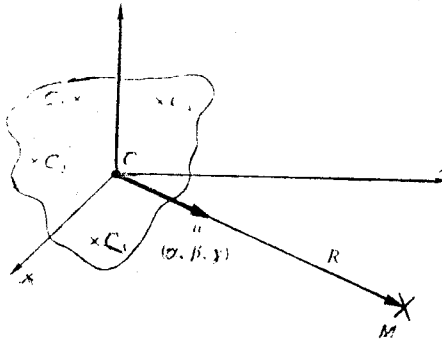
لتكن مجموعة الشحن  $q_n$  الموضوعة في النقاط  $c_n$  والقريبة من النقطة  $c$  المعتبره في المبدأ شكل ( ٨ - ٣ ) ذو مركبات

$$c_n = r_n (x_n, y_n, z_n)$$

$$r_n = |r_n|$$

لندرس التأثير المتبادل بين مجموعة الشحن  $c_n$  وشحنة أخرى موضوعة في النقاط  $M$  بعيداً عن النقطة  $c$

$$CM = R(X, Y, Z) ; R = |R|$$



شكل ( ٨ - ٣ )

بفرض أن  $R$  أكبر بكثير من كل  $r_n$  . فتدخل متجهة الواحدة لـ  $CM$  ،

$u = R / |R|$  حيث أشعة التوجيه

$$\alpha = X / R \quad , \quad \beta = Y / R \quad , \quad \gamma = Z / R$$

A - حساب الكمون الناتج عن مجموعة الشحن في M :

$$V(M) = \frac{1}{4\pi\epsilon_0} \sum_n \frac{q_n}{c_n M}$$

ولحساب  $1/c_n M$  نقوم بنشر محدود بالنسبة للكميات الصغيرة جداً  $x_n, y_n, z_n$  :

$$\frac{1}{c_n M} = \frac{1}{[(X - x_n)^2 + (Y - y_n)^2 + (Z - z_n)^2]^{1/2}} =$$

$$= f(X - x_n, Y - y_n, Z - z_n)$$

$$\frac{1}{c_n M} = f(X, Y, Z) - x_n \frac{\partial f}{\partial X} - y_n \frac{\partial f}{\partial Y} - z_n \frac{\partial f}{\partial Z} + \frac{1}{2} x_n^2 \frac{\partial^2 f}{\partial X^2} +$$

$$+ x_n y_n \frac{\partial^2 f}{\partial X \partial Y} + \dots$$

$$f(X, Y, Z) = (X^2 + Y^2 + Z^2)^{-1/2} = \frac{1}{R}$$

$$\frac{\partial f}{\partial X} = -X (X^2 + Y^2 + Z^2)^{-3/2} = -\alpha / R^2$$

$$\frac{\partial f}{\partial Y} = -Y (X^2 + Y^2 + Z^2)^{-3/2} = -\beta / R^2$$

$$\frac{\partial f}{\partial Z} = -Z (X^2 + Y^2 + Z^2)^{-3/2} = -\gamma / R^2$$

$$\left. \begin{array}{l} \frac{\partial f}{\partial X} = -\alpha / R^2 \\ \frac{\partial f}{\partial Y} = -\beta / R^2 \\ \frac{\partial f}{\partial Z} = -\gamma / R^2 \end{array} \right\} \text{grad } f = -u / R^2$$

$$\frac{\partial^2 f}{\partial X^2} = -(X^2 + Y^2 + Z^2)^{-3/2} + 3 X^2 (X^2 + Y^2 + Z^2)^{-5/2} = (3\alpha^2 - 1) / R^3$$

$$\frac{\partial^2 f}{\partial X \partial Y} = + 3 XY (X^2 + Y^2 + Z^2)^{-5/2} = 3\alpha\beta / R^3$$

إذاً :

$$\frac{1}{c_n M} = \frac{1}{R} \left[ 1 + \frac{r_n}{R} u + \frac{x_n^2}{R^2} \left( \frac{3\alpha^2 - 1}{2} \right) + \frac{x_n y_n}{R^2} 3\alpha\beta + \dots \right]$$

بإضافة مساهمات كل الشحن نحصل على :

$$4\pi\epsilon_0 V(N) = \frac{1}{R} (\sum q_n) + \frac{u}{R^2} \sum (q_n r_n) + \frac{1}{2R^3} [(3\alpha^2 - 1) (\sum q_n x_n^2) + 6\alpha\beta (\sum q_n x_n y_n) + \dots]$$

ولتفسير هذه النتيجة نجد :

(a) - في الحالة التي يكون فيها  $\sum q_n \neq 0$  يوجد barycentre للشحن  $q_n$  ويمكن أن نضع في هذه النقطة المركز c ؛ بينما  $\sum q_n r_n = 0$  والحدود من المرتبة الثانية ستعتمد. الحد الأول بعد الحد  $1/R$  يكون  $1/R^3$  (حالة خاصة لأنوية الذرات) .

(b) - في الحالة التي يكون فيها  $\sum q_n = 0$  فإن المجموع  $\sum q_n r_n$  مستقل عن المبدأ c ندعو بعزم ثنائي القطب الكهربائي المتجهه  $P = \sum q_n r_n$  لأن الشكل الأبسط لتحقيق مثل هذه المجموعة من الشحن هو اختبار شحنتان متساويتان لكن بإشارتين متعاكستين (من الممكن اختبار المبدأ وتوجيه المحاور بحيث ينعتمد الحد  $1/R^3$  ) .

(c) - في الحالة التي يكون فيها  $\sum q_n = 0$  و  $\sum q_n r_n = 0$  بنفس الوقت ، لم تعد الحدود الأولى معدوم ومن السهل تبين بأن معاملات الحدود الستة مستقلة عن المبدأ المختار c ندعو بعزم رباعي الأقطاب الكهربائي التمسور المتناظر من المرتبة الثانية المشكل من هذه المعاملات الستة  $\sum q_n x_n^2$  ،  $\sum q_n x_n y_n$  ، لأن أبسط طريقة يحقق بها هو اختبار أربع شحن متساوية بالطويلة موضوعة على رأس متوازي أضلاع بشكل تشكل فيه ثنائيات قطب متعاكسه . كما في الشكل ( ٨ - ٤ ) .



شكل ( ٨ - ٤ )

(d) - بشكل عام ندعو بعزم متعدد الأقطاب الكهربائي من الرتبة  $2^n$  مجموعة المعاملات التي تسمح بالتعبير عن الحد  $1/R^{n+1}$ ، لأن أبسط طريقة لعدم مجموعة الحدود السابقة هو اختبار مجموعة ل  $2^n$  شحنة متعاكسة .

### B - حساب القوى المطبقة على مجموعة الشحن :

يسمح هذا الحساب بإيجاد نفس العزوم المتعددة الأقطاب دون إضافة أي فكرة جديدة . نعلم أن حساب القوى يتم باشتقاق طاقة التأثير المتبادل . إذاً لنحسب طاقة التأثير المتبادل  $W$  بين الشحن  $c_n$  والشحن الأخرى الموضوعة في النقطة  $M$  بعيداً عن  $c$  كان  $u(c_n)$  الكمون الناتج في كل نقطة  $c_n$  بواسطة الشحن الأخرى عندئذ تكون طاقة التأثير :

$$W = \sum q_n u(c_n)$$

وباعتبار أن الشحن التي تخلق الكمون  $u$  بعيدة عن المركز  $c$  فالكمون  $u$  يتغير قليلاً من نقطة  $c_n$  لأخرى وبالتالي يمكننا التعبير عن  $u(c_n)$  بنشر محدود حول  $c$  :

$$u(c_n) = u(c) + x_n \frac{\partial u}{\partial x} + y_n \frac{\partial u}{\partial y} + z_n \frac{\partial u}{\partial z} + \frac{1}{2} x_n^2 \frac{\partial^2 u}{\partial x^2} + \\ + x_n y_n \frac{\partial^2 u}{\partial x \partial y} + \dots$$

بالجمع على كل الشحن  $c_n$  نحصل :

$$W = U(c) \sum q_n + \text{grad } u \cdot (\sum q_n \mathbf{r}_n) + \frac{1}{2} \frac{\partial^2 u}{\partial x^2} (\sum q_n x_n^2) + \\ + \frac{\partial^2 u}{\partial x \partial y} (\sum q_n x_n y_n), \dots$$

نرى إذاً أن  $u$  من مرتبة  $1/R$  و  $\text{grad } u$  من  $1/R^2$  والمشتقات من المرتبة الثانية  $1/R^3$  وهي تماماً كما في الفقرة السابقة .

### c - الحقل الموافق لحد ثنائي القطب :

يجب حساب تدرج الكمون الذي حصلنا عليه في  $A$  في الحالة  $b$  :

$$V(n) = \frac{1}{4\pi \epsilon_0} \frac{\mathbf{P} \cdot \mathbf{u}}{R^2} = \frac{1}{4\pi \epsilon_0} \frac{\mathbf{P} \cdot \mathbf{R}}{R^3}$$

المتجهة  $\mathbf{P} = \sum q_n \mathbf{r}_n$  مستقل عن  $M$  ومنه نجد  $\text{grad}(\mathbf{P} \cdot \mathbf{R}) = \mathbf{P}$  ومن ناحية أخرى :

$$\text{grad} \frac{1}{R^3} = -\frac{3}{R^4} \text{grad} R = -\frac{3}{R^4} \mathbf{u} = -\frac{3}{R^6} \mathbf{R}$$

$$\mathbf{E} = -\text{grad} V = \frac{1}{4\pi \epsilon_0} \left[ \frac{3\mathbf{P} \cdot \mathbf{R}}{R^5} \mathbf{R} - \frac{1}{R^3} \mathbf{P} \right]$$

نستنتج بصورة خاصة طاقة التأثير المتبادل لثنائي القطب  $\mathbf{P}$  مع ثنائي قطب آخر  $\mathbf{P}'$  موضوع في  $M$  :

$$W = \mathbf{P}' \cdot \text{grad} V = -\mathbf{P}' \cdot \mathbf{E} = \frac{1}{4\pi \epsilon_0} \left[ \frac{\mathbf{P} \cdot \mathbf{P}'}{R^3} - \frac{3(\mathbf{P} \cdot \mathbf{R})(\mathbf{P}' \cdot \mathbf{R})}{R^5} \right]$$

لهذه العلاقة تطبيقات عديدة في الفيزياء الذرية .

## ٨ - ٦ - ٢ - حالة شحن متحركة - العزوم المتعددة الأقطاب المغناطيسية :

لنفرض أنه لدينا مجموعة الشحن  $q_n$  وأنها تتحرك بسرعة  $v_n$  ولنقوم بحساب الحقل المغناطيسي المتولد في النقطة  $M$  البعيدة جداً . ولنفرض أن  $v_n \ll c$  وأن التوزيع الوسطي للشحن الكهربائية الساكنة لا يتغير بهذه الحركة . ( بشكلية التوابع المستمرة )  
تكتب أن معادلة انحفاظ الشحن  $\text{div} \mathbf{J} = -\partial P / \partial t = 0$  في حالة الشحن النقطية تكون مختلف العزوم المتعددة الأقطاب الكهربائية لمجموعة الشحن مستقلة عن الزمن أي مشتقتها بالنسبة للزمن معدوم .

ليكن تابع من النوع المراد استخدامه ( مثلاً مركبة لعزم متعدد الأقطاب الكهربائي )  
 $P(f) = \sum q_n x_n y_n$  وانحسب متوسط مشتقه بالنسبة للزمن أي :

$$\left( \partial / \partial t \right) \left( \frac{\partial f}{\partial t} \right) = \frac{1}{t_2 - t_1} \int_{t_1}^{t_2} \frac{df}{dt} dt = \frac{1}{t_2 - t_1} (f_2 - f_1)$$

بزيادة المجال  $t_2 - t_1$  تجعل القيمة المتوسطة معدومة ، وبالتالي فإن  $f$  ثابت خلال الزمن أي أن كل مجموعة الشحن التي تبقى مغلقة على نفسها ضمن حجم محدود تحقق القيمة المتوسطة وفرضيه المغناطيسية الساكنة .

وهذا سيطبق في حالة الذرة أو الجزيئة . في هذه الحال الفترة  $t_2 - t_1$  والتي ضمنها يجب حساب المتوسط هي من مرتبة مدة الحركة المدارية للإلكترونات .

A - حساب الحقل المغناطيسي المتولد عن مجموعة من الشحن :

لحساب متجهة الكمون :

$$A(M) = \frac{\mu_0}{4\pi k} \sum \frac{q_n v_n}{c_0 M}$$

نستخدم النشر المحدود لـ  $M / c_0$  في الفترة السابقة لكن الحساب المعقد سيحذفنا فقط بالحدود الأولى :

$$\frac{4\pi}{\mu_0} A(M) = \frac{1}{R} \left( \sum \frac{q_n v_n}{k} \right) + \frac{1}{R^2} \sum \left( \frac{q_n v_n}{k} \right) (r_n \cdot u) + \dots$$

في الحساب السابق وجدنا أن الحد الثاني بـ  $1/R^2$  تحت شكل بسيط جداً قسم لايتعلق إلا بـ  $M$  (أي بـ  $u$  و  $R$ ) وآخر تعتمد فقط على مجموعة الشحن (أي بـ  $v_n$  و  $r_n$ ) لكن لم تعد هذه الحالة الآن :

لنعتبر الآن التالي :

$$\begin{aligned} v_n (r_n \cdot u) + r_n (v_n \cdot u) &= \frac{dr_n}{dt} (r_n \cdot u) + r_n \left( \frac{dr_n}{dt} \cdot u \right) = \\ &= \frac{d}{dt} [r_n (r_n \cdot u)] \end{aligned}$$

باختيار  $ox$  موازي لـ  $CM$  أي موازي لـ  $u$  تكتب المركبات الثلاثة لهذه المتجه بالشكل :



$$\frac{d}{dt} (x_n^2), \frac{d}{dt} (y_n x_n), \frac{d}{dt} (z_n x_n)$$

بالجمع وبالضرب بـ  $q_n$  نحصل على :

$$\frac{d}{dt} (\sum q_n x_n^2), \frac{d}{dt} (\sum q_n x_n y_n), \frac{d}{dt} (\sum q_n x_n z_n)$$

لكن هذه المركبات معدومة ( ثبات العزم رباعي الأقطاب خلال الزمن ) . إذأ :

$$\sum q_n v_n (r_n \cdot u) + \sum q_n r_n (v_n \cdot u) = 0$$

كذلك فإن :

$$\sum q_n [v_n (r_n \cdot u) - r_n (v_n \cdot u)] = \sum q_n (r_n \wedge v_n) \wedge u$$

ومنه نجد :

$$\sum q_n v_n (r_n \cdot u) = \frac{1}{2} \sum q_n (r_n \wedge v_n) \wedge u = \frac{1}{2} [\sum q_n r_n \wedge v_n] \wedge u$$

أخيراً نجد :

$$\frac{4\pi}{\epsilon_0} A(n) = \frac{1}{R} \sum \frac{q_n v_n}{k} - \frac{u}{R^2} \frac{1}{2} \wedge \frac{1}{2} \sum \frac{q_n r_n \wedge v_n}{k} + \dots$$

تفسير النتيجة :

a - في الحالة التي يكون فيها  $\sum q_n v_n \neq 0$  أي أن مجموعة الشحن مكافئة لعنصر تيار يمكن أن نوجد مبدأ  $c'$  بحيث ينعدم الحد  $1/R^2$  .

بالحقيقة لنأخذ كمبدأ النقطة  $c'$  بحيث  $c'c = s$  ومنه فإن  $r'_n = r_n - s$  ونريد

أن نجعل  $\sum q_n r'_n \wedge v_n = 0$  أي :

$$\sum (q_n r_n \wedge v_n) - s \wedge (\sum q_n v_n) = 0$$

بالإسقاط على المحاور المعادلة الشعاعية السابقة نحصل على مجموعة ثلاثة معادلات غير معلومه  $s_x, s_y, s_z$  مركبات المتجه  $s$  يمكن تحديدها .

b - في الحالة  $\sum q_n v_n = 0$  فيبين أن المتجهة  $\sum q_n r_n \wedge v_n$  مستقل عن المبدأ c ومع المبدأ c' أي  $r' = r_n - s$  نحصل على :

$$\sum q_n r'_n \wedge v_n = \sum q_n r_n \wedge v_n - s \wedge \sum q_n v_n = \sum q_n r_n \wedge v_n$$

المتجهة :

$$\vec{\mu} = \frac{1}{K} \sum \frac{1}{2} q_n r_n \wedge v_n$$

تتميز مجموعة الشحن المتحركة وتدعى بعزم ثنائي القطب المغناطيسي لمجموعة الشحن .  
يطبق هذا بصورة خاصة على كل مجموعة معزولة من الشحن والتي تبقى داخل حجم محدود ( مثال ذرة أو جزيئة ) لأن الكمية :

$$\sum q_n v_n = \frac{d}{dt} (\sum q_n r_n)$$

هي المشتق لكمية تبقى محدودة والبرهان السابق يبين ان القيمة الوسطى

$$\sum q_n v_n = 0$$

c - يمكن أن نستمر بالنشر المحدود بشكل مشابه للكهربائية الساكنة ومنه نعرف العزم المتعدد الأقطاب المغناطيسي من المرتبة 2<sup>ا</sup> انطلاقاً من الحد  $1/R^{n+1}$  للنشر المحدود .

B - حساب القوى المغناطيسية المطبقة على مجموعة الشحن المتحركة :

نفرض أن الشحن البعيدة المتحركة تخلق عند الشحنة  $c_n$  حقل تحريض  $B(c_n)$  كل شحنة  $c_n$  تخضع لقوة :

$$f_n = \frac{1}{k} q_n v_n \wedge B(c_n)$$

$$\left. \begin{array}{l} F = \sum f_n \quad \text{قوة محصلة} \\ \Gamma = \sum r_n \wedge f_n \quad \text{محصول عزم} \end{array} \right\} \text{مجموع القوى كلها}$$

يمكن أن نحسب F و  $\Gamma$  مستخدمين للتعبير عن  $B(c_n)$  لكل شحنة  $c_n$  النشر المحدود

$$\mathbf{B}(c_0) = \mathbf{B} + \mathbf{r}_0 \cdot \text{grad} \mathbf{B} + \dots$$

ندعو  $\mathbf{B}$  قيمة التحريض في النقطة  $c$  المختارة كمبدأ .

لحساب  $\Gamma$  من المرتبة الأولى يكفي أن نختار الحد الأول من النشر :

$$\Gamma \approx \sum \mathbf{r}_n \wedge \left( \frac{q_n}{k} \mathbf{v}_n \wedge \mathbf{B} \right)$$

باستخدام العلاقة :

$$\mathbf{r}_n \wedge (\mathbf{v}_n \wedge \mathbf{B}) = \mathbf{v}_n (\mathbf{r}_n \cdot \mathbf{B}) - \mathbf{B} (\mathbf{r}_n \cdot \mathbf{v}_n)$$

و :

$$\mathbf{v}_n \wedge (\mathbf{r}_n \wedge \mathbf{B}) = \mathbf{r}_n (\mathbf{v}_n \cdot \mathbf{B}) - \mathbf{B} (\mathbf{r}_n \cdot \mathbf{v}_n)$$

بالطرح نجد :

$$\mathbf{r}_n \wedge (\mathbf{v}_n \wedge \mathbf{B}) - \mathbf{v}_n \wedge (\mathbf{r}_n \wedge \mathbf{B}) = \mathbf{v}_n (\mathbf{r}_n \cdot \mathbf{B}) - \mathbf{r}_n (\mathbf{v}_n \cdot \mathbf{B}) = (\mathbf{r}_n \wedge \mathbf{v}_n) \wedge \mathbf{B}$$

ومن ناحية أخرى :

$$\mathbf{r}_n \wedge (\mathbf{v}_n \wedge \mathbf{B}) + \mathbf{v}_n \wedge (\mathbf{r}_n \wedge \mathbf{B}) = \mathbf{r}_n \wedge \left( \frac{d\mathbf{r}_n}{dt} \wedge \mathbf{B} \right) + \frac{d\mathbf{r}_n}{dt} \wedge (\mathbf{r}_n \wedge \mathbf{B}) =$$

$$= \frac{d}{dt} [ \mathbf{r}_n \wedge (\mathbf{r}_n \wedge \mathbf{B}) ]$$

بالجمع على  $n$  نجد أن الحد الأخير

$$\frac{d}{dt} \sum_n [ \mathbf{r}_n \wedge (\mathbf{r}_n \wedge \mathbf{B}) ]$$

معدوم . أخيراً فإن :

$$\sum_n \mathbf{r}_n \wedge (\mathbf{v}_n \wedge \mathbf{B}) + \sum_n \mathbf{v}_n \wedge (\mathbf{r}_n \wedge \mathbf{B}) = 0$$

$$\sum_n \mathbf{r}_n \wedge (\mathbf{v}_n \wedge \mathbf{B}) - \sum_n \mathbf{v}_n \wedge (\mathbf{r}_n \wedge \mathbf{B}) = (\mathbf{r}_n \wedge \mathbf{v}_n) \wedge \mathbf{B}$$

ومنه نجد أن :

$$\sum_n \mathbf{r}_n \wedge (\mathbf{v}_n \wedge \mathbf{B}) = \frac{1}{2} (\mathbf{r}_n \wedge \mathbf{v}_n) \wedge \mathbf{B}$$

وبالتالي من المرتبة الأولى :

$$\mathbf{\Gamma} = \vec{\mu} \wedge \mathbf{B}$$

٨ - ٦ - ٣ - دراسة خاصة للعزم رباعي الأقطاب الكهربائي :

أوجدنا في الفقرتين السابقتين عزم ثنائي القطب الكهربائي والمغناطيسي لكن عزم رباعي الأقطاب الكهربائي مهم لتمييز أنوية الذرات .

يمكن اعتبار النواة كأنها شحن نقطية في حالات معينة لكن في حالات أخرى يجب أن نأخذ بعين الاعتبار لتوزيع الشحن النووية . لنوجد الآن رباعي الأقطاب للنواة علماً بأن ثنائي القطب معلوم .

A - تعريف وخواص تنسور رباعي الأقطاب الكهربائي في الحالة التامة :

(a) - حسبنا في الفقرة (١) الكمون المتولد من رباعي الأقطاب وعلى مسافة في اتجاه تجيبيات التوجيه  $\gamma$  ,  $\beta$  ,  $\alpha$  بالعلاقة :

$$\begin{aligned} 4\pi \epsilon_0 V = \frac{1}{2R^3} [ (3\alpha^2 - 1) (\sum q_n x_n^2) + (3\beta^2 - 1) (\sum q_n y_n^2) + \\ + (3\gamma^2 - 1) (\sum q_n z_n^2) \\ + 6\alpha\beta (\sum q_n x_n y_n) + 6\beta\gamma (\sum q_n y_n z_n) + 6\gamma\alpha (\sum q_n z_n x_n) \end{aligned}$$

مع الأخذ بعين الاعتبار لـ :

$$x_n^2 + y_n^2 + z_n^2 = r_n^2$$

$$\begin{aligned} 4\pi \epsilon_0 V = \frac{1}{2R^3} [ 3\alpha^2 (\sum q_n x_n^2) + 3\beta^2 (\sum q_n y_n^2) + 3\gamma^2 (\sum q_n z_n^2) - \\ - \sum q_n r_n^2 + 6\alpha\beta (\sum q_n x_n y_n) + \dots ] \end{aligned}$$

لنضرب الحد  $\sum q_n r_n^2$  بـ  $\alpha^2 + \beta^2 + \gamma^2 = 1$  نحصل :

$$4 \pi \epsilon_0 V = \frac{1}{2R^3} [ \alpha^2 \sum q_n (3 x_n^2 - r_n^2) + \beta^2 \sum q_n (3 y_n^2 - r_n^2) + \\ + \gamma^2 \sum q_n (3 z_n^2 - r_n^2) + 2 \alpha \beta \sum 3 q_n x_n y_n + 2 \beta \gamma \sum (3 q_n y_n z_n) + \\ + 2 \gamma \alpha \sum (3 q_n z_n x_n) ] .$$

المجاميع الستة  $\sum$  في العلاقة تشكل تسع مركبات لتensor متناظر من المرتبة الثانية  $Q$  المعروف بالشكل التالي :

$$Q_{xx} = \sum q_n (3x_n^2 - r_n^2) \quad Q_y = Q_{yx} = \sum 3q_n x_n y_n$$

$$Q_{yy} = \sum q_n (3y_n^2 - r_n^2) \quad Q_{yz} = Q_{zy} = \sum 3q_n y_n z_n$$

$$Q_{zz} = \sum q_n (3z_n^2 - r_n^2) \quad Q_{zx} = Q_{xz} = \sum 3q_n z_n x_n$$

بهذا التnsور نعطي في الحالة العامة اسم عزم رباعي الأقطاب الكهربائي . يمكن ان نكتب الكمون بالشكل :

$$4 \pi \epsilon_0 V = \frac{1}{2R^3} [ \alpha^2 Q_{xx} + \beta^2 Q_{yy} + \gamma^2 Q_{zz} + 2 \alpha \beta Q_{xy} + 2 \beta \gamma Q_{yz} + \\ + 2 \gamma \alpha Q_{zx} ]$$

يمكن تقطير المصفوفة الممثلة للتnsور أي يجعل :

$$Q_{xy} = Q_{yz} = Q_{zx} = 0$$

والكمون الناتج عن مجموعة الشحن مساوي :

$$4 \pi \epsilon_0 V = \frac{1}{2R^3} (\alpha^2 Q_{xx} + \beta^2 Q_{yy} + \gamma^2 Q_{zz})$$

(b) - يملك تnsور رباعي الأقطاب الكهربائي الخواص التالية أيضاً :

$$Q_{xx} + Q_{yy} + Q_{zz} = \sum q_n (3 x_n^2 + 3 y_n^2 + 3 z_n^2 - 3 \sum q_n r_n^2) = 0 \quad (1)$$

مجموع مركباته الثلاثة القطرية معدوم مهما كانت محاور الأحداثيات . وضمن المركبات التسعة للتensor نعد فقط خمسة معاملات مستقلة : ثلاثة معاملات تحددان التوجيه في الفضاء لمجموعة الشحن ، ومعاملان فقط هما مميزات توزيع الشحن :

(2) إذا كانت الشحن  $q_n$  موزعه وفق تناظر كروي :

$$\sum q_n x_n^2 = \sum q_n y_n^2 = \sum q_n z_n^2 = 1/3 q_n r_n^2$$

ومنه نجد أن

$$Q_{xx} = Q_{yy} = Q_{zz} = 0$$

والمركبات الأخرى للتensor أيضاً معدومه . إذاً ان تنسور رباعي الأقطاب الكهربائي يقيس الابتعاد عن التناظر الكروي لمجموعة الشحن .

(3) في الحالة التي ترجع فيها مجموعة الشحن إلى رباعي أقطاب كهربائي في الحالة الصفرية أي في الحالة التي يكون فيها  $\sum q_n = 0$  و  $\sum q_n r_n = 0$  في نفس الزمن . نبين أن مركبات التنسور  $||Q||$  مستقلة عن المبدأ ولحسابه :

ليكن  $c'$  المبدأ الجديد مع  $x'_n, y'_n, z'_n$  ندعو  $a, b, c$  مركبات المتجه  $cc'$  :

$$\sum q_n x_n'^2 = \sum q_n (x_n - a)^2 = \sum q_n x_n^2 - 2a \sum q_n x_n + a^2 \sum q_n = \sum q_n x_n^2$$

$$\begin{aligned} \sum q_n x'_n y'_n &= \sum q_n (x_n - a)(y_n - b) = \sum q_n x_n y_n - a \sum q_n y_n - b \sum q_n x_n + \\ &+ a b \sum q_n = \sum q_n x_n y_n \end{aligned}$$

(c) - يسمح التنسور بإيجاد طاقة التأثير المتبادل  $W$  بين مجموعة الشحن  $q_n$  وشحن أخرى خارجية تعطي كمن  $u$  . وجدنا سابقاً أن :

$$\begin{aligned} W &= 1/2 \frac{\partial^2 u}{\partial x^2} (\sum q_n x_n^2) + 1/2 \frac{\partial^2 u}{\partial y^2} (\sum q_n y_n^2) + 1/2 \frac{\partial^2 u}{\partial z^2} (\sum q_n z_n^2) \\ &+ \frac{\partial^2 u}{\partial x \partial y} (\sum q_n x_n y_n) + \frac{\partial^2 u}{\partial y \partial z} (\sum q_n y_n z_n) + \frac{\partial^2 u}{\partial z \partial x} (\sum q_n z_n x_n) \end{aligned}$$

لإظهار المركبات القطرية للتensor نعلم على كمن لابلاسيان الكمن الكهربائي

معدوم خارج الشحن التي تخلق الكمون أي  $\Delta u = 0$  .

نستطيع أن نحذفه من علاقة  $W$  الكمية المعدومة :

$$0 = 1/6 \Delta u (\sum q_n r_n^2) = 1/6 \frac{\partial^2 u}{\partial x^2} (\sum q_n r_n^2) + 1/6 \frac{\partial^2 u}{\partial y^2} (\sum q_n r_n^2) + 1/6 \frac{\partial^2 u}{\partial z^2} (\sum q_n r_n^2)$$

نحصل على :

$$W = 1/6 \left[ \frac{\partial^2 u}{\partial x^2} Q_{xx} + \frac{\partial^2 u}{\partial y^2} Q_{yy} + \frac{\partial^2 u}{\partial z^2} Q_{zz} + 2 \frac{\partial^2 u}{\partial x \partial y} Q_{xy} + 2 \frac{\partial^2 u}{\partial y \partial z} Q_{yz} + 2 \frac{\partial^2 u}{\partial z \partial x} Q_{zx} \right]$$

إذا أخذنا كمحور  $XYZ$  عندئذ المركبات التي قطرية تكون معدومة وعليه فإن :

$$W = 1/6 \left[ \frac{\partial^2 u}{\partial x^2} Q_{xx} + \frac{\partial^2 u}{\partial y^2} Q_{yy} + \frac{\partial^2 u}{\partial z^2} Q_{zz} \right]$$

**B - حالة خاصة لتناظر متطور :**

**a -** إذا كان لتوزيع الشحن تناظر متطور حول  $oz$

$$\sum q_n X_n^2 = \sum q_n Y_n^2$$

ومنه نجد أن :

$$Q_{xx} = Q_{yy} = -1/2 Q_{zz}$$

من السهل عملياً أننا نكتب :

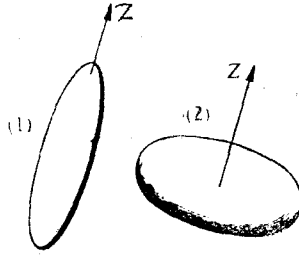
$$Q_{zz} = \sum q_n (3Z_n^2 - r_n^2) = e Q$$

$Q$  أبعاد السطح وأبعاد الأنوية من مرتبة  $10^{-12} \text{ cm}$  بينما مرتبة  $Q$  من  $10^{-24} \text{ cm}^2$

وعليه  $1 \text{ barn} = 10^{-24} \text{ cm}^2$  واحدة قياس  $Q$  .

(1) إذا كان  $Q > 0$  فكثافة الشحن موجيه ثابتة في داخل القطع الممتد له شكل سيجار أي النواة لها هذا الشكل .

(2)  $Q < 0$  كثافة الشحن ثابتة نجد الداخل لقطع ممتد ( مطاول ) كما في الشكل ( ٨ - ٥ )



الشكل ( ٨ - ٥ )

(b) - يمكن تبسيط علاقة الكمون أو طاقة التأثير المتبادل آخذين كمحاور رئيسية المحاور XYZ الرئيسية لتensor رباعي الأقطاب .

(1) - الكمون المتوالد عند مسافة R في اتجاه التجيبات  $\alpha, \beta, \gamma$  يبسط مع الأخذ بعين الاعتبار  $\alpha^2 + \beta^2 + \gamma^2 = 1$  أي :

$$4 \pi \epsilon_0 V = \frac{e Q}{2 R^3} \left( \gamma^2 - \frac{\alpha^2 + \beta^2}{2} \right) = \frac{e Q}{4 R^3} (3 \gamma^2 - 1) =$$

$$\frac{e Q}{4 R^3} (3 \cos^2 \theta - 1)$$

$\theta$  هي الزاوية بين محور التطور oz لمجموعة الشحن والإتجاه الذي نقيس فيه V .

(2) طاقة التأثير المتبادل W مع الشحن البعيدة التي تعطي الكمون u تبسط مع الأخذ بعين الاعتبار :

$$\Delta u = \frac{\partial^2 u}{\partial X^2} + \frac{\partial^2 u}{\partial Y^2} + \frac{\partial^2 u}{\partial Z^2} = 0$$

إذاً :



$$W = \frac{eQ}{6} \left[ \frac{\partial^2 u}{\partial Z^2} - \frac{1}{2} \left( \frac{\partial^2 u}{\partial X^2} + \frac{\partial^2 u}{\partial Y^2} \right) \right] =$$

$$= \frac{eQ}{4} \frac{\partial^2 u}{\partial Z^2} = - \frac{eQ}{u} \frac{\partial E_z}{\partial Z}$$

$E_z$  مركبة الحقل الكهربائي على محور التطور الناتج عن الشحن البعيدة .

(c) - المشتقات الثابتة للكمون  $u$  التي يخضع لها رباعي الأقطاب تشكل أيضاً تنسور متناظر من المرتبة الثابتة . ومن السهل أن نأخذ كمحاور المحاور الرئيسية للتنسور الجديد المتعلق بالكمون الخارجي  $u$  أي المحاور  $x, y, z$  بحيث :

$$\frac{\partial^2 u}{\partial x \partial y} = \frac{\partial^2 u}{\partial y \partial z} = \frac{\partial^2 u}{\partial z \partial x} = 0$$

ولندعو الآن  $\alpha, \beta, \gamma$  توجيه محور التطور  $oz$  لرباعي الأقطاب بالنسبة للمحاور  $xyz$  ومنه :

$$\frac{\partial}{\partial Z} \equiv \alpha \frac{\partial}{\partial x} + \beta \frac{\partial}{\partial y} + \gamma \frac{\partial}{\partial z}$$

لـ  $\alpha$  و  $\beta$  و  $\gamma$  معنى مختلف عما سبق . وأخيراً نجد :

$$\frac{\partial^2 u}{\partial Z^2} = \alpha^2 \frac{\partial^2 u}{\partial x^2} + \beta^2 \frac{\partial^2 u}{\partial y^2} + \gamma^2 \frac{\partial^2 u}{\partial z^2}$$

وكذلك بالنسبة لطاقة التأثير المتبادل :

$$W = \frac{eQ}{u} \left[ \alpha^2 \frac{\partial^2 u}{\partial x^2} + \beta^2 \frac{\partial^2 u}{\partial y^2} + \gamma^2 \frac{\partial^2 u}{\partial z^2} \right]$$

لنفرض أن :

$$\frac{\partial^2 u}{\partial x^2} - \frac{\partial^2 u}{\partial y^2} = \eta \frac{\partial^2 u}{\partial z^2}$$

حيث  $\eta$  تقيس الابتعاد عن تناظر التطور للكمون  $V$  ) .

$\eta$  معدومه إذا التابع  $u$  له تناظر تطور حول  $oz$  وإذا علمنا أن :

$$\frac{\partial^2 u}{\partial x^2} = -\frac{1-\eta}{2} \frac{\partial^2 u}{\partial z^2}, \quad \frac{\partial^2 u}{\partial y^2} = -\frac{1+\eta}{2} \frac{\partial^2 u}{\partial z^2}$$

بالتعويض في علاقة W مع الأخذ بعين الاعتبار لـ  $\alpha^2 + \beta^2 + \gamma^2 = 1$  نحصل :

$$W = e Q/u \frac{\partial^2 u}{\partial z^2} \left( \gamma^2 - \frac{\alpha^2 + \beta^2}{2} + \eta \frac{\alpha^2 - \beta^2}{2} \right) =$$

$$= \frac{eQ}{8} \frac{\partial^2 u}{\partial z^2} [3\gamma^2 - 1 + \eta(\alpha^2 - \beta^2)]$$

إذا كان لـ  $\gamma$  تمثيل تناظر تطور حول  $oz$  أي  $\eta = 0$  فإن :

$$W = \frac{\partial Q}{8} \frac{\partial^2 u}{\partial z^2} (3\gamma^2 - 1) = \frac{eQ}{8} \frac{\partial^2 u}{\partial z^2} (3 \cos^2 \theta - 1)$$

$\theta$  الزاوية بين محور التطور  $oz$  لرباعي الأقطاب ومحور التطور  $oz$  للكمون  $u$ .

**c - تكافؤ عزم رباعي الأقطاب مع مجموعة أربع شحن نقطية :**

يمكن أن نكافئ مجموعة أربع شحن لعزم رباعي الأقطاب إذا كان

$$\sum q_n = 0 \quad \text{الشحن الكلية معدومة}$$

$$\sum q_n r_n = 0 \quad \text{عزم ثنائي القطب معدوم}$$

والشكل البسيط لتحقيق ذلك هو أن نأخذ أربع شحن موضوعة كما في الشكل

( ٨ - ٦ ) فإذا كان XYZ هي المحاور الرئيسة لتشور رباعي الأقطاب حيث الشحن

موضوعة على هذه المحاور وهكذا يكون لكل شحنة إحداثيان معدومان ؛ وتكون

$$Z_n X_n, Y_n Z_n, X_n Y_n \quad \text{معدومة ويكون :}$$

$$Q_{XY} = Q_{YZ} = Q_{ZX} = 0$$

وتكون الشحن متوضعه بالشكل التالي :

— شحنتان  $+q$  على المحور  $oz$  تبعدان عن المركز بمسافة  $c$

— شحنتان متساويتان  $-q$  على المحور  $OX$  تبعدان بمسافة  $a$  عن المركز .

نحسب إذاً :

$$Q_{xx} = -2q(2a^2 + c^2), Q_{yy} = 2q(a^2 - c^2), Q_{zz} = 2q(a^2 + 2c^2)$$

إذا كانت قيم  $Q_{zz}$ ,  $Q_{yy}$ ,  $Q_{xx}$  مفروضة نختار المحور  $OY$  مطابق لـ :

$$Q_{xx} \leq Q_{yy} \leq Q_{zz}$$

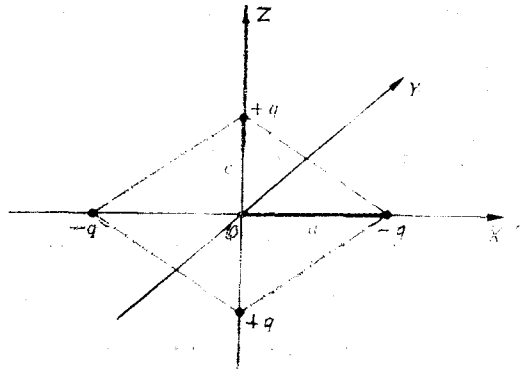
والعلاقات الثلاثة السابقة تعطي :

$$a^2 = -\frac{2Q_{xx} + Q_{zz}}{6q}, \quad c^2 = \frac{Q_{xx} + 2Q_{zz}}{6q}$$

إذاً من الممكن أن نجد دائماً أربع شحن نقطية مكافئة لعزم رباعي الأقطاب ( يمكن إيجاد عدد لا نهائي من مجموعات الأربع شحن ) .

في الحالة حيث مجموعة الشحن ذات تناظر تطور يكون :

$$Q_{xx} = -\frac{1}{2} Q_{zz}$$



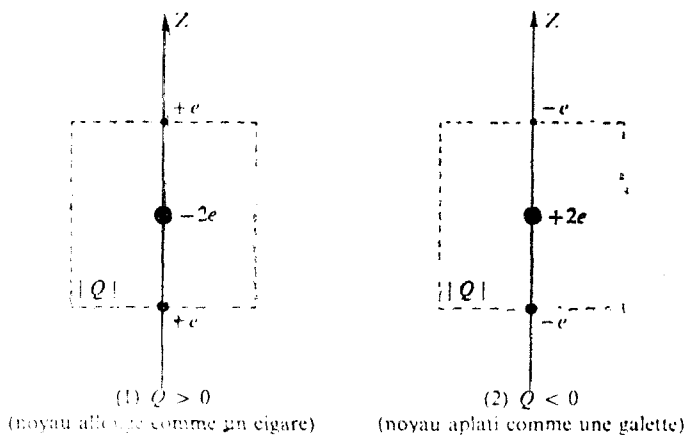
شكل ( ٨ - ٦ )

ومنه نجد  $a = 0$  أي أن اثنتان من الشحن النقطية الأربع تجد نفسها مندمجة في وسط الشحنتين الأخريتين متوضعتان على محور التطور  $OZ$  .

وإذا كانت  $q = e$  فإن :

$$Q_{zz} = eQ = \pm 4ec^2$$

وبالإشارة  $\pm$  نعتمد على إشارة  $Q_{zz}$  و  $Q$  والحالتان ممثلتان في الشكل ( ٨ - ٧ ) مع ملاحظة أنه في الحالتين القيمة المطابقة  $|Q|$  لعزم رباعي الأقطاب مساوية لسطح المربع ذو الضلع  $2c$ .



نواة ممتدلة كالسيكار

نواة مسطحة

شكل ( ٨ - ٧ )



# الباب الثاني

الفيزياء الجزيئية والطبوف الجزيئية

# الفصل التاسع

## نظرية الزمر

### GROUP THEORY

#### ٩ - ١ - مقدمة وتعريف :

تعتبر نظرية الزمر الأداة في بناء المدارات الجزيئية وخاصة عندما تبني المدارات الجزيئية من تركيب لمدارات ذرية .. وسنرى بأن نظرية الزمر لها إمكانية الاختيار الصحيح للتركيب ولوضعها بطريقة مفيدة .

كما أن للتناظر أهمية كبيرة في البنية الجزيئية لذلك لابد من الدراسة بشيء من التفصيل .

#### مثال :

ليكن  $f(x)$  ,  $g(x)$  تابعين تكامل جداءهما ( على مجال متناظر )

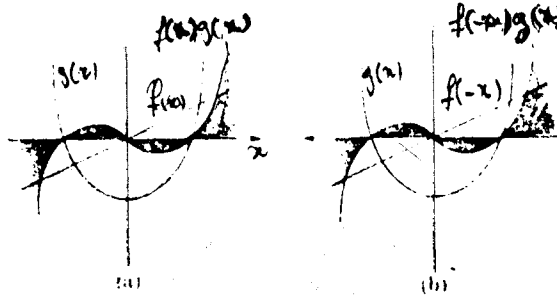
$$\int f(x) \cdot g(x) \cdot dx$$

هي عبارة عن المساحة benenth لـ :

$$y(x) \equiv f(x) \cdot g(x)$$

وليكن الآن  $f$  تابع ضد متناظر أي عندما نستبدل  $x$  بـ  $-x$  فإن

$$f(x) = -f(-x) \text{ و } g \text{ تابع متناظر } \Leftrightarrow g(x) = g(-x)$$



شكل ( ٩ - ١ - ب ) و ( ٩ - ١ - أ )

ومع اختيار مناسب للاحداثيات شكل ( ٩ - ١ - أ ) يمكن حساب القيمة الخاصة للتكامل . إذا غيرنا  $x$  بـ  $-x$  شكل ( ٩ - ١ - ب ) نرى بأننا نحصل على نفس قيمة التكامل في الحالة الأولى ، بسبب أن المساحة تحت المنحني  $y(x)$  لا تتغير بتبديل  $x$  بـ  $-x$  والتكامل له القيمة التالية :

$$\int f(-x) \cdot g(-x) dx = - \int f(x) \cdot g(x) \cdot dx$$

إذاً التكامل في الحالة الأولى يساوي إلى ناقص قيمة التكامل في الحالة الثانية بعد التبديل . لكن يجب أن يكونا متساويان وهذا يتم فقط عندما يساويان الصفر . وهذا مثال بسيط لكنه يفتح الطريق لدور التناظر ، في أمثلة معقدة ؛ حيث نجد ليس فقط إنعكاس أو مقلوب الاحداثيات inversion , réflexion بل يوجد تحويلات معقدة أكثر تتضمن الدوران وسنجد عملية التطابق identity ويرمز لها بـ  $E$  وعملية الدوران  $C$  وعملية القلب  $i$  والإنعكاس  $\sigma$  وعندما نريد التحدث عن عملية التناظر بصورة عامة فسندعوها  $R$  .

### تحويلات التناظر Symmetry transformation :

إن تحويلة التناظر هي تحويل الاحداثيات التي تترك المجموعة غير قابلة للتمييز indistinguishable عن الأساس .

### مثال :

إذا كانت المجموعة هي كرة فإن دوران الإحداثيات حول مبدأها سيكون

غير قابل للتمييز وإذا كانت المجموعة مستطيل فدوران بزواوية  $90^\circ$  حول محور يمر من المركز يؤدي إلى حالة مميزة عن الحالة الأولى ودوران آخر بزواوية  $90^\circ$  يؤدي إلى حالة غير قابلة للتمييز .

إذا كانت لدينا التحويلة SR والتي هي جداء التحويلة S ب التحويلة R فيجب إجراء التحويلة R أولاً ثم نجري التحويلة S وكذلك  $T(S \cdot R) = T S (R)$  كما أن :

$$i i c = i (i c) = i \sigma = c$$

أو

$$i i c = (i i) c = c$$

أي أن تحويلات التناظر تخضع للقاعدة التجميعية . ونلخص ما سبق بما يلي :

- (i) تحويلات التناظر تخضع للقانون التجميعي على الضرب .
- (ii) إذا كان كلاً من R و S تحويلي تناظر لإحداثيات مجموعة عندئذ يكون SR تحويل تناظر أيضاً .
- (iii) يوجد مقلوب لاية تحويلة تناظر وهي نفسها تحويلة تناظر .
- (iv) يوجد تحويلة الواحدة ( المطابقة ) وهي تحويلة متناظرة .

إن الشيء الواجب ملاحظته هو أن مجموعة  $g_i$  تشكل زمرة إذا تحققت الشروط التالية :

- (i) تحقق عناصر  $g_i$  القانون التجميعي على الضرب .
- (ii) إذا كان  $g_i$  و  $g_j$  عنصران من الزمرة فإن  $g_i g_j$  هو عنصر من الزمرة أيضاً .
- (iii) يوجد مقلوب لأي عنصر من عناصر الزمرة وهو من عناصر الزمرة أيضاً .
- (iv) عنصر المطابقة يكون من عناصر الزمرة .

نرى إذاً أن مجموعة تحويلات التناظر على الاحداثيات المستخدمة لوصف مجموعة تحقق شروط الزمرة . وبالتاليجة تستخدم نظرية الزمر لدراسة تحويلات التناظر .

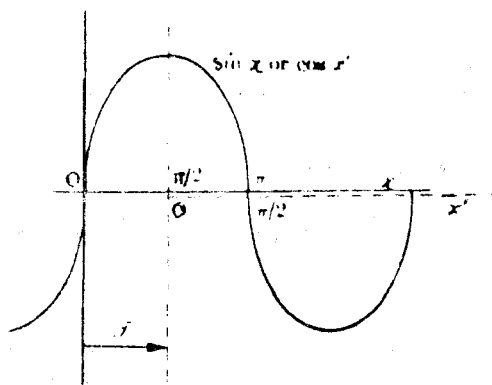


قبل أن نقوم بالعمل من الضروري التصور الرياضي لتحويلات التناظر ولفعالها .

لنعتبر مثلاً بسيطاً كالشكل ( ٩ - ٢ ) ولنرى تأثير تحويل الإحداثيات على طول المحور  $x$  بـ  $\pi/2$  راديان ونكتب تأثير هذه التحويلة كما

$$f(x) = T \cdot \sin x$$

ويوصف التابع باختيار جديد للمحاور بـ  $\cos x'$  وهكذا نرى بأن لـ  $T$  مفعول تغيير لكل من التابع والاحداثي ، بحيث تترك قيمة التابع  $\gamma$  متغيرة عند أي نقطة من الفراغ .



The effect of a translation of the coordinates through  $\pi/2$  on the function  $\sin x$

شكل ( ٩ - ٢ )

لنفرض أن التحويلة  $T$  تؤثر في إحداثي النقطة فينتج :

التحويل إلى  $x'$  :  $J x = x'$  حيث  $J$  مؤثر وليكن  $t$  مؤثر يغير التابع فنكتب :

$$f(x) = T f(x) = t f(Jx) = f'(x') \quad (٩ - ١)$$

لكن :

$$\sin x = T \sin x = t \sin (Jx) = \cos x' = \cos (x - \pi/2) \quad (٩ - ٢)$$

وبصورة عامة إذا كانت  $R$  تحويلة ما نتأثيرها على التابع  $f(q)$  حيث  $q$  مجموعة

إحداثيات نكتب :

$$f(q) = R f(q) = r f(R q) \quad (9 - 3)$$

ويمكن أن نوجد تأثير المؤثر  $r$  إذا اعتبرنا تأثير  $R$  على التابع المتطور عند النقطة  $q$   $R^{-1} q$  في مجموعة الإحداثيات الأساسية . من المعادلة (3) يمكننا كتابة :

$$f(R^{-1} q) = r f(R R^{-1} q) = r f(q) \quad (9 - 4)$$

مثال :

ليكن :

$$\psi_{12}(x, y) = (2/a) \sin 2 \lambda x \cdot \sin \lambda y \quad (9 - 5)$$

حيث  $\lambda = \pi/a$  ولنرى تأثير دوران الإحداثيات على هذا التابع بـ  $90^\circ$  وباتجاه عكس عقارب الساعة .

إذا  $R$  تطابق للدوران  $c(\alpha')$  و  $\alpha = \alpha/2$  والتابع  $\psi_{12}$  يتغير حسب

$$c(\pi/2) \psi_{12}(x, y) = (2/a) \sin \{2 \lambda \zeta^{-1}(\pi/2) x\} \cdot \sin \{\lambda \zeta^{-1}(\pi/2) y\} \quad (9 - 6)$$

إذاً يجب إيجاد  $\zeta^{-1}(\pi/2)$  . تحت تأثير الدوران بـ  $90^\circ$  فإن  $x$  تدور لتصبح بوضع

$y$  ونجد  $y = x'$  و  $y$  تدور باتجاه  $-x$  بحيث  $y' = -x$  وتكون مصفوفة الدوران :

$$\begin{bmatrix} x' \\ y' \end{bmatrix} = \begin{bmatrix} 0 & +1 \\ -1 & 0 \end{bmatrix} \begin{bmatrix} x \\ y \end{bmatrix} \quad (9 - 7)$$

وهي نفس المصفوفة لـ  $(\pi/2)$   $\zeta \iff$  مقلوبها فيوجد من  $\zeta^{-1} = 1$  مصفوفة الواحدة :

$$\zeta^{-1}(\pi/2) = \begin{bmatrix} 0 & -1 \\ 1 & 0 \end{bmatrix} \quad (9 - 8)$$

ومنه :

$$\zeta^{-1}(\pi/2) \begin{bmatrix} x \\ y \end{bmatrix} = \begin{bmatrix} -y \\ x \end{bmatrix} \quad (9-9)$$

وتأخذ المعادلة (6) الشكل :

$$c(\pi/2) \psi_{12}(x, y) = -(2/a) \sin(2\lambda y) \sin(\lambda x) = -\psi_{21}(x, y)$$

إذاً فتأثير المؤثر  $c(\pi/2)$  هو تحويل التابع  $\psi_{12}$  إلى تابع قريب متوالد  $\psi_{21}$  وبطريقة مشابهة يمكن أن نرى أن تحويل  $\psi_{21}$  هو  $-\psi_{12}$  ويمكن دمج التيجتين في مصفوفة واحدة :

$$\begin{aligned} c(\pi/2)(\psi_{12}, \psi_{21}) &= (-\psi_{21}, -\psi_{12}) = (\psi_{12}, \psi_{21}) \begin{bmatrix} 0 & -1 \\ -1 & 0 \end{bmatrix} \\ &= (\psi_{12}, \psi_{21}) D \{ c(\pi/2) \} \end{aligned} \quad (9-10)$$

تخدم هذه المعادلة هدف تعريف المصفوفة  $D$ .

ملاحظة :

إن تأثير المؤثر  $c$  يرجع بالضرب من اليمين بالمصفوفة  $D$  وسوف نستخدم هذا المفهوم.

## ٩ - ٢ - تمثيل الزمرة The representation of group :

المثال السابق يتعلق بحالة خاصة عندما تطابق تحويل التناظر للدوران حول زاوية محددة rightangle بالحالة العامة يمكن أن نعتبر الدوران بزاوية  $\alpha$  الذي (إذا كانت المجموعة دائرية) يمكن أن يكون له مجال لامتني من القيم كل واحدة توافق تحويل تناظر.

مثال :

ليكن التابعان  $f_1(x, y) = x$  و  $f_2(x, y) = y$  فإذا أتبعنا الإحداثيات بدوران

بزوايسة  $\alpha$  فيتغير التابع  $f_1$  إلى  $f_1 c(\alpha)$  و  $f_2$  إلى  $f_2 c(\alpha)$  . وتتغير الإحداثيات تحت الدوران كما يلي :

$$x' = x \cos \alpha + y \sin \alpha \quad (9-11)$$

$$y' = -x \sin \alpha + y \cos \alpha$$

لكن مصفوفة الدوران

$$\begin{bmatrix} x' \\ y' \end{bmatrix} = \begin{bmatrix} \cos \alpha & \sin \alpha \\ -\sin \alpha & \cos \alpha \end{bmatrix} \begin{bmatrix} x \\ y \end{bmatrix} \quad (9-12)$$

لكن مقلوب المصفوفة  $\zeta^{-1}(\alpha)$  هي :

$$\zeta^{-1}(\alpha) = \begin{bmatrix} \cos \alpha & -\sin \alpha \\ \sin \alpha & \cos \alpha \end{bmatrix} \quad (9-13)$$

وفعل العملية على التابعين  $f_1$  و  $f_2$  هو كما في العلاقة :

$$c(\alpha)(f_1, f_2) = (f_1, f_2) \begin{bmatrix} \cos \alpha & \sin \alpha \\ -\sin \alpha & \cos \alpha \end{bmatrix} \quad (9-14)$$

إذاً وجدنا المصفوفة  $D\{c(\alpha)\}$  والتي ترجع تأثير التحويلة على التابعين وتعرف كتمثيل للتحويلة .

لنعمم الآن : إذا كان لدينا  $n$  تابع يكون تأثير المؤثر  $r$  على هذه التوابع معطى بـ :

$$r(f_1, f_2, \dots, f_n) = (f_1, f_2, \dots, f_n) D(R) \quad (9-15)$$

حيث  $D$  مصفوفة بـ  $n$  سطر و  $n$  عامود وحسب قواعد ضرب المصفوفات يمكن أن نوجد تأثير  $r$  على أحد هذه التوابع  $f_m$

$$r f_{im} = \sum_l f_l D(R)_{lm} \quad (٩-١٦)$$

لنرى الآن فعلي العمليتين R و S على أحد التوايع  $f_l$  والمفعول هو تغيير هذا التابع  $f_l$  إلى  $(sr f_l)$  وسيكون  $D(R)$  و  $D(S)$  مصفوفات التمثيل لـ R و S وبالاستعانة بالعلاقة 16 نجد :

$$sr f_i = s \sum_l f_l D(R)_{li} = \sum_{l,m} f_m D(S)_{ml} D(R)_{li} \quad (٩-١٧)$$

التركيب  $D_{ml} D_{li}$  المجموع على l يكون قاعدة لضرب المصفوفات وهكذا يمكن أن نكتب :

$$sr f_i = \sum_m f_m \{ D(S) D(R) \}_{mi} \quad (٩-١٨)$$

ونعلم من خواص الزمر أن sr هو نفسه تحويل تناظر والمعادلة 18 يمكن كتابتها :

$$sr f_i = \sum_m f_m D(SR)_{mi} \quad (٩-١٩)$$

نستخلص من هذا أن :

$$D(SR)_{mi} = \sum_l D(S)_{ml} D(R)_{li} = \{ D(S) D(R) \}_{mi} \quad (٩-٢٠)$$

أو :

$$D(SR) = D(S) D(R) \quad (٩-٢١)$$

أي إن جداء تمثيل الزمر يتم بنفس الطريقة لجداء تحويلات التناظر .

تعريف الاومومورفيس Homomorphous :

إذا كان  $g_i$  عنصر من الزمرة G و  $g'_i$  عنصر من الزمرة G' بحيث  $g_i g_k = g_k$

و  $g'_i \cdot g'_j = g'_k$  عندها يقال عن الزمرتين أنهما أوموموفيتين . .

عندما يكون لدينا مجموعة من تحويلات التناظر  $R, S, \dots$  تشكل زمرة ومطابقة للتمثيلات  $D(R), D(S), \dots$  والتي تخضع كما تدل المعادلة ( ٩ - ٢١ ) لجداء الزمر ذاته عندئذ تشكل مجموعة التمثيلات زمرة تكون أومورفيس مع زمرة تحويلات التناظر .

تعرف زمرة التمثيلات بـ تمثيل لزمرة التناظر .

— هذه المصفوفات تتطلب تمثيل خاص للزمرة يعتمد على توابع  $f_1, f_2, \dots$  و  $f'_1, f'_2, \dots$  ترتبط بالعلاقة التالية :

$$f'_m = \sum_{n=1}^N f_n M_{nm} \quad m = 1, 2, \dots, N$$

أو :

$$(f'_1, f'_2, \dots, f'_n) = (f_1, f_2, \dots, f_n) M \quad (٩ - ٢٢)$$

حيث  $M$  مصفوفة التحويلة لـ  $M_{nm}$  والطريق الأقصر في الكتابة :

$$f' = (f) M \quad (٩ - ٢٣)$$

إذا طبقاً لتحويلة التناظر  $R$  وجدنا التمثيل  $D(R)$  مع الحفاظ على التوابع  $f_i$  والتمثيل  $D'(R)$  مع مراعاة التوابع  $f'_i$  بحيث :

$$r(f) = (f) \cdot D(R)$$

و :

$$r(f') = (f') D'(R) \quad (٩ - ٢٤)$$

عندئذ نعوض ٢٣ ومقلوبها :

$$M M^{-1} = 1 \quad \text{حيث} \quad (f') M^{-1} = (f) \quad (٩ - ٢٥)$$

ومن ( ٢٤ - ٩ ) :

$$r(f') M^{-1} = (f') M^{-1} D(R) \quad (٢٦ - ٩)$$

بضرب طرفي العلاقة من اليمين بـ  $M$  نحصل على :

$$r(f') = (f') M^{-1} D(R) M \quad (٢٧ - ٩)$$

بمقارنة العلاقة ( ٢٧ - ٩ ) والعلاقة الثانية في ( ٢٤ - ٩ ) نجد أن :

$$D'(R) = M^{-1} D(R) M \quad (٢٨ - ٩)$$

والمعروفة بعلاقة المشابهة Similaity .

**مثال :**

ليكن  $f_1$  و  $f_2$  ولتكن عملية الدوران بزاوية  $\alpha$  حول المحور  $z$  والذي يقود إلى التمثيل  $D\{c(\alpha)\}$  في العلاقة 14 ولنختار التابعين

$$f^+ = f_1 + i f_2$$

$$f^- = f_1 - i f_2$$

نحصل على التمثيلات المختلفة لنفس العملية عن طريق إيجاد معادلة المصفوفة التي تربط  $f^+$  بـ  $f_1$  و  $f_2$  وهي :

$$(f^+, f^-) = (f_1, f_2) \begin{bmatrix} 1 & 1 \\ i & -i \end{bmatrix} \quad (٢٩ - ٩)$$

أي أن :

$$M^{-1} = \frac{1}{2} \begin{bmatrix} 1 & -i \\ 1 & i \end{bmatrix}, \quad M = \begin{bmatrix} 1 & 1 \\ i & -i \end{bmatrix} \quad (٣٠-٩)$$

ومن المعادلة ( ٢٨ - ٩ ) يكون التمثيل في القاعدة  $f^+$  هو :

$$\begin{aligned}
 D' \{c(\alpha)\} &= \frac{1}{2} \begin{bmatrix} 1 & -i \\ 1 & i \end{bmatrix} \begin{bmatrix} \cos \alpha & \sin \alpha \\ -\sin \alpha & \cos \alpha \end{bmatrix} \begin{bmatrix} 1 & 1 \\ i & -i \end{bmatrix} \\
 &= \frac{1}{2} \begin{bmatrix} \cos \alpha + i \sin \alpha & 0 \\ 0 & \cos \alpha - i \sin \alpha \end{bmatrix} \\
 &= \begin{bmatrix} e^{i\alpha} & 0 \\ 0 & e^{-i\alpha} \end{bmatrix} \quad (9 - 31)
 \end{aligned}$$

بهذه الطريقة جعلنا التمثيل  $D(R)$  قطري diagonal أي هنالك عناصر قطرية فقط .

تعريف الترافق Conjugate : إذا كان  $g_i$  و  $g_j$  عنصران من الزمرة  $G$  وإذا وجد عنصر  $g_k$  من  $G$  بحيث  $g_i = g_k^{-1} g_j g_k$  عندها يقال عن العنصران  $g_i$  و  $g_j$  مترافقان ومن السهل رؤية تعلق هذا بشرط التشابهية Similarity لذلك يمكن أن نأخذ تمثيل خاص لزمرة ونتحقق بأن شرط الترافق محقق إذا وجد عنصر من الزمرة  $g_k$  بحيث :

$$D(g_i) = D(g_k)^{-1} D(g_j) D(g_k) \quad (9 - 32)$$

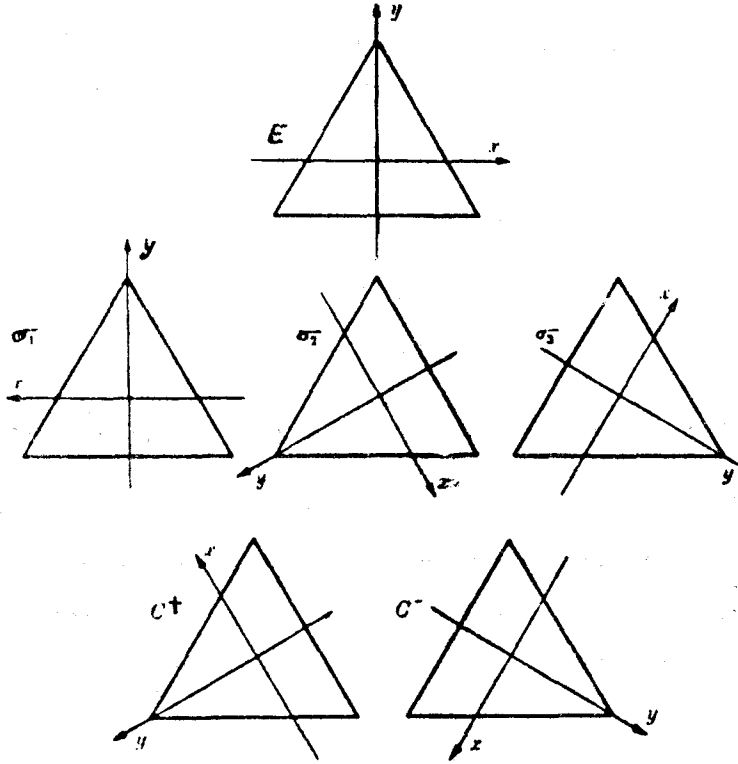
إذا قارنا هذه العلاقة مع المعادلة ( 9 - 28 ) و ( 9 - 29 ) نرى بأن ترافق تمثيلين يؤدي إلى أنهما يطابقان نفس العملية للزمرة ، لكن تشكل باحترام للمحاور التي تربط الأصل بتحويلة التناظر .

مثال :

زمرة التناظر التي تترك مثلث متساوي الأضلاع لا متغير invariant الشكل ( 9 - 3 ) يبين تحويلات التناظر لهذه المجموعة وهي  $E$  تحويلة المطابقة .

ثلاث إنعكاسات عبر مستويات تقطع زوايا المثلث  $(\sigma_1, \sigma_2, \sigma_3)$  . ودورانات حول مبدأ الإحداثيات : دوران عكس عقارب الساعة بزاوية  $120^\circ$  و دوران مع عقارب الساعة بزاوية  $120^\circ$  - وهو مكافئ لدوران بعكس عقارب الساعة بزاوية  $240^\circ$  .





The symmetry transformations in the group  $C_{3v}$ .

شكل ( ٩ - ٣ )

نرمز لهذه الزمرة بـ  $C_{3v}$  وعناصرها ستة . وهذه الزمرة تحتوي عمليات لثلاثة أنواع فيزيائية مميزة ؛ المطابقة والإنعكاس والدوران .

يمكن لعناصر الزمرة أن تقسم إلى ثلاث صفوف . ومن الشكلين ( ٩ - ٣ ) و ( ٩ - ٤ ) نرى أن  $C^+$  و  $C^-$  مترافقان .

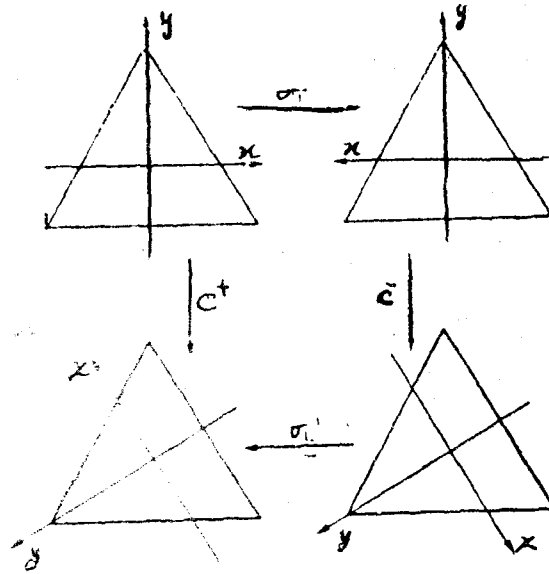
كما أن الجداء  $\sigma_1 C^+ \sigma_1^{-1}$  هو عنصر من الزمرة ( حسب تعريف الزمرة ) .

سؤال :

هل عناصر الإنعكاس مترافقة إثنان إثنان .

الحل :

طبعاً أما عناصر الإنعكاس والدوران فهي غير مترافقة .



The conjugacy of  $C_3$  and  $C_3^+$ .

شكل ( ٩ - ٤ )

لنوجد الآن التمثيل . لذلك نختار ثلاث توابع كقاعدة  $f_1 = x$  ,  $f_2 = y$  و  $f_3 = z$  ويمكن أن نربط  $x, y, z$  بـ  $r$  :

$$\frac{x}{r} = \sin \theta \cdot \cos \Phi$$

$$\frac{y}{r} = \sin \theta \sin \Phi \quad \text{و} \quad z / r = \cos \theta$$

تحت تأثير العناصر الستة للزمرة  $c_{3v}$  وبالعودة إلى الشكل (3, 5) من السهل إيجاد الجدول ( ٩ - ١ ) الذي يبين كيف تتغير التوابع عند خضوعها لتحويلات التناظر :

	$f_1$	$f_2$	$f_3$
E	$f_1$	$f_2$	$f_3$
$\sigma_1$	$-f_1$	$f_2$	$f_3$

$\sigma_2$	$\frac{1}{2} f_1 - \frac{1}{2} (\sqrt{3}/2) f_2$	$-\frac{1}{2} \sqrt{3} f_1 - \frac{1}{2} f_2$	$f_3$
$\sigma_3$	$\frac{1}{2} f_2 + \frac{1}{2} \sqrt{3} f_2$	$\frac{1}{2} \sqrt{3} f_1 - \frac{1}{2} f_2$	$f_3$
$c^+$	$-\frac{1}{2} f_1 - \frac{1}{2} \sqrt{3} f_2$	$(\sqrt{3}/2) f_1 - \frac{1}{2} f_2$	$f_3$
$c^-$	$-\frac{1}{2} f_1 + \frac{1}{2} \sqrt{3} f_2$	$-\frac{1}{2} \sqrt{3} f_1 - \frac{1}{2} f_2$	$f_3$

---

جدول ( ٩ - ١ )

حصلنا على السطرين الأخيرين في الجدول بالاعتماد على العلاقة ( ٩ - ١٤ )  
والعلاقة ( ٩ - ١٣ ) تسمح لنا بإيجاد التمثيل مثلاً تمثيل  $\sigma_1$  يجب أن تتحقق علاقة  
المصفوفة :

$$(-f_1, f_2, f_3) = (f_1, f_2, f_3) D(\sigma_1) \quad (٩ - ٣٣)$$

وبالتالي فإن :

$$D(\sigma_1) = \begin{bmatrix} -1 & 0 & 0 \\ 0 & 1 & 0 \\ 0 & 0 & 1 \end{bmatrix} \quad (٩ - ٣٤)$$

ومنه :

$$D(E) = \begin{bmatrix} 1 & 0 & 0 \\ 0 & 1 & 0 \\ 0 & 0 & 1 \end{bmatrix} \quad (٩ - ٣٥)$$

$$D(\sigma_1) = \begin{bmatrix} -1 & 0 & 0 \\ 0 & 1 & 0 \\ 0 & 0 & 1 \end{bmatrix}, \quad D(\sigma_2) = \begin{bmatrix} \frac{1}{2} & -\frac{1}{2}\sqrt{3} & 0 \\ -\frac{1}{2}\sqrt{3} & -\frac{1}{2} & 0 \\ 0 & 0 & 1 \end{bmatrix}$$

$$D(\sigma_3) = \begin{bmatrix} \frac{1}{2} & \frac{1}{2}\sqrt{3} & 0 \\ \frac{1}{2}\sqrt{3} & -\frac{1}{2} & 0 \\ 0 & 0 & 1 \end{bmatrix} \quad (36-9)$$

$$D(c^+) = \begin{bmatrix} -\frac{1}{2} & \frac{1}{2}\sqrt{3} & 0 \\ -\frac{1}{2}\sqrt{3} & -\frac{1}{2} & 0 \\ 0 & 0 & 1 \end{bmatrix}, \quad D(c^-) = \begin{bmatrix} -\frac{1}{2} & -\frac{1}{2}\sqrt{3} & 0 \\ \frac{1}{2}\sqrt{3} & -\frac{1}{2} & 0 \\ 0 & 0 & 1 \end{bmatrix} \quad (37-9)$$

من هذه المصفوفات أو حتى من الجدول (5, 1) فالتابع  $f_3$  لا يمزج أبداً مع التتابع الأخرى وذلك بأي تحويل تناظر وكتيجة فالتمثيل يمكن أن يوضع كما يلي :

$$D(R) = \begin{bmatrix} \begin{bmatrix} D^{(1)}(R) \\ \text{لأجل } f_1, f_2 \end{bmatrix} & \begin{bmatrix} 0 \\ 0 \end{bmatrix} \\ 0 & \begin{bmatrix} D^{(1)}(R) \\ \text{لأجل } f_3 \end{bmatrix} \end{bmatrix} \quad (38-9)$$

كتيجة يمكن فصل  $f_3$  عن التابعين الآخرين وكتابة سطر الشعاع الذي يخصهما. مثال المعادلة (9-33)  $S(f_1, f_2, f_3)$  والتمثيل الذي نشاهده في العلاقة (9-38) يدعى بالجمع المباشر للتمثيل  $D^{(1)}$ ,  $D^{(2)}$  المحمولين على القاعدتين  $(f_1, f_2)$ ,  $f_3$  على التوالي.

التمثيلات الناتجة بأحد القاعدتين  $(f_1, f_2)$  أو  $f_3$  يمكن إيجادها من العلاقات (37-35) وتكتب بصورة منفصلة كما في الجدول (9-2)

	E	$\sigma_1$	$\sigma_3$	$c^+$	$c^-$
$f_3$	1	1	1	1	1

$$(f_1, f_2) \begin{bmatrix} 1 & 0 \\ 0 & 1 \end{bmatrix} \begin{bmatrix} -1 & 0 \\ 0 & 1 \end{bmatrix} \begin{bmatrix} 1/2 & -1/2\sqrt{3} \\ 1/2\sqrt{3} & -1/2 \end{bmatrix} \begin{bmatrix} -1/2 & 1/2\sqrt{3} \\ -1/2\sqrt{3} & -1/2 \end{bmatrix} \begin{bmatrix} -1/2 & -1/2\sqrt{3} \\ \sqrt{3}/2 & -1/2 \end{bmatrix}$$

جدول ( ٩ - ٢ ) تمثيلان غير قابلة للإرجاع ( للاختزال ) محمولة على التوابع  $f_1, f_2$  و  $f_3$  في الزمرة  $c_{3v}$  .

في البداية أخذنا التمثيل محمول على ثلاثة توابع  $f_1, f_2, f_3$  أي مصفوفات  $(3 \times 3)$  وأن هذه التمثيلات يمكن أن ترجع ( تختزل ) إلى تمثيلات بمصفوفات  $(2 \times 2)$  ومصفوفات أحادية البعد في الزمرة  $c_{3v}$  .

لا يمكن للمصفوفات ثنائية البعد أن تختزل ( ترجع ) إلى مصفوفة إحادية البعد وذلك باختيار مناسب لتكوين خطي من  $f_1$  و  $f_2$  يؤدي إلى مصفوفة قطرية لكل تمثيل ويمكن القول بأن التوابع  $f_1, f_2, f_3$  تحمل تمثيلان غير قابلان للإرجاع .

### ٩ - ٣ - نظرية التعامد العظمى : The great orthogonality theorem

لن نتطرق لبرهانها وإنما يعبر عنها بالعلاقة التالية :

$$\sum_R D^i(R)^*_{mn} D^j(R)_{m'n'} = (h/l_i) \delta_{ij} \delta_{mm'} \delta_{nn'} \quad (٩ - ٣٩)$$

حيث  $h$  عدد عناصر الزمرة أو رتبها و  $D^i(R)$  تمثيل للعملية  $R$  ندعوه بـ  $\Gamma^i$  عناصر المصفوفة  $D^i(R)_{mn}$  بعد هذا التمثيل  $l_i$  .

لنطبق على تمثيلات الزمرة  $c_{3v}$  المحمولة على التوابع  $f_1, f_2$  و  $f_3$  والمعطاة بالجدول ( ٥. ٢ ) .

إذا كان  $\Gamma^i$  تمثيل إحادي البعد عندئذ  $l_i = 1, h = 6$  (عناصر الزمرة) وبتطبيق العلاقة ( ٩ - ٣٩ ) نجد :

$$\sum_R D^i(R) D^i(R) = 1 + 1 + 1 + 1 + 1 + 1 = 6/1 = 6 \quad (٩ - ٤٠)$$

أما إذا أخذنا التمثيل ثنائي البعد كمثال آخر فالمجموع :

$$\sum_{\mathbf{R}} D^{\mathbf{I}}(\mathbf{R})_{12} D^{\mathbf{I}}(\mathbf{R})_{11} = 0.1 + 0 \times (-1) + (-\sqrt{3}/2)(1/2) + (\sqrt{3}/2) \cdot 1/2 +$$

$$(\sqrt{3}/2)(-1/2) + (-1/2)(-\sqrt{3}/2) = 0 \quad (9 - 41)$$

#### ٩ - ٤ - الخواص Characters :

لأسباب عديدة ليس من الضروري أن نعرف بصورة واضحة تركيب التمثيلات لذلك فهناك كمية تحمل أغلب المعلومات المفيدة التي تحويها التمثيلات تسمى بخواص العملية وتعرف خواص عملية بأنها أثر التمثيل (مجموع العناصر القطرية في المصفوفة) للعملية.

سندعو أثر مصفوفة  $D(\mathbf{R})$  بالخواص  $\chi(\mathbf{R})$ . وتأتي أهمية الخواص من كونها لامتغيرة تحت تأثير تحويل التشابهية.

خواص العمليات التي تشكل صف تكون نفسها صف. ويمكن البرهان على لاتغير الخواص كما يلي :

$$\chi(\mathbf{R}) = \sum_m D(\mathbf{R})_{mm} \quad (9 - 42)$$

ولنأخذ خواص عملية أخرى  $S$  ترتبط بـ  $R$  بتحويلة التشابه :

$$\chi(S) = \sum_m D(S)_{mm} \quad (9 - 43)$$

$$D(S) = M^{-1} D(R) M \quad (9 - 44)$$

حيث  $M$  هي مصفوفة تحقق

$$f_{mn} = (M M^{-1})_{mn} \quad , \quad M M^{-1} = M^{-1} M = I$$

وحسب قواعد ضرب المصفوفات :

$$\chi(S) = \sum_m \sum_n \sum_l (M^{-1})_{mn} D(R)_{nl} M_{lm} \quad (٩ - ٤٥)$$

لكن عناصر المصفوفات في هذه الحالة مرقمة بسهولة وبالتالي فهي متبادلة . عناصر المصفوفة  $M$  والمصفوفة  $M^{-1}$  يمكن أن تحمل سوية والمجموع سيكون على  $m$  :

$$\begin{aligned} \chi(S) &= \sum_m \sum_n \sum_l M_{lm} (M^{-1})_{mn} D(R)_{nl} = \sum_n \sum_l \delta_{ln} D(R)_{nl} \\ &= \sum_n D(R)_{nn} = \chi(R) \end{aligned} \quad (٩ - ٤٦)$$

أي أن خواص العمليات المرتبة بتحويلة مشابهة تكون نفسها . ويرمز للأثر بـ  $\text{Tr}$

$$\text{Tr } M \equiv \sum_n M_{nn} \quad (٩ - ٤٧)$$

ومن خواص الأثر أيضاً :

$$\text{Tr } A.B.C = \text{Tr } C.A.B = \text{Tr } B.C.A = \text{Tr } (A.B.C) \quad (٩ - ٤٨)$$

وبرهان هذه العلاقة قائم على كون عناصر المصفوفة متبادلة وبالتالي :

$$\begin{aligned} \text{Tr } A B C &= \sum_l \sum_m \sum_n A_{lm} B_{mn} C_{nl} = \sum_l \sum_m \sum_n c_{nl} A_{lm} B_{mn} = \\ &= \text{Tr } C A B \end{aligned} \quad (٩ - ٤٩)$$

يمكن أن نستخدم نظرية التعامد العظمى لإيجاد تعامد الخواص . من المعادلة 39 نضع  $m' = n'$  ,  $m = n$  عندئذ فالجـمـوع على  $m'$  ,  $m$  فنحصل على :

$$\sum_m \sum_{m'} \sum_R D^i(R)^*_{mm} D^j(R)_{m'm'} = \sum_m \sum_{m'} \delta_{ij} \delta_{m'm'} (h/I_i) \quad (٥٠-٩)$$

يعبر طرف اليسار مباشرة عن مجموع جداء الخواص. وطرف اليمين عن مجموع متناسب مع المجموع على  $\delta_{mm'}$  وبما أن  $\delta_{mm} = 1$  إذا كان  $m = m'$  وفي التمثيل ذو البعد  $I_i$  يوجد  $I_i$  قيمة لـ  $m$  فالمعادلة (٩ - ٥٠) تكتب :

$$\sum_R \chi^i(R)^* \chi^j(R) = h \delta_{ij} \quad (٩ - ٥١)$$

هذه المعادلة المهمة ، وحيث المجموع على كل عمليات الزمرة ، يمكن أن تبسط أكثر إذا وضعنا العلاقة (٩ - ٤٦) .. فخواص كل العمليات التي تشكل صف تكون واحدة ، وحتى نتمكن من إدخال عدد من المرات لعملية تدخل في صف  $N(R)$  عندئذ المجموع على الصفوف :

$$\sum_{C(R)} \chi^i\{C(R)\}^* \chi^j\{C(R)\} N(R) = h \delta_{ij} \quad (٩ - ٥٢)$$

حيث  $C(R)$  تمثل صف خاص للعمليات .

بما أن  $i$  هي دليل التمثيلات للزمرة ينتج أن عدد التمثيلات لا يتجاوز عدد الصفوف ومنه نجد القيمة المهمة .

(٩ - ٥٣) عدد التمثيلات غير القابلة للإرجاع للزمرة = عدد الصفوف في الزمرة وأيضاً :

$$\sum_i I_i^2 = h \quad (٩ - ٥٤)$$

كمثال على ما سبق نأخذ الزمرة  $C_{3v}$  ونرى إذا كان هناك تمثيلات أخرى غير قابلة للإرجاع لهذه الزمرة غير تلك التي وجدت سابقاً . لذلك يجب بناء جداول الخواص



للعمليات وللتمثيلين غير القابلين للإختزال .

ومن المؤكد ، أنه عند عمل الجمع على العناصر القطرية في التمثيلات ، أن الخواص لكل العناصر ( الأعضاء ) لصف معطى تكون نفسها .

نرمز بـ  $A_1$  للتمثيلات أحادية البعد و  $E$  التمثيلات ثنائية البعد ويكون جدول الخواص للزمرة  $C_{3v}$  كما في الجدول التالي ( ٩ - ٣ ) .

رمز التمثيل	صف العنصر		
	E	$3\sigma$	$3C_3$ القاعدة المختارة
$A_1$	1	1	1 $f = z$
E	2	0	-1 $f = x, y$

جدول ( ٩ - ٣ ) جزء من جدول خواص الزمرة  $C_{3v}$

نلاحظ في هذا الجدول بأن العناصر قسمت إلى صفوف بحيث يشار لعدد العناصر في الصف برمز العمود Column label  $C_n$  تمثل دوران بزاوية  $2\pi/n$  راديان .

الجدول السابق غير كامل وحسب العلاقة ( ٩ - ٥٣ ) يوجد ثلاثة تمثيلات غير قابلة للإختزال وكذلك هناك ثلاثة صفوف .

إذا كان  $I_3$  هو بعد هذا التمثيل فحسب العلاقة 54 نجد :

$$1^2 + 2^2 + I_3^2 = 6$$

وبالتالي  $I_3 = 1$  أي أن التمثيل الناقص أحادي البعد . ويمكن الحصول على خواص التمثيل الناقص بتطبيق العلاقة ( ٩ - ٥٢ ) لذلك نحتاج لثلاث معادلات لمعرفة ثلاثة خواص فإذا كان  $\chi^{(3)}$  هي الخواص المطلوب فعندئذ .

$$i = j \quad \chi^{(3)}(E)^2 + 3 \chi^{(3)}(3\sigma)^2 + 2 \chi^{(3)}(2C_3) = 6$$

$$1.\chi^{(3)}(E) + 3.1.\chi^{(3)}(3\sigma) + 2.1.\chi^{(3)}(2C_3) = 0$$

$i \neq j$  من أجل أحادي البعد  $A_1$  ثنائي البعد E

$$2 \chi^{(3)}(E) + 3.0 \cdot \chi^{(3)}(3\sigma) - 2.1 \chi^{(3)}(2 C_2) = 0$$

( ٩ - ٥٥ )

بحل المعادلات الثلاث نجد :

$$\chi^{(3)}(2 C_2) = 1 \quad \text{و} \quad \chi^{(3)}(3\sigma) = -1 \quad \text{و} \quad \chi^{(3)}(E) = 1$$

	E	3 σ	2 C <sub>2</sub>
A <sub>1</sub>	1	-1	1

ويستطيع القارئ أن يبرهن على أن التابع  $3x^2 - y^3$  هو قاعدة مناسبة لهذا التمثيل .

#### ٩ - ٥ - إرجاع التمثيلات The reduction of a representation :

من الممكن أن نرتب التراجع كحدود للتمثيلات غير القابلة للإرجاع المشكلة لزمرة تحويلات التناظر لمجموعة. وهذا تعميم لتمائل التوابع وحتى الآن لم يتم كيف نحدد التمثيلات غير القابلة للإرجاع القائمة على تابع إختياري .

في بداية هذا الفصل رتبنا التوابع فردية أو زوجية وذلك عندما نعوض بـ  $-x$  وأي تابع عندئذ يقسم إلى تابع فردي وتابع زوجي .

$$F(x) = \frac{1}{2} \{ F(x) + F(-x) \} + \frac{1}{2} \{ F(x) - F(-x) \} = g(x) + f(x)$$

ولنبحث عن التحليل المشابه في الحالة العامة :

إذا كان لدينا مجموعة من التوابع تحول بطريقة شرحت سابقاً لتشكيل زمرة عناصرها تمثيلات  $D(R)$  فسؤالنا هو لتحديد كيفية إرجاع زمرة التمثيلات أو تمثيل الزمرة في الشكل القطري ، والتحويلة التي تؤدي هذا الغرض هي تحويلة التشابه ( المشابهة ) وقد رأينا بأن هذه تجعل أثر التمثيلات لا متغير .. إلا أن خواص العملية سيكون نفسه بعد التقطير ( جعل المصفوفة قطرية ) كما كان قبل ذلك ، وبهذا يمكن أن نكتبه كمجموع لخواص التمثيلات غير القابلة للأرجاع التي نبحث عن إرجاعها أي :

$$\chi(R) = \sum_i a_i \chi^i(R) \quad (9 - 56)$$

$a_i$  هي معاملات الخواص التمثيل غير القابلة للإرجاع الذي نبحث عنه . ويتم الحصول عليها بسهولة باستخدام علاقة التعمد للخواص : لنضرب طرفي العلاقة 56 بـ  $\chi^i(R)^*$  وبالجمع على كل عناصر الزمرة ككل :

$$\begin{aligned} \sum_R \chi^j(R)^* \chi(R) &= \sum_R \sum_i \chi^j(R)^* \chi^i(R) a_i \\ &= \sum_i h \delta_{ij} a_i = h a_j \end{aligned} \quad (9 - 57)$$

وبالتالي فإن  $a_i$  تعطى بـ :

$$a_j = h^{-1} \sum_R \chi^j(R)^* \chi(R) \quad (9 - 58)$$

يمكن أن تعبر هذه القاعدة عن جمع على الصفوف وتطبق غالباً بالبحث . في الزمرة  $C_{3v}$  تكون الخواص للصفوف الثلاث 3.1.0 على الترتيب  $C_3, \sigma, E$  . وعندئذ يمكن أن نستخلص بتفحص الجدول (5,3) بأن التمثيلات غير القابلة للإرجاع هي  $E + A_1$  .

#### ٩ - ٦ - تحديد القواعد للتمثيل :

##### The determination of a basis for a representation

لنحدد التركيب لمجموعة من توابع معطية تعطي تمثيل خاص غير قابل للإرجاع . في البداية لتكن التوابع  $f_1^i, f_2^i, \dots, f_n^i$  قواعد للتمثيل ذو البعد  $l_i$  ( $\Gamma^i$ ) ولزمرة مرتبتها  $h$  . وليكن  $r$  مؤثر يعطى تأثيره بالعلاقة :

$$r(f_1^i, f_2^i, \dots, f_n^i) = (f_1^i, f_2^i, \dots, f_n^i) D^i(R) \quad (9 - 59)$$

يميز كل تابع بدليلين واحد يعود للتمثيل والآخر لوضعه في شعاع السطر . ولنرى

تأثير  $r$  على أحد التوابع

$$r f_n^i = \sum_m f_m^i D^i(R)_{mn} \quad (9 - 60)$$

لنضرب طرفي العلاقة بـ  $D^j(R)_{m'n'}$  ولنجمع على كل عناصر  $R$ .

$$\begin{aligned} \sum_R D^j(R)_{m'n'}^* r f_n^i &= \sum_R \sum_m f_m^i D^j(R)_{m'n'}^* D^i(R)_{mn} \\ &= \sum_m (h/l_i) f_m^i \delta_{m'n'} \delta_{ij} \quad (9 - 61) \\ &= (h/l_i) f_m^i \delta_{nn'} \delta_{ij} \end{aligned}$$

ولندخل مؤثر الإسقاط :

$$P_{m'n'}^i \equiv (l_i/h) \sum_R D^j(R)_{m'n'}^* r \quad (9 - 62)$$

والمعادلة السابقة تصبح :

$$P_{mn}^i f_n^i = f_m^i \delta_{nn'} \delta_{ij} \quad (9 - 63)$$

إذا كان  $n = m'$  و  $j = i$  فإن

$$P_{mn}^i f_n^i = f_m^i \quad (9 - 64)$$

إن فعل مؤثر الإسقاط يكون بأن يولد من تابع في الوضعية  $n$  داخل شعاع السطر تابع في الوضعية  $m$ . أي إذا علمنا واحد من توابع القاعدة لتمثيل فيمكننا أن نولد الباقي  $1 - l_1$ . عندما تكون  $m = n$  و  $j = i$  في المعادلة (9 - 63) نجد مفعول مؤثر الأسقاط :

$$P_{mm}^i f_n^i = f_m^i \delta_{nn} \quad (9 - 65)$$

ليكن التابع  $F$  ونريد تحديد المركبة في الوضعية  $n$  لشعاع السطار المحمول على التمثيل  $\Gamma^i$  للزمرة . لذلك سنفرض أن  $F$  يكتب كمجموع توابع هي قاعدة لكل التمثيلات غير القابلة لارجاع للزمرة :

$$F = \sum_i \sum_{n=1}^{l_i} f_{i_n} \quad (٩-٦٦)$$

$$\begin{aligned} P_{j_{mm}} F &= \sum_i \sum_{n=1}^{l_i} P_{j_{mm}} f_{i_n} = \sum_i \sum_n f_{i_n} \delta_{ij} \delta_{nn} \\ &= f_{j_m} \quad (٩-٦٧) \end{aligned}$$

يمكن أن نوجد علاقة مؤثر الاسقاط كتابع لنواص . إذا كتبت العلاقة (٩-٦٧) بصورة كاملة وباستخدام تعريف مؤثر الأسقاط (علاقة ٩-٦٢) نحصل على النتيجة التالية :

إذا كان الجمع على  $m$  :

$$\sum_m f_{j_m} = (l_i | h) \sum_m \sum_R D^j(R)^*_{mm} r F \quad (٩-٦٨)$$

$$= (l_i | h) \sum_R \chi^j(R)^* r F$$

يمكن أن ندخل مؤثر جديد  $P$  له التأثير التالي على التابع  $F$  .

$$P^j F = \sum_m f_{j_m} \quad (٩-٦٩)$$

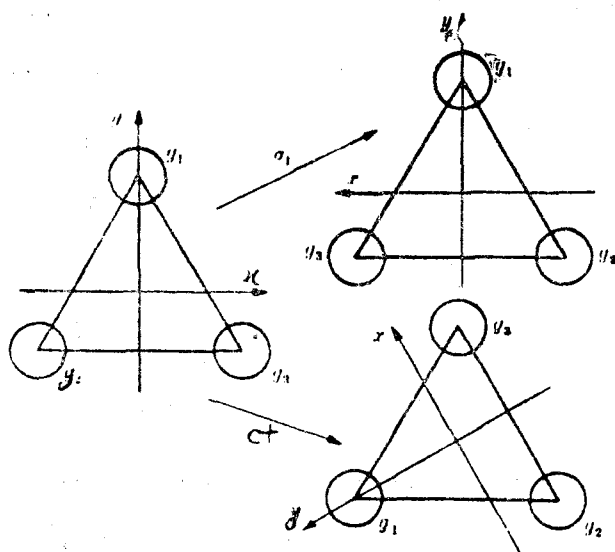
$$P = (l_i | h) \sum_R \chi^j(R)^* r \quad (٩-٧٠)$$

نفعول هذا المؤثر هو الاسقاط الخارجى لتابع عام هو مجموع لتتابع القاعدة المحمولة على التمثيل  $\Gamma^i$  . ليكن  $g_1, g_2, g_3$  ثلاثة توابع تمثل بثلاثة دوائر على رؤوس مثلث متساوي الأضلاع شكل (5,5) ويمكن أن تكون كمثال مدارات 1s للهيدروجين في الامونياك .

تمت العمليات المطابقة (E) ، الانعكاس ( $\sigma_1$ ) والدوران ( $C^+$ ) تصبح التتابع كما في الجدول ( ٩ - ٤ ) وكما في الشكل ( ٥ - ٩ ) :

	$g_1$	$g_2$	$g_3$
E	$g_1$	$g_2$	$g_3$
$\sigma_1$	$g_1$	$g_3$	$g_2$
$C^+$	$g_3$	$g_1$	$g_2$

جدول ( ٩ - ٤ )



The effect of the operation  $\sigma_1$ , E, and  $C^+$  on the labelling of the functions  $g_1, g_2$  and  $g_3$ .

شكل ( ٥ - ٩ )

من الضروري اعتبار عملية واحدة فقط لكل صف لذلك تمثيلها مع الخواص لتمثيل وهذه كما نعلم تكون ذاتها لكل أعضاء الصف . وحسب الجدول السابق يمكن أن نبني تمثيلات العمليات الثلاث المحمولة على القواعد  $(g_1, g_2, g_3)$  ومنه نحصل على المصفوفات التالية :

$$\begin{array}{ccc} D(E) & D(\sigma_1) & D(C^+) \\ \begin{bmatrix} 1 & 0 & 0 \\ 0 & 1 & 0 \\ 0 & 0 & 0 \end{bmatrix} & \begin{bmatrix} 1 & 0 & 0 \\ 0 & 0 & 1 \\ 0 & 1 & 0 \end{bmatrix} & \begin{bmatrix} 0 & 1 & 0 \\ 0 & 0 & 1 \\ 1 & 0 & 0 \end{bmatrix} \end{array}$$

وخواصها على التوالي :

وكقاعدة نجد بأن عدد الخواص مساوٍ لعدد التوابع اللامتغيرة تحت عملية جدول  $(9 - 4)$  يمكن أن نستخدم العلاقة  $(9 - 58)$  لتحديد التمثيلات غير القابلة للإرجاع المحمولة على التوابع الثلاثة . نستخدم جدول الخواص للزمرة  $C_{3v}$  جدول  $(5 - 3)$  والسطر الأخير في الجدول . فعدد المرات حيث ينتج التمثيل غير القابل للإرجاع  $A_1$  يعطى بالعلاقة  $(9 - 58)$  وهو :

$$(1/6)[1 \times 3 + 3 \times 1 \times 1 + 2 \times 1 \times 0] = 1$$

وعدد مرات  $A_2$  الناتجة :

$$(1/6)[1 \times 3 - 3 \times 1 \times 1 + 2 \times 1 \times 0] = 0$$

وعدد مرات  $E$  الناتجة :

$$(1/6)[2 \times 3 + 3 \times 0 \times 1 - 2 \times 0 \times 1] = 1$$

ملاحظة : الجمع على العناصر أو مرات الصفوف (عدد العناصر في كل صف) .  
التوابع عندئذ تحمل التمثيلات  $A_1 + E$  .

لتطبيق تقنية الإسقاط على حالتنا هذه يجب أن نغير المعادلتين  $(9 - 69)$  و  $(9 - 70)$  . إذا كان  $F = (g_1, g_2, g_3)$  فتقنية الإسقاط تعدل كما يلي :

$$r g_m = \sum_n g_n D(R)_{nm} \quad (٧١-٩)$$

نقرض بأن كل تابع  $g_m$  هو مجموع على القواعد  $f_l^i$  :

$$g_m = \sum_i \sum_l f_l^i$$

والمعادلة ( ٧١ - ٩ ) تصبح :

$$r g_m = \sum_i \sum_l \sum_n f_l^i D^i(R)_{ln} \quad (٧٢ - ٩)$$

إذا ضربنا بـ  $D^j(R)^*_{l'n'}$  وجمعنا على  $R$  فعلاقة التعامد العظمى تسمح لنا أن نكتب :

$$\begin{aligned} \sum_R D^j(R)^*_{l'n'} r g_m &= \sum_R \sum_i \sum_l \sum_n f_l^i D^j(R)^*_{l'n'} D^i(R)_{ln} \\ &= (h|l_i) f_{l'}^i \sum_n \delta_{nn'} \end{aligned} \quad (٧٣ - ٩)$$

إذا وضعنا  $n' = l'$  وجمعنا على  $n'$  :

$$\sum_{n'} \sum_R D^j(R)^*_{n'n'} r g_m = (h|l_i) \sum_{n'} \sum_n f_{n'}^j \delta_{nn'} \quad (٧٤ - ٩)$$

ومن ناحية أخرى .

$$\sum_R \chi^j(R)^* r g_m = (h|l_i) \sum_n f_n^j \quad (٧٥ - ٩)$$

وباستخدام مؤثر الإسقاط  $P^j$  نجد :

$$P^j g_m = \sum_n f_n^j \quad (٧٦ - ٩)$$



إذا أخذنا كل مركبة من  $F$  بدورها وطبقنا مؤثر الإسقاط المعطى بالعلاقة ( ٩ - ٧٠ ) سنولد مجموعة من توابع تكون قواعد للتمثيلات غير القابلة للإرجاع للزمرة . والطريقة واحدة سواء أكان  $F$  مجموعة توابع أو تابع واحد فقط .

لنطبق العلاقة ( ٩ - ٧٦ ) على لمثال  $(g_1, g_2, g_3)$  والجدول ( ٩ - ٤ ) سيكمل . لذلك لنوجد الآن بالمجموع على العناصر ومن السهل اشتقاق التحويلات المعطاة في الجدول ( ٩ - ٥ ) .

التابع المحمول على التمثيل أحادي البعد  $A_1$  يحصل عليه بسهولة بتطبيق العلاقة ( ٩ - ٧٦ ) . إذا طبقناه على التابع  $g_1$  يمكن أن نستخدم ( ٩ - ٧٠ ) والجدول ( ٩ - ٥ ) يعطي :

$$\begin{aligned} f(A_1) &= (1/6) g_1 + (1/6) g_1 + 1/6 g_2 + 1/6 g_3 + 1/6 g_3 + (1/6) / g_3 = \\ &= (1/3) (g_1 + g_2 + g_3) \end{aligned} \quad ( ٩ - ٧٧ )$$

حصلنا على هذه النتيجة بضرب كامل العمود تحت  $g_1$  في الجدول ( ٩ - ٥ ) بـ  $1/6$  (= بعد / مرتبة ) ، وهذا إشراف لمؤثر الإسقاط .

إذا طبقنا هذا على التابعان الآخرين فسنحصل على نفس النتيجة ونوجد تركيب التوابع المطلوبة لقواعد التمثيل غير القابلة للإرجاع  $A_1$  للزمرة .

$$f(A_1) = g_1 + g_2 + g_3 \quad ( ٩ - ٧٧ - أ )$$

نفس الطريقة نستخدمها لإيجاد قواعد التمثيل ثنائي البعد  $E$  وفي هذه الحالة سنتوقع جواب غامض لذلك نعرف بأن مؤثر الإسقاط سيختار فقط مجموع تابعي قاعدة ، عندما يطبق  $P(E)$  على كل تابع  $g_n$  وبالدور نحصل على :

$$\left. \begin{aligned} P(E) g_1 &= 1/3 (2 g_1 - g_2 - g_3) \\ P(E) g_2 &= 1/3 (2 g_2 - g_3 - g_1) \\ P(E) g_3 &= 1/3 (2 g_3 - g_1 - g_2) \end{aligned} \right\} \quad ( ٩ - ٧٨ )$$

	$g_1$	$g_2$	$g_3$
E	$g_1$	$g_2$	$g_3$
$\sigma_1$	$g_1$	$g_3$	$g_2$
$\sigma_2$	$g_2$	$g_1$	$g_3$
$\sigma_3$	$g_3$	$g_2$	$g_1$
$C^+$	$g_3$	$g_1$	$g_2$
$C^-$	$g_2$	$g_3$	$g_1$

جدول ( ٩ - ٥ )

مجموع هذه التوابع يكون صف وأي تابع يمكن التعبير عنه بدلالة التابعان الآخران والجملة غير مستقلة خطياً . ولمعرفة ذلك نبحت فقط عن تابعين ولإيجاد قاعدة التمثيل ثنائية البعد يمكن أن نختار  $1/3 (2g_1 - g_2 - g_3)$  كواحد من الزوج ، هذا التركيب متناظر بالنسبة لـ  $\sigma_1$  ( بسهولة يمكن التأكد من ذلك ) لهذه العملية التبديلية فقط  $g_3, g_2$  ويمكن أن نأخذ تركيب لتركيبين آخرين مع تغير الإشارة غير متناظر بالنسبة لـ  $\sigma_1$  .

مثل هذا التركيب :

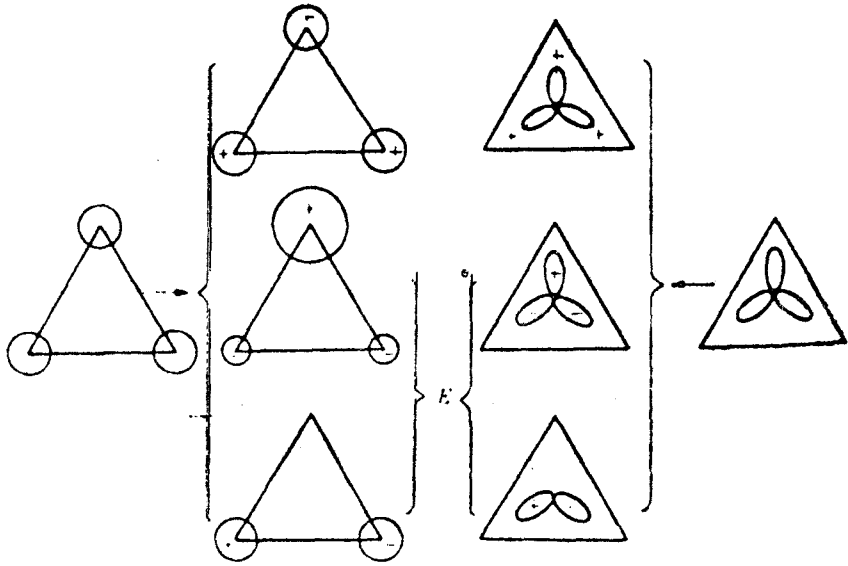
$$1/3 (2g_2 - g_3 - g_1) - 1/3 (2g_3 - g_1 - g_2) = g_2 - g_3$$

إذاً نحصل على تابعين هما قعدة للتمثيل غير القابل للإرجاع E :

$$\left. \begin{aligned} f_1(E) &= 2g_1 - g_2 - g_3 \\ f_2(E) &= g_2 - g_3 \end{aligned} \right\} \quad ( ٩ - ٧٩ )$$

الشكل التالي ( ٩ - ٦ ) : تركيب التوابع التي تكون قواعد للتمثيلات غير القابلة للإرجاع  $E, A_1$  للزمرة  $C_{3v}$  .

$f_{1,2}(E)$  و  $16f_3(A_1)$  يشكلا من مجموعتين مختلفتين من توابع القاعدة .



The combinations of functions that are bases for the irreducible representations  $A_1$  and  $E$  of the group  $C_{3v}$ , that is, the functions  $\psi(A_1)$  and  $\psi(E)$  formed from two different sets of basis functions.

### شكل ( ٩ - ٦ )

ملاحظة : إن التركيبين السابقين ليسا فقط الوحيدين لكن هذا خاضع لاختيار حساس .

### ٩ - ٧ - الجداء المباشر للزمر Direct product groups :

لنفرض أن  $E, g_2, g_3, \dots, g_h$  عناصر الزمرة  $G$  ذات الرتبة  $h$  و  $E', g'_2, g'_3, \dots, g'_h$  عناصر الزمرة  $G'$  ذات الرتبة  $h'$  حيث العنصر المشترك في الزمرتين هو  $E$  وعناصر الزمرتين متبادلة ( $g_i g'_j = g'_j g_i$ ) عندئذ جداء كل عنصر من  $G$  مع كل عنصر من  $G'$  هو عنصر من زمرة الجداء  $G'' = G G'$  يمكن أن نرى أن عناصر  $G''$  تشكل زمرة إذا تحققت الشروط السابقة لذلك نضرب كلا العنصرين مع بعضهما ونكتب :

$$(g_i g'_j)(g_k g'_l) = g_i g_k g'_j g'_l = g_m g'_n \quad ( ٩ - ٨٠ )$$

أيضاً جداء أي عنصرين من  $G''$  هو عنصر من  $G''$  ومرتبة  $G''$  هي  $h \cdot h'$  .

لنوجد تمثيل  $G''$  وكذلك خواصها . لذلك نفرض بأن مجموعة التوابع  $f_m$  و  $f'_n$  هي قاعدة للتمثيل الزمرتين  $G, G'$  لذلك يمكن أن نكتب :

$$g_i f_m = \sum_p f_p D(g_i)_{pm} \quad (٩ - ٨١)$$

$$g'_j f'_n = \sum_q f'_q D(g'_j)_{qn}$$

جداء مجموعة  $f'_n, f_m$  هو قاعدة للزمرة  $G''$  .

$$g_i g'_j f_m f'_n = \sum_p \sum_q f_p f'_q D_p(g_i)_{pm} D(g'_j)_{qn} \quad (٩ - ٨٢)$$

التمثيل للعنصر  $g_i g'_j$  في زمرة الجداء هو مصفوفة لها أربع خواص زمرة جداء .

$$\begin{aligned} \chi(g_i g'_j) &= \sum_m \sum_n D(g_i)_{mm} D(g'_j)_{nn} = \\ &= \chi(g_i) \chi(g'_j) \end{aligned} \quad (٩ - ٨٣)$$

مثال :

إذا رمزنا بـ  $\sigma_h$  الانعكاس بالنسبة لمستوى المثلث متساوي الأضلاع فإن  $\sigma_h$  و  $E$  يشكلان زمرة يرمز لها بـ  $C_s$  لها صفات من العمليات والجدول (٩ - ٦) يعطي جدول الخواص للزمرة  $C_s$  .

	E	$\sigma_h$
A'	1	1
A''	1	-1

جدول (٩ - ٦)

$A'$  و  $A''$  التمثيلان غير القابلان للإرجاع ، الأول يرمز لتناظر الزوجي تحت عملية الانعكاس والثاني للتناظر الفردي . الجداء المباشر لـ  $C_s$  .  $C_{3v}$  سيكون زمرة ذات مرتبة  $2 \times 6$  وسيكون هنالك ست صفوف وبالتالي ستة تمثيلات غير قابلة للإرجاع .

تشكل الصفوف الست كما يلي : كل واحد من الصفوف الثلاثة لـ  $C_{3v}$  سيضرب بالمطابقة والانعكاس في  $C_s$  ، فالأولى ستترك العمليات لامتغيرة بينما الثانية ستؤدي إلى عمليات جديدة . ف  $E \sigma_h = \sigma_h$  ،  $\sigma_h \sigma_h = \sigma_h$  ،  $\sigma_h \sigma_h = \sigma_h$  تكون مكافئة لثلاث دورانات مضاعفة حول منتصف زوايا رؤوس المثلث متساوي الأضلاع تدعى بـ  $C_2$  والعنصران  $C_3$  تدعى بدوران إنعكاس ويرمز به  $S_6$  . الزمرة الجديدة هي  $D_{3h}$  ونحصل على جدول خواصها بتطبيق العلاقة ( ٩ - ٨٣ ) نجد جدول ( ٩ - ٧ ) .

	E	$3 \sigma$	$3C_2$	$\sigma_h$	$3C_2$	$2S_6$
$A'_1$	1	1	1	1	1	1
$A''_1$	1	-1	1	-1	1	-1
$A'_2$	1	-1	1	1	-1	1
$A''_2$	1	-1	1	-1	1	-1
$E'$	2	0	-1	2	0	-1
$E''$	2	0	-1	-2	0	1

جدول ( ٩ - ٧ ) جدول خواص الزمرة  $D_{3h}$

ليكن  $\Gamma^i$  و  $\Gamma^j$  تمثيلان لزمرة قواعدهما هي  $f^i_m, f^j_n$  إذا كان  $i, j$  هو بعد التمثيل غير القابل للإرجاع  $\Gamma^i, \Gamma^j$  بعد التمثيل غير القابل للإرجاع  $\Gamma^i$  فتكون مجموعة  $i, j$  لجداء  $f^i_m, f^j_n$  هي قاعدة لتمثيل الزمرة ذات البعد  $i, j$  ويمكن أن نكتب :

$$r(f^i_m f^j_n) = \sum_p \sum_q f^i_p f^j_q D^i(R)_{pn} D^j(R)_{qn}$$

$$\equiv \sum_p \sum_q (f_p^i f_q^j) D(R)_{pqmn} \quad (٨٤ - ٩)$$

فخواص العملية في تمثيل الجداء سيعطى بـ

$$\chi(R) = \chi^i(R) \chi^j(R) \quad (٨٥ - ٩)$$

والتمثيل سيكون تمثيل في الزمرة الأصلية .. وبما أن  $\Gamma^i$  و  $\Gamma^j$  هما تمثيلان لنفس الزمرة ، إذا D يجب أن يكون تمثيل قابل للإرجاع والخواص  $\chi(R)$  يجب أن يكون قابل للتحليل :

$$\chi(R) = \chi^i(R) \chi^j(R) = \sum_R a_{ijk} \chi^k(R) \quad (٨٦ - ٩)$$

يمكن تحديد المعاملات بتطبيق شرط التعامد للخواص علاقة (٩ - ٥١)

$$a_{ijk} = \frac{1}{h} \sum_R \chi^i(R) \chi^j(R) \chi^k(R)^* \quad (٨٧ - ٩)$$

كمثال  $C_{3v}$  والتوابع  $x, y, z$  هي قواعد لتمثيلات غير قابلة للإرجاع  $A_1, E$  إن  $x, z$  هي :

قاعدة لتمثيل قابل للإرجاع للزمرة ويمكن أن نحدد التمثيلات غير القابلة للإرجاع والتي يمكن أن ترجع بتطبيق النظرية السابقة . يمكن أن نحسب خواص التمثيل القابل للإرجاع باستخدام العلاقة (٩ - ٨٥) والذي يعطي الجدول (٩ - ٨)

$R_i$	E	$\sigma$	$C_3$	توابع القاعدة
$\chi^{A_1}(R)$	1	1	1	z
$\chi^E(R)$	2	0	-1	x
$\chi(R) = \chi^{A_1}(R) \chi^E(R)$	2	0	-1	xz

جدول (٩ - ٨) الجداء المباشر  $A_1 \times E = E$  في الزمرة  $C_{3v}$  .

السطر الأخير هو نفس خواص E في الزمرة  $C_{3v}$  وبالتالي فإن XZ هو تابع قاعدة للتمثيل E في الزمرة  $C_{3v}$  أي أن  $A_1 \times E = E$  . وبطريقة مشابهة نوجد أن xy هو تابع قاعدة للتمثيلات غير القابلة للإرجاع  $A_1 + A_2 + E$  . والجدول ( ٩ - ٩ ) يعطي الجداء المباشر لـ  $E \times E$  في الزمرة  $C_{3v}$  حيث نرى أن :

$$E \times E = A_1 + A_2 + E$$

تركيب توابع القاعدة لكل تمثيل في هذا التحليل يمكن الحصول عليها من xy مؤثر الاسقاط :

تابع القاعدة	$C_3$	$\sigma$	E	R
x	-1	0	2	$\chi^E(R)$
y	-1	0	2	$\chi^E(R)$
xy	1	0	4	$\chi(R) = \chi^E(R) \chi^E(R)$
	1	0	4	$\chi^{(A_1)}(R) + \chi^{(A_2)}(R) + \chi^E(R)$

جدول ( ٩ - ٩ ) الجداء المباشر  $E \times E$  في الزمرة  $C_{3v}$

ولمزيد من التفاصيل راجع إحدى المراجع المتخصصة في دراسة الزمر .



## الفصل العاشر

### فصل حركة الإلكترونات والنوية

تعريف الطاقة الإلكترونية  $E_e$  والطاقة النووية (للأنوية)  $E_n$  .

١٠ - ١ - فصل حركة الإلكترونات والأنوية :

١٠ - ١ - ١ - معادلة شرودينغر لجزيئة :

لتكن الجزيئة المشكلة من  $N$  نواة ذات كتلة  $m_j$  و  $X'_j, Y'_j, Z'_j$  إحداثيات النواة  $j$  .  
عندئذ نستطيع كتابة هاملتون الجملة بالعلاقة :

$$H = - \frac{h^2}{8 \pi^2} \sum_{j=1}^N \frac{1}{m_j} \left( \frac{\partial}{\partial X'^2_j} + \frac{\partial}{\partial Y'^2_j} + \frac{\partial}{\partial Z'^2_j} \right) - \frac{h^2}{8 \pi^2 m} \sum_{i=1}^n \left( \frac{\partial}{\partial X_i^2} + \frac{\partial}{\partial Y_i^2} + \frac{\partial}{\partial Z_i^2} \right) + v \quad (1-10)$$

حيث  $v$  مؤثر الكمون والمعطى :

$$v = \sum_{\substack{j,j' \\ j < j'}} \frac{Z_j Z_{j'} e^2}{r_{jj'}} + \sum_{\substack{i,i' \\ i < i'}} \frac{e^2}{r_{ii'}} - \sum_{ij} \frac{Z_i e^2}{r_{ij}} \quad (2-10)$$



$r_{ij}$  يمثل البعد بين جزئين . إن الحدود الثلاث في تابع الكمون تمثل على التوالي الكمون التدافعي للأنوية وكمون التدافعي للإلكترونات وكذلك الكمون التجاذبي بين النواة والإلكترونات . يمكن لنا أن نكتب العلاقة (1) بشكل مختزل :

$$H = - \frac{\hbar^2}{8 \pi^2} \left( \sum_j \frac{1}{m_j} \Delta_j + \frac{1}{m} \sum_i \Delta_i \right) + v \quad (10 - 3)$$

وبالتالي يمكن كتابة معادلة شرودينغر لحزيمته بالشكل :

$$\sum_j \frac{1}{m_j} \Delta_j \psi + \frac{1}{m} \sum_i \Delta_i \psi + \frac{8 \pi}{h^2} (\xi - v) \psi = 0 \quad (10 - 4)$$

حيث التابع الموجي  $\psi$  يعتمد على أحداثيات النواة والإلكترونات المعادلة (4) معقدة ويجب تبسيطها وذلك للدراسة حركة الأنوية وحركة الإلكترونات .

### ١٠ - ١ - ٢ - نماذج لحركة الإلكترونات وحركة الأنوية :

التقريب الـ adiabatic دراسة حركة الأنوية في حقل قوي ناتج عن التدافع المتبادل والتجاذب بين الأنوية والغمامة الإلكترونية . وهذا ناتج عن كوننا مهتمين بحركة الإلكترونات أو الأنوية علماً بأنه يمكن اعتبار أنه هناك حركة للإلكترونات مع اعتبار الأنوية ثابتة . هذا إذا كنا مهتمين بحركة الإلكترونات أما إذا كنا مهتمين بحركة الأنوية فيكفي اعتبار مجال من الزمن طويل بصورة كافية لأجل أن تتحرك الأنوية بشكل ملحوظ . وخلال هذا الزمن تتحرك الإلكترونات على مداراتها عدة مرات وبسرعات عالية . وبالتالي الدراسة حركة الأنوية يجب متابعة حركة الإلكترونات .

#### a - حركة الإلكترونات :

في هذه الحالة نعتبر الكمون هو من الشكل :

$$v_e = \sum_{\substack{i, i' \\ i < i'}} \frac{e^2}{r_{ii'}} - \sum_{i, j} \frac{Z_j e^2}{r_{ij}} \quad (10 - 5)$$

وتصبح معادلة شرودينغر في هذه الحالة :

$$\frac{1}{m} \sum_i \Delta_i \psi_e + \frac{8\pi^2}{h^2} (\xi_e - v_e) \psi_e = 0 \quad (6-10)$$

إن التابع  $\psi_e$  يعتمد فقط على الإحداثيات الإلكترونية والطاقة  $\xi_e$  هي ثابتة . إلا أنه بعد اجراء الحساب من أجل تشكيلة نوية معطاة يمكننا أن نقوم بإجراء الحساب من أجل تشكيلة أخرى من الأنوية وسنحصل على  $\psi_e$  و  $\xi_e$  مختلفين . ينتج عن ذلك بأن الإحداثيات  $X_j, Y_j, Z_j$  ( ليست بإحداثيات الوضع للمسألة بمفهوم ميكانيك شرودينغر ) يجب اعتبارها كمعامل يعتمد عليه  $\psi_e$  و  $\xi_e$  أي :

$$\psi_e = \psi_r (\dots X_j Y_j Z_j [\dots X_j Y_j Z_j \dots]) \quad (7-10)$$

$$\xi_e = \xi_r (\dots X_j, Y_j, Z_j)$$

$r$  الأعداد الكوانتية الالكترونية .

$b$  - حركة الأنوية :

ان تابع الكمون في هذه الحالة هو بالشكل :

$$v_n = \sum_{\substack{j, j' \\ j < j'}} \frac{Z_j Z_{j'} e^2}{r_{jj'}} + \xi_e \quad (8-10)$$

حيث الحد :

$$\xi_e = \langle r | H_e | r \rangle = \int \psi_e^* H_e \psi_e d\tau$$

أخيراً يمكن كتابة معادلة شرودينغر من أجل حركة الأنوية بالعلاقة :

$$\sum_j \frac{1}{m_j} \Delta_j \psi_n + \frac{8\pi^2}{h^2} (\xi_n - v_n) \psi_n = 0 \quad (9-10)$$

حيث التابع الموجي  $\psi_n$  هو يعتمد على احداثيات الأنوية والطاقة  $\xi_n$  ثابتة

$$\psi_n = \psi_{pr}(\dots X'_j Y'_j Z'_j \dots) \quad (10 - 10)$$

$$\xi_n = \xi_{pr}$$

حيث  $p$  هو العدد الكمي المميز للمسألة النواتية ويجب أن لانسى بأن  $\psi_n$  و  $\xi_n$  يتعلقان بالعدد الكمي  $p$  الإلكتروني .

١٠ - ١ - ٣ - نظرية بورن أوبنهايمر Born - oppenheimer :

بما أن معادلة شرودينغر لجزيئة الموصوفة بالمعادلة ( ١٠ - ٤ ) الصعبة الحل والمعقدة لذلك نلجأ إلى افتراض أن التابع الموجي هو من الشكل :

$$\psi' = \psi_e \psi_n \quad (10 - 11)$$

بتعويض التابع  $\psi$  في العلاقة ( ١٠ - ٤ ) معادلة شرودينغر نجد :

$$\frac{\partial^2 \psi_e \psi_n}{\partial X^2} = \psi_e \frac{\partial^2 \psi_n}{\partial X^2} + \psi_n \frac{\partial^2 \psi_e}{\partial X^2} + 2 \frac{\partial \psi_e}{\partial X} \frac{\partial \psi_n}{\partial X}$$

وبشكل كلي نجد :

$$\begin{aligned} \psi_e \sum_j \frac{1}{m_j} \Delta_j \psi_n + \psi_n \sum_j \frac{1}{m_j} \Delta_j \psi_e + \sum_j \frac{2}{m} \left( \frac{\partial \psi_e}{\partial X'_j} \frac{\partial \psi_n}{\partial X'_j} + \right. \\ \left. \frac{\partial \psi_e}{\partial Y'_j} \frac{\partial \psi_n}{\partial Y'_j} + \frac{\partial \psi_e}{\partial Z'_j} \frac{\partial \psi_n}{\partial Z'_j} \right) + \frac{\psi_n}{m} \sum_i \Delta_i \psi_e + \frac{8\pi^2}{h^2} (\xi - v) \psi_e \psi_n \end{aligned} \quad (10 - 12)$$

مع الأخذ بعين الاعتبار للمعادلتين 9 و 6 وبفرض أن :

$$\Phi = \psi_n \sum_j \frac{1}{m_j} \Delta_j \psi_e + \sum_j \frac{2}{m_j} \left( \frac{\partial \psi_e}{\partial X'_j} \frac{\partial \psi_n}{\partial X'_j} + \frac{\partial \psi_e}{\partial Y'_j} \frac{\partial \psi_n}{\partial Y'_j} + \right.$$

$$+ \frac{\partial \psi_e}{\partial Z'_j} \frac{\partial \psi_n}{\partial Z'_j} \quad (10 - 13)$$

فالعلاقة (12) تصبح :

$$\Phi + \frac{8 \pi^2}{h^2} (\xi - \xi_n) \psi_e \psi_n \quad (10 - 14)$$

تمثل هذه العلاقة الحد الأول من معادلة شرودينغر لجزئية وهي غير معدومة باعتبار أننا استخدمنا التابع  $\psi$  وهو حل غير دقيق لهذه المعادلة اذاً يقوم تقريب بورن أو ينهائمر على أهمال  $\Phi$  التي تدخل الاشتقاق من المرتبة الأولى والثانية على التابع الموجي الإلكتروني وذلك بالنسبة لاحداثيات الأنوية . وهذا يعني أن  $\psi$  قليل التأثير بحركة النواة أي  $\Phi = 0$  وعندئذ معادلة شرودينغر هي :

$$\frac{8 \pi^2}{h^2} (\xi - \xi_e) \psi_e \psi_n = 0 \quad (10 - 15)$$

ومنه نجد :

$$\xi = \xi_n$$

خلاصة إن  $\psi_e \psi_n$  حلول لمعادلات شرودينغر للنموذج الإلكتروني والنموذج النووي هو حل تقريبي لمعادلة شرودينغر لجزئية حيث  $\xi$  و  $\xi_n$  متساويتان :

$$10 - 1 - 4 - \text{محطط سويات الطاقة لجزئية} :$$

إن طاقة الجزئية يمكن أن تكتب كمجموعة لعدة طاقات :

$$E = E_e + E_T + E_v + E_R + E_I \quad (10 - 16)$$

أو بالشكل :

$$E - E_T = E_e + E_v + E^*_R \quad (10 - 17)$$

حيث  $E_e$  الطاقة الإلكترونية ،  $E_T$  الطاقة الإنسحابية -  $E_v$  الطاقة الاهتزازية  $E_R$  الطاقة الدورانية ،  $E_I$  طاقة التأثير المتبادل بن الدورانية والاهتزازية و :

$$E_R^* = E_R + E_I \quad (10 - 18)$$

وتعتبر الطاقة الإنسحابية مهمة لذلك ستهمل وسنهتم فقط بالطاقات القابلة للتكميم أي الطاقة الإلكترونية والاهتزازية والدورانية ولقد تبين تجريبياً بأن :

$$\Delta E_e \gg \Delta E_v \gg E_R^* \quad (10 - 19)$$

إذاً مستويات الطاقة  $E_{e,i} + E_{v,j} + E_{R,k}^*$  ستمثل بثلاث خطوط أفقية والشكل (10 - 1) يبين كيف تحوي السويات الإلكترونية المميز بـ  $i$  سويات جزئية اهتزازية وهذه الأخيرة تحوي سويات جزئية دورانية .

والشكل (10 - 2) يمثل سويات الطاقة الإلكترونية وجزئية ثنائية الذرة وكذلك توابع الكمون وسويات الطاقة الاهتزازية الدورانية .

ملاحظة :

إن الحالة الاهتزازية لجزئية تؤثر على حالتها الدورانية ينتج من ذلك بأن مخطط سويات الطاقة الدوراني  $E_{R,k}^*$  في الشكل (10 - 1) ليس ذاته في سويات الطاقة الاهتزازية المختلفة  $E_{v,j}$  وكذلك مخطط سويات الطاقة الاهتزازية الدورانية  $E_{v,j} + E_{R,k}^*$  يعتمد على الحالة الإلكترونية التي توجد فيها الجزئية .

#### ١٠ - ١ - ٥ الحدود الطيفية :

عندما ندرس الطيف الجزئية يعطى الحد الطيفي بـ  $E / hc$  ( $cm^{-1}$ ) :

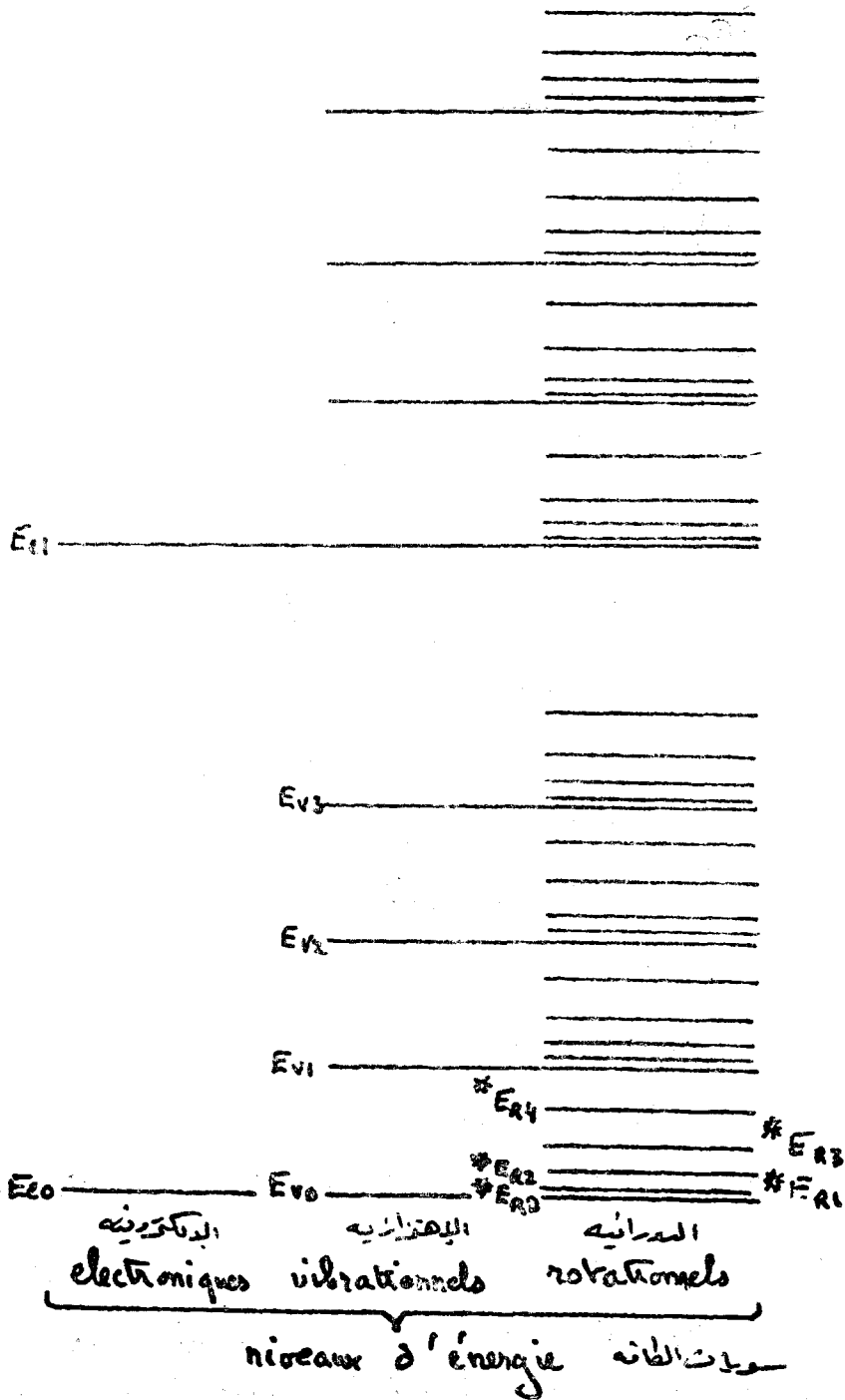
$$\frac{E}{hc} = T_e + G + F \quad (10 - 20)$$

حيث

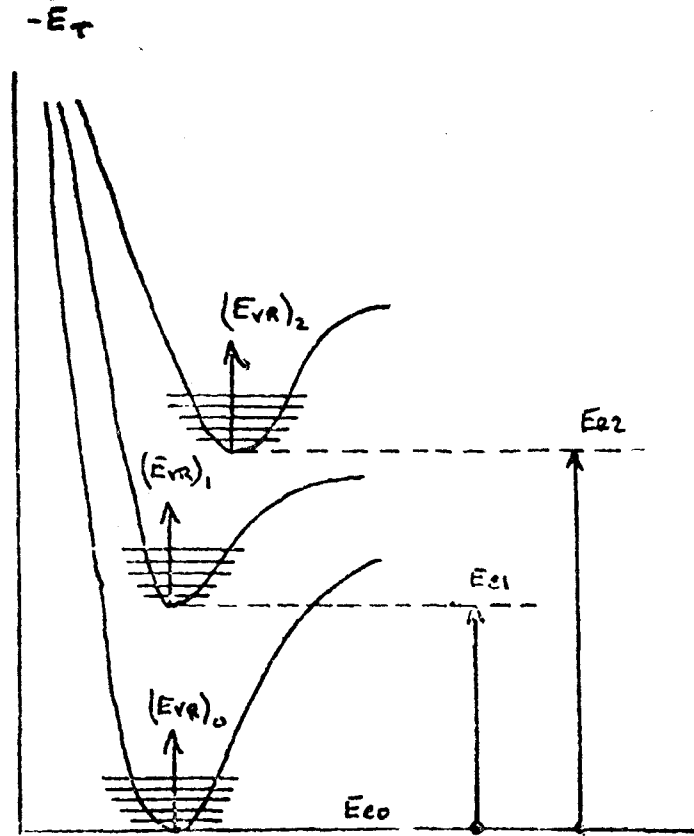
$$F = F_R^* / hc \quad و \quad G = E_v / hc \quad و \quad T_e = E_e / hc$$

#### ١٠ - ١ - ٦ - الحالات وسويات الطاقة :

إن سويات الطاقة  $E_{e,i}$ ,  $E_{v,j}$ ,  $E_{R,k}^*$  والحالات المطابقة  $\psi_{Rk}$ ,  $\psi_{vj}$ ,  $\psi_{ei}$  يتم الحصول عليها بحل معادلات شرودينغر :



شكل ( ١٠ - ١ )



شكل ( ١٠ - ٢ )

$$\left. \begin{aligned} H_e \psi_{ei} &= E_{ei} \psi_{ei} \\ H_v \psi_{vj} &= E_{vj} \psi_{vj} \\ H_R \psi_{Rk} &= {}^*E_{Rk} \psi_{Rk} \end{aligned} \right\} \quad (١٠ - ٢١)$$

١٠ - ٢ - الحدود الإلكترونية الجزيئية Terms électronique de la molecule :

١٠ - ٢ - ١ - منشأ الحدود الجزيئية Origine de la terms moleculaire :

وجد في طيف الإمتصاص لمحاليل الزئبق بأن حقل الجزيئية تسبب نفس انقسام الحدود الذرية كما وجد في الحقل الكهربائي ( مفعول ستارك ) هذا يعني بأن الحقل الجزيئي هو ذو طبيعة كهربائية وللتأكد من ذلك فقد درس طيف الفلوره ( لـ Hg , Tl )

و, Na, K, Rb, Cs بوجود غاز خامل وقد وجد بالإضافة إلى الخطوط الطيفية الاعتيادية لهذه المعادن ظهور أقمار ضعيفة . مثال وجود تابعين صغيرين مرافقين لخط الطنين لبخار الزئبق بوجود Ar ( $3P_1 \rightarrow 1S_0$ )  $\lambda = 2537$  وعلى طرف الموجة القصيرة . وطبعاً عدد التوابع يساوي إلى عدد انقسام ستارك للخط  $2537 \text{ \AA}$  وطبعاً والانقسام في هذه الحالة ناتج أثناء اصطدام ذرات الـ Hg مع ذرات الـ Ar ومفعول الحقل الكهربائي للأخير Ar هو الذي يؤدي إلى مفعول ستارك وبالتالي لانزياح الخطوط الطيفية .

من لحظة الاصطدام يمكننا اعتبار كل زوج في الذرات كشبه جزيئة طاقات السويات ( الحدود ) لشبه الجزيء هذا هي بالتحديد الناتجة عن السويات للذرتين المتصادمتين كنتيجة للانقسام الكهربائي لهذه السويات .

بالنتيجة فإن السويات الإلكترونية للجزيئات الناشئة عن سويات الذرات المشكلة للجزيئة هي نتيجة لانقسام ستارك في الحقل الكهربائي للجزيئة .

## ١٠ - ٢ - ٢ - الحدود الإلكترونية لجزيئة ثنائية الذرة :

### Termes électronique d'une molécule diatomique

يمكن حساب الحدود الجزيئية نظرياً وذلك في حالة جزيئة بسيطة  $H_2^+$  حيث التابع الموجي يعتمد على احداثيات الالكترون  $x, y, z$  وكذلك على المسافة بين الذرتين وعلى الزوايا  $\theta$  و  $\phi$  اللتان تحددان اتجاه محور الجزيء فصل المتحولات

$$\psi = \psi(x, y, z, r, \theta, \phi) = \psi_{el}(x, y, z) \psi_{vib}(r) \psi_{rot}(\theta, \phi)$$

في هذه الحالة فإن طاقة الجزيئة :

$$E = E_{el} + E_{vib} + E_{rot}$$

أي اننا نحصل على ثلاث معادلات تفاضلية حيث يمكننا الحصول على  $E_{el}$  بحل معادلة الموجة من أجل التابع  $\psi_{el}$  ( تابع الموجة الالكترونية ) .

إن الحقل المؤثر على الإلكترون من  $H_2^+$  ليس ذو تناظر مركزي ومعادلة شرودينغر لهذه الجزيئة :



$$\Delta\psi_{el} + \frac{2m}{\hbar^2} (E_{el} - V) \psi_{el} = 0$$

حيث  $V$  هي طاقة الكمون الإلكتروني في حقل كلا الذرتين :

$$V = \frac{e^2}{R} - \frac{e^2}{r_1} - \frac{e^2}{r_2}$$

بالتعويض :

$$\Delta\psi_{el} + 2 \left( E_{el} - \frac{1}{r} + \frac{1}{r_1} + \frac{1}{r_2} \right) \psi_{el} = 0 \quad \text{بـاواحدات الذرية}$$

١ - نموذج الذرتين المنفصلتين  $\text{atomes séparés}$  :  $r \rightarrow \infty$

$$\Delta\psi_{el} + 2 \left( E_{el} + \frac{e^2}{r_1} + \frac{e^2}{r_2} \right) \psi_{el} = 0$$

يمكننا أن نتقل إلى الإحداثيات القطعية :

$$\xi = \frac{r_1 + r_2}{R}, \quad \eta = \frac{r_1 - r_2}{R} \quad (1 \leq \xi \leq \infty, -1 \leq \eta \leq +1)$$

حيث  $r$  هي المسافة بين النواتين .

$$\Delta = \frac{4}{r^2 (\xi^2 - \eta^2)} \left[ \frac{\partial}{\partial \xi} (\xi^2 - 1) \frac{\partial}{\partial \xi} + \frac{\partial}{\partial \eta} (1 - \eta^2) \frac{\partial}{\partial \eta} \right] + \frac{1}{R^2 (\xi^2 - 1) (1 - \eta^2)} \frac{\partial^2}{\partial \varphi^2}$$

بفرض أن :

$$\Delta\psi_{el} + 2 \left( E_{el} + \frac{2e^2}{r(\xi + \eta)} + \frac{2e^2}{r(\xi - \eta)} \right) \psi_{el} = 0$$

$$\left\{ \frac{4}{r^2 (\xi^2 - \eta^2)} \left[ \frac{\partial}{\partial \xi} (\xi^2 - 1) + \frac{\partial}{\partial \xi} + \frac{\partial}{\partial \eta} (1 - \eta^2) + \frac{\partial}{\partial \eta} \right] + \frac{1}{R^2 (\xi^2 - 1) (1 - \eta^2)} \frac{\partial^2}{\partial \varphi^2} \right\} + 2 \left[ E_{el} + \frac{2e^2}{r(\xi + \eta)} + \frac{2e^2}{r(\xi - \eta)} \right] \psi_{el} = 0$$

بفرض ان الحل من الشكل :  $\psi_{el} = X(\xi) Y(\eta) e^{i\Lambda\varphi}$  نحصل على معادلتين بعد فصل المتحولات :

$$\frac{d}{d\xi} [(\xi^2 - 1) \frac{\partial X}{\partial \xi}] + \left( \frac{Er^2}{2} \xi^2 + 2R\xi + A - \frac{\Lambda^2}{\xi^2 - 1} \right) X = 0$$

$$\frac{\partial}{\partial \eta} [(1 - \eta^2) \frac{dY}{d\eta}] + \left( \frac{Er^2}{2} \eta - A - \frac{\Lambda^2}{1 - \eta^2} \right) Y = 0$$

حيث A ثابت الفصل .

إذاً الحدود الطيفية تحدد ثلاث أعداد كمية  $\Lambda$  أو  $\lambda$  وكذلك بـ  $n_\xi$  و  $n_\eta$  حيث  $\lambda$  الوحيد ذو المعنى الفيزيائي . وهذا العدد الكمي  $\lambda$  يحدد مسقط العزم الزاوي المداري للإلكترون على محور الجزئي وهذا المسقط يساوي إلى  $\hbar \lambda$

$$\lambda = 0, 1, 2, \dots$$

حيث تدعى الحدود :  $\sigma, \pi, \delta$

في حالة الذرتين المنفصلتين فإنه يرمز للتشكيل الإلكتروني بـ :

$$\sigma_{1s}, \sigma_{2s}, \sigma_{2p}, \pi_{2p}, \sigma_{3s}, \sigma_{3p}, \sigma_{3d}, \pi_{3d}, \pi_{3d}, \delta_{3d}$$

٢ - نموذج الذرة المتحدة atomi unit  $r \rightarrow 0$  :

تصبح معادلة شرودينغر في الاحداثيات القطعية على الشكل التالي :

$$\left\{ \frac{\partial^2}{r^2(\xi^2 - \eta^2)} \left[ \frac{\partial}{\partial \xi} (\xi^2 - 1) \frac{\partial}{\partial \xi} + \frac{\partial}{\partial \eta} (1 - \eta^2) \frac{\partial}{\partial \eta} \right] + \frac{1}{R^2(\xi^2 - 1)(1 - \eta)} \right.$$

$$\left. \frac{\partial^2}{\partial \xi^2} \right\} \psi_{el} + 2 \left[ E_{el} - \frac{1}{r} + \frac{2}{r(\xi + \eta)} + \frac{2}{r(\xi - \eta)} \right] \psi_{el} = 0$$

بعد فصل المتحولات نحصل على المعادلتين :

$$\frac{\partial}{\partial \xi} [(\xi^2 - 1) \frac{\partial X}{\partial \xi}] + \left[ \left( \frac{Er^2}{2} + r \right) \xi^2 + 2r\xi + A - \frac{\Lambda^2}{\xi^2 - 1} \right] X = 0$$

$$\frac{\partial}{\partial \eta} \left[ (1 - \eta^2) \frac{\partial Y}{\partial \eta} \right] + \left[ \left( r - \frac{Er^2}{2} \right) \eta^2 - A - \frac{\Lambda^2}{1 - \eta^2} \right] Y = 0$$

في حالة الذرة المتحدة فإن الحدود للمنظومة  $H_2^+$  هي نفسها حدود  $H_e^+$  حيث يرمز لحالات الإلكترون في  $H_2^+$  بالرموز :

$$1s \sigma, 2s \sigma, 2p \sigma, 2p \pi, 3p \sigma, 3p \pi, 3d \sigma, 3d \pi, 3d S$$

أما في حالة جزيئة ثنائية الذرة تحوي على عدد من الإلكترونات أكثر من الواحد فإن حل معادلة شرودينغر غير ممكن . وعلى كل حال فإنه يمكننا بصورة تقريبية أن نتفحص حركة كل إلكترون بصورة فردية في حقل متوسط لبقية الإلكترونات المنطبق مع حقل النواتين ( طريقة هارتي فوك Hartee - Fock ) .

وبالتالي فإن كل إلكترون في الجزيئة يمكن أن نميز بصورة تقريبية بأعداد كمية  $\lambda, l, n$  ( وكذلك بعدد كمي رابع - عدد كمي سيني  $\sigma = m_s = \pm \frac{1}{2}$  ) .

الإلكترونان متكافئان هما الإلكترونان المميزان بنفس الأعداد الكمية  $l, n$  . وحسب مبدأ باولي فإن عدد الإلكترونات المتكافئة لا يمكن أن يتجاوز اثنان من أجل  $\lambda = 0$  وأربعة من أجل  $\lambda \neq 0$  .

مثال :

$$(\delta 3 d)^4 \quad (\pi 2 p)^4 \quad , \quad (\sigma 1 s)^2$$

$$n_1 = n_2 = n_3 = n_4, l_1 = l_2 = l_3 = l_4 \quad n_1 = n_2, l_1 = l_2, \lambda_1 = \lambda_2 = 0,$$

$$\lambda_1 = \lambda_2 = \lambda, \lambda_3 = \lambda_4 = -\lambda. \quad \sigma_1 = -\sigma_2 = \frac{1}{2}$$

$$\sigma_1 = \sigma_3 = -\sigma_2 = -\sigma_4 = \frac{1}{2}$$

تشكل مدار جزئي مغلق حيث:  $(\delta 3 d)^4, (\pi 2 p)^4, (\sigma 1 s)^2$

$$S = 0 \quad \text{وكذلك} \quad \Lambda = \sum_i \lambda_i = 0$$

إن التشكيل الإلكتروني للجزيء وبالتالي حدود الإلكترونية له تحدد بالجمع الكلي للمدارات الجزيئية أي مجموعة أعداد كمية لكل الكترونات الجزيء . وهذا الجمع صحيح في حالة جزيئية ثنائية الذرة أو جزيئية خطية متعددة الذرات :

$$\Lambda = \sum_{i=1}^n \lambda_i$$

الجمع على كل الكترونات الجزيء ، هذا العدد  $\Lambda$  يحدد القيمة المطلقة لمسقط العزم الزاوي المداري الكلي على محور الجزيء عندما :

$$\Lambda = 0, 1, 2, \dots$$

فإنه يرمز للحدود بـ  $\Sigma$   $\pi$   $\Delta$

كذلك فإن دوران S حول محور الجزيئية أي مسقط S على oz مساوي إلى  $\hbar \Sigma$  مع :

$$\Sigma = S, S-1, \dots, -S$$

مثال حالة  $\sigma^1$  :

$$\lambda = 0 \Rightarrow \Lambda = 0 = \Sigma$$

$$s = 1/2 \Rightarrow S = 1/2 \quad {}^2\Sigma$$

:  $\pi^1$

$$\lambda = 1 \Rightarrow \Lambda = 1$$

$$\Rightarrow {}^2\pi$$

$$s = 1/2 \Rightarrow S = 1/2$$

حالة  $\sigma^2$  أو  $\sigma^1 \sigma^1$  ( الكترونين غير متكافئين ) :

$$\lambda = \lambda_2 = 0 \Rightarrow \Lambda = 0$$

أي :

$$s_1 = \sigma_1 = 1/2, s_2 = \sigma_2 = 1/2 \Rightarrow S = 1 \Rightarrow {}^3\Sigma$$

$$s_1 = \sigma_1 = 1/2, s_2 = \sigma_2 = -1/2 \Rightarrow S = 0 \Rightarrow {}^1\Sigma$$

أو التشكيل  $\pi^1 \sigma^1$  حالة الكترونيين غير متكافئين :

$$\begin{array}{ll} \lambda_1 = 0 & s_1 = 1/2 \\ \lambda_2 = 1 & s_2 = -1/2 \\ \Rightarrow \Lambda = \lambda_1 + \lambda_2 = 1 & \Rightarrow S = 0 \Rightarrow {}^1\pi \end{array}$$

$$\begin{array}{ll} \lambda_1 = 0 & s_1 = 1/2 \\ \lambda_2 = 0 & s_2 = 1/2 \\ \Rightarrow \Lambda = \lambda_1 + \lambda_2 = 1 & \Rightarrow S = 1 \Rightarrow {}^3\pi \end{array}$$

أما في حالة التشكيل الإلكتروني  $\pi^2$  لدينا :

$${}^1\Sigma, {}^3\Sigma (\Lambda = \lambda_1 + \lambda_2 = 1 - 1 = 0, S = 0, 1)$$

كذلك :

$${}^1\Delta (\Lambda = \lambda_1 + \lambda_2 = 1 + 1 = 2, S = 0)$$

الحد  ${}^3\Delta$  مستبعد حسب مبدأ باولي .

١٠ - ٢ - ٣ - الربط بين الحدود الجزيئية والحدود الذرية :

#### Lien entre termes moléculaire et atomique

لنتفحص السويات التي تظهر أثناء اقتراب ذرتين من بعضهما والمميزتين بالحدين الطيفيين  $L_1, L_2$  والسبين  $S_1, S_2$  وليكن  $L_1 \geq L_2$  إن مستط العزوم الزاوية المدارية على المستقيم الواصل بين النواتين هي :

$$\Lambda_1 = M_1 = L_1, L_1 - 1, \dots, -L_1 + 1, -L_1$$

$$\Lambda_2 = M_2 = L_2, \dots, -L_2 + 1, -L_2$$

والقيمة المطلقة لمجموع  $M_1 + M_2$  تحدد العزم  $\Lambda$  الحاصل أثناء اقتراب الذرات يأخذ كل التوافق الممكنة لـ  $M_2, M_1$  نحصل على مختلف قيم :

$$\Lambda = |M_1 + M_2|$$

$$\Lambda = \Lambda_1 + \Lambda_2 = L_1 + L_2, L_1 + L_2 - 1, L_1 + L_2 - 2, \dots, L_1 - L_2, \dots, 1, 0$$

$$L_1 + L_2 - 1, L_1 + L_2 - 2, \dots, L_1 - L_2, \dots, 1, 0$$

$$L_1 + L_2 - 2 \dots L_1 - L_2 \dots 1, 0$$

$$\dots \dots \dots 1, 0$$

$$L_1 - L_2 \dots 0, 1$$

$$\Lambda = L_1 + L_2 \quad \text{أي لدينا} \quad \text{مكرر 2 مرة}$$

$$= L_1 + L_2 - 1 \quad \text{مكرر 4 مرة}$$

.....

$$L_1 - L_2 \quad 2(2L_2 + 1) \text{ مرة}$$

$$L_1 - L_2 - 1 \quad 2(2L_2 + 1) \text{ مرة}$$

.....

$$\Lambda = 1 \quad 2(2L_2 + 1) \text{ مرة}$$

$$\Lambda = 0 \quad 2L_2 + 1 \text{ مرة}$$

الحدود ذات  $\Lambda \neq 0$  تكون مضاعفة التوالد ،  $\Lambda = 0$  غير متوالده أي نجد بأنه يمكننا أن نحصل :

$$\Lambda = L_1 + L_2 \quad 1 \text{ حد طيفي}$$

$$\Lambda = L_1 + L_2 - 1 \quad 2 \text{ حد}$$

.....

$$\Lambda = L_1 - L_2 \quad 2L_2 + 1 \text{ حد}$$

$$\Lambda = L_1 - L_2 - 1 \quad 2L_2 + 1 \text{ حد}$$

.....

$$\Lambda = 0 \quad 2L_2 + 1 \text{ حد مع}$$

كلياً نحصل على  $(L_1 + 1)(2L_2 + 1)$  حد مع قيم  $\Lambda$  من الصفر إلى  $L_1 + L_2$  القيم الممكنة لـ  $S$  :

$$S = S_1 + S_2, S_1 + S_2 - 1, \dots, |S_1 - S_2|$$

يجمع هذه القيم لـ  $S$  مع كل قيم  $\Lambda$  نحصل على لأئحة كاملة للحدود الطيفية الممكنة للجزيئة المشكلة حيث :

$$\Omega = \Lambda \pm \Sigma$$

والتي تقارن مع

$$J = L + S$$

يرمز للحد الجزيئي بـ :

$$^{2S+1}[\Lambda]\Omega$$

مثال يمكن الحصول على الحدود الطيفية للجزء OH من الحدود الطيفية للذرة  $H(2S), O(3P)$  من هذه الحالة :

$$L_1 = L_o = 1$$

$$\Rightarrow \Lambda = L_1 + L_2, L_1 + L_2 - 1 = 1, 0$$

$$L_2 = L_H = 0$$

$$S_1 = S_o = 1$$

$$\Rightarrow S = 3/2, 1/2$$

$$S_2 = S_H = 1/2$$

من أجل :  $\Lambda = 1$

$$\Lambda = 1, S = 3/2, 1/2 \Rightarrow 4\pi, 2\pi$$

في حالة  $S = 3/2$  أي الرباعية  $4\pi$  فإن مسقط  $\Sigma = 3/2, 1/2$

وفي حالة  $S = 1/2$  أي الثنائية  $2\pi$   $\Sigma = 1/2$

فمن أجل الرباعية فإن :

$$\Omega = \Lambda \pm \Sigma = 5/2, 3/2, 1/2, -1/2$$

$$= 1 + 3/2 = 5/2$$

$$= 1 + 1/2 = 3/2$$

$$= 1 - \frac{1}{2} = \frac{1}{2}$$

$$= 1 - \frac{3}{2} = -\frac{1}{2}$$

إذاً الحدود الرباعية  $4\pi$  هي :

$$^4\pi_{5/2}, ^4\pi_{3/2}, ^4\pi_{1/2}, ^4\pi_{-1/2}$$

ومن أجل الثنائية  $2\pi$

$$\Omega = \Lambda \pm \Sigma$$

$$= 1 + \frac{1}{2} = \frac{3}{2}$$

$$= 1 - \frac{1}{2} = \frac{1}{2}$$

$$^2\pi_{3/2}, ^2\pi_{1/2}$$

إذاً حدود الثنائية  $2\pi$  هي

من أجل  $\Lambda = 0$  :

$$\Lambda = 0, S = \frac{3}{2}, \frac{1}{2} \Rightarrow ^4\Sigma, ^2\Sigma$$

$$\Omega = 0 + \frac{3}{2}$$

$$\Rightarrow ^4\Sigma_{3/2} = ^4\Sigma$$

$$\Omega = -\frac{3}{2}$$

$$^2\Sigma$$

أخيراً فإن الحدود الكلية لـ OH هي :

$$^4\Sigma, ^2\Sigma, ^4\Sigma_{5/2}, ^4\pi_{3/2}, ^4\pi_{1/2}, ^4\pi_{-1/2}, ^2\pi_{3/2}, ^2\pi_{1/2}$$

وحسب القيم التجريبية فإن الحد  $2\pi$  هو المستوي القاعدي في الجزيء OH .

**مثال :**

الجزيء BH أوجد التشكيل الإلكتروني لـ BH

$$B : 1s^1 2s^2 2p^1$$

$$H : 1s^1$$

عندما تتحد الذرتان



$$C = BH = 1s^2 2s^2 2p^2$$

		$M_L$	$\Lambda$	الحالة
$C = {}^3P$	$L = 1$	0	0	$\Sigma$
		$\pm 1$	1	$\pi$
${}^1D$	$L = 2$	$\pm 2$	2	$\Delta$
		$\pm 1$	1	$\pi$
		0	0	$\Sigma$
${}^1S$	$L = 0$	0	0	$\Sigma$

التشكيل الإلكتروني الجزيئي لـ BH في حالة نموذج الذرة المتحدة .

تشكيل الحالة الأرضية

$$BH = (1s \sigma)^2 (2s \sigma)^2 (2p \sigma)^2$$

$$\Lambda = \sum_i \lambda_i = 0 + 0 = 0 \Rightarrow {}^1\Sigma$$

تشكيل الحالة المثارة :

$$(BH)^* = (1s \sigma)^2 (2s \sigma)^2 (2p \sigma)^1 (2p \pi)^1$$

$$\Lambda = \lambda_1 + \lambda_2 = 0 + 1 = 1 \Rightarrow {}^1\pi, {}^3\pi$$

$$S = 1, 0$$

تشكيل الحالة المثارة الأولى :

$$(BH)^* = (1s \sigma)^2 (1s \sigma)^2 (2p \pi)^1 (2p \pi)^1$$

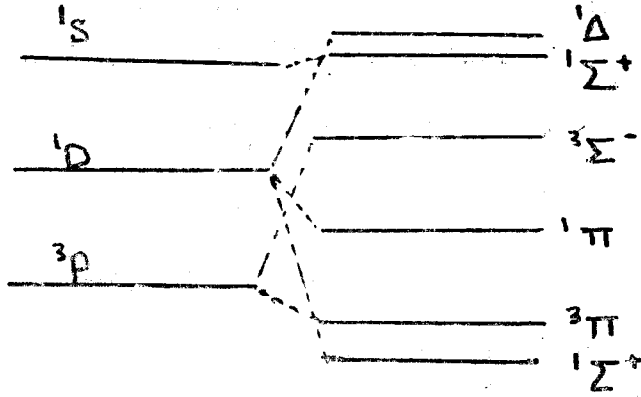
$$\Lambda = \lambda_1 + \lambda_2 \Rightarrow 2 \quad {}^1\Delta$$

$$\lambda_1 - \lambda_2 \Rightarrow 0 \quad {}^1\Sigma$$

$$(1s \sigma)^2 (2s \sigma)^2 (2p \pi)^2$$

$$(1s \sigma)^2 (2s \sigma)^2 (2p \sigma) (2p \pi)$$

$$(1s \sigma)^2 (2s \sigma)^2 (2p \sigma)^2$$



الشكل ( ١٠ - ٣ ) يعطي مثال على الحدود الطيفية الجزيئية الإلكترونية لجزيء BH

ملاحظة :

عندما تكون الذرة A أكبر بكثير من الذرة B نعلم تقريب الذرة المتحدة مثال CH — إذا كانت الذرتين A و B متساويتان في الحجم مثال CO تقريب الذرتين المنفصلتين .

### ١٠ - ٣ - أنواع التناظر للحالات الإلكترونية :

إن معرفة قيمة  $\Lambda$  أي معرفة الحدود الطيفية الجزيئية ليس كافياً لتحديد نوع التناظر في التابع الموجي المرافق للحركة المدارية للإلكترونات . فعندما يكون  $\Lambda = 0$  نميز الحالة  $\Sigma^+$  و  $\Sigma^-$  أي حالة متناظرة وضد متناظرة للإنعكاس بالنسبة لمستوي يحوي محور الجزيء . في حالة الجزيئات ثنائية الذرة homonucléaires يوجد مركز تناظر للتشكيل النواتي ( مهما كان  $r$  ) يجب إضافة g أو u على الرموز السابقة ( $\Sigma^-, \pi, \dots$ ) لتشكيل النواتي ( $\Sigma^+$  و  $\Sigma^-$ ) . عندما نقوم بعملية القلب بالنسبة لمركز التناظر فالحالات  $\Sigma_g^+, \pi_g, \Delta_g, \Phi_g$  و  $\Sigma_g^-, \pi_g, \Delta_g, \Phi_g$  هي حالات متناظرة والحالات  $\Sigma_u^+, \Sigma_u^-, \pi_u, \dots$  حالات ضد متناظرة ومعنى الحرفان g, u أي زوجي وفردى .

ملاحظة كما في الرموز g, u, —, + فالرموز  $\Sigma, \pi, \Delta, \Phi$  يمكن أن تحدد

انطلاقاً من خواص التناظر ( دون الرجوع إلى قيمة العزم الزاوي  $\Lambda$  ) لنقم بالدوران وبزاوية  $\alpha$  حول  $oz$  فبعض الحالات تكون لا متغيره بالنسبة للدوران يقال عنها من النوع  $\Sigma$  والحالات الأخرى يمكن أن تدرس اقتران الحالات المضاعفة الإقتران  $\psi_1\psi_2$  فعندما نقوم بعملية الدوران هذه الحالات تتحول بالشكل

$$\begin{bmatrix} \psi_1 \\ \psi_2 \end{bmatrix} = \begin{bmatrix} a_{11} & a_{12} \\ a_{21} & a_{22} \end{bmatrix} \begin{bmatrix} \psi_1 \\ \psi_2 \end{bmatrix}$$

مصفوفة  $a_{ij}$  هي مصفوفة الدوران حيث أثرها

$$a_{11} + a_{22} = 2 \cos m \alpha$$

و  $m$  عدد كامل وحسب قيم  $m$  تحدد الحالة  $m = 1, 2, 3$  يكون  $\psi_1, \psi_2$  هو من نوع  $\Phi, \Delta, \pi$  على التوالي .

فمثلاً جزيئة بإلكترون واحد حيث  $xyz$  احداثيات الالكترون و  $(\rho, \theta, \varphi)$  احداثياته الكروية

$$x = \rho \sin \theta \cos \varphi$$

$$y = \rho \sin \theta \sin \varphi$$

$$z = \rho \cos \theta$$

نستطيع إظهار أن تابعة الموجي في هذه الإحداثيات له الشكل

$$\psi_\lambda = \Phi(\rho, \theta) e^{i\lambda\varphi}$$

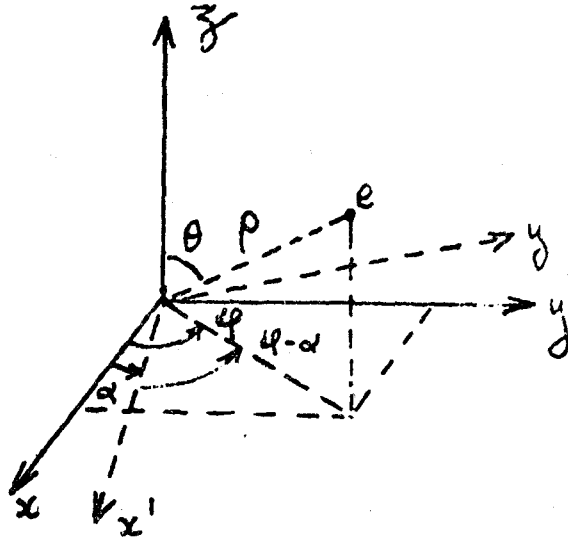
فإذا دورنا المجموعة  $xyz$  بزاوية  $\alpha$  حول  $oz$  شكل ( ١٠ - ٤ ) فإن

$$xyz \longrightarrow x'y'z'$$

$$\varphi \longrightarrow \varphi - \alpha$$

$$\psi_\lambda \longrightarrow \Phi e^{i\lambda(\varphi - \alpha)}$$

نفس الشيء



شكل ( ١٠ - ٤ )

$$\varphi_{-\lambda} \rightarrow \Phi e^{-i\lambda(\varphi-\alpha)}$$

ومنه نجد

$$\begin{bmatrix} \psi_{\lambda} \\ \psi_{-\lambda} \end{bmatrix} \rightarrow \begin{bmatrix} e^{-i\lambda(\varphi-\alpha)} & \psi_{\lambda} \\ e^{i\lambda\alpha} & \psi_{-\lambda} \end{bmatrix}$$

$$\begin{bmatrix} \psi_{\lambda} \\ \psi_{-\lambda} \end{bmatrix} \rightarrow \begin{bmatrix} e^{-i\lambda\alpha} & 0 \\ 0 & e^{i\lambda\alpha} \end{bmatrix} \begin{bmatrix} \psi_{\lambda} \\ \psi_{-\lambda} \end{bmatrix}$$

ويكون أثر المصفوفة :

$$a_{11} + a_{22} = e^{-i\lambda\alpha} + e^{i\lambda\alpha} = 2 \cos \lambda \alpha$$

حيث  $m = \lambda$  في الحالة  $\lambda = 0$  فإن  $\psi$  مستقل عن  $\varphi$  أي لا يتغير بالدوران حول  $oz$ .  
ان الحصول على  $\Sigma, \Delta, \pi, \dots$  بالطريقتين متطابق .

زمر التناظر في الجزيئة ثنائية الذرة . في جزيئة من نوع heteronucleairs AB تدعى زمرة التناظر  $C_{\infty v}$  وبالتالي فإن مجموعة التمثيلات الغير قابلة للإرجاع لهذه

الزمرة تعطى بالرموز

$$\Sigma^+, \Sigma^-, \pi, \Delta, \Phi, \Gamma, \dots$$

أما زمرة التناظر في جزيئية من نوع homonucleaire فتدعى  $D_{\infty h}$  والتمثيلات الغير قابلة للارجاع لهذه الزمرة يرمز لها ب :

$$\Sigma_g^+, \Sigma_u^+, \Sigma_g^-, \Sigma_u^-, \pi_g, \pi_u, \Delta_g, \Delta_u, \Phi_g, \Phi_u, \Gamma_g, \Gamma_u, \dots$$

١٠ - ٤ - تحديد الحالات الإلكترونية لجزيئة ثنائية بدأ من الذرات المنفصلة :

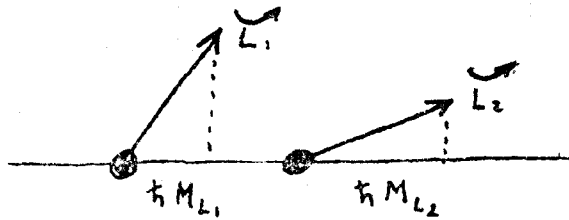
١٠ - ٤ - ١ - جزيئة من الشكل AB :

(a) ليكن  $L_1, L_2$  العزوم الزاوية المدارية للذرتين فعندما تقترب الذرتان من بعضهما البعض لتشكلا الجزيئي كل واحدة تخضع لحقل كهربائي حسب اتجاه محور الجزيئي واذا كان  $M_1, M_2$  مسقطاً  $L_1, L_2$  على هذا المحور فإن :

$$M_{L_1} = L_1, L_1 - 1 \dots - L_1$$

$$M_{L_2} = L_2, L_2 - 1 \dots - L_2$$

إن الحركة المدارية للإلكترونات في الجزيئة ستميز بعزم زاوي  $L$  مسقطه على  $oz$  يساوي  $hM$  شكل (١٠ - ٥) :



$$\Lambda = |M_{L_1} + M_{L_2}|$$

شكل (١٠ - ٥)

$$M_L = M_{L_1} + M_{L_2}$$

$$\Lambda = |M_{L_1} + M_{L_2}|$$

مثال ( ١ ) :

الذرتان هما في الحالتين P , S أي  $M_{L_1} = 0, L_1 = 0$

$$M_{L_2} = 0, \mp 1 \quad \text{و} \quad L_2 = 1$$

$$M = 0, \pm 1 \quad \Lambda = 0, 1$$

والحالات هي  $\Sigma$  و  $\pi$  ( مضاعفة التوالد ) شكل ( ١٠ - ٦ - أ )

مثال ( ٢ ) :

الذرتان هما في الحالات D , S :

$$L = 0 \quad M_{L_1} = 0$$

$$L_2 = 2 \quad M_{L_2} = 0, \pm 1, \pm 2$$

$$M_{L_2} = 0, \pm 1, \pm 2 \quad \Lambda = 0, 1, 2$$

والحالات الجزيئية  $\Sigma, \pi, \Delta$  شكل ( ١٠ - ٦ - ب )

مثال ( ٣ ) :

الذرتان هما في الحالات P , L<sub>1</sub> = 1 و L<sub>2</sub> = 1

$$M_{L_1} = 0, \pm 1 \quad M_{L_2} = 0, \pm 1 \Rightarrow$$

$$M_L = 0, 0, 0, \pm 1, \pm 1, \pm 2$$

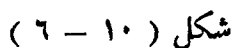
نحصل على :

$$\Lambda = 0, 0, 0, 1, 1, 2$$

والحالات هي ثلاث  $\Sigma$  واثنان  $\pi$  واحدة  $\Delta$  شكل ( ١٠ - ٦ - ث )

والآن يجب تحديد فيما إذا كانت  $\Sigma$  من نوع  $\Sigma^+$  أو  $\Sigma^-$  وهنا يجب أن نميز

حالتان :


$$L_1 + L_2 + \sum l_{i1} + \sum l_{i2}$$

هو كذلك من أجل المخطط الأول في الشكل ( ١٠ - ٦ ) .

$$S + P \left\{ \begin{array}{l} S_g + P_g \\ S_u + P_u \\ S_g + P_u \\ S_u + P_g \end{array} \right\} \Rightarrow \Sigma^- \quad S + D \left\{ \begin{array}{l} S_g + D_g \\ S_u + D_u \\ S_g + D_u \\ S_u + D_g \end{array} \right\} \Rightarrow \Sigma^+$$

$$\left\{ \begin{array}{l} S_g + P_g \\ S_u + P_u \\ S_g + P_u \\ S_u + P_g \end{array} \right\} \Rightarrow \Sigma^+$$

$$\left\{ \begin{array}{l} S_g + D_g \\ S_u + D_u \\ S_g + D_u \\ S_u + D_g \end{array} \right\} \Rightarrow \Sigma^-$$

$$P + P \left\{ \begin{array}{l} P_g + P_g \\ P_u + P_u \\ P_g + P_u \end{array} \right\} \Rightarrow \Sigma^-$$

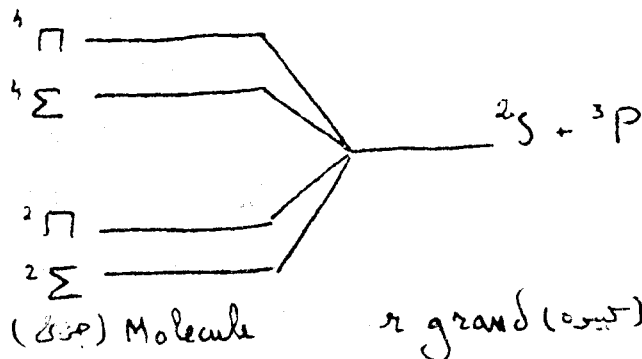
$$P_g + P_u \rightarrow \Sigma^-$$

— حالات نحصل عليها انطلاقاً من القيم المتعاكسة لـ  $M_{L_2}, M_{L_1}$  تظهر مثل هذه الحالات الرديّة دائماً وكمثال المخطط الثاني والثالث في الشكل (١٠ - ٦ - ث) السابق والحالات الموافقة لهذه التشكيلات ليست لـ  $\Sigma^+$  و  $\Sigma^-$  لكن يمكن أن نشكل منهما تركيب خطي من نوع  $\Sigma^+$  و تركيب خطي من نوع  $\Sigma^-$ .

(b) — ليكن  $S_2, S_1$  سبين الذرة A والذرة B عندئذ فإن القيم الممكنة لاقتران  $S_2, S_1$  هي :

$$S = S_1 + S_2, S_1 + S_2 - 1, \dots, |S_1 - S_2|$$

مثال :



شكل (١٠ - ٧)



الحالان هي كما رأينا  $\Sigma$  و  $\pi$  مضاعفة التوالد :

$$S_2 = 1/2, \quad S_1 = 1$$

$$S = 1 + 1/2, 1 + 1/2 - 1, |1 - 1/2| = 3/2, 1/2$$

والحالات هي  $^2\Sigma$  و  $^4\Sigma$  و  $^2\pi$  و  $^4\pi$  .

١٠ - ٤ - ٢ - جزيئة A-A homonucléaire :

ينتمي الجزيء  $A_2$  للزمرة  $D_{\infty h}$  ويجب أن تحدد الحالات الجزيئية  $g, u$  وهنا نميز

الحالتين :

— إذا كانت الذرتان من نفس الحالة هنا يمكننا أن نأخذ نفس النتيجة في الفقرة السابقة ، لكن بعض الحالات الجزيئية التي نحصل عليها ستكون من نوع  $g$  وأخرى من نوع  $u$  . مثال نفرض أن الذرتان في الحالة  $^2s$  وعليه يكون لدينا الحالة الجزيئية  $^1\Sigma^+$  والحالة  $^3\Sigma^+$  . وتسمح لنا نظرية الزمر بتبيان أن هاتين الحالتين هما في الحقيقة  $^1\Sigma_g^+$  و  $^3\Sigma_{g,u}^+$  والجدول التالي يعطي بعض الأمثلة ( مع ملاحظة أن الزوجية  $g$  أو  $u$  للحالات الذرية لا تتدخل باعتبار أن الذرات لها نفس الحالة )

الجزيء  $A_2$

الذرات المنفصلة

الجزيء

$$1S + 1S$$

$$^1\Sigma_g^+$$

$$2S + 2S$$

$$^1\Sigma_g^+, ^3\Sigma_u^-$$

$$3S + 3S$$

$$^1\Sigma_g^+, ^3\Sigma_u^+, ^5\Sigma_g^+$$

$$1P + 1P$$

$$^1\Sigma_g^+ (2), ^1\Sigma_u^-, ^1\pi_g, ^1\pi_u, ^1\Delta_g$$

$$2P + 2P$$

$$^1\Sigma_g^+ (2), ^1\Sigma_u^-, ^1\pi_g, ^1\pi_u, ^1\Delta_g, ^3\Sigma_g^+ (2), ^3\Sigma_g^-, ^3\pi_g, ^3\pi_u, \Delta_u$$

$$3P + 3P$$

$$^3\Sigma_g^+ (2), ^3\Sigma_u^-, ^3\pi_g, ^3\pi_u, ^5\Delta_g, \text{ حدود } ^2P + ^2P \text{ السابقة}$$

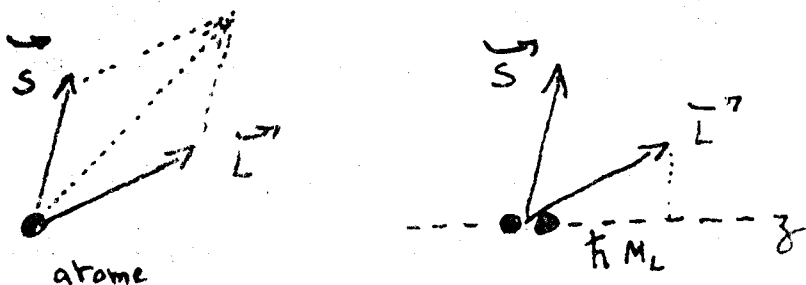
— إذا كانت الذرتان في حالات مختلفة . فمن أجل كل حالة جزيئية نحصل عليها

بإستخدام نتائج الفقرة السابقة وسيكون لدينا حالتان واحدة من نوع  $g$  والأخرى من نوع  $u$ . مثال : الذرة الأولى في الحالة  $^1S_g$  والثانية في الحالة  $^1P_u$  نحصل على الحالات الجزيئية  $^1\Sigma^+$  و  $^1\pi$  لكن بالحقيقة لدينا حالتين  $^1\Sigma^+$  وحالتين  $^1\pi$  والسبب كون الحالات الجزيئية آتية من  $(^1S_g + ^1P_u)$  أو  $(^1P_u + ^1S_g)$  وعليه تكون الحالات الجزيئية هي أربع  $^1\Sigma_g^+, ^1\Sigma_u^+, ^1\pi_g, ^1\pi_u$ .

١٠ - ٤ - ٣ - تحديد الحالات الإلكترونية لجزيئة ثنائية الذرة حسب الذرة  
المجتمعة ( المتحدة ) :

١٠ - ٤ - ٣ - ١ - جزيئة من نوع  $AB \rightarrow R$  :

ليكن  $S, L$  العزم السزاي والسبيني للذرة ولنفرض أننا شكلنا الجزيء بقسم النواة لهذه الذرة لجزيئين حيث يخلق الحقل الكهربائي الموجه حسب محور الجزيء وبالتالي سيكون هناك إقتران لـ  $L$  مع  $S$  كما في الشكل ( ١٠ - ٨ ) :



شكل ( ١٠ - ٨ )

ويكون :

$$\Lambda = |M_L| = L, L-1, \dots, 0$$

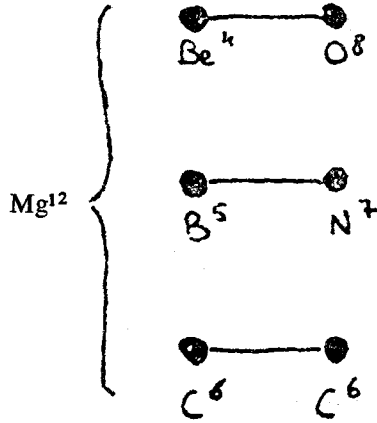
و  $S$  سيكون لها نفس القيمة في الحالة الجزيئية  $S_{\text{Molecule}} = S_{\text{atom}}$ .

مثال : الجزيء  $BeO$  شكل ( ١٠ - ٩ ) المشكل من  $Be$  و  $O$  يعتبر كثرة

$Mg$  حيث  $Z = 12$  :

فإذا كانت الذرة في الحالة  $C_6$   $^3D_g$  ( $L = 2$ ) وتكون :

$$\Lambda = |M_L| = 2, 1, 0$$



شكل ( ٩ - ١٠ )

والحالات الجزيئية هي  $^3\Sigma$ ,  $^3\pi$ ,  $^3\Delta$  وأن الحالة  $^3\Sigma^-$  هي من نوع  $^3\Sigma^+$  وحسب  $L + \sum_i l_i$  زوجي أو فردي تكون  $\Sigma$  من نوع  $\Sigma^+$  أو من نوع  $\Sigma^-$ .

#### ١٠ - ٥ - استقرار الحالات الإلكترونية - الرابطة الكيميائية :

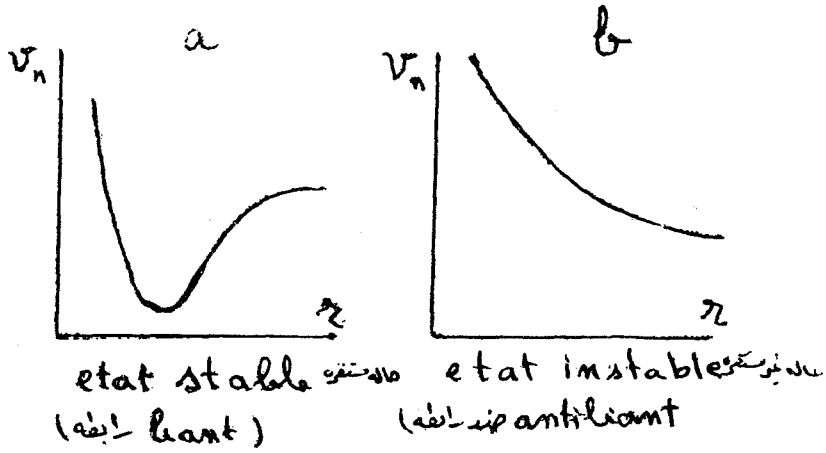
رأينا سابقاً بأن لكل جزيء عدد من الحالات الإلكترونية لكن نلاحظ عدد قليل من هذه الحالات للسبينين التاليين :

— تقنيات الملاحظة غير تامة

— عدد كبير من الحالات الإلكترونية غير مستقرة والشكل ( ١٠ - ١٠ )

يعطي الكمون لحالة مستقرة ( رابطة P ) وحالة غير مستقرة ( غير رابطة )

والهدف من هذه الفقرة تحديد أي من الحالات الإلكترونية مستقرة وأي منها غير مستقر . والاستقرار يعني أن لمنحنى الكمون نهاية صغرى كما في الشكل السابق وأن هذا الاستقرار مرتبط بالروابط ( مشتركة — شاردية — فاندرفالس ) .



شكل ( ١٠ - ١٠ )

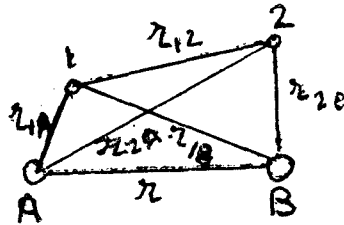
١٠ - ٥ - ١ - الرابطة المشتركة :

( يقال أيضاً رابطة homopolaire رابطة ذرية ) مثال  $\text{CO} - \text{N}_2 - \text{H}_2$  وهنا يجب وصف النظريات التي تعطي التقارب المختلفة للمسألة المدروسة .

طريقة London , Heitler :

إن نقطة الانطلاق لهذه الطريقة مشكله من الحالة الحدية للذرات المنفصلة .

(a) الجزيء  $\text{H}_2$  لنرمز للبروتونين بـ A , B والإلكترونين بـ 1 و 2 شكل ( ١٠ - ١١ ) عندئذ يكون الهاملتون الذي يعطي حركة الإلكترونين معطي بـ :



شكل ( ١٠ - ١١ )

$$H = -\frac{h^2}{2m} \Delta_1 - \frac{h^2}{2m} \Delta_2 + v$$

حيث :

$$V = \frac{e^2}{r} - \frac{e^2}{r_{1A}} - \frac{e^2}{r_{2A}} - \frac{e^2}{r_{1B}} - \frac{e^2}{r_{2B}} + \frac{e^2}{r_{12}}$$

لنفرض أن المسافة بين النواتين كبيرة جداً ( ذرات منفصلة ) وكذلك  $r_{1B}$  و  $r_{1A}$  ذو قيم صغيرة .

إذاً :

$$V = - \frac{e^2}{r_{1A}} - \frac{e^2}{r_{2B}}$$

وبالتالي فإن :

$$H^0 = H_A (1) + H_B (2)$$

وقيمة الخاصة هي  $\epsilon_H$  و  $\epsilon = 2 \epsilon_H$  . طاقة الإلكترون في الذرة H تابعة الخاص هو :

$$\psi = \varphi_A (1) \varphi_B (2)$$

لنفرض بأن كل إلكترون هو في الحالة  $1s$

$$\varphi_A (1) = \varphi_B (2) = \frac{1}{\sqrt{\pi a^3}} e^{-(r_{1A,1B})/a}$$

مع نصف قطر بور :

$$a = \frac{h^2}{4 \pi^2 m e^2}$$

● بالحقيقة ان ترقيم الإلكترونات والبروتونات اختياري ويمكن أن نقبل بأن الإلكترون 1 مرفق بالبروتون B والالكترون 2 مرفق بالبروتون A في ذرة الهيدروجين وعليه فالحالة الخاصة تصبح :

$$P_{12} \psi = \varphi_A (2) \varphi_B (1)$$

حيث  $P_{12}$  مؤثر التبادل permutation كلا الحالتين الخاصتين السابقتين مطابقين لنفس القيمة الخاصة أي يوجد تراليد داخل تركيب خطي لـ  $\psi$  و  $P_{12} \psi$  :

$$c \varphi_A(1) \varphi_B(2) + d \varphi_A(2) \varphi_B(1)$$

مرفق بنفس القيمة الخاصة . تدعى هذه الحالة بالتوالد المتبادل .

● لنعمل الآن على انقاص المساحة بين الذرتين لنشكل الجزيء  $H_2$  حيث الإلكترونان غير متميزان ومن المعلوم بأن في مثل هذه المجموعة يجب أن تكون الحالات الخاصة متناظرة وضد متناظرة ( انظر ميكانيك الكم ) أثناء تبديل 1 و 2 والعكس مع فرض أن المساحة بين الذرتين مازالت كبيرة للحفاظ على التقريب السابق مع أخذ بعين الاعتبار لمبدأ عدم التميز تكون الحالات المقبولة هي :

$$\psi_s = N_s [ \varphi_A(1) \varphi_B(2) + \varphi_A(2) \varphi_B(1) ]$$

← متناظر

$$\psi_a = N_a [ \varphi_A(1) \varphi_B(2) - \varphi_A(2) \varphi_B(1) ]$$

حيث :

$$N_s = \frac{1}{\sqrt{2+2S}} \quad , \quad N_a = \frac{1}{\sqrt{2-2S}}$$

مع :

$$S = \int \varphi_A(1) \varphi_B(1) \varphi_A(2) \varphi_B(2) d\tau_1 d\tau_2$$

بإختصار إن مبدأ عدم التمايز للإلكترونات في الجزيء يؤكد على أن الحالات الخاصة للمؤثر  $\hat{H}$  يجب أن تكون متناظرة وضد متناظرة بالنسبة لمؤثر التبادل .

● للحصول على سويات الطاقة الإلكترونية للجزيء  $H_2$  . نبحث عن القيم الخاصة

للهاملتون :

$$H = -\frac{h^2}{2m} \Delta_1 - \frac{h^2}{2m} \Delta_2 + v$$

ويستخدم تقريب طريقة التغيرات أو الاضطراب نجد الطاقة المرفقة بالحالتين  $\psi_a, \psi_s$  :

$$\epsilon_s = 2 \epsilon_H + \frac{K + J}{1 + S}$$

$$\varepsilon_a = 2 \varepsilon_H + \frac{K - J}{1 - S}$$

حيث :

$$K = \int \varphi_A(1) \varphi_B(2) W \varphi_A(1) \varphi_B(2) d\tau_1 d\tau_2 \quad (\text{تكامل كولون})$$

$$J = \int \varphi_A(1) \varphi_B(2) W \varphi_A(2) \varphi_B(1) d\tau_1 d\tau_2 \quad (\text{تكامل تبادل})$$

و :

$$W = \frac{e^2}{r} + \frac{e^2}{r_{12}} - \frac{e^2}{r_{1B}} - \frac{e^2}{r_{2A}}$$

ان قيم التكاملات  $J, K, S$  تعتمد على المسافة  $r$  يدعى التكامل  $K$  (تكامل كولون) فإذا كتب بالشكل :

$$K = \int [\varphi_A(1)]^2 W [\varphi_B(2)]^2 d\tau_1 d\tau_2$$

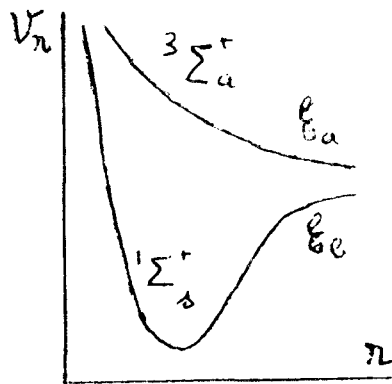
نرى بأنه يمثل التأثير المتبادل الكولوني لتوزيعي شحنة الكثافة  $[\varphi_A(1)]^2$  و  $[\varphi_B(2)]^2$  .  
والتكامل  $J$  لا يوافق أي فعل كلاسيكي ويدعى بتكامل التبادل وهو الذي يساهم أساساً في الطاقة . لهذا فالقوى التي تؤمن استقرار الجزيء  $H_2$  تدعى قوى التبادل .

يبين الحساب من أجل قيم متوسطه لـ  $r$  بأن الحد  $(K + J) / (1 + S)$  يكون سالب والحد  $(K - J) / (1 - S)$  يكون موجب وينتج عن ذلك بأن الطاقات  $\varepsilon_a$  و  $\varepsilon_s$  تكون ممثلة بالشكل ( ١٠ - ١٢ - ١ ) .

$$\begin{array}{c} \varepsilon_a \\ \varepsilon_s \end{array} \quad \begin{array}{c} \diagup \\ \diagdown \end{array}$$

شکل ( ١٠ - ١٢ - ١ )

فإذا استمرينا في الحساب بالنسبة لقيم  $r$  الأصغر نحصل على الشكل رقم ( ١٠ ) - ١٢ ( ب ) :



شكل ( ١٠ - ١٢ - ب )

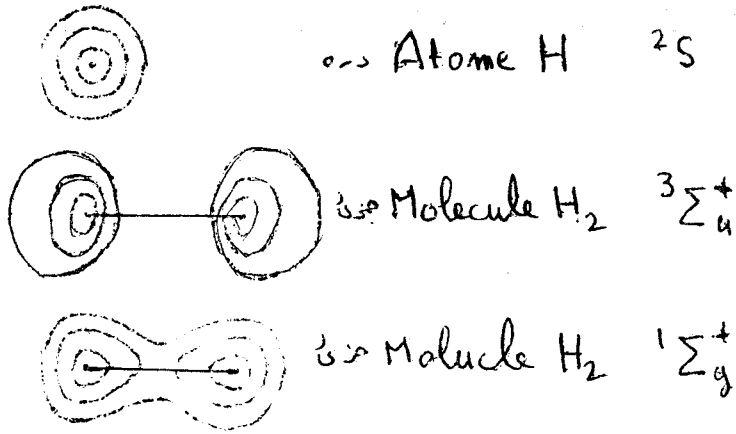
فالمنحني السفلي  $\epsilon_s$  يمثل حالة مستقرة لوجود نهاية صغرى والآخر  $\epsilon_a$  يمثل حالة مستقرة . باختصار : يوجد تجاذب بين ذرتي الهيدروجين عندما يكون سبين الالكترونات متعاكسين  $\uparrow\downarrow$  وهذا يحدث في الحالة الفردية المستقرة ( حالة ارضية  $1\Sigma_g^+$  ) وتكون قوى التبادل تجاذبية . يوجد تدافع عندما يكون سبيناً الالكترونين متوازيين  $\uparrow\uparrow$  وهذا يعطى حالة ثلاثية غير مستقرة ( أول حالة محرصة  $3\Sigma_g^+$  ) قوى التبادل تدافعية .

والشكل ( ١٠ - ١٣ ) يبين كثافة الشحن الالكترونية لذرة H في الحالة  $2S$  وللجزيء  $H_2$  في الحالتين :

نلاحظ في الحالة الأخيرة بأنه يوجد تراكم شحنة سالبة بين النواتين وهذا ما يؤمن استقرار الجزيء .

(b) جزيئات أخرى : يمكن تطبيق الدراسة السابقة على جزيئات أعقد لكن بزيادة عدد الذرات تصبح الدراسة أقل دقة لذلك نتبع القاعدة التالية : عندما نعتبر الحالات الجزيئية المشكلة انطلاقاً من ذرتين في الحالة  $S$  فالحالة الأكثر عمقاً التي تملك تعددية أصغر وترتيب الحالات المحرصة يكون بزيادة التعددية . والشكل



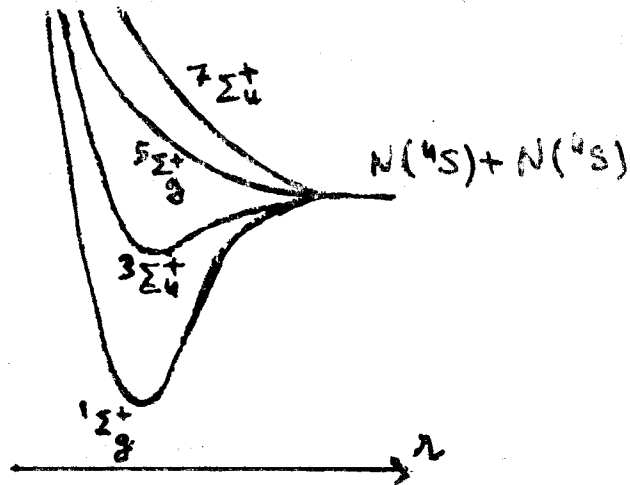


شكل ( ١٠ - ١٣ )

( ١٠ - ١٤ ) يبين بأنه بدءاً من ذرتي الآزوت  $N(4s) + N(4s)$  نشكل الجزيء  $N_2$  وبالتالي نحصل على الحالات :

$$1\Sigma_g^+, 3\Sigma_u^+, 5\Sigma_g^+, 7\Sigma_u^+$$

١٣١



شكل ( ١٠ - ١٤ )

هذه هي لقيم لحالة  $H_2$  في جزيئة ثنائية الذرة حيث الرابعة ذات طبيعة مشتركة

فالجذب المطبق بين الذرتين سببه امكانية التبادل داخل الزوج الالكتروني ذو السبين  
الضد متوازي  $\uparrow\downarrow$  .

ويزداد التجاذب بازدياد عدد ازواج  $\uparrow\downarrow$  الظاهرة عندما يتشكل الجزيء وعلى  
العكس فإن زوج الكتروني متوازي  $\uparrow\uparrow$  يعطي قوة تبادل تدافعية وفي حالة  $N_2$  لدينا ؛

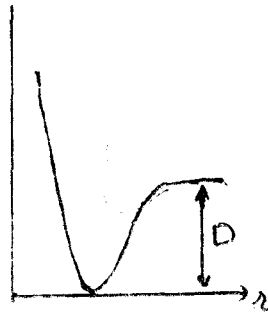
الحالة	السبين	عدد أزواج $\uparrow\downarrow$	
$^3\Sigma_u^+$	$S = 3$	0	حالة غير مستقرة
$^5\Sigma_g^+$	$S = 2$	1	حالة غير مستقرة
$^3\Sigma_u^+$	$S = 1$	2	حالة مستقرة
$^1\Sigma_g^+$	$S = 0$	3	حالة مستقرة جداً

يزداد استقرار الحالة الجزيئية مع عدد الأزواج  $\uparrow\downarrow$  التي تتشكل بدأ من الكترون  
غير ظاهرة في الذرات المنفصلة .

يمكن مقارنة طاقة الارتباط فمثلاً :

$H_2 (^1\Sigma_g^+) 1 \uparrow\downarrow$  زوج  $D = 4.5 \text{ ev}$  رابطة مشتركة وحيدة

$N_2 (^1\Sigma_g^+) 3 \uparrow\downarrow$  زوج  $D = 4.5 \text{ ev}$  ثلاث روابط مشتركة



شكل ( ١٠ - ١٤ )

ندعو بالرابطة المشتركة عدد أزواج  $\uparrow\downarrow$  المشكلة داخل الجزيئة . ندعو بتكافؤ الذرة عدد الإلكترونات الحرة ( قابلة لتشكيل الأزواج  $\uparrow\downarrow$  ) تكافؤ ذرة يساوي إلى  $2S$  ( حيث  $S$  العدد الكمي للسبين الكلي للذرة ) ويساوي أيضاً للتعددية  $(2S + 1)$  ناقص واحد .

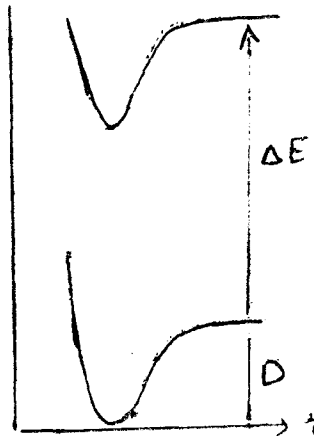
مثال :

الحالة الأرضية للذرة الآزوت  $4S$  إذا يمكن تشكل  $\text{NH}_3$  تكافؤ (3)

ذرة الكربون  $\text{C} = (1s^2 2s^2 2p^2) 3P$  إذاً التكافؤ هو (2) لكن الحالة المحرصة  $(1s^2 2s^2 2p^3) 4S$  متوضعة على  $4.2 \text{ eV}$  فوق الحالة الأرضية وفي هذه الحالة المحرصة هناك أربع إلكترونات حرة ووجود هذه الحالة ذات التحريض الضعيف يفسر التكافؤ الرباعي للذرة الكربون .

a - في التعميم السابق - النظرية السابقة - أخذت بعين الاعتبار فقط الذرات في حالة  $S$  .

b - النظرية السابقة صالحه فقط إذا كانت الحدود الذرية المحرصة بعيدة بصورة كافية على الحالة الأرضية أي أن  $\Delta E$  للحدود الذرية كبير بالنسبة لـ  $D$  شكل ( ١٠ - ١٦ ) وهذا يسمح بإهمال اقتران الحالات الجزيئية الآتية من الحدود



شكل ( ١٠ - ١٦ )

الذرية التحريضية . ان الشرط  $E < D$  تحقق من أجل الهيدروجين والغازات النادرة أما من أجل الحالات الأخرى فهذه النظرية تؤدي لنتائج غير صحيحة.

### ١٠ - ٥ - ٢ - طريقة المدارات الجزيئية :

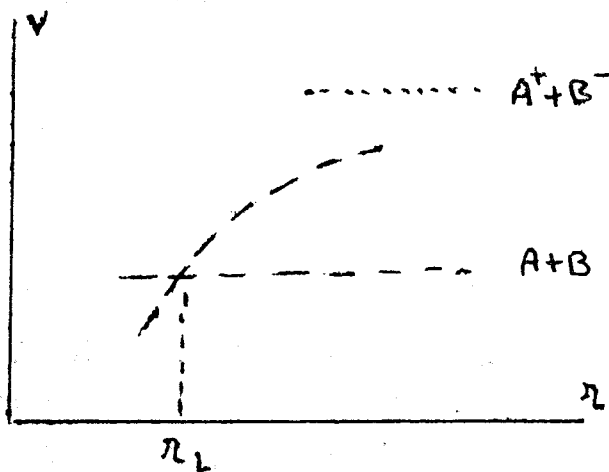
في نقطة الإنطلاق في هذه الطريقة هي التشكيلات الإلكترونية تعتبر حركة الإلكترونات الفردية في حقل ناتج عن النواتين والباقي من الإلكترونات ولمزيد من التفاصيل يراجع كتيب الكيمياء الكوانتية .

### الرابطه الشاردية liaison Ionique :

يقال أيضاً رابطه الكترو مشتركة liaison electrovalente والرابطه ناتجة عن التجاذب الكهربائي الساكن بين الشوارد الموجية والشوارد السالبة فمن أجل قيم كبيرة بصورة كافية للمسافة  $r$  يمكننا معالجة الشوارد كأنها شحن نقطية حيث يكون كمون التجاذب لهذه الشوارد :

$$V = - \frac{e^2}{r}$$

$$V (\text{cm}^{-1}) = - \frac{11.6 \times 10^4}{r (\text{\AA})}$$

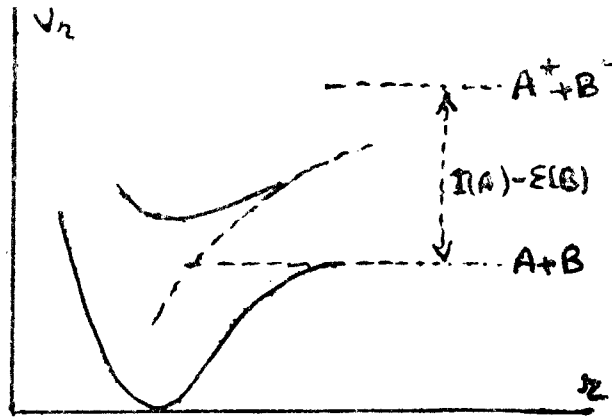


شكل ( ١٠ - ١٧ )

والشكل ( ١٠ - ١٧ ) يبين كيف يتغير الكمون ما بين الحالة الشاردية ( $A^+ + B^-$ ) حيث نلاحظ بان الكمون المعروف بـ  $V = e^2 / r$  يكون بعيد عن المقارب الأفقي حتى عندما تكون  $r$  كبيرة ونلاحظ على نفس الشكل الحالة الثانية ( $A + B$ ) حيث أيضاً المنحني أفقي والكمون الكولوني معدوم . وعند قيم صغيرة لـ  $r$  يظهر كمون تدافعي للحالة الشاردية وازواج الكمون التدافعي والتجاذبي يترجم بوجود نهاية صغرى شكل ( ١٠ - ١٨ ) .

ينتج من ذلك بأن الحالة الشاردية دائماً مستقرة بينما الحالة المشتركة مستقرة أو غير مستقرة .

تعريف : يقال عن الجزيء شاردى إذا كانت حالته الأساسية هي حالة شاردية ويقال عن الجزيء ( ذري ) أو مشترك إذا كانت حالته الأساسية حالة ذرية أو مشتركة .



شكل ( ١٠ - ١٨ )

### ١٠ - ٥ - ٣ - رابطة فاندرفالس Liaison De Van der Waals :

يقال عنها رابطة استقطابية إذا لم يكن هناك رابطة مشتركة أو شاردية مثلاً حالة ذرات الغازات الحاملة حيث تبين التجارب بأنه يوجد بين الذرتين تجاذب ضعيف يترجم « من أجل الغاز » بإبتعاد عن قانون الغاز الكامل . هذا التأثير يؤخذ بعين الإعتبار عندما نستخدم كمعادلة الحالة معادلة فاندرفالس . لهذا السبب نوصف هذا التجاذب

بقوة فاندرفالس . ورابطة فاندرفالس . والجزء المشكل بهذه الطريقة يدعى جريء  
فاندرفالس وكمون فاندرفالس :

$$V \sim - \frac{1}{r^6}$$



# الفصل الحادي عشر

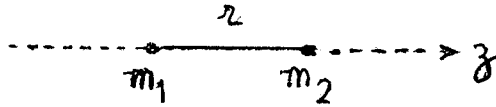
## سويات الطاقة الاهتزازية لجزيئة ثنائية الذرة

١١ - ١ - سويات الطاقة الاهتزازية لجزيئة ثنائية الذرة :

لندرس اهتزاز جزيئة ثنائية الذرة أي اهتزاز نواتين حول وضع توازنهما لذلك سنفرض أن الجزيئة هي في حالة إلكترونية محددة ( غالباً الحالة الأرضية ) .

لدراسة حركة النواتان نستبدل التجاذب الكهربائي الساكن بقيمته المتوسطة المحسوبة على الحالة الإلكترونية المعتبرة .

نفرض بأنه لا يوجد إنتقال ولا دوران . لتكن  $m_1, m_2$  كتلتا النواتان شكل ( ١١ - ١ ) الموضوعتان في حقل قوة « حيث  $r$  تتغير مع الزمن لكن مركز الكتلة ثابت » ناتج عن التدافع والتجاذب وهذا الحقل يعطي الكمون  $V$  ، حيث القيمة الصغرى عند قيمة معينة لـ  $r_e$  كما في الشكل :



الشكل ( ١١ - ١ )

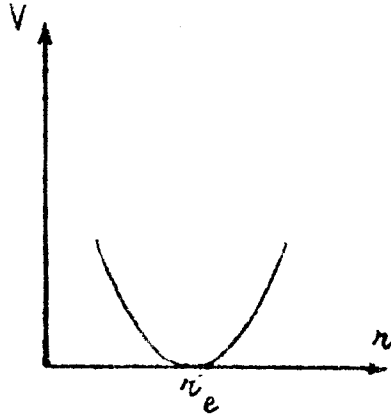
١١ - ١ - ١ - الهزاز التوافقي :

كتقريب أولي نستخدم كمون الهزاز التوافقي في الشكل ( ١١ - ٢ ) والعلاقة

التالية :

$$V = \frac{1}{2} f (r - r_e)^2 = \frac{1}{2} f \rho^2 \quad (11 - 1)$$

$\rho = (r - r_e)$  تمثل تحدد الرابطة .



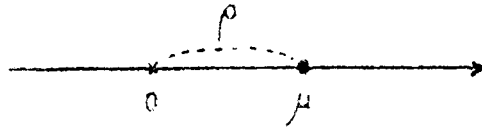
شكل ( 11 - 2 )

تكافئ الكتلتان كتلة مختزلة  $\mu$  مثبتة في نقطة ما بقوة كما في الشكل ( 11 - 3 ) .

$$F = -f \rho = - \frac{dV}{d\rho} \quad (11 - 2)$$

وللحصول على سويات الطاقة يجب حل معادلة شرودينغر :

$$H \psi = E \psi \quad (11 - 3)$$



شكل ( 11 - 3 )

سويات الطاقة :

بحل المعادلة السابقة ( ميكانيك الكم ) نجد :



$$E_v = h \nu_c (v + \frac{1}{2}) \quad (11 - 4)$$

حيث  $v = 0, 1, 2, \dots$

$\nu_c$  تردد الهزاز في الميكانيك الكلاسيكي و يساوي :

$$\nu_c = \frac{1}{2\pi} \sqrt{\frac{f}{\mu}} \quad (11 - 5)$$

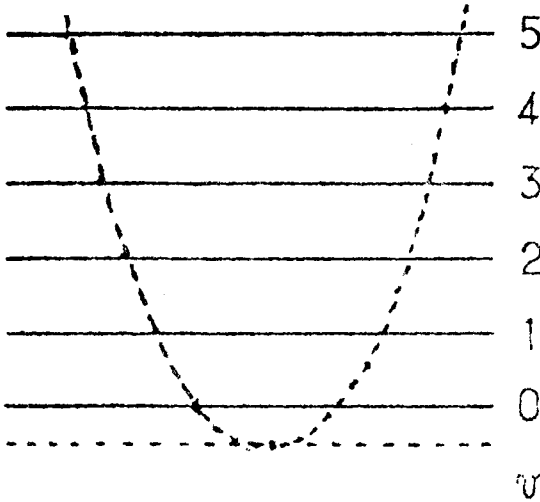
تعطى علاقة الحدود الطيفية الاهتزازية بالعلاقة :

$$G(v) = \frac{Ev}{hc} = \omega (v + \frac{1}{2})$$

تعطى بالسـم<sup>-1</sup> (cm<sup>-1</sup>)

$$\omega = \nu_c / c$$

والشكل رقم ( 11 - 4 ) يعطي خطوط سويات الطاقة .



شكل ( 11 - 4 )

التوابع الموجية : تعطى الحالات الخاصة بـ :

$$\psi_v = N_v e^{-\alpha \rho^2/2} H_v(\sqrt{\alpha} \rho) \quad (11 - 7)$$

$H_v$  كثيرات حدود هرميت حيث :

$$\alpha = \frac{2\pi\sqrt{\rho\mu}}{h} \quad (11-8)$$

$N_v$  ثابت التنظيم يعطى بـ :

$$N_v = \left\{ \frac{\sqrt{\alpha}}{v} \right\}^{1/2} \quad (11-9)$$

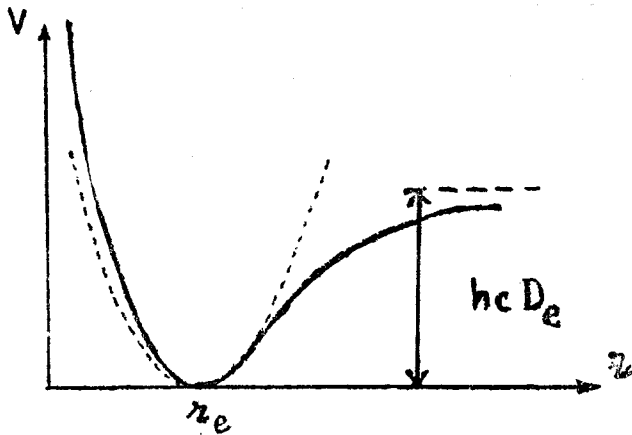
١١ - ١ - ٢ - الهزاز اللاتوافقي :

العلاقة ( ١ ) تمثل الكمون في حالة قريبة من التوازن لكن عندما  $r \rightarrow 0$  فإن  $V \rightarrow \infty$  وعندما  $r \rightarrow \infty$  فإن  $V \rightarrow hcDe$  أي إلى قيمة مساوية لطاقة التفكك للجبرء كما في الشكل ( ١١ - ٥ ) حيث الخط المنقط يمثل كمون الهزاز التوافقي .

ولدراسة طاقة الإهتزاز يجب أن يستبدل الكمون بكمون الهزاز اللاتوافقي :

١ - نشر بسلسلة :

$$V = \frac{1}{2}f(r-r_e)^2 + g(r-r_e)^3 + J(r-r_e)^4 + \dots \quad (11-10)$$



شكل ( ١١ - ٥ )

$$j \ll g \ll f$$

بحل معادلة شرودينغر بإستخدام هذا الكمون بطريقة التغيرات نجد علاقة الحد الطيفي

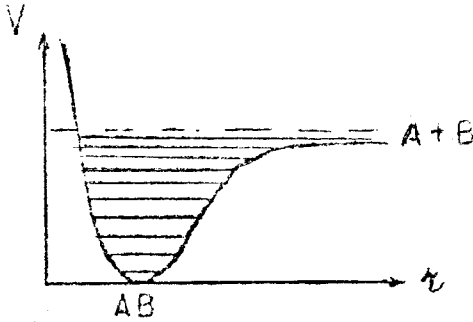
الإهتزازي .

$$\frac{Ev}{hc} = G(v) = \omega_e (v + 1/2) - \omega_e X_e (v_e + 1/2)^2 + \omega_e Y_e (v + 1/2), \quad (11 - 11)$$

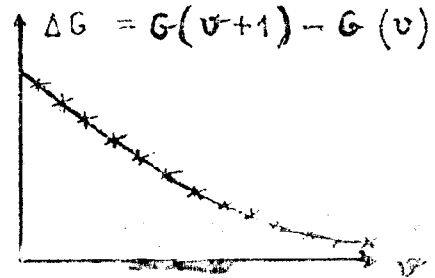
حيث  $v = 0, 1, 2, \dots$

سؤال يطرح نفسه هل عدد سويات الطاقة الإهتزازية الملاحظ تحت سوية التفكك منتهي أم غير منتهي . والجواب يعتمد على شكل التابع  $V(r)$  فمن أجل القيم الكبيرة لـ  $r$  نميز حالتين :

١ - ٢ - ١ - ١١ الجزيئات AB « ذرية » رابطة مشتركة وهذه تتفكك لتعطي  $A + B$  عدد سويات الطاقة الإهتزازية منتهي كما في الشكلين (٦ - ١١) و (٧ - ١١) .

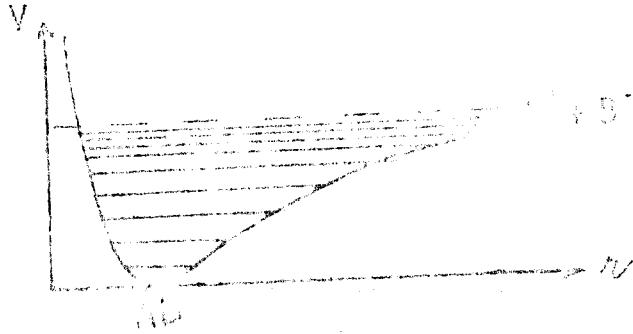


شكل (٦ - ١١)

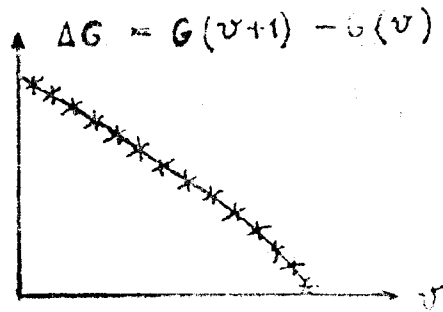


شكل (٧ - ١١)

١١ - ٢ - ٢ - ٢ الجزيئة AB شاردية ( رابطة شاردية ) أي تتفكك AB لتعطي  $A^+ + B^-$  والكمون  $V(r)$  يكافئ حالة  $r$  كبيرة بصورة كافية كـ كون كـولون التجاذبي للنواتين ويتقارب مع الخط الأفقي بصورة أسرع من الحالة شكل (٧ - ١١) وعدد سويات الطاقة غير منتهي الشكلين (٨ - ١١) و (٩ - ١١) .



شكل ( ١١ - ٨ )



شكل ( ١١ - ٩ )

١١ - ١ - ٢ - ٣ - الحدود الطيفية  $G_0(v)$  :

بدلاً من استخدام  $G(v)$  المقاسه بدأ من نهاية منحنى الكمون  $V(r)$  نستخدم غالباً  $G_0(v)$  المقاسه انطلاقاً من أخفض سوية اهتزازية :

$$v = 0$$

$$G_0(v) = G(v) - G(0) \quad (11 - 12)$$

والعلاقة ( ١١ ) تعطي :

$$G(0) = \frac{1}{2} \omega_e - \frac{1}{4} \omega_e X_e + \frac{1}{8} \omega_e Y_e \quad (11 - 13)$$

$$G_0(v) = \omega_e v - \omega_e X_e (v^2 + v) + \omega_e Y_e \left( v^2 + \frac{3v^2}{2} + \frac{3v}{4} \right) \quad (11 - 14)$$

سنفرض ان :

$$G_0(v) = \omega_0 v - \omega_0 X_0 v^2 + \omega_0 Y_0 v^3 \quad (11 - 15)$$

حيث :

$$\omega_0 = \omega_e - \omega_e X_e + \frac{3}{4} \omega_e Y_e + \dots \quad (11 - 16)$$

$$\omega_0 = \omega_e X_e - \frac{3}{4} \omega_e Y_e + \dots \quad (11 - 17)$$

$$\omega_0 Y_0 = \omega_e Y_e - \dots \quad (11 - 18)$$

(2) تابع كمون مورسن :

$$\frac{V}{hc} = D_e [1 - e^{-\beta(r-r_0)}]^2 \quad (11 - 19)$$

عندما  $r \rightarrow \infty$  فإن  $V/hc \rightarrow D_e$  وعندما تكون  $r - r_0$  ذات قيمة صغيرة فإنه عندها :

$$V \sim hc \beta^2 (r - r_0)^2 \quad (11 - 20)$$

كمون هزاز توافقي

بتعويض تابع الكمون في معادلة شرودينغر وبحلها نجد :

$$G(v) = \beta \sqrt{\frac{D_e h}{2 \pi^2 c \mu}} (v + \frac{1}{2}) - \frac{h \beta^2}{8 \pi^2 c \mu} (v + \frac{1}{2})^2 \quad (11 - 21)$$

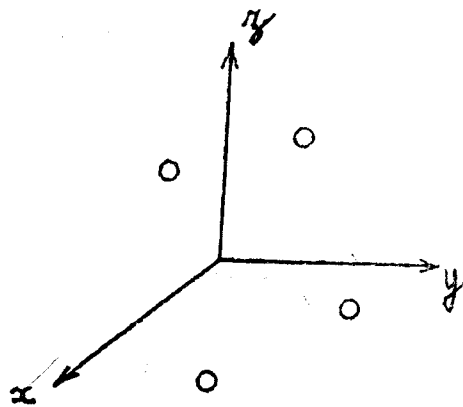
نلاحظ هنا أن  $G(v)$  يحوي فقط حدين بينما العلاقة (11 - 11) تحوي سلسلة حدود تطابق بين (11 - 11) و (21 - 11) نجد :

$$\omega_e = \beta \sqrt{\frac{D_e h}{2 \pi^2 c \mu}} \quad (11 - 22)$$

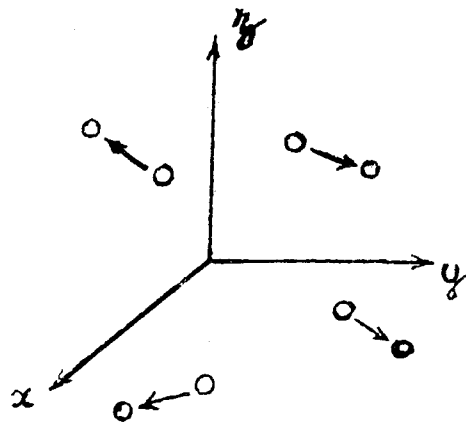
١١ - ٢ - الإهتزازات الطبيعية :

في جزيئة متعددة الذرات تهتز الأنوية حول وضع توازنها ( اهتزازات ذات سعة صغيرة ) وسنبين كيف يمكن لهذه الاهتزازات المعقدة أن تتحلل إلى مجموعة

اهتزازات طبيعية . هذا التحليل يسمح بكتابة الطاقة الاهتزازية لجزيئة كمجموع طاقات عدد من الهزازات الهارمونية ( التوافقية ) مرفقة بكل اهتزاز طبيعي . وسنفرض بأن الجزيء عندما يهتز يؤدي إلى تغير في الشكل الهندسي والشكل ( ١١ - ١٠ ) يعطي جزيئة رباعية الذرة والشكل ( ١١ - ١١ ) يمثل تشويه لشكل الجزيئة .



شكل ( ١١ - ١٠ )

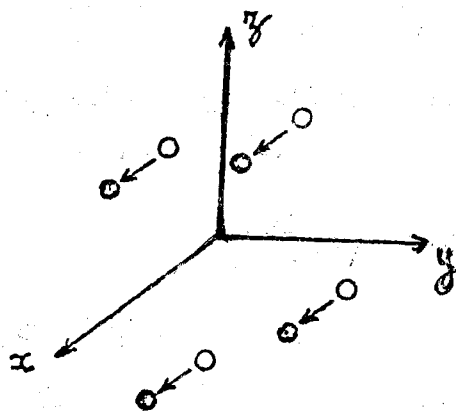


شكل ( ١١ - ١١ )

ولابعد الحركة الإنتقالية لمجموعة سنفرض أن :

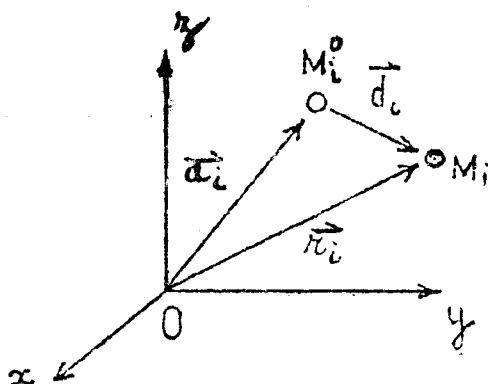
— المجموعة xyz ثابتة في الفضاء

— لن نعتبر مجموعة أشعة الإنتقال كما هي ممثلة في الشكل ( ١١ - ١٢ )



شكل ( ١١ - ١٢ )

الشكل ( ١١ - ١٣ ) يمثل الوضع اللحظي للنواة  $i$  ذات الكتلة  $M_i$  ووضع توازنها  $M_i^0$  لنفرض أن :



شكل ( ١١ - ١٣ )

شعاع الانتقال للنواة  $\vec{p}_i = \vec{r}_i - \vec{a}_i$  ( ١١ - ٢٢ )

$$\vec{r}_i \begin{vmatrix} x_i \\ y_i \\ z_i \end{vmatrix} \quad \vec{a}_i \begin{vmatrix} x_i^0 \\ y_i^0 \\ z_i^0 \end{vmatrix} \quad \vec{p}_i \begin{vmatrix} \Delta x_i \\ \Delta y_i \\ \Delta z_i \end{vmatrix} \quad (١١ - ٢٣)$$

وشعاع السرعة لهذه النواة هو :

$$\vec{v}_i \begin{vmatrix} x'_i = \Delta x'_i \\ y'_i = \Delta y'_i \\ z'_i = \Delta z'_i \end{vmatrix} \quad (١١ - ٢٤)$$

لنحدد بأي شكل المجموعة xyz بشكل التوازن للأتوية :

(a) - مبدأ المجموعة xyz (0) مختلط مع مركز الجاذبية للتشكيل التوازني

$$\sum_i m_i x_i^0 = 0 \quad \sum_i m_i y_i^0 = 0 \quad \sum_i m_i z_i^0 = 0$$

(b) — الاتجاهات xyz هي الاتجاهات الرئيسية الكمية حركة تشكيل التوازن :

$$\sum_i m_i x_i^0 y_i^0 = 0 \quad \sum_i m_i y_i^0 z_i^0 = 0 \quad \sum_i m_i x_i^0 z_i^0 = 0$$

الطاقة الحركية : تعطى الطاقة الحركية الإمتزازية بالعلاقة :

$$2 T_v = \sum_i^N m_i v_i^2 = \sum_{i=1}^N m_i (\Delta x_i'^2 + \Delta y_i'^2 + \Delta z_i'^2)$$

إذا أدخلنا احداثيات جديدة :

$$S_1 \quad S_2 \quad \dots \quad S_{3N}$$

الإنسحاب الديكارتي يساوي :

$$\sqrt{m_1} \Delta x_1 \quad \sqrt{m_1} \Delta y_1 \quad \sqrt{m_1} \Delta z_1 \quad \sqrt{m_2} \Delta x_2 \quad \dots \quad \sqrt{m_N} \Delta z_n$$

والطاقة الحركية للإمتزاز تأخذ الشكل :

$$2 T_v = \sum_{j=1}^{3N} S_j'^2$$

١١ - ٢ - ١ — الطاقة الكامنة :

يعبر عن الطاقة الكامنة كتابع للانسحابات الديكارتية  $S_j$  وبالتالي فإن الطاقة الكامنة تعطى :

$$\begin{aligned} 2 V = 2 V_0 + 2 \sum_{j=1}^{3N} \left( \frac{\partial V}{\partial S_j} \right)_0 S_j + \sum_{j,k=1}^{3N} \left( \frac{\partial^2 V}{\partial S_j \partial S_k} \right)_0 S_j S_k \\ + 1/3 \sum_{j,k} \left( \frac{\partial^3 V}{\partial S_j \partial S_k} \right) S_j S_k S_l + \dots \quad (11 - 25) \end{aligned}$$



والدليل 0 يعني وضع التوازن حيث :

$$S_1 = S_2 = \dots = S_{3N} = 0$$

وبما أنه فقط لفرق الكمون له معنى فيزيائي لذلك سنختاره  $V_0 = 0$  وهو وضع التوازن كذلك :

$$\left( \frac{\partial V}{\partial S_j} \right)_0 = 0 \quad j = 1, 2, \dots, 3N \quad (11 - 26)$$

ومنه نجد :

$$2V = \sum_{j,k=1}^{3N} f_{jk} S_j S_k + 1/3 \sum_{j,k,l}^{3N} f_{jkl} S_j S_k S_l + \dots \quad (11 - 27)$$

تعريف الاحداثيات الطبيعية :

سنفرض أن إنسحابات الأنوية صغيرة جداً بحيث يمكن أن نأخذ فقط الحد الأول من العلاقة (13) إذاً :

$$2T_v = \sum_{j=1}^{3N} S_j'^2 \quad (11 - 28)$$

$$2V' = \sum_{j,k=1}^{3N} f_{jk} S_j S_k \quad (11 - 29)$$

لنقوم بالتحويلة التالية :

$$Q_m = \sum_{j=1}^{3N} l_{mj} S_j \quad (11 - 30)$$

باستخدام العلاقة (16) نكتب :

$$2T_v = \sum_{m=1}^{3N} Q'^2_m \quad (11 - 31)$$

$$2V' = \sum_{m=1}^{3N} \lambda_m Q^2_m \quad (11 - 32)$$

تدعى الإحداثيات  $Q_m$  بالاحداثيات الطبيعية والطاقة الكلية لمجموعة المهتزازات الهارمونية تعطى بالعلاقة :

$$E_v = T_v + V' = \frac{1}{2} \sum_m (Q'^2_m + \lambda_m Q^2_m) \quad (11 - 33)$$

١١ - ٢ - ٢ - المعادلة السلمية :

باشتقاق المعادلة ( ١١ - ٢٣ ) بالنسبة للزمن نحصل على :

$$Q'_m = \sum_{j=1}^{3N} l_{mj} S'_j \quad (11 - 34)$$

هذه التحويلة المتعامده Orthogonale تترك علاقة مربع طول الشعاع لامتغير وخاصة أن الطاقة الحركية  $T_v$  . يمكن أن نعرف التحويلة ( ١١ - ٢٩ ) لتحويلة متعامده Orthogonal والتي تسمح بالإنتقال من العلاقة ( ١١ - ٢٩ ) إلى ( ١١ - ٣٢ ) أي بتقطير المصفوفة  $\{f_{jk}\}$  وليكن  $\lambda_m$  قيمتها الخاصة :

$$\begin{vmatrix} f_{11} - \lambda & f_{12} & \dots & f_{1N} \\ f_{21} & f_{22} - \lambda & \dots & f_{2,3N} \\ \vdots & \vdots & \ddots & \vdots \\ f_{3N,1} & \dots & \dots & f_{3N,3N} - \lambda \end{vmatrix} = 0 \quad (11 - 35)$$

يقال عن هذه المعادلة بالمعادلة السلمية أي :

$$\det (f_{ij} - \delta_{ij} \lambda) = 0 \quad (11 - 36)$$

$$\delta_{ij} = 1 \text{ إذا كان } i = j \text{ و } \delta_{ij} = 0 \text{ إذا كان } i \neq j \quad (11 - 37)$$

مبرهنة :

للمعادلة السامية (6) جذور معدومة مطابقة لاحداثيات مرافقة للانسحابات كجموعة للجزء .

لتبيان هذه النتيجة سنؤثر على الاحداثيات  $S_j$  ( المعرفة بالعلاقة 7 و 8 ) التحويلة المتعامدة .

$$R_n = \sum_{j=1}^{3N} L_{nj} S_j \quad (11 - 38)$$

حيث  $R_n$  هي  $3N$  احداثية مابين ( متوسطة ) نرمز لها بـ :

$$R_1, R_2, \dots, R_6 \quad Q'_1 \dots Q'_{3N-6}$$

والتحويلة 24 معرفة بالجدول I حيث  $R_1, R_2, R_3$  متناسبة مع اسقاط  $x, y, z$  للحد الأول من الشرط الأول لـ Eckart .

ونرى أن  $R_4, R_5, R_6$  متناسبة مع اسقاط  $x, y, z$  للحد الأول من الشرط الثاني لـ Eckart . الثوابت الستة  $N'_\alpha, N_\alpha$  ( $\alpha = x, y, z$ ) تكون ثوابت تنظيم مختاره بشكل :

$$\sum L_{nj}^2 = 1 \quad (11 - 39)$$

من أجل الاحداثيات الستة  $R_n$  تصبح :

$$N_x = N_y = N_z = \frac{1}{M^{1/2}} \quad \left( M = \sum_{i=1}^N m_i \right)$$

$$N'_x = \left[ \sum_i m_i (y_i^{\circ 2} + z_i^{\circ 2}) \right]^{-1/2} = (I_{xx}^{\circ})^{-1/2}$$

( ٤٠ - ١١ )

$$N'_y = (I_{yy}^{\circ})^{-1/2} \quad N'_z = (I_{zz}^{\circ})^{-1/2}$$

$I_{\alpha\alpha}^{\circ}$  العزم الحركي لتشكيلة التوازن بالنسبة للمحور  $\alpha = (x, y, z)$  المعاملات  $I_{\alpha\alpha}^{\circ}$  هي اختيارية إلا أنه يجب أن تختار بشكل تكون فيه  $Q'_n$  منتظمة ، متعامدة بين بعضها البعض ومعامده للإحداثيات  $R_n$  .

$$R_1 = N_x \sum_{i=1}^N m_i^{1/2} (m_i^{1/2} \Delta x_i)$$

$$R_2 = N_y \sum_{i=1}^N m_i^{1/2} (m_i^{1/2} \Delta y_i)$$

$$R_3 = N_z \sum_{i=1}^N m_i^{1/2} (m_i^{1/2} \Delta z_i)$$

$$R_4 = N'_x \sum_{i=1}^N m_i^{1/2} [ y_i^{\circ} (m_i^{1/2} \Delta z_i) - z_i^{\circ} (m_i^{1/2} \Delta y_i) ]$$

$$R_5 = N'_y \sum_{i=1}^N m_i^{1/2} [ z_i^{\circ} (m_i^{1/2} \Delta x_i) - x_i^{\circ} (m_i^{1/2} \Delta z_i) ]$$

$$R_6 = N'_z \sum_{i=1}^N m_i^{1/2} [ x_i^{\circ} (m_i^{1/2} \Delta y_i) - y_i^{\circ} (m_i^{1/2} \Delta x_i) ]$$

$$\begin{aligned}
 Q'_1 &= \sum_{j=1}^{3N} l'_{1j} S_j \\
 Q'_2 &= \sum_{j=1}^{3N} l'_{2j} S_j \\
 &\vdots \\
 Q'_{3N-6} &= \sum_{j=1}^{3N} l'_{3N-6j} S_j
 \end{aligned}$$

( ١١ - ٣٨ ) جدول I تعريف التحويلة

والجدول II يعطي مصفوفة معاملات  $L_{nj}$  ومن السهل التأكد أن هذه المصفوفة متعامده

$$\sum_j L_{nj} L'_{nj} = \delta'_{nn'}$$

—  $R_n$  منتظمة بفضل اختيار الثوابت  $N'_\alpha, N_\alpha$   
 —  $R_3, R_1, R_2$  متعامده ظاهرياً  
 —  $R_3, R_1, R_2$  متعامده مع  $R_4, R_6, R_6$  إذا اختيرت مجموعة الـ  $xyz$  بشكل تحقق العلاقات (4)

—  $R_4, R_5, R_6$  متعامده إذا اختيرت  $xyz$  بشكل تحقق العلاقات ( ١١ - ٢٤ )  
 أخيراً  $\Phi'_n$  منتظمة متعامده فيما بينها ومتعامدة مع  $R_n$  بإعتبار أننا فرضنا الشروط  
 التحويلة ( ١١ - ٣٨ ) متعامده . يمكن أن نكتب :

$$S_j = \sum_{n=1}^{3N} L_{nj} R_n$$

	$S_1 =$ $m_1^{1/2} \Delta x_2$	$S_2 =$ $m_1^{1/2} \Delta y_1$	$S_3 =$ $m_1^{1/2} \Delta z$	$S_4 =$ $m_2^{1/2} \Delta x_2$ .....
$R_1$	$m_1^{1/2} / M^{1/2}$	0	0	$m_2^{1/2} / M^{1/2}$ .....
$R_2$	0	$m_1^{1/2} / M^{1/2}$	0	0
$R_3$	0	0	$m_1^{1/2} / M^{1/2}$	0
$R_4$	0	$-\frac{m_1^{1/2} z_1^0}{(I_{xx}^e)^{1/2}}$	$\frac{m_1^{1/2} y_1^0}{(I_{xx}^e)^{1/2}}$	0
$R_5$	$\frac{m_1^{1/2} z_1^0}{(I_{yy}^e)^{1/2}}$	0	$-\frac{m_1^{1/2} x_1^0}{(I_{yy}^e)^{1/2}}$	$\frac{m_2^{1/2} z_2^0}{(I_{yy}^e)^{1/2}}$
$R_6$	$-\frac{m_1^{1/2} y_1^0}{(I_{zz}^e)^{1/2}}$	$\frac{m_1^{1/2} x_1^0}{(I_{zz}^e)^{1/2}}$	0	$-\frac{m_2^{1/2} y_2^0}{(I_{zz}^e)^{1/2}}$
$Q'_1$	$l'_{11}$	$l'_{12}$	$l'_{13}$	$l'_{14}$
$Q'_2$	$l'_{21}$	$l'_{22}$	$l'_{23}$	$l'_{24}$
.....	.....	.....	.....	.....

جدول II مصفوفة معاملات  $L_{nj}$

لدى قراءة الجدول II بشكل أفقي يسمح لنا بالتعبير عن  $R_n$  كتابع لـ  $S_i$  وعند قراءته عمودياً فهو يسمح لنا بالتعبير عن  $S_j$  كتابع لـ  $R_n$ . إذا فرضنا الآن أن كل الإحداثيات  $R_1$  معدومه ماعدا واحدة نرمز لها بـ  $R_n'$  تصبح :

$$S_j = L_{nj}' R_n' \quad (j = 1, 2, \dots, 3N) \quad (11 - 41)$$

وهي علاقات تسمح بالحصول على الإنزياحات لـ  $3N$  نواة  $\Delta\alpha_i$  ( $\alpha = x, y, z$ ) مرافقة لاحداثي  $R_n$  إذا فرضنا مثلاً :

$$R_1 = R$$

$$R_2 = R_3 = \dots = R_6 = Q'_1 = Q'_2 \dots = Q'_{3N6} = 0 \quad (11 - 42)$$

فالجدول II يسمح بكتابة العلاقات 28 تحت الشكل التالي :

$$S_1 = \frac{m_1^{1/2} R}{M^{1/2}}, S_2 = 0, S_3 = 0, S_4 = \frac{m_2^{1/2} R}{M^{1/2}} \quad (11 - 43)$$

ومنه :

$$\Delta x_1 = \Delta x_2 = \dots \Delta x_n = \frac{R}{M^{1/2}} \quad (11 - 44)$$

$$\Delta y_1 = \dots = \Delta y_N = \Delta z_1 \dots \Delta z_N = 0$$

وهذا يبين بأن الاحداثي  $R_1$  مرافق لانتقال كمجموعة للجزء بصورة موازية للمحور  $x$  والشيء ذاته بالنسبة للمحور  $y$ .

$R_3, R_2$  مرافقة لانتقالين كمجموعة موازية لـ  $z, y$  وأن  $R_4$  و  $R_5$  و  $R_6$  مرافقة لدورانات كمجموعة حول المحاور  $z, y, x$  على التوالي.

الاحداثيات  $R_n$  مرافقة للإنسحابات كمجموعة. والـ  $3N-6$  احداثية  $Q'_n$  المتعامده مرافقة لتشويحات تشكيله أنوية ما. ينتج بأن الطاقة الكمونية لاتعتمد إلا على التشويحات وستعطى بالعلاقة :

$$3N - 6$$

$$2V = \sum_{j, k=1} f'_{j,k} Q'_j Q'_k \quad (11 - 45)$$

بمقارنة العلاقتان ( ۱۱ - ۲۹ ) و ( ۱۱ - ۴۵ ) نجد أنه عندما نقوم بتغيير الاحداثيات ( ۱۱ - ۳۸ ) فتحويله مصفوفة المعاملات  $f_{jk}$  ( ۱۱ - ۳۸ ) يمكن أن تعطى كما يلي :

$$\begin{array}{c} S \\ \boxed{f_{jk}} \\ S \end{array} \longrightarrow \begin{array}{c} Q' \quad R \\ \boxed{\begin{array}{cc} f'_{jk} & 0 \\ 0 & 0 \end{array}} \\ R \end{array} \quad (11 - 46)$$

المربعات الكبيرة في المصفوفتين  $3N \times 3N$  وللانتقال إلى الاحداثيات الطبيعية  $Q_n$  المعرفة بـ ( ۱۱ - ۳۰ ) و ( ۱۱ - ۳۱ ) و ( ۱۱ - ۳۲ ) يكفي أن نجعل المصفوفة الجزئية  $f'_{jk}$  قطرية .

$$\begin{array}{c} \boxed{\phantom{f_{jk}}} \\ Q \end{array} \begin{array}{c} Q \quad R \\ \boxed{\begin{array}{cc} \lambda_1 & \\ \lambda_2 & \\ \lambda_2 & \end{array}} \\ R \end{array} \begin{array}{c} R \\ 0 \\ 0 \\ 0 \end{array} \quad (11 - 47)$$

برهنا على أن للمعادلة السلمية ( ۱۱ - ۳۵ ) ست جذور معلومه  $\lambda = 0$  كل واحد مرافق لإنزياح الجزئي كمجموعة ( bloc ) .



# ١١ - ٢ - ٣ - علاقة الطاقة الاهتزازية ( الكلاسيكية ) كنابع للإحداثيات الطبيعية :

الاعتبارات السابقة تؤدي لتمييز  $3N$  احداثية  $Q$  معرفة بالعلاقات ( ١١ - ٣٠ ) و ( ١١ - ٣١ ) و ( ١١ - ٣٢ ) فمن ناحية  $3N - 6$  احداثية طبيعية مرافقة للتشوهات نرمز لها بـ  $Q_1, Q_2, \dots, Q_{3N-6}$ .

ومن ناحية أخرى هناك ستة احداثيات للإنسحابات نرمز لها بـ  $R_1, \dots, R_6$  ومن أجل حركة أعم لمجموعة الأنوية تعطي عبارة الطاقة الكامنه والحركية بالعلاقتين :

$$2V' = \sum_{m=1}^{3N-6} \lambda_m Q_m' \quad (١١ - ٤٨)$$

$$2T = \sum_{m=1}^{3N-6} Q_m'^2 + \sum_{m=1}^6 R_m'^2 \quad (١١ - ٥٠)$$

إذا كنا مهتمين بالطاقة الحركية الاهتزازية  $T_v$  فالشروط التي تعبر عن عدم وجود إنتقال ولا دوران هي :

$$R_1 = R_2 = \dots = R_6 = 0 \quad (١١ - ٥١)$$

الشرط الأول والثاني لـ Eckart ومنه نجد :

$$2T_v = \sum_{m=1}^{3N-6} Q_m'^2 \quad (١١ - ٥٢)$$

وبالتالي الطاقة الكلية الاهتزازية في الميكانيك الكلاسيكي تعطى بالعلاقة :

$$E_v = T_v + V' = \frac{1}{2} \sum_{m=1}^{3N-6} (Q_m'^2 + \lambda_m Q_m^2) \quad (١١ - ٥٣)$$

لم ندخل حتى الآن تعددية الجذور الغير معدومة للمعادلة السلمية ليكن  $\lambda_s$  جذر غير معدوم للمعادلة السلمية 21 أي درجة التوالد  $d_s$  مساوية إلى 1 أو لـ 2 أو لـ 3 حسب الجذر فردي أو مضاعف أو ثلاثي .

- عندما يكون  $d_s = 1$  لكل جذر  $\lambda_s$  يطابق احداثي طبيعي واحد .
- عندما يكون  $d_s = 2$  لكل جذر  $\lambda_s$  يطابق احداثيان طبيعيين نرمز لها  $Q_{s1} - Q_{s2}$
- عندما يكون  $d_s = 3$  لكل جذر  $\lambda_s$  يطابق ثلاثة احداثيات طبيعية نرمز لها بـ  $Q_{s1}, Q_{s2}, Q_{s3}$  .

بصورة عامة ليكن  $Q_{ss}$  هو الاحداثي الطبيعي حيث  $s$  يميز الجذر  $\lambda_s$  الغير معدوم للمعادلة ( ١١ - ٣٥ ) و  $\sigma$  يمكن أن يأخذ القيم 1 أو 2 أو 3 ..... وبالتالي يمكن أن نكتب العلاقة ( ١١ - ٥٣ ) بالشكل :

$$E_v = T_v + V' = \sum_s \frac{1}{2} \left( \sum_{\sigma} Q'^2_{s\sigma} + \lambda_s \sum_{\sigma} Q^2_{s\sigma} \right) \quad (١١ - ٥٤)$$

والطاقة الإهتزازية تبدو كمجموعة حدود من الشكل :

إذا كان  $d_s = 1$  فإن

$$E_s = \frac{1}{2} [ Q'^2_s + \lambda_s Q^2_s ] \quad (١١ - ٥٥)$$

إذا كان  $d_s = 2$  فإن

$$E_s = \frac{1}{2} [ Q'^2_s + Q'^2_{2s} + \lambda (Q^2_{s1} + Q^2_{s2}) ] \quad (١١ - ٥٦)$$

إذا كان  $d_s = 3$  فإن :

$$E_s = \frac{1}{2} [ Q'^2_{s1} + Q'^2_{s2} + Q'^2_{s3} + \lambda_s (Q^2_{s1} + Q^2_{s2} + Q^2_{s3}) ] \quad (١١ - ٥٧)$$

وهذه العلاقات هي طاقات الهزاز التوافقي أحادي أو ثنائي أو ثلاثي البعد و  $\lambda_s$  ( ثابتة القوة ) .

والعلاقات التالية تسمح لنا بالانتقال من الإحداثيات الطبيعية إلى الديكارتية .

$$Q_{s\sigma} = \sum_{i=1}^N \sum_{\alpha} l_{is\sigma}^{\alpha} m_i^{1/2} \Delta \alpha_i \quad (11 - 58)$$

$$m_i^{1/2} \Delta \alpha_i = \sum_s \sum_{\sigma} l_{is\sigma}^{\alpha} Q_{s\sigma} \quad (11 - 59)$$

حالة جزيئات خطية :

ليكن المحور  $oz$  هو محور التوازن للجزيء الخطي حيث نعتبر الأنوية نقطية والدوران حول  $oz$  لا يؤدي إلى أي انزياح لتشكيلة التوازن وهذا يعني بأن  $3N$  درجة حرية تحدد الحركة الأكثر عموماً لمجموعة الأنوية والمؤلفه من خمس درجات حرية مرافقة لإنزياحات تشكيل التوازن و  $5 - 3N$  درجة حرية مرافقة لتشوهات تشكيل التوازن . ومنه نجد بأن عدد الاحداثيات الطبيعية لجزيئة بـ  $N$  ذرة مساوي إلى  $6 - 3N$  إذا كان الجزيء غير خطي و  $5 - 3N$  إذا كان الجزيء خطي .

١١ - ٢ - ٤ - الحساب العملي للإحداثيات الطبيعية :

تسمح الطريقة الموصوفة في الفقرة السابقة ( استخدام التحويلة 24 ) بفهم معنى الاحداثيات الطبيعية . إلا أنه للحساب العملي للإحداثيات الطبيعية أي حساب  $l_{is\sigma}^{\alpha}$  نستخدم طريقة أخرى لن نشرحها هنا ( احداثيات التناظر المصفوفات  $F$  و  $G$  لولسون ) .

مخططات الإهتزاز :

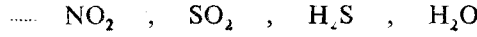
في المعادلة 45 إذا عدنا كل  $Q_{s\sigma}$  ماعدا واحدة نحصل على الانزياحات الديكارتية للأنوية من أجل أي احداثي طبيعي وبشرط معرفة قيم المعاملات  $l_{is\sigma}^{\alpha}$  . ومنها نوجد مخططات الإهتزاز المتعلقة بمختلف الإحداثيات الطبيعية لجزيء . وهذه المخططات معطية بالأشكال 5 و 6 و 7 لأنواع ثلاث من الجزيئات .

a - جزيء ثلاثي الذرة غير متناظر خطياً  $XY_2$  :

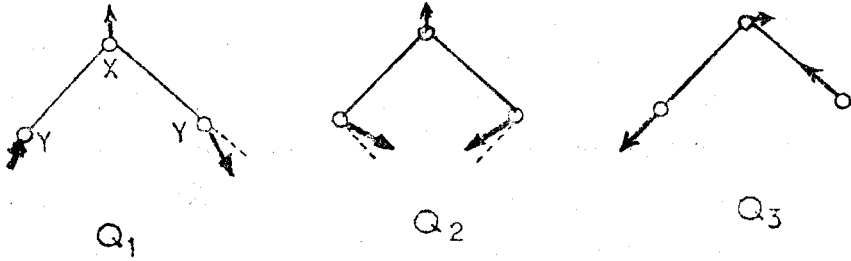
$$3N - 6 = 3 \quad N = 3$$

إذاً يوجد ثلاث احداثيات طبيعية ( $Q_1, Q_2, Q_3$ ) غير متوالده .

مثال :



$Q_3$  احداثي تكافؤ ضد متناظر ،  $Q_2, Q_1$  احداثيات موافقة اختلاط اهتزاز تكافؤ تناظري واهتزاز تشويه زاوية شكل ( ١١ - ١٤ ) عندما تكون كتلة النواة  $Y$  أكبر من كتلة  $X$  حالة  $\text{H}_2\text{S}$  و  $\text{H}_2\text{O}$  فالاحداثي  $Q$  بجوار احداثي التكافؤ التناظري والاحداثي  $Q_2$  قريب جداً من احداثي التشويه الزاوي .



شكل ( ١١ - ١٤ )

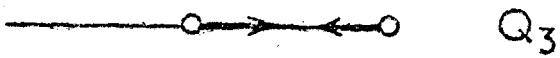
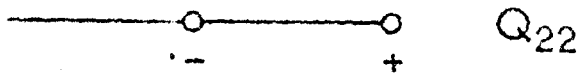
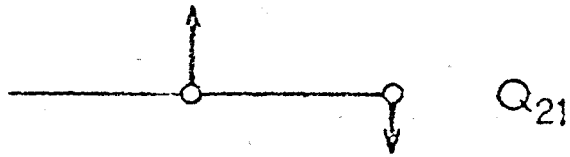
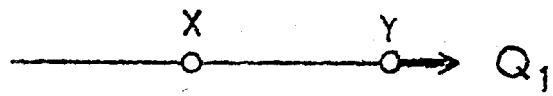
b - جزيئات خطية ثلاثية الذرة :

$$3N - 5 = 4 \quad N = 3$$

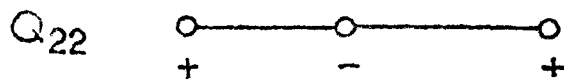
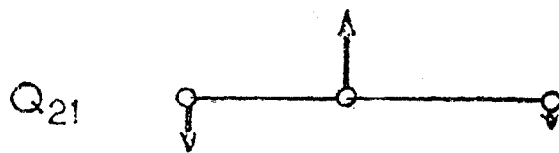
يوجد أربع احداثيات طبيعية إثنان منها ( $Q_3, Q_1$ ) غير متوالدان واثنان ( $Q_{21}$  و  $Q_{22}$ ) ينتميان إلى اهتزاز مضاعف التوالد . هنا نميز :

١ - جزيئات متناظرة  $\text{XY}_2$  مثال  $\text{CS}_2, \text{CO}_2$  ..... حيث  $Q_1$  احداثي تناظري للتكافؤ ،  $Q_{21}, Q_{22}$  احداثيات للتشويه الزاوي ( في مستويات متعامدان ) ينتميان لنفس الإهتزاز المضاعف التوالد شكل ( ١١ - ١٥ ) .

٢ - جزيئات غير متناظرة  $\text{XYZ}$  مثال  $\text{HCN}, \text{N}_2\text{O}$  ..... كما في الحالة السابقة الاحداثيات الغير متوالده  $Q_3, Q_1$  مرافقة لاهتزازات موازية لمحور الجزيء والاحداثيات  $Q_{21}$  و  $Q_{22}$  موافقة لإهتزاز ثنائي التوالد متعامد مع محور الجزيء شكل ( ١١ - ١٦ ) .



شکل ( ۱۱ - ۱۵ )



شکل ( ۱۱ - ۱۶ )

### ١١ - ٣ - السويات الاهتزازية للجزيئات المتعددة الذرات :

#### ١١ - ٣ - ١ - الكمون التوافقي :

رأينا سابقاً إذا كان الكمون المستخدم توافقي فالطاقة الاهتزازية في الميكانيك الكلاسيكي لجزيئة هي عبارة عن مجموع الطاقات لمجموعة الهزازات التوافقية أحادية أو ثنائية البعد . الشيء ذاته بالنسبة لميكانيك الكم فلمعرفة سويات الطاقة الاهتزازية يكفي معرفة سويات الطاقة للهزازات التوافقية أحادية أو ثنائية أو ثلاثية البعد .

#### ١١ - ٣ - ١ - الهزاز التوافقي أحادي البعد :

تعطى كافة طاقة الهزاز في الميكانيك الكلاسيكي بالعلاقة التالية :

$$E_s = \frac{1}{2} [Q_s'^2 + \lambda_s Q_s^2] \quad (١١ - ٦٠)$$

وسويات الطاقة الاهتزازية تعطى بالعلاقة الثانية :

$$E_{vs} = h \lambda_s^{1/2} (v_s + \frac{1}{2}) \quad (١١ - ٦١)$$

هذه السويات غير متوالده والتابع الحاصل المرفقة بهذه القيمة الخاصة هو  $\psi_{vs}(Q_s)$  مع ملاحظة انه في حالة جزيئة ثنائية الذرة هناك اهتزاز طبيعي واحد فقط وبالتالي يمكن اهمال القرين s أي ان :

$$E_v = h \lambda^{1/2} (v + \frac{1}{2}) = h \nu (v + \frac{1}{2}) \quad (١١ - ٦٢)$$

v تردد الهزاز الكلاسيكي والمساوي إلى :

$$\nu = \frac{1}{2\pi} \lambda^{1/2}$$

و  $\lambda$  تعطى بالعلاقة :

$$\lambda = \frac{f}{\mu} \quad \text{حيث } \mu \text{ الكتلة المختزلة .}$$

تسمح العلاقة السابقة بكتابة تابع الكمون لجزيئة ثنائية الذرة بالشكل :

$$V = \frac{1}{2} f (r - r_e)^2 = \frac{1}{2} \lambda (\mu^{1/2} (r - r_e))^2$$

يكتب الإحداثي الطبيعي لجزيء ثنائي الذرة بالشكل :

$$Q = \mu^{1/2} (r - r_e)$$

١١ - ٣ - ١ - الهزاز التوافقي ثنائي الأبعاد :

تعطى طاقة هذا الهزاز بالعلاقة :

$$E_s = \frac{1}{2} [ Q'^2_{s1} + Q'^2_{s2} + \lambda (Q^2_{s1} + Q^2_{s2}) ]$$

وهي مجموع طاقتي هزازتين توافقيتين إذاً سويات الطاقة تعطى بـ :

$$E = h \lambda^{1/2} s (v_{s1} + \frac{1}{2} + v_{s2} + \frac{1}{2}) \quad (١٦ - ٦٣)$$

ونرى بأن السويات لا تعتمد بصورة منفصلة على العددين الكوانتين  $v_{s1}$  و  $v_{s2}$  بل تعتمد على مجموعهما :

$$v_s = v_{s1} + v_{s2} \quad (١١ - ٦٤)$$

يمكننا إذاً كتابة العلاقة ( ١١ - ٦٣ ) تحت الشكل التالي :

$$E_{v_s} = h \lambda_s^{1/2} (v_s + \frac{1}{2}) \quad (١١ - ٦٥)$$

حيث  $v_s = 0, 1, 2, \dots$

الحالات الخاصة تعتمد بنفس الوقت على قيم  $v_{s2}, v_{s1}$  إذاً :

$$\psi_{v_{s1}, v_{s2}} = \psi_{v_{s1}}(Q_{s1}) \psi_{v_{s2}}(Q_{s2})$$

إذاً من أجل كل قيمة لـ  $v_s$  هناك عدد كبير من الحالات الخاصة وهناك طرق منفصلة للحصول على  $v_s$  بدءاً من  $v_{s2}, v_{s1}$

$$\begin{array}{ccccccc} v_{s1} = 0 & 1 & 2 & \dots & v_s \\ v_{s2} = v_s & v_{s-1} & v_{s-2} & \dots & 0 \end{array}$$

إذاً هناك  $v_s + 1$  حالة خاصة نقول بأن درجة التوالد للسوية  $E_{v_s}$  هو :

$$g_s(v_s) = v_s + 1 \quad (11 - 66)$$

وهكذا يكون لدينا :

$$g_s(0) = 1$$

$$g_s(1) = 2 = d_s$$

$$g_s(2) = 3$$

نلاحظ أن السوية الأساسية غير متوالده والسوية المخروضة الأولى لها نفس درجة توالد طاقة الإهتزاز الطبيعي ( اهتزاز مضاعف التوالد للهزاز ثنائي البعد ) .

**الحل بالاحداثيات القطبية :**

بحل معادلة شرودينغر للهزاز التوافقي ثنائي البعد باستخدام الاحداثيات القطبية  $r_s$  و  $X_s$  .

$$Q_{s1} = r_s \cos X_s$$

$$Q_{s2} = r_s \sin X_s$$

نجد نفس العلاقة ( 11 - 65 ) لكن الحالات الخاصة فهي :

$$\psi_{v_s l_s}(r_s, X_s) = F_{v_s | l_s}(r_s) e^{i l_s X_s}$$

حيث F تابع للإحداثيات  $r_s$  والعدد الكمي  $l_s$  يأخذ القيم التالية :

$$l_s = v_s, v_s - 2, v_s - 4, \dots, -(v_s - 2), -v_s$$

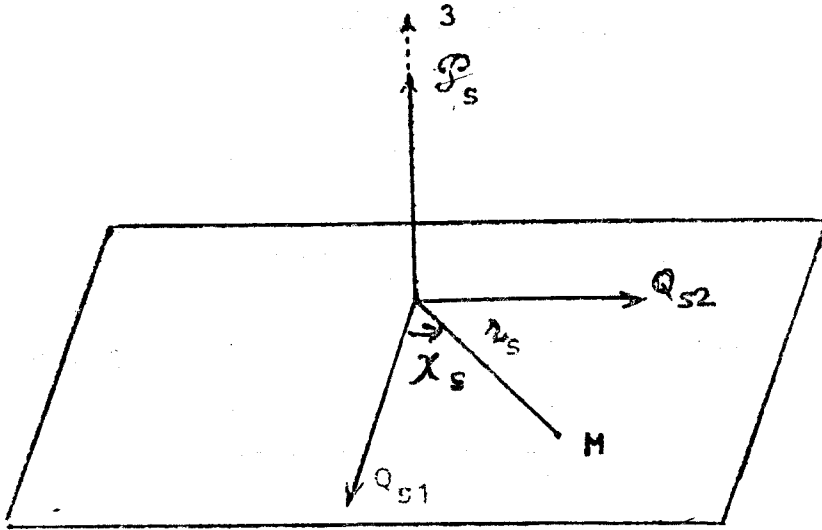
لكن :

$$|l_s| = v_s, v_s - 2, \dots, 0 \text{ أو } 1$$

أما المعنى الفيزيائي لـ  $l_s$  فهو : ليكون لدينا فضاء معرف بـ  $Q_{s1}$  و  $Q_{s2}$  شكل ( 11 - 17 ) في كل نقطة M من المستوي P يرفق بها هزاز s وكل حالة اهتزاز للهزاز تطابق حركة لـ M في المستوي P . العزم الزاوي ( العزم الحركي )  $P_s$  الذي يميز هذه الحركة هو شعاع له نفس المحاور z المتعامد مع  $Q_{s1}$  ,  $Q_{s2}$  ويعطى الحساب بأن :



$$P_s = h l_s$$



شكل ( ١١ - ١٧ )

١١ - ٣ - ٢ - الهزاز التوافقي ثلاثي البعد :  
تعطى طاقة الهزاز بالعلاقة :

$$E_s = \frac{1}{2} [Q'^2_{s1} + Q'^2_{s2} + Q'^2_{s3} + \lambda_s (Q^2_{s1} + Q^2_{s2} + Q^2_{s3})]$$

أي هي مجموعة طاقات ثلاثة هزازات توافقية احادية البعد وعليه فسويات الطاقة هي :

$$E = h \lambda_s^{1/2} (v_{s1} + \frac{1}{2} + v_{s2} + \frac{1}{2} + v_{s3} + \frac{1}{2})$$

والسويات تعتمد فقط على المجموع :

$$v_s = v_{s1} + v_{s2} + v_{s3}$$

يمكن إذا كتابة العلاقة السابقة بالشكل :

$$E_{vs} = h \lambda^{1/2} (v + \frac{3}{2})$$

والحالات الخاصة المرافقة هي :

$$\psi_{v_{s1}, v_{s2}, v_{s3}}(Q_{s1}, Q_{s2}, Q_{s3}) = \psi_{v_{s1}}(Q_{s1}) \psi_{v_{s2}}(Q_{s2}) \psi_{v_{s3}}(Q_{s3})$$

وعليه فدرجة التوالد هي :

$$g_s(v_s) = \frac{(v_s + 1)(v_s + 2)}{2}$$

مثال :

	$v_{s1}$	$v_{s2}$	$v_{s3}$	
$v_s = 0$	0	0	0	$g_s(0) = 1$
	1	0	0	
$v_s = 1$	0	1	0	$g_s(1) = 3 = d_s$
	0	0	1	
	2	0	0	
	0	2	0	
$v_s = 2$	0	0	2	$g_s(2) = 6$
	1	1	0	
	1	0	1	
	0	1	1	

١١ - ٣ - ٣ - الحدود الطيفية الاهتزازية :

ينتج مما سبق نرى بأن الطاقة الاهتزازية تعطى بالشكل :

$$E_s = \sum_s h \lambda_s^{1/2} \left( v_s + \frac{d_s}{2} \right)$$

حيث  $d_s = 1, 2, 3$  هي درجة التوالد للاهتزاز  $s$  والحد الطيفي الاهتزازي يعطى  
إذاً بالعلاقة :

$$G = \frac{Ev}{hc} = \sum_s \omega_s \left( v_s + \frac{d_s}{2} \right)$$

مع :

$$\omega_s = \frac{\lambda_s^{-1/2}}{2 \pi c} \quad \lambda_s = (2 \pi c \omega_s)^2$$

## ٢ - كمون لاتوافقي :

لننشر بسلسلة بالنسبة للاحداثيات الطبيعية فالكمون يكتب تحت الشكل التالي

$$V = \frac{1}{2} \sum_{s\sigma} \lambda_s Q_{s\sigma}^2 + \sum_{s\sigma s'\sigma''\sigma'''} K_{ss'\sigma''\sigma'''} Q_{s\sigma} Q_{s'\sigma''} Q_{s''\sigma'''} + \dots$$

$$+ \sum_{s\sigma s'\sigma''\sigma'''} K_{ss'\sigma''\sigma'''} Q_{s\sigma} Q_{s'\sigma''} Q_{s''\sigma'''} Q_{s'''} + \dots$$

( ١١ - ٦٧ )

حيث الحد الأول من علاقة الكمون موافق لكمون الهزاز التوافقي وكل حد هو صغير بالنسبة للحد الذي يسبقه وسويات الطاقة يمكن حسابها بطريقة الإضطراب حيث نجد النتيجة التالية :

$$Ev/hc = G = \sum_s \omega_s (v_s + \frac{d_s}{2}) + \sum_{\substack{ss' \\ s \leq s'}} X_{ss'} (v_s + \frac{d_s}{2}) (v_{s'} + \frac{d_{s'}}{2})$$

( مضاعف التوالد )

$$+ \sum_{\substack{ss' \\ s \leq s'}} g_{ss'}^v l_s l_{s'}$$

( ١١ - ٦٨ )

الحد الأول للعنصر الثالث مطابق لفقرة الهزاز التوافقي ، والجمع في الحد الأخير لايتدخل إلا فقط في حالة الاهتزازات المضاعفة المتوالدة .

ملاحظات :

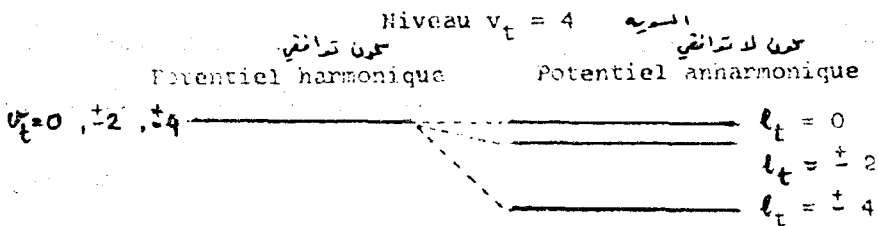
a - العلاقة السابقة صالحة لأجل الجزينات ذات الإهتزازات المتوالده والمضاعفة

التوالد معاً . ( جزيئات ذات تناظر محوري و-جزيئات خطية ) . وهي صالحة أيضاً للجزيئات التي لا تملك إلا اهتزازات غير متوالده ( جزيئات من نوع مخروط غير متناظر Tougie asymtrique ) وفي هذه الحالة الحد الأخير من العلاقة معدوم والعلاقة ( ١١ - ٦٨ ) غير صالحة لجزيئات ذات اهتزازات ثلاثية التوالد ( جزيئات من نوع مخروط متناظر toupie symetrie ) في هذه الحالة الحد الأخير في العلاقة ( ١١ - ٦٨ ) يأخذ شكل أكثر تعقيداً .

b - إذا أخذنا فقط الحد الأول من العلاقة ( ١١ - ٦٧ ) ( كمون توافقي ) فالقسم الثالث من المعادلة ( ١١ - ٦٨ ) يختزل إلى حده الأول خطي بالنسبة لـ  $v_s + (d_s/2)$  وهذه المعادلة يجب اعتبارها كنشر محدود مطابق للحالة التي نوقف فيها العلاقة ( ١١ - ٦٧ ) لـ كمون عند الحد التربيعي . سنحصل على التقريب التالي بإبقاء في المعادلة ( ١١ - ٦٧ ) الحدود ذات الرتبة الخامسة والسادسة بالنسبة لـ  $Q_{sr}$  والحد الطيفي سيحوي بالإضافة للحدود الخطية والتربيعية في العلاقة ( ١١ - ٦٨ ) حدود من المرتبة الثالثة بالنسبة للأعداد الكمية مثال :

$$y_{ss''} \left( v_s + \frac{d_s}{2} \right) \left( v_s' + \frac{d_s'}{2} \right) \left( v_s'' + \frac{d_s''}{2} \right)$$

c - وجدنا سابقاً في تقريب الكمون التوافقي بأن سوية حيث الاهتزاز متوالد (واحدة فقط) محرصة بـ  $v_t$  لها مرتبة توالد  $g(v_t)$  مساوية إلى  $v_t + 1$  بصور أخرى هناك  $v_t + 1$  حالة خاصة مميزه بـ قيم مختلفة لـ  $l_t$  ومطابقة لنفس الطاقة ( الحد الطيفي يتعلق فقط بـ  $v_t$  ) . والعلاقة ( ١١ - ٦٨ ) تبين بان لا توافقية الكمون ترفع جزئياً من التوالد لـويات الطاقة المرافقة للهزازات المتوالده شكل ( ١١ - ١٨ ) .



شكل ( ١١ - ١٨ )

### أمثلة :

a — جزيئات ثلاثية الذرة غير خطية متناظرة ( $\text{NO}_2$ ,  $\text{SO}_2$ ,  $\text{H}_2\text{S}$ ,  $\text{H}_2\text{O}$ ) أو غير متناظرة ( $\text{NOC}$ ) :

لهذه الجزيئات ثلاثة اهتزازات طبيعية غير متوالده والمعادلة ( ١١ — ٦٨ ) تأخذ شكل :

$$\begin{aligned} G(v_1, v_2, v_3) = & \omega_1(v_1 + \frac{1}{2}) + \omega_2(v_2 + \frac{1}{2}) + \omega_3(v_3 + \frac{1}{2}) \\ & + X_{11}(v_1 + \frac{1}{2})^2 + X_{22}(v_2 + \frac{1}{2})^2 + X_{33}(v_3 + \frac{1}{2})^2 \\ & + X_{23}(v_2 + \frac{1}{2})(v_3 + \frac{1}{2}) + X_{13}(v_1 + \frac{1}{2})(v_3 + \frac{1}{2}) \\ & + X_{12}(v_1 + \frac{1}{2})(v_2 + \frac{1}{2}) \end{aligned} \quad (١١ - ٦٩)$$

b — جزيئات ثلاثية الذرة خطية متناظرة ( $\text{CO}_2$ ,  $\text{CS}_2$ ) أو غير متناظرة ( $\text{OSC}$  ,  $\text{NO}_2$ ,  $\text{HCN}$ ) :

لهذه الجزيئات اهتزازتان طبيعيتان غير متوالدتان ( $s = 1, 3$ ) واهتزازة طبيعية مضاعفة التوالد ( $s = 2$ ) والمعادلة ( ١١ — ٦٨ ) تأخذ الشكل :

$$\begin{aligned} G(v_1, v_2, v_3) = & \omega_1(v_1 + \frac{1}{2}) + \omega_2(v_2 + 1) + \omega_3(v_3 + \frac{1}{2}) \\ & + X_{11}(v_1 + \frac{1}{2})^2 + X_{22}(v_2 + 1)^2 + X_{33}(v_3 + \frac{1}{2})^2 \\ & + X_{23}(v_2 + 1)(v_3 + \frac{1}{2}) + X_{13}(v_1 + \frac{1}{2})(v_3 + \frac{1}{2}) \\ & + X_{12}(v_1 + \frac{1}{2})(v_2 + 1) + g_{22}^v l_2^2 \dots \end{aligned} \quad (١١ - ٧٠)$$

### رموز السويات :

سيرمز للسويات الاهتزازية برمز مشكل حسب متتالية الأعداد الكمية  $v_s$  ( هذه القيم تعمل بها عندما تكون  $s$  مضاعفة التوالد ) ومن مركبة مساوية إلى القيمة المطلقة  $l_s$  . سيرمز للسويات الاهتزازية للجزيئات  $\text{XY}_2$  أو  $\text{XYZ}$  الغير خطية بـ ( $v_1, v_2, v_3$ ) والسويات الاهتزازية للجزيئات  $\text{XY}_2$  أو  $\text{XYZ}$  الخطية بـ ( $v_1, v_2, v_3$ ) .

أمثلة :

جزيئات ثلاثية الذرة خطية		جزيئات ثلاثية الذرة غير خطية
$\Sigma$	0 0° 0	(0 0 0)
$\Sigma$	1 0° 0	(1 0 0)
$\pi$	0 1° 0	(0 1 0)
$\Sigma$	0 0° 1	(2 0 0)
$\Sigma$	2 0° 0	(0 2 0)
$\Delta$	$\left\{ \begin{array}{l} (0 \ 2^2 \ 0) \\ (0 \ 2^0 \ 0) \end{array} \right\}$	(0 0 2)
$\Sigma$	(0 0° 2)	(1 1 0)
$\pi$	(1 1° 0)	

في حالة الجزيئات ثلاثية الذرات الخطية يجب الأخذ بعين الاعتبار للشرط (18) وعليه فستويات الطاقة سيرمز لها على التوالي بالأحرف وذلك حسب قيم  $|I_2|$  :

	$\Sigma$	$\pi$	$\Delta$	$\Phi$	$\Gamma$	.....
$ I_2 $	0	1	2	3	4	.....

الحد الطيفي  $G_0$  :

سيكون من السهل حساب الحد الطيفي بالنسبة لأخفض سوية اهتزازية :

$$G(v_1 v_2 \dots I_t \dots) - G(0 \ 0 \dots 0 \dots) = G_0(v_1 v_2 \dots I_t \dots) \quad (11 - 71)$$

حيث  $G_0$  سيأخذ الشكل التالي :

$$G_0(v_1 v_2 \dots I_t \dots) = \sum_s \omega_s^0 v_s + \sum_{\substack{ss' \\ s \leq s'}} X_{ss'} v_s v_{s'} + \sum_{\substack{ss' \\ s \leq s'}} g_{ss'}^v I_s I_{s'} \dots \quad (11 - 72)$$

والمسألة هي معرفة قيم الحدود الطيفية انطلاقاً من طيف وحساب ثوابت الاهتزاز  $g, x, \omega$  ولعمل هذا يكون أسهل نشر الحد الطيفي بالنسبة لـ  $v_2$  وليس بالنسبة لـ  $[v_s + (d_s/2)]$ .

مثال ( ١ ) :

جزئيات ثلاثية الذرة غير خطية :

يعطى الحد الطيفي  $G(v_1, v_2, v_3)$  بالعلاقة ( ١١ - ٦٩ ) :

$$G(0,0,0) = \frac{1}{2} \omega_1 + \frac{1}{2} \omega_2 + \frac{1}{2} \omega_3 + \frac{1}{4} X_{11} + \frac{1}{4} X_{22} + \frac{1}{4} X_{33} + \frac{1}{4} X_{12} + \frac{1}{4} X_{13} + \frac{1}{4} X_{23} \quad (١١ - ٧٣)$$

$$G_0(v_1, v_2, v_3) = \omega_1^0 v_1 + \omega_2^0 v_2 + \omega_3^0 v_3 + X_{11} v_1^2 + X_{22} v_2^2 + X_{33} v_3^2 + X_{12} v_1 v_2 + X_{13} v_1 v_3 + X_{23} v_2 v_3 \quad (١١ - ٧٤)$$

مع :

$$\omega_1^0 = \omega_1 + X_{11} + \frac{1}{2} X_{12} + \frac{1}{2} X_{13}$$

$$\omega_2^0 = \omega_2 + X_{22} + \frac{1}{2} X_{12} + \frac{1}{2} X_{23}$$

$$\omega_3^0 = \omega_3 + X_{33} + \frac{1}{2} X_{13} + \frac{1}{2} X_{23}$$

نحصل على العلاقات السابقة بمطابقة المعادلة ( ١١ - ٧١ ) مع العلاقات ( ١١ - ٦٩ ) و ( ١١ - ٧٣ ) و ( ١١ - ٧٤ ) .

مثال ٢ :

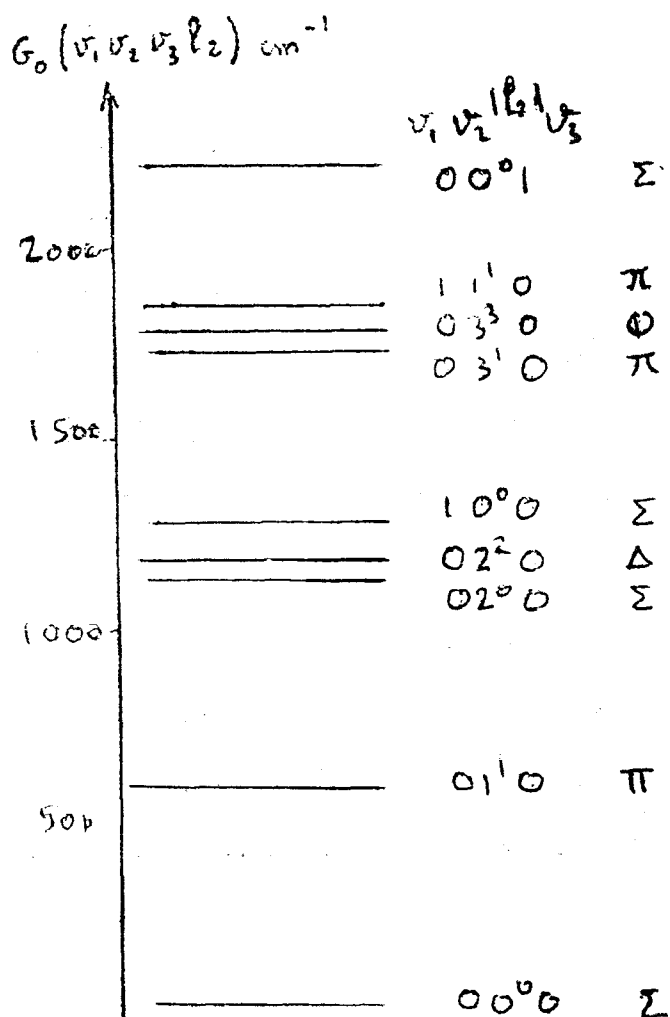
جزئيات ثلاثية الذرة خطية :

يعطى الحد الطيفي  $G(v_1, v_2, v_3/2)$  بالعلاقة ( ١١ - ٧٠ ) وبحساب مشابه للفقرة السابقة نجد :

$$G_0(v_1, v_2, v_3/2) = \omega_1^0 v_1 + \omega_2^0 v_2 + \omega_3^0 v_3 + X_{11} v_1^2$$

$$+ X_{22} v_2^2 + X_{33} v_3^2 + X_{12} v_1 v_2 + X_{13} v_1 v_3$$

$$+ X_{23} v_2 v_3 + g_{22}^v l_2^2 \quad (V_0 - 11)$$



شكل ( 11 - 19 )

مع :

$$\omega_1^0 = \omega_1 + X_{11} + X_{12} + \frac{1}{2} X_{13}$$

$$\omega_2^0 = \omega_2 + 2 X_{22} + \frac{1}{2} X_{12} + \frac{1}{2} X_{23}$$



$$\omega_3^0 = \omega_3 + X_{23} + \frac{1}{2} X_{13} + X_{23}$$

مرتبة قيم ثوابت الإهتزاز للجزيء (N<sub>2</sub>O) جزيء خطي :

$$\omega_1 = 1299.8 \quad X_{11} = -3.2 \quad X_{12} = 4.7$$

$$\omega_2 = 595.5 \quad X_{22} = -2.3 \quad X_{23} = -12.4$$

$$\omega_3 = 227.5 \quad X_{33} = -13.7 \quad X_{13} = -26.1 \quad (11 - 76)$$

$$g_{22}^v = 3.0$$

( الواحدة cm<sup>-1</sup> ) .

والشكل ( ١١ - ١٩ ) يعطي مخططات سويات الطاقة لأخفض طاقة اهتزازية

للجزيء N<sub>2</sub>O :



# الفصل الثاني عشر

## السويات الدورانية للبعزئات

١ - الدائر القاسي Le Rotateur Rigide :

سندرس في الجزء الأول من هذا الفصل دوران جزيء سيفترض أنه قاسي .  
أي أن تشكيلة الأنوية مطابق في كل لحظة لتشكيلة التوازن والفائدة من هذه  
الدراسة أنها :

- تشكل تقريب كاف وجيد لأخذ بعين الاعتبار للميزات الرئيسة لطبوف  
الدوران .

- نخدم النتائج الحاصلة كنقطة انطلاق لدراسة أدق حيث يتم الحصول على سويات  
الطاقة لدائر غير قاسي بطريقة الاضطراب بالنسبة لدائر قاسي .

١٢ - ١ - عزوم العطالة - تصنيف الدورات :

عزوم وجداءات العطالة :

لنرمز بـ  $m_i$  الكتلة النواة  $i$  وبـ  $x_i, y_i, z_i$  لاحداثيات  $m_i$  بالنسبة لمجموعة مرجعه  
مرتبطة بتشكيلة التوازن يمكن تعريف ثلاثة عزوم عطالة :

$$I_{xx} = \sum_i m_i (y_i^2 + z_i^2)$$

$$I_{yy} = \sum_i m_i (x_i^2 + z_i^2) \quad (1 - 12)$$

$$I_{zz} = \sum_i m_i (x_i^2 + y_i^2)$$

وكذلك ثلاثة جداءات العطالة :

$$I_{xy} = \sum_i m_i x_i y_i$$

$$I_{yz} = \sum_i m_i y_i z_i \quad (2 - 12)$$

$$I_{xz} = \sum_i m_i x_i z_i$$

وتأخذ القيم السابقة في وضع التوازن العلاقات التالية :

$$I_{xx}^e = \sum_i m_i (y_i^{o2} + z_i^{o2}) , \quad I_{xy}^e = \sum_i m_i x_i^o y_i^o$$

$$I_{yy}^e = \sum_i m_i (x_i^{o2} + z_i^{o2}) , \quad I_{yz}^e = \sum_i m_i y_i^o z_i^o \quad (3 - 12)$$

$$I_{zz}^e = \sum_i m_i (x_i^{o2} + y_i^{o2}) , \quad I_{xz}^e = \sum_i m_i x_i^o z_i^o$$

حيث  $x_i^o, y_i^o, z_i^o$  إحداثيات وضع التوازن للنواة  $i$ .

١٢ - ١ - ١ - عزوم العطالة الرئيسية :

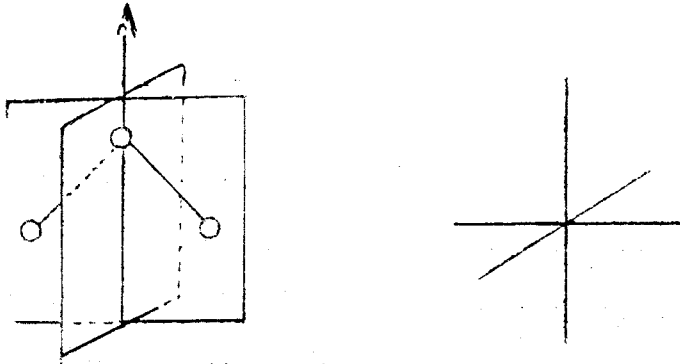
لنتذكر أنه إذا اعتبرنا عزم عطالة لمجموعة بالنسبة لمحور متغير مار من مركز

الجاذبية . فيوجد في الحالة العامة ثلاثة اتجاهات متعامده فيما بينها تكون فيها عزوم العطالة ذات قيمة دنيا أو عظمى . تدعى هذه الاتجاهات بالاتجاهات الرئيسية وعزوم العطالة الموافقة لها بالعزوم الحركية الرئيسية وتكون الجداءات معدومه أي المحاور الرئيسية تتطابق مع محاور التناظر وهي متعامده مع مستويات التناظر .

١٢ - ١ - ٢ - أمثلة :

(a) جزيئات  $XY_2$  غير خطية ( مثال  $H_2O$  ) :

تشكيلة التوازن لهذه الجزيئة هي مثلث isocel حيث عناصر التناظر ( محور من المرتبة الثانية، مستويات يحتويان المحور ومتعامدان فيما بينهما ) ممثلة على الجزء الأيسر من الشكل ( ١ - ١٢ ) . الاتجاهات الرئيسية لعزوم العطالة ممثلة على الطرف اليميني في الشكل ( ١ - ١٢ )



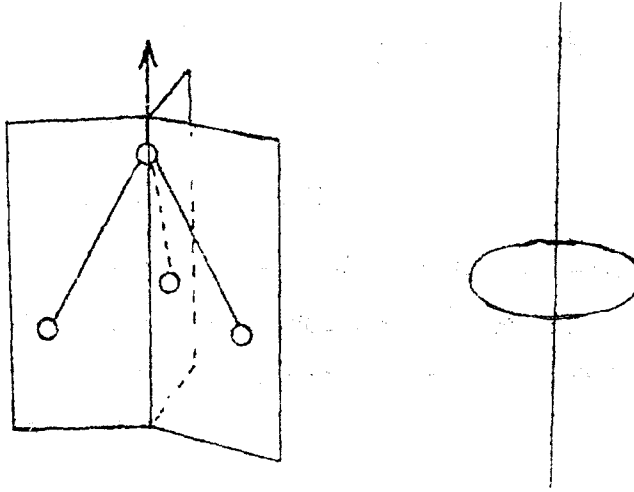
شكل ( ١ - ١٢ )

(b) - جزيئات  $XY_3$  هرمية مثال  $NH_3$  :

تشكيلة التوازن لهذه الجزيئة عبارة عن هرم قاعدته مثلث متساوي الأضلاع وعناصر تناظرة ( محور من المرتبة الثالثة ، ثلاثة مستويات تحوي محور التناظر بينها زاوية  $120^\circ$  ) ممثلة على القسم الأيمن من الشكل ( ١٢ - ٢ ) .

الاتجاهات الرئيسية مخططة على القسم اليساري من الشكل ( ١٢ - ٢ ) وحسب القاعده اعلاه هناك على الأقل ثلاثة اتجاهات رئيسية في مستوي متعامد مع المحور .

نبين أنه ضمن هذه الاتجاهات كل اتجاه موضوع في هذا المستوى هو اتجاه رئيسي لعزم العطالة .



شكل ( ١٢ - ٢ )

(c) - جزيئات  $XY_4$  رباعية الذرة ( مثال  $CH_4$  ) :

تشغل الأنوية الأربعة Y في وضع التوازن رؤوس هرم رباعي نظامي حيث تشغل الذرة X المركز ، وعليه فإن تشكيلة التوازن لها عناصر تناظر هي أربع محاور من المرتبة الثالثة موجهة حسب الرابطة XY شكل ( ١٢ - ٣ )

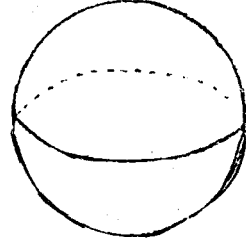
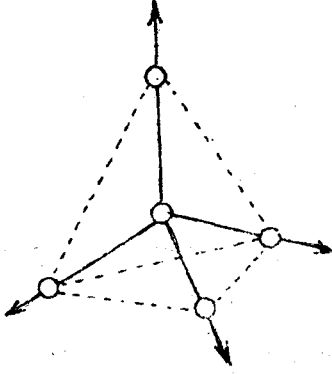
ونبين بأنه حسب هذه الإتجاهات كل اتجاه في الفضاء هو اتجاه رئيسي لعزم العطالة .

١٢ - ١ - ٣ - تصنيف الدائرين ( مجموع دائر ) :

(a) - دائر غير متناظر (Toupie asymetrique) ( منحروط غير متناظر ) :

حيث عزوم العطالة الرئيسة غير متساوية أي :

$$I_{xx} \neq I_{yy} \neq I_{zz} \quad ( ١٢ - ٤ )$$



شكل ( ١٢ - ٣ )

(b) - دوائر متناظر (Toupie symetrique) يدعى أيضاً جزيء بتناظر محوري :

عزما العطالة الرئيسيان متساويان ( سنختار محور رئيسي للعزم الحركي مثل المحور z ) .

$$I_{xx}^e = I_{yy}^e \neq I_{zz}^e \quad ( ١٢ - ٥ )$$

القطع الناقص لعزم العطالة هو متطور ويوجد عدد لانهائي من المحاور الرئيسية في المستوي XY equatorial يقال عن الدوائر المتناظر بأنه مسطح أو مطاول حسب القطع الناقص لعزم العطالة هو قطع ناقص متطور مسطح ( $I_{xx}^e = I_{yy}^e < I_{zz}^e$ ) أو مطاول ( $I_{xx}^e = I_{yy}^e > I_{zz}^e$ ) .

(c) - جزيء خطي : دوائر خطي :

العلاقة (5) محققه لكن عزم العطالة حسب oz معدوم :

$$I_{xx}^e = I_{yy}^e \quad I_{zz}^e = 0 \quad ( ١٢ - ٦ )$$

وعليه فإن القطع الناقص للعزم الحركي اسطوانة ذات تطور .

(d) - دوائر كروي (Toupie phérique) :

عزوم العطالة الرئيسية متساوية :

$$I_{xx}^e = I_{yy}^e = I_{zz}^e \quad (١٢ - ٧)$$

ومجسم عزم العطالة هو كرة وكل محور يمر من المركز هو محور رئيسي .

## ١٢ - ٢ - طاقة الدائر القاسي في الميكانيك الكلاسيكي :

نقترح دراسة حركة الدائر القاسي المؤلف من جزيئة غير قابلة للتشويه حيث إن تشكيلة الأنوية موافقة لتشكيلة التوازن . المحاور xyz هي محاور رئيسة لعزم العطالة لتشكيلة التوازن وهي غير مرتبطة بالدائر وتدور معه . سنعرف مجموعة مرجعة XYZ لها نفس مبدأ xyz ولنعتبر أن السرعة الزاوية للدائر بالنسبة للثلاثية XYZ هي  $\omega_x, \omega_y, \omega_z$  مأخوذة على المحاور المتحركة المرتبطة بالجزء وبغياب الحقل الخارجي فإن الطاقة الكامنة معدومة لدائر صلب والطاقة عندئذ :

$$T_R = \frac{1}{2} I_{xx}^e \omega_x^2 + \frac{1}{2} I_{yy}^e \omega_y^2 + \frac{1}{2} I_{zz}^e \omega_z^2 \quad (١٢ - ٨)$$

## ١٢ - ٢ - ١ - العزم الزاوي :

يعتلى العزم الزاوية بالعلاقة :

$$\mathbf{P} = \sum m_i \mathbf{r}_i \wedge \mathbf{v}_i \quad (١٢ - ٩)$$

حيث  $\mathbf{r}_i$  و  $\mathbf{v}_i$  شعاع الموضع والسرعة للجزء i بالنسبة لثلاثية XYZ ومركبات العزم الزاوي هي :

$$P_x = \frac{\partial T}{\partial \omega_x} \quad P_y = \frac{\partial T}{\partial \omega_y} \quad P_z = \frac{\partial T}{\partial \omega_z}$$

باستخدام العلاقة (١٢ - ٨) نجد أن :

$$P_x = I_{xx}^e \omega_x \quad P_y = I_{yy}^e \omega_y \quad P_z = I_{zz}^e \omega_z$$

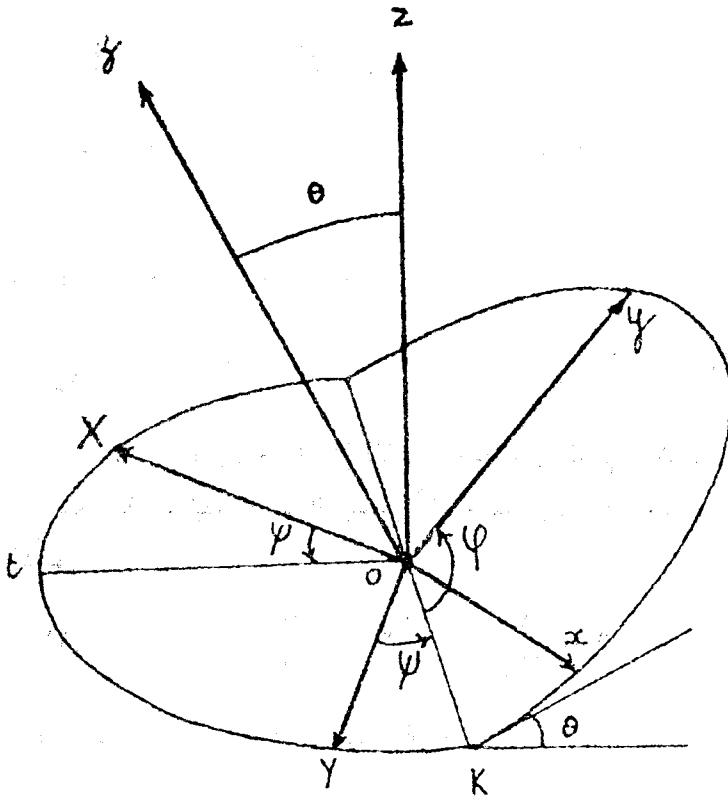
إذاً الطاقة الدورانية :

$$T_R = \frac{P_x^2}{2I_{xx}^e} + \frac{P_y^2}{2I_{yy}^e} + \frac{P_z^2}{2I_{zz}^e} \quad (١٢ - ١٠)$$

## ١٢ - ٢ - ٢ - زوايا أولر :

لتحديد موضع الجزيء الذي أعتبر في لحظة ما كدائر قاسي يعود لتحديد وضع الثلاثية المتحركة  $xyz$  ( المرتبطة بالجزيء ) بالنسبة للثلاثية  $XYZ$  . سنستخدم زوايا أولر  $\theta \psi \varphi$  شكل ( ١٢ - ٤ ) حيث  $\theta$  الزاوية بين  $oz$  و  $OZ$  وهي أيضاً الزاوية بين المستويين  $XOY$  و  $xoy$  ( من الصفر إلى  $\pi$  ) .

ليكن  $ot$  هو مسقط  $oz$  على  $XOY$  لنرمز بـ  $OK$  لنصف المحور الناتج عن تقاطع المستويين  $XOY$  و  $xoy$  والموجه بشكل تكون فيه الزاوية  $(ot, OK)$  مساوية إلى  $+\pi/2$  .



شكل ( ١٢ - ٤ )

— في المستوي  $XOY$  نرمز بـ  $\psi$  للزاوية  $OK, OY$  وهي مساوية للزاوية  $(OX, Ot)$  والمعروفة  $2K\pi$  .



في المستوي xoy نرمز به  $\phi$  للزاوية (OK, oy) ايضاً المعرفة  $2K\pi$  إذا انطلاقاً من  
الثلاثية OXYZ يمكن الحصول على الثلاثية oxyz وذلك :

— بدوران بزاوية  $\psi$  حول oZ ( OY يصبح من OK ) .

— بدوران بزاوية  $\theta$  حول oK ( oZ يصبح في oz )

— دوران بزاوية  $\phi$  حول oz ( oK تصبح في oy ) .

١٢ — ٣ — طاقة الدائرون القاسيون في ميكانيك الكم :

١٢ — ٣ — ١ — هاملتون دائر قاسي :

تكتب طاقة الدائر تحت الشكل الهاملتوني

$$H = \frac{1}{2} \sum_{\lambda, \mu} g^{\lambda, \mu} P_{\lambda} P_{\mu} \quad \lambda, \mu = , \theta, \psi, \phi \quad (11 - 12)$$

حيث  $g^{\lambda, \mu}$  تابع للإحداثيات  $\theta, \psi, \phi$  :

$$P_{\theta} = -i h \frac{\partial}{\partial \theta} \quad P_{\psi} = -i h \frac{\partial}{\partial \psi} \quad P_{\phi} = -i h \frac{\partial}{\partial \phi}$$

إذا أخذنا المؤثرات  $P_x, P_y, P_z$  المرافقة في ميكانيك الكم لمركبات العزم الزاوي  
على المحاور المتحركة المرتبطة بالجزيئة يمكن أن نبرهن بأن الهاملتونيان للدائر القاسي  
يكتب بالشكل :

$$H = \frac{P_x^2}{2I_{e_{xx}}} + \frac{P_y^2}{2I_{e_{yy}}} + \frac{P_z^2}{2I_{e_{zz}}} \quad (12 - 12)$$

القيم الخاصة والحالات لمركبات العزم الزاوي :

١ — المؤثر  $P_z$  :

مستط العزم الزاوي على المحور oZ ثابت في الفضاء . تكتب معادلة القيم الخاصة  
للمؤثر  $P_z$  بالشكل :

$$P_z \psi = [P_z] \psi \quad (12 - 13)$$

والحساب يعطى ( راجع ميكانيك الكم ) :

$$[P_z] = h M \quad M = 0, \pm 1, \pm 2, \dots$$

هذه القيم الخاصة غير متوالده والتتابع الخاصة تعتمد فقط على العدد الكمي  $M$  :

$$\psi_M = \psi_0 e^{iM\psi}$$

حيث  $\psi$  زاوية أولر الثانية ،  $\psi_0$  تابع مستقل عن  $\psi$  .

٢ - المؤثر  $P_z$  :

لنعتبر الآن مسقط العزم الزاوي على المحور  $z$  المرتبط بالجزء وبالتالي تكون :

$$P_z \psi = [P_z] \psi$$

$$[P_z] = h K \quad K = 0, \pm 1, \pm 2, \dots$$

$$\psi_K = \psi_0' e^{iK\varphi}$$

حيث  $\varphi$  زاوية أولر الثالثة  $\psi_0'$  تابع مستقل عن  $\varphi$  .

٣ - المؤثر  $P^2$  :

$$P^2 = P_x^2 + P_y^2 + P_z^2 = P_x^2 + P_y^2 + P_z^2$$

ومعادلة القيم الخاصة تكتب :

$$P^2 \psi = [P^2] \psi$$

حيث :

$$J = 0, 1, 2, \dots, \quad [P^2] = h^2 J(J+1) \quad (12 - 14)$$

القيم الخاصة هذه متوالده والتتابع الخاصة الموافقة تكتب :

$$\psi_{JKM} = N_{JKM} H_{JKM}(\theta) e^{iK\varphi} e^{iM\psi} \quad (12 - 15)$$

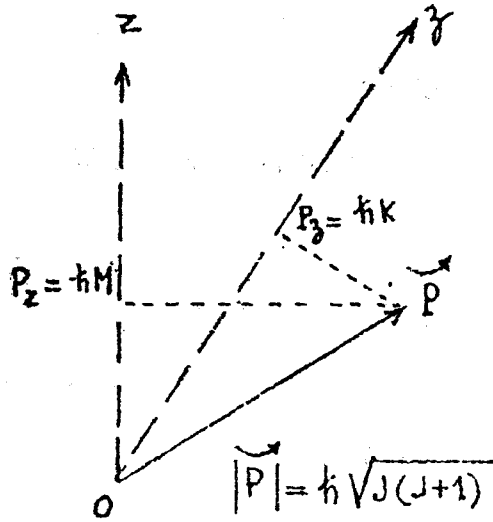
$$K = 0, \pm 1, \pm 2, \dots, \pm J \quad (|K| \leq J) \quad \text{أي}$$

$$M = 0, \pm 1, \pm 2, \dots, \pm J \quad (|M| \leq J) \quad \text{أي} \quad (١٢ - ١٦)$$

حيث التابع  $H$  تابع لـ  $0$  ذو صيغة معقدة و  $N_{JKM}$  ثابت التنظيم .

## ١٢ - ٣ - ٢ - الأعداد الكمية الدورانية :

ندعو بالأعداد الكمية الدورانية الأعداد  $J, K, M$  بحيث تكون طوية شعاع العزم الزاوي ، ومسقط العزم الزاوي على محور مرتبط بالجزيء ومسقط العزم الزاوي على محور ثابت في الفضاء مساوي على التوالي  $\hbar \sqrt{J(J+1)}$  ،  $\hbar K$  ،  $\hbar M$  شكل (١٢ - ٥) والشرطان  $-J \leq K \leq J$  و  $-J \leq M \leq J$  هي مقاربة للشروط الكلاسيكية  $|P| \leq P_z \leq |P|$  و  $-|P| \leq P_z \leq |P|$  مع ملاحظة أنه عندما  $M=J, K=J$  فإن  $P$  غير موجهة حسب  $Oz$  أو  $OZ$  .



شكل (١٢ - ٥)

## ١٢ - ٣ - ٣ - سويات الطاقة لدوائر متناظر :

من أجل دوائر متناظر لدينا :

$$I^e_{xx} = I^e_{yy}$$

يمكن كتابة المعادلة 15 إذا بالشكل :

$$H = \frac{P_x^2 + P_y^2}{2 I_{xx}^e} + \frac{P_z^2}{2 I_{zz}^e} \quad (12 - 17)$$

مع الأخذ بعين الاعتبار للعلاقة 22 نجد :

$$H = \frac{1}{2 I_{xx}^e} (P^2 - P_z^2) + \frac{1}{2 I_{zz}^e} P_z^2 \quad (12 - 18)$$

نرى بأن  $H$  يتبادل مع  $P_z$  و  $P_z$  وبالتالي التوابع الخاصة  $P^2$  و  $P_z$  هي توابع خاصة لـ  $H$  إذاً :

$$H \psi_{JKM} = \left\{ \frac{1}{2 I_{xx}^e} ([P^2] - [P_z^2]) + \frac{1}{2 I_{zz}^e} [P_z^2] \right\} \psi_{JKM}$$

$$H \psi_{JKM} = E_{JK} \psi_{JKM}$$

مع الأخذ بعين الاعتبار للعلاقتين 20 و 24 نجد :

$$E_{JK} = \frac{h^2}{2 I_{xx}^e} [J(J+1) - K^2] + \frac{h^2}{2 I_{zz}^e} K^2 \quad (12 - 19)$$

بفرض أن :

$$B_e^{zz} = \frac{h}{8\pi^2 c I_{zz}^e} \quad B_e^{xx} = \frac{h}{8\pi^2 c I_{xx}^e}$$

الحد الطيفي الدوراني يصبح بالشكل :

$$\frac{E_{JK}}{hc} = B_e^{xx} [J(J+1) - K^2] + B_e^{zz} K^2 \quad (12 - 20)$$

الطاقة تعتمد فقط على  $J$  و  $|K|$  والحالات الخاصة  $\psi_{JKM}$  معرفة بالعلاقة 25 . أما رتبة التوالد للسويات فهي :

$$K \neq 0 \quad \text{إذا كان} \quad 2(2J+1) \quad (12 - 21)$$

$$K = 0 \quad \text{إذا كان} \quad 2J+1$$

والقيمة  $2J+1$  موافقة للقيم الممكنة لـ  $M$  علاقة 27 والعامل 2 موافقة للإشارة المضاعفة لـ  $\pm |K|$  .

١٢ - ٣ - ٤ - سويا ت الطاقة لدا ئر كروي :

في الدائر الكروي لدينا :

$$I_{xx}^e = I_{yy}^e = I_{zz}^e$$

أي :

$$B_e^{xx} = B_e^{zz} = B_e$$

يمكن اعتبار الدائر الكروي كحالة خاصة من الدائر المتناظر والعلاقة 35 تعطي الحد الطيفي :

$$\frac{E_J}{hc} = B_e J(J+1) \quad (١٢ - ٢٢)$$

إذاً الطاقة تعتمد فقط على  $J$  ورتبة التوالد للسويات هي  $(2J+1)^2$  مع الأخذ بعين الإعتبار للعددين  $M, K$  .

١٢ - ٣ - ٥ - سويا ت الطاقة لدا ئر خطي :

(a) - إن معالجة الدائر الخطي أبسط من الدائر المتناظر حيث لا توجد الاحداثيات  $\psi, \theta$  لأن الزاوية  $\phi$  لا تعرف دوران والحساب يعط الحد الطيفي التالي :

$$\frac{E_J}{hc} = B_e J(J+1) \quad (١٢ - ٢٣)$$

مع :

$$B_e = \frac{h}{8 \pi^2 c I_e}$$

$$I_e = I_{xx}^e + I_{yy}^e \quad (١٢ - ٢٤)$$

( لتذكر بأن  $(I_{zz} = 0)$  . الحالات الخاصة المرافقة للقيمة الخاصة  $E_J$  هي في الشكل :

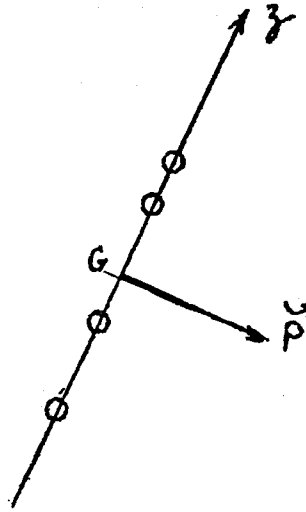
$$\psi_{JM} = N_{JM} H_{JM}(\theta) e^{iM\psi} \quad (١٢ - ٢٥)$$

$H(\theta)$  كثيرات حدود ليجندر و  $N_{JM}$  ثابت التنظيم مع  $|M| \leq J$  وحيث رتبة التوالد هي  $(2J + 1)$ .

(b) - يمكن إيجاد هذه النتيجة بدءاً من الدائر المتناظر حيث نصادف الصعوبة عندما :

$$B_e^{zz} \rightarrow 0 \quad \text{فإن} \quad I_{zz}^0 \rightarrow 0 \quad (١٢ - ٢٦)$$

إلا أنه من أجل دوائر خطية فإن محور الدوران يكون متعامد مع محور الدائرة وبالتالي فإن العزم الزاوي متعامد مع محور الجزءء شكل (١٢ - ٦) و  $P_z = 0$  ومنه نجد :  $K = 0$ .



شكل (١٢ - ٦)

الحد الثاني من العلاقة (١٢ - ٢٠) يبدو غير معين (0/0) لدوائر خطية بالحقيقة فإن هذا الحد معدوم كما تظهر علاقة (١٢ - ٢٢) والعلاقة (١٢ - ١٧) التي تعطي الهاملتيون لدوائر متناظر تسمح بإعطاء النتيجة الصحيحة لسويات الطاقة لدوائر خطية بشرط :

- حذف الحد من المرتبة 2 من الهاملتيون

- أخذ  $K = 0$  .

أما الحالات الخاصة ( ١٢ - ٢٥ ) للدوائر الخطي فهي موافقة  $\psi_{JOH}$  حالات خاصة ( ١٢ - ١٥ ) للدوائر المتناظر حيث أخذنا  $K = 0$  .

١٢ - ٣ - ٦ - سويات الطاقة لدوائر غير متناظر :

لأنعلم حساب سويات الطاقة لدوائر غير متناظر بدقة تامة والسبب :

- من أجل كل الدائرين يتبادل المؤثر  $H$  مع  $P_z^2$  و  $P_z$  وهذا ما يسمح بحل مشكلة الدوائر المتناظر بدقة بينما في حالة الدوائر الغير متناظر فإن  $H$  لا يتبادل مع  $P_z$  وبالتالي فالمؤثرات  $H$  و  $P_z$  غير موصوفان بنفس الحالة الكوانتية .

١٢ - ٤ - مخططات سويات الطاقة الدورانية :

١٢ - ٤ - ١ - الجزئيات الخطية :

وجدنا في حالة تقريب الدوائر القاسي بأن سويات الطاقة الدورانية لجزء خطي تعطى بالعلاقة :

$$\frac{E}{hc} = F(J) = B J (J + 1) \quad (١٢ - ٢٧)$$

حيث  $F(J)$  الحد الطيفي الدوراني :  $B$  ترمز لثابتة العطالة عند التوازن المتعلقة بعزم العطالة عند التوازن المعطاة بالعلاقة :

$$B = B_e = \frac{h}{8 \pi^2 c I_e} \quad (١٢ - ٢٨)$$

والشكل ( ١٢ - ٧ ) يعطي مخطط سويات الطاقة .

١٢ - ٤ - ٢ - جزئيات ذات تناظر محوري :

وجدنا بأن سويات الطاقة الدورانية  $E_{JK}$  لجزء ذو تناظر محوري وبتقريب الدوائر القاسي تعطى بالعلاقة :

5

4

3

2

1

0

J

شكل ( ١٢ - ٧ )

$$\frac{E_{JK}}{hc} = F(J, K) = B_e^{xx} J(J+1) + (B_e^{zz} - B_e^{xx}) K^2 \quad (١٢ - ٢٩)$$

حيث  $F(J, K)$  الحد الطيفي الدوراني و  $B_e^{xx}$  ،  $B_e^{zz}$  ثوابت العطالة عند التوازن :

$$B_e^{xx} = \frac{h}{8 \pi^2 c I^x} \quad B_e^{zz} = \frac{h}{8 \pi^2 c I^z}$$



حيث ان  $I_{zz}^e$  و  $I_{xx}^e$  هي على التوالي عزوم العطالة عند التوازن بالنسبة للمحور  $z$  للجزء وبالنسبة للمحور  $x$  المتعامد مع  $z$  وهنا نميز حالتين :

a - مخروط متناظر مطاول :

$$B_0^{zz} > B_0^{xx}$$

$$I_{zz}^e < I_{xx}^e$$

b - مخروط متناظر مسطح :

$$B_0^{zz} < B_0^{xx}$$

$$I_{zz}^e > I_{xx}^e$$

تعود هذه التسمية لطبيعة مجسم قطع الناقص للعطالة وبجسم قطع الناقص إما ذو تطور مطاول أو مسطح .

والشكلين ( ١٢ - ٨ ) و ( ١٢ - ٩ ) يعطيان مخططا سويات الطاقة الدورانية للجزء ذو تناظر محوري : وهما متعلقان في حالة المخروط المطاول والمخروط المسطح توزع سويات الطاقة بأعمده توافق كل واحد لقيمة واحدة لـ  $K$  .

ضمن كل عامود سويات الطاقة المتعاقبة توافق القيم المختلفة لـ  $J$   $|K| \geq J$  فعندما تزداد  $|K|$  من أجل قيمة معطية لـ  $J$  تنزاح سويات الطاقة نحو الأعلى ( إذا كان  $B_0^{zz} - B_0^{xx} > 0$  ) أو نحو الأسفل ( إذا كان  $B_0^{zz} - B_0^{xx} < 0$  ) وهذا الانزياح متناسب مع  $K^2$  .

١٢ - ٥ - تأثير الفصل المتبادل بين الدوران والاهتزاز :

١٢ - ٥ - ١ - جزئيات خطية :

من بداية الفصل ونحن نعالج الجزئي كدائر قاسي وأهملنا كون الجزئي يهتز خلال دورانه .

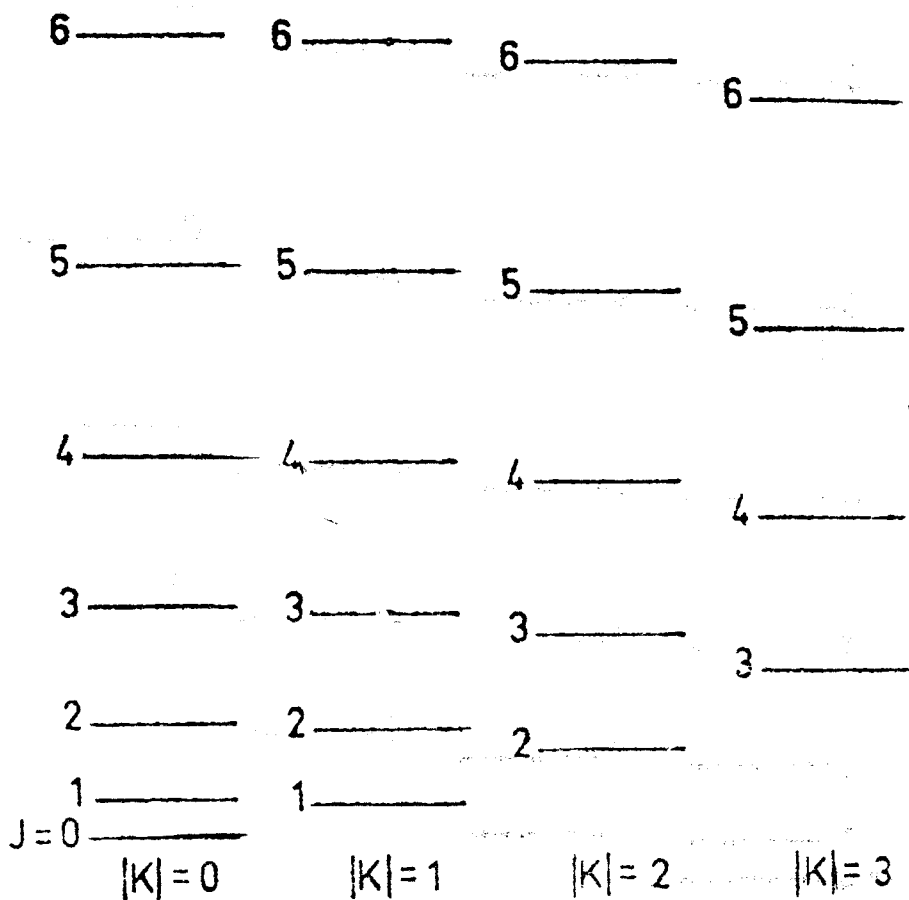
وتأثير الفعل المتبادل بين الدوران والاهتزاز يظهر بفعلين ( بتأثيرين ) :

6 _____	6 _____	6 _____	6 _____
5 _____	5 _____	5 _____	5 _____
4 _____	4 _____	4 _____	4 _____
3 _____	3 _____	3 _____	3 _____
2 _____	2 _____	2 _____	
1 _____	1 _____		
J=0 _____			
K =0	K =1	K =2	K =3

دوانه مطاوله  
اور مخبره مطاول

TOUPIE ALLONGÉE

شکل ( ۱۲ - ۸ )



دُرَاب مَسْجُوعٌ  
مَوْضِعٌ مَقْلُوعٌ

TOUPIE

APLATIE

شکل (۹ - ۱۲)

(a) - الثابتة B الواردة في العلاقة ( ١١ - ٢٧ ) ليست هي ثابتة العطالة عند التوازن بل ثابتة العطالة عند اخفض سوية اهتزازية :

$$B_0 = B_e - \Delta B \quad (١٢ - ٣٠)$$

ولنتذكر بأنه على أخفض سوية اهتزازية لا يكون الجزيء في حالة اهتزازية معدومه وطاقته الاهتزازية مساوية إلى القيمة :

$$E_v(0) = hc G(0) \approx \sum_s \frac{\omega_s d_s}{2} \quad (١٢ - ٣١)$$

وكما تظهر العلاقة 26 من الفصل السابق فإن  $B_0$  يمكن أن تعتبر كقيمة متوسطة لثابتة العطالة :

$$B = \frac{h}{8 \pi^2 c I} \quad (١٢ - ٣٢)$$

محسوبة على أخفض سوية اهتزازية :

(b) - يظهر حد اضافي متناسب مع  $J^2 (J + 1)^2$  في علاقة الحد الطيفي الدوراني أي :

$$\frac{ER}{hc} = F(J) = B_0 J(J + 1) - D J^2 (J + 1)^2 \quad (١٢ - ٣٣)$$

يدعى المعامل D بثابت تشويه الطرد المركزي بإدخال ثابتة العطالة الفعالة  $B_{eff}$  يمكن أن نكتب العلاقة ( ١٣ - ٣٣ ) بالشكل :

$$F(J) = B_{eff} J(J + 1) \quad (١٥ - ٣٤)$$

$$B_{eff} = B_0 - D J(J + 1) \quad (١٢ - ٣٥)$$

الثابتة D موجبه ونرى بأن  $B_{eff}$  تنخفض عندما تزداد J . والثابتة B متناسبه عكساً مع عزم العطالة I ينتج من ذلك أن I تزداد عندما يزداد العزم الزاوي وهذا مشابه لقوة الطرد المركزية فالجزيء يتطاوّل كلما دار بسرعة أكبر وهذا التشابه يبرر تسمية

ثابت التشويه الطرد المركزي بالنسبة لـ D ومن أجل جزيء ثنائي الذرة نبين أن :

$$D = \frac{4 B_0^3}{\omega^2}$$

يعبر عن D بوحدة  $\text{cm}^{-1}$  .

### ١٢ - ٥ - ٢ - جزيئات ذات تناظر محوري :

كما في الجزيئات الخطية الفعل المتبادل بين الدوران والاهتزاز يظهر بمفعولين :

a - ثوابت العطالة عند التوازن  $B_0^{xx}$  و  $B_0^{zz}$  يجب أن نستبدل بـ  $B_0^{xx}$  و  $B_0^{zz}$  . ثوابت العطالة في أخفض سوية اهتزازية .

b - يجب ادخال حد طيفي لتصحيح تشويه الطرد المركزي من المرتبة الثانية بالنسبة لـ  $J(J+1)$  و  $K^2$  .

يكتب الحد الطيفي إذاً :

$$F(J, K) = B_0^{xx} J(J+1) + (B_0^{zz} - B_0^{xx}) K^2 - D_J J^2 (J+1)^2 - D_{JK} J(J+1) K^2 - D_K K^4 \quad (12 - 36)$$

### III - البنية فوق ناعمة :

فرضنا سابقاً بأن طاقة الجزيء هي مجموعة طاقته الالكترونية  $E_e$  وطاقته الاهتزازية  $E_v$  وطاقته الدورانية  $E_R$  .

وبالحقيقة يجب اضافة حد  $E_s$  ( أصغر بكثير من  $E_R$  ) موافق للطاقة المرافقة لختلف توجيهات السبينات النووية في حقل كهربائي أو مغناطيسي ناتج عن الباقي من الجزيء . إن الطاقة  $E_s$  محكمه والقيم المختلفة التي يمكن أن تأخذها تؤدي إلى تحليل سويات الطاقة الدورانية إلى سويات-جزئية متراسة بين بعضها البعض وهذا ما يؤدي إلى البنية فوق الناعمة للجزيء .

إن البنية فوق ناعمه هنا مشابهه للبنية فوق الناعمة في الذرات إلا أن الأخيرة ناتجة عن وجود الذرات في حقل مغناطيسي أي اقتران I مع J في الجزيئات ناتجة عن ارتباط العزوم السبينية النووية مع باقي العزوم في الجزيئة وهي التي من أساس كهربائي .

## الفصل الثالث عشر

# التأثير المتبادل بين الجزيئات والاشعاع الكهرطيسي ( الطيف الجزيئي )

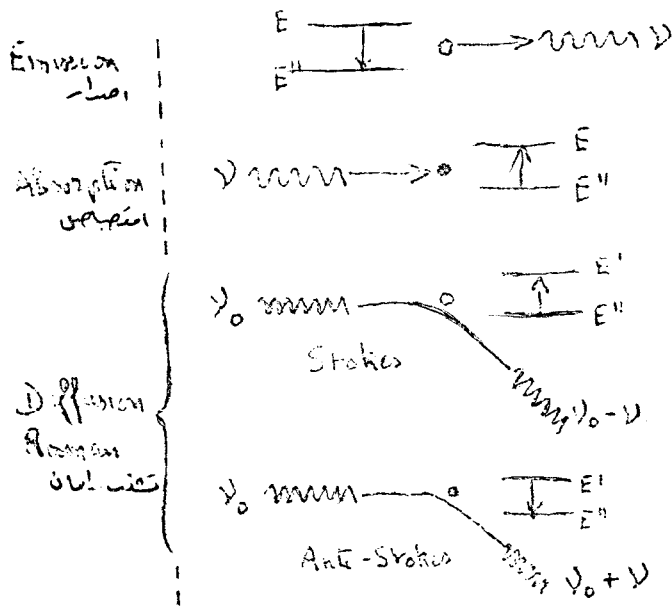
١٣ - ١ - هناك ثلاث آليات أساسية تحدث وهي :

- (a) - إصدار اشعاع ذو تردد  $\nu$
- (b) - امتصاص أشعاع ذو تردد  $\nu$
- (c) - تشتت رامان لاشعاع ذو تردد  $\nu_0$

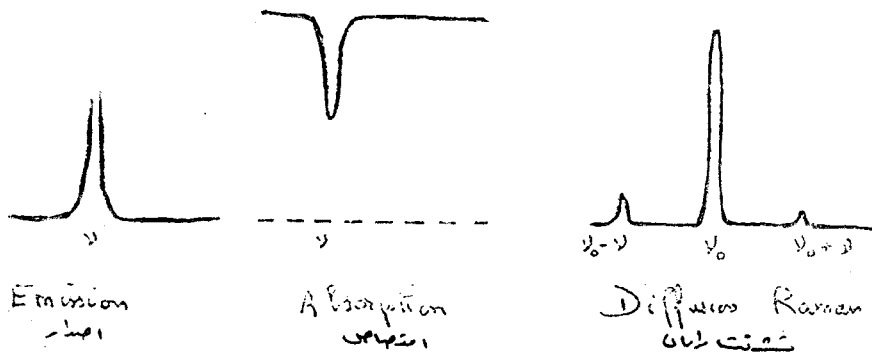
إذا كان للإشعاع المشتت تردد  $\nu - \nu_0$  فهناك اختفاء لفوتون ذو طاقة  $h\nu_0$  وخلق لفوتون ذو طاقة  $h(\nu - \nu_0)$  في نفس الوقت ، وعندما ينتقل جزيء من سوية طاقة  $E''$  إلى سوية  $E'$  تكون الطاقة المكتسبة من قبل الجزيء مساوية للطاقة المفقودة  $h\nu$  من قبل الإشعاع ويدعى مثل هذا الانتقال بانتقال Stokes .

إذا كان للإشعاع اشتت تردد  $\nu + \nu_0$  فهناك اختفاء لفوتون ذو طاقة  $h\nu_0$  وخلق لفوتون ذو طاقة  $h(\nu + \nu_0)$  بنفس الوقت فعندما ينتقل الجزيء من سوية  $E'$  إلى سوية  $E''$  فالطاقة المفقودة من الجزيء مساوية للطاقة المكتسبة  $h\nu$  من الإشعاع ويدعى مثل هذا الانتقال بالانتقال anti - Stokes .

والشكل رقم ( ١٣ - ١ ) يبين الآليات الثلاثة :



شكل ( ١٣ - ١ - أ )



شكل ( ١٣ - ١ - ب )

١٣ - ١ - ٢ - قواعد الإصطفاء والشدة :

١٣ - ١ - ٢ - ٢ - الإصدار :

إن شدة خط الطيف للإصدار عند تردد  $\nu$  متناسب مع احتمال الانتقال واسكان  
سوية الطاقة العليا وكذلك مع عدد الفوتونات ذات التردد  $\nu$  الصادرة .

الشدة = احتمال الانتقال  $\times$  اسكان سوية الطاقة العليا  $\times h\nu$

$$J_{ba} = P_{ba} N_b h\nu \quad (13 - 1)$$

اكن فإن احتمال الانتقال :

$$P_{ba} = A_{ba} + B_{ba} \rho$$

حيث  $A_{ba}$  و  $B_{ba}$  هي معاملات اينشتاين للإصدار التلقائي والمحث و  $\rho$  كثافة الإشعاع للإنتقال المميز بالتردد  $\nu$  . وكما وجدنا سابقاً :

$$A_{ba} = \frac{64 \pi^2 \nu^3}{3hc^3} |\mathbf{m}^{ba}|^2$$

$$B_{ba} = \frac{8 \pi^3}{3 h^2} |\mathbf{m}^{ba}|^2$$

حيث  $|\mathbf{m}^{ba}|$  تدعى بعزم الانتقال :

$$|\mathbf{m}^{ba}|^2 = |\mathbf{m}_x^{ba}|^2 + |\mathbf{m}_y^{ba}|^2 + |\mathbf{m}_z^{ba}|^2 \quad (13 - 2)$$

وعلماً بأن :

$$|\mathbf{m}_\Gamma^{ba}| = \int \psi_b^* M_\Gamma \psi_a d\tau \quad \text{حيث } \Gamma (x, y, z) \quad (13 - 3)$$

$M_\Gamma$  هي مركبات عزم ثنائي القطب الكهربائي للجزيء الثابت في الفضاء . وحتى يكون الإنتقال مسموح ( أي شدته غير معدومه ) يجب أن تكون إحدى المركبات الثلاث  $\mathbf{m}_\Gamma$  غير معدومه على الأقل .

ملاحظة :

قد تكون عناصر مصفوفة عزم ثنائي القطب معدومه ( انتقال غير مسموح ) حسب قواعد الاصطفاء لكن يحدث أحياناً أن نلاحظ إصدار ضعيف وهذا الإصدار هو من نوع ثنائي القطب المغناطيسي أو رباعي قطب كهربائي .



١٣ - ١ - ٢ - ٢ : الإصدار :

تعطى شدة الخط التليني للإصدار بالعلاقة :

$$J_{ab} = P_{ab} - N_a h \nu \quad (١٣ - ٤)$$

حيث  $P_{ab}$  احتمال الانتقال لسوية الانطلاق و  $N_a$  اسكان هذه السوية :

$$P_{at} = B_{ab} \rho$$

و :

$$B_{ab} = \frac{8 \pi^3}{3 h^2} |m^{ab}|^2$$

معاملات انيشتاين للامتصاص . من هذه العلاقة يمكن ملاحظة أن قواعد الاصطفاء للامتصاص ثنائي القطب الكهربائي هي نفسها للامتصاص .

١٣ - ١ - ٢ - تشتت رامان :

لنعتبر الآن انتقال رامان من نوع Stokes أو من نوع anti - stokes فتواعد الاصطفاء لتشتت رامان هي نفس الشروط السابقة في الآليتين السابقتين حيث يستعاض عن عزم ثنائي القطب الكهربائي بعزم ثنائي القطب الكهربائي المحث بإشعاع الجزيء وبالتالي نكتب من أجل التشتت من نوع Stokes العلاقة التالية :

$$\Gamma(x, y, z) \text{ حيث } \int_{\tau} \psi_a^* m_{\Gamma} \psi_b d\tau \neq 0 \quad (١٣ - ٥)$$

ومن أجل تشتت نوع anti - stokes :

$$\int_{\tau} \psi_a^* m_{\Gamma} \psi_b d\tau \neq 0 \quad (١٣ - ٦)$$

أن منشأ عزم ثنائي القطب  $m$  المحث يعود لانتقال الشحن داخل الجزيء والناجم عن الحقل الكهربائي  $\vec{E}$  للإشعاع الكهربائي حيث :

$$m : \propto \vec{E} \quad (١٣ - ٧)$$

$\alpha$  ترمز لاستقطابية الجزيء :

$$m = \sum_{\Gamma'} \alpha_{\Gamma\Gamma'} \xi_{\Gamma'} \quad (13 - 8)$$

بتعويض العلاقة (13 - 7) بالعلاقة (13 - 5) تصبح :

$$\sum_{\Gamma'} \xi_{\Gamma'} \int_{\tau} \psi_a^* \alpha_{\Gamma\Gamma'} \psi_b d\tau \neq 0 \quad (13 - 9)$$

وحتى تتحقق هذه العلاقة يجب أن يكون واحد على الأقل من المجموع غير معدوم

$$\int \bar{\psi}_a \alpha_{\Gamma\Gamma'} \psi_b d\tau \neq 0$$

$\alpha_{\Gamma\Gamma'}$  هو تنسور الاستقطابية وهو متناظر أي :

$$\alpha_{\Gamma\Gamma'} = \alpha_{\Gamma\Gamma}$$

### ١٣ - ٢ - الطيوف الاهتزازية :

سندرس في هذا الفصل الطيف الناتج عندما يمر جزيء من سوية اهتزازية إلى أخرى دون تغير في السوية الإلكترونية والطيف الناتج لهذه السوية هو طيف اهتزازي دوراني أي أن كل انتقال اهتزازي يرافقه قطاع اهتزازي - دوراني حيث الخطوط الطيفية الموافقة لقيم مختلفة للطاقة الدورانية داخل سوية اهتزازية دنيا وداخل سوية اهتزازية عليا وسندرس هنا الإنتقالات الاهتزازية فقط .

#### ملاحظة :

حالة السائل تكون المسافة بين الجزيئات أصغر بكثير منها في حالة غاز وعليه فإن التأثير المتبادل بين الجزيئات أكثر أهمية في حالة الغاز وبالتالي فإن الجزيئات في السائل لا تستطيع الدوران بحرية وعليه يمكن ملاحظة الطيوف الاهتزازية في حالة السائل .

### ١٣ - ٢ - ١ - الطيوف الاهتزازية لجزيئات ثنائية الذرة :

إن المحاور xyz المرتبطة بتشكيلة التوازن هي نفسها المحاور المشبهة في الفضاء ( z يرمز للمحور ما بين الأنوية ) ولنفرض أيضاً بأن الجزيء عبارة عن هزاز توافقي . ثم بهزاز لاتوافقي .

#### A - الهزاز التوافقي :

إن سويات الطاقة محسوبة بإستخدام كمون الهزاز التوافقي وكذلك التوابع المرافقة .

#### قواعد الاصطفاء للإصدار ولالإمتصاص :

ليكن الإنتقال بين الحالتين المميزتين بـ  $v'$  و  $v''$  وكما رأينا سابقاً فإن شدة هذا الإنتقال متناسبة مع مربع طوليلة  $|m^{v'v''}|^2$  وحتى يكون الإنتقال مسموحاً يجب أن يكون واحد على الأقل من مركبات  $m$  غير معدوم . وبما أنه لا يوجد دوران فيعتبر محور الجزيء هو اتجاه oz الثابت في الفضاء بما أن :

$$M_x = M_y = 0 \quad M_z = M$$

إذاً يمكن أن نكتب قاعدة الاصطفاء التي تجعل العلاقة التالية غير معدومة :

$$m_z^{v'v''} = \int \psi_{v'}^* M \psi_{v''} d\rho \neq 0 \quad (10 - 13)$$

#### (a) - حالة جزيئات ثنائية الذرة heteromaculaire :

لننشر  $M$  بسلسلة بالنسبة لـ  $\rho$  :

$$M = M^{(0)} + M^{(1)} \rho + \dots \quad (11 - 13)$$

حيث نرمز  $M^0$  للعزم المستمر ( الدائم ) و :

$$M' = \left( \frac{dM}{d\rho} \right)_{\rho=0} = \left( \frac{dM}{dr} \right)_{r=r_e} \quad (12 - 13)$$

بتعويض 12 و 11 في 10 نجد :

$$m^{v'v''} \approx M^{(0)} \int_{\tau} \psi_v^* \psi_v'' d\rho + M^{(1)} \int_{\tau} \psi_v'^* \rho \psi_v'' d\rho \quad (13 - 13)$$

الحد الأول من الطرف الأيمن معدوم لأن  $\psi_v'$  و  $\psi_v''$  متعامدان وبالتالي فإن قاعدة الإصطفاء تكتب :

$$M^{(1)} \int_{\tau} \psi_v'^* \rho \psi_v'' d\rho \neq 0 \quad (14 - 13)$$

أي سيكون الانتقال مسموح ( إصدار أو امتصاص ) إذا تحقق الشرطان :

$$\int_{\tau} \psi_v'^* \rho \psi_v'' d\rho \neq 0 \quad \text{و} \quad M^{(1)} \neq 0 \quad (15 - 13)$$

أي أن الشروط الأول هو أن يكون هناك تغير في عزم ثنائي القطب أثناء الإهتزاز وهذا محقق في حالة هذا النوع من الجزيئات وبالتالي محقق إذا كان  $v' = v'' + 1$  أو  $v' = v'' - 1$  أي  $v = \pm 1$  أي أن :

$$\Delta v = + 1$$

(b) - حالة جزيئات ثنائية الذرة homonucléair :

إن وجود مركز انعكاس لمجموعة النواتان المتطابقتان يؤدي إلى أن :

$$M = 0 \quad (16 - 13)$$

$$M^{(0)} = M^{(1)} = \dots = 0 \quad (17 - 13)$$

ينتج عن ذلك بأن كل الإنتقالات ممنوعة ( إصدار أو امتصاص ) في هذا النوع من الجزيئات .

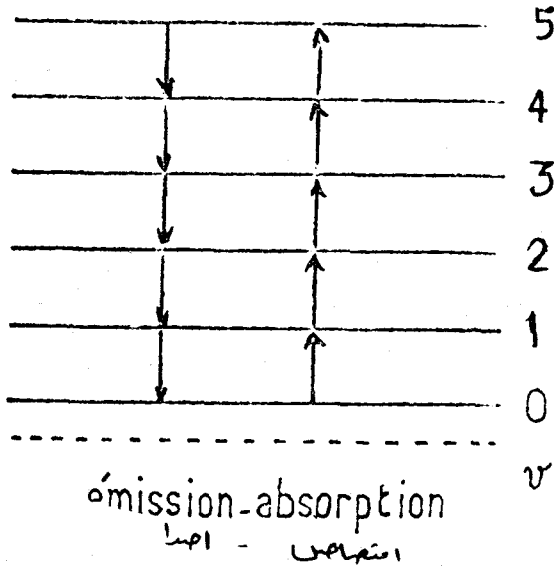
طيف الإصدار والامتصاص شكل ( ١٣ - ٢ ) :

(a) - حالة جزيئات ثنائية الذرة hétéronucléaire :

علاقة الإصطفاء  $\Delta v = +1$  تعطي العدد الموجي

$$\sigma = G(v+1) - G(v) \quad (13 - 18)$$

حيث يعبر عن  $\sigma$  بـ  $\text{cm}^{-1}$  والشكل التالي تعطي الإنتقالات الاهتزازية نلاحظ أن كل انتقال بعد  $\sigma = \omega$ .



شكل ( ١٣ - ٢ )

(b) - حالة جزيئات ثنائية الذرة homonucléaire :

لا يوجد طيف اهتزازي ( امتصاص - إصدار ) .

قواعد الإصطفاء من أجل تشتت رامان :

حتى يكون هناك انتقال مسموح بين سويتين  $v'$  و  $v''$  فمن الضروري أن يكون واحد على الأقل من مركبات التناوب التالي غير معدومة :

$$\alpha_{\Gamma\Gamma'}^{v'v''} = \int_{\tau} \psi_{v'}^* \alpha_{\Gamma\Gamma'} \psi_{v''} dp \quad (13-19)$$

إذا نشرنا  $\alpha_{\Gamma\Gamma'}$  بسلسلة :

$$\alpha_{\Gamma\Gamma'} = \alpha^0_{\Gamma\Gamma'} + \alpha^{(1)}_{\Gamma\Gamma'} p + \dots \quad (13-20)$$

حيث  $\alpha^{(0)}_{\Gamma\Gamma'}$  مركبة الإسطوائية الدائمة بتعويض (3-19) في (13-20) نجد أن قاعدة الإصطفاء كما في حالة الإمتصاص والإصدار

$$\Delta v = +1 \quad (13-21)$$

والشرط  $\alpha^{(1)}_{\Gamma\Gamma'} \neq 0$  محقق في الجزئيات ثنائية الذرة بنوعيتها .

طيف رامان :

إن الإنزياح بالعدد الموجي لخط رامان بالنسبة للإشعاع المحرض ( المحث ) يعطي بالعلاقة :

$$|\Delta\sigma| = G(v+1) - G(v) = \omega \quad (13-22)$$

أي هناك خط مركزي وخط بعدد موجي  $\omega - \sigma_0$  يدعى Stokes وخط آخر  $\omega + \sigma_0$  يدعى anti - Stokes والآخر أضعف بكثير من الأول .

ملاحظة :

حسب التقريب المستخدم نلاحظ في حالة الإمتصاص فقط الإنتقال  $0 \leftarrow 1$  وفي حالة تشتت رامان نلاحظ  $0 \rightarrow 1$  وكذلك  $0 \rightarrow 1$  حيث في هذه الحالات تكون أسكان سوية الطاقة معهم لأن الشدة متناسبة مع الإسكان والأخيرة متناسبة مع  $e^{-\omega v / hT}$  أو مع  $e^{-\omega(v+1/2)/kT}$  .

B - الهزاز اللاتوافقي :

تكتب قواعد الاصطفاء في هذه الحالة بـ :

$$\Delta v = 1, 2, 3, \dots$$

للإصدار والامتصاص وتشتت رامان وهذا يعني أن كل الانتقالات مسموحة ( ماعدا  
الجزئيات homonule ) . فمثلاً في حالة الإمتصاص ( الجزئيات hetero ) يمكن أن  
نضع الإنتقال :

$$\Delta v = 1 \quad 1 \leftarrow 0 \quad 2 \leftarrow 1 \quad 3 \leftarrow 2$$

$$\Delta v = 2 \quad 2 \leftarrow 0 \quad 3 \leftarrow 1 \quad 4 \leftarrow 2$$

$$\Delta v = 3 \quad 3 \leftarrow 0 \quad 4 \leftarrow 1 \quad 5 \leftarrow 2$$

.....

الطيف الاهتزازي :

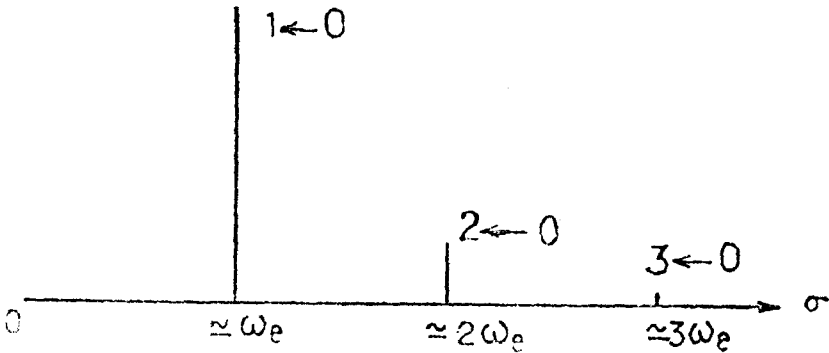
(a) - الامتصاص :

الانتقالات الباردة : إذا كانت كل الجزئيات عملياً في أخفض سوية طاقة  
اهتزازية  $v = 0$  وهذا محقق إذا كانت T غير مرتفعة وعليه فالانتقالات تكون :

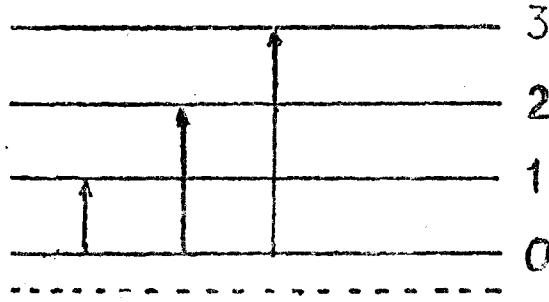
$$1 \leftarrow 0 \quad \text{الأساسية}$$

$$2 \leftarrow 0 \quad \text{التوافقي الأول}$$

$$3 \leftarrow 0 \quad \text{التوافقي الثاني}$$

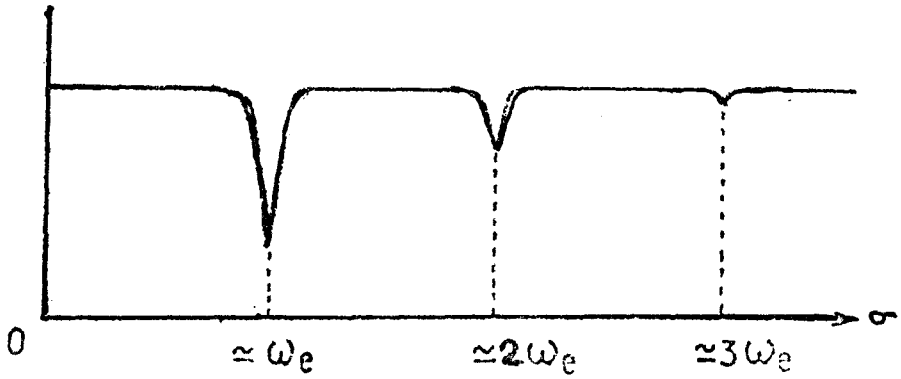


الشكل ( ١٣ - ٣ )



الشكل ( ١٣ - ٤ )

والشكلين ( ١٣ - ٣ ) و ( ١٣ - ٤ ) يعطي الانتقالات وكذلك الخطوط الطيفية الممثلة لهذه الانتقالات إن شدة الانتقالات تتناقص بسرعة عندما تزداد  $\Delta v$  ( السبب أن الشدة متناسبة مع  $|m_z^{v'v''}|^2$  وهي تتناقص بسرعة عندما تزداد  $(v=v'-v'')$  ) والشكل ( ١٣ - ٢ ) يعطي شدة ووضع الانتقالات الباردة والشكل ( ١٣ - ٥ ) يمثل كيف تظهر الانتقالات .



شكل ( ١٣ - ٥ )

لنحسب الآن العدد الموجي للانتقالات الباردة  $v \leftarrow 0$

$$\sigma = G(v) - G(0) = G_0(v)$$

( أساسية )  $1 \leftarrow 0$

$$\sigma = G_0(1) = \omega_0 - \omega_0 X_0 + \omega_0 Y_0$$



0 ← 2 ( توافقى أولي )

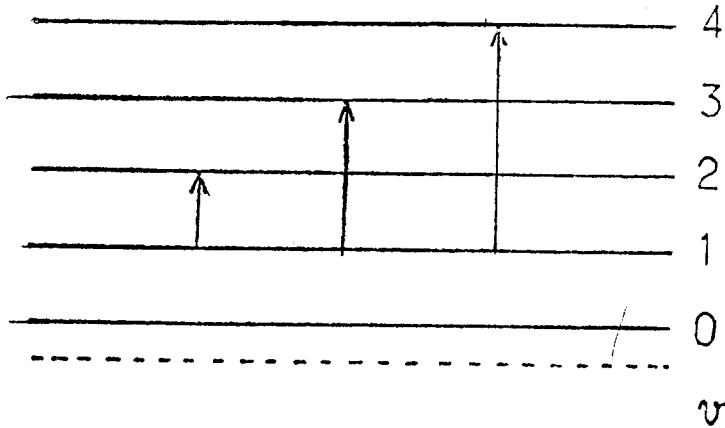
$$\sigma = G_0(2) = 2 \omega_0 - 4 \omega_0 X_0 + 8 \omega_0 Y_0$$

0 ← 3 ( توافقى ثانى )

$$\sigma = G_0(3) = 3 \omega_0 - 9 \omega_0 X_0 + 27 \omega_0 Y_0$$

الانتقالات الساخنة ( الحارة ) :

في الانتقالات الحارة لم تعد السوية  $v = 0$  ، وسميت بالانتقالات الحارة لأن اسكان السويات العليا يزداد مع درجة الحرارة وبالتالي هذا النوع من الانتقالات يظهر عندما تزداد  $T$  فإذا كان اسكان السوية  $v = 1$  غير مهمل فسنلاحظ الانتقالات  $1 \leftarrow 2$  ,  $1 \leftarrow 3$  ,  $1 \leftarrow 4$  ... والممثلة بالشكل ( ١٣ - ٦ )

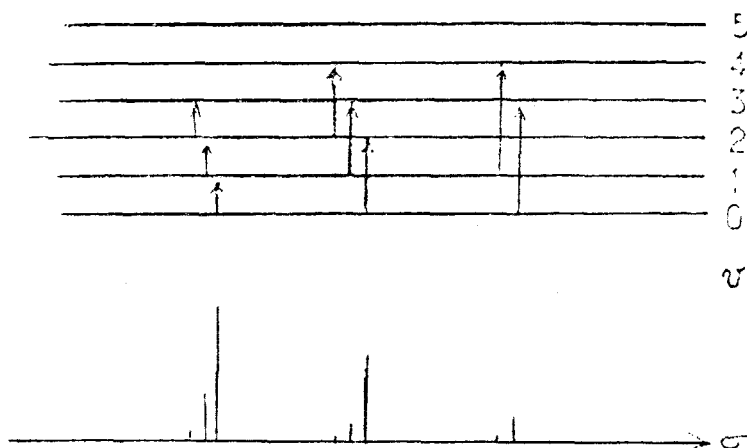


شكل ( ١٣ - ٦ )

وهذه الانتقالات الحارة لها عدد موجي يساوي :

$$\sigma = G_0(2) - G_0(1) = \omega_0 - 3 \omega_0 X_0 + 7 \omega_0 Y_0$$

وهو قريب من الانتقال البارد  $0 \leftarrow 1$  وعند زيادة درجة الحرارة نلاحظ إلى جوار كل انتقال بارد انتقال حار أو أكثر كما في الشكل ( ١٣ - ٧ )



شكل ( ٧ - ١٣ )

(a) - طيف الإصدار :

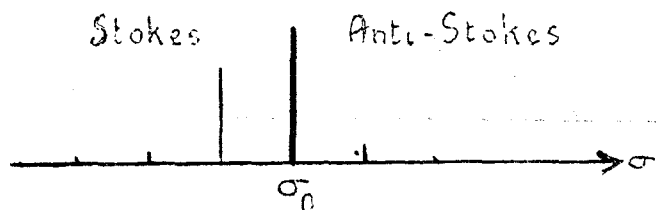
إن الثوابت  $\omega_e$  من مرتبة  $10^3 \text{ cm}^{-1}$  ( فمثلاً  $\omega_e = 2.99 \text{ cm}^{-1}$  لـ  $\text{HCl}$  و  $\omega_e = 27 \text{ cm}^{-1}$  لـ  $\text{Co}$  . . . ) وهذا يعني أن طيف الامتصاص الاهتزازي البارد والساخن يلاحظ في الأشعة تحت الحمراء .

(b) - طيف الامتصاص :

كل الحسابات التي تمت في طيف الامتصاص تنطبق على حالة الإصدار .

(c) - تشتت رامان :

إن وضع خطوط رامان يمكن الحصول عليه كما في الفقرة السابقة بشرط استبدال العدد الموجي  $\sigma$  بـ  $|\Delta\sigma|$  وبالتالي يوجد العدد من الخطوط Stokes أو anti-stokes موافقة  $\omega_e, \pm 2\omega_e, \pm 3\omega_e, \dots$  كما في الشكل ( ٨ - ١٣ ) .



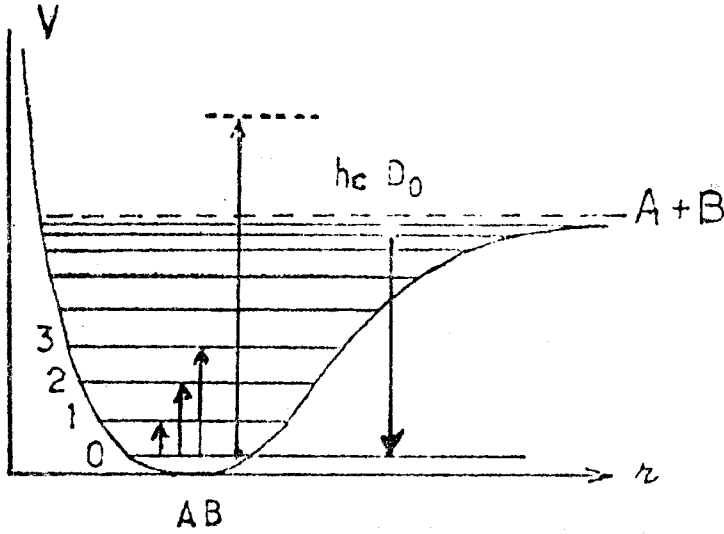
شكل ( ٨ - ١٣ )

الطيف المستمر - انفصال :

من الممكن أن يمتص الجزيء كوانتيم ذو طاقة أعلى من :

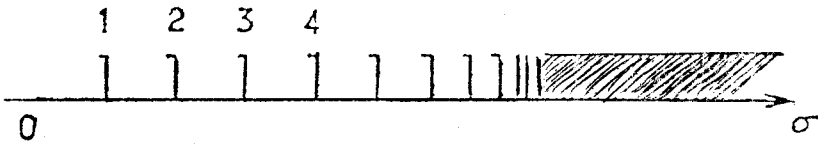
$$hc D_0 = hc [ D_e - G(0) ]$$

كما في الشكل ( ٩ - ١٣ ) وهذا الإمتصاص يؤدي إلى انفصال الجزيء والطاقة  $h\nu - hc D_0$  وهذه الطاقة تعطى إلى قسمين تحت شكل طاقة حركية انتقالية (غير



شكل ( ٩ - ١٣ )

مكتمة ) إذا فرضنا أن الجزيئات موجودة في الحالة  $v = 0$  يمكن أن نتوقع طيف امتصاص كما في الشكل ( ١٠ - ١٣ ) .



شكل ( ١٠ - ١٣ )

## ١٣ - ٢ - ٢ - الطيوف الاهتزازية للجزيئات المتعددة الذرات :

قواعد الإصطفاء :

الإصدار والامتصاص :

حتى يكون الانتقال مسموح ( في حالة الإصدار أو الإمتصاص ) وذلك بين حالتين اهتزازيتين  $m$  و  $n$  يجب أن يكون واحدة على الأقل من المركبات الثلاث لعزم الانتقال لايساوي الصفر أي :

$$m_{\gamma}^{m n} = \int \psi_m^* M_{\gamma} \psi_n d\tau \neq 0 \quad \text{حيث } \gamma = x, y, z$$

التوابع  $\psi_m$  و  $\psi_n$  معرفة بواسطة الأعداد الكمية  $v_s$  و  $l_s$  وكتقريب أولي ( هزاز توافقي ) يمكن اعتبارها كجداء لـ  $\psi_{vs}(Q_s)$  أو  $\psi_{vs}(r_s, X_s)$  للهرزازات التوافقية أحادية وثنائية البعد . لتذكر بأن مركبات عزم الانتقال  $m^{mn}$  يجب أن تحسب على المحاور XYZ الثابتة في الفضاء . في الحالة المدروسة حيث لا يوجد دوران للجزيء كما فرضنا . المحاور xyz المرتبطة بتشكيلة التوازن يمكن اعتبارها كأنها ثابتة في الفضاء .  $M_{\gamma}$  ترمز لمركبات عزم ثنائي القطب الكهربائي M على أحد المحاور  $x, y, z$  .

نشئت رامان :

تكتب قاعدة الإصطفاء :

$$\int \psi_m^* \alpha_{\gamma\gamma'} \psi_n d\tau \neq 0$$

$\alpha_{\gamma\gamma'}$  هي واحدة في مركبات تنسور الإستقطابية ( عددها 9 وينخفض إلى 6 إذا كان  $\alpha$  متناظر أي  $\alpha_{\gamma\gamma'} = \alpha_{\gamma'\gamma}$  . وهنا أيضاً نستطيع استخدام المركبات على المحاور xyz المرتبطة بالجزيء والتي تعتبر كأنها ثابتة في الفضاء .

أمثلة :

الجدول I يعطي قواعد الاصطفاء في حالة الإمتصاص والإصدار ونشئت

رامان لجزيئات ثلاثية الذرات . في حالة الجزيئات الخطية من المهم أن نشير إلى أن قاعدة الإصدار هي  $\Delta l_2 = 0$  مرافقة للشرط  $m_2^{mn} \neq 0$  وأن قاعدة الإصطفاء  $\Delta l_2 = \pm 1$  مرافقة للشرط  $m_2^{mn} \neq 0$  ، والمحور  $z$  هو محور الجزيء . هذان النوعان من الإنتقالات  $\Delta l_2 = 0$  و  $\Delta l_2 = \pm 1$  تدعى على التوالي بالانتقالات المتوازية والانتقالات المتعامدة أي أن تغير عزم ثنائي القطب الكهربائي خلال هذه الإنتقالات يتم بصورة متوازية أو متعامدة مع محور الجزيء . وأخيراً نلاحظ أنه في حالة الجزيئات المتناظرة  $XY_2$  فإن قاعدة الإصطفاء على  $v_2 + v_3$  تؤدي لقاعدة الإستبعاد التالية : الانتقالات المسموحة بالإصدار أو بالامتصاص ممنوعة بتشتت رامان والانتقالات المسموحة بتشتت رامان ممنوعة بالإصدار وبالامتصاص وهذه القاعدة يمكن أن تعمم على كل الجزيئات ذات تناظر توازن له مركز انعكاس .

### العدد الموجي للقطاع الاهتزازي :

لنأخذ حالة الإمتصاص وهذه الحالة تنطبق بسهولة على الحالتين الإصدار وتشتت رامان ليكن الإنتقال المسموح :

$$v'_1, v'_2, \dots, l'_1, \dots \rightarrow v''_1, v''_2, \dots, l''_1, \dots$$

كل واحدة من السويتين معرفة بمتتالية قيم الأعداد الكمية  $v_i, l_i$  المرافقة للاهتزاز المضاعف التوالد . حيث  $v'_1$  للسوية العليا و  $v''$  للسوية الدنيا العدد الموجي يعطى بالعلاقة :

$$\sigma = G(v'_1, v'_2, \dots, l'_1, \dots) - G(v''_1, v''_2, \dots, l''_1, \dots)$$

### القطاعات الباردة :

أغلب الجزيئات الغازية تكون في السوية الأساسية عند درجات الحرارة العادية . وبالتالي سيكون طيف الإمتصاص الاهتزازي مؤلف من قطاعات ناتجة عن انتقالات من السوية الأساسية تدعى بالقطاعات الباردة أي أن :

$$\sigma = G(v'_1, v'_2, \dots, l'_1, \dots) - G(0, 0, \dots, 0, \dots, 0)$$

وأيضاً :

$$\sigma = G_0(v'_1, v'_2, \dots, l'_1, \dots)$$

نوع الجزيء	مثال	الاحداثيات الطبيعية $Q_{ss}$	الحالات الخاصة	اصدار امتصاص	تشتت رامان
$XY_2$ خطي (متناظر)	$CO_2 - CS_2 \dots$	$Q_1 Q_2 Q_3$	$\psi_{v_1 v_2 v_3} I_2 (\dots Q_{ss} \dots)$	$\Delta I_2 = 0, \pm 1$ $\Delta v_2 + \Delta v_3 = \pm 1, \pm 3, \pm 5, \dots$	$\Delta I_2 = 0, \mp 1, \pm 2$ $\Delta v_2 + \Delta v_3 = 0, \pm 2, \pm 4 \dots$
$XY_2$ غير خطي (متناظر)	$H_2O - SO_2 \dots$	$Q_1 Q_2 Q_3$	$\psi_{v_1 v_2 v_3} (\dots Q_{ss} \dots)$	كل الانتقالات مسموحة	» » »
$XYZ$ خطي (غير متناظر)	$N_2O - HCN \dots$	$Q_1 Q_2 Q_3$	$\psi_{v_1 v_2 v_3} I_2 (\dots Q_{ss} \dots)$	$\Delta I_2 = 0, \pm 1$	$\Delta I_2 = 0, \pm 1, \pm 2 \dots$

جدول I

قواعد اصطفاء

حيث  $G_0$  ترمز إلى الحد الطيفي انطلاقاً من أخفض سوية اهتزازية .

توضع القطاعات الباردة الجزئية ثلاثية الذرة غير خطية سيعطى بإستخدام العلاقات ( ٧٢ - ١١ ) و ( ٧٤ - ١١ )

الأساسية :

$$(v_1) \quad \sigma = G_0 (1 \ 0 \ 0) = \omega_1^0 + X_{11}$$

$$(v_2) \quad \sigma = G_0 (0 \ 1 \ 0) = \omega_2^0 + X_{22}$$

$$(v_3) \quad \sigma = G_0 (0 \ 0 \ 1) = \omega_3^0 + X_{33}$$

التوافقيات الأولية :

$$(2v_1) \quad \sigma = G_0 (2 \ 0 \ 0) = 2 \omega_1^0 + 4 X_{11}$$

$$(2v_2) \quad \sigma = G_0 (0 \ 2 \ 0) = 2 \omega_2^0 + 4 X_{22}$$

$$(2v_3) \quad \sigma = G_0 (0 \ 0 \ 2) = 2 \omega_3^0 + 4 X_{33}$$

قطاعات توافقية Bands de combinaison :

$$(v_1 + v_2) \quad \sigma = G_0 (1 \ 1 \ 0) = \omega_1^0 + \omega_2^0 + X_{11} + X_{22} + X_{12}$$

$$(v_1 + 2v_2) \quad \sigma = G_0 (1 \ 2 \ 0) = \omega_1^0 + 2 \omega_2^0 + X_{11} + 4 X_{22} + 2 X_{12}$$

من أجل كل قطاع وضعنا بين قوسين رمز نوع  $v_s v_s + v_s v_s + \dots$  المستخدم بصورة عامة .

نفس الشيء فإن توضع القطاعات الباردة لجزئيات ثلاثية الذرة وخطية نحصل عليها من العلاقات ( ٧٢ - ١١ ) و ( ٧٥ - ١١ ) من فصل السويات الاهتزازية .

القطاعات الساخنة ( الحارة ) :

تبدأ من سويات محرصة ونلاحظها إذا كانت السوية المحرصة مسكونة بصورة كامنه . في الجزئيات الخطية الإهتزازات المضاعفة  $t$  تكون مترافقة بتشويه زاوي حيث الأنوية تتزاح بصورة متعامده مع محور الجزيء . لهذه الإهتزازات ترددات

نسبياً ضعيفة أي أن السويات  $v_1 = 1$  لها طاقة منخفضة بصورة كافية . في الجزيئات ثلاثية الذرة الخطية مثلاً أخفض سوية محرضه هي السوية  $v_2 = 1$  وهذه السوية منخفضة بصورة كافية بحيث يكون الإسكان فيها غير مهم في الدرجة العادية من الحرارة . والجدول التالي يعطي طاقات السويات المحرضه لبعض الجزيئات ثلاثية الذرة الخطية :

	CO <sub>2</sub>	N <sub>2</sub> O	HCN
G <sub>o</sub> (1 0° 0)	1285	1285	2089 (cm <sup>-2</sup> )
G <sub>o</sub> (0 1° 0)	667	589	721
G <sub>o</sub> (0 0° 1)	2349	2223	3312

نلاحظ في طيف الإمتصاص لجزيئات ثلاثية الذرة الخطية قطاعات حارة ذات شدة عالية نسبياً بالنسبة للسوية (0 1° 0) .

### طيف الامتصاص :

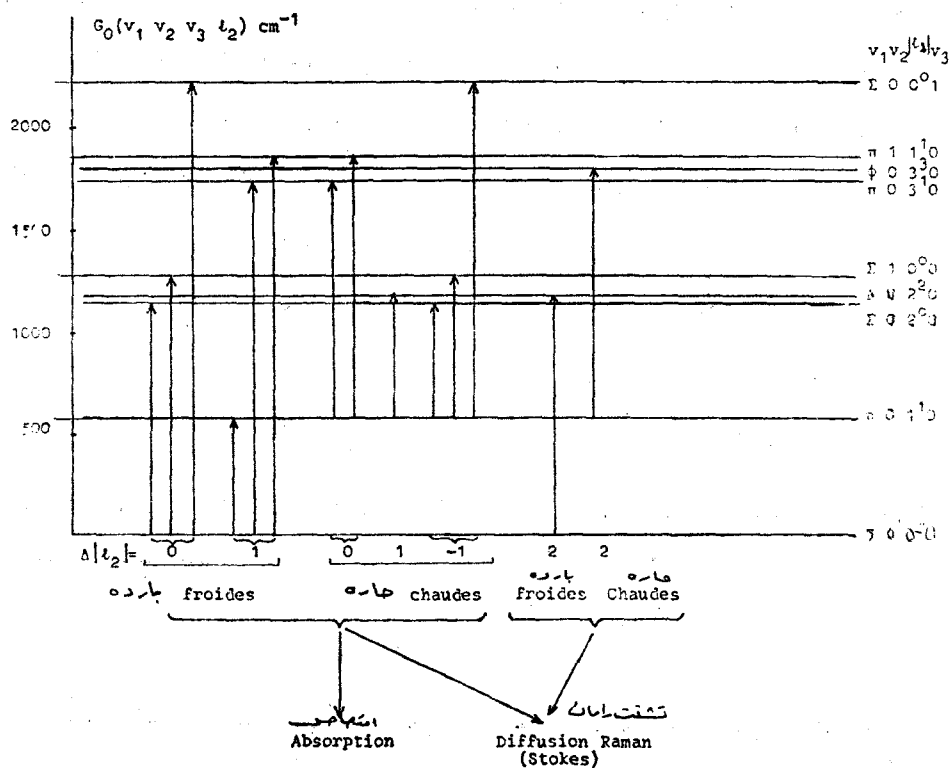
يشكل طيف الامتصاص من مجموعة القطاعات الباردة والحارة ويقع ضمن الاشعة تحت الحمراء وكمثال نأخذ حالة الجزيئات ثلاثية الذرة الخطية الغير متناظره والشكل (١٣ - ١١) يعطي طيف N<sub>2</sub>O حيث نلاحظ القطاعات الباردة والحارة . وهذا الشكل يسمح لنا بفهم لماذا بجانب كل قطاع بارد موازي ( $\Sigma \leftarrow \Sigma$ ) نلاحظ قطاع حار ( $\pi \leftarrow \pi$ ) وإلى جانب كل قطاع بارد متعامد ( $\Sigma \leftarrow \pi$ ) نلاحظ قطاعين حارين ( $\Delta \leftarrow \pi$  و  $\pi \leftarrow \Sigma$ ) على الشكل (١٣ - ١٢) مثلنا ( بنحط منقط عامودي ) القطاعات الحارة ( منطاقه من السوية المحرضة الأولى مرافقة بقطاعات باردة  $v_1, 2v_2^o, v_2$  ) .

### طيف تشتت رامان :

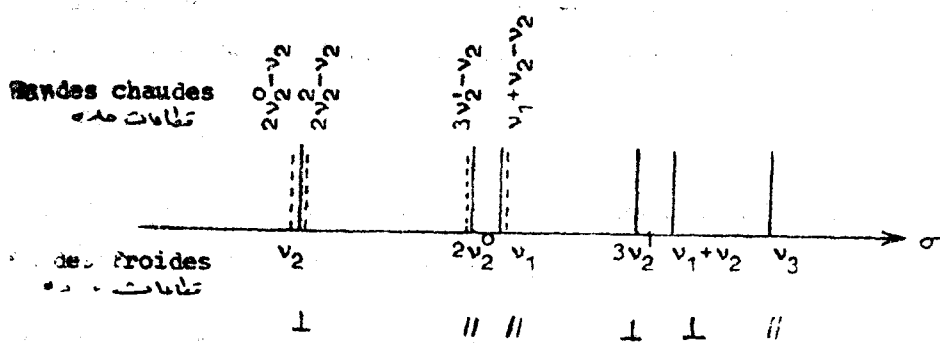
إن انتقالات رامان ال Stokes وطيف رامان موافق للانتقالات  $\Delta l_2 = \pm 2$  ويقال أيضاً الانتقالات  $\Delta l_2 = 0, \pm 1, \pm 2 \dots$  فعالة برامان .

ملاحظة : تستخدم المعطيات المسحوبة من الطيف الإهتزازي 1 لتحديد المراد الكيميائية 2 لتحديد بنية الجزيئات 3 لتحديد حقل القوى بين الأنوية .





شكل ( ۱۱ - ۱۳ )



شكل ( ۱۲ - ۱۳ )

### ١٣ - ٣ الطيوف الدورانية :

إن الحالات الخاصة  $\psi_1$  و  $\psi_2$  المرافقة لسويات الطاقة الدورانية هي الحالات الخاصة لدائر قاسي كتقريب أول وهي توابع لزوايا أولر . في الجزء الأول من هذه الفقرة سندرس قواعد الإصطفاء لدائر قاسي وفي القسم الثاني سيخصص للدراسة الطيوف الدورانية لجزيئات خطية .

### ١٣ - ٣ - ١ قواعد الإصطفاء لدائر قاسي :

#### ١ - اصدار وامتصاص :

حتى يكون الانتقال بين الحالتين  $i$  و  $j$  مسموحاً يجب أن يكون واحد على الأقل من التكاملات الثلاث غير معدوم :

$$\Gamma = X, Y, Z \quad m_{\Gamma}^{ij} = \int \psi_i^* M_{\Gamma} \psi_j d\tau \quad (١٣ - ٢٣)$$

$M_{\Gamma}$  هو مسقط عزم ثنائي القطب الكهربائي  $M$  على محور ثابت في الفضاء . وحيث نعتبر  $M$  العزم الدائم للجزيء والمركبات  $M_x, M_y, M_z$  لـ  $M$  على محاور مرتبطة بالجزيء ثابتة وهي متعلقة بالمركبات  $M_x, M_y, M_z$  بالعلاقات :

$$M_x = M_x \cos(Xx) + M_y \cos(Xy) + M_z \cos(Xz)$$

$$M_y = M_x \cos(Yx) + M_y \cos(Yy) + M_z \cos(Yz) \quad (١٣ - ٢٤)$$

$$M_z = M_x \cos(Zx) + M_y \cos(Zy) + M_z \cos(Zz)$$

بتعويض العلاقات ( ١٣ - ٢٤ ) في ( ١٣ - ٢٣ ) نجد :

$$m_{\Gamma}^{ij} = \int \psi_i^* \sum_{\gamma=X,Y,Z} M_{\gamma} \cos(\Gamma \gamma) \psi_j d\tau \quad (١٣ - ٢٥)$$

أو :

$$m_{\Gamma}^{ij} = \sum_{\gamma=X,Y,Z} M_{\gamma} \int \psi_i^* \cos(\Gamma \gamma) \psi_j d\tau \quad (26-13)$$

إذا انتقال مسموح يعني واحد من التكاملات التسعة غير معدوم على الأقل أي :

$$M_{\gamma} \int \psi_i^* \cos(\Gamma \gamma) \psi_j d\tau \neq 0 \quad \begin{matrix} \Gamma = X, Y, Z \\ \gamma = x, y, z \end{matrix} \quad (27-13)$$

وحتى يكون هناك طيف دوران في حالة الدوران القاسي يجب أن يملك عزم ( ثنائي قطب كهربائي ) دائماً غير معدوم ان قواعد الاصطفاء يمكن إيجادها من العلاقة :

$$\Gamma = X, Y, Z \quad \int \psi_i^* \cos(\Gamma \gamma) \psi_j d\tau \neq 0 \quad (28-13)$$

## ٢ - تشتت رامان :

ليكن  $m$  عزم ثنائي القطب المحث في الجزيء بواسطة الحقل الكهربائي  $\vec{\epsilon}$  ذو اشعاع ساقط وليكن  $\vec{\alpha}$  تنسور الاستقطابية :

$$m = \vec{\alpha} \vec{\epsilon} \quad (29-13)$$

يمكن اسقاطها على المحور الجزيء أو على المحور المتحرك للجزيء :

$$m_{\Gamma} = \sum_{\Gamma'=X,Y,Z} \alpha_{\Gamma\Gamma'} \epsilon_{\Gamma'} \quad (30-13)$$

$$m_{\gamma} = \sum_{\gamma'=x,y,z} \alpha_{\gamma\gamma'} \epsilon_{\gamma'} \quad (31-13)$$

إذا حتى يكون الانتقال بين  $i, j$  مسموحاً في حالة في حالة تشتت رامان يجب أن يكون :

$$\Gamma = X, Y, Z \quad \int \psi_i^* m_{\Gamma} \psi_j d\tau \neq 0 \quad (32-13)$$

$$\Gamma, \Gamma' = X, Y, Z \quad \int \psi_i^* \sigma_{\Gamma\Gamma'} \psi_j d\tau \neq 0 \quad (13 - 33)$$

إذا أخذنا بعين الاعتبار للعلاقة ( ١٣ - ٣٠ ) وأن المركبات  $\epsilon_{\Gamma'}$  للحقل الكهربائي ليس لها علاقة بإحداثيات الوضع أي بزوايا أولر . وبما أننا اعتبرنا أن الجزء غير قابل للتشويه فإن  $\alpha$  يجب اعتبارها كإستقطابية دائمة للجزء . ومن الأفضل لنا استعمال المركبات  $\alpha_{\gamma\gamma'}$  لتدور الإستقطابية على المحاور المتعلقة بالجزء لأن هذه المركبات ثابتة باستخدام العلاقات :

$$m_{\Gamma} = \sum_{\gamma = x, y, z} m_{\gamma} \cos(\Gamma \gamma) \quad (13 - 34)$$

$$\epsilon_{\gamma} = \sum_{\Gamma' = X, Y, Z} \epsilon_{\Gamma'} \cos(\Gamma', \gamma) \quad (13 - 35)$$

بفرض أن الإتجاهات  $x, y, z$  هي اتجاهات رئيسية للإستقطابية :

$$m_{\gamma} = \alpha_{\gamma\gamma} \epsilon_{\gamma} \quad (13 - 36)$$

بأخذ بعين الاعتبار للعلاقة 30 نجد :

$$\alpha_{\Gamma\Gamma'} = \sum_{\gamma} \alpha_{\gamma\gamma} \cos(\Gamma \gamma) \cos(\Gamma' \gamma) \quad (13 - 37)$$

والعلاقة ( ١٣ - ٣٣ ) تكون محققة إذا كانت :

$$\gamma = x, y, z \quad \Gamma, \Gamma' = X, Y, Z \quad \alpha_{\gamma\gamma} \int \psi_i^* \cos(\Gamma \gamma) \cos(\Gamma' \gamma) \psi_j d\tau \neq 0 \quad (13 - 38)$$

وقواعد الإصطفاء :

$$\gamma = x, y, z \quad \Gamma', \Gamma = X, Y, Z \quad \int \psi_i^* \cos(\Gamma \gamma) \cos(\Gamma' \gamma) \psi_j d\tau \neq 0 \quad (13 - 39)$$

## ملاحظات :

(a) - حتى يكون هناك اصدار أو امتصاص يجب أن يتغير عزم ثنائي القطب الكهربائي أثناء الدوران ( لدائر قاسي المنصوص هو تغير اتجاه المتجه إلى طويلة ثابتة ) ولن يكون هناك امتصاص أو اصدار إذا كان عزم ثنائي القطب الكهربائي معدوم .

- حتى يكون هناك تشتت رامان يجب أن يتغير تدور الاستقطابية أثناء الدوران ولن يكون هناك طيف دوران إذا كان مجسم القطع الناقص للاستقطابية هو كرة .

العلاقات ( ١٣ - ٣٩ ) تعطي الشروط الضرورية لكن غير كافية ولتبيان ذلك نأخذ :

$$\int \psi_i^* = \alpha_{zz} \psi_j d\tau = 0 \quad (١٣ - ٤٠)$$

إذا كان مجسم القطع الناقص للاستقطابية كرة أي إذا كان :

$$\alpha_{xx} = \alpha_{yy} = \alpha_{zz} \quad (١٣ - ٤١)$$

والشكل ( ١٣ - ١٣ ) يعطي :

$$\sin^2 (Zz) = \cos^2 (Zx) + \cos^2 (Zy) \quad (١٣ - ٤٢)$$

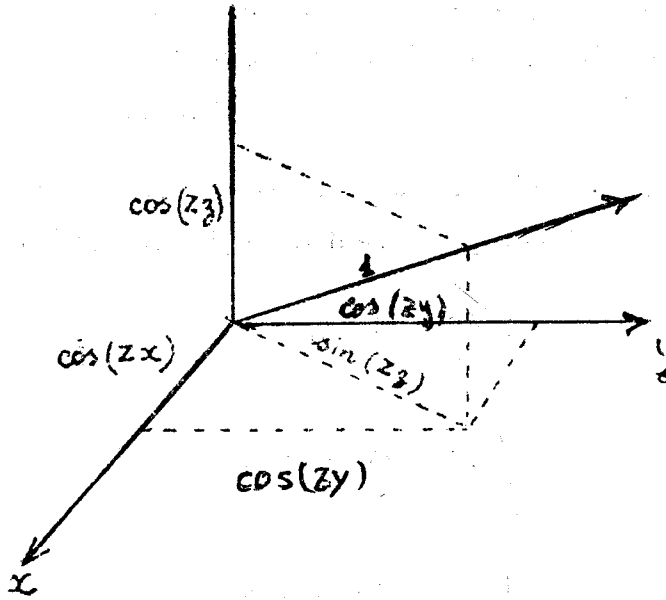
أو أيضاً :

$$\sum_{\gamma=x,y,z} \cos^2 (Z\gamma) = 1 \quad (١٣ - ٤٣)$$

تسمح العلاقات ( ١٣ - ٣٧ ) و ( ١٣ - ٤١ ) و ( ١٣ - ٤٣ ) بكتابة :

$$\begin{aligned} \int \psi_i \alpha_{zz} \psi_j d\tau &= \alpha_{xx} \int \psi_i^* \sum_{\gamma} \cos^2 (Z, \gamma) \psi_j d\tau \\ &= \alpha_{xx} \int \psi_i^* \psi_j d\tau = 0 \end{aligned} \quad (١٣ - ٤٤)$$

لأن  $\psi_i$  و  $\psi_j$  متعامدان .



شكل (١٣ - ١٣)

(b) - فرضنا أن  $x, y, z$  هي محاور رئيسية للاستقطابية وهذه الفرضية لن تكون خطأ لجزيئات لها عناصر تناظر قليلة . إن الإتجاهات الرئيسية للعطالة ستكون اتجاهات رئيسية للإستقطابية وهذا فقط يكون الجزء دائرة متناظر .

١٣ - ٣ - ٢ - الطيوف الدورانية للجزيئات الخطية :

١ - سويات الطاقة :

تعطى سويات الطاقة الدورانية لجزء خطي في تقريب الدوائر القاسي بالعلاقة :

$$\frac{E}{hc} = F(J) = BJ(J+1) \quad (١٣ - ٥٠)$$

B ثابت العطالة عند اتوازن تعطي :

$$B = B_e = \frac{h}{8 \pi^2 c I^e}$$

## ٢ - قواعد الاصطفاء في حالة الإصدار والامتصاص :

(a) - إذا كانت عزم ثنائي القطب الكهربائي الدائم معدوم فليس هناك طيف دوران وهي حالة كل الجزيئات الخطية المتناظرة مثل ( $H_2, O_2, N_2$ ) والجزيئات المتناظرة ( $CO_2, CS_2, C_2H_2$ ) .

(b) - إذا كان لها عزم ثنائي قطب ( موجة حسب oz ) هناك طيف دوراني اصداري وامتصاصي وبالتالي نحصل على قواعد الاصطفاء من العلاقات :

$$\int_{\tau} \psi_i^* \cos(Xz) \psi_j d\tau \neq 0 \quad (١٣ - ٥١)$$

$$\int_{\tau} \psi_i^* \cos(Yz) \psi_j d\tau \neq 0 \quad (١٣ - ٥٢)$$

$$\int_{\tau} \psi_i^* \cos(Zz) \psi_j d\tau \neq 0 \quad (١٣ - ٥٣)$$

العلاقات ( ١٣ - ٥١ ) و ( ١٣ - ٥٢ ) تؤديان إلى :

$$\Delta J = \pm 1 \quad \text{و} \quad \Delta M = \pm 1 \quad (١٣ - ٥٤)$$

والعلاقة ( ١٣ - ٥٣ ) تعطى قاعدة الاصطفاء :

$$\Delta J = \pm 1 \quad \text{و} \quad \Delta M = 0 \quad (١٣ - ٥٤)$$

سويات الطاقة لا تعتمد على العدد الكمي M وبالتالي فقاعدة الاصطفاء ستكون :

$$\Delta J = \pm 1$$

مثال :

إذا كان  $\psi_i = \psi_{JH}$  فعندئذ :

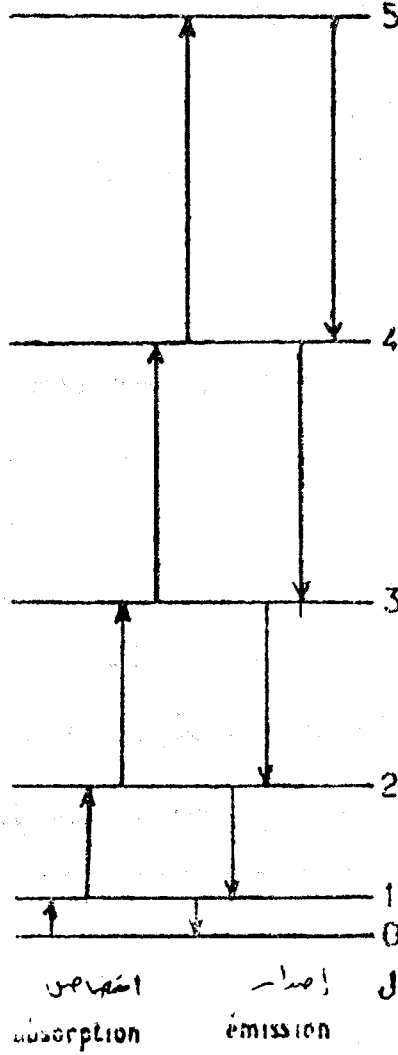
$$\cos(Z.z) \psi_{JM} = \sum_{J^*M^*} a_{JM}^{J^*M^*} \psi_{J^*M^*} \quad (١٣ - ٥٥)$$

أو :

$$\cos(Zz) \psi_{JM} = a_{JM}^{J+1} \psi_{J+1,M} + a_{JM}^{J-1} \psi_{J-1,M} \quad (13-56)$$

وهذه العلاقة تسمح بإيجاد قواعد الإصطفاء .

٣ - طيوف الإصدار والامتصاص :



شكل (١٣ - ١٤)



رأينا أن :

$$J' = J'' + 1$$

$$\Delta J = J' - J'' = 1$$

الانتقالات المسموح بالإصدار والامتصاص كما في الشكل ( ١٣ - ١٤ ) حيث الأعداد الموجبة معطية بالعلاقة :

$$\sigma = F(J') - F(J'') = F(J + 1) - F(J) \quad (١٣ - ٥٨)$$

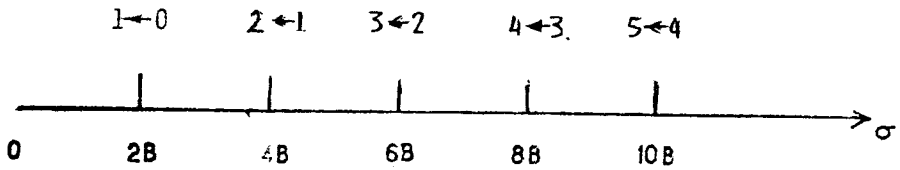
مع الأخذ بعين الاعتبار للعلاقة ( ١٣ - ٥٠ ) يصبح الحد الطيفي :

$$\sigma = B(J + 1)(J + 2) - BJ(J + 1)$$

ومنه :

$$\sigma = 2B(J + 1)$$

الشكل ( ١٣ - ١٥ ) يعطي مخطط طيف الامتصاص والدوران لجزء خطي



شكل ( ١٣ - ١٥ )

وهنا لابد من معرفة مرتبة B حتى يمكن تحديد مجال الطيف .

الجدول التالي يعطي بعض قيم الثابتة B بـ  $\text{cm}^{-1}$  :

(H <sub>2</sub> )	: 59,3	(O <sub>2</sub> )	: 1,44
(D <sub>2</sub> )	: 29,9	<u>DCN</u>	: 1,21
HCl <sup>35</sup>	: 10,3	(C <sub>2</sub> H <sub>2</sub> )	: 1.18
Co	: 1,92	N <sub>2</sub> O	: 0.42

(N <sub>2</sub> )	: 1,92	(CO <sub>2</sub> )	: 0.39
NO	: 1,70	OCS	: 0.20
HCN	: 1.48	(CS <sub>2</sub> )	: 0.11

في الجدول السابق الجزيئات التي تحتها خط لها طيف دوراني أما الأخرى فليس لها والجدول + السابق يحدد مجال الطيف هو الأشعة تحت الحمراء وكذلك الأمواج الميكروية . الشكل ( ١٣ - ١٦ ) .

Microondes		Infrarouge		تحت الحمراء		الأمواج ميكروية	
التردد	100 cm	1 cm	1000 μ	100 μ	10 μ	λ	
	0,01	1	10	100	1000	σ (cm <sup>-1</sup> )	
	300	30 000	300 000			ν (MHz)	

λ طول الموجة ، ν العدد المادي ، ν التردد

شكل ( ١٣ - ١٦ )

#### ٤ - قواعد الاصطفاء لتشتت رامان :

الجزيئات الخطية ( $\alpha_{xx} = \alpha_{yy} = \alpha_{zz}$ ) لها دائماً طيف رامان الدوراني . وقواعد الاصطفاء مرتبطة بالشرط :

$$\int \psi_i^* \cos(\Gamma\gamma) \cos(\Gamma'\gamma) \psi_j d\tau \neq 0 \quad (١٣ - ٥٩)$$

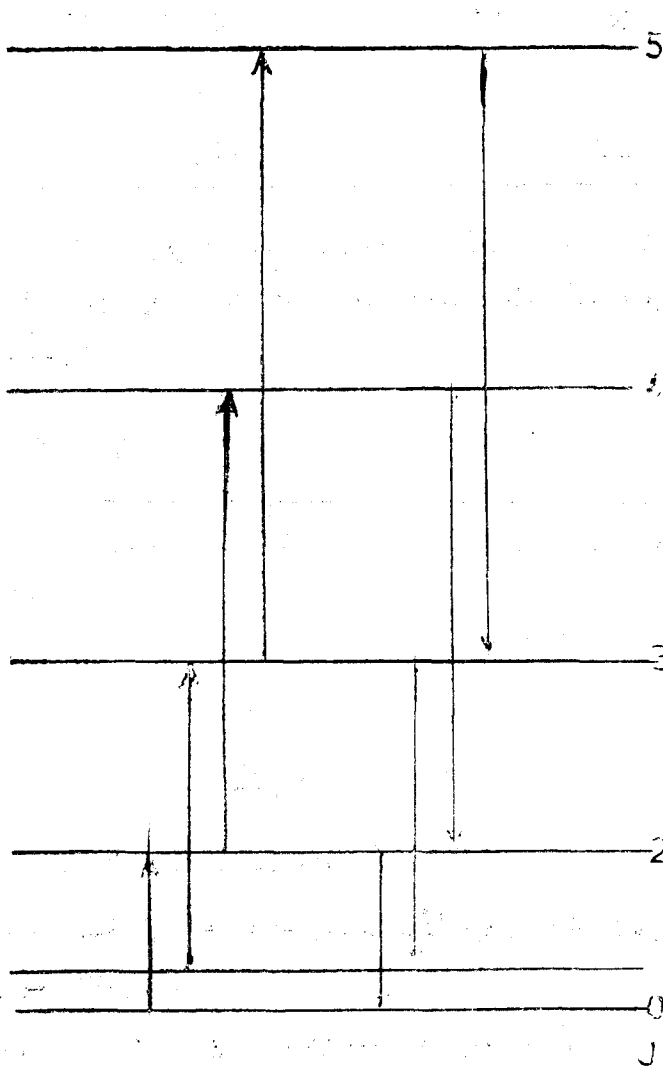
$$\Gamma, \Gamma' = X, Y, Z \quad \gamma = x, y, z$$

$$\Delta J = 0, \pm 2$$

والشروط الثلاثة يمكن أن تنخفض إلى واحد فقط في طيف رامان الدوراني :

$$\Delta J = 2 \quad (١٣ - ٦٠)$$

الشكل ( ١٢ - ١٧ ) يعطي مخطط الإنتقالات المسموحة .



Stokes anti Stokes

شكل ( ١٣ - ١٧ )

٥ - طيف تشتت رامان :

يعطي الإنزياح في العدد الموجي بعد الأخذ بعين الاعتبار لقواعد الاصطفاء

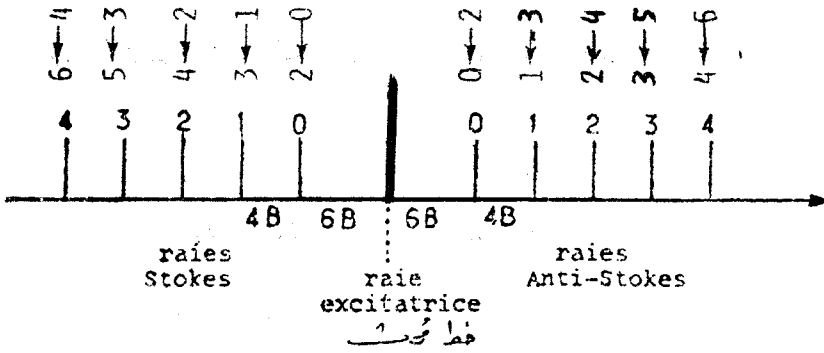
في حالة تشتت رامان بالعلاقة التالية :

$$|\Delta\sigma| = B(J+2)(J+3) - BJ(J-1) \quad (١٣ - ٦١)$$

$$= B(4J+6)$$

$$|\Delta\sigma| = 4B\left(J + \frac{3}{2}\right) \quad (١٣ - ٦٢)$$

والشكل ( ١٣ - ١٨ ) يعطي مخطط طيف تشتت رامان الدوراني حيث البعد بين خطين متعامدين  $4B$  بينما بعد الخط الأول Stokes والخط الأول anti - Stokes عن الخط المحث هو  $6B$ .



شكل ( ١٣ - ١٨ )

## ٦ - تأثير الفعل المتبادل بين الدوران والاهتزاز :

إن تأثير الفعل المتبادل بين الدوران والاهتزاز يظهر بفعلين :

(a) - الثابتة B ليست الآن ثابتة العطالة عند التوازن بل هي ثابتة العطالة عند أخفض سوية اهتزازية أي :

$$B_0 = B_e - \Delta B \quad (١٣ - ٦٣)$$

وإن أخفض سوية اهتزازية هي :

$$E_v(0) = hcG(0) \approx hc \sum_s \frac{\omega_s d_s}{2} \quad (١٣ - ٦٤)$$

وكما رأينا سابقاً فإن  $B_0$  يمكن أن تعتبر كأنها القيمة المتوسطة لثابتة العطالة :

$$B = \frac{h}{8 \pi^2 c I} \quad (١٣ - ٦٥)$$

محسوبة على أخفض سوية اهتزازية .

(b) - يظهر حد اضافي متناسب مع  $J^2 (J + 1)^2$  في علاقة الحد الطيفي الدوراني والذي يكتب :

$$\frac{ER}{hc} = F(J) = B_0 J(J + 1) - D J^2 (J + 1)^2 \quad (١٣ - ٦٦)$$

الثابتة  $D$  موجبة . تعطى  $D$  من أجل جزيء ثنائي الذرة بالعلاقة :

$$D = \frac{4 B_0^3}{\omega^2} \quad (\text{cm}^{-1})$$

في هذه الحالة لم تعد الخطوط الطيفية الدورانية متساوية الأبعاد بل تتباعد بزيادة  $J$  .

وضع الخطوط الطيفية لطيف الامتصاص والإصدار :

باستخدام قاعدة الإصطفاء  $\Delta J = + 1$  نجد الأعداد الموجبة للخطوط في الإصدار والامتصاص :

$$\sigma = F(J + 1) - F(J)$$

$$\sigma = 2 B_0 (J + 1) - 4 D (J + 1)^3 \quad (١٣ - ٦٧)$$

وضع الخطوط الطيفية في تشتت رامان :

باستخدام قاعدة الإصطفاء  $\Delta J = 2$  عندئذ يمكن إيجاد انزياح العدد الموجي في تشتت رامان :

$$|\Delta \sigma| = F(J + 2) - F(J)$$

$$|\Delta \sigma| = (4 B_0 - 6 D) (J + 3/2) - 8 D (J + 3/2)^3 \quad (١٣ - ٦٨)$$

ثوابت الدورانية :

الجدول التالي يعطي بعض القيم  $B_e$  ,  $B_0$  ,  $\Delta B$  ,  $D$  مقدرة بـ  $\text{cm}^{-1}$

	$B_e (\text{cm}^{-1})$	$B_0 (\text{cm}^{-1})$	$\Delta B = B_e - B_0 (\text{cm}^{-1})$	$D (\text{cm}^{-1})$
$\text{HC}^{13}$	10,5923	10,4404	0.1519	$5.305 \times 10^{-4}$
$\text{HC}^{37}$	10,5764	10,4247	0.1517	$5.300 \times 10^{-4}$
$\text{C}^{12} \text{O}_2^{16}$	0.391635	0.39021	0.00142	$13.7 \times 10^{-8}$
$\text{C}^{13} \text{O}_2^{16}$	0.391635	0.390025	0.00138	$13.7 \times 10^{-8}$

### ١٣ - ٤ : الطيف الاهتزازية الدورانية :

١٣ - ٤ - ١ - عموميات على الطيف الإهتزازي - الدوراني :

١ - الطاقة الإهتزازية - الدورانية :

(a) - التقريب الأول : تكتب الطاقة الاهتزازية الدورانية كمجموع للطاقة الإهتزازية والطاقة الدورانية . أي :

$$\frac{E_{vR}}{hc} = G + F$$

حيث  $G$  يعتمد فقط على العدد الكمي الاهتزازي فقط وكذلك  $F$  يعتمد على العدد الكمي الدوراني .

(1) لعمل حساب أكثر دقة يجب اعتبار ومن البداية كامل الطاقة الإهتزازية الدورانية يمكن تلخيص خطوات الحساب :

- نكتب في البداية الطاقة الإهتزازية الدورانية في الميكانيك الكلاسيكي :

$$E_{vR} = T + V$$

الطاقة الحركية للإهتزاز والدوران يمكن وضعها تحت شكل مجموع .

$$T = T_v + T_R + T_I$$

$T_I$  الطاقة الحركية للتأثير المتبادل اهتزاز - دوران ، ويمكن وضع الطاقة الكامنة تحت شكل سلسلة :

$$V = V_0 + V_1 + V_2 + \dots$$

$V_0$  يكون هز توافقي :

— يمكن أيضاً أن نضع صيغة للهاملتون تحت شكل سلسلة بالنسبة للاحداثيات الطبيعية .

$$H = H_0 + H_1 + H_2 + \dots$$

— باستخدام نظرية الاضطراب نوجد الطاقة الاهتزازية الدورانية تحت شكل نشر بسلسلة بالنسبة للاعداد الكمية الاهتزازية والدورانية :

$$E_{VR} = E_0 + E_1 + E_2 + \dots$$

— من المريح دمج الحدود في السلسلة السابقة بشكل تكتب فيه :

$$\frac{E_{VR}}{hc} = G + F_v$$

حيث  $G$  الحد الطيفي الإمتزازي و  $F_v$  علاقة جديدة للحد الطيفي الدوراني تعتمد بنفس الوقت على الأعداد الكمية الدورانية والاعداد الكمية الاهتزازية .

٢ — قواعد الإصطفاء :

(a) — الإصدار والامتصاص : حتى يكون هناك إنتقال بين  $i$  و  $j$  يجب أن يكون واحد من المركبات الثلاث  $m_{\Gamma}^{ij}$  غير معدوم أي :

$$m_{\Gamma}^{ij} = \int \psi_i^* M_{\Gamma} \psi_j d\tau \neq 0$$

$$\psi_i = \psi_i^v \psi_i^R$$

$$\psi_j = \psi_j^v \psi_j^R$$

يمكن التعبير عن مركبات عزم القطب الكهربائي على المحاور الثابتة كتابع لمركبات على المحاور المتحركة xyz بالعلاقة :

$$M_{\Gamma} = \sum_{\gamma=x,y,z} M_{\gamma} \cos(\Gamma, \gamma)$$

وبالتعويض بالعلاقة :

$$\int_{\tau_v \eta_R} \psi_i^{v*} \psi_i^{R*} M_{\gamma} \cos(\Gamma, \gamma) \psi_j^v \psi_j^R d\eta_v d\eta_R$$

حيث  $d\eta_v$  متناسب مع  $\pi_{s\sigma} dQ_{s\sigma}$  و  $d\eta_R$  متناسب مع  $d\theta d\psi d\phi$  يمكن كتابة العلاقة الأخيرة بالشكل :

$$\int_{\eta_v} \psi_i^{v*} M_{\gamma} \psi_j^v d\eta_v \int_{\eta_R} \psi_i^{R*} \cos(\Gamma, \gamma) \psi_j^R d\eta_R$$

نلاحظ أنه يجب أن تتحقق قاعدة الاصطفاء الإهتزازية الانتقالات الدورانية مسموحة عندما تتحقق قواعد الاصطفاء في حالة الدوران فقط .

(b) — تشتت رامان : يكون الإنتقال مسموح في حالة الاهتزاز — الدوران بشرط أن تتحقق :

- قواعد الاصطفاء في حالة الاهتزاز كما في الفصل السابق .
- قواعد الاصطفاء في حالة الدوران والتي يتم الحصول عليها بأخذ استقطابية الإنتقال بدلاً من الاستقطابية الدائمة المأخوذة في حالة الدوران الصرف كما رأينا سابقاً .

١٣ — ٤ — ٢ — الطيوف الاهتزازية — الدورانية لجزيئات ثنائية الذرة :

١ — الطاقة الإهتزازية الدورانية : تعطى علاقة الحد الطيفي الاهتزازي والدوراني بـ

$$\frac{E_{vR}}{hc} = G(v) + F_v(J)$$

$$G(v) = \omega_0 (v + 1/2) - \omega_e X_e (v + 1/2)^2$$



$$F_v(J) = B_v J(J+1) - D J^2(J+1)^2$$

و :

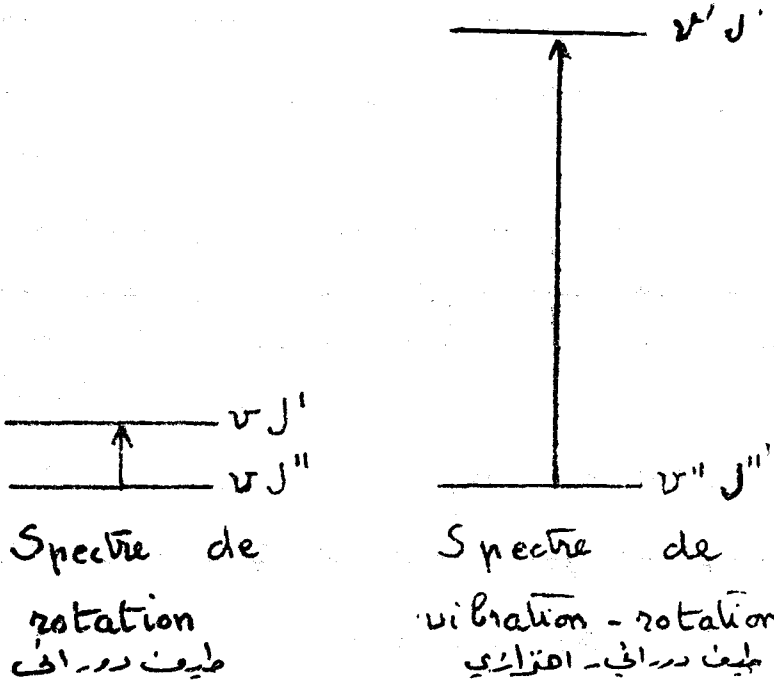
$$B_v = B_e - \alpha(v + 1/2)$$

حيث  $\alpha$  تعرف تغير ثابت العطالة مع الإهتزاز . عند أخفض سوية اهتزازية ( $v = 0$ ) نجد :

$$B_0 = B_e - (\alpha / 2)$$

## ٢ - قواعد الاصطفاء في الإصدار والامتصاص :

(a) - حتى يكون الإنتقال مسموح يجب أن يكون في البداية مسموح بقاعدة الإصطفاء الاهتزازية فمن أجل  $XY$  كل الإنتقالات الاهتزازية مسموحة . وممنوعة في حالة  $X_2$  . من بين الجزئيات ثنائية الذرة فقط الجزئيات ذات الذرات المتشابهة  $X_2$  سيكون لها طيف اهتزازي - دوراني اصداري وامتصاص .



شكل ( ١٣ - ١٩ )

(b) - في حالة اهتزاز جزئية XY يوجد عزم الانتقال الاهتزازي حسب oz . وقاعدة الاصطفاء الدورانية نحصل عليها من العلاقة :

$$\int_{\eta_R} \psi_i^{R*} \cos(\Gamma \gamma) \psi_j^R d\eta \neq 0$$

$$\Delta J = \pm 1$$

والشكل ( ١٣ - ١٩ ) يعطي مخطط الانتقال بين مستويات الطاقة في هذه الحالة .

### ٣ - طيوف الإصدار والامتصاص :

من أجل كل انتقال اهتزازي نحصل على سلسلة خطوط طيفية اهتزازية - دورانية بصورة عامة ندعوها الأفرع . O , P , Q , R , S . وهي مميزة بـ :

$$\Delta J = -2, -1, 0, +1, +2$$

فالسلسلة المعرفة بـ  $\Delta J = +1$  تدعى الفرع R والمعرفة  $\Delta J = -1$  تدعى الفرع P -

الاعداد الموجية التابعة لهذا الفرعان تعطى بالعلاقين :

$$P(J) = \frac{E'(J-1)}{hc} - \frac{E''(J)}{hc}$$

$$R(J) = \frac{E'(J+1)}{hc} - \frac{E''(J)}{hc}$$

حيث فرضنا أن  $J = J''$  . بتعويض في هاتين العلاقتين علاقة الحد العليفي نجد :

$$\frac{E(J)}{hc} = G + B_v J(J+1) - D J^2(J+1)^2$$

تصبح :

$$P(J) = \sigma_0 - (B' + B'') J + (B' - B'') J^2 + 4 D J^3$$

$$R(J) = \sigma_0 + 2 B' - 4 D + (3 B' - B'' - 12 D) J$$

$$+ (B' - B'' - 12 D) J^2 - 4 D J^3$$

حيث :

$$\sigma_0 = G' - G''$$

ترمز لمركز قطاع الاهتزاز - الدوران . إذا أهمانا تأثير تشويه الطرد المركزي ( $D=0$ ) تصبح المعادلات السابقة بالشكل :

$$P(J) \approx \sigma_0 - (B' - B'') J + (B' - B'') J^2$$

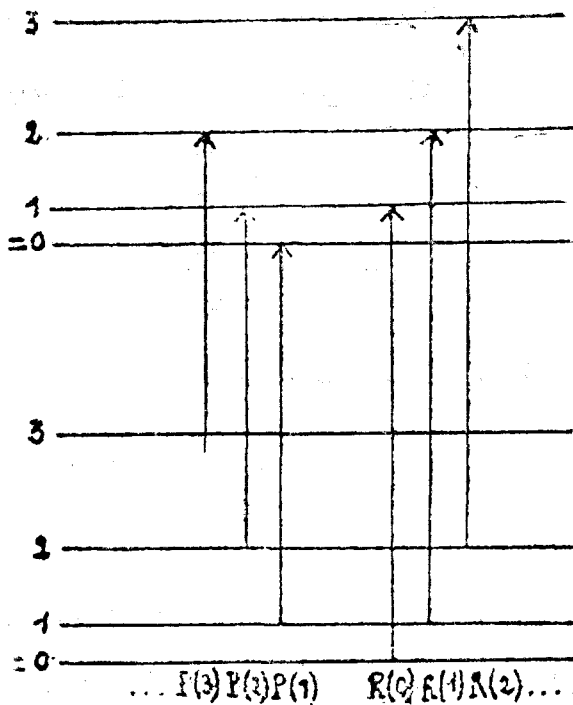
$$R(J) \approx \sigma_0 + 2 B' + (3 B' - B'') J + (B' - B'') J^2$$

ومن الممكن أن نكتب المعادلتان تحت شكل واحد :

$$\sigma = \sigma_0 + (B' + B'') m + (B' - B'') m^2$$

مع :  $m = -J$  من أجل الفرع P

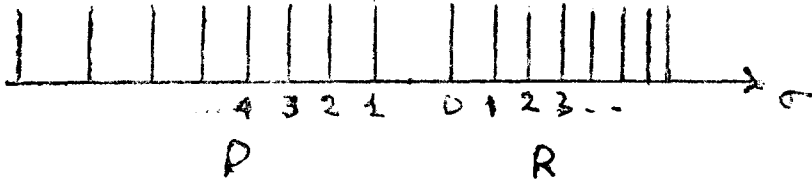
$m = J + 1$  من أجل الفرع R



الشكل ( ١٣ - ٢٠ )

الانتقالات الاهتزازية — الدورانية  $R(0), R(1), \dots, P(1), P(2), \dots$  تعطى على الشكل (١٣ - ٢٠) ومن المهم ملاحظة بأنه لا يوجد خط طيفي  $P(0)$

والشكل (١٣ - ٢١) يبين كيف تتراس الخطوط الطيفية أكثر فأكثر في الفرع  $R$  وأن الخطوط الطيفية تتراس أقل فأقل من الفرع  $P$ .



شكل (١٣ - ٢١)

٤ — طيف رامان

الجزيئات ثنائية الذرة متشابهة أو غير متشابهة الذرات لها طيف تشتت رامان اهتزازي — دوراني .



## المراجع الأجنبية

- 1 - A. MESSIAH , *Mécanique* (Dunod) . Paris , 1972 .
- 2 - L. LANDAU et E. LIFCHITZ , *Physique* , tome III (Editions Mir) . Moscou, 1967
- 3 - L. I. SCHIFF , *Quantum Mechanics* (Mc Graw Hill) . New York , 1968 .
- 4 - P. A. M. DIRAC , *The principles of Quantum Mechanics* (Clarendon Press) . Oxford , 1958 .
- 5 - S. I. TOMONAGA , *Quantum Mechanics* ( North Holland Publishing Company) Amsterdam , 1962 .
- 6 - A. S. DAVYDOV , *Quantum Mechanics* (Pergamon Press) . Oxford, 1965 .
- 7 - D. J 7 - D. I. BLOKHINTSEV , *Mécanique* (Mosson) . Paris, 1967 .
- 8 - R. P. FEYNMAN , *Vectures on physics*, tome III : *Quantum Mechanics* (Addison Wesley Publishing Company ) , 1965 .
- 9 - E. BERTEIN , *Bases de l'électronique quantique* (Eyrolles ) . Paris, 1965 .
- 10 - J. SALMON et GERVAT , *Mécanique quantique* (Masson) . Paris, 1968 .
- 11 - J. BARRIOL , *Eléments de mécanique quantique* (Masson) . Paris, 1966 .
- 12 - D. TER HAAR , *Selected Problems in Quantum Mechanics* (Infoscarch Otd.), Londres, 1964
- 13 - H. MARGENAU et G. M. MURPHY , *The Mathematics of Physics and Chemistry* Van Nostrand (Co). Princeton, 1964 .
- 14 - P. T. MATTHEWS , *Introduction a la mécanique quantique* (Dunod) . Paris , 1970 .
- 15 - N. F. MOTT, *Elementary quantum mechanics* (The QW ykeham Science Series) . Londres , 1972 .
- 16 - C. Cohen - Tannoudji, *mécanique quantique* (S, II) Hermann (1973) .
- 17 - E. U. Condon the Theory of atomic spectra Cambridge University Press (1977) .
- 18 - J. F. Cornwell , *group theory and electronic energy bands* (North - Holland publishing company London (1969) ) .

# كَلَامُ الْمُصْطَلَحَاتِ الْعِلْمِيَّةِ

عربي - فرنسي

— A —

Absorption de lumière

(probabilité d' )

Approximation ( méthode des d' )

Atome (s)

alcalins

d'Argon

de Bore

de deutérium

d'hélium

d'hydrogène

( instabilité des )

libre (niveaux de l' )

mésique

Avogadro ( nombre d')

امتصاص الضوء

احتمال الامتصاص

طرق التقريب

ذرة

ذرات قلوية

ذرة الأرجون

ذرة البور

ذرة الديتريوم

الهليوم

الهيدروجين

عدم استقرار الذرة

مستوى الذرة الحرة

عدد آفوكادرو

— B —

Balmer

(Formule de )

Barrière de potentiel

rectangulaire

بالمير

علامة بالمير

حاجز كمون

حاجز كمون مستطيل

Base :	قاعدة
(changement de )	تغير القاعدة
continue	قاعدة مستمرة
orthonormée complète	قاعدة متعامدة كاملة
propre d'un operateur hermitique	قاعدة خاصة للمؤثر هرميتي
Bessel (equation de )	معادلة بيسل
Bohr	بور
( magnéton de )	( ماغنيتون ) مغناتون بور
( postulats de )	فرضية بور
( rayon de )	نصف قطر بور
Sommerfeld ( mécanique de )	ميكانيك بور سومرفيلد
Boltzman	بولتزمان
( constante k de )	ثابت بولتزمان
Born ( approximation de )	تقريب بورن
Bosons	بوزونات
Bra	برا

— C —

Capture	يأسر
Chaleur (s) spécifique (s)	حرارة نوعية
(congelation)	حرارة التجمد
Champ central (particule dans un )	جزئية في حقل مركزي
électromagnétique	حقل كهرومغناطيسي
Commutateur	متبادل
Commutation	تبادل
relationsfondamentales	علاقات التبادل الأساسية
du moment cinétique	تبادل العزم الحركي
Configuration	هيئة تشكيل ( بنيه )

fondamentale de l'hélium

البنية الأساسية للهيليوم

excité de l'hélium

البنية المثارة للهيليوم

constante du mouvement

ثابتة الحركة

Coordonné (s) d'une particule

احداثيات جزئية

généralisées

احداثيات معمة

Corps noir

جسم أسود

Couche saturée

مدار مشبع

Courant de probabilité

تيار الاحتمال

— D —

Degenerescence

توالد — تحلل

coulombienne

تحلل كولوني

Degré (s) de liberté

درجة الحرية

(energie associée à un)

طاقة مرافقة للدرجة

Demi- puits de potentiel

نصف بئر كمون

Densité spectrale

كثافة طيفية

d'une fonction aléatoire

كثافة طيفية لتابع عشوائي

energetique du corps noir

كثافة طيفية لطاقته لجسم أسود

Diffraction électronique

انعراج الكتروني

diffusion

انتشار

aux très faibles vitesses

التشتت عند سرعات ضعيفة

élastique

تشتت مرن

par une sphère dure

التشتت بكرة صلبة

Dirac

ديراك

(fonction de)

تابع ديراك

(formalisme de)

شكلية ديراك

Discontinuité de potentiel

عدم استمرارية الكمون

Dispersion

تشتت انتشار



Doppler (effet)	مفعول دوبلر
Dualité onde corpuscule	ازدواجية موجية جسم
Dynamique relativiste	نحريل نسبوي

— E —

Echange	تبادل
Ecrani	حجب
constante d'	ثابت الحجب
(effet d' )	مفعول الحجب
Einstein	اينشتاين
Electron (système de deux )	مجموعة بإلكترونين
Emission de lumière	اصدار الضوء
probabilité d'émission	احتمال الإصدار
Energie	
cinétique (opérateur )	مؤثر الطاقة الحركية
potentiel (opérateur )	مؤثر الطاقة الكامنة
Equipartition (théorème d')	نظمية التوزيع المتساوي
Espace	فضاء
à infinité continue de dimension	فضاء بعيد لا نهائي مستمر
des phases	فضاء الأطوار
linéaire fonctionnel	فضاء خطي تابعي
vectoriel	فضاء شعاعي
Etat	حالة
lié	حالة مرتبطة
non lié	حالة غير مرتبطة
proper (d'une variable dynamique)	حالة خاصة لتحول ديناميكي
stationnaire	حالة مستقرة
Etat dynamique	

(quantique)  
dependant du temps

حالة ديناميكية كمية  
حالة ديناميكية متعلقة بالزمن

Evolution :

(equation d')

علاقة التطور

Excité (niveau )

مستوى مثار

— F —

Fermeture (relation de)

علاقة الإنغلاق

Fermions

فيرميونات

Fonction aléatoire

تابع عشوائي

ergodique

stationnaire

تابع عشوائي مستقر

Fonctions :

de correlation

توابع الارتباط

de distribution d'une variable aléatoire

تابع توزيع لتحويل عشوائي

d'onde

توابع موجية

antisymétrique

تابع غير متناظر

symétrique

تابع متناظر

generatrice

تابع مولد

propre

تابع خاص

spherique

توابع كروية

Fondamental (niveau )

سوية أساسية

Forier (transformation de )

تحويلة فورية

— G —

Group :

des permutations

زمرة  
زمرة التبديلات

des rotation

زمرة الدورانات

(théorie de )

نظرية الزمر

— H —

Hamilton (equation) d'

معادلة هاميلتون

Homoniques sphérique

المهرمونات الكروية

Hermite (polynomes d')

كثيرات حدود هرميت

— I —

Incertitude (principe et relations d')

مبدأ وعلاقة عدم التعین

Indiscernabilité

عدم التمايز

Integrale coulombienne

تكامل كولوني

d'échange

تكامل كولوني تبادلي

Ionisation (potentiel d')

كمون التأين

— K —

Ket

كيت

— L —

Landé (pormule de)

علاقة لانده

Largure des raies

عرض الخطوط

Legendre (polymnoms de )

كثيرات حدود ليجنندر

Lyman (série de )

سلسلة ليمان

— M —

Masse reduite

كتلة مختزلة

Méson

ميزون

Molécule

جزيئه

diatomique

جزيئية ثنائية الذرة

Moment (s)

عزم

cinétique

عزم حركي

orbitaux

عزم مداري

(quantification du)  
(valeur propre du)  
dipolaire électrique d'un atome  
magnétique  
Multiplicité

تكميم العزم  
التيمة الخاصة للعزم  
عزم ثنائي القطب الكهربائي لذرة  
عزم مغناطيسي  
تعددية

— N —

Niveaux :

(multiplicité des )  
(population des )  
Nombre quantique  
magnétique de spin

تعددية السويات  
اسكان السويات  
عدد كمي  
عدد كمي مغناطيسي للSpin

— O —

onde :

associé de De Broglu  
(equation d')  
(paquet d')  
partielle  
plan

Operateur (s)

adjoint  
angulaire  
d'évolution  
filtre sur un fonction  
hermitique  
identité  
inverse

موجه  
الموجة المرافقة لدبروغي  
المعادلة الموجية  
حزمة الموجه  
موجة جزئية  
موجة مستوية  
مؤثر  
مؤثر مرافق  
مؤثر زاوي  
مؤثر التطور  
مؤثر مرشح على تابع  
مؤثر هرميتي  
مؤثر المطابقة  
مؤثر العكس

lineaire	مؤثر خطي
scalaire	مؤثر سلمي
vectorel	مؤثر شعاعي
orthogonalité (coordonnées $e_i$ )	شروط المتعامد
oscillateur	هزاز
anharmonique	هزاز لاتوافقي

— P —

Parité	تمائل (زوجيه)
des fonctions spheriques	تمائل التوابع الكروية
(operateur)	مؤثر التماثل
Paroi réfléchissante	حاجز عاكس
Pauli	
(matrices de)	مصفوفات باولي
(principe de)	مبدأ باولي
Permutation :	
(operateur)	مؤثر التبديل
Perturbation	
dependant du temps	إضطراب تابع للزمن
stationnaires	إضطراب مستقر
Polairisation	استقطاب
Polynomes orthogonaux	كثيرات حدود متعامده
Potentiel	
centrifuge	كمون طرد مركزي
evante	كمون محجوب
Principe :	
de decomposition spectrale	مبدأ التحليل الطيفي
Probabilité de presence	احتمال الوجود

Produit

scalaire

جداء سلمي

Projecteur

استقاط

Puite de potentiel

parabolique

بئر كمون قطعي

symétrique

بئر كمون متناظر

— Q —

Quantité de monvement

كمية الحركة

(operateur)

مؤثر كمية الحركة

Quantification !

تكميم

de l'energie

تكميم الطاقة

— R —

Rdiale (fonction d'onde)

تابع الموجه القطري

Radioactivité

نشاط إشعاعي

Raies permises et raies interdites

خطوط مسموحة وخطوط ممنوعة

Regle (s)

de selection

قواعد الإصطفاء

d'or de Fermi

قاعدة الذهب لفرمي

Représentative

d'un operateur

تمثيل مؤثر

scalaire

تمثيل سلمي

vectoriel

تمثيل شعاعي

Resonance

طنين

Rotateur lineaire rigide

دوران خطي قاسي

Rotations des etats

دوران الحالات

Section efficace	المقطع العرضي النعال
differentielle	المقطع العرضي التفاضلي
total	المقطع العرضي الفعال الكلي
Slater (déterminant de )	معينة سلاتر
Sous - espace propre	فضاء جزئي خاص
Spin d'une particule	سبين جزئية
Spin orbite (couplage )	ارتباط سبين مدار
Superpotion lineaire des etats	تناضد خطي للحالات
Symboles spectroscopique	رموز طيفية

Temps de corrélation	زمن الارتباط
Termes atomiques	حدود ذرية
Transitions	
induites	انتقالات محته
spontanées	انتقالات ذاتي
Transparence d'une barrier	شفافية حاجز
Tunnel (effet )	المفعول النطقي

Valeur (s)	
mayenne (s)	القيمة الوسطى
propre d'un Hamiltonien	القيمة الخاصة للهاملتون
d'une variable dynamique	القيمة لمتحول ديناميكي
Variation (s)	
simultanément mesurables	متحولات قابلة للقياس بنفس الوقت
Variations ( méthode des )	طريقة التغيرات

Vecteur (s) propre

شعاع خاص

Vitesse :

de groupe d'une onde

سرعة المجموعة لموجة

de phase d'une onde

سرعة الطور لموجة

— W —

Wien (loi de)

قانون واين

— Z —

Zeeman (effet)

مفعول زيمان





# الفهرس

الصفحة

الموضوع

٣

المقدمة

الباب الأول

الفيزياء الذرية

الفصل الأول

٧

المواضيع الأساسية لعلم الطيوف

٨

سويات الطاقة والانتقالات ( الخطوط الطيفية )

١١

أنواع الاثارة

١٥

المنظومات البصرية

١٧

طرق الكشف عن الاشعاع

الفصل الثاني

١٩

حركة الكترون بدون سبين ضمن كمن مركزي ( دراسة كوانتية )

٢٠

معادلة شرودينغر

٣١

احتمال وجود الالكترن ضمن ذرة هيدروجينية

٣٥

حالة كمن مركزي غير كولوني

### الفصل الثالث

#### تقريب الالكترونات المستقلة في كمون مركزي ( التشكيلات الالكترونية )

٤٣

٤٦

٤٨

٤٩

م متويات الطاقة لمجموعة ذات  $N$  الكترون مستقل ضمن كمون مركزي  
مبدأ باولي  
العدد الأعظمي للالكترونات المتعلقة بطبقة - أو بطبقة جزئية

### الفصل الرابع

٥٧

#### العزوم الحركية وتعدد مستويات الطاقة

٥٨

٦٠

٦٦

٧٠

٧٣

٧٧

مركبات العزوم الحركية  
تحديدات لورنتز لمركبات الحقل  
مبدأ حساب سويات الطاقة للذرات المتعددة الالكترونات  
الحدود الطيفية  
تحديد العزوم الحركية وتعداد مستويات الطاقة المختلفة للتشكيل الالكتروني  
قواعد هوند

### الفصل الخامس

٨١

#### أطياف المنظومات الذرية بالكترون وبالكترونين

٨١

٨٤

٩٠

٩٣

٩٨

٩٩

١٠٠

١١٥

نظرية الاشعاع الكمية  
الامتصاص والاصدار الكمية  
حساب معاملات انشتاين  
قواعد الاصطفاء  
ذرات بالكترونين  
الارتباط بين العزوم الجزئية والنموذج الشعاعي  
قاعدة مجال لاندé  
مستويات الطاقة لذرة الهيدروجين - البنية الناعمة للخطوط

### الفصل السادس

#### المغناطيسية الذرية - مفعول زيمان وباشن - باك

هاملتونيان جزئية مشحونة بوجود حقل كهرومغناطيسي

الهاملتونيات بوجود حقل مغناطيسي ثابت ومنتظم

نظرية تمثيل المؤثرات السلمية والشعاعية - وجود عامل لانده  $g$

مفعول زيمان الموصوف بالنموذج الشعاعي

مفعول باشن باك في حقل قوي - حالة حقول متوسطة

مفعول زيمان وباشن باك لذرات ذات الكترونين

### الفصل السابع

#### النواة وفيزياء الذرة

النواة - العزم المغناطيسي - العزم الحركي

العزم الحركي والعزم المغناطيسي للأنوية

التأثيرات المتبادلة المغناطيسية بين النواة والالكترونات حسب

ثابتة البنية فوق ناعمة

المغناطيسية للذرة تملك سبين نووي

( مفعول زيمان ومفعول باك - غودسمت )

الاضطراب  $W$  المعتمد على الحقل المغناطيسي

مخططات الطاقة في مناطق الحقول المتوسطة

العزوم المغناطيسية الفعالة

### الفصل الثامن

#### نظرية الاشعاع

النظرية الكهرومغناطيسية الكلاسيكية

٢٠٧	شعاع ثنائي قطب مهتز
٢١٢	تطبيق في حالة الكترون مرتبط بصورة مرنة
٢١٨	العزوم المتعددة الأقطاب
٢٢٢	حالة شحن متحركة - العزوم المتعددة الأقطاب المغناطيسية
٢٢٣	حساب الحتمل المغناطيسي المتولد عن مجموعة من الشحن
٢٢٧	دراسة خاصة للعزم رباعي الأقطاب الكهربائي

## الباب الثاني

### الفيزياء الجزيئية والطيوف الجزيئية

#### الفصل التاسع

٢٣٩	نظرية الزمر
٢٤٤	تمثيل الزمرة
٢٤٦	تعريف الأومورفيس
٢٥٤	نظرية التعامد العظمى

#### الفصل العاشر

٢٧٣	فصل حركة الالكترونات والأنوية
٢٧٦	نظرية بورن أوبنهايمر
٢٨٠	الحدود الالكترونية الجزيئية
٢٨٦	الربط بين الحدود الجزيئية والحدود الذرية
٢٩١	أنواع التناظر للحالات الالكترونية
٣٠٠	استمرار الحالات الالكترونية - الرابطة الكيميائية

#### الفصل الحادي عشر

٣١٣	سويات الطاقة الاهتزازية لجزيئة ثنائية الذرة
٣١٦	الهزاز اللاتوافقي

٣٢٢	الطاقة الكامنة
٣٣١	علاقة الطاقة الاهتزازية ( الكلاسيكية ) كتاب الاحداثيات الطبيعية
٣٣٦	السويات الاهتزازية للجزيئات المتعددة الذرات
٣٣٧	الهزاز التوافقي ثنائي الأبعاد
٣٤٠	الحدود الطيفية الاهتزازية

## الفصل الثاني عشر

٣٤٩	السويات الدورانية للجزيئات
٣٥٤	طاقة الدائر القاسي في الميكانيك الكلاسيكي
٣٥٦	طاقة الدائرون القاسيون في ميكانيك الكم
٣٦٢	مخططات سويات الطاقة الدورانية
٣٦٤	تأثير الفصل المتبادل بين الدوران والاهتزاز

## الفصل الثالث عشر

٣٦٩	التأثير المتبادل بين الجزيئات والاشعاع الكهروطيسي ( الطيوف الجزيئية )
٣٧٠	قواعد الاصطفاء والشدة
٣٧٢	تشتت رامان
٣٧٣	الطيوف الاهتزازية
٣٧٤	قواعد الاصطفاء للاصدار والإمتصاص
٣٧٦	قواعد الاصطفاء من أجل تشتت رامان
٣٨٠	الانتقالات الساخنة ( الحاره )
٣٨٣	الطيوف الاهتزازية للجزيئات المتعددة الذرات
	قواعد الاصطفاء
٣٨٩	الطيوف الدورانية
٣٩٣	الطيوف الدورانية للجزيئات الخطية

- ٤٠٠ وضع الخطوط الطيفية لطيف الامتصاص والاصدار  
٤٠١ الطيوف الاهتزازية الدورانية  
٤٠٩ المراجع الأجنبية .  
١١٤ دليل المصطلحات العلمية  
٤٢٣ القوس — رس

